

# International Nonproprietary Names for Pharmaceutical Substances (INN)

Notice is hereby given that, in accordance with article 3 of the Procedure for the Selection of Recommended International Nonproprietary Names for Pharmaceutical Substances, the names given in the list on the following pages are under consideration by the World Health Organization as Proposed International Nonproprietary Names. The inclusion of a name in the lists of Proposed International Nonproprietary Names does not imply any recommendation of the use of the substance in medicine or pharmacy.

Lists of Proposed (1–117) and Recommended (1–78) International Nonproprietary Names can be found in *Cumulative List No. 17, 2017* (available in CD-ROM only). The statements indicating action and use are based largely on information supplied by the manufacturer. **This information is merely meant to provide an indication of the potential use of new substances at the time they are accorded Proposed International Nonproprietary Names.** WHO is not in a position either to uphold these statements or to comment on the efficacy of the action claimed. Because of their provisional nature, these descriptors will neither be revised **nor included in the Cumulative Lists of INNs.**

## Dénominations communes internationales des Substances pharmaceutiques (DCI)

Il est notifié que, conformément aux dispositions de l'article 3 de la Procédure à suivre en vue du choix de Dénominations communes internationales recommandées pour les Substances pharmaceutiques les dénominations ci-dessous sont mises à l'étude par l'Organisation mondiale de la Santé en tant que dénominations communes internationales proposées. L'inclusion d'une dénomination dans les listes de DCI proposées n'implique aucune recommandation en vue de l'utilisation de la substance correspondante en médecine ou en pharmacie.

On trouvera d'autres listes de Dénominations communes internationales proposées (1–117) et recommandées (1–78) dans la *Liste récapitulative No. 17, 2017* (disponible sur CD-ROM seulement). Les mentions indiquant les propriétés et les indications des substances sont fondées sur les renseignements communiqués par le fabricant. **Elles ne visent qu'à donner une idée de l'utilisation potentielle des nouvelles substances au moment où elles sont l'objet de propositions de DCI.** L'OMS n'est pas en mesure de confirmer ces déclarations ni de faire de commentaires sur l'efficacité du mode d'action ainsi décrit. En raison de leur caractère provisoire, ces informations **ne figureront pas dans les listes récapitulatives de DCI.**

## Denominaciones Comunes Internacionales para las Sustancias Farmacéuticas (DCI)

De conformidad con lo que dispone el párrafo 3 del "Procedimiento de Selección de Denominaciones Comunes Internacionales Recomendadas para las Sustancias Farmacéuticas", se comunica por el presente anuncio que las denominaciones detalladas en las páginas siguientes están sometidas a estudio por la Organización Mundial de La Salud como Denominaciones Comunes Internacionales Propuestas. La inclusión de una denominación en las listas de las DCI

Propuestas no supone recomendación alguna en favor del empleo de la sustancia respectiva en medicina o en farmacia.

Las listas de Denominaciones Comunes Internacionales Propuestas (1–117) y Recomendadas (1–78) se encuentran reunidas en *Cumulative List No. 17, 2017* (disponible sólo en CD-ROM). Las indicaciones sobre acción y uso que aparecen se basan principalmente en la información facilitada por los fabricantes. **Esta información tiene por objeto dar una idea únicamente de las posibilidades de aplicación de las nuevas sustancias a las que se asigna una DCI Propuesta.** La OMS no está facultada para respaldar esas indicaciones ni para formular comentarios sobre la eficacia de la acción que se atribuye al producto. Debido a su carácter provisional, esos datos descriptivos **no deben incluirse en las listas recapitulativas de DCI.**

## Proposed International Nonproprietary Names: List 127

Comments on, or formal objections to, the proposed names may be forwarded by any person to the INN Programme of the World Health Organization within four months of the date of their publication in *WHO Drug Information*, i.e., for **List 127 of Proposed INN not later than 21 November 2022. Publication date: 22.07.2022**

## Dénominations communes internationales proposées: Liste 127

Des observations ou des objections formelles à l'égard des dénominations proposées peuvent être adressées par toute personne au Programme des Dénominations communes internationales de l'Organisation mondiale de la Santé dans un délai de quatre mois à compter de la date de leur publication dans *WHO Drug Information*, c'est à dire pour la **Liste 127 de DCI Proposées le 21 novembre 2022 au plus tard. Date de publication : 22.07.2022**

## Denominaciones Comunes Internacionales Propuestas: Lista 127

Cualquier persona puede dirigir observaciones u objeciones respecto de las denominaciones propuestas, al Programa de Comunes Internacionales de la Organización Mundial de la Salud, en un plazo de cuatro meses, contados desde la fecha de su publicación en *WHO Drug Information*, es decir, para **la Lista 127 de DCI Propuestas el 21 de noviembre de 2022 a más tardar.**

**Fecha de publicación:** 22.07.2022

<i>Proposed INN (Latin, English, French, Spanish)</i>	<i>Chemical name or description: Action and use: Molecular formula Chemical Abstracts Service (CAS) registry number: Graphic formula</i>
<i>DCI Proposée</i>	<i>Nom chimique ou description: Propriétés et indications: Formule brute Numéro dans le registre du CAS: Formule développée</i>
<i>DCI Propuesta</i>	<i>Nombre químico o descripción: Acción y uso: Fórmula molecular Número de registro del CAS: Fórmula desarrollada</i>

**acidum deulinoleicum**  
deulinoleic acid

(9Z,12Z)-(11,11-<sup>2</sup>H<sub>2</sub>)octadeca-9,12-dienoic acid  
*lipid peroxidation inhibitor, antioxidant*

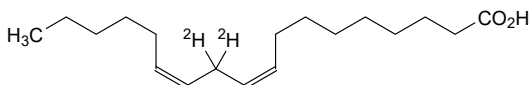
acide deulinoléique

acide (9Z,12Z)-(11,11-<sup>2</sup>H<sub>2</sub>)octadéca-9,12-diénoïque  
*inhibiteur de la peroxydation des lipides, antioxydant*

ácido deulinoleico

ácido (9Z,12Z)-(11,11-<sup>2</sup>H<sub>2</sub>)octadeca-9,12-dienoico  
*inhibidor de la peroxidación lipídica, antioxidante*C<sub>18</sub>H<sub>30</sub><sup>2</sup>H<sub>2</sub>O<sub>2</sub>

31447-29-7

**acidum dimebuticum**

dimebutic acid

2,2-dimethylbutanoic acid  
*coenzyme A (CoA) ester precursor*

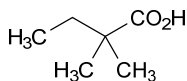
acide dimébutique

acide 2,2-diméthylbutanoïque  
*précurseur d'ester de la coenzyme A (CoA)*

ácido dimebutico

ácido 2,2-dimetilbutanoico  
*precursor del éster de la coenzima A (CoA)*C<sub>6</sub>H<sub>12</sub>O<sub>2</sub>

595-37-9

**acloproxalapum**

acloproxalap

2-(3-aminoquinolin-2-yl)propan-2-ol  
*anti-inflammatory*

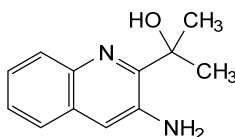
acloproxalap

2-(3-aminoquinoléin-2-yl)propan-2-ol  
*anti-inflammatoire*

acloproxalap

2-(3-aminoquinolein-2-il)propan-2-ol  
*antiinflamatorio*C<sub>12</sub>H<sub>14</sub>N<sub>2</sub>O

1824609-67-7

**acoltremonum**

acoltremon

(1R,2S,5R)-N-(4-methoxyphenyl)-5-methyl-2-(propan-2-yl)cyclohexane-1-carboxamide  
*transient receptor potential cation channel subfamily M member 8 (TRPM8) agonist*

acoltremon

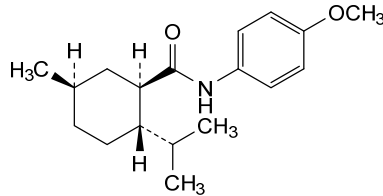
(1R,2S,5R)-N-(4-méthoxyphényl)-5-méthyl-2-(propan-2-yl)cyclohexane-1-carboxamide  
*agoniste du membre 8 de la sous-famille M du canal cationique potentiel récepteur transitoire (TRPM8)*

acoltremón

(1*R*,2*S*,5*R*)-5-metil-*N*-(4-metoxifenil)-2-(propan-2-il)ciclohexano-1-carboxamida  
agonista del miembro 8 de la subfamilia M del canal catiónico potencial del receptor transitorio (TRPM8)

C<sub>18</sub>H<sub>27</sub>NO<sub>2</sub>

68489-09-8



**adalimumabum fosimdesonidum #**  
adalimumab fosimdesonide

immunoglobulin G1-kappa, anti-[*Homo sapiens* TNF (tumor necrosis factor (TNF) superfamily member 2, TNFSF2, TNF-alpha, TNFA)], *Homo sapiens* monoclonal antibody, conjugated to a derivative of the glucocorticoid receptor modulator (GRM) *desonide* (24)(12) via a (cystein-S-yl)acetyl-Gly-Glu link; gamma1 heavy chain *Homo sapiens* (1-450) [VH (*Homo sapiens* IGHV3-9\*01 (93.9%) -(IGHD) - IGHJ4\*01 (92.9%)) CDR-IMGT [8.8.14] (26-33.51-58.97-110) (1-121) -*Homo sapiens* IGHG1\*01 (100%) G1m17,1 (CH1 K120 (218) (122-219), hinge 1-15 (220-234), CH2 (235-344), CH3 D12 (360), L14 (362) (345-449), CHS K>del (450)) (122-450)], (224-214')-disulfide with kappa light chain *Homo sapiens* (1'-214') [V-KAPPA (*Homo sapiens* IGKV1-27\*01 (95.8%) - IGKJ2\*01 (91.7%) L124>V (104)) CDR-IMGT [6.3.9] (27-32.50-52.89-97) (1'-107') -*Homo sapiens* IGKC\*01 (100%) Km3 A45.1 (153), V101 (191) (108'-214')]; dimer (230-230":233-233")-bisdisulfide, produced in Chinese hamster ovary (CHO) cells, derived from the cell line CHO-K1, glycoform alfa; conjugated at the S atoms of the reduced cysteinyl 224, 214', 224" and 214'" with four 2-[[2-((2*S*)-4-carboxy-1-[4-((4-[11β-hydroxy-3,20-dioxo-21-(phosphonoxy)-2'*H*,16β*H*-[1,3]dioxolo[4',5':16,17]pregna-1,4-dien-2'α-yl]phenyl)methyl)anilino]-1-oxobutan-2-yl)amino]-2-oxoethyl)amino]-2-oxoethyl (*fosimdesonide*) groups  
*immunomodulator, anti-inflammatory*

adalimumab fosimdesonide

immunoglobuline G1-kappa, anti-[*Homo sapiens* TNF (membre 2 de la superfamille du facteur de nécrose tumorale (TNF), TNFSF2, TNF-alpha, TNFA)], anticorps monoclonal *Homo sapiens*, conjugué au dérivé du modulateur des récepteurs des glucocorticoïdes (GRM) *désionide* (24)(12), via un lien (cystéin-S-yl)acétyl-Gly-Glu;

	<p>chaîne lourde gamma1 <i>Homo sapiens</i> (1-450) [VH (<i>Homo sapiens</i> IGHV3-9*01 (93.9%) -(IGHD) - IGHJ4*01 (100%)) CDR-IMGT [8.8.14] (26-33.51-58.97-110) (1-121) -<i>Homo sapiens</i> IGHG1*01 (100%) G1m17,1 (CH1 K120 (218) (122-219), charnière 1-15 (220-234), CH2 (235-344), CH3 D12 (360), L14 (362) (345-449), CHS K&gt;del (450)) (122-450)], (224-214')-disulfure avec la chaîne légère kappa <i>Homo sapiens</i> (1'-214') [V-KAPPA (<i>Homo sapiens</i> IGKV1-27*01 (95.8%) -IGKJ2*01 (91.7%) L124&gt;V (104)) CDR-IMGT [6.3.9] (27-32.50-52.89-97) (1'-107') -<i>Homo sapiens</i> IGKC*01 (100%) Km3 A45.1 (153), V101 (191) (108'-214')]; dimère (230-230":233-233")-bisdisulfure, produit dans des cellules ovariennes de hamster chinois (CHO), dérivant de la lignée cellulaire CHO-K1, glycoforme alfa; conjugué aux atomes S des cystéinyl réduits 224, 214', 224" et 214''' avec quatre groupes 2-[[2-((2S)-4-carboxy-1-[4-({4-[11β-hydroxy-3,20-dioxo-21-(phosphonoxy)-2'H,16βH-[1,3]dioxolo[4',5':16,17]pregna-1,4-dièn-2'α-y)]phényl)méthyl)anilino]-1-oxobutan-2-yl)amino]-2-oxoéthyl]amino]-2-oxoéthyle (<i>fosimdesonide</i>) immunomodulateur, anti-inflammatoire</p>
adalimumab fosimdesonida	<p>immunoglobulina G1-kappa, anti-[<i>Homo sapiens</i> TNF (factor de necrosis tumoral miembro 2 de la superfamilia del TNF, TNFSF2, TNF-alfa, TNFA)], anticuerpo monoclonal <i>Homo sapiens</i>, conjugado con el derivado del modulador del los receptores de los glucocorticoides (GRM) <i>desonida</i> (24)(12), mediante un conector (cystéin-S-yl)acetil-Gly-Glu; cadena pesada gamma1 <i>Homo sapiens</i> (1-450) [VH (<i>Homo sapiens</i> IGHV3-9*01 (93.9%) -(IGHD) - IGHJ4*01 (100%)) CDR-IMGT [8.8.14] (26-33.51-58.97-110) (1-121) -<i>Homo sapiens</i> IGHG1*01 (100%) G1m17,1 (CH1 K120 (218) (122-219), bisagra 1-15 (220-234), CH2 (235-344), CH3 D12 (360), L14 (362) (345-449), CHS K&gt;del (450)) (122-450)], (224-214')-disulfuro con la cadena ligera kappa <i>Homo sapiens</i> (1'-214') [V-KAPPA (<i>Homo sapiens</i> IGKV1-27*01 (95.8%) -IGKJ2*01 (91.7%) L124&gt;V (104)) CDR-IMGT [6.3.9] (27-32.50-52.89-97) (1'-107') -<i>Homo sapiens</i> IGKC*01 (100%) Km3 A45.1 (153), V101 (191) (108'-214')]; dímero (230-230":233-233")-bisdisulfuro, producido en las células ováricas de hámster chino (CHO), línea celular derivada de CHO-K1, forma glicosilada alfa; conjugado en los átomos S de los cisteinilos reducidos 224, 214', 224" y 214''' con cuatro grupos 2-[[2-((2S)-4-carboxi-1-[4-({4-[21-(fosfonoxy)-11β-hidroxi-3,20-dioxo-2'H,16βH-[1,3]dioxolo[4',5':16,17]pregna-1,4-dièn-2'α-il]fenil)metil)anilino]-1-oxobutan-2-il)amino]-2-oxoetil]amino]-2-oxoetil (<i>fosimdesonida</i>) inmunomodulador, antiinflamatorio</p>

2402772-93-2

## Heavy chain / Chaîne lourde / Cadena pesada

EVQLVESGGG LVQPGRSLRL SCAASGFTFD DYAMHWVRQA PGKGLEWVSA 50  
 ITWNSGHIDY ADSVEGRFTI SRDNAKNSLY LQMNSLRAED TAVYYCAKVS 100  
 YLSTASSLDY WQGQTLVTVS SASTKGPSVF PLAPSSKSTS GGTAALGCLV 150  
 KDYFPPEPVT SWNSGALTSV VHTFFAVLQS SGLYSLSSVV TFPSSSLGTQ 200  
 TYICNVNHKP SNTKVDKKE PKSCDKTHTC PPCPAPELLG GPSVFLFPPK 250  
 PKDTLMI SRT PEVTCVVVDV SHEDPEVKFN WYVDGVEVHN AKTKPREEQY 300  
 NSTYRVVSVL TVLHQDWLNG KEYKCKVSNK ALPAPIEKTI SKAKGQPREP 350  
 QVYTLPPSRD ELTKNQVSLT CLVKGFYPSD IAVEWESNGQ PENNYKTPFP 400  
 VLDSGGSFFL YSKLTVDKSR WQQGNVFCSS VMHEALHNHY TQKLSLSLSPG 450

## Light chain / Chaîne légère / Cadena ligera

DIQMTQSPSS LSASVGRDVT ITCRASQGITR NYLAWYQQPK GKAPKLLIYA 50  
 ASTLIQSGVPS RFGSGSGSDT FTLTISLSLPQ EDVATYYCQR YNRPAPYTFGQ 100  
 GTKVEIKRTV AAPSVFIFPP SDEQLKSGTA SVVCLLNIFY PREAKVQWKV 150  
 DNALQSGNSQ ESVTEQDSKD STYLSLSTLT LSKADYEKHK VYACEVTHQG 200  
 LSSFVTKSFN RGEIC 214

## Post-translational modifications

## Disulfide bridges location / Position des ponts disulfure / Posiciones de los puentes disulfuro

Intra-H (C23-C104) 22°-96' 148°-204' 265°-325' 371°-429'  
 22°-96' 148°-204' 265°-325' 371°-429'

Intra-L (C23-C104) 23°-88' 134°-194'

23°-88' 134°-194'

Inter-H-L (h 5-CL 126)\* 224°-214' 224°-214'

Inter-H-H (h 11, h 14) 230°-230' 233°-233'

\* The two inter-H-L disulfide bridges are not present, an average of 4 cysteinyl being conjugated each via a thioether bond to a drug linker. \*Les deux ponts disulfures inter-H-L ne sont pas présents, 4 cystéinyl en moyenne étant chacun conjugué via une liaison thioéther à un linker-principe actif. \*Dos puentes disulfuro inter-H-L no están presentes, una media de 4 cisteinil está conjugada a conectores de principio activo.

## N-glycosylation sites / Sites de N-glycosylation / Posiciones de N-glicosilación

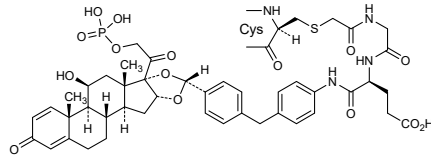
H CH2 N84.4:

301, 301"

Fucosylated complex bi-antennary CHO-type glycans / glycanes de type CHO bi-antennaires complexes fucosylés / glicanos de tipo CHO biantennarios complejos fucosilados.

## Conjugation sites / Sites de conjugaison / Posiciones de conjugación:

C224, C224", C214', C214"

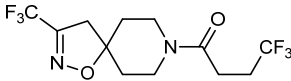


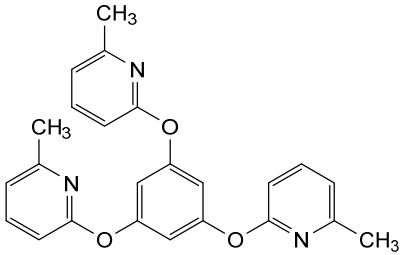
**alnugranogenum aldeparvecum #**  
 alnugranogene aldeparvec

recombinant, non-replicating adeno-associated virus serotype 1 (AAV1) vector encoding codon-optimised human progranulin (PGRN, granulin precursor), under control of a cytomegalovirus immediate early enhancer/chicken  $\beta$ -actin promoter (the CB7 promoter) plus a chimeric intron, consisting of a chicken  $\beta$ -actin splice donor and a rabbit  $\beta$ -globin (rBG) splice acceptor, terminated with a rabbit  $\beta$ -globin polyadenylation signal, flanked by adeno-associated virus 2 (AAV2) inverted terminal repeats (ITRs). *gene therapy (frontotemporal dementia)*

alnugranogène aldéparvec

vecteur recombinant et non répliquant du virus adéno-associé de sérotype 1 (AAV1) codant la progranuline humaine (PGRN, précurseur de la granuline) aux codons optimisés, sous le contrôle d'un amplificateur précoce immédiat du cytomégalo-virus/promoteur de la  $\beta$ -actine de poulet (promoteur CB7) plus un intron chimérique consistant d'un donneur d'épissage de la  $\beta$ -actine de poulet et un accepteur d'épissage de la  $\beta$ -globine de lapin (rBG), terminé par un signal de

	<p>polyadénylation de la <math>\beta</math>-globine de lapin, flanqué de répétitions terminales inversées (ITR) du virus adeno-associé 2 (AAV2). <i>thérapie génique (démence frontotemporale)</i></p>
alnugranogén aldeparovec	<p>vector de virus adenoasociado recombinante del serotipo 1 (AAV1), no replicativo, que codifica, con codones optimizados, para la progranulina humana (PGRN, precursor de granulina), bajo el control de un potenciador inmediato temprano del citomegalovirus/promotor de la <math>\beta</math>-actina de pollo (el promotor CB7) más un intrón quimérico que consta del sitio donante del procesamiento de la <math>\beta</math>-actina de pollo y el aceptor del procesamiento de la <math>\beta</math>-globina de conejo (rBG), terminado con una señal de poliadenilación de la <math>\beta</math>-globina de conejo, flanqueado por las repeticiones terminales invertidas (ITRs) del virus adenoasociado 2 (AAV2). <i>terapia génica (demencia frontotemporal)</i></p>
	2607030-08-8
<b>alpbectirum</b>	
alpbectir	<p>4,4,4-trifluoro-1-[3-(trifluoromethyl)-1-oxa-2,8-diazaspiro[4.5]dec-2-en-8-yl]butan-1-one <i>antibacterial</i></p>
alpbectir	<p>4,4,4-trifluoro-1-[3-(trifluorométhyl)-1-oxa-2,8-diazaspiro[4.5]déc-2-én-8-yl]butan-1-one <i>antibactérien</i></p>
alpbectir	<p>4,4,4-trifluoro-1-[3-(trifluorometil)-1-oxa-2,8-diazaspiro[4.5]dec-2-en-8-il]butan-1-ona <i>antibacteriano</i></p>
	C <sub>12</sub> H <sub>14</sub> F <sub>6</sub> N <sub>2</sub> O <sub>2</sub> 2285440-39-1
	
<b>alvamemugenum sulseparovecum #</b>	
alvamemugene sulseparovec	<p>recombinant, non-replicating adeno-associated virus (rAAV) vector with a liver-trophic LK03 capsid, encoding codon-optimised human methylmalonyl-CoA mutase (MMUT, also referred to as MUT), preceded by the self-cleaving 2A-peptide of porcine teschovirus 1, bordered by human albumin (ALB) homology arms, and all flanked by AAV2 inverted terminal repeats (ITRs). <i>gene therapy (methylmalonic acidemia)</i></p>
alvamémugène sulséparovec	<p>vecteur de virus adéno-associé (rAAV) recombinant et non répliquant, avec une capsid LK03 hépatotrophique, codant la méthylmalonyl-CoA mutase (MMUT, également appelée MUT) humaine aux codons optimisés, précédée par le peptide 2A auto-sécable du teschovirus 1 porcin, bordée par des bras</p>

	homologues à l'albumine humaine (ALB), et tous flanqués de répétitions terminales inversées (ITR) d'AAV2. <i>thérapie génique (acidémie méthyl-malonique)</i>
alvamemugén sulseparovvec	vector de virus adenoasociado recombinante (rAAV), no replicativo, con una cápsida LK03 trópica para el hígado, que codifica, con codones optimizados, para la metilmalonil-CoA mutasa humana (MMUT, también referida como MUT), precedido de un péptido de autoescisión 2A del teschovirus porcino 1, bordeado por brazos de homología de la albúmina humana, y todo flanqueado por repeticiones terminales invertidas (ITRs) de AAV2. <i>terapia génica (acidemia metil-malónica)</i>
	2640356-62-1
<b>amelenodorum</b> amelenodor	2,2',2''-[benzene-1,3,5-triyltris(oxy)]tris(6-methylpyridine) <i>NOD-like receptor X1 (NLRX1) agonist, anti-inflammatory</i>
amélénodor	2,2',2''-[benzène-1,3,5-triyltris(oxy)]tris(6-méthylpyridine) <i>agoniste du récepteur de type NOD X1 (NLRX1), anti-inflammatoire</i>
amelenodor	2,2',2''-[benceno-1,3,5-triiltris(oxi)]tris(6-metilpiridina) <i>agonista del receptor tipo NOD X1 (NLRX1), antiinflamatorio</i>
	$C_{24}H_{21}N_3O_3$ 2389235-01-0
	
<b>anbalcabtagemum autoleucelum #</b> anbalcabtogene autoleucel	autologous T lymphocytes obtained from peripheral blood mononuclear cells by leukapheresis, transduced with a self-inactivating, non-replicating lentiviral vector, encoding a chimeric antigen receptor (CAR) targeting CD19, plus two short hairpin RNAs (shRNA) directed against two immune checkpoint regulators, programmed cell death protein 1 (PD-1) and T-cell immunoreceptor with Ig and ITIM domains (TIGIT). The expressed transgene comprises a CD8 $\alpha$ leader sequence, a murine anti-CD19 single chain variable

fragment (scFv) (derived from the mouse hybridoma FMC63), a CD8 $\alpha$  hinge and transmembrane region, and a 4-1BB (CD137) and CD3 $\zeta$  (CD247) intracellular signalling domain, and is under control of the elongation factor 1 alpha (EF1 $\alpha$ ) promoter. The short hairpin RNA shPD-1 targets the 3' untranslated region part of PD-1 mRNA and is under control of a human U6 promoter. The short hairpin RNA shTIGIT targets a coding sequence part of TIGIT mRNA and is under control of a mouse U6 promoter. The construct is flanked by 5' and 3' long terminal repeats (LTRs) and also contains an HIV-1  $\psi$  packaging signal, a Rev response element (RRE), a central polypurine tract (cPPT) and a Woodchuck hepatitis virus posttranscriptional regulatory element (WPRE).

The leukapheresis material is enriched for CD4/CD8 T lymphocytes by positive immunoselection, activated by CD3 and CD28 agonists and transduced with the vector. The cells are then expanded in media containing serum replacement and interleukin 2 (IL-2). The T lymphocytes ( $\geq 97.8\%$ ) are positive for the transgene ( $\geq 11.0\%$  CAR positive), secrete interferon gamma, and demonstrate knockdown of PD-1 ( $\geq 33.7\%$ ) or TIGIT ( $\geq 83.5\%$ ).

*cell-based gene therapy (antineoplastic)*

anbalcabtagène autoleucel

lymphocytes T autologues obtenus à partir de cellules mononucléaires de sang périphérique par leucaphérèse, transduits avec un vecteur lentiviral auto-inactivant et non répliquant, codant un récepteur antigénique chimérique (CAR) ciblant CD19, plus deux ARN courts en épingle à cheveux (shRNA) dirigés contre deux régulateurs de point de contrôle immunitaire, la protéine de mort cellulaire programmée 1 (PD-1) et l'immunorécepteur des lymphocytes T avec les domaines Ig et ITIM (TIGIT). Le transgène exprimé comprend une séquence de tête CD8 $\alpha$ , un fragment variable à chaîne unique (scFv) anti-CD19 murin (dérivé de l'hybridome de souris FMC63), une région charnière et transmembranaire CD8 $\alpha$ , ainsi qu'un domaine de signalisation intracellulaire 4-1BB (CD137) et CD3 $\zeta$  (CD247), qui est sous le contrôle du promoteur du facteur d'élongation 1 alpha (EF1 $\alpha$ ). L'ARN court en épingle à cheveux shPD-1 cible la partie de la région non traduite en 3' de l'ARNm PD-1 et est sous le contrôle du promoteur U6 humain. L'ARN court en épingle à cheveux shTIGIT cible une partie de la séquence codante de l'ARNm TIGIT et est sous le contrôle du promoteur U6 de souris. La construction est flanquée de longues répétitions terminales (LTR) en 5' et 3' et contient également un signal d'encapsulation du VIH-1  $\psi$ , un élément de réponse Rev (RRE), un tractus polypurine central (cPPT) et un élément de régulation post-transcriptionnel du virus de l'hépatite de marmotte (WPRE). Le matériel de leucaphérèse est enrichi en lymphocytes T CD4/CD8 par immunosélection positive, activé par des agonistes CD3 et CD28 et transduit par le vecteur. Les cellules sont ensuite amplifiées dans un milieu de remplacement du sérum et de l'interleukine 2 (IL-2). Les lymphocytes T ( $\geq 97,8\%$ ) sont positifs pour le transgène ( $\geq 11,0\%$  CAR positif), sécrètent de l'interféron gamma et présentent un knockdown de PD-1 ( $\geq 33,7\%$ ) ou de TIGIT ( $\geq 83,5\%$ ).

*thérapie génique à base de cellules (antinéoplasique)*

anbalcabtagén autoleucel

linfocitos T autólogos obtenidos de células mononucleares de sangre periférica mediante leucaféresis, transducidos con un vector lentiviral auto inactivante, no replicativo, que codifica para un receptor de antígenos quimérico (CAR) dirigido a CD19, más dos RNAs en horquilla cortos (shRNA) dirigidos contra dos reguladores de punto de control inmune, la proteína de muerte celular programada 1 (PD-1) y un inmunorreceptor de linfocitos T con dominios Ig e ITIM (TIGIT). El transgén expresado contiene una secuencia líder de CD8 $\alpha$ , un fragmento variable de cadena sencilla (scFv) anti-CD19 (derivado del hibridoma de ratón FMC63), una región bisagra y transmembrana de CD8 $\alpha$ , y un dominio 4-1BB (CD137) y otro CD3 $\zeta$  (CD247) de señalización intracelular, y está bajo el control del promotor del factor de elongación 1 alfa (EF1 $\alpha$ ). El RNA en horquilla corto shPD-1 se dirige a la parte de la región 3' no traducida del mRNA de PD-1 y está bajo el control de un promotor U6 humano. El RNA en horquilla corto shTIGIT se dirige a la parte de la secuencia codificante del mRNA de TIGIT y está bajo el control de un promotor U6 de ratón. El constructo está flanqueado por repeticiones terminales largas (LTRs) en 5' y 3' y también contiene una señal de empaquetamiento  $\psi$  del HIV, un elemento de respuesta Rev (RRE), un tracto de poli-purina central (cPPT) y un elemento regulador post-transcripcional del virus de la hepatitis de la marmota (WPRE). El material de leucoaféresis se enriquece para linfocitos T CD4/CD8 mediante inmunoselección positiva, se activa mediante agonistas de CD3 y CD28 y se transduce con el vector. Las células son después expandidas en medio con un sustituto de suero e interleuquina 2 (IL-2). Los linfocitos T ( $\geq 97.8\%$ ) son positivos para el transgén ( $\geq 11.0\%$  CAR positivo), secretan interferón gamma y demuestran reducción de PD-1 ( $\geq 33.7\%$ ) o TIGIT ( $\geq 83.5\%$ ).

*terapia génica basada en células (antineoplásico)*

**anizatrectinibum**  
anizatrectinib

*N*-[(3*S*,4*R*)-4-(3-fluorophenyl)-1-(2-methoxyethyl)pyrrolidin-3-yl]-*N'*-[4-methyl-3-(2-methylpyrimidin-5-yl)-1-phenyl-1*H*-pyrazol-5-yl]urea  
*tyrosine kinase inhibitor, antineoplastic*

anizatrectinib

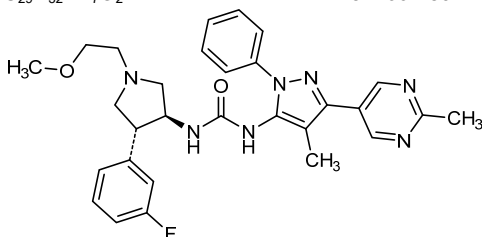
*N*-[(3*S*,4*R*)-4-(3-fluorophényl)-1-(2-méthoxyéthyl)pyrrolidin-3-yl]-*N'*-[4-méthyl-3-(2-méthylpyrimidin-5-yl)-1-phényl-1*H*-pyrazol-5-yl]urée  
*inhibiteur de la tyrosine kinase, antinéoplasique*

anizatrectinib

*N*-[(3*S*,4*R*)-4-(3-fluorofenil)-1-(2-metoxietil)pirrolidin-3-il]-*N'*-[4-metil-3-(2-metilpirimidin-5-il)-1-fenil-1*H*-pirazol-5-il]urea  
*inhibidor de la tirosina kinasa, antineoplásico*

C<sub>29</sub>H<sub>32</sub>FN<sub>7</sub>O<sub>2</sub>

1824664-89-2

**anrikefonom**

anrikefón

1-[7-(D-phenylalanyl-D-phenylalanyl-D-leucyl-D-lysyl)-2,7-diazaspiro[3.5]nonan-2-yl]ethan-1-one  
*kappa opioid receptor agonist, analgesic*

anrikéfón

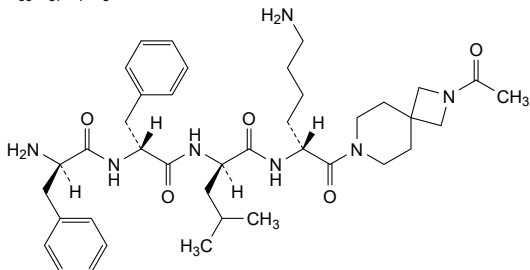
1-[7-(D-phénylalanyl-D-phénylalanyl-D-leucyl-D-lysyl)-2,7-diazaspiro[3.5]nonan-2-yl]éthan-1-one  
*agoniste du récepteur opioïde kappa, analgésique*

anrikefón

1-[7-(D-fenilalanil-D-fenilalanil-D-leucil-D-lisil)-2,7-diazaspiro[3.5]nonan-2-il]etan-1-ona  
*agonista del receptor opioide kappa, analgésico*

C<sub>39</sub>H<sub>57</sub>N<sub>7</sub>O<sub>5</sub>

2269511-95-5

**ansornitinibum**

ansornitinib

methyl (3Z)-3-[[4-[N-methyl-2-(4-methylpiperazin-1-yl)acetamido]anilino](phenyl)methylidene]-2-oxo-2,3-dihydro-1H-pyrrolo[2,3-b]pyridine-6-carboxylate  
*tyrosine kinase inhibitor*

ansornitinib

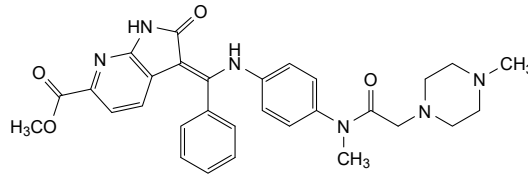
(3Z)-3-[[4-[N-méthyl-2-(4-méthylpipérazin-1-yl)acétamido]anilino](phényl)méthylidène]-2-oxo-2,3-dihydro-1H-pyrrolo[2,3-b]pyridine-6-carboxylate de méthyle  
*inhibiteur de la tyrosine kinase*

ansornitinib

(3Z)-3-(fenil{4-[N-metil-2-(4-metilpiperazin-1-il)acetamido]anilino}metilideno)-2-oxo-2,3-dihidro-1H-pirrolo[2,3-b]piridina-6-carboxilato de metilo  
*inhibidor de la tirosina kinasa*

C<sub>30</sub>H<sub>32</sub>N<sub>6</sub>O<sub>4</sub>

1448874-96-1

**anvatabartum opadotinum #**

anvatabart opadotin

immunoglobulin G1-kappa, anti-[*Homo sapiens* ERBB2 (epidermal growth factor receptor 2, receptor tyrosine-protein kinase erbB-2, EGFR2, HER2, HER-2, p185c-erbB2, NEU, CD340)], humanized monoclonal antibody; conjugated at two engineered sites via a stable covalent linker with the microtubule-disrupting agent *opadotin*; gamma1 heavy chain humanized (1-449) [VH humanized (*Homo sapiens* IGHV3-66\*01 (81.6%) -(IGHD)-IGHJ4\*01 (100%), CDR-IMGT [8.8.13] (26-33.51-58.97-109)) (1-120) -*Homo sapiens* IGHG1\*01, G1m17,1 (CH1 A1.4>F (pAF) (121), K120 (217) (121-218), hinge 1-15 (219-233), CH2 (234-343), CH3 D12 (359), L14 (361) (344-448), CHS K2>del (449)) (121-449)], (223-214')-disulfide with kappa light chain humanized (1'-214') [V-KAPPA (*Homo sapiens* IGKV1-39\*01 (86.3%) -IGKJ1\*01 (100%), CDR-IMGT [6.3.9] (27-32.50-52.89-97)) (1'-107') -*Homo sapiens* IGKC\*01 (100%), Km3 A45.1 (153), V101 (191) (108'-214')]; dimer (229-229":232-232")-bisdisulfide, produced in Chinese hamster ovary (CHO) cells, cell line CHO-K1, glycoform alfa; substituted at C-4 of Phe121 and Phe121" with two (1Z)-N-[[[(13S,16S,19S,20R)-19-[(2S)-butan-2-yl]-22-[(2S)-[(1R,2R)-3-[[[(1S)-1-carboxy-2-phenylethyl]amino]-1-methoxy-2-methyl-3-oxopropyl]pyrrolidin-1-yl]-20-methoxy-12,18-dimethyl-14,17,22-trioxo-13,16-di(propan-2-yl)-3,6,9-trioxa-12,15,18-triazadocosan-1-yl]oxy]ethanimidoyl (*opadotin*) groups  
*antineoplastique*

anvatabart opadotine

immunoglobuline G1-kappa, anti-ERBB2 (récepteur 2 du facteur de croissance épidermique, récepteur tyrosine-protéine kinase erbB2, EGFR2, HER2, HER-2, p185c-erbB2, NEU, CD340)], anticorps monoclonal humanisé; conjugué à deux sites modifiés via un lien covalent stable avec l'agent de perturbation des microtubules *opadotine*;  
chaîne lourde gamma1 humanisée (1-449) [VH humanisé (*Homo sapiens* IGHV3-66\*01 (81.6%) -(IGHD)-IGHJ4\*01 (100%), CDR-IMGT [8.8.13] (26-33.51-58.97-109)) (1-120) -*Homo sapiens* IGHG1\*01, G1m17,1 (CH1 A1.4>F (pAF) (121), K120 (217) (121-218), charnière 1-15 (219-233), CH2 (234-343), CH3 D12 (359), L14 (361) (344-448), CHS K2>del (449)) (121-449)], (223-214')-disulfure avec la chaîne légère kappa humanisée (1'-214') [V-KAPPA (*Homo sapiens* IGKV1-39\*01 (86.3%) -IGKJ1\*01 (100%), CDR-IMGT [6.3.9] (27-32.50-52.89-97)) (1'-107') -*Homo sapiens* IGKC\*01 (100%), Km3 A45.1 (153), V101 (191) (108'-214')]; dimère (229-229":232-232")-bisdisulfure, produit dans des cellules ovariennes de hamster chinois (CHO), lignée cellulaire CHO-K1, glycoforme alfa substitué en C-4 de Phe121 et Phe121" avec deux groupes (1Z)-N-[[[(13S,16S,19S,20R)-19-[(2S)-butan-2-yl]-22-[(2S)-[(1R,2R)-3-[[[(1S)-1-carboxy-2-phényléthyl]amino]-1-méthoxy-2-méthyl-3-oxopropyl]pyrrolidin-1-yl]-20-méthoxy-12,18-diméthyl-14,17,22-trioxo-13,16-di(propan-2-yl)-3,6,9-trioxa-12,15,18-triazadocosan-1-yl]oxy]éthanimidoyle (*opadotine*)  
*antineoplastique*

anvatabart opadotina

inmunoglobulina G1-kappa, anti-ERBB2 (receptor 2 del factor de crecimiento epidérmico, receptor tirosina-proteína quinasa erbB2, EGFR2, HER2, HER-2, p185c-erbB2, NEU, CD340)], anticuerpo monoclonal humanizado; conjugado en 2 sitios modificados a través de un enlace covalente con el agente disruptor del microtúbulo *opadotina*;

cadena pesada gamma1 humanizada (1-449) [VH humanizado (*Homo sapiens* IGHV3-66\*01 (81.6%) -(IGHD)-IGHJ4\*01 (100%), CDR-IMGT [8.8.13] (26-33.51-58.97-109)) (1-120) -*Homo sapiens* IGHG1\*01, G1m17,1 (CH1 A1.4>F (pAF) (121), K120 (217) (121-218), bisagra 1-15 (219-233), CH2 (234-343), CH3 D12 (359), L14 (361) (344-448), CHS K2>del (449)) (121-449)], (223-214')-disulfuro con la cadena ligera kappa humanizada (1'-214') [V-KAPPA (*Homo sapiens* IGKV1-39\*01 (86.3%) -IGKJ1\*01 (100%), CDR-IMGT [6.3.9] (27-32.50-52.89-97)) (1'-107') -*Homo sapiens* IGKC\*01 (100%), Km3 A45.1 (153), V101 (191) (108'-214')]; dimère (229-229'-232-232')-bisdisulfuro; producido en células ováricas de hámster Chino (CHO), línea celular CHO-K1, glicofoma alfa; substituido en C-4 de Phe121 y Phe121' con dos grupos (1Z)-N-[[[(13S,16S,19S,20R)-19-[(2S)-butan-2-il]-22-[(2S)-[(1R,2R)-3-[[[(1S)-1-carboxi-2-feniletil]amino]-1-metoxi-2-metil-3-oxopropil]pirrolidin-1-il]-20-metoxi-12,18-dimetil-14,17,22-trioxo-13,16-di(propan-2-il)-3,6,9-trioxa-12,15,18-triazadocosan-1-il]oxi]etanimidol (*opadotina*) *antineoplásico*

2636710-07-9

## Heavy chain / Chaîne lourde / Cadena pesada

EVQLVESGGG LVQPGGSLRL SCAASGFNIK DTIYHWVRQA PGKGLEWVAR 50  
 IYPLNGYTRY ADSVKGRFTI SADTSKNTAY LQMNSLRAED TAVYYCSRWG 100  
 GDGFYAMDYW QQGTTLTVSS **F**STKGPSVFP LAPSSKSTSG GTAALGCLVK 150  
 DYFPEPTVVS WNSGALTSKV HTFPAVLQSS GLYSLSSVVT VPSSSLGTQT 200  
 YICNVNKKPS NTKVDDKVEP KSCDKHTCP PCPAPELLGG PSVFLFPPPK 250  
 KDTLMIKRTV EYTCVVVDVSD HEDPEVFNW YVDGVEVHNA KTKPREEQYN 300  
 STYRVVSVLT VLGQDQLNGK EYKCKVSNKA LPAPIEKTLIS KAKGQPREPQ 350  
 VYTLPPSRDE LTKNQVSLTLC LVKGFYPSDI AVEWESNGQP ENNYKTTTPPV 400  
 LDDSGSFFLY SKLTVDKSRW QQGNVFSCSV MHEALHNHYT QKSLSLSPG 449  
**F** indicates non-natural amino acid *p*-acetylphenylalanine (pAF)

## Light chain / Chaîne légère / Cadena ligera

DIQMTQSPSS LSASVGRDVT ITCRASQDVN TAVAWYQQKPK GKAPKLLIYS 50  
 ASFLYSGVPS RFGSRSRGTD FTLTISLQPE EDFATYYCQQ HYTTPPTFGQ 100  
 GTKVEIKRTV AAPSVPFIFPP SDEQLKSGTA SVVCLLNNFY PREAKVQWKV 150  
 DNALQSGNSGQ ESVTEQDSKD STYLSLSTLT LSKADYERKH VYACEVTHQG 200  
 LSSPVTKSFN RGEV 214

## Post-translational modifications

Disulfide bridges location / Position des ponts disulfure / Posiciones de los puentes disulfuro

Intra-H (C23-C104) 22-96 147-203 264-324 370-428  
 22"-96" 147"-203" 264"-324" 370"-428"  
 Intra-L (C23-C104) 23"-88" 134"-194"  
 23"-88" 134"-194"

Inter-H-L (h 5-CL 126) 223-214' 223"-214"

Inter-H-H (h 11, h 14) 229-229" 232-232"

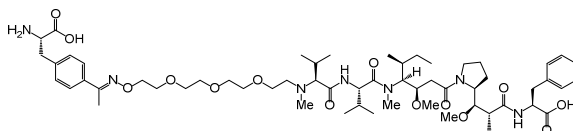
N-glycosylation sites / Sites de N-glycosylation / Posiciones de N-glicosilación

H CH2 N84.4:

300, 300"

Fucosylated complex bi-antennary CHO-type glycans / glycanes de type CHO bi-antennaires complexes fucosylés / glicanos de tipo CHO biantenaricos complejos fucosilados.

Conjugation site / Site de conjugaison / Posición de conjugación

**F**: *p*-acetylphenylalanine (pAF) used as conjugation specific site**F**: *p*-acetylphenylalanine (pAF) utilisé comme site spécifique de conjugaison**F**: *p*-acetilfenilalanina (pAF) utilizada como sitio específico de conjugaciónH CH1 A1.4>**F**: 121, 121" (~2.0 *opadotin* groups per antibody)

**anvatabartum pactilum #**

anvatabart pactil

immunoglobulin G1-kappa, anti-[*Homo sapiens* ERBB2 (epidermal growth factor receptor 2, receptor tyrosine-protein kinase erbB-2, EGFR2, HER2, HER-2, p185c-erbB2, NEU, CD340)], humanized monoclonal antibody, conjugated at two engineered phenylalanine sites with *p*-acetyl groups;  
 gamma1 heavy chain humanized (1-449)[VH humanized (*Homo sapiens* IGHV3-66\*01 (81.6%) -(IGHD) -IGHJ4\*01 (100%), CDR-IMGT [8.8.13] (26-33.51-58.97-109)) (1-120) -*Homo sapiens* IGHG1\*01, G1m17.1 (CH1 A1.4>F (pAF) (121), K120 (217) (121-218), hinge 1-15 (219-233), CH2 (234-343), CH3 D12 (359), L14 (361) (344-448), CHS K2>del (449)) (121-449)], (223-214')-disulfide with kappa light chain humanized (1'-214') [V-KAPPA (*Homo sapiens* IGKV1-39\*01 (86.3%) -IGKJ1\*01 (100%), CDR-IMGT [6.3.9] (27-32.50-52.89-97)) (1'-107') -*Homo sapiens* IGKC\*01 (100%), Km3 A45.1 (153), V101 (191) (108'-214')]; dimer (229-229":232-232")-bisdisulfide, produced in Chinese hamster ovary (CHO) cells, cell line CHO-K1, glycoform alfa; substituted with two acetylgroups at C-4 of Phe121 and Phe121"  
*antineoplastique*

anvatabart pactil

immunoglobuline G1-kappa, anti-ERBB2 (récepteur 2 du facteur de croissance épidermique, récepteur tyrosine-protéine kinase erbB2, EGFR2, HER2, HER-2, p185c-erbB2, NEU, CD340)], anticorps monoclonal humanisé; conjugué à deux sites phénylalanine modifiés avec des groupes *p*-acétyle  
 chaîne lourde gamma1 humanisée (1-449) [VH humanisé (*Homo sapiens* IGHV3-66\*01 (81.6%) -(IGHD) -IGHJ4\*01 (100%), CDR-IMGT [8.8.13] (26-33.51-58.97-109)) (1-120) -*Homo sapiens* IGHG1\*01, G1m17.1 (CH1 A1.4>F (pAF) (121), K120 (217) (121-218), charnière 1-15 (219-233), CH2 (234-343), CH3 D12 (359), L14 (361) (344-448), CHS K2>del (449)) (121-449)], (223-214')-disulfure avec la chaîne légère kappa humanisée (1'-214') [V-KAPPA (*Homo sapiens* IGKV1-39\*01 (86.3%) -IGKJ1\*01 (100%), CDR-IMGT [6.3.9] (27-32.50-52.89-97)) (1'-107') -*Homo sapiens* IGKC\*01 (100%), Km3 A45.1 (153), V101 (191) (108'-214')]; dimère (229-229":232-232")-bisdisulfure, produit dans des cellules ovariennes de hamster chinois (CHO), lignée cellulaire CHO-K1, glycoforme alfa, substitué par deux groupes acétyle en C-4 de Phe121 et Phe121"  
*antineoplasique*

anvatabart pactil

inmunoglobulina G1-kappa, anti-ERBB2 (receptor 2 del factor de crecimiento epidérmico, receptor tirosina-proteína kinasa erbB2, EGFR2, HER2, HER-2, p185c-erbB2, NEU, CD340)], anticuerpo monoclonal humanizado; conjugado en 2 sitios modificados de fenilalanina con grupos *p*-acetil;  
 cadena pesada gamma1 humanizada (1-449) [VH humanizado (*Homo sapiens* IGHV3-66\*01 (81.6%) -(IGHD) -IGHJ4\*01 (100%), CDR-IMGT [8.8.13] (26-33.51-58.97-109)) (1-120) -*Homo sapiens* IGHG1\*01, G1m17.1 (CH1 A1.4>F (pAF) (121), K120 (217) (121-218), bisagra 1-15 (219-233), CH2 (234-343), CH3 D12 (359), L14 (361) (344-448), CHS K2>del (449)) (121-449)], (223-214')-disulfuro con la cadena ligera kappa humanizada (1'-214') [V-KAPPA (*Homo sapiens* IGKV1-39\*01 (86.3%) -IGKJ1\*01 (100%), CDR-IMGT [6.3.9] (27-32.50-52.89-97)) (1'-107') -*Homo sapiens* IGKC\*01 (100%), Km3 A45.1 (153), V101 (191) (108'-214')]; dímero (229-229":232-232")-bisdisulfuro, producido en las células ováricas de hámster chino (CHO), línea celular CHO-K1, glicofoma alfa; substituido con dos grupo acetil en C-4 de Phe121 y Phe121"  
*antineoplásico*

2636710-06-8

Heavy chain / Chaîne lourde / Cadena pesada  
 EVQLVESGGG LVQPGGSLRL SCAASGFNIK DTYIHWVQRQ PGKGLEWVAR 50  
 IYPTNGYTRY ADSVKGRFTI SADTSKNTAY LQMNSLRAED TAVYYCSRWG 100  
 GDGFYAMDYW GQGTLVTVSS **E**STKGFSPVF LAFSSKSTSG GTAALGCLVK 150  
 DYFPEPVTVS WNSGALTSVG HTFPAVLQSS GLYSLSSVVT VPSSSLGTQT 200  
 YICNVNHPKS NTKVDKKEEP KSCDKTHTCP PCPAPELLGG PSVFLPFPKP 250  
 KDTLMISRTP EVTCVVVDVS HEDPEVKFHW YVDGVEVHNA KTKPREEQYN 300  
 STYRVVSVLT VLNQDNLNGK EYKCKVSNKA LPAPIKTTIS KAKGQPREPQ 350  
 VYTLPPSRDE LTRKQVSLTC LVKGFYPSDI AVEWESNGQP ENNYKTTTFV 400  
 LSDSGSFFLY SKLTVDKSRW QQGNVFSCSV MHEALHNHYT QKSLSLSPG 449  
**E** indicates the non-natural amino acid *p*-acetylphenylalanine (pAF)

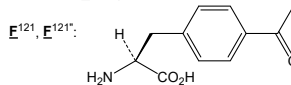
Light chain / Chaîne légère / Cadena ligera  
 DIQMTQSPSS LSASVGDRTV ITCRASQDVN TAVAWYQQPK GKAPKLLIYS 50  
 ASFLYSGVPS RFGSGRSGTD FTLTISLQEP EDFATYYCQQ HYTPPTFGQ 100  
 GTKVEIKRTV AAPSVFIFPP SDEQLKSGTA SVVCLLNIFY BREAKVQWKV 150  
 DNALQSGNSQ ESVTEQDSKD STYLSSTLT LSKADYEHKK VYACEVTHQG 200  
 LSSFVTKSFN RGEC 214

**Post-translational modifications**  
 Disulfide bridges location / Position des ponts disulfure / Posiciones de los puentes disulfuro  
 Intra-H (C23-C104) 22-96 147-203 264-324 370-428  
 22"-96" 147"-203" 264"-324" 370"-428"  
 Intra-L (C23-C104) 23"-88" 134"-194"  
 23"-88" 134"-194"  
 Inter-H-L (h 5-CL 126) 223-214" 223"-214"  
 Inter-H-H (h 11, h 14) 229-229" 232-232"

N-glycosylation sites / Sites de N-glycosylation / Posiciones de N-glicosilación  
 H CH2 N84.4:  
 300, 300"

Fucosylated complex bi-antennary CHO-type glycans / glycanes de type CHO bi-antennaires complexes fucosylés / glicanos de tipo CHO biantennarios complejos fucosilados.

Conjugation site / Site de conjugation / Posicion de conjugación  
**E**: *p*-acetylphenylalanine (pAF) used as conjugation specific site  
**E**: *p*-acetylphenylalanine (pAF) utilisé comme site spécifique de conjugaison  
**E**: *p*-acetilfenilalanina (pAF) utilizada como sitio específico de conjugación  
 H CH1 A1.4>**E**: 121, 121"



**anzurstobartum #**  
 anzurstobart

immunoglobulin G1-kappa, anti-[*Homo sapiens* SIRPA (signal regulatory protein alpha, SHPS1, protein tyrosine phosphatase non-receptor type substrate 1, PTPNS1, SIRP, SIRP alpha, CD172a)], *Homo sapiens* monoclonal antibody;  
 gamma1 heavy chain *Homo sapiens* (1-450) [VH (*Homo sapiens* IGHV1-18\*01 (95.9%) -(IGHD) - IGHJ2\*01 (94.1%), CDR-IMGT [8.8.13](26-33.51-58.97-109)) (1-120) -*Homo sapiens* IGHG1\*03v, G1m3>G1m17, nG1m1, G1v20 CH2 A105 (CH1 R120>K (217) (121-218), hinge 1-15 (219-233), CH2 K105>A (325) (234-343), CH3 E12 (359), M14 (361) (344-448), CHS (449-450)) (121-450)], (223-214')-disulfide with kappa light chain *Homo sapiens* (1'-214') [V-KAPPA (*Homo sapiens* IGKV1-12\*01 (96.8%) - IGKJ4\*01 (91.7%), CDR-IMGT [6.3.9] (27-32.50-52.89-97)) (1'-107') -*Homo sapiens* IGKC\*01 (100%), Km3, A45.1 (153), V101 (191) (108'-214')]; dimer (229-229":232-232")-bisdisulfide, produced in Chinese hamster ovary (CHO) cells, derived from the cell line CHO-K1, glycoform alfa  
*immunostimulant, antineoplastic*

anzurstobart

immunoglobuline G1-kappa, anti-[SIRPA (protéine alpha de regulation du signal, SHPS1, substrat 1 de protéine tyrosine phosphatase de type non-récepteur, PTPNS1, SIRP, SIRP alpha, CD172a)], anticorps monoclonal *Homo sapiens*;

chaîne lourde gamma1 *Homo sapiens* (1-450) [VH (*Homo sapiens* IGHV1-18\*01 (95.9%) -(IGHD) -IGHJ2\*01 (94.1%), CDR-IMGT [8.8.13] (26-33.51-58.97-109)) (1-120) -*Homo sapiens* IGHG1\*03v, G1m3>G1m17, nG1m1, G1v20 CH2 A105 (CH1 R120>K (217) (121-218), charnière 1-15 (219-233), CH2 K105>A (325) (234-343), CH3 E12 (359), M14 (361) (344-448), CHS (449-450)) (121-450)], (223-214')-disulfure avec la chaîne légère kappa *Homo sapiens* (1'-214') [V-KAPPA (*Homo sapiens* IGKV1-12\*01 (96.8%) -IGKJ4\*01 (91.7%), CDR-IMGT [6.3.9] (27-32.50-52.89-97)) (1'-107') -*Homo sapiens* IGKC\*01 (100%), Km3, A45.1 (153), V101 (191) (108'-214')]; dimère (229-229":232-232")-bisdisulfure, produit dans des cellules ovariennes de hamster chinois (CHO), dérivant de la lignée cellulaire CHO-K1, glycoforme alfa  
*immunostimulant, antinéoplasique*

anzurstobart

inmunoglobulina G1-kappa, anti-[SIRPA (proteína alfa de regulación del señal, SHPS1, sustrato 1 de proteína tirosina fosfatasa de tipo no receptor, PTPNS1, SIRP, SIRP alfa, CD172a)], anticuerpo monoclonal *Homo sapiens*;

cadena pesada gamma1 *Homo sapiens* (1-450) [VH (*Homo sapiens* IGHV1-18\*01 (95.9%) -(IGHD) -IGHJ2\*01 (94.1%), CDR-IMGT [8.8.13] (26-33.51-58.97-109)) (1-120) -*Homo sapiens* IGHG1\*03v, G1m3>G1m17, nG1m1, G1v20 CH2 A105 (CH1 R120>K (217) (121-218), bisagra 1-15 (219-233), CH2 K105>A (325) (234-343), CH3 E12 (359), M14 (361) (344-448), CHS (449-450)) (121-450)], (223-214')-disulfuro con la cadena ligera kappa *Homo sapiens* (1'-214') [V-KAPPA (*Homo sapiens* IGKV1-12\*01 (96.8%) -IGKJ4\*01 (91.7%), CDR-IMGT [6.3.9] (27-32.50-52.89-97)) (1'-107') -*Homo sapiens* IGKC\*01 (100%), Km3, A45.1 (153), V101 (191) (108'-214')]; dímero (229-229":232-232")-bisdisulfuro, producido en las células ováricas de hámster chino (CHO), línea celular derivada de CHO-K1, forma glicosilada alfa  
*immunoestimulante, antineoplásico*

2543693-10-1

## Heavy chain / Chaîne lourde / Cadena pesada

QVQLVQSGAE VKKPGASVKV SKRASGYTFR GYGISWVRQA PGQGLEWMGW 50  
ISAYGGETNY AQLQGRVMT TTDSTSTAY MELRLRSDD TAVYYCAREA 100  
GSSWYDFDLW GRGTLVTVSS ASTRGPSVFP LAPSSKSTSG GTAALGCLVK 150  
DYFPEPVTVS WNSGALTSVG HTFPAVLQSS GLYSLSSVVT VPSSSLGTQT 200  
YICNVNKKPS NTKVDKKEVP KSCDKTHTCP PCPAPELLGG PSVFLFPPPK 250  
KDTLMISRPT EVTCVVVDVS HEDPEVKFNW YVDGVEVHNA KTKPREEQYN 300  
STYRVSVLTV VLHQDWLNGK EYKCAVSNKA LPAPIEKTIS KAKGQPREPQ 350  
VYTLPPSREE MTKNQVSLTLC LVKGFYPSDI AVEWESNGQP ENNYKTTTPV 400  
LDSGDSFFLY SKLTVDKSRW QQGNVFCVSV MHEALHNHYT QKSLSLSPGK 450

## Light chain / Chaîne légère / Cadena ligera

DIQMTQSPSS VSASVGRVIT ITCRASGGIS SWLAWYQQKPK GKAPKLLIYA 50  
ASNLQSGVPS RFGSGSGTD FTLTISLQEP EDFATYYCQQ GASFPITFGG 100  
GTKVEIKRTV AAPSFIFFPP SDEQLKSGTA SVVCLLNIFY PREAKVQWVK 150  
DNALQSGNSQ ESVTEQDSKD STYLSLSTLT LSKADYKHKH VYACEVTHQG 200  
LSSPVTKSFN RGEC 214

## Post-translational modifications

Disulfide bridges location / Position des ponts disulfure / Posiciones de los puentes disulfuro

Intra-H (C23-C104) 22-96 147-203 264-324 370-428  
22"-96" 147"-203" 264"-324" 370"-428"

Intra-L (C23-C104) 23-88" 134"-194"  
23"-88" 134"-194"

Inter-H-L (h 5-CL 126) 223-214" 223"-214"

Inter-H-H (h 11, h 14) 229-229" 232-232"

N-terminal glutaminy cyclization / Cyclisation du glutaminyle N-terminal / Ciclación del glutaminilo N-terminal

Q > pyroglutamyl (pE, 5-oxopropyl) / pyroglutamyle (pE, 5-oxopropyle) / piroglutamilo (pE, 5-oxopropililo)  
H VH Q1: 1, 1"

N-glycosylation sites / Sites de N-glycosylation / Posiciones de N-glicosilación

H CH2 N84.4: 300, 300"

Fucosylated complex bi-antennary CHO-type glycans / glycanes de type CHO bi-antennaires complexés fucosylés / glicanos de tipo CHO biantenarijos complejos fucosilados.

C-terminal lysine clipping / Coupure de la lysine C-terminale / Recorte de lisina C-terminal

H CHS K2: 450, 450"

**apinocaltamidum**

apinocaltamide

*N*-{1-[(5-cyanopyridin-2-yl)methyl]-1*H*-pyrazol-3-yl)-2-{4-[1-(trifluoromethyl)cyclopropyl]phenyl}acetamide  
*voltage-dependent T-type calcium channel blocker, antiepileptic*

apinocaltamide

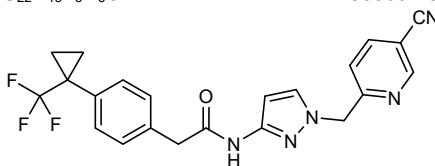
*N*-{1-[(5-cyanopyridin-2-yl)méthyl]-1*H*-pyrazol-3-yl)-2-{4-[1-(trifluorométhyl)cyclopropyl]phényl}acétamide  
*bloqueur des canaux calciques dépendants du voltage de type T, antiépileptique*

apinocaltamida

*N*-{1-[(5-cianopiridin-2-il)metil]-1*H*-pirazol-3-il)-2-{4-[1-(trifluorometil)ciclopropil]fenil}acetamida  
*bloqueante de los canales cálcicos dependientes del voltaje tipo T, antiépileptico*

C<sub>22</sub>H<sub>18</sub>F<sub>3</sub>N<sub>5</sub>O

1838651-58-3

**aroxybutyninum**

aroxybutynin

4-(diethylamino)but-2-yn-1-yl (*R*)-cyclohexyl(hydroxy)(phenyl)acetate  
*muscarinic receptor antagonist*

aroxybutynine

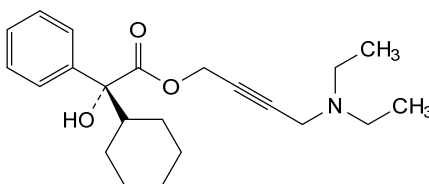
(*R*)-cyclohexyl(hydroxy)(phényl)acétate de 4-(diéthylamino)but-2-yn-1-yle  
*antagoniste du récepteur muscarinique*

aroxibutinina

(*R*)-ciclohexil(fenil)(hidroxi)acetato de 4-(dietilamino)but-2-in-1-ilo  
*antagonista del receptor muscarínico*

C<sub>22</sub>H<sub>31</sub>NO<sub>3</sub>

119618-21-2

**asnuciclibum**

asnuciclib

3-({5-fluoro-4-[4-methyl-2-(methylamino)-1,3-thiazol-5-yl]pyrimidin-2-yl}amino)benzene-1-sulfonamide  
*cyclin-dependent kinase inhibitor, antineoplastic*

asnuciclib

3-({5-fluoro-4-[4-méthyl-2-(méthylamino)-1,3-thiazol-5-yl]pyrimidin-2-yl}amino)benzène-1-sulfonamide  
*inhibiteur des kinases dépendantes des cyclines, antinéoplasique*

Proposed INN: List 127

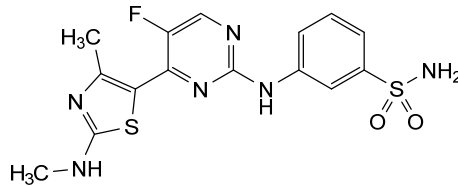
asnuclilib

WHO Drug Information, Vol. 36, No. 2, 2022

3-({5-fluoro-4-[4-metil-2-(metilamino)-1,3-tiazol-5-il]pirimidin-2-il]amino)bencono-1-sulfonamida  
*inhibidor de las kinasas dependientes de las ciclinas, antineoplásico*

C<sub>15</sub>H<sub>15</sub>FN<sub>6</sub>O<sub>2</sub>S<sub>2</sub>

1421693-22-2



atisnolerbartum #

atisnolerbart

immunoglobulin G4-kappa, anti-[Bet v 1 (*Betula alleghaniensis* (yellow birch) pollen allergen 1), *Homo sapiens* monoclonal antibody;  
gamma4 heavy chain *Homo sapiens* (1-447) [VH (*Homo sapiens*IGHV1-8\*03 (86.7%) -(IGHD) - IGHJ4\*01 (93.3%), CDR-IMGT [8.8.13] (26-33.51-58.97-109)) (1-120)-*Homo sapiens*IGHG4\*01, G4v5 h P10, nG4m(a) CH2 L92 (CH1 (121-218), hinge 1-12 S10>P (228) (219-230), CH2 L92 (309) (231-340), CH3 (341-445), CHS (446-447)) (121-447)], (134-215')-disulfide with kappa light chain *Homo sapiens* (1'-215') [V-KAPPA (*Homo sapiens*IGKV3-20\*01 (100%) -IGKJ1\*01 (100%), CDR-IMGT [7.3.9] (27-33.51-53.90-98)) (1'-108') -*Homo sapiens*IGKC\*01 (100%), Km3 A45.1 (154), V101 (192) (109'-215')]; dimer (226-226":229-229")-bisdisulfide, produced in Chinese hamster ovary (CHO) cells, glycoform alfa  
*antiallergic*

atisnolerbart

immunoglobuline G4-kappa, anti-[Bet v 1 (allergène 1 du pollen de *Betula alleghaniensis* (bouleau jaune)], anticorps monoclonal *Homo sapiens*;  
chaîne lourde gamma4 *Homo sapiens* (1-447) [VH (*Homo sapiens*IGHV1-8\*03 (86.7%) -(IGHD) - IGHJ4\*01 (93.3%), CDR-IMGT [8.8.13] (26-33.51-58.97-109)) (1-120)-*Homo sapiens*IGHG4\*01, G4v5 h P10, nG4m(a) CH2 L92 (CH1 (121-218), charnière 1-12 S10>P (228) (219-230), CH2 L92 (309) (231-340), CH3 (341-445), CHS (446-447)) (121-447)], (134-215')-disulfure avec la chaîne légère kappa *Homo sapiens* (1'-215') [V-KAPPA (*Homo sapiens*IGKV3-20\*01 (100%) -IGKJ1\*01 (100%), CDR-IMGT [7.3.9] (27-33.51-53.90-98)) (1'-108') -*Homo sapiens*IGKC\*01 (100%), Km3 A45.1 (154), V101 (192) (109'-215')]; dimère (226-226":229-229")-bisdisulfure, produit dans des cellules ovariennes de hamster chinois (CHO), glycoforme alfa  
*antiallergique*

atisnolerbart

inmunoglobulina G4-kappa, anti-[Bet v 1 (alérgeno 1 del polen de *Betula alleghaniensis* (abedul amarillo)), anticuerpo monoclonal *Homo sapiens*; cadena pesada gamma4 *Homo sapiens* (1-447) [VH (*Homo sapiens* IGHV1-8\*03 (86.7%) -(IGHD) - IGHJ4\*01 (93.3%), CDR-IMGT [8.8.13] (26-33.51-58.97-109)) (1-120)-*Homo sapiens* IGHG4\*01, G4v5 h P10, nG4m(a) CH2 L92 (CH1 (121-218), bisagra 1-12 S10>P (228) (219-230), CH2 L92 (309) (231-340), CH3 (341-445), CHS (446-447)) (121-447)], (134-215')-disulfuro con la cadena ligera kappa *Homo sapiens* (1'-215') [V-KAPPA (*Homo sapiens* IGKV3-20\*01 (100%) -IGKJ1\*01 (100%), CDR-IMGT [7.3.9] (27-33.51-53.90-98)) (1'-108') -*Homo sapiens* IGKC\*01 (100%), Km3 A45.1 (154), V101 (192) (109'-215')]; dímero (226-226"-229-229")-bisdisulfuro, producido en las células ováricas de hámster chino (CHO), forma glicosilada alfa  
*antialérgico*

2456308-79-3

## Heavy chain / Chaîne lourde / Cadena pesada

QVQLVQSGAE VKKPGASVKV SCKASGYTFI SYNIFWVRQA TQQLDWMGW 50  
MNPFFRNAGY AQRKFGQGRVTV TWDTSISTAY MELSSLSSED TAIYYCAREH 100  
GSSWGFFDYW GQGTLVTVSS ASTKGPSVFP LAPCSRSTSE STAALGCLVK 150  
DYFFPEPVTVS WNSGALTSGV HTPFAVLQSS GLYSLSSVVT VPSSSLGTRK 200  
YTCNVDHKPS NTKVDKRVES KYGPPCPFCP APEFLGGPSV FLFPPKPKDT 250  
LMISRTPEVT CVVVDVQED PEVQFNWYVD GVEVHNAKTK PREEQFNSTY 300  
RVVSVLTVLH QDWLNGKEYK CKVSNKGLPS SIEKTIKAK GQPREPQVYT 350  
LPPSQEEMTK NQVSLTCLVK GFYPSDIAVE WESNGQPENN YKTTPEVLDS 400  
DGSFFLYSRL TVDKSRWQEG NWFSCVMHE ALHNHYTQKS LLSLGLK 447

## Light chain / Chaîne légère / Cadena ligera

EIVLTQSPGT LSLSPGERAT LSCRASQSVS SSYLAWYQQK PGQAPRLLIY 50  
GASSRATGIP DRFSGSGSGT DFTLTISRLE PEDFAVYCYQ YGSSSPWTFG 100  
QGTKVEIKRT VAAPSFIFF PSDEQLKSGT ASVCLLNFF YPREAKVQWK 150  
VDNALQSGNS QESVTEQDSK DSTYLSSTL TSKADYEEK KVAACEVTHQ 200  
GLSSPVTKSF NRGEK 215

## Post-translational modifications

Disulfide bridges location / Position des ponts disulfure / Posiciones de los puentes disulfuro

Intra-H (C23-C104) 22-96 147-203 261-321 367-425  
22"-96" 147"-203" 261"-321" 367"-425"

Intra-L (C23-C104) 23'-89' 135'-195'  
23"'-89"" 135""-195""

Inter-H-L (CHI 10-CL 126) 134-215' 134"-215"

Inter-H-H (h 8, h 11) 226-226" 229-229"

N-terminal glutaminyl cyclization / Cyclisation du glutaminyle N-terminal / Ciclación del glutamilo N-terminal

Q > pyroglutamyl (pE, 5-oxoprolyl) / pyroglutamyle (pE, 5-oxoprolyle) / piroglutamilo (pE, 5-oxoprolilo)  
H VH Q1: 1, 1"

N-glycosylation sites / Sites de N-glycosylation / Posiciones de N-glicosilación

H CH2 N84.4: 297, 297"

Fucosylated complex bi-antennary CHO-type glycans / glycanes de type CHO bi-antennaires complexes fucosylés / glicanos de tipo CHO biantenarios complejos fucosilados.

C-terminal lysine clipping / Coupure de la lysine C-terminale / Recorte de lisina C-terminal

H CHS K2: 447, 447"

**azenosertibum**  
azenosertib

1-[(7*R*)-7-ethyl-7-hydroxy-6,7-dihydro-5*H*-cyclopenta[*b*]pyridin-2-yl]-6-[4-(4-methylpiperazin-1-yl)anilino]-2-(prop-2-en-1-yl)-1,2-dihydro-3*H*-pyrazolo[3,4-*d*]pyrimidin-3-one  
*serine/ threonine kinase inhibitor, antineoplastic*

azénosertib

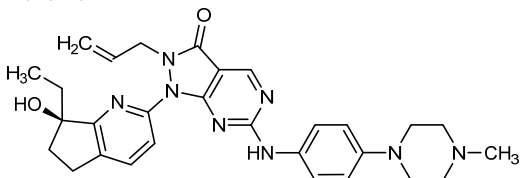
1-[(7*R*)-7-éthyl-7-hydroxy-6,7-dihydro-5*H*-cyclopenta[*b*]pyridin-2-yl]-6-[4-(4-méthylpipérazin-1-yl)anilino]-2-(prop-2-én-1-yl)-1,2-dihydro-3*H*-pyrazolo[3,4-*d*]pyrimidin-3-one  
*inhibiteur de sérine/ thréonine kinase, antinéoplasique*

azenosertib

1-[(7*R*)-7-etil-7-hidroxi-6,7-dihidro-5*H*-ciclopenta[*b*]piridin-2-il]-6-[4-(4-metilpipérazin-1-il)anilino]-2-(prop-2-en-1-il)-1,2-dihidro-3*H*-pirazolo[3,4-*d*]pirimidin-3-ona  
*inhibidor de serina/ treonina kinasa, antineoplásico*

C<sub>29</sub>H<sub>34</sub>N<sub>8</sub>O<sub>2</sub>

2376146-48-2

**basoparibum**

basoparib

5-{4-[2,6-difluoro-4-(2-methoxyethoxy)phenyl]piperazin-1-yl}-3-méthyl-3,6-dihydro-7*H*-[1,2,3]triazolo[4,5-*d*]pyrimidin-7-one  
*poly (ADP-ribose) polymerase (PARP) inhibitor, antineoplastic*

basoparib

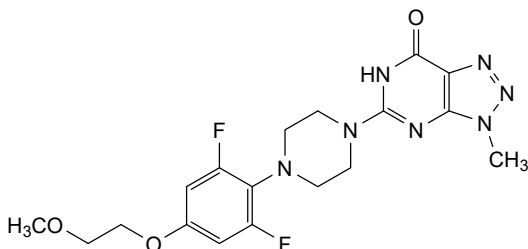
5-{4-[2,6-difluoro-4-(2-méthoxyéthoxy)phényl]pipérazin-1-yl}-3-méthyl-3,6-dihydro-7*H*-[1,2,3]triazolo[4,5-*d*]pyrimidin-7-one  
*inhibiteur de poly-ADP-ribose polymérase (PARP), antinéoplasique*

basoparib

5-{4-[2,6-difluoro-4-(2-metoxietoxi)fenil]piperazin-1-il}-3-metil-3,6-dihidro-7*H*-[1,2,3]triazolo[4,5-*d*]pirimidin-7-ona  
*inhibidor de poli-ADP-ribosa polimerasa (PARP), antineoplásico*

C<sub>18</sub>H<sub>21</sub>F<sub>2</sub>N<sub>7</sub>O<sub>3</sub>

1858179-75-5

**batoprotafibum**

batoprotafib

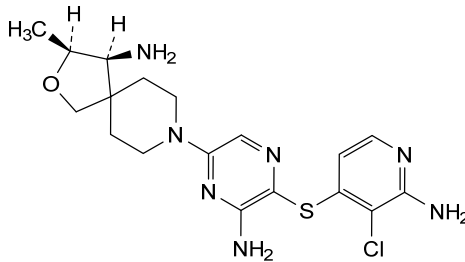
(3*S*,4*S*)-8-{6-amino-5-[(2-amino-3-chloropyridin-4-yl)sulfanyl]pyrazin-2-yl}-3-méthyl-2-oxa-8-azaspiro[4.5]decan-4-amine  
*protein tyrosine phosphatase (HPTP) inhibitor, antineoplastic*

batoprotafib (3*S*,4*S*)-8-{6-amino-5-[(2-amino-3-chloropyridin-4-yl)sulfanyl]pyrazin-2-yl}-3-méthyl-2-oxa-8-azaspiro[4.5]décan-4-amine  
*inhibiteur de la protéine tyrosine phosphatase (HPTP), antinéoplasique*

batoprotafib (3*S*,4*S*)-8-{6-amino-5-[(2-amino-3-cloropiridin-4-il)sulfanil]pirazin-2-il}-3-metil-2-oxa-8-azaspiro[4.5]decan-4-amina  
*inhibidor de la proteína tirosina fosfatasa (HPTP), antineoplásico*

C<sub>18</sub>H<sub>24</sub>ClN<sub>7</sub>OS

1801765-04-7



**becotatugum #**  
becotatug

immunoglobulin G1-kappa, anti-[*Homo sapiens* EGFR (epidermal growth factor receptor, receptor tyrosine-protein kinase erbB-1, ERBB1, HER1, HER-1, ERBB)], humanized monoclonal antibody;  
gamma1 heavy chain humanized (1-449) [VH (*Homo sapiens* IGHV4-4\*08 (79.4%) -(IGHD) -IGHJ4\*01 (92.9%), CDR-IMGT [8.7.13] (26-33.51-57.96-108)) (1-119) -*Homo sapiens* IGHG1\*03, G1m3, nG1m1 (CH1 R120 (216) (120-217), hinge 1-15 (218-232), CH2 (233-342), CH3 E12 (358), M14 (360) (343-447), CHS (448-449)) (120-449)], (222-214')-disulfide with kappa light chain humanized (1'-214') [V-KAPPA (*Homo sapiens* IGKV6-21\*02 (89.5%) -IGKJ2\*03 (100%), CDR-IMGT [6.3.9] (27-32.50-52.89-97))(1'-107') -*Homo sapiens* IGKC\*01 (100%), Km3 A45.1 (153), V101 (191) (108'-214')]; dimer (228-228": 231-231")-bisdisulfide, produced in Chinese hamster ovary (CHO) cells, cell line CHO-S, glycoform alfa  
*antineoplastique*

bécotatug

immunoglobuline G1-kappa, anti-[*Homo sapiens* EGFR (récepteur du facteur de croissance épidermique, récepteur tyrosine-protéine kinase erbB1, ERBB1, HER1, HER-1, ERBB)], anticorps monoclonal humanisé;  
chaîne lourde gamma1 humanisée (1-449) [VH (*Homo sapiens* IGHV4-4\*08 (79.4%) -(IGHD) - IGHJ4\*01 (92.9%), CDR-IMGT [8.7.13] (26-33.51-57.96-108)) (1-119) -*Homo sapiens* IGHG1\*03, G1m3, nG1m1 (CH1 R120 (216) (120-217), charnière 1-15 (218-232), CH2 (233-342), CH3 E12 (358), M14 (360) (343-447), CHS (448-449)) (120-449)], (222-214')-disulfure avec la

becotatug

chaîne légère kappa humanisée(1'-214') [V-KAPPA (*Homo sapiens* IGKV6-21\*02 (89.5%) -IGKJ2\*03 (100%), CDR-IMGT [6.3.9] (27-32.50-52.89-97)) (1'-107') -*Homo sapiens* IGKC\*01 (100%), Km3 A45.1 (153), V101 (191) (108'-214')]; dimère (228-228": 231-231")-bisdisulfure, produit dans des cellules ovariennes de hamster chinois (CHO), lignée cellulaire CHO-S, glycoforme alfa  
*antineoplasique*

immunoglobulina G1-kappa, anti-[*Homo sapiens* EGFR (receptor del factor de crecimiento epidérmico, receptor tirosina-proteína kinasa erbB1, ERBB1, HER1, HER-1, ERBB)], anticuerpo monoclonal humanizado;

cadena pesada gamma1 humanizada (1-449) [VH (*Homo sapiens* IGHV4-4\*08 (79.4%) -(IGHD) -IGHJ4\*01 (92.9%), CDR-IMGT [8.7.13] (26-33.51-57.96-108)) (1-119) -*Homo sapiens* IGHG1\*03, G1m3, nG1m1 (CH1 R120 (216) (120-217), bisagra 1-15 (218-232), CH2 (233-342), CH3 E12 (358), M14 (360) (343-447), CHS (448-449)) (120-449)], (222-214')-disulfuro con la cadena ligera kappa humanizada (1'-214') [V-KAPPA (*Homo sapiens* IGKV6-21\*02 (89.5%) -IGKJ2\*03 (100%), CDR-IMGT [6.3.9] (27-32.50-52.89-97)) (1'-107') -*Homo sapiens* IGKC\*01 (100%), Km3 A45.1 (153), V101 (191) (108'-214')]; dímero (228-228": 231-231")-bisdisulfuro, producido en las células ováricas de hámster chino (CHO), línea celular CHO-S, forma glicosilada alfa  
*antineoplásico*

2648260-93-7

## Heavy chain / Chaîne lourde / Cadena pesada

QVQLQESGGP LVPKSETLSL TCTVSGFSLN NYDVHVVROA PGKGLEWLVG 50  
 IWSGNTDYN TPFSTRLTIS VDTSKNQFSL KLSVTAADT AVYYCARALD 100  
 YYDYEFAYWG QGTLVTVSSA STKGPSVFLP APSKSTSGG TAAIGCLVKD 150  
 YFPEPVTVSW NSGALTSGVH TTPAVLQSSG LYSLSVTVV PSSSLGTQTY 200  
 ICNVNHKPSN TKVDKRVPEK SCDKHTCCPE CPEALLGPG SVFLFPPKPK 250  
 DTLMISTRPE VTCVVDVDSH EDPEVKFNMY VDGVEVHNAK TKPREQYNS 300  
 TYRVSVLTV LHQDNLNGKE YKCKVSNKAL PAPIEKTISK AKGQPREPQV 350  
 YTLPPSREEM TKNQVSLTCL VKGFYPSDIA VEWESNGQPE NNYKTTPEVL 400  
 DSDGSEFLYS KLTVDKSRWQ QGVNFSQVSM HEALHNHYTQ KSLSLSPGK 449

## Light chain / Chaîne légère / Cadena ligera

EIVLTQSPDF QSVTPKEKVT ITCRASQSIG TNIHVYQQPK DQSPKLLIKY 50  
 ASESISGIPS RFSGSGSGTD FTLTINSLEA EDAATYYCQQ NNEWPTSPGQ 100  
 GTKLEIKRTV AAPSVFIFPP SDEQLKSGTA SVVCLLNIFY PREAKVQWKV 150  
 DNALQSGNSQ ESVTEQDSKD STYLSLSTL LSKADYEHKK VYACEVTHQG 200  
 LSSPVTKSFN RGEK 214

## Post-translational modifications

Disulfide bridges location / Position des ponts disulfure / Posiciones de los puentes disulfuro

Intra-H (C23-C104) 22-95 146-202 263-323 369-427  
 22"-95" 146"-202" 263"-323" 369"-427"

Intra-L (C23-C104) 23"-88" 134"-194"  
 23"-88" 134"-194"

Inter-H-L (h 5-CL 126) 222-214" 222"-214"

Inter-H-H (h 11, h 14) 228-228" 231-231"

N-terminal glutaminyl cyclization / Cyclisation du glutaminyle N-terminal / Ciclación del glutaminilo N-terminal

Q > pyroglutamyl (pE, 5-oxoprolyl) / pyroglutamyle (pE, 5-oxoprotylc) / piroglutamilo (pE, 5-oxoprolilo)

H VH Q1: 1, 1"

N-glycosylation sites / Sites de N-glycosylation / Posiciones de N-glicosilación

H CH2 N84.4: 299, 299"

Fucosylated complex bi-antennary CHO-type glycans / glycanes de type CHO bi-antennaires complexes fucosylés / glicanos de tipo CHO biantenaricos complejos fucosilados.

C-terminal lysine clipping / Coupure de la lysine C-terminale / Recorte de lisina C-terminal

H CHS K2: 449, 449"

**belrestotugum #**

belrestotug

immunoglobulin G1-kappa, anti-[*Homo sapiens* TIGIT (T-cell immunoreceptor with Ig domain and ITIM, V-set Ig member 9, VSIG9, V-set and transmembrane member 3, VSTM3)], *Homo sapiens* monoclonal antibody;

gamma1 heavy chain *Homo sapiens* (1-451) [VH (*Homo sapiens* IGHV1-46\*01 (95.9%) -(IGHD) -IGHJ1\*01 (90.9%), CDR-IMGT [8.8.14] (26-33.51-58.97-110)) (1-121) -*Homo sapiens* IGHG1\*01, G1m17,1 (CH1 K120 (218) (122-219), hinge 1-15 (220-234), CH2 (235-344), CH3 D12 (360), L14 (362) (345-449), CHS (450-451)) (122-451)], (224-215')-disulfide with kappa light chain *Homo sapiens* (1'-215') [V-KAPPA (*Homo sapiens* IGKV3-20\*01 (96.9%) -IGKJ4\*01 (100%), CDR-IMGT [7.3.9] (27-33.51-53.90-98)) (1'-108') - *Homo sapiens* IGKC\*01 (100%), Km3, A45.1 (154), V101 (192) (109'-215')]; dimer (230-230":233-233")-bisdisulfide, produced in Chinese hamster ovary (CHO) cells, cell line CHO-K1, glycoform alfa

*immunostimulant, antineoplastic*

belrestotug

immunoglobuline G1-kappa, anti-[*Homo sapiens* TIGIT (immunorécepteur des lymphocytes T avec domaine Ig et ITIM, membre 9 de l'Ig V-set, VSIG9, membre 3 de l'Ig V-set et région transmembranaire, VSTM3)], anticorps monoclonal *Homo sapiens*;

chaîne lourde gamma1 *Homo sapiens* (1-451) [VH (*Homo sapiens* IGHV1-46\*01 ((95.9%) -(IGHD) -IGHJ1\*01 (90.9%), CDR-IMGT [8.8.14] (26-33.51-58.97-110)) (1-121) -*Homo sapiens* IGHG1\*01, G1m17,1 (CH1 K120 (218) (122-219), charnière 1-15 (220-234), CH2 (235-344), CH3 D12 (360), L14 (362) (345-449), CHS (450-451)) (122-451)], (224-215')-disulfure avec la chaîne légère kappa *Homo sapiens* (1'-215') [V-KAPPA (*Homo sapiens* IGKV3-20\*01 (96.9%) -IGKJ4\*01 (100%), CDR-IMGT[7.3.9] (27-33.51-53.90-98)) (1'-108') - *Homo sapiens* IGKC\*01 (100%), Km3, A45.1 (154), V101 (192) (109'-215')]; dimère (230-230":233-233")-bisdisulfure, produit dans des cellules ovariennes de hamster chinois (CHO), lignée cellulaire CHO-K1, glycoforme alfa

*immunostimulant, antinéoplasique*

belrestotug

immunoglobulina G1-kappa, anti-[*Homo sapiens* TIGIT (immunoreceptor de los linfocitos T con dominio Ig e ITIM, miembro 9 de la Ig V-set, VSIG9, miembro 3 de la Ig V-set y región transmembranaria, VSTM3)], anticuerpo monoclonal *Homo sapiens*;

cadena pesada gamma1 *Homo sapiens* (1-451) [VH (*Homo sapiens* IGHV1-46\*01 ((95.9%) -(IGHD) -IGHJ1\*01 (90.9%), CDR-IMGT [8.8.14] (26-33.51-58.97-110)) (1-121) -*Homo sapiens* IGHG1\*01, G1m17,1 (CH1 K120 (218) (122-219), bisagra 1-15 (220-234), CH2 (235-344), CH3 D12 (360), L14 (362) (345-449), CHS (450-451)) (122-451)], (224-215')-disulfuro con la cadena ligera kappa *Homo sapiens* (1'-215') [V-KAPPA (*Homo sapiens* IGKV3-20\*01 (96.9%) -IGKJ4\*01 (100%), CDR-IMGT [7.3.9] (27-33.51-53.90-98))(1'-108') - *Homo sapiens* IGKC\*01(100%), Km3, A45.1 (154), V101 (192) (109'-215')]; dímero (230-230":233-233")-bisdisulfuro, producido en las células ováricas de hámster chino (CHO), línea celular CHO-K1, forma glicosilada alfa

*inmunostimulante, antineoplásico*

2574438-65-4

Heavy chain / Chaîne lourde / Cadena pesada  
 QVQLVQSGAE VKKPGASVKV SCKASGYFT SYMHVWRQA PGQGLEWMGV 50  
 IGPFGASTSY AQRKQGRVTL TRDTSTSTVY MELSSLRSED TAVYYCARDH 100  
 SDYKSGIMEV WGGQTTVTVS SASTKGPSVF PLAPSSKSTS GGTAAALGCLV 150  
 KDYFPEPVTV SNNSGALTSG VHTFPVLAQS SGLYSLSSVY TFPSSSLGTQ 200  
 TYICNVNHPK SNTKVDKKEE PKSCDKTHTC PPCPAPELLG GPSVFLFPPK 250  
 FKDTLMSIRT FEVTCVVVDV SHEDPEVKFN WYVDGVEVHN AKTKPREEQY 300  
 NSTYRVVSVL TVLHQDWLNG KEYKCKVSNK ALPAPFIEKTI SKAKGQPREP 350  
 QVYTLFPPSRD ELTKNQVSLT CLVKGFYPSD IAVEWESNGQ FENNYKTFPP 400  
 VLDSGDSFLL YSKLTVDKSR WQGGVVFSCS VMHEALHNHY TQKSLSLSPG 450  
 K 451

Light chain / Chaîne légère / Cadena ligera  
 EIVLTQSPGT LSLSPGERAT LSCRASQSVR SSYLAWYQQK PGQAPRLLIY 50  
 GASSRATGIP DRFSGSGSGT DFTLTISRLE PEDFAVYYCQ QYFSPPTFFG 100  
 GGTKVEIKRT VAAPSVFIFP PSDEQLKSGT ASVVCLLNLF YPREAKVQWK 150  
 VDNALQSGNS QESVTEQDSK DSTYLSSTLT TSKADYKEH KVVACEVTHQ 200  
 GLSSPVTKSF NRGEC 215

**Post-translational modifications**

Disulfide bridges location / Position des ponts disulfure / Posiciones de los puentes disulfuro

Intra-H (C23-C104) 22-96 148-204 265-325 371-429  
 22"-96" 148"-204" 265"-325" 371"-429"

Intra-L (C23-C104) 23'-89' 135'-195'  
 23"-89'" 135"-195'"

Inter-H-L (h 5-CL 126) 224-215' 224"-215"

Inter-H-H (h 11, h 14) 230-230" 233-233"

N-terminal glutaminyl cyclization / Cyclisation du glutaminyle N-terminal / Ciclación del glutaminilo N-terminal

Q > pyroglutamyl (pE, 5-oxoprolyl) / pyroglutamyle (pE, 5-oxoprolyle) / piroglutamilo (pE, 5-oxoprolylo)  
 H VH Q1: 1, 1"

N-glycosylation sites / Sites de N-glycosylation / Posiciones de N-glicosilación

H CH2 N84.4: 301, 301"

Fucosylated complex bi-antennary CHO-type glycans / glycanes de type CHO bi-antennaires complexes fucosylés / glicanos de tipo CHO biantennarios complejos fucosilados.

C-terminal lysine clipping / Coupure de la lysine C-terminale / Recorte de lisina C-terminal

H CHS K2: 451, 451"

**bemdaneprocelum**  
 bemdaneprocel

allogenic dopaminergic neural progenitor cells derived from the WA09 human embryonic stem cell (hESC) working cell bank (WCB). The cells are expanded and differentiated on plates coated with a basement membrane extract. Cells are initially grown in a xeno-free and feeder-free medium supplemented with a Rho-associated protein kinase (ROCK) inhibitor. The cells are then replated into polyornithine, laminin, and fibronectin coated flasks to undergo multiple maturation/differentiation steps in neurobasal media containing: bone morphogenetic protein (BMP) inhibitor, anaplastic lymphoma kinase (ALK) inhibitor, sonic hedgehog, glycogen synthase kinase (GSK) 3 inhibitor, brain-derived neurotrophic factor (BDNF), glial cell line-derived neurotrophic factor (GDNF), cAMP, transforming growth factor beta-3 (TGFB3), and a  $\gamma$ -secretase inhibitor. The major cell population consists of midbrain dopamine neuron progenitor cells indicated by the dopamine neuron precursor marker forkhead box protein A2 (FOXA2, >85%), the midbrain dopamine cell markers LIM homeobox transcription factor 1-alpha (LMX1A; <20.95 quantification cycle (Cq)) and pituitary homeobox 3 (PITX3; <28.23 Cq) and the dopaminergic cell marker tyrosine hydroxylase (TH; <24.70 Cq). The final substance also contains a minor cell population of forebrain cells (paired box protein (PAX6); <5%), but no detectable pluripotent stem cells indicated by the absence of the homeobox protein NANOG (<0.2%) and low levels of the octamer-binding transcription factor 4 (OCT4; >26.95 Cq).  
*cell therapy (Parkinson's disease)*

bemdanéprocel      cellules progénitrices neurales dopaminergiques allogéniques provenant des cellules souches embryonnaires humaines WA09 (hESC) de la banque cellulaire de travail (WCB). Les cellules sont développées et différenciées sur des plaques recouvertes d'un extrait de membrane basale. Les cellules sont initialement cultivées dans un milieu non-xéno et non-nourricier, complété par un inhibiteur de la protéine kinase associée à Rho (ROCK). Les cellules sont ensuite remises en culture dans des flacons recouverts de polyornithine, de laminine et de fibronectine et subissent de nombreuses étapes de maturation/différenciation dans un milieu neurobasal contenant: un inhibiteur de la protéine osseuse morphogénétique (BMP), un inhibiteur de la kinase du lymphome anaplasique (ALK), sonic hedgehog, un inhibiteur de la glycogène synthase kinase 3 (GSK) 3, le facteur neurotrophique dérivé du cerveau (BDNF), le facteur neurotrophique dérivé de la glie (GDNF), l'AMPc, le facteur de croissance transformant bêta-3 (TGFB3) et un inhibiteur de la  $\gamma$ -sécrétase. La population cellulaire principale consiste en des cellules progénitrices de neurones dopaminergiques du mésencéphale indiquées par la présence de la protéine de la boîte à tête de fourche (forkhead box protein) A2 (FOXA2, >85%) marquant les précurseurs des neurones dopaminergiques, le facteur de transcription 1-alpha des boîtes homéotiques LIM (LMX1A; <20,95 cycle de quantification (Cq)) et la boîte homéotique 3 pituitaire (PITX3; <28,23 Cq) marquant les cellules dopaminergiques du mésencéphale et la tyrosine hydroxylase (TH; <24,70 Cq) marquant les cellules dopaminergiques. La substance finale contient également une population mineure de cellules du prosencéphale (protéine de la boîte à paires (paired box protein)(PAX6; <5%), mais aucune cellule souche pluripotente n'est détectable comme l'indique l'absence de la boîte homéotique NANOG (<0,2%) et les faibles taux du facteur de transcription 4 se liant à l'octamère (OCT4; >26,95 Cq).  
*thérapie cellulaire (maladie de Parkinson)*

bemdaneprocel      células progenitoras neuronales dopaminérgicas alogénicas derivadas del banco de células de trabajo (WCB) WA09 de células madre embrionarias humanas (hESC). Las células se expanden y diferencian en placas forradas con un extracto de membrana basal. Las células se crecen inicialmente en un medio sin alimentadoras ni componentes xenogénicos (xeno-free y feeder-free) suplementado con un inhibidor de la proteína quinasa asociada a Rho (ROCK). Las células se re siembran en frascos forrados de poliornitina, laminina y fibronectina para someterse a múltiples pasos de maduración/diferenciación en medios neurobasales que contienen inhibidor de la proteína morfogenética (NMP), inhibidor de la quinasa del linfoma anaplásico (ALK), sonic hedgehog, inhibidor de la glucógeno quinasa sintasa (GSK) 3, factor neurotrófico derivado de cerebro (BDNF), factor neurotrófico derivado de una línea celular de glia (GDNF), cAMP, factor de crecimiento transformante beta-3 (TGFB3) y un inhibidor de  $\gamma$ -secretasa. La población celular principal consiste en células progenitoras de neuronas de dopamina del cerebro medio indicadas por el marcador de precursores de neuronas de dopamina proteína FOXA2 (FOXA2, >85%), los marcadores de células de dopamina del cerebro medio factor de transcripción homeobox LIM 1-alfa (LMX1A; <20.95 ciclo de cuantificación (Cq)) y homeobox de pituitaria 3 (PITX3; <28.23 Cq) y el marcador de células dopaminérgicas tirosina hidroxilasa (TH; <24.70 Cq). La substancia final también contiene una población menor de células del cerebro anterior proteína de caja apareada (PAX6; <5%), pero no células madre pluripotentes detectables por la ausencia de homeobox NANOG (<0.2%) y bajos niveles de factor de transcripción de unión al octámero 4 (OCT4; >26.95 Cq).  
*terapia celular (enfermedad de Parkinson)*

**bempikibartum #**

bempikibart

immunoglobulin G1-kappa, anti-[*Homo sapiens* IL7R (interleukin 7 receptor, IL7RA, CD127)], *Homo sapiens* monoclonal antibody;  
 gamma1 heavy chain *Homo sapiens* (1-450) [VH (*Homo sapiens* IGHV3-9\*01 (96%) -(IGHD) -IGHJ1\*01 (90.9%), CDR-IMGT [8.8.14] (26-33.51-58.97-110)) (1-121) -*Homo sapiens* IGHG1\*03, G1m3, nG1m1, G1v43 CH2 A1.3, E1.2, A1 (CH1 R120 (218) (122-219), hinge 1-15 (220-234), CH2 L1.3>A (238), L1.2>E (239), G1>A (241) (235-344), CH3 E12 (360), M14 (362) (345-449), CHS K2>del (450)) (122-450)], (224-216')-disulfide with kappa light chain *Homo sapiens* (1'-216') [V-KAPPA (*Homo sapiens* IGKV1-13\*02 (100%) -IGKJ5\*01 (100%), CDR-IMGT [6.3.11] (27-32.50-52.89-99)) (1'-109') - *Homo sapiens* IGKC\*01 (100%), Km3, A45.1 (155), V101 (193) (110'-216')]; dimer(230-230":233-233")-bisdisulfide, produced in Chinese hamster ovary (CHO) cells, derived from the cell line CHO-K1, glycoform alfa  
*anti-inflammatory*

bempikibart

immunoglobuline G1-kappa, anti-[*Homo sapiens* IL7R (récepteur de l'interleukine 7, CD127, IL7RA)], anticorps monoclonal *Homo sapiens*;  
 chaîne lourde gamma1 *Homo sapiens* (1-450) [VH (*Homo sapiens* IGHV3-9\*01 (96%) -(IGHD) -IGHJ1\*01 (90.9%), CDR-IMGT [8.8.14] (26-33.51-58.97-110)) (1-121) -*Homo sapiens* IGHG1\*03, G1m3, nG1m1, G1v43 CH2 A1.3, E1.2, A1 (CH1 R120 (218) (122-219), charnière 1-15 (220-234), CH2 L1.3>A (238), L1.2>E (239), G1>A (241) (235-344), CH3 E12 (360), M14 (362) (345-449), CHS K2>del (450)) (122-450)], (224-216')-disulfure avec la chaîne légère kappa *Homo sapiens* (1'-216') [V-KAPPA (*Homo sapiens* IGKV1-13\*02 (100%) -IGKJ5\*01 (100%), CDR-IMGT [6.3.11] (27-32.50-52.89-99)) (1'-109') -*Homo sapiens* IGKC\*01 (100%), Km3,A45.1 (155), V101 (193) (110'-216')]; dimère (230-230":233-233")-bisdisulfure, produit dans des cellules ovariennes de hamster chinois (CHO), dérivant de la lignée cellulaire CHO-K1, glycoforme alfa  
*anti-inflammatoire*

bempikibart

immunoglobulina G1-kappa, anti-[*Homo sapiens* IL7R (receptor de la interleukina 7, CD127, IL7RA)], anticuerpo monoclonal *Homo sapiens*;  
 cadena pesada gamma1 *Homo sapiens* (1-450) [VH (*Homo sapiens* IGHV3-9\*01 (96%) -(IGHD) -IGHJ1\*01 (90.9%), CDR-IMGT [8.8.14] (26-33.51-58.97-110)) (1-121) -*Homo sapiens* IGHG1\*03, G1m3, nG1m1, G1v43 CH2 A1.3, E1.2, A1 (CH1 R120 (218) (122-219), bisagra 1-15 (220-234), CH2 L1.3>A (238), L1.2>E (239), G1>A (241) (235-344), CH3 E12 (360), M14 (362) (345-449), CHS K2>del (450)) (122-450)], (224-216')-disulfuro con la cadena ligera kappa *Homo sapiens* (1'-216') [V-KAPPA (*Homo sapiens* IGKV1-13\*02 (100%) -IGKJ5\*01 (100%), CDR-IMGT [6.3.11] (27-32.50-52.89-99)) (1'-109') -*Homo sapiens* IGKC\*01 (100%), Km3, A45.1 (155), V101 (193) (110'-216')]; dímero (230-230":233-233")-bisdisulfuro, producido en las células ováricas de hámster chino (CHO), línea celular derivada de CHO-K1, forma glicosilada alfa  
*antiinflamatorio*

2622254-57-1

**Heavy chain / Chaîne lourde / Cadena pesada**  
 EVQLVESGGG LVQPGKSLRL SCAASGTFD DHAMHWVQA PGKGLWVSG 50  
 ISWNSRGIGY ADSVGRGFTI FRDNAKNSLY LQMNSLRAED TALLYCAKDE 100  
 YSRGYVLDV WGGQTTVTIS SASTKGFVSF PLAPSSKSTS GGTAALGCLV 150  
 KDYFPEPVTV SWNSGALTSG VHTFPAVLQS SGLYSLSSVY TVPSSSLGTQ 200  
 TYICNVNHPK SNTKVDKRVK PKSCDKHTC PPCPAPEAEG APSVFLFPFK 250  
 PKDTLMISRT PEVTCVVVDV SHEDPEVKFN WYVDGVEVHN AKTKPREPQY 300  
 NSTYRVVSVL TVLHQDWLNG KEYKCKVSNK ALPAPIEKTI SKAKGQPREP 350  
 QVYTLPPSRE EMTKNQVSLT CLVKGFIYFS IAVEWESNGQ PENNYKTTFP 400  
 VLDSGGSFFL YSKLTVDKSR WQQGNVFSCS VMHEALHNNY TQKLSLSLFG 450

**Light chain / Chaîne légère / Cadena ligera**  
 AIQLTQSPSS LSASVGRDRT ITCRASQGIS SALAWYQQKP GKAPKLLIYD 50  
 ASSLESVPSF RFGSGSGGTD FTLTISSIQP EDFATYYCQK FNSYPLMITF 100  
 QGGTRLEIKR TVAAPSVFIF PPSDEQLKSG TASVVCLLNN FYFREAKVQW 150  
 KVDNALQSGN SQESVTEQDS KDSYISLST LTLISKADYEK HKVYACEVTH 200  
 QGLSSPVTKS ENRGEK 216

**Post-translational modifications**  
 Disulfide bridges location / Position des ponts disulfure / Posiciones de los puentes disulfuro  
 Intra-H (C23-C104) 22-96 148-204 265-325 371-429  
 22\*-96\* 148\*-204\* 265\*-325\* 371\*-429\*  
 Intra-L (C23-C104) 23\*-88\* 136\*-196\*  
 23\*-88\*\* 136\*-196\*\*  
 Inter-H-L (h 5-CL 126) 224-216\* 224\*-216\*\*  
 Inter-H-H (h 11, h 14) 230-230\* 233-233\*

N-glycosylation sites / Sites de N-glycosylation / Posiciones de N-glicosilación  
 H CH2 N84.4: 301, 301\*\*  
 Fucosylated complex bi-antennary CHO-type glycans / glycanes de type CHO bi-antennaires complexes  
 fucosylés / glicanos de tipo CHO biantennarios complejos fucosilados

**berberini ursodeoxycholas**  
 berberine ursodeoxycholate

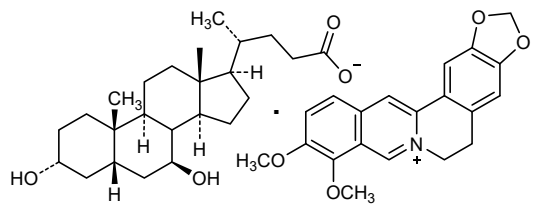
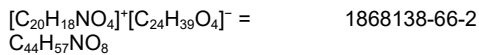
9,10-dimethoxy-5,6-dihydro-2*H*,8*H*-[1,3]dioxolo[4,5-*g*]isoquinolino[3,2-*a*]isoquinolin-8-ylum 3 $\alpha$ ,7 $\beta$ -dihydroxy-5 $\beta$ -cholan-24-oate  
*antihyperlipidaemic*

ursodésoxycholate de berbérine

9,10-diméthoxy-5,6-dihydro-2*H*,8*H*-[1,3]dioxolo[4,5-*g*]isoquinoléino[3,2-*a*]isoquinoléin-8-ylum 3 $\alpha$ ,7 $\beta$ -dihydroxy-5 $\beta$ -cholan-24-oate  
*antihyperlipidémiant*

ursodesoxicolato de berberina

9,10-dimetoxi-5,6-dihidro-2*H*,8*H*-[1,3]dioxolo[4,5-*g*]isoquinoleino[3,2-*a*]isoquinolein-8-iliium 3 $\alpha$ ,7 $\beta$ -dihidroxi-5 $\beta$ -cholan-24-oato  
*antihiperlipémico*



**bezeparsenum**  
 bezeparsen

*all-P-ambo-5'-O-(28-[(2-acetamido-2-deoxy- $\beta$ -D-galactopyranosyl)oxy]-16,16-bis{[3-({6-[(2-acetamido-2-deoxy- $\beta$ -D-galactopyranosyl)oxy]hexyl)amino]-3-oxopropoxy)methyl}-1-hydroxy-1,10,14,21-tetraoxo-2,18-dioxa-9,15,22-triaza-1 $\lambda^5$ -phosphaoctacosan-1-yl)-2'-O,4'-C-[(1*S*)-ethane-1,1-diy]-*P*-thioadenylyl-(3' $\rightarrow$ 5')-2'-O,4'-C-[(1*S*)-ethane-1,1-diy]-*P*-thioadenylyl-(3' $\rightarrow$ 5')-2'-O,4'-C-[(1*S*)-ethane-1,1-diy]-5-methyl-*P*-thiouridylyl-(3' $\rightarrow$ 5')-2'-deoxy-*P*-thioadenylyl-(3' $\rightarrow$ 5')-2'-deoxy-*P*-thioadenylyl-(3' $\rightarrow$ 5')-*P*-thiothymidylyl-(3' $\rightarrow$ 5')-2'-deoxy-*

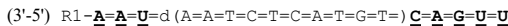
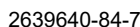
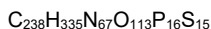
5-methyl-*P*-thiocytidylyl-(3'→5')-*P*-thiothymidylyl-(3'→5')-2'-deoxy-5-methyl-*P*-thiocytidylyl-(3'→5')-2'-deoxy-*P*-thioadenylyl-(3'→5')-*P*-thiothymidylyl-(3'→5')-2'-deoxy-*P*-thioguanilyl-(3'→5')-*P*-thiothymidylyl-(3'→5')-2'-O,4'-C-[(1*S*)-ethane-1,1-diyl]-5-methyl-*P*-thiocytidylyl-(3'→5')-2'-O,4'-C-[(1*S*)-ethane-1,1-diyl]-*P*-thioadenylyl-(3'→5')-2'-O,4'-C-[(1*S*)-ethane-1,1-diyl]guanosine  
*proprotein convertase subtilisin/ kexin type 9 (PCSK9) synthesis reducer*

bézéparsen

*tout-P-ambo-5'-O-(28-[(2-acétamido-2-désoxy-β-D-galactopyranosyl)oxy]-16,16-bis{[3-((6-[(2-acétamido-2-désoxy-β-D-galactopyranosyl)oxy]hexyl)amino)-3-oxopropoxy]méthyl}-1-hydroxy-1,10,14,21-tétraoxo-2,18-dioxa-9,15,22-triaza-1λ<sup>5</sup>-phosphaoctacosan-1-yl)-2'-O,4'-C-[(1*S*)-éthane-1,1-diyl]-*P*-thioadénylyl-(3'→5')-2'-O,4'-C-[(1*S*)-éthane-1,1-diyl]-*P*-thioadénylyl-(3'→5')-2'-O,4'-C-[(1*S*)-éthane-1,1-diyl]-5-méthyl-*P*-thiouridylyl-(3'→5')-2'-désoxy-*P*-thioadénylyl-(3'→5')-2'-désoxy-*P*-thioadénylyl-(3'→5')-*P*-thiothymidylyl-(3'→5')-2'-désoxy-5-méthyl-*P*-thiocytidylyl-(3'→5')-*P*-thiothymidylyl-(3'→5')-2'-désoxy-5-méthyl-*P*-thiocytidylyl-(3'→5')-2'-désoxy-*P*-thioadénylyl-(3'→5')-*P*-thiothymidylyl-(3'→5')-2'-désoxy-*P*-thioguanilyl-(3'→5')-*P*-thiothymidylyl-(3'→5')-2'-O,4'-C-[(1*S*)-éthane-1,1-diyl]-5-méthyl-*P*-thiocytidylyl-(3'→5')-2'-O,4'-C-[(1*S*)-éthane-1,1-diyl]-*P*-thioadénylyl-(3'→5')-2'-O,4'-C-[(1*S*)-éthane-1,1-diyl]guanosine  
*réducteur de la synthèse de la proprotéine convertase subtilisine/ kexine de type 9 (PCSK9)**

bezeparsén

*todo-P-ambo-5'-O-(28-[(2-acetamido-2-desoxi-β-D-galactopiranosil)oxi]-16,16-bis{[3-((6-[(2-acetamido-2-desoxi-β-D-galactopiranosil)oxi]hexil)amino)-3-oxopropoxi]metil}-1-hidroxi-1,10,14,21-tetraoxo-2,18-dioxa-9,15,22-triaza-1λ<sup>5</sup>-fosfooctacosan-1-il)-2'-O,4'-C-[(1*S*)-etano-1,1-diil]-*P*-tioadenilil-(3'→5')-2'-O,4'-C-[(1*S*)-etano-1,1-diil]-*P*-tioadenilil-(3'→5')-2'-O,4'-C-[(1*S*)-etano-1,1-diil]-5-metil-*P*-tiouridilil-(3'→5')-2'-desoxi-*P*-tioadenilil-(3'→5')-2'-desoxi-*P*-tioadenilil-(3'→5')-*P*-tiotimidilil-(3'→5')-2'-desoxi-5-metil-*P*-tiocitidilil-(3'→5')-*P*-tiotimidilil-(3'→5')-2'-desoxi-5-metil-*P*-tiocitidilil-(3'→5')-2'-desoxi-*P*-tioadenilil-(3'→5')-*P*-tiotimidilil-(3'→5')-2'-desoxi-*P*-tioguanilil-(3'→5')-*P*-tiotimidilil-(3'→5')-2'-O,4'-C-[(1*S*)-etano-1,1-diil]-5-metil-*P*-tiocitidilil-(3'→5')-2'-O,4'-C-[(1*S*)-etano-1,1-diil]-*P*-tioadenilil-(3'→5')-2'-O,4'-C-[(1*S*)-etano-1,1-diil]guanosina  
*reductor de la síntesis de la proproteína convertasa subtilisina/ kexina tipo 9 (PCSK9)**



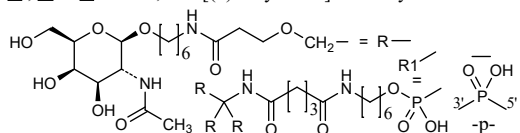
**Legend:**

A, G & T : deoxynucleotide

C : 2'-deoxy-5-methylcytidine

A & G : 2'-O,4'-C-[(*S*)-ethylidene] 2'-deoxynucleotide

C, G & U : 2'-O,4'-C-[(*S*)-ethylidene]-2'-deoxynucleotide



**bizaxofuspum #**

bizaxofusp

L-methionyl-human interleukin 4 (IL4) C-terminal fragment (38-129, 2-93 in the current sequence) variant (N<sup>38</sup>>D<sup>2</sup>), fused via the peptide linker <sup>94</sup>GGNGG<sup>98</sup> to human interleukin 4 (IL4) N-terminal fragment (1-37, 99-135 in the current sequence) fused via the peptide linker <sup>136</sup>ASGG<sup>139</sup> to *Pseudomonas aeruginosa* exotoxin A fragment (251-613, 140-485 in the current sequence) engineered variant (<sup>364</sup>SADVSLTCPVAAGECA<sup>380</sup>>N<sup>253</sup>, I<sup>407</sup>>V<sup>280</sup>, G<sup>515</sup>>S<sup>388</sup>, <sup>609</sup>REDLK<sup>613</sup>><sup>482</sup>KDEL<sup>485</sup>), non-glycosylated, produced in *Escherichia coli*; fusion protein of a circularly permuted human interleukin 4 and an engineered construct of fused *Pseudomonas aeruginosa* exotoxin A fragments: L-methionyl (1)-[N<sup>38</sup>>D<sup>2</sup>]-human interleukin 4 (IL4) C-terminal (38-129)-fragment (2-93) fused via a GGNGG linker (94-98) with the human interleukin 4 (IL4) N-terminal (1-37)-fragment (99-135) and via an ASGG linker (136-139) with the [<sup>364</sup>SADVSLTCPVAAGECA<sup>380</sup>>N<sup>253</sup>, I<sup>407</sup>>V<sup>280</sup>, G<sup>515</sup>>S<sup>388</sup>, <sup>609</sup>REDLK<sup>613</sup>><sup>482</sup>KDEL<sup>485</sup>]- (251-613)-fragment of exotoxin A (*Pseudomonas aeruginosa*) (140-485), non-glycosylated, produced in *Escherichia coli*  
*antineoplastique*

bizaxofusp

variant (N<sup>38</sup>>D<sup>2</sup>) du fragment C-terminal de l'interleukine 4 (IL4) humaine L-méthionyl (38-129, 2-93 dans la séquence actuelle), fusionné via la liaison peptidique <sup>94</sup>GGNGG<sup>98</sup> au fragment N-terminal de l'interleukine 4 (IL4) humaine (1-37, 99-135 dans la séquence actuelle) fusionné via la liaison peptidique <sup>136</sup>ASGG<sup>139</sup> au fragment de l'exotoxine A de *Pseudomonas aeruginosa* (251-613, 140-485 dans la séquence actuelle), variant modifié (<sup>364</sup>SADVSLTCPVAAGECA<sup>380</sup>>N<sup>253</sup>, I<sup>407</sup>>V<sup>280</sup>, G<sup>515</sup>>S<sup>388</sup>, <sup>609</sup>REDLK<sup>613</sup>><sup>482</sup>KDEL<sup>485</sup>), non glycosylé, produit chez *Escherichia coli*; protéine de fusion d'une interleukine 4 humaine à permutation circulaire et d'une construction modifiée de fragments d'exotoxine A de *Pseudomonas aeruginosa* fusionnés: L-méthionyl (1)-fragment 38-129 C-terminal de la [N<sup>38</sup>>D<sup>2</sup>]-interleukine 4 (IL4) humaine (2-93) fusionné via le peptide liant GGNGG (94-98) avec le fragment (1-37) N-terminal de l'interleukine 4 (IL4) humaine (99-135) et via le peptide liant ASGG (136-139) avec le [<sup>364</sup>SADVSLTCPVAAGECA<sup>380</sup>>N<sup>253</sup>, I<sup>407</sup>>V<sup>280</sup>, G<sup>515</sup>>S<sup>388</sup>, <sup>609</sup>REDLK<sup>613</sup>><sup>482</sup>KDEL<sup>485</sup>]-fragment (251-613) d'exotoxine A (*Pseudomonas aeruginosa*) (140-485), non glycosylé, produit chez *Escherichia coli*  
*antineoplasique*

bizaxofusp

L-metionil-humana interleukina 4 (IL4) fragmento C-terminal (38-129, 2-93 en la secuencia actual) variante (N<sup>38</sup>>D<sup>2</sup>), fusionada a través del enlace peptídico <sup>94</sup>GGNGG<sup>98</sup> a la interleukina 4 humana (IL4) fragmento N-terminal (1-37, 99-135 en la secuencia actual) fusionado a través del enlace peptídico <sup>136</sup>ASGG<sup>139</sup> al fragmento de exotoxina A de *Pseudomonas aeruginosa* (251-613, 140-485 en la secuencia actual) variante diseñada (<sup>364</sup>SADVSLTCPVAAGECA<sup>380</sup>>N<sup>253</sup>, I<sup>407</sup>>V<sup>280</sup>, G<sup>515</sup>>S<sup>388</sup>, <sup>609</sup>REDLK<sup>613</sup>><sup>482</sup>KDEL<sup>485</sup>), no glicosilada, producida por *Escherichia coli*; proteína de fusión de una interleukina 4 humana permutada circularmente y una construcción diseñada de fragmentos fusionados de exotoxina A de *Pseudomonas aeruginosa*: L-metionil (1)-fragmento 38-129 C-terminal de la [N<sup>38</sup>>D<sup>2</sup>]-interleukina 4 (IL4) humana (2-93) fusionado mediante el enlace peptídico GGNGG (94-98) con el fragmento (1-37) N-terminal de la interleukina 4 (IL4) humana (99-135) y mediante el enlace peptídico ASGG (136-139) con el [<sup>364</sup>SADVSLTCPVAAGECA<sup>380</sup>>N<sup>253</sup>, I<sup>407</sup>>V<sup>280</sup>, G<sup>515</sup>>S<sup>388</sup>, <sup>609</sup>REDLK<sup>613</sup>><sup>482</sup>KDEL<sup>485</sup>]-fragmento (251-613) de exotoxina A (*Pseudomonas aeruginosa*) (140-485), no glicosilado, producido por *Escherichia coli*  
*antineoplásico*

## Sequence / Séquence / Secuencia

**MD**TFTEKETFC RAATVLRQFY SHHEKDRCL GATAQQFHRH KQLIRFLKRL 50  
 DRNLWGLAGL NSCPVKEANQ STLENFLERL KTIMREKYSK CSS**GGNGG**HK 100  
 CDITLQEIHK TLNSLTEQKT LCTELTVDI FAASK**ASGGP** EGGSLAALTA 150  
 HQACHLPLET FTRHRQPRGW EQLEQCGYPV QRLVALYLAA RLSWNQVDQV 200  
 IRNALASPGS GDDLGEAIRE QPEQARLALT LAAAESERFV RQGTGNDEAG 250  
**AA**MGFADSGD ALLERNYPTG AEFLLGGGDV SFSTRGTQNW TVERLLQAHK 300  
 QLEERGVFV GYHGTFLCAA QSIVFGGVRV RSQDLDAIWR GFYIAGDFAL 350  
 AYGAYQDQEP DARGRIRNGA LLRVYVPRSS LPGAFTSLT LAAPEAAEAV 400  
 ERLIGHPLPL RLDAITGPEE EGGRLETLIG WPLAERTVVI PSAIPTDPRN 450  
 VGGDLDFSSI PDKEQAISAL PDYASQPGKP **PKDEL** 485

## Peptide linkers / Peptides liants / Péptidos de unión

**GGNGG** 94-98, **ASGG** 136-139

## Mutation / Mutation / Mutación

N-L-methionyl added (**M**<sup>1</sup>), N<sup>138</sup>-D<sup>2</sup>  
<sup>253</sup>SADVVSLTCTPVAAGECA<sup>269</sup>->**N**<sup>253</sup>, I<sup>280</sup>->**V**, G<sup>388</sup>->**S**, REDLK<sup>482-486</sup>->**KDEL**<sup>482-485</sup>

## Post-translational modifications

Disulfide bridges location / Position des ponts disulfure / Posiciones de los puentes disulfuro

Intra-IL4 10-63, 29-122, 91-101

Intra-toxin 154-176

N-glycosylation sites / Sites de N-glycosylation / Posiciones de N-glicosilación  
 none / aucun / ninguna

**boserolimabum #**  
 boserolimab

immunoglobulin G1-kappa, anti-[*Homo sapiens* CD27 (TNFRSF7, tumor necrosis factor receptor (TNFR) superfamily member 7)], monoclonal antibody; gamma1 heavy chain (1-446) [VH (*Homo sapiens* IGHV1-2\*02 (79.6%) -(IGHD) -IGHJ6\*01 (100%), CDR-IMGT [8.8.9] (26-33.51-58.97-105)) (1-116) -*Homo sapiens* IGHG1\*01, G1m17,1 (CH1 K120 (213) (117-214), hinge 1-15 (215-229), CH2 (230-339), CH3 D12 (355), L14 (357) (340-444), CHS (445-446)) (117-446)], (219-213')-disulfide with kappa light chain (1'-213') [V-KAPPA Musmus/Homsap (*Mus musculus* IGKV4-59\*01 (80.9%) -IGKJ4\*01 (91.7%) S120>Q (104)/*Homo sapiens* IGKV3-11\*01 (80.0%) -IGKJ2\*02 (100%), CDR-IMGT [5.3.9] (27-31.49-51.88-96)) (1'-106') -*Homo sapiens* IGKC\*01 (100%), Km3 A45.1 (152), V101 (190) (107'-213')]; dimer (225-225":228-228")-bisdisulfide, produced in Chinese hamster ovary (CHO) cells, derived from the cell line CHO-K1, glycoform alfa *immunostimulant, antineoplastic*

bosérolimab

immunoglobuline G1-kappa, anti-[*Homo sapiens* CD27 (TNFRSF7, membre 7 de la superfamille des récepteurs du facteur de nécrose tumorale)], anticorps monoclonal; chaîne lourde gamma1 (1-446) [VH (*Homo sapiens* IGHV1-2\*02 (79.6%) -(IGHD) -IGHJ6\*01 (100%), CDR-IMGT [8.8.9] (26-33.51-58.97-105)) (1-116) -*Homo sapiens* IGHG1\*01, G1m17,1 (CH1 K120 (213) (117-214), charnière 1-15 (215-229), CH2 (230-339), CH3 D12 (355), L14 (357) (340-444), CHS (445-446)) (117-446)], (219-213')-disulfure avec la chaîne légère kappa (1'-213') [V-KAPPA Musmus/Homsap (*Mus musculus* IGKV4-59\*01 (80.9%) -IGKJ4\*01 (91.7%) S120>Q (104)/*Homo sapiens* IGKV3-11\*01 (80.0%) -IGKJ2\*02 (100%), CDR-IMGT [5.3.9] (27-31.49-51.88-96)) (1'-106') -*Homo sapiens* IGKC\*01 (100%), Km3 A45.1 (152), V101 (190) (107'-213')]; dimère (225-225":228-228")-bisdisulfure, produit dans des cellules ovariennes de hamster chinois (CHO), dérivant de la lignée cellulaire CHO-K1, glycoforme alfa *immunostimulant, antinéoplasique*



bremzalerbart immunoglobuline G4-kappa, anti-[Bet v 1 (allergène 1 du pollen de *Betula alleghaniensis* (bouleau jaune))], anticorps monoclonal *Homo sapiens*;  
chaîne lourde gamma4 *Homo sapiens* (1-443) [VH (*Homo sapiens* IGHV4-59\*01 (88.5%) -(IGHD) -IGHJ6\*01 (94.4%), CDR-IMGT [8.7.10] (26-33.51-57.96-105)) (1-116)-*Homo sapiens* IGHG4\*01, G4v5 h P10, nG4m(a) CH2 L92 (CH1 (117-214), charnière 1-12 S10>P (224) (215-226), CH2 L92 (305) (227-336), CH3 (337-441), CHS (442-443)) (117-443)], (130-214')-disulfure avec la chaîne légère kappa *Homo sapiens* (1'-214') [V-KAPPA (*Homo sapiens* IGKV3-11\*01 (90.5%) -IGKJ3\*01 (100%), CDR-IMGT [6.3.9] (27-32.50-52.89-97)) (1'-107') -*Homo sapiens* IGKC\*01 (100%), Km3 A45.1 (153), V101 (191) (108'-214')]; dimère (222-222":225-225")-bisdisulfure, produit dans des cellules ovariennes de hamster chinois (CHO), glycoforme alfa *antiallergique*

bremzalerbart immunoglobulina G4-kappa, anti-[Bet v 1 (alérgeno 1 del polen de *Betula alleghaniensis* (abedul amarillo))], anticuerpo monoclonal *Homo sapiens*;  
cadena pesada gamma4 *Homo sapiens* (1-443) [VH (*Homo sapiens* IGHV4-59\*01 (88.5%) -(IGHD) -IGHJ6\*01 (94.4%), CDR-IMGT [8.7.10] (26-33.51-57.96-105)) (1-116)-*Homo sapiens* IGHG4\*01, G4v5 h P10, nG4m(a) CH2 L92 (CH1 (117-214), bisagra 1-12 S10>P (224) (215-226), CH2 L92 (305) (227-336), CH3 (337-441), CHS (442-443)) (117-443)], (130-214')-disulfuro con la cadena ligera kappa *Homo sapiens* (1'-214') [V-KAPPA (*Homo sapiens* IGKV3-11\*01 (90.5%) -IGKJ3\*01 (100%), CDR-IMGT [6.3.9] (27-32.50-52.89-97)) (1'-107') -*Homo sapiens* IGKC\*01 (100%), Km3 A45.1 (153), V101 (191) (108'-214')]; dímero (222-222":225-225")-bisdisulfuro, producido en las células ováricas de hámster chino (CHO), forma glicosilada alfa *antialérgico*

2456307-07-4

## Heavy chain / Chaîne lourde / Cadena pesada

QVQLQESGPG LVKPSSETLSL TCSVSGGSIT NYFWTWRQS PGKLEWIGY 50  
IYYSGGTNYN PSLKSRVTIS IDTSKNQFSL MNNSVTAADT AVYVCAGSYV 100  
YGVDFWGGQT TVTVSSASTK GPSVFLPAPC SRSTSESTAA LGCLVKVDYFP 150  
EPVTVSNNSG ALTSGVHTFP AVLQSSGLYS LSSVTVVPS SLGTRKTYTCN 200  
VDHKPSNTKV DRRVESKYGP PCPPPAPEF LGGPSVFLFP PKPKDTLMI S 250  
RTPPEVTCVVV DVSQEDPEVQ FHWYVDGVEV HNAKTKPREE QFNSTYRVVS 300  
VLTVLHQDWL NGKEYKCKVS NKGLPSSIEK TISKAKGQPR EPQVYITLPPS 350  
QEEMTKNQVS LRLVKGFPY SDIAVEWESN GQFENNYKTT PFVLDSGDSF 400  
FLYSRLTVDK SRWQEGNVFS CSMVHEALHN HYTKQSLSL S LGK 443

## Light chain / Chaîne légère / Cadena ligera

EIVLTQSPAT LSLSPGERAT LSCRASQSIK SFLAWYRQKP GQAPRLLIYD 50  
ASNRPTGIPA RFSGSGSGTD FTLTINSLES EDFAVYFCQQ RNNWPFTEGP 100  
GTKVDIKRVT AAPSVFIFFP SDEQLKSGTA SVVCLLNNFY PREAKVQWQV 150  
DNALQSGNSQ ESVTEQDSKD STYLSLSTLT LSKADYEHKK YVACEVTHQG 200  
LSSPVTKSEF RQEC 214

## Post-translational modifications

## Disulfide bridges location / Position des ponts disulfure / Posiciones de los puentes disulfuro

Intra-H (C23-C104) 22-95 143-199 257-317 363-421  
22"-95" 143"-199" 257"-317" 363"-421"

Intra-L (C23-C104) 23'-88" 134'-194"  
23"'-88"' 134"'-194'"

Inter-H-L (CH1 10-CL 126) 130-214' 130"-214"  
Inter-H-H (h 8, h 11) 222-222" 225-225"

## N-terminal glutaminyl cyclization / Cyclisation du glutaminyle N-terminal / Ciclación del glutaminilo N-terminal

Q > pyroglutamyl (pE, 5-oxopropyl) / pyroglutamylc (pE, 5-oxopropyl) / piroglutamilo (pE, 5-oxopropililo)  
H VH Q1: 1, 1"

## N-glycosylation sites / Sites de N-glycosylation / Posiciones de N-glicosilación

H CH2 N84.4: 293, 293"

Fucosylated complex bi-antennary CHO-type glycans / glycanes de type CHO bi-antennaires complexes fucosylés / glicanos de tipo CHO biantennarios complejos fucosilados.

## C-terminal lysine clipping / Coupure de la lysine C-terminale / Recorte de lisina C-terminal

H CHS K2: 443, 443"

**brogidirsenum**

brogidirsen

*all-P-ambo*-[2',3'-azanediyil-*P*,2',3'-trideoxy-*P*-  
(dimethylamino)-2',3'-seco](2'-*N*→5')(T-T-G-T-G-T-C-  
T-T-T-C-T-T-C-T-G-T-T-A-G-C-C-A-C)  
*promotion of functional dystrophin synthesis*

brogidirsen

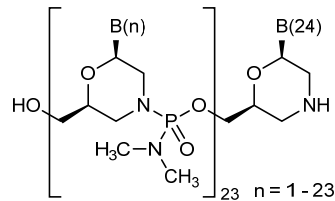
*tout-P-ambo*-[2',3'-azanediyil-*P*,2',3'-tridésoxy-*P*-  
(diméthylamino)-2',3'-séco](2'-*N*→5')(T-T-G-T-G-T-C-  
T-T-T-C-T-T-C-T-G-T-T-A-G-C-C-A-C)  
*stimulation de la synthèse de la dystrophine  
fonctionnelle*

brogidirsén

*todo-P-ambo*-[2',3'-azano diil-*P*,2',3'-tridesoxi-*P*-  
(dimetilamino)-2',3'-seco](2'-*N*→5')(T-T-G-T-G-T-C-T-  
T-T-C-T-T-C-T-G-T-T-A-G-C-C-A-C)  
*estimulación de la síntesis de la distrofina funcional*

C<sub>280</sub>H<sub>440</sub>N<sub>119</sub>O<sub>105</sub>P<sub>23</sub>

2409088-11-3



B(1-24) : T-T-G-T-G-T-C-T-T-T-C-T-T-C-T-G-T-T-A-G-C-C-A-C

**buntanetapum**

buntanetap

(3a*R*,8a*S*)-1,3a,8-trimethyl-1,2,3,3a,8,8a-  
hexahydropyrrolo[2,3-*b*]indol-5-yl phenylcarbamate  
*amyloid-beta precursor protein (APP) translation  
inhibitor*

buntanetap

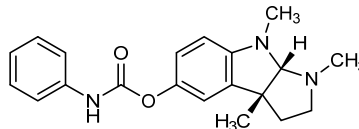
phénylcarbamate de (3a*R*,8a*S*)-1,3a,8-triméthyl-  
1,2,3,3a,8,8a-hexahydropyrrolo[2,3-*b*]indol-5-yle  
*inhibiteur de la traduction de la protéine précurseur de  
la bêta-amyloïde (APP)*

buntanetap

fenilcarbamato de (3a*R*,8a*S*)-1,3a,8-trimetil-  
1,2,3,3a,8,8a-hexahidropirrolo[2,3-*b*]indol-5-ilo  
*inhibidor de la traducción de la proteína precursora  
amiloidea (APP)*

C<sub>20</sub>H<sub>23</sub>N<sub>3</sub>O<sub>2</sub>

116839-68-0



**cadisegliatinum**

cadisegliatin

[(2-[[cyclohexyl(*trans*-4-  
propoxycyclohexyl)carbamoyl]amino]-1,3-thiazol-5-  
yl)sulfanyl]acetic acid  
*antihyperglycaemic*

cadiséglatine

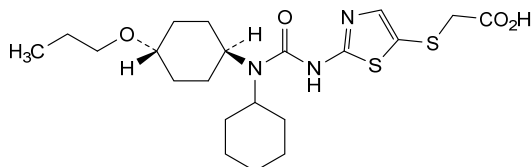
acide [(2-[[cyclohexyl(*trans*-4-propoxycyclohexyl)carbamoyl]amino]-1,3-thiazol-5-yl)sulfanyl]acétique  
*antihyperglycémiant*

cadiséglatina

ácido [(2-[[ciclohexil(*trans*-4-propoxiciclohexil)carbamoi]lamino]-1,3-tiazol-5-il)sulfanil]acético  
*antihiperglucemiante*

C<sub>21</sub>H<sub>33</sub>N<sub>3</sub>O<sub>4</sub>S<sub>2</sub>

859525-02-3



**calpurbatugum #**  
calpurbatug

immunoglobulin G1-kappa, anti-[bacteria proteins HU (histone-like protein, nucleoid-associated protein, HLP) and IHF (integration host factor) conserved epitopes], *Homo sapiens* monoclonal antibody; gamma1 heavy chain *Homo sapiens* (1-451) [VH (*Homo sapiens* IGHV4-4\*08 (79.4%) -(IGHD) -IGHJ3\*01 (90.9%), CDR-IMGT [8.7.13] (28-35.53-59.98-110)) (1-121)-*Homo sapiens* IGHG1\*01, G1m17,1 (CH1 K120 (218) (122-219), hinge 1-15 (220-234), CH2 (235-344), CH3 D12 (360), L14 (362) (345-449), CHS (450-451)) (122-451)], (224-215')-disulfide with kappa light chain *Homo sapiens* (1'-215') [V-KAPPA (*Homo sapiens* IGKV3-20\*01 (78.1%) -IGKJ2\*01 (83.3%), CDR-IMGT [7.3.9] (27-33.51-53.90-98)) (1'-108') -*Homo sapiens* IGKC\*01 (100%), Km3, A45.1 (154), V101 (192) (109'-215')]; dimer (230-230":233-233")-bisdisulfide, produced in Chinese hamster ovary (CHO) cells, glycoform alfa *antibacterial*

calpurbatug

immunoglobuline G1-kappa, anti-[épitopes conservés des protéines bactériennes HU (protéine histone-like, protéine nucléoïde-like, HLP) et IHF (facteur d'intégration de l'hôte)], *Homo sapiens* anticorps monoclonal; chaîne lourde gamma1 *Homo sapiens* (1-451) [VH (*Homo sapiens* IGHV4-4\*08 (79.4%) -(IGHD) -IGHJ3\*01 (90.9%), CDR-IMGT [8.7.13] (28-35.53-59.98-110)) (1-121)-*Homo sapiens* IGHG1\*01, G1m17,1 (CH1 K120 (218) (122-219), charnière 1-15 (220-234), CH2 (235-344), CH3 D12 (360), L14 (362) (345-449), CHS (450-451)) (122-451)], (224-215')-disulfure avec la chaîne légère kappa *Homo sapiens* (1'-215') [V-KAPPA (*Homo sapiens* IGKV3-20\*01 (78.1%) -IGKJ2\*01 (83.3%), CDR-IMGT [7.3.9] (27-33.51-53.90-98)) (1'-108') -*Homo sapiens* IGKC\*01 (100%), Km3, A45.1 (154), V101 (192) (109'-215')]; dimère (230-230":233-233")-bisdisulfure, produit dans des cellules ovariennes de hamster chinois (CHO), glycoforme alfa *antibactérien*

calpurbatug

inmunoglobulina G1-kappa, anti-[epítos conservados de proteínas bacterianas HU (proteína tipo histona, proteína tipo nucleóide, HLP) y IHF (factor de integración del hospedador)], *Homo sapiens* anticuerpo monoclonal;

cadena pesada gamma1 *Homo sapiens* (1-451) [VH (*Homo sapiens* IGHV4-4\*08 (79.4%) -(IGHD) -IGHJ3\*01 (90.9%), CDR-IMGT [8.7.13] (28-35.53-59.98-110)) (1-121) -*Homo sapiens* IGHG1\*01, G1m17,1 (CH1 K120 (218) (122-219), bisagra 1-15 (220-234), CH2 (235-344), CH3 D12 (360), L14 (362) (345-449), CHS (450-451)) (122-451)], (224-215')-disulfuro con la cadena ligera kappa *Homo sapiens* (1'-215') [V-KAPPA (*Homo sapiens* IGKV3-20\*01 (78.1%)-IGKJ2\*01 (83.3%), CDR-IMGT [7.3.9] (27-33.51-53.90-98)) (1'-108') -*Homo sapiens* IGKC\*01 (100%), Km3, A45.1 (154), V101 (192) (109'-215')]; dímero (230-230":233-233")-bisdisulfuro, producido en las células ováricas de hámster chino (CHO), forma glicosilada alfa  
*antibacteriano*

2635404-72-5

## Heavy chain / Chaîne lourde / Cadena pesada

```

QSQVQLVESG PGLVKPSETL SLTCRVSGDS NRPSYWSWIR QAPGKAMEWI 50
GYVYDSGVTI YNPSLKGRTV ISLDTSKTRF SLKLTSTVIAA DTAVYYCARE 100
RFDRTSYKSW WQGGTQVTVS SASTKGPSVF PLAPSKSKTS GGTAAALGCLV 150
KDYFFPEPVTV SWNSGALTSQ VHTFFAVLQS SGLYLSLSSV TTPSSSLGTQ 200
TYICNVNHKP SNTKVDKKEV FKSCDKHTC PFCPAPELLG GPSVFLFPFK 250
PKDTLMISRT FEVTCVVVDV SHEDPEVKFN WYVDGVEVHN AKTKPREPEQ 300
NSTYRVVSVL TVLHQDWLNG KEYKCKVSNK ALPAPIEKTI SKAKGQPREP 350
QVYTLPPSRD ELTKNQVSLT CLVKGFLYPSD IAVEWESNGQ PENNYKTPFP 400
VLDSGDGFFL YSKLTVDKSR WQGGNVFSCS VMHEALHNHY TQKSLSLSPG 450
K

```

## Light chain / Chaîne légère / Cadena ligera

```

DIVLTQAPGT LSLSPGDRAT LSCRASQRLG GTSLAWYQHR SQQAPRLILY 50
GTSNRRATDP DRFSGSGSGT DFVLTISLLE PEDFAVYCYQ QYGSPPYTFG 100
QGTTLDIKRT VAAPSVPFIF PSDEQLKSGT ASVVCLLNFF YPREAKVQWK 150
VDNALQSGNS QESVTEQDSK DSTYLSLSTL TSKADYEEKV KYACEVTHQ 200
GLSSPVTKSF NRGEC

```

## Post-translational modifications

Disulfide bridges location / Position des ponts disulfure / Posiciones de los puentes disulfuro

Intra-H (C23-C104) 24-97 148-204 265-325 371-429  
24"-97" 148"-204" 265"-325" 371"-429"

Intra-L (C23-C104) 23"-89" 135"-195"  
23"-89" 135"-195"

Inter-H-L (h 5-CL 126) 224-215' 224"-215"

Inter-H-H (h 11, h 14) 230-230" 233-233"

N-terminal glutaminyl cyclization / Cyclisation du glutaminyle N-terminal / Ciclación del glutamilo N-terminal

Q > pyroglutamyl (pE, 5-oxoprolyl) / pyroglutamide (pE, 5-oxoprolyle) / piroglutamilo (pE, 5-oxoprolió)  
H VH Q1: 1, 1"

N-glycosylation sites / Sites de N-glycosylation / Posiciones de N-glicosilación

H CH2 N84.4: 301, 301"

Fucosylated complex bi-antennary CHO-type glycans / glycanes de type CHO bi-antennaires complexes fucosylés / glicanos de tipo CHO biantenariós complejos fucosilados

C-terminal lysine clipping / Coupure de la lysine C-terminale / Recorte de lisina C-terminal  
H CHS K2: 451, 451"camlipixantum  
camlipixant

methyl (2S)-2-({2-[2,6-difluoro-4-(methylcarbomoyl)phenyl]-7-methylimidazo[1,2-a]pyridin-3-yl)methyl)morpholine-4-carboxylate  
*purinoreceptor antagonist*

camlipixant

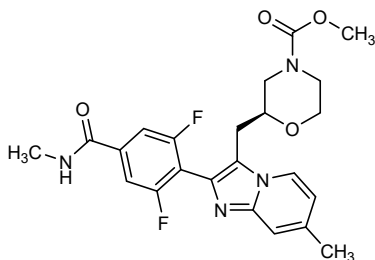
(2S)-2-((2-[2,6-difluoro-4-(méthylcarbamoyl)phényl]-7-méthylimidazo[1,2-a]pyridin-3-yl)méthyl)morpholine-4-carboxylate de méthyle  
*antagoniste du récepteur des purines*

camlipixant

(2S)-2-((2-[2,6-difluoro-4-(metilcarbamoil)fenil]-7-metilimidazo[1,2-a]piridin-3-il)metil)morfolina-4-carboxilato de metilo  
*antagonista del receptor de purinas*

C<sub>23</sub>H<sub>24</sub>F<sub>2</sub>N<sub>4</sub>O<sub>4</sub>

1621164-74-6

**camonsertibum**

camonsertib

(1R,3r,5S)-3-{6-[(3R)-3-methylmorpholin-4-yl]-1-(1H-pyrazol-3-yl)-1H-pyrazolo[3,4-b]pyridin-4-yl}-8-oxabicyclo[3.2.1]octan-3-ol  
*serine/ threonine kinase inhibitor, antineoplastic*

camonsertib

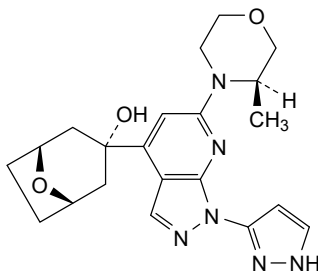
(1R,3r,5S)-3-{6-[(3R)-3-méthylmorpholin-4-yl]-1-(1H-pyrazol-3-yl)-1H-pyrazolo[3,4-b]pyridin-4-yl}-8-oxabicyclo[3.2.1]octan-3-ol  
*inhibiteur de sérine/ thréonine kinase, antinéoplasique*

camonsertib

(1R,3r,5S)-3-{6-[(3R)-3-metilmorfolin-4-il]-1-(1H-pirazol-3-il)-1H-pirazolo[3,4-b]piridin-4-il}-8-oxabicyclo[3.2.1]octan-3-ol  
*inhibidor de serina/ treonina kinasa, antineoplásico*

C<sub>21</sub>H<sub>26</sub>N<sub>6</sub>O<sub>3</sub>

2417489-10-0

**canocapavirum**

canocapavir

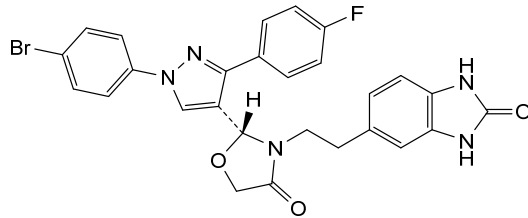
5-(2-((2R)-2-[1-(4-bromophenyl)-3-(4-fluorophenyl)-1H-pyrazol-4-yl]-4-oxo-1,3-oxazolidin-3-yl)ethyl)-1,3-dihydro-2H-benzimidazol-2-one  
*antiviral*

canocapavir 5-(2-((2*R*)-2-[1-(4-bromophényl)-3-(4-fluorophényl)-1*H*-pyrazol-4-yl]-4-oxo-1,3-oxazolidin-3-yl)éthyl)-1,3-dihydro-2*H*-benzimidazol-2-one  
*antiviral*

canocapavir 5-(2-((2*R*)-2-[1-(4-bromofenil)-3-(4-fluorofenil)-1*H*-pirazol-4-il]-4-oxo-1,3-oxazolidin-3-il)etil)-1,3-dihidro-2*H*-benzimidazol-2-ona  
*antiviral*

C<sub>27</sub>H<sub>21</sub>BrFN<sub>5</sub>O<sub>3</sub>

2137847-19-7



**casdozokitug #**  
casdozokitug

immunoglobulin G1-kappa, anti-[IL27 (interleukin 27, IL27p28, IL27A)], *Homo sapiens* monoclonal antibody; gamma1 heavy chain *Homo sapiens* (1-456) [VH (*Homo sapiens* IGHV3-21\*01 (95.9%) -(IGHD) -IGHJ5\*02 (100%), CDR-IMGT [8.8.19] (26-33.51-58.97-115)) (1-126)-*Homo sapiens* IGHG1\*01, G1m17,1 (CH1 K120 (223) (127-224), hinge 1-15 (225-239), CH2 (240-349), CH3 D12 (365), L14 (367) (350-454), CHS (455-456)) (127-456)], (229-220')-disulfide with kappa light chain *Homo sapiens* (1'-220') [V-KAPPA (*Homo sapiens* IGKV4-1\*01 (96%) -IGKJ4\*01 (100%), CDR-IMGT [12.3.9] (27-38.56-58.95-103)) (1'-113') -*Homo sapiens* IGKC\*01 (100%), Km3 A45.1 (159), V101 (197) (114'-220')]; dimer (235-235":238-238")-bisdisulfide, produced in Chinese hamster ovary (CHO) cells, cell line CHO-K1, glycoform alfa  
*antineoplastic*

casdozokitug

immunoglobuline G1-kappa, anti-[IL27 (interleukine 27, IL27p28, IL27A)], anticorps monoclonal *Homo sapiens*; chaîne lourde gamma1 *Homo sapiens* (1-456) [VH (*Homo sapiens* IGHV3-21\*01 (95.9%) -(IGHD) -IGHJ5\*02 (100%), CDR-IMGT [8.8.19] (26-33.51-58.97-115)) (1-126)-*Homo sapiens* IGHG1\*01, G1m17,1 (CH1 K120 (223) (127-224), charnière 1-15 (225-239), CH2 (240-349), CH3 D12 (365), L14 (367) (350-454), CHS (455-456)) (127-456)], (229-220')-disulfure avec la chaîne légère kappa *Homo sapiens* (1'-220') [V-KAPPA (*Homo sapiens* IGKV4-1\*01 (96%) -IGKJ4\*01 (100%), CDR-IMGT [12.3.9] (27-38.56-58.95-103)) (1'-113') -*Homo sapiens* IGKC\*01 (100%), Km3 A45.1 (159), V101 (197) (114'-220')]; dimère (235-235":238-238")-bisdisulfure, produit dans des cellules ovariennes de hamster chinois (CHO), lignée cellulaire CHO-K1, glycoforme alfa  
*antineoplasique*

casdozokitug

immunoglobulina G1-kappa, anti-[IL27 (interleukina 27, IL27p28, IL27A)], anticuerpo monoclonal *Homo sapiens*;  
 cadena pesada gamma1 *Homo sapiens* (1-456) [VH (*Homo sapiens* IGHV3-21\*01 (95.9%) -(IGHD) - IGHJ5\*02 (100%), CDR-IMGT [8.8.19] (26-33.51-58.97-115)) (1-126)-*Homo sapiens* IGHG1\*01, G1m17,1(CH1 K120 (223) (127-224), bisagra 1-15 (225-239), CH2 (240-349), CH3 D12 (365), L14 (367) (350-454), CHS (455-456)) (127-456)], (229-220')-disulfuro con la cadena ligera kappa *Homo sapiens* (1'-220') [V-KAPPA (*Homo sapiens* IGKV4-1\*01 (96%) - IGKJ4\*01 (100%), CDR-IMGT [12.3.9] (27-38.56-58.95-103)) (1'-113') -*Homo sapiens* IGKC\*01 (100%), Km3 A45.1 (159), V101 (197) (114'-220')]; dímero (235-235":238-238")-bisulfuro, producido en las células ováricas de hámster chino (CHO), línea celular CHO-K1, forma glicosilada alfa  
*antineoplásico*

2643331-37-5

Heavy chain / Chaîne lourde / Cadena pesada  
 EVQLVESGGG LVKPGGSLRL SCAASGTFER SYGMNWVRQA PGKGLEWVSG 50  
 ISSSGSYIYY ADSVGRFTI SRDANKNSLY LQMSLRAED TAVYYCARDG 100  
 GRTSYTATAH NWFDPWGGQT LVTVSSASTK GPSVFLAPS SKSTSGGTTA 150  
 LGCLVKDYFP EPTVSNWNSG ALTSVHTFEP AVLQSSGLYS LSSVTVTPSS 200  
 SLGTQTYICN VNHKPSNTRV DKKVEPKSCD KTHTCPPCPA PELLGGPSVF 250  
 LFPPEKDTL MISRTPEVTC VVVDVSHEDP EVKFNWVVDG VEVHNAKTKP 300  
 REEQYNSTYR VVSVLTVLHQ DWLNGKEYKC KVSNNKALPAP IEKTISKAKG 350  
 QPREPQVYTL PPSRDELTKN QVSLTCLVKG FYPSDIAVEW ESNQGPENNY 400  
 KTFPFVLDSD GSFFLYSKLT VDKSRWQQGN VFSCSVMHEA LHNHYTQKSL 450  
 SLSPFGK 456

Light chain / Chaîne légère / Cadena ligera  
 DIVMTQSPDS LAVSLGERAT INCKSSQSVL FSSNNKNYLA WYQQKPGQPP 50  
 KLLIYWASTR ESGVPRDFSG SSGSDFTLT ISSLQAEDVA VYYCQGHASA 100  
 PPTFGGGTKV EIKRTVAAPS VFIFPPSDEQ LKSGTASVVC LLNMFYPREA 150  
 KVQWKVDNAL QSGNSQESVT EQDSKDSSTYS LSSTLTLSKA DYEKHKVYAC 200  
 EVTHQGLSSP VTRKSNRGEK 220

**Post-translational modifications**  
 Disulfide bridges location / Position des ponts disulfure / Posiciones de los puentes disulfuro  
 Intra-H (C23-C104) 22-96 153-209 270-330 376-434  
 22"-96" 153"-209" 270"-330" 376"-434"  
 Intra-L (C23-C104) 23"-94" 140"-200"  
 23"-94" 140"-200"  
 Inter-H-L (h 5-CL 126) 229-220" 229"-220"  
 Inter-H-H (h 11, h 14) 235-235" 238-238"

N-glycosylation sites / Sites de N-glycosylation / Posiciones de N-glicosilación  
 H CH2 N84.4: 306, 306"

Fucosylated complex bi-antennary CHO-type glycans / glycanes de type CHO bi-antennaires complexes fucosylés / glicanos de tipo CHO biantenaricos complejos fucosilados.

C-terminal lysine clipping / Coupure de la lysine C-terminale / Recorte de lisina C-terminal  
 H CHS K2: 456, 456"

cavutilidum  
cavutilide

*rac-N-[(1R)-2-(1-ethylpiperidin-4-yl)-1-(4-fluorophenyl)ethyl]-4-nitrobenzamide*  
*antiarrhythmic*

cavutilide

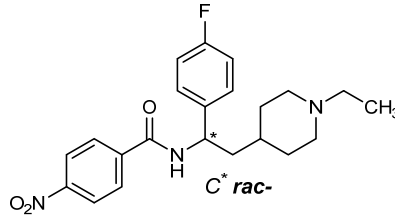
*rac-N-[(1R)-2-(1-éthylpipéridin-4-yl)-1-(4-fluorophényl)éthyl]-4-nitrobenzamide*  
*antiarythmique*

cavutilida

*rac-N-[(1R)-2-(1-etilpiperidin-4-il)-1-(4-fluorofenil)etil]-4-nitrobenzamide*  
*antiarrítmico*

C<sub>22</sub>H<sub>26</sub>FN<sub>3</sub>O<sub>3</sub>

1276186-19-6



**cebsulfasum alfa #**  
cebsulfase alfa

human cerebroside-sulfatase (cerebroside-3-sulfate 3-sulfohydrolase, arylsulfatase A, ARSA, ASA, EC:3.1.6.8), produced in Chinese hamster ovary (CHO) cells, cell line CHO-K1, glycoform alfa  
*enzyme replacement therapy (metachromatic leukodystrophy)*

cébsulfase alfa

cérébroside-sulfatase humaine (cérébroside-3-sulfate 3-sulfohydrolase, arylsulfatase A, ARSA, ASA, EC:3.1.6.8), produite dans des cellules ovariennes de hamster chinois (CHO), lignée cellulaire CHO-K1, glycoforme alfa  
*traitement enzymatique substitutif (leucodystrophie métachromatique)*

cebsulfasa alfa

cerebrósido-sulfatasa humana (cerebrósido-3-sulfato 3-sulfohidrolasa, arilsulfatasa A, ARSA, ASA, EC: 3.1.6.8), producido en las células ováricas de hámster Chino (CHO), línea celular CHO-K1, glicofoma alfa  
*tratamiento enzimático de sustitución (leucodistrofia metacromática)*

2640112-07-6

Sequence / Séquence / Secuencia

RFPNIVLIFA	DDLGYGDLG	YGHPSSTPN	LDQLAAGLR	FTDFYVPVSL	50
<b>X</b> TFSRAALLT	GRLPVRMGMY	PGVLVPSSRG	GLPLEEVTVA	EVLAARGYLT	100
GMAGKWHLGV	GPEGAFLEPH	QGFHRELGIP	YSHDQGPCQN	LTCFFPATPC	150
DGGCDQGLVP	IPLLANLSVE	AQPWWLPGLE	ARYMAFAHDL	MADAQRQDRP	200
FFLYYASHHT	HYPQFSGQSF	AERSGRPFPG	DSLMELEDAV	GTLMTAIGDL	250
GLLEETLVIF	TADNGPETMR	MSRGG <b>C</b> SGLL	RCGKGTTYEG	GVREPALAFW	300
PGHIAPGVTH	ELASSLDLLE	TLAALAGAPL	PNVTLDGFDL	SPLLLGTKGS	350
PRQSLFFYFS	YPDEVRGVFA	VRTGKYKAHF	FTQGSASHST	TADPACHASS	400
SLTAHEPPLL	YDLSKDPGEN	YNLLGGVAGA	TPEVLQALKQ	LQLLKAQLDA	450
AVTFGPSQVA	RGEDPALQIC	CHPGCTPRPA	CCHCPDPHA		489

**Post-translational modifications**

Disulfide bridges location / Position des ponts disulfure / Posiciones de los puentes disulfuro

138-154, 143-150, 282-396, 470-482, 471-484, 475-481

Cys-SH: **C**20, **C**276

N-glycosylation sites / Sites de N-glycosylation / Posiciones de N-glicosilación

N140, N332: high mannose glycans with terminal mannose 6-phosphate (M6P)

N166: complex hybrid sialylated glycans

Other modified site / Autre site modifié / Otro sitio modificado

**X**<sup>1</sup>: Cys51 modified to 3-oxo-Ala ("formylglycine", Fgl) (>70%)

**cenzileucelum**  
cenzileucel

human culture-expanded activated autologous T lymphocytes for cell-based immunotherapy. The cells are mechanically and enzymatically isolated from resected tumour biopsy of patients with metastatic melanoma and cultured in media containing recombinant interleukin 2 (IL-2) and foetal bovine serum (FBS). The cells are activated using an anti-CD3 antibody and irradiated allogeneic peripheral-blood mononuclear cells (PBMCs) in media supplemented with human AB donor derived serum and IL-2. The T lymphocytes (>80%) are a heterogeneous mixture of CD4+ and CD8+ tumour-infiltrating lymphocytes (TIL) predominantly with effector memory and central memory cell subsets. The T lymphocytes demonstrate the ability to kill and impede tumour growth in a co-culture based cytotoxicity assay.  
*cell therapy (antineoplastic)*

cenzileucel

culture de lymphocytes T humains autologues activés et amplifiés pour l'immunothérapie cellulaire. Les cellules sont isolées mécaniquement et enzymatiquement à partir de biopsies de tumeurs résectionnées de patients atteints de mélanome métastatique et cultivées dans un milieu contenant de l'interleukine 2 recombinante (IL-2) et du sérum bovin foetal (FBS). Les cellules sont activées à l'aide d'anticorps anti-CD3 et de cellules mononucléaires de sang périphérique (PBM) allogéniques irradiées dans un milieu complété avec du sérum humain dérivé de donneurs AB et de l'IL-2. Les lymphocytes T (>80%) sont un mélange hétérogène de lymphocytes CD4+ et CD8+ infiltrant les tumeurs (TIL), avec principalement des sous-populations de cellules à mémoires effectrice et centrale. Les lymphocytes T démontrent leur capacité à tuer et à entraver la croissance tumorale dans un test de cytotoxicité en co-culture.  
*thérapie cellulaire (antinéoplasique)*

cenzileucel

linfocitos T autólogos humanos activados y expandidos en cultivo para inmunoterapia basada en células. Las células se aíslan mecánica y enzimáticamente a partir de biopsias de tumor resecado de pacientes con melanoma metastásico y se cultivan en medio que contiene interleuquina 2 (IL-2) recombinante y suero bovino foetal (FBS). Las células se activan usando un anticuerpo anti-CD3 y células mononucleares de sangre periférica (PBMCs) alogénicas irradiadas en medio suplementado con suero humano AB de donantes e IL-2. Los linfocitos T (>80%) son una mezcla heterogénea de linfocitos infiltrantes del tumor (TIL) CD4+ y CD8+ predominantemente con subtipos de células de memoria efectoras y de memoria central. Los linfocitos T demuestran su capacidad para matar e impedir el crecimiento del tumor en un ensayo de citotoxicidad basado en un co-cultivo.  
*terapia celular (antineoplásico)*

**certepetidum**

certepetide

S<sup>1</sup>, S<sup>9</sup>-cyclo(*N*-acetyl-L-cysteinyl-L-arginylglycyl-L- $\alpha$ -aspartyl-L-lysylglycyl-L-prolyl-L- $\alpha$ -aspartyl-L-cysteinamide)  
*neuropilin-1 activating peptide*

certépétide

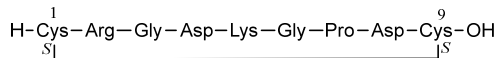
S<sup>1</sup>, S<sup>9</sup>-cyclo(*N*-acétyl-L-cystéinyl-L-arginylglycyl-L- $\alpha$ -aspartyl-L-lysylglycyl-L-prolyl-L- $\alpha$ -aspartyl-L-cystéinamide)  
*peptide activateur de la neuropiline-1*

certepetida

S<sup>1</sup>, S<sup>9</sup>-ciclo(*N*-acetil-L-cisteinil-L-arginilglicil-L- $\alpha$ -aspartil-L-lisilglicil-L-proliil-L- $\alpha$ -aspartil-L-cisteinamida)  
*péptido activador de la neuropilina-1*

C<sub>37</sub>H<sub>60</sub>N<sub>14</sub>O<sub>14</sub>S<sub>2</sub>

2580154-02-3

**ciduvectamigum #**

ciduvectamig

immunoglobulin G4-kappa/lambda2, anti-[*Homo sapiens* TMEFF2 (transmembrane protein with EGF like and two follistatin like domains 2, cancer/testis antigen family 120 member 2, CT120.2, tomoréguline)] and anti-[*Homo sapiens* CD3E (CD3e, CD3 epsilon)], monoclonal antibody, bispecific;

gamma4 heavy chain anti-TMEFF2 (1-445) [VH anti-TMEFF2 (*Homo sapiens* IGHV3-23\*01 (94.9%) - (IGHD) -IGHJ4\*01 (100%), CDR-IMGT [8.8.11] (26-33.51-58.97-107)) (1-118)-*Homo sapiens* IGHG4\*01, G4v5 h P10, G4v4 CH2 A1.3, A1.2, nG4m(a) CH2 L92 (CH1 (119-216), hinge 1-12 S10>P (226) (217-228), CH2 F1.3>A (232), L1.2>A (233), L92 (307) (229-338), CH3 (339-443), CHS (444-445)) (119-445)], (132-214')-disulfide with kappa light chain anti-TMEFF2 (1'-214') [V-KAPPA anti-TMEFF2 (*Homo sapiens* IGKV1-6\*01 (100%) -IGKJ4\*01 (100%), CDR-IMGT [6.3.9] (27-32.51-53.89-97)) (1'-117') -*Homo sapiens* IGKC\*01 (100%), Km3 A45.1 (153), V101 (191) (108'-214')]; gamma4 heavy chain anti-CD3E (1"-447") [VH anti-CD3E (*Homo sapiens* IGHV6-1\*01 (88.1%) - (IGHD) - IGHJ4\*01 (100%), CDR-IMGT [10.9.10] (26-35.53-61.100-109)) (1"-120")-*Homo sapiens* IGHG4\*01, G4v5 h P10, G4v4 CH2 A1.3, A1.2, nG4m(a) CH2 L92 (CH1 (121"-218"), hinge 1-12 S10>P (228) (219"-230"), CH2 F1.3>A (234), L1.2>A (235), L92 (309) (231"-340"), CH3 F85.1>L (405), R88>K (409) (341"-445"), CHS (446"-447")) (121"-447")], (134"-215"")-disulfide with lambda2 light chain anti-CD3E (1""-216"" [V-LAMBDA anti-CD3E (*Homo sapiens* IGLV2-23\*02 (84.8%) -IGLJ2\*01 (90.9%), CDR-IMGT [9.3.10] (26-34.52-54.91-100)) (1""-110"")-*Homo sapiens* IGLC2\*01 (100%) (111""-216"")]; dimer (224-226":227-229")-bisdisulfide, produced in Chinese hamster ovary (CHO) cells, glycoform alfa  
*antineoplastic*

- ciduvectamig immunoglobuline G4-kappa/lambda2, anti-[*Homo sapiens* TMEFF2 (protéine transmembranaire avec un domaine de type EGF et deux domaines de type follistatine 2, membre 2 de la famille 120 des antigènes cancer/ testicule, CT120.2, tomoréguline)] et anti-[*Homo sapiens* CD3E (CD3e, CD3 epsilon)], anticorps monoclonal, bispécifique;  
chaîne lourde gamma4 anti-TMEFF2 (1-445) [VH anti-TMEFF2 (*Homo sapiens* IGHV3-23\*01 (94.9%) -(IGHD) -IGHJ4\*01 (100%), CDR-IMGT [8.8.11] (26-33.51-58.97-107)) (1-118)-*Homo sapiens* IGHG4\*01, G4v5 h P10, G4v4 CH2 A1.3, A1.2 (CH1 (119-216), charnière 1-12 S10>P (226) (217-228), CH2 F1.3>A (232), L1.2>A (233) (229-338), CH3 (339-443), CHS (444-445)) (119-445)], (132-214')-disulfure avec la chaîne légère kappa anti-TMEFF2 (1'-214') [V-KAPPA anti-TMEFF2 (*Homo sapiens* IGKV1-6\*01 (100%) -IGKJ4\*01 (100%), CDR-IMGT [6.3.9] (27-32.51-53.89-97)) (1'-117') -*Homo sapiens* IGKC\*01 (100%), Km3 A45.1 (153), V101 (191) (108'-214')];  
chaîne lourde gamma4 anti-CD3E (1"-447") [VH anti-CD3E (*Homo sapiens* IGHV6-1\*01 (88.1%) -(IGHD) -IGHJ4\*01 (100%), CDR-IMGT [10.9.10] (26-35.53-61.100-109)) (1"-120")-*Homo sapiens* IGHG4\*01, G4v5 h P10, G4v4 CH2 A1.3, A1.2 (CH1 (121"-218"), charnière 1-12 S10>P (228) (219"-230"), CH2 F1.3>A (234), L1.2>A (235) (231"-340"), CH3 F85.1>L (405), R88>K (409) (341"-445"), CHS (446"-447")) (121"-447"), (134"-215")-disulfure avec la chaîne légère lambda2 anti-CD3E (1"-216") [V-LAMBDA anti-CD3E (*Homo sapiens* IGLV2-23\*02 (84.8%) -IGLJ2\*01 (90.9%), CDR-IMGT [9.3.10] (26-34.52-54.91-100)) (1"-110") -*Homo sapiens* IGLC2\*01 (100%) (111"-216")]; dimère (224-226":227-229")-bisdisulfure, produit dans des cellules ovariennes de hamster chinois (CHO), glycoforme alfa  
*antineoplasique*
- ciduvectamig inmunoglobulina G4-kappa/lambda2, anti-[*Homo sapiens* TMEFF2 (proteína transmembranaria con el dominio tipo EGF y dos dominios de tipo follistatina 2, miembro 2 de la familia 120 de los antígenos cáncer/ testículo, CT120.2, tomoregulina)] y anti-[*Homo sapiens* CD3E (CD3e, CD3 epsilon)], anticuerpo monoclonal, biespecífico;  
cadena pesada gamma4 anti-TMEFF2 (1-445) [VH anti-TMEFF2 (*Homo sapiens* IGHV3-23\*01 (94.9%) -(IGHD) -IGHJ4\*01 (100%), CDR-IMGT [8.8.11] (26-33.51-58.97-107)) (1-118)-*Homo sapiens* IGHG4\*01, G4v5 h P10, G4v4 CH2 A1.3, A1.2 (CH1 (119-216), bisagra 1-12 S10>P (226) (217-228), CH2 F1.3>A (232), L1.2>A (233) (229-338), CH3 (339-443), CHS (444-445)) (119-445)], (132-214')-disulfuro con la cadena ligera kappa anti-TMEFF2(1'-214') [V-KAPPA anti-TMEFF2 (*Homo sapiens* IGKV1-6\*01 (100%) -IGKJ4\*01 (100%), CDR-IMGT [6.3.9] (27-32.51-53.89-97)) (1'-117') -*Homo sapiens* IGKC\*01 (100%), Km3 A45.1 (153), V101 (191) (108'-214')];  
cadena pesada gamma4 anti-CD3E (1"-447") [VH anti-CD3E (*Homo sapiens* IGHV6-1\*01 (88.1%) -(IGHD) -IGHJ4\*01 (100%), CDR-IMGT [10.9.10] (26-35.53-61.100-109)) (1"-120")-*Homo sapiens* IGHG4\*01, G4v5 h P10, G4v4 CH2 A1.3, A1.2 (CH1 (121"-218"), bisagra 1-12 S10>P (228) (219"-230"), CH2 F1.3>A (234), L1.2>A (235) (231"-340"), CH3 F85.1>L (405), R88>K (409) (341"-445"), CHS (446"-447")) (121"-447"), (134"-215")-disulfuro con la cadena ligera lambda2 anti-CD3E (1"-216") [V-LAMBDA anti-CD3E (*Homo sapiens* IGLV2-23\*02 (84.8%) -IGLJ2\*01 (90.9%), CDR-IMGT [9.3.10] (26-34.52-54.91-100)) (1"-110") -*Homo sapiens* IGLC2\*01 (100%) (111"-216")]; dímero (224-226":227-229")-bisdisulfuro, producido en las células ováricas de hámster chino (CHO), forma glicosilada alfa  
*antineoplásico*

2412587-62-1

**Heavy chain / Chaîne lourde / Cadena pesada: anti-TMEFF2 (H)**  
 EVQLLESGGG LVQPGGSLRL SCAASGFTEF SYMSWVRQA PGKLEWVSV 50  
 ISGSGGGFTDY ADSVKGRFTI SRDNSKNTLY LQMNSLRAED TAVYICARP 100  
 LNSPHDYNGQ GTLTVTVSSAS TKGPSVFPLA PCSRSTSEST AALGCLVKDY 150  
 FFEFVTVSWN SGALTSVGHV FPAVLQSSGL YLSLSVVTVP SSSLGKTTYT 200  
 CNVDHKPSNT KVDKRVESKY GPPCPFCFAP EAAGGPGSVFL FPPKPKDTLM 250  
 ISRTPEVTCV VVDVSEQDEPE VQFNWYVDGV EVHNAKTKPR EEQFNSTYRV 300  
 VSVLTVLHQD WLNKGKEYKCK VSNKGLPSSI EKTISKAKGQ PREPQVYTLF 350  
 PSQEEMTRMQL VSLTCLVKGF YPSDIAVEWE SNGQPFENNYK TTPFVLDSDG 400  
 SFFLYSLRTLV DKSRWQEGNV FSCSVMEAL HNHYTQKSL SLSLGLK 445

**Light chain / Chaîne légère / Cadena ligera: anti-TMEFF2 (L)**  
 DIQMTQSPSS LSASVGDRTV ITCRASQGIR NDLGWYQQKP GKAPKLLIYA 50  
 ASSLQSGVPS RFGSGSGSDT FTLTISLSLP EDFATYYCLO DYNVPLTFGG 100  
 GTKVEIKRRTV AAPSVEIFPP SDEQLKSGTA SVVCLLNFFY PREAKVQWKV 150  
 DNALQSGNSQK ESVTEQDSKD STYLSLSSTLT LSKADYEKHK VYACEVTHQG 200  
 LSSFPVTKSFN RGECC 214

**Heavy chain / Chaîne lourde / Cadena pesada: anti-CD3E (H<sup>m</sup>)**  
 QVQLQQSGGPR LVRPSTLSL TCAISGDSVF NNAAWSWIR QSPSRGLEWL 50  
 GRITYRSKWL YDYAVSVKSR ITVNPDSRN QFTLQLNSVT PEDITALYYCA 100  
 RGYSSSFDFYW GGGTLTVTSS ASTKGPSVFP LAPCSRSTSE STAALGCLVK 150  
 DYFFPEFVTVS WNSGALTSGV HTFPAVLQSS GLYSLSSVVT VPSSSLGTKT 200  
 YTCNVNDHKPS NTKVDKRVES KYGPPCPFCF APEAAGGPGSV FLFPPKPKDT 250  
 LMIISRTPEVT CVVVDVSEQE PEVQFNWYD GVEVHNAKTK PREEQFNSTY 300  
 RVVSVLTVLH QDWLNGKEYK CKVSNKGLPS SIEKTIKSAK GQPREPQVYT 350  
 LPPSQEEMTK NQVSLTCLVK GFYPSDIAVE WESNGQPENN YKTTTPVPLDS 400  
 DGSFLLYSKL TVDKSRWQEG NVFSCVMHE ALNHHTYQKS LLSLGLK 447

**Light chain / Chaîne légère / Cadena ligera: anti-CD3E (L<sup>m</sup>)**  
 QSALTQPASV SSGSPGQSIIT SCTGTSSNIG TYKVFVSWYQQ HPDKAPKVL 50  
 YEVSKRPSGV SSRFSGSKSG NTASLTISGL QAEDQADYHC VSYAGSGTLL 100  
 FGGGKLTVL GQPKAAPSVT LFPSSSEELQ ANKATLVCLI SDFYPGAVTV 150  
 AWKADSSPVK AGVETTTFSK QSNMKYAAAS YLSLTPEQWK SHRSYSCQVT 200  
 HEGSTVEKTV APTCCS 216

**Post-translational modifications**  
 Disulfide bridges location / Position des ponts disulfure / Posiciones de los puentes disulfuro  
 Intra-H (C23-C104) 22-96 145-201 259-319 365-423  
 22"-99" 147"-203" 261"-321" 367"-425"  
 Intra-L (C23-C104) 23'-88' 134'-194'  
 22"-90" 138"-197"  
 Inter-H-L (CH1 10-CL 126) 132-214' 134"-215"  
 Inter-H-H (h 8, h 11) 224-226" 227-229"

N-terminal glutaminyl cyclization / Cyclisation du glutaminyle N-terminal / Ciclación del glutaminilo N-terminal  
 Q > pyroglutamyl (pE, 5-oxoprolyl) / pyroglutamyle (pE, 5-oxoprolyle) / piroglutamilo (pE, 5-oxoprolilo)  
 H VH Q1: 1"  
 L VL Q1: 1"

N-glycosylation sites / Sites de N-glycosylation / Posiciones de N-glicosilación  
 H CH2 N84.4: 295, 297"

Fucosylated complex bi-antennary CHO-type glycans / glycanes de type CHO bi-antennaires complexes fucosylés / glicanos de tipo CHO biantenarios complejos fucosilados.

C-terminal lysine clipping / Coupure de la lysine C-terminale / Recorte de lisina C-terminal  
 H CHS K2: 445, 447"

**coflogliptinum**  
 coflogliptin

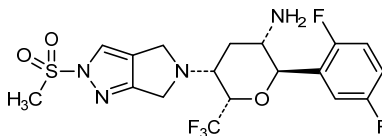
(2*R*,3*S*,5*R*,6*S*)-2-(2,5-difluorophenyl)-5-[2-(methanesulfonyl)-2,6-dihydropyrrolo[3,4-*c*]pyrazol-5(4*H*)-yl]-6-(trifluoromethyl)oxan-3-amine  
*dipeptidyl aminopeptidase 4 (DPP-4) inhibitor*

coflogliptine

(2*R*,3*S*,5*R*,6*S*)-2-(2,5-difluorophényl)-5-[2-(méthanesulfonyl)-2,6-dihydropyrrolo[3,4-*c*]pyrazol-5(4*H*)-yl]-6-(trifluorométhylo)oxan-3-amine  
*inhibiteur de la dipeptidyl peptidase 4 (DPP-4)*

coflogliptina

(2*R*,3*S*,5*R*,6*S*)-2-(2,5-difluorofenil)-5-[2-(metanosulfonyl)-2,6-dihidropirrol[3,4-*c*]pirazol-5(4*H*)-il]-6-(trifluorometil)oxan-3-amina  
*inhibidor de la dipeptidilo peptidasa 4 (DPP-4)*

**cretostimogenum grenadenorepvecum #**

cretostimogene grenadenorepvec

recombinant conditionally replication-competent oncolytic adenovirus type 5 (Ad5) in which the endogenous E1A promoter has been replaced with the human E2F-1 promoter (also known as retinoblastoma-associated protein 1), with the E3 19 kDa glycoprotein (gp19kD)-coding region replaced with a human granulocyte-macrophage colony-stimulating factor (GM-CSF) cDNA sequence, and with a simian virus 40 (SV40) late polyadenylation signal inserted upstream of the E2F-1 promoter.  
*virus-based gene therapy (antineoplastic)*

crétostimogène grenadénorepvec

adénovirus oncolytique de type 5 (Ad5) recombinant conditionnellement compétent à la réplication dans lequel le promoteur E1A endogène a été remplacé par le promoteur E2F-1 humain (également connu sous le nom de protéine 1 associée au rétinoblastome), avec la région codant la glycoprotéine E3 de 19 kDa (gp19kD) est remplacée par une séquence d'ADNc du facteur humain de stimulation des colonies de granulocytes et de macrophages (GM-CSF), et un signal de polyadénylation tardif du virus simien 40 (SV40) inséré en amont du promoteur E2F-1.  
*thérapie génique à base de virus (antineoplasique)*

cretostimogén grenadenorepvec

adenovirus tipo 5 (Ad5) recombinante oncolítico condicionalmente competente para replicación en el que el promotor endógeno E1A se ha reemplazado por el promotor E2F-1 humano (también conocido como proteína asociada a retinoblastoma 1), con la región que codifica para la glicoproteína de 19 kDa (gp18kD) E3 reemplazada por una secuencia de cDNA del factor estimulador de colonias de granulocitos-macrófagos (GM-CSF) humano, y con una secuencia de poliadenilación tardía del virus de simio 40 (SV40) insertada delante del promotor E2F-1.  
*terapia génica basada en virus (antineoplásico)*

2414312-87-9

**crosgalcogenum omlixparvovecum #**

crosgalcogene omlixparvovec

recombinant, non-replicating adeno-associated virus serotype hu68 (AAV/hu68) vector encoding codon-optimised human galactosylceramidase (GALC), under control of a cytomegalovirus immediate early enhancer/chicken  $\beta$ -actin promoter (the CB7 promoter) plus a chimeric intron, consisting of a chicken  $\beta$ -actin splice donor and a rabbit  $\beta$ -globin splice acceptor, terminated with a rabbit  $\beta$ -globin polyadenylation signal, flanked by adeno-associated virus 2 (AAV2) inverted terminal repeats (ITRs).  
*gene therapy (Krabbe disease)*

crosgalcoɡène omlixparvecvec      vecteur recombinant et non répliquant du virus adéno-associé de sérotype hu68 (AAVhu68) codant la galactosylcéramidase humaine (GALC) aux codons optimisés, sous le contrôle de l'amplificateur précoce immédiat du cytomegalovirus et du promoteur de la β-actine de poulet (promoteur CB7) plus un intron chimérique consistant en un donneur d'épissage de la β-actine de poulet et un accepteur d'épissage de la β-globine de lapin, terminé par un signal de polyadénylation de la β-globine de lapin, flanqué de répétitions terminales inversées (ITR) du virus adéno-associé 2 (AAV2).  
*thérapie génique (maladie de Krabbe)*

crosgalcoɡén omlixparvecvec      vector de virus adenoasociado recombinante del serotipo hu68 (AAVhu68), no replicativo, que codifica, con codones optimizados, para la galactosilceramidasa humana (GALC), bajo el control de un potenciador inmediato temprano del citomegalovirus/promotor de la β-actina de pollo (el promotor CB7) más un intrón quimérico que consta del sitio donante del procesamiento de la β-actina de pollo y el aceptor del procesamiento de la β-globina de conejo, terminado con una señal de poliadenilación de la β-globina de conejo, flanqueado por las repeticiones terminales invertidas (ITRs) del virus adenoasociado 2 (AAV2).  
*terapia génica (enfermedad de Krabbe)*

2607030-09-9

**crozbaciclimum**

crozbaciclíb

5-fluoro-4-(7'-fluoro-2'-methylspiro[cyclopentane-1,3'-indol]-5'-yl)-N-[5-(1-methylpiperidin-4-yl)pyridin-2-yl]pyrimidin-2-amine  
*cyclin-dependent kinase inhibitor, antineoplastic*

crozbaciclíb

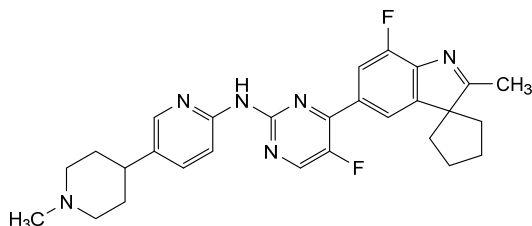
5-fluoro-4-(7'-fluoro-2'-méthylspiro[cyclopentane-1,3'-indol]-5'-yl)-N-[5-(1-méthylpipéridin-4-yl)pyridin-2-yl]pyrimidin-2-amine  
*inhibiteur des kinases dépendantes des cyclines, antinéoplasique*

crozbaciclíb

5-fluoro-4-(7'-fluoro-2'-metilspiro[ciclopentano-1,3'-indol]-5'-il)-N-[5-(1-metilpiperidin-4-il)piridin-2-il]pirimidin-2-amina  
*inhibidor de las kinasas dependientes de las ciclinas, antineoplásico*

C<sub>28</sub>H<sub>30</sub>F<sub>2</sub>N<sub>6</sub>

2099128-41-1



**culmerciclibum**

culmerciclib

5-fluoro-4-[2-methyl-3-(propan-2-yl)-2H-indazol-5-yl]-N-[5-(piperazin-1-yl)pyridin-2-yl]pyrimidin-2-amine  
*cyclin dependent kinase inhibitor, antineoplastic*

culmerciclib

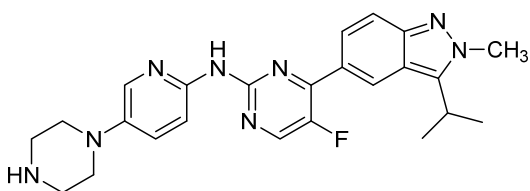
5-fluoro-4-[2-méthyl-3-(propan-2-yl)-2H-indazol-5-yl]-N-[5-(pipérazin-1-il)pyridin-2-yl]pyrimidin-2-amine  
*inhibiteur des kinases dépendantes des cyclines, antinéoplasique*

culmerciclib

5-fluoro-4-[2-metil-3-(propan-2-il)-2H-indazol-5-il]-N-[5-(piperazin-1-il)piridin-2-il]pirimidin-2-amina  
*inhibidor de las kinasas dependientes de las ciclinas, antineoplásico*

C<sub>24</sub>H<sub>27</sub>FN<sub>8</sub>

2004705-28-4

**dalmelitinibum**

dalmelitinib

9-[[8-fluoro-6-(1-methyl-1H-pyrazol-4-yl)[1,2,4]triazolo[4,3-a]pyridin-3-yl]sulfanyl]-4-methyl-2H-[1,4]oxazino[3,2-c]quinolin-3(4H)-one  
*tyrosine kinase inhibitor, antineoplastic*

dalmélitinib

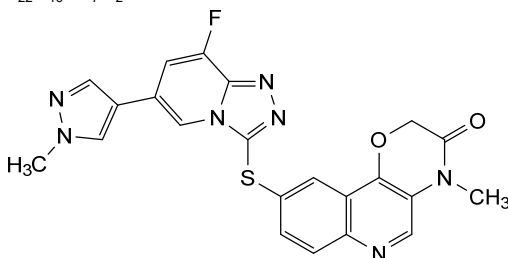
9-[[8-fluoro-6-(1-méthyl-1H-pyrazol-4-yl)[1,2,4]triazolo[4,3-a]pyridin-3-yl]sulfanyl]-4-méthyl-2H-[1,4]oxazino[3,2-c]quinoléin-3(4H)-one  
*inhibiteur de la tyrosine kinase, antinéoplasique*

dalmelitinib

9-[[8-fluoro-6-(1-metil-1H-pirazol-4-il)[1,2,4]triazolo[4,3-a]piridin-3-il]sulfanil]-4-metil-2H-[1,4]oxazino[3,2-c]quinolein-3(4H)-ona  
*inhibidor de la tirosina kinasa, antineoplásico*

C<sub>22</sub>H<sub>16</sub>FN<sub>7</sub>O<sub>2</sub>S

1637658-98-0

**dalnicastobartum #**

dalnicastobart

immunoglobulin G1-kappa, anti-[*Homo sapiens* CD40 (tumor necrosis factor receptor superfamily member 5, TNFRSF5, p50)], *Homo sapiens* monoclonal antibody;

- gamma1 heavy chain *Homo sapiens* (1-454) [VH (*Homo sapiens* IGHV1-2\*02 (98.0%) -(IGHD) -IGHJ4\*01 (100%), CDR-IMGT [8.8.19] (26-33.51-58.97-115))] (1-126) -*Homo sapiens* IGHG1\*03v, G1m3>G1m17, nG1m1, G1v47CH2 G1.1del (CH1 R120>K (223) (127-224), hinge 1-15 (225-239), CH2 G1.1>del (240-348), CH3 E12 (364), M14 (366) (349-453), CHS K2>del (454)) (127-454)], (229-214')-disulfide with kappa light chain *Homo sapiens* (1'-214') [V-KAPPA (*Homo sapiens* IGKV1-12\*01 (94.7%) -IGKJ4\*01 (100%), CDR-IMGT [6.3.9] (27-32.50-52.89-97)) (1'-107') -*Homo sapiens* IGKC\*01 (100%), Km3, A45.1 (153), V101 (191) (108'-214')]; dimer (235-235":238-238")-bisdisulfide, produced in Chinese hamster ovary (CHO) cells, derived from cell line CHO-K1, lacking the glutamine synthetase (GS-KO) gene, glycoform alfa  
*immunostimulant, antineoplastic*
- dalnicastobart immunoglobuline G1-kappa, anti-[*Homo sapiens* CD40 (membre 5 de la superfamille TNFRSF des récepteurs des facteurs de nécrose tumorale, TNFRSF5, p50)], anticorps monoclonal *Homo sapiens*;  
chaîne lourde gamma1 *Homo sapiens* (1-454) [VH (*Homo sapiens* IGHV1-2\*02 (98.0%) -(IGHD) -IGHJ4\*01 (100%), CDR-IMGT [8.8.19] (26-33.51-58.97-115))] (1-126) -*Homo sapiens* IGHG1\*03v, G1m3>G1m17, nG1m1, G1v47 CH2 G1.1del (CH1 R120>K (223) (127-224), charnière 1-15 (225-239), CH2 G1.1>del (240-348), CH3 E12 (364), M14 (366) (349-453), CHS K2>del (454)) (127-454)], (229-214')-disulfure avec la chaîne légère kappa *Homo sapiens* (1'-214') [V-KAPPA (*Homo sapiens* IGKV1-12\*01 (94.7%) -IGKJ4\*01 (100%), CDR-IMGT [6.3.9] (27-32.50-52.89-97)) (1'-107') -*Homo sapiens* IGKC\*01(100%), Km3, A45.1 (153), V101 (191) (108'-214')]; dimère (235-235":238-238")-bisdisulfure, produit dans des cellules ovariennes de hamster chinois (CHO), dérivant de la lignée cellulaire CHO-K1, ne présentant pas le gène de la glutamine synthétase (GS-KO), glycoforme alfa  
*immunostimulant, antinéoplasique*
- dalnicastobart immunoglobulina G1-kappa, anti-[*Homo sapiens* CD40 (miembro 5 de la superfamilia TNFRSF de los receptores de los factores de necrosis tumoral, TNFRSF5, p50)], anticuerpo monoclonal *Homo sapiens*;  
cadena pesada gamma1 *Homo sapiens* (1-454) [VH (*Homo sapiens* IGHV1-2\*02 (98.0%) -(IGHD) -IGHJ4\*01 (100%), CDR-IMGT [8.8.19] (26-33.51-58.97-115))] (1-126) -*Homo sapiens* IGHG1\*03v, G1m3>G1m17, nG1m1, G1v47 CH2 G1.1del (CH1 R120>K (223) (127-224), bisagra 1-15 (225-239), CH2 G1.1>del (240-348), CH3 E12 (364), M14 (366) (349-453), CHS K2>del (454)) (127-454)], (229-214')-disulfuro con la cadena ligera kappa *Homo sapiens* (1'-214') [V-KAPPA (*Homo sapiens* IGKV1-12\*01 (94.7%) -IGKJ4\*01 (100%), CDR-IMGT [6.3.9] (27-32.50-52.89-97)) (1'-107') -*Homo sapiens* IGKC\*01(100%), Km3, A45.1 (153), V101 (191) (108'-214')]; dímero (235-235":238-238")-bisdisulfuro, producido en las células ováricas de hámster chino (CHO), línea celular derivada de CHO-K1, en ausencia del gen glutamina sintetasa (GS-KO), forma glicosilada alfa  
*inmunostimulante, antineoplásico*

2642171-59-1

## Heavy chain / Chaîne lourde / Cadena pesada

QVQLVQSGAE VKKPGASVKV SCKASGYTFY GYMHWVRQA PGQGLEWMGW 50  
 INPDSGGNTY AQRFDGRVTM TRDTSISTAY MELNRLRSDD TAVYYCARDQ 100  
 PLGYCTNGVC SYFDYWGQGT LVTVSSASTK GPSVFLAPS SKSTSGGTTA 150  
 LGLLTKDYFP EPVTVSNWSG ALTSGVHTFP AVLQSSGLYS LSSVTVTPSS 200  
 SLGTQTYICN VNHKPSNTKV DKKVEPKSCD KTHTCPCPPA PELLGSPVEL 250  
 FFPKPKDTLM ISRTPVETCV VVDVSHEDPE VKFNWYVDG EVHNAKTKPR 300  
 EEQYNSTYRV VSVLTVLHQD WLNKKEYCKV VSNKALPPI EKTISKAKGQ 350  
 FREFQVYTLF PSREEMTKNQ VSLTCLVKG F YPSDIAVEWE SNGQFENNYK 400  
 TTPFVLDSDG SFFLYSKLTV DKSRWQQGNV FSCSVMHREAL HNHYTQKSL 450  
 LSPG 454

## Light chain / Chaîne légère / Cadena ligera

DIQMTQSPSS VSASVGDRTV ITCRASQGIY SWLAWYQQK GPAPNLLIYT 50  
 ASTLQSGVPS RFSGSGSDT FTLTISSLPQ EDFATYYCQ ANIFPLTPEG 100  
 GTKVEIKRTV AAPSVEIFPP SDEQLKSGTA SVVCLLNFFY PREAKVQWKV 150  
 DNALQSGNSQ ESVTEQDSKD STYLSSTLT LSKADYKHKV VYACEVTHQG 200  
 LSSPVTKSFN RGEK 214

## Post-translational modifications

Disulfide bridges location / Position des ponts disulfure / Posiciones de los puentes disulfuro

Intra-H (C23-C104) 22°-96' 153°-209' 269°-329' 375°-433'  
 22°-96' 153°-209' 269°-329' 375°-433"

Intra-L (C23-C104) 23°-88' 134°-194'

23°-88' 134°-194"

Inter-H-L (h 5-CL 126) 229°-214' 229°-214"

Inter-H-H (h 11, h 14) 235°-235' 238°-238"

N-terminal glutaminyl cyclization / Cyclisation du glutaminyle N-terminal / Ciclación del glutaminilo N-terminal

Q<sup>26</sup> pyroglutamyl (pE, 5-oxopropyl) / pyroglutamyle (pE, 5-oxopropyle) / piroglutamilo (pE, 5-oxopropilo)

HVH Q1: 1, 1"

N-glycosylation sites / Sites de N-glycosylation / Posiciones de N-glicosilación

HCH2 N84.4: 305, 305"

Fucosylated complex bi-antennary CHO-type glycans / glycanes de type CHO bi-antennaires complexes fucosylés / glicanos de tipo CHO biantenaricos complejos fucosilados.

## dalzanemdorom

dalzanemdor

(25S)-26,26,26-trifluoro-3 $\alpha$ -methyl-24-norcholest-5-ene-3 $\beta$ ,25-diol

*N*-methyl-*D*-aspartate (NMDA) receptor positive allosteric modulator

dalzanemdor

(25S)-26,26,26-trifluoro-3 $\alpha$ -méthyl-24-norcholest-5-ène-3 $\beta$ ,25-diol

modulateur allostérique positif du récepteur du *N*-méthyl-*D*-aspartate (NMDA)

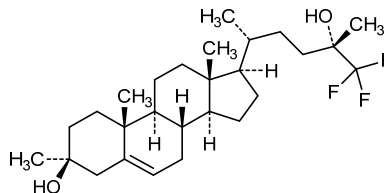
dalzanemdor

(25S)-26,26,26-trifluoro-3 $\alpha$ -metil-24-norcolest-5-eno-3 $\beta$ ,25-diol

modulador alostérico positivo del receptor de *N*-metil-*D*-aspartato (NMDA)

C<sub>27</sub>H<sub>43</sub>F<sub>3</sub>O<sub>2</sub>

1629853-48-0



## danburstotugum #

danburstotug

immunoglobulin G1-lambda, anti-[*Homo sapiens* CD274 (programmed cell death 1 ligand 1, PDL1, PD-L1, B7 homologue 1, B7H1)], *Homo sapiens* monoclonal antibody;

	<p>gamma1 heavy chain <i>Homo sapiens</i> (1-451) [VH (<i>Homo sapiens</i> IGHV1-69*01 (96.9%) -(IGHD) -IGHJ4*01 (92.9%)) [8.8.14] (26-33.51-58.97-110) (1-121) -<i>Homo sapiens</i> IGHG1*01, G1m17,1 (CH1 K120 (218) (122-219), hinge 1-15 (220-234), CH2 (235-344), CH3 CH3 D12 (360), L14 (362) (345-449), CHS (450-451)) (122-451)], (224-213')-disulfide with lambda light chain <i>Homo sapiens</i> (1'-214') [V-LAMBDA (<i>Homo sapiens</i> IGLV3-21*01 (93.8%) -IGLJ2*01 (90,9%)) [6.3.11] (26-31.49-51.88-98) (1'-108') -<i>Homo sapiens</i> IGLC2*01 (100%) (109'-214')]; dimer (230-230":233-233")-bisdisulfide, produced in Chinese hamster ovary (CHO) cells, cell line CHO-K1, glycoform alfa <i>immunostimulant, antineoplastic</i></p>
danburstotug	<p>immunoglobuline G1-lambda, anti-[<i>Homo sapiens</i> CD274 (ligand 1 de mort programmée, PDL1, PD-L1, homologue 1 de B7, B7H1)], anticorps monoclonal <i>Homo sapiens</i>; chaîne lourde gamma1 <i>Homo sapiens</i> (1-451) [VH (<i>Homo sapiens</i> IGHV1-69*01 (96.9%) -(IGHD) -IGHJ4*01 (92.9%)) [8.8.14] (26-33.51-58.97-110) (1-121) -<i>Homo sapiens</i> IGHG1*01, G1m17,1 (CH1 K120 (218) (122-219), charnière 1-15 (220-234), CH2 (235-344), CH3 D12 (360), L14 (362) (345-449), CHS (450-451)) (122-451)], (224-213')-disulfure avec la chaîne légère lambda <i>Homo sapiens</i> (1'-214') [V-LAMBDA (<i>Homo sapiens</i> IGLV3-21*01 (93.8%) -IGLJ2*01 (90,9%)) [6.3.11] (26-31.49-51.88-98) (1'-108') -<i>Homo sapiens</i> IGLC2*01 (100%) (109'-214')]; dimère (230-230":233-233")-bisdisulfure, produit dans des cellules ovariennes de hamster chinois (CHO), lignée cellulaire CHO-K1, glycoforme alfa <i>immunostimulant, antinéoplasique</i></p>
danburstotug	<p>immunoglobulina G1-lambda, anti-[<i>Homo sapiens</i> CD274 (ligando 1 de muerte programada, PDL1, PD-L1, homólogo 1 de B7, B7H1)], anticuerpo monoclonal <i>Homo sapiens</i>; cadena pesada gamma1 <i>Homo sapiens</i> (1-451) [VH (<i>Homo sapiens</i> IGHV1-69*01 (96.9%) -(IGHD) -IGHJ4*01 (92.9%)) [8.8.14] (26-33.51-58.97-110) (1-121) -<i>Homo sapiens</i> IGHG1*01, G1m17,1 (CH1 K120 (218) (122-219), bisagra 1-15 (220-234), CH2 (235-344), CH3 D12 (360), L14 (362) (345-449), CHS (450-451)) (122-451)], (224-213')-disulfuro con la cadena ligera lambda <i>Homo sapiens</i> (1'-214') [V-LAMBDA (<i>Homo sapiens</i> IGLV3-21*01 (93.8%) -IGLJ2*01 (90,9%)) [6.3.11] (26-31.49-51.88-98) (1'-108') -<i>Homo sapiens</i> IGLC2*01 (100%) (109'-214')]; dímero (230-230":233-233")-bisdisulfuro, producido en las células ováricas de hámster chino (CHO), línea celular CHO-K1, forma glicosilada alfa <i>inmunostimulante, antineoplásico</i></p>

## Heavy chain / Chaîne lourde / Cadena pesada

QMQLVQSGAE VKKPGSSVKV SCKASGGTFS SYAYSWVRQA PGQGLEWMMG 50  
 IIPSGFTANY AQRKQGRVTI TADESTSTAY MELSSLRSRD TAVYYCARGP 100  
 IVATITPLDY WQQGTLVTVS SASTKGPSVF PLAPSSKSTS GGTAALGCLV 150  
 KDYFPEPVTV SWNSGALTSV VHTFPAVLQS SGLYSLSSVV TWPSSSLGTQ 200  
 TYICNVNHPK SNTKVDKKEV PKSCDKTHTC PFCPAPELLG GPSVFLFPPK 250  
 PKDTLMISRT PEVTCVVVDV SHEDPEVKFN WYVDGVEVHN AKTKPREEQY 300  
 NSTYRVVSVL TVLHQDWLNG KEYKCKVSNK ALPAPIEKTI SKAKGQPREP 350  
 QVYTLPPSRD ELTKNQVSLT CLVKGFYPSD IAVEWESNGQ PENNYKTTTP 400  
 VLDSGGSFFL YSKLTVDKSR WQQGNVFCSS VMHEALHNYH TQKSLSLSPG 450  
 K 451

## Light chain / Chaîne légère / Cadena ligera

SYVLTPPPSV SVAPGKTATI ACGGENIGRK TVHWYQQKPG QAPVLVIYD 50  
 SDRPSPGIPER FSGSNMGNTA TLTISSRVEAG DEADYVCLVW DSSSDHRIFG 100  
 GGTKLTVLQG PKAAPSFTLF PPSSEELQAN KATLVCLISD FYPGAVTVAW 150  
 KADSSPVKAG VETTTPSKQS NNKYAASSYL SLTPEQWQKSH RSYSCQVTHE 200  
 GSTVKEKTVAP TECS 214

## Post-translational modifications

Disulfide bridges location / Position des ponts disulfure / Posiciones de los puentes disulfuro

Intra-H (C23-C104) 22-96 148-204 265-325 371-429  
 22"-96" 148"-204" 265"-325" 371"-429"

Intra-L (C23-C104) 22-87" 136"-195"  
 22"-87" 136"-195"

Inter-H-L (h 5-CL 126) 224-213" 224"-213"

Inter-H-H (h 11, h 14) 230-230" 233-233"

N-terminal glutaminylation / Cyclisation du glutaminyle N-terminal / Ciclación del glutaminilo N-terminal

Q > pyroglutamyl (pE, 5-oxoprolyl) / pyroglutamyle (pE, 5-oxoprolyle) / piroglutamilo (pE, 5-oxoprolilo)

H VH Q1: 1, 1"

N-glycosylation sites / Sites de N-glycosylation / Posiciones de N-glicosilación

H CH2 N84.4: 301, 301"

Fucosylated complex bi-antennary CHO-type glycans / glycanes de type CHO bi-antennaires complexes fucosylés / glicanos de tipo CHO biantennarios complejos fucosilados

C-terminal lysine clipping / Coupeure de la lysine C-terminale / Recorte de lisina C-terminal

H CHS K2: 451, 451"

**danvilostomigum #**  
danvilostomig

immunoglobulin G1-kappa\_scFv, anti-[*Homo sapiens* CTLA4 (cytotoxic T-lymphocyte-associated antigen 4, cytotoxic T-lymphocyte-associated protein 4, CTLA-4, CD152)], each heavy chain being fused to a scFv anti-[*Homo sapiens* PDCD1 (programmed cell death 1, PD1, PD-1, CD279)], *Homo sapiens* and humanized monoclonal antibody, tetravalent, bispecific; gamma1 heavy chain anti-CTLA4 *Homo sapiens* fused to scFv anti-PDCD1 humanized (1-701) [gamma1 heavy chain anti-CTLA4 *Homo sapiens* (1-447) [VH (*Homo sapiens*IGHV3-30\*01 (94.9%) (IGHD) -IGHJ4\*01 (100%), CDR-IMGT [8.8.11] (26-33.51-58.97-107)) (1-118) -*Homo sapiens*IGHG1\*01v, G1m17, 1>G1m3, 1, G1v14-1 CH2 A1.3, A1.2, A1, G1v20 CH2 A105 (CH1 K120>R (215) (119-216), hinge 1-15 (217-231), CH2 L1.3>A (235), L1.2>A (236), G1>A (238), K105>A (323) (232-341), CH3 D12 (357), L14 (359) (342-446), CHS (447)) (119-447)] -10-mer bis(tetraglycyl-seryl) linker (448-457) -scFv-VH-V-KAPPA anti-PDCD1 (458-701) [VH (*Homo sapiens*IGHV3-64\*04 (76.5%) -(IGHD) -IGHJ4\*01 (86.7%), CDR-IMGT [8.7.9] (483-490.508-514.553-561)) (458-572) -20-mer tetrakis(tetraglycyl-seryl) linker (573-592) -V-KAPPA (*Homo sapiens*IGKV1-27\*01 (88.0%) -IGKJ4\*01 (100%), CDR-IMGT [6.3.11] (619-624.642-644.681-691)) (593-701)], (221-215')-disulfide with kappa light chain anti-CTLA4 *Homo sapiens* (1'-215') [V-KAPPA (*Homo sapiens*IGKV3-20\*01(97.9%) -IGKJ1\*01 (100%), CDR-IMGT [7.3.9] (27-33.51-53.90-98)) (1'-108') -*Homo sapiens*IGKC\*01 (100%), Km3 A45.1 (154), V101 (192) (109'-215')]; dimer (227-227":230-230")-bisdisulfide, produced in Chinese hamster ovary (CHO) cells, glycoform alfa immunostimulant, antineoplastic

danvilostomig

immunoglobuline G1-kappa\_scFv, anti-[*Homo sapiens* CTLA4 (antigène 4 associé aux lymphocytes T cytotoxiques, protéine 4 associée aux lymphocytes T cytotoxiques, CTLA-4, CD152)], chaque chaîne lourde étant fusionnée à un scFv anti-[*Homo sapiens* PDCD1 (protéine 1 de mort cellulaire programmée, PD1, PD-1, CD279)], anticorps monoclonal *Homo sapiens* et humanisé, tétravalent, bispécifique;

chaîne lourde gamma1 anti-CTLA4 *Homo sapiens* fusionnée à un scFv anti-PDCD1 humanisé (1-701) [chaîne lourde gamma1 anti-CTLA4 *Homo sapiens* (1-447) [VH (*Homo sapiens* IGHV3-30\*01 (94.9%) -(IGHD) -IGHJ4\*01 (100%), CDR-IMGT [8.8.11] (26-33.51-58.97-107)) (1-118) -*Homo sapiens* IGHG1\*01v, G1m17,1>G1m3,1, G1v14-1 CH2 A1.3, A1.2, A1, G1v20 CH2 A105 (CH1 K120>R (215) (119-216), charnière 1-15 (217-231), CH2 L1.3>A (235), L1.2>A (236), G1>A (238), K105>A (323) (232-341), CH3 D12 (357), L14 (359) (342-446), CHS (447)) (119-447)] -10-mer bis(tétraglycyl-séryl) linker (448-457) -scFv-VH-V-KAPPA anti-PDCD1 (458-701) [VH (*Homo sapiens* IGHV3-64\*04 (76.5%) -(IGHD) -IGHJ4\*01 (86.7%), CDR-IMGT [8.7.9] (483-490.508-514.553-561)) (458-572) -20-mer tétrakis(tétraglycyl-séryl) linker (573-592) -V-KAPPA (*Homo sapiens* IGKV1-27\*01 (88.0%) -IGKJ4\*01 (100%), CDR-IMGT [6.3.11] (619-624.642-644.681-691)) (593-701)], (221-215')-disulfure avec la chaîne légère kappa anti-CTLA4 *Homo sapiens* (1'-215') [V-KAPPA (*Homo sapiens* IGKV3-20\*01(97.9%) -IGKJ1\*01 (100%), CDR-IMGT [7.3.9] (27-33.51-53.90-98)) (1'-108') -*Homo sapiens* IGKC\*01 (100%), Km3 A45.1 (154), V101 (192) (109'-215')]; dimère (227-227":230-230")-bisdisulfure, produit dans des cellules ovariennes de hamster chinois (CHO), glycoforme alfa  
*immunostimulant, antinéoplasique*

danvilostomig

inmunoglobulina G1-kappa\_scFv, anti-[*Homo sapiens* CTLA4 (antígeno 4 asígeno asociado con los linfocitos T citotóxicos, proteína 4 asociada con los linfocitos T citotóxicos, CTLA-4, CD152)], cada cadena pesada estando fusionada con un scFv anti-[*Homo sapiens* PDCD1 (proteína 1 de muerte celular programada, PD1, PD-1, CD279)], anticuerpo monoclonal *Homo sapiens* y humanizado, tetravalente, biespecífico;

cadena pesada gamma1 anti-CTLA4 *Homo sapiens* fusionada con un scFv anti-PDCD1 humanizado (1-701) [cadena pesada gamma1 anti-CTLA4 *Homo sapiens* (1-447) [VH (*Homo sapiens* IGHV3-30\*01 (94.9%) -(IGHD) -IGHJ4\*01 (100%), CDR-IMGT [8.8.11] (26-33.51-58.97-107)) (1-118) -*Homo sapiens* IGHG1\*01v, G1m17,1>G1m3,1, G1v14-1 CH2 A1.3, A1.2, A1, G1v20 CH2 A105 (CH1 K120>R (215) (119-216), bisagra 1-15 (217-231), CH2 L1.3>A (235), L1.2>A (236), G1>A (238), K105>A (323) (232-341), CH3 D12 (357), L14 (359) (342-446), CHS (447)) (119-447)] -10-mer bis(tetraglicil-seril) enlace 448-457) -scFv-VH-V-KAPPA anti-PDCD1 (458-701) [VH (*Homo sapiens* IGHV3-64\*04 (76.5%) -(IGHD) -IGHJ4\*01 (86.7%), CDR-IMGT [8.7.9] (483-490.508-514.553-561)) (458-572) -20-mer tetraakis(tetraglicil-seril) enlace (573-592) -V-KAPPA (*Homo sapiens* IGKV1-27\*01 (88.0%) -IGKJ4\*01 (100%), CDR-IMGT [6.3.11] (619-624.642-644.681-691)) (593-701)], (221-215')-disulfuro con la cadena ligera kappa anti-CTLA4 *Homo sapiens* (1'-215') [V-KAPPA (*Homo sapiens* IGKV3-20\*01(97.9%) -IGKJ1\*01 (100%), CDR-IMGT [7.3.9] (27-33.51-53.90-98)) (1'-108') -*Homo sapiens* IGKC\*01 (100%), Km3 A45.1 (154), V101 (192) (109'-215')]; dímero (227-227":230-230")-bisdisulfuro, producido en las células ováricas de hámster chino (CHO), forma glicosilada alfa  
*inmunostimulante, antineoplásico*

## Heavy chain / Chaîne lourde / Cadena pesada

QVQLVESGGG VVQPGRSRLR SCAASGFTFS SYTMHWVRQA PGKLEWVTF 50  
 ISYDGNKYY ADSVGRFTI SRDNSKNTLY LQMNSLRAED TAIYCARTEG 100  
 WLGFDFYWGQ GTLVTVSSAS TKGPSVFPLA PSKSTSGGT AALGLVKDY 150  
 FPEFVTVSWN SGALTSGVHT FPAVLQSSGL YLSLSSVTVP SSSLGQTYYI 200  
 CNVNHKPSNT KVDKRVKPKS CDKHTCPCP PAPEAAGAPS VLFPPKPKD 250  
 TLMISRTPEV TCVVVDVSH E DPEVKFNWYV DGEVHNAKT KPREEQYNST 300  
 YRVVSLVTLV HQDWLNGKEY KCAVSNKALP APEIKTISKA KGPREPQVY 350  
 TLPFSRDEL TKNQVSLTCLV KGFYPSDIAV EWESNGQPEV NYKTRPPVLD 400  
 SDGSFFLYSK LTVDKSRWQQ GNVFCSVMH EALHNNHYTK SLSLSPGGG 450  
 GSGGGGSEVQ LVESGGGLVQ PGGSLRLSCT ASGFLSSSYA MSWVRQAPGK 500  
 GLEYIGYIGD TTGIAYASWA NGRFTISKDN TKNTVDLQMN SLRAEDTAVY 550  
 YCARGWSYLD IWGQGLTVTV SGGGGSGGG GSGGGSGGG GSALVMTQSP 600  
 SLSASVGDV VTITCQASQN IYSNLAWYQQ KPGKVPKLLI YQASTLASGV 650  
 PSRFGSGGYG TDFTLTISSL QPEDVATYYC QGGYSAALN TFGGKTKVEI 700  
 K

## Light chain / Chaîne légère / Cadena ligera

EIVLTQSPGT LSLSPGERAT LSCRASQSVG SSYLAWYQQK PGQAPRLLIY 50  
 GAFSRATGIP DRFSGSGSGT DFTLTISRLE PEDFAVIYQC QYGGSPWTFG 100  
 QGTVKVEIKRT VAAPSVFIFV FSDQELKSGT ASVCLLNLF YPREAKVQWK 150  
 VDNALQSGNS QESVTEQDSK DSTYSLSSLT TLSKADYERK KYACEVTHQ 200  
 GLSSPVTKSF NRGEC

## Post-translational modifications

Disulfide bridges location / Position des ponts disulfure / Posiciones de los puentes disulfuro  
 Intra-H (C23-C104) 22-96 145-201 262-322 368-426 479-552 615-680  
 22"-96" 145"-201" 262"-322" 368"-426" 479"-552" 615"-680"  
 Intra-L (C23-C104) 23"-89" 135"-195"  
 23"-89" 135"-195"  
 Inter-H-L (h 5-CL 126) 221-215" 221"-215"  
 Inter-H-H (h 11, h 14) 227-227" 230-230"

## N-terminal glutaminyl cyclization / Cyclisation du glutaminyle N-terminal / Ciclación del glutamínilo N-terminal

Q > pyroglutamyl (pE, 5-oxoprolyl) / pyroglutamyle (pE, 5-oxoproyle) / piroglutamilo (pE, 5-oxoproylo)  
 H VH Q1: 1, 1"

## N-glycosylation sites / Sites de N-glycosylation / Posiciones de N-glicosilación

H CH2 N84.4: 298, 298"  
 Fucosylated complex bi-antennary CHO-type glycans / glycanes de type CHO bi-antennaires complexes fucosylés / glicanos de tipo CHO biantennarios complejos fucosilados.

**dargistotugum #**  
dargistotug

immunoglobulin G1-kappa, anti-[*Homo sapiens* TIGIT (T-cell immunoreceptor with Ig domain and ITIM, V-set Ig member 9, VSIG9, V-set and transmembrane member 3, VSTM3)], *Homo sapiens* monoclonal antibody;  
 gamma1 heavy chain *Homo sapiens* (1-450) [VH (*Homo sapiens* IGHV7-4-1\*02 (99%) -(IGHD) -IGHJ3\*01 (93.3%), CDR-IMGT [8.8.15] (26-33.51-58.97-111)) (1-122)-*Homo sapiens* IGHG1\*03, G1m3, nG1m1 (CH1 R120 (219) (123-220), hinge 1-15 (221-235), CH2 (236-345), CH3 E12 (361), M14 (363) (346-450), CHS K2>del (451)) (123-451)], (225-213')-disulfide with kappa light chain *Homo sapiens* (1'-213') [V-KAPPA (*Homo sapiens* IGKV1-9\*01 (98.9%)-IGKJ4\*01 (100%), CDR-IMGT [6.3.8] (27-32.50-52.89-96)) (1'-106') -*Homo sapiens* IGKC\*01 (100%), Km3, A45.1 (152), V101 (190) (107'-213')]; dimer (231-231":234-234")-bisdisulfide, produced in Chinese hamster ovary (CHO) cells, cell line CHO-K1SV, glycoform alfa  
*immunostimulant, antineoplastic*

## dargistotug

immunoglobuline G1-kappa, anti-[*Homo sapiens* TIGIT (immunorécepteur des lymphocytes T avec domaine Ig et ITIM, membre 9 de l'Ig V-set, VSIG9, membre 3 de l'Ig V-set et région transmembranaire, VSTM3)], anticorps monoclonal *Homo sapiens*;

chaîne lourde gamma1 *Homo sapiens* (1-451) [VH (*Homo sapiens* IGHV7-4-1\*02 (99%) -(IGHD) -IGHJ3\*01 (93.3%), CDR-IMGT [8.8.15] (26-33.51-58.97-111)) (1-122) -*Homo sapiens* IGHG1\*03, G1m3, nG1m1 (CH1 R120 (219) (123-220), charnière 1-15 (221-235), CH2 (236-345), CH3 E12 (361), M14 (363) (346-450), CHS K2>del (451)) (123-451)], (225-213')-disulfure avec la chaîne légère kappa *Homo sapiens* (1'-213') [V-KAPPA (*Homo sapiens* IGKV1-9\*01 (98.9%) -IGKJ4\*01 (100%), CDR-IMGT [6.3.8] (27-32.50-52.89-96)) (1'-106') -*Homo sapiens* IGKC\*01(100%), Km3, A45.1 (152), V101 (190) (107'-213')]; dimère (231-231":234-234")-bisdisulfure, produit dans des cellules ovariennes de hamster chinois (CHO), lignée cellulaire CHO-K1SV, glycoforme alfa immunostimulant, antinéoplasique

dargistotug

immunoglobulina G1-kappa, anti-[*Homo sapiens* TIGIT (inmunoreceptor de los linfocitos T con dominio Ig e ITIM, miembro 9 de la Ig V-set, VSIG9, miembro 3 de la Ig V-set y región transmembranaria, VSTM3)], anticuerpo monoclonal *Homo sapiens*;  
 cadena pesada gamma1 *Homo sapiens* (1-451) [VH (*Homo sapiens* IGHV7-4-1\*02 (99%) -(IGHD) -IGHJ3\*01 (93.3%), CDR-IMGT [8.8.15] (26-33.51-58.97-111)) (1-122) -*Homo sapiens* IGHG1\*03, G1m3, nG1m1 (CH1 R120 (219) (123-220), bisagra 1-15 (221-235), CH2 (236-345), CH3 E12 (361), M14 (363) (346-450), CHS K2>del (451)) (123-451)], (225-213')-disulfuro con la cadena ligera kappa *Homo sapiens* (1'-213') [V-KAPPA (*Homo sapiens* IGKV1-9\*01 (98.9%) -IGKJ4\*01 (100%), CDR-IMGT [6.3.8] (27-32.50-52.89-96)) (1'-106') -*Homo sapiens* IGKC\*01(100%), Km3, A45.1 (152), V101 (190) (107'-213')]; dímero (231-231":234-234")-bisdisulfuro, producido en las células ováricas de hámster chino (CHO), línea celular CHO-K1SV, forma glicosilada alfa inmuoestimulante, antineoplásico

2649362-29-6

Heavy chain / Chaîne lourde / Cadena pesada

```

QVQLVQSGSE LKPKGASVKV SCKASGYTFT SYPMNWVRVA PQGLEMMGW 50
INTNTGNTPTV AQGFTGRFV SLDTSVSTAY LQISLKAED TAVYYCARVG 100
GYSVDEYAFD VMGQGLTVTV SSASTKGPSV FPLAPSKST SGGTALGLCL 150
VKDYFPEPVT VSNNGSALTS GVHTFPAVLQ SGLSLSSV VTPVSSSLGT 200
QTYICNVNHK PSNTKVDKRV EPKSCDKTHT CPFCPAPELL GGPSVFLFPP 250
KPKDTLMISR TFEVTCVVVD VSHEDPEVKF NWYVDGVEVH NAKTKPREEQ 300
YNSTRVSVV LTVLHQDWLNL GKEYKCRVSN KALFAPIEKT ISKARGQPRE 350
PQVYTLPPSR EEMTKNQVSL TCLVKGFPYS DIAVWESNG QPENNYKTTT 400
PVLDSGDSFF LYSKLTVDKS RWQQGNVFSC SVMHEALHNN YTRKSLSLSP 450
G
    
```

Light chain / Chaîne légère / Cadena ligera

```

DIQLTQSPSF LSASVGDRTV ITCRASQGIS SYLAWYQQKP GKAPKLLIYA 50
ASTLQSGVPS RFSGSGSGTE FTLTISSLQF EDFATYYCQQ LSSYPTFGGG 100
TKVEIKRTVA APSVFIFPPS DEQLKSGTAS VVCLLNNFYP REAKVQMKVD 150
NALQSGNSQE SVTEQDSKDS TYSLSLTTL SKADYEKHKV YACEVTHQGL 200
SSPVTKSFNR GEC 213
    
```

Post-translational modifications

Disulfide bridges location / Position des ponts disulfure / Posiciones de los puentes disulfuro

Intra-H (C23-C104) 22-96 149-205 266-326 372-430  
 22"-96" 149"-205" 266"-326" 372"-430"

Intra-L (C23-C104) 23"-88" 133"-193"

23"-88"" 133""-193""

Inter-H-L (h 5-CL 126) 225-213' 225"-213"

Inter-H-H (h 11, h 14) 231-231' 234-234"

N-terminal glutaminy cyclization / Cyclisation du glutaminyle N-terminal / Ciclación del glutaminilo N-terminal

Q > pyrroglutamyl (pE, 5-oxopropyl) / pyrroglutamyle (pE, 5-oxopropyle) / piroglutamilo (pE, 5-oxopropilo)

H VH Q1: 1, 1'

N-glycosylation sites / Sites de N-glycosylation / Posiciones de N-glicosilación

H CH2 N84.4: 302, 302"

Fucosylated complex bi-antennary CHO-type glycans / glycanes de type CHO bi-antennaires complexes fucosylés / glicanos de tipo CHO biantenaricos complejos fucosilados.

**dazdotuftidum**

dazdotuftide

L-threonyl-L-lysyl-L-prolyl-L-arginylglycyl-3-*-(E)*-[4-  
(*{oxido[2-(trimethylazaniumyl)ethoxy]*  
phosphoryl)oxy)phenyl]diazényl]-L-tyrosine  
*immunomodulator*

dazdotuftide

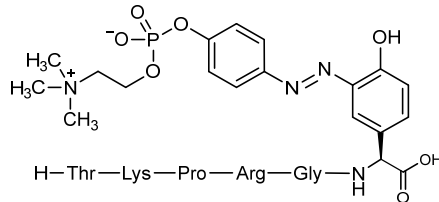
L-thréonyl-L-lysyl-L-prolyl-L-arginylglycyl-3-*-(E)*-[4-  
(*{oxido[2-(triméthylazaniumyl)éthoxy]*  
phosphoryl)oxy)phényl]diazényl]-L-tyrosine  
*immunomodulateur*

dazdotuftida

L-treonil-L-lisil-L-prolil-L-arginilglicil-3-*-(E)*-[4-*{oxido[2-*  
(*trimetilazaniumil)etoxi]fosforil}oxi)fenil]diazenil]-  
L-tirosina  
*immunomodulador**

C<sub>43</sub>H<sub>68</sub>N<sub>13</sub>O<sub>13</sub>P

2522933-44-2

**delpacibartum #**

delpacibart

immunoglobulin G1-kappa, anti-[*Homo sapiens* TFRC (transferrin receptor, TfR1)], humanized monoclonal antibody;  
gamma1 heavy chain humanized (1-445) [VH (*Homo sapiens* IGHV1-2\*06 (87.8%) -(IGHD) -IGHJ4\*01 (100%), CDR-IMGT [8.8.9] (26-33.51-58.97-105)) (1-116) -*Homo sapiens* IGHG1\*03, G1m3, nG1m1, G1v14 CH2 A1.3, A1.2, G1v48 CH2 R113 (CH1 R120 (213) (117-214), hinge 1-15 (215-229), CH2 L1.3>A (233), L1.2>A (234), L113>R (327) (230-339), CH3 E12 (355), M14 (357) (340-444), CHS K2>del (445)) (117-445)], (219-214)-disulfide with kappa light chain humanized (1'-214') [V-KAPPA (*Homo sapiens* IGKV1-NL1\*01 (84.2%) -IGKJ4\*01 (100%), CDR-IMGT [6.3.9] (27-32.50-52.89-97)) (1'-107') -*Homo sapiens* IGKC\*01 (100%), Km3 A45.1 (153), V101 (191) (108'-214')]; dimer (225-225": 228-228")-bisdisulfide, produced in Chinese hamster ovary (CHO) cells, glycoform alfa *transferrin receptor ligand*

delpacibart

immunoglobuline G1-kappa, anti-[*Homo sapiens* TFRC (récepteur de la transferrine, TfR1)], anticorps monoclonal humanisé;

chaîne lourde gamma1 humanisée (1-445 [VH (*Homo sapiens* IGHV1-2\*06 (87.8%) -(IGHD) - IGHJ4\*01 (100%), CDR-IMGT [8.8.9] (26-33.51-58.97-105)) (1-116) -*Homo sapiens* IGHG1\*03, G1m3, nG1m1, G1v14 CH2 A1.3, A1.2, G1v48 CH2 R113 (CH1 R120 (213) (117-214), charnière 1-15 (215-229), CH2 L1.3>A (233), L1.2>A (234), L113>R (230-339), CH3 E12 (355), M14 (357) (340-444), CHS K2>del (445)) (117-445)], (219-214')-disulfure avec la chaîne légère kappa humanisée (1'-214') [V-KAPPA (*Homo sapiens* IGKV1-NL1\*01 (84.2%) -IGKJ4\*01 (100%), CDR-IMGT [6.3.9] (27-32.50-52.89-97)) (1'-107') -*Homo sapiens* IGKC\*01 (100%), Km3 A45.1 (153), V101 (191) (108'-214')]; dimère (225-225": 228-228")-bisdisulfure, produit dans des cellules ovariennes de hamster chinois (CHO), glycoforme alfa  
*ligand du récepteur de la transferrine*

delpacibart

inmunoglobulina G1-kappa, anti-[*Homo sapiens* TFRC (receptor de la transferrina, TfR1)], anticuerpo monoclonal humanizado; cadena pesada gamma1 humanizada (1-445 [VH (*Homo sapiens* IGHV1-2\*06 (87.8%) -(IGHD) - IGHJ4\*01 (100%), CDR-IMGT [8.8.9] (26-33.51-58.97-105)) (1-116) -*Homo sapiens* IGHG1\*03, G1m3, nG1m1, G1v14 CH2 A1.3, A1.2, G1v48 CH2 R113 (CH1 R120 (213) (117-214), bisagra 1-15 (215-229), CH2 L1.3>A (233), L1.2>A (234), L113>R (230-339), CH3 E12 (355), M14 (357) (340-444), CHS K2>del (445)) (117-445)], (219-214')-disulfuro con la cadena ligera kappa humanizada (1'-214') [V-KAPPA (*Homo sapiens* IGKV1-NL1\*01 (84.2%) -IGKJ4\*01 (100%), CDR-IMGT [6.3.9] (27-32.50-52.89-97)) (1'-107') -*Homo sapiens* IGKC\*01 (100%), Km3 A45.1 (153), V101 (191) (108'-214')]; dímero (225-225": 228-228")-bisdisulfuro, producido en las células ováricas de hámster chino (CHO), forma glicosilada alfa  
*ligando del receptor de la transferrina*

2653183-66-3

## Heavy chain / Chaîne lourde / Cadena pesada

```

QVQLVQSGAE VVKPGASVKV SCKASGYTFT NYWMHWVRQA PGQGLEWIGE 50
INPINGRSNY AEKFGQGRVTL TVDTSSTAY MELSLRLRSD TAVVYCARGT 100
RAMHWYGGQT LVTVSSASTK GPSVFLPLAS SKSTSGGTAA LGCLVKDYFP 150
EPVTVSWNSG ALTSGVHTFP AVLQSSGLYS LSSVVTVPSS SLGTQTYICN 200
VNHKPSNTKV DKRVEPKSCD KHTCTPCCPA PEAAGGFSVF LFPPKPKDTL 250
MISRTEPVTQ VVVDVSHEDF EVKFNWYVDG VEVHNAKTKP REEQYNSTYR 300
VVSVLTVLHQ DWLNGKEYKC KVSNKARPAF IEKTISKAKG QPREPQVYTL 350
PFSREMTKN QVSLTCLVKG FYFSDIAVEW ESNQGPENNY KTTFPVLDSQ 400
GSFFLYSKLT VDKSRWQQGN VFSCVMHEA LHNHYTKSL SP 445

```

## Light chain / Chaîne légère / Cadena ligera

```

DIQMTQSPSS LSASVGDRTV ITCRTSENIY NNLAWYQQKPK GKSPKLLIYA 50
ATNLADGVPS RFGSGSGSDT YLTISSLPQ EDFATYYCQH FWGTPPLTFGG 100
GTKVEIKRTV AAPSVFIFPP SDEQLKSGTA SVVCLLNIFY PREAKVQWKV 150
DNALQSGNSQ ESVTEQDSKD STYLSLSTLT LSKADYEKHK VIACEVTHQG 200
LSSPVTKSFN RGEK 214

```

## Post-translational modifications

Disulfide bridges location / Position des ponts disulfure / Posiciones de los puentes disulfuro

Intra-H (C23-C104) 22-96 143-199 260-320 366-424  
 22"-96" 143"-199" 260"-320" 366"-424"  
 Intra-L (C23-C104) 23"-88" 134"-194"  
 23"-88" 134"-194"  
 Inter-H-L (h 5-CL 126) 219-214" 219"-214"  
 Inter-H-H (h 11, h 14) 225-225" 228-228"

N-terminal glutaminyl cyclization / Cyclisation du glutaminyle N-terminal / Ciclación del glutaminilo N-terminal

Q > pyroglutamyl (pE, 5-oxoprolyl) / pyroglutamyle (pE, 5-oxoprolyle) / piroglutamilo (pE, 5-oxoprolylo)  
 H VH Q1: 1, 1"

N-glycosylation sites / Sites de N-glycosylation / Posiciones de N-glicosilación  
 H CH2 N84.4: 296, 296"

Fucosylated complex bi-antennary CHO-type glycans / glycanes de type CHO bi-antennaires complexes fucosylés / glicanos de tipo CHO biantennarios complejos fucosilados.

**delpacibartum etedesiranum #**

delpacibart etedesiran

immunoglobulin G1-kappa, anti-[*Homo sapiens* TFRC (transferrin receptor, TfR1)], humanized monoclonal antibody; conjugated via a 4-(maleimidomethyl)cyclohexanecarboxamide (MCC) linker with a double-stranded small interfering RNA (siRNA) which causes cleavage of the mRNA that encodes myotonin-protein kinase (MT-PK, myotonic dystrophy 1 protein kinase, DM1 protein kinase, DMPK, DM-kinase, DMK, EC:2.7.11.1); gamma1 heavy chain humanized (1-445) [VH (*Homo sapiens* IGHV1-2\*06 (87.8%) -(IGHD) -IGHJ4\*01 (100%), CDR-IMGT [8.8.9] (26-33.51-58.97-105)) (1-116) -*Homo sapiens* IGHG1\*03, G1m3, nG1m1, G1v14 CH2 A1.3, A1.2, G1v48 CH2R113 (CH1 R120 (213) (117-214), hinge 1-15 (215-229), CH2 L1.3>A (233), L1.2>A (234), L113>R (327) (230-339), CH3 E12 (355), M14 (357) (340-444), CHS K2>del (445)) (117-445)], (219-214)-disulfide with kappa light chain humanized (1'-214') [V-KAPPA (*Homo sapiens* IGKV1-NL1\*01 (84.2%) -IGKJ4\*01 (100%), CDR-IMGT [6.3.9] (27-32.50-52.89-97)) (1'-107') -*Homo sapiens* IGKC\*01 (100%), Km3 A45.1 (153), V101 (191) (108'-214')]; dimer (225-225''-228-228'')-bisdisulfide, produced in Chinese hamster ovary (CHO) cells, glycoform alpha; substituted on average at one sulfur atom of a reduced cysteine residue 219, 225, 214', 219'', 225'', or 214''' with an *all-P-ambo-2'-O-methyl-P-thiouridylyl*-(3'→5')-2'-deoxy-2'-fluoro-*P-thiouridylyl*-(3'→5')-2'-*O-methylcytidylyl*-(3'→5')-2'-*O-methylguanylyl*-(3'→5')-2'-*O-methyladenylyl*-(3'→5')-2'-deoxy-2'-fluoro-*adenylyl*-(3'→5')-2'-*O-methylguanylyl*-(3'→5')-2'-*O-methyladenylyl*-(3'→5')-2'-*O-methylcytidylyl*-(3'→5')-2'-*O-methyladenylyl*-(3'→5')-2'-*O-methylguanylyl*-(3'→5')-2'-*O-methyluridylyl*-(3'→5')-2'-*O-methyluridylyl*-(3'→5')-2'-deoxy-2'-fluorocytidylyl-(3'→5')-2'-*O-methyluridylyl*-(3'→5')-2'-deoxy-2'-fluoro-*adenylyl*-(3'→5')-2'-*O-methylguanylyl*-(3'→5')-2'-*O-methylguanylyl*-(3'→5')-2'-*O-methyl-P-thioguanilyl*-(3'→5')-2'-*O-methyluridylyl*-(3'→5')-2'-*O-methyluridine duplex with all-P-ambo-(3RS)-1-({cis- or trans-4-[(6-[[2'-O-methyl-P-thioadenylyl-(5'→3')-2'-O-methyl-P-thioadenylyl-(5'→3')-2'-O-methylguanylyl-(5'→3')-2'-O-methylcytidylyl-(5'→3')-2'-O-methyluridylyl-(5'→3')-2'-O-methyluridylyl-(5'→3')-2'-O-methylcytidylyl-(5'→3')-2'-O-methyluridylyl-(5'→3')-2'-O-methylguanylyl-(5'→3')-2'-O-methyluridylyl-(5'→3')-2'-deoxy-2'-fluorocytidylyl-(5'→3')-2'-deoxy-2'-fluoro-adenylyl-(5'→3')-2'-O-methylguanylyl-(5'→3')-2'-O-methyladenylyl-(5'→3')-2'-O-methyluridylyl-(5'→3')-2'-O-methyl-P-thiocytidylyl-(5'→3')-2'-O-methyl-P-thiocytidylyl-(5'→3')-2'-O-methyl-5'-cytidylyl]oxy}hexyl)carbamoyl]cyclohexyl)methyl)-2,5-dioxopyrrolidin-3-yl (*etedesiran*) group  
*myotonin-protein kinase synthesis reducer**

delpacibart étédésiran

immunoglobuline G1-kappa, anti-[*Homo sapiens* TFRC (récepteur de la transferrine, TfR1)], anticorps monoclonal humanisé; conjugué via un linker 4-(maléimidométhyl) cyclohexanecarboxamide (MCC) avec un petit ARN interférent (siARN) double brin qui provoque le clivage de l'ARNm qui code la myotonine-protéine kinase (MT-PK, dystrophie myotonique 1 protéine kinase, DM1 protéine kinase, DMPK, DM-kinase, DMK, EC:2.7.11.1); chaîne lourde gamma1 humanisée (1-445) [VH (*Homo sapiens* IGHV1-2\*06 (87.8%) -(IGHD) -IGHJ4\*01 (100%), CDR-IMGT [8.8.9] (26-33.51-58.97-105)) (1-116) -*Homo sapiens* IGHG1\*03, G1m3, nG1m1, G1v14 CH2 A1.3, A1.2, G1v48 CH2R113 (CH1 R120 (213) (117-214), charnière 1-15 (215-229), CH2 L1.3>A (233), L1.2>A (234), L113>R (230-339), CH3 E12 (355), M14 (357) (340-444), CHS K2>del (445)) (117-445)], (219-214')-



(3'→5')-2'-O-metiladenilil-(3'→5')-2'-O-metilguanilil-(3'→5')-2'-O-metiluridilil-(3'→5')-2'-O-metiluridilil-(3'→5')-2'-desoxi-2'-fluorocitidilil-(3'→5')-2'-O-metiluridilil-(3'→5')-2'-desoxi-2'-fluoroadenilil-(3'→5')-2'-O-metilguanilil-(3'→5')-2'-O-metilguanilil-(3'→5')-2'-O-metil-*P*-tioguanilil-(3'→5')-2'-O-metiluridilil-(3'→5')-2'-O-metiluridine dúplex con *todo-P-ambo*-(3RS)-1-{{*cis*- o *trans*-4-[[6-{{2'-O-metil-*P*-tioadenilil-(5'→3')-2'-O-metil-*P*-tioadenilil-(5'→3')-2'-O-metilguanilil-(5'→3')-2'-O-metilcitidilil-(5'→3')-2'-O-metiluridilil-(5'→3')-2'-O-metiluridilil-(5'→3')-2'-O-metilcitidilil-(5'→3')-2'-O-metiluridilil-(5'→3')-2'-O-metiluridilil-(5'→3')-2'-desoxi-2'-fluorocitidilil-(5'→3')-2'-desoxi-2'-fluoroadenilil-(5'→3')-2'-desoxi-2'-fluoroadenilil-(5'→3')-2'-O-metilguanilil-(5'→3')-2'-O-metiladenilil-(5'→3')-2'-O-metiluridilil-(5'→3')-2'-O-metil-*P*-tiocitidilil-(5'→3')-2'-O-metil-*P*-tiocitidilil-(5'→3')-2'-O-metil-5'-citidilil]oxi]hexil]carbamoil]ciclohexil]metil)-2,5-dioxopirrolidin-3-ilo (*etedesirán*) *reductor de la síntesis de la proteína kinasa de distrofia miotónica*

2653183-68-5

Heavy chain / Chaîne lourde / Cadena pesada

QVQLVQSGAE VKKPKGASVKV SCKASGYTFT NYMMHWVRQA PGQGLEWIGE 50  
 INPINGSNY AEKFGQGRVTL TVDTSSSTAY MELSLRSLSDD TAVYICARGT 100  
 RAMHYWQGGT LVTVSSASTK GPSVFLPLAS SKSTSGGTA LGCLVKDYFP 150  
 EPTVTSWNSG ALTSGVHTFP AVLQSSGLYS LSSVTVTPSS SLGTQYICN 200  
 VNHKPSNTKV DKRVEPKSKD KHTCTPCPPA PEAAGGVSFV LFPFKPKDTL 250  
 MISRTPEVTC VVVVDSHEDP EVKFNWYVDG VEVHNAKTKP REEQYNSTYR 300  
 VVSVLTVLHQ DWLNGKYEKC KVSNKARPAF IEKTSKAKG QREPFVYTL 350  
 PPSREMTKN QVSLTCLVKG FYPSDIAVEW ESNQGPENNY KTFPFVLDSD 400  
 GSFFLYSKLT VDKSRWQCGN VFSCSVMHFA LHHHYTKSL SLSFG 445

Light chain / Chaîne légère / Cadena ligera

DIQMTQSPSS LSASVGRDRT ITCRTSENIY NNLAWYQQKP GKSPKLLIYA 50  
 ATNLADGVPS RFGSGSGSTD YTLTISLQF EDFATYYCQH FWGTPITFGG 100  
 GTKVEIKRTV AAPSVEFIIPP SDEQLKSGTA SVVCLLNNEY PREAKVQWKV 150  
 DNALQSGNSQ ESVTEQDSKD STYLSLSTLT LSKADYEKHK VYACEVTHQG 200  
 LSSPVTKSFN RGE 214

Post-translational modifications

Disulfide bridges location / Position des ponts disulfure / Posiciones de los puentes disulfuro

Intra-H (C23-C104) 22-96 143-199 260-320 366-424  
 22"-96" 143"-199" 260"-320" 366"-424"  
 Intra-L (C23-C104) 23"-88" 134"-194"  
 23"-88" 134"-194"

Inter-H-L (h 5-CL 126)\* 219-214" 219"-214"  
 Inter-H-H (h 11", h 14) 225-225" 228-228"

\*One of the three more accessible inter-chain disulfide bridges (2 H-L, h 11) is not present, an average of 1 cysteinyl being conjugated via a thioether bond to a linker-oligonucleotide.

N-terminal glutaminy cyclization / Cyclisation du glutaminyle N-terminal / Ciclación del glutaminilo N-terminal

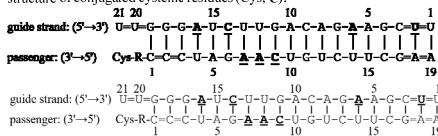
Q > pyroglutamyl (pE, 5-oxoprolyl) / pyroglutamide (pE, 5-oxoprolyle) / piroglutamilo (pE, 5-oxoproliolo)  
 H V H Q I ;  
 I, 1"

N-glycosylation sites / Sites de N-glycosylation / Posiciones de N-glicosilación  
 H CH2 N84.4:  
 296, 296"

Fucosylated complex bi-antennary CHO-type glycans / glycanes de type CHO bi-antennaires complexes fucosylés / glicanos de tipo CHO biantenarios complejos fucosilados.

Conjugation sites / Sites de conjugaison / Posiciones de conjugación

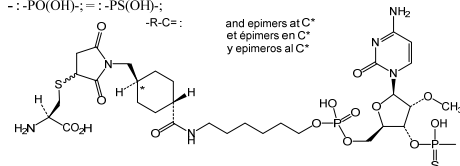
C219, C225, C214, C219", C225", C214"; drug-antibody ratio (DAR) ~ 1;  
 structure of conjugated cysteine residues (Cys, C):



A, C, G, U; 2'-O-CH3-Ado, -Cyd, -Guo, -Urd;

▲, C, U; (2'R)-2'-CHF-Ado, -Cyd, -Guo, -Urd;

-; -PO(OH)-; =; -PS(OH)-;



**denecimigum #**

denecimig

immunoglobulin G4-kappa, anti-[F9 (coagulation factor 9, coagulation factor IX) activated form and F10 (coagulation factor 10, coagulation factor X)], *Homo sapiens* monoclonal antibody, bispecific, bivalent; gamma4 heavy chain anti-F9 *Homo sapiens* (1-448) [VH (*Homo sapiens* IGHV3-9\*01 (89.8%) -(IGHD) - IGHJ5\*01 (93.8%), CDR-IMGT [8.8.15] (26-33.51-58.97-111)) (1-122)-*Homo sapiens* IGHG4\*01, G4v5 h P10, nG4m(a) CH2 L92 (CH1 (123-220), hinge 1-12 S10>P (230) (221-232), CH2 L92 (311) (233-342), CH3 (343-447), CHS K2>del (448)) (123-448)], (136-214')-disulfide with kappa light chain anti-F9 *Homo sapiens* (1'-214') [V-KAPPA (*Homo sapiens* IGKV1-5\*03 (91.5%) -IGKJ1\*01 (100%), CDR-IMGT [6.3.9](27-32.50-52.89-97)) (1'-107')-*Homo sapiens* IGKC\*01 (100%), Km3 A45.1 (153), V101 (191)(108'-214')]; gamma4 heavy chain anti-F10 *Homo sapiens* (1"-446") [VH (*Homo sapiens* IGHV5-10-1\*01 (92.9%) - (IGHD) -IGHJ4\*01 (92.9%), CDR-IMGT [8.8.13] (26-33.51-58.97-109)) (1"-120")-*Homo sapiens* IGHG4\*01, G4v5 h P10, nG4m(a) CH2 L92 (CH1 (121"-218"), hinge 1-12 S10>P (228) (219"-230"), CH2 L92 (309) (231"-340"), CH3 F85.1>L (405), R88>K (409) (341"-445"), CHS K2>del (446")) (121"-446")], (134"-216"")-disulfide with kappa light chain anti-F10 *Homo sapiens* (1""-216"" [V-KAPPA (*Homo sapiens* IGKV3-20\*01 (94.7%) -IGKJ2\*02 (100%), CDR-IMGT [7.3.10] (27-33.51-53.90-99)) (1""-109"")-*Homo sapiens* IGKC\*01 (100%), Km3 A45.1 (155), V101 (193) (110""-216"")]; dimer (228-226":231-229")-bisdisulfide, produced in Chinese hamster ovary (CHO)-K1SV cell line lacking the glutamine synthetase gene (GS-KO), glycoform alfa  
*haemostatic*

dénécimig

immunoglobuline G4-kappa, anti-[F9 (facteur de coagulation F9, facteur de coagulation IX) forme activée et anti-[*Homo sapiens* F10 (facteur de coagulation 10, facteur de coagulation X)], anticorps monoclonal *Homo sapiens*, bispécifique, bivalent; chaîne lourde gamma4 anti-F9 *Homo sapiens* (1-448) [VH (*Homo sapiens* IGHV3-9\*01 (89.8%) -(IGHD) - IGHJ5\*01 (93.8), CDR-IMGT [8.8.15] (26-33.51-58.97-111)) (1-122)-*Homo sapiens* IGHG4\*01, G4v5 h P10, nG4m(a) CH2 L92 (CH1 (123-220), charnière 1-12 S10>P (230) (221-232), CH2 L92 (311) (233-342), CH3 (343-447), CHS K2>del (448)) (123-448)], (136-214')-disulfure avec la chaîne légère kappa anti-F9 *Homo sapiens* (1'-214') [V-KAPPA (*Homo sapiens* IGKV1-5\*03 (91.5%) -IGKJ1\*01 (100%), CDR-IMGT [6.3.9] (27-32.50-52.89-97)) (1'-107')-*Homo sapiens* IGKC\*01 (100%), Km3 A45.1 (153), V101 (191) (108'-214')];

chaîne lourde gamma4 anti-F10 *Homo sapiens* (1"-446") [VH (*Homo sapiens* IGHV5-10-1\*01 (92.9%) - (IGHD) -IGHJ4\*01 (92.9), CDR-IMGT [8.8.13] (26-33.51-58.97-109)) (1"-120")-*Homo sapiens* IGHG4\*01, G4v5 h P10, nG4m(a) CH2 L92 (CH1 (121"-218"), charnière 1-12 S10>P (228) (219"-230"), CH2 L92 (309) (231"-340"), CH3 F85.1>L (405), R88>K (409) (341"-445"), CHS K2>del (446")) (121"-446"), (134"-216")-disulfure avec la chaîne légère kappa anti-F10 *Homo sapiens* (1"-216") [V-KAPPA (*Homo sapiens* IGKV3-20\*01 (94.7%) -IGKJ2\*02 (100%), CDR-IMGT [7.3.10] (27-33.51-53.90-99)) (1"-109") -*Homo sapiens* IGKC\*01 (100%), Km3 A45.1 (155), V101 (193) (110"-216")]; dimère (228-226":231-229")-bisdisulfure, produit dans des cellules ovariennes de hamster chinois (CHO) lignée cellulaire CHO-K1SV ne présentant pas le gène de la glutamine synthétase (GS-KO), glycoforme alfa  
*hémostatique*

denecimig

immunoglobulina G4-kappa, anti-[F9 (factor de coagulación F9, factor de coagulación IX) forma activada y anti-[*Homo sapiens* F10 (factor de coagulación 10, factor de coagulación X)], anticuerpo monoclonal *Homo sapiens*, biespecifico, bivalente; cadena pesada gamma4 anti-F9 *Homo sapiens* (1-448) [VH (*Homo sapiens* IGHV3-9\*01 (89.8%) - (IGHD) -IGHJ5\*01 (93.8), CDR-IMGT [8.8.15] (26-33.51-58.97-111)) (1-122)-*Homo sapiens* IGHG4\*01, G4v5 h P10, nG4m(a) CH2 L92 (CH1 (123-220), bisagra 1-12 S10>P (230) (221-232), CH2 L92 (311) (233-342), CH3 (343-447), CHS K2>del (448)) (123-448)], (136-214')-disulfuro con la cadena ligera kappa anti-F9 *Homo sapiens* (1'-214') [V-KAPPA (*Homo sapiens* IGKV1-5\*03 (91.5%) -IGKJ1\*01 (100%), CDR-IMGT [6.3.9] (27-32.50-52.89-97)) (1'-107') -*Homo sapiens* IGKC\*01 (100%), Km3 A45.1 (153), V101 (191) (108'-214')];  
cadena pesada gamma4 anti-F10 *Homo sapiens* (1"-446") [VH (*Homo sapiens* IGHV5-10-1\*01 (92.9%) - (IGHD) -IGHJ4\*01 (92.9), CDR-IMGT [8.8.13] (26-33.51-58.97-109)) (1"-120")-*Homo sapiens* IGHG4\*01, G4v5 h P10, nG4m(a) CH2 L92 (CH1 (121"-218"), bisagra 1-12 S10>P (228) (219"-230"), CH2 L92 (309) (231"-340"), CH3 F85.1>L (405), R88>K (409) (341"-445"), CHS K2>del (446")) (121"-446"), (134"-216")-disulfuro con la cadena ligera kappa anti-F10 *Homo sapiens* (1"-216") [V-KAPPA (*Homo sapiens* IGKV3-20\*01 (94.7%) -IGKJ2\*02 (100%), CDR-IMGT [7.3.10] (27-33.51-53.90-99)) (1"-109") -*Homo sapiens* IGKC\*01 (100%), Km3 A45.1 (155), V101 (193) (110"-216")]; dímero (228-226":231-229")-bisdisulfuro, producido en las células ováricas de hámster chino (CHO) línea celular CHO-K1SV en ausencia del gen glutamina sintetasa (GS-KO), forma glicosilada alfa  
*hemostático*

2488745-86-2

Heavy chain / Chaîne lourde / Cadena pesada : anti-F9 (H)  
 EVQLVESGGG LVQPGRSLRL SCAASGFTFH DYAMHWVRQV PGKGLEWVSG 50  
 ISWRGDIGGY VKSVKGRFTI SRDNNAKNSLY LQMNSLRAED TALYVCVKSY 100  
 GSGSFYNADF SWGQGLTVTV SSASTKGPSV FPLAPCSRST SESTAALGCL 150  
 VKDYFPEPVT VSWNSGALTS GVHTFPAVLQ SSGLYSLSSV VTFPSSSLGT 200  
 KTYTCNVDRK PSNTKVDKRV ESKYVPPCPP CPAEFLGGP SVFLFPKPKP 250  
 DTLMISRTPE VTCVVVDVYQ EDPVEQFNWY VDGVEVHNAK TKPREEQFNS 300  
 TYRVVSVLTV LHQDNLNGKE YKCKVSNKGL PSSIEKTIK AKGQPREPQV 350  
 YTLPPSQEEM TKNQVSLTCL VKGFYPSDIA VEVESNGQPE NNKTTTPVVL 400  
 DSDGFFFLYS RLTVDKSRWQ EGNVFCSCVM HEALHNHYTQ KSLSLSLG 448

Light chain / Chaîne légère / Cadena ligera : anti-F9 (L)  
 DIQMTQSPST LSASVGRDVT ITCRASQSI S WLAHWYQQKPK GKAPKFLIYK 50  
 ASKLERGTSP RFGSGSGSTE FSLTISLQPD DDFATYYCLE YSSYIRTFQG 100  
 GTKVEIKRVT AAPSVFIFPP SDEQLKSGTA SVVCLLNLFY PREAKVQWKV 150  
 DNALQSGNSQ ESVTEQDSK STYLSLSTLT LSKADYEKHK YVACEVTHQG 200  
 LSSPVTKSFN RGECC 214

Heavy chain / Chaîne lourde / Cadena pesada : anti-F10 (H')  
 EVQLVQSGAE VKKPGESLRI SCKGSGYFSS TSWIIVWRQM PGKGLEWVMGM 50  
 IDPSDSFTSY SPSFQGHVTI SADKSI STAY LQWSSLKASD TAMYYCARLH 100  
 YYNSEEFDMV GQGLTVTVSS ASTKGPSVFP LAPCSRSTSE STAALGCLVK 150  
 DYFPEPVTVS WNSGALTSGV HTFPAVLQSS GLYSLSSVTV VPSSSLGTRT 200  
 YTCNVDRKPS NTKVDKRVES KYGPPCPPCP APEFLGGSPV FLFPKPKDT 250  
 LMISRTPEVT CVVVDVYQED PEVQFNWYVD GVEVHNAKTK PREEQFNSTY 300  
 RVVSVLTVLH QDWLNGKEYK KCVSNKGLPS SIEKTIKAK GQPREPQVYV 350  
 LPPSQEEMTK NQVSLTCLVK GFYPSDIAVE WESNGQPENN YKTTTPVLDV 400  
 DGSFLLYSKL TVDKSRWQEG NVFVFCSCVMHE ALHNHYTQKS LLSLSL 446

Light chain / Chaîne légère / Cadena ligera : anti-F10 (L'')  
 EIVLTQSPFG LSLSPGERAT LSCRASQSV S SYLAWYQQK PGQAPRLIY 50  
 QSSSRTRGIP DRFSGSGSTE DFTLTI SLRLE PEDFAVYYCQ QFGDQLFTF 100  
 QGGTKLEIKR TVAAPSVFIF PPSDEQLKSG TASVCLLNN FYPREKRVQW 150  
 KVDNALQSGN SQESVTEQDS KSTYLSLST LTLKADYER HKVYACEVTH 200  
 QGLSPVTKS FNRGEC 216

**Post-translational modifications**

Disulfide bridges location / Position des ponts disulfure / Posiciones de los puentes disulfuro  
 Intra-H (C23-C104) 22-96 149-205 263-323 369-427  
 22"-96" 147"-203" 261"-321" 367"-425"  
 Intra-L (C23-C104) 23"-88" 134"-194"  
 23"-89" 136"-196"  
 Inter-H-L (CH1 10-CL 126) 136-214" 134"-216"  
 Inter-H-H (h 8, h 11) 228-226" 231-229"

N-glycosylation sites / Sites de N-glycosylation / Posiciones de N-glicosilación  
 H CH2 N84.4: 299, 299"

Fucosylated complex bi-antennary CHO-type glycans / glycanes de type CHO bi-antennaires complexes fucosylés / glicanos de tipo CHO biantenaricos complejos fucosilados.

**denfivontinibum**

denfivontinib

3<sup>8</sup>-bromo-1<sup>1</sup>-methyl-6-oxa-2,4-diaza-3(2,4)-pyrido[4,3-*d*]pyrimidina-1(4)-piperidina-5(1,4),7(1)-dibenzenaheptaphan-3<sup>5</sup>(3<sup>6</sup>H)-one  
*tyrosine kinase inhibitor, antineoplastic*

denfivontinib

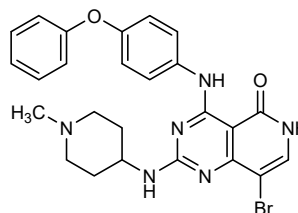
3<sup>8</sup>-bromo-1<sup>1</sup>-méthyl-6-oxa-2,4-diaza-3(2,4)-pyrido[4,3-*d*]pyrimidina-1(4)-pipéridina-5(1,4),7(1)-dibenzénaheptaphan-3<sup>5</sup>(3<sup>6</sup>H)-one  
*inhibiteur de la tyrosine kinase, antinéoplasique*

denfivontinib

3<sup>8</sup>-bromo-1<sup>1</sup>-metil-6-oxa-2,4-diaza-3(2,4)-pirido[4,3-*d*]pirimidina-1(4)-piperidina-5(1,4),7(1)-dibencenaheptafan-3<sup>5</sup>(3<sup>6</sup>H)-ona  
*inhibidor de la tirosina kinasa, antineoplásico*

C<sub>25</sub>H<sub>25</sub>BrN<sub>6</sub>O<sub>2</sub>

1457983-28-6



**depulfavirinum**

depulfavirine

2-[4-bromo-3-(3-chloro-5-cyanophenoxy)-2-fluorophenyl]-  
N-(2-chloro-4-sulfamoylphenyl)acetamide  
*antiviral*

dépulfavirine

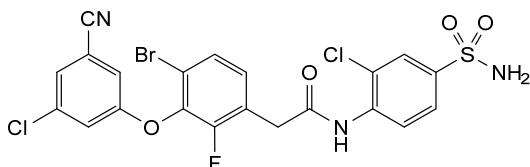
2-[4-bromo-3-(3-chloro-5-cyanophénoxy)-2-fluorophényl]-  
N-(2-chloro-4-sulfamoylphényl)acétamide  
*antiviral*

depulfavirina

2-[4-bromo-3-(3-ciano-5-clorofenoxi)-2-fluorofenil]-N-(2-  
cloro-4-sulfamoilfenil)acetamida  
*antiviral*

C<sub>21</sub>H<sub>13</sub>BrCl<sub>2</sub>FN<sub>3</sub>O<sub>4</sub>S

867365-76-2

**devextinetugum #**

devextinetug

immunoglobulin G2-kappa, anti-[(+)-metamphetamine],  
chimeric monoclonal antibody;  
gamma2 heavy chain chimeric (1-443) [VH (*Mus musculus*  
IGHV1S135\*01 (87.6%) -(IGHD) -IGHJ2\*01 (92.9%),  
CDR-IMGT [8.8.10] (26-33.51-58.97-106)) (1-117) -*Homo*  
*sapiens* IGHG2\*06, G2m.. (CH1 (118-215), hinge 1-12  
(216-227), CH2 V45.1 (278) (228-336), CH3 (337-441),  
CHS (442-443)) (118-443)], (131-215')-disulfide with  
kappa light chain chimeric (1'-215') [V-KAPPA (*Mus*  
*musculus* IGKV4-79\*01 (93.8%) -IGKJ4\*01 (100%), CDR-  
IMGT [7.3.9] (27-33.51-53.90-98)) (1'-108') -*Homo sapiens*  
IGKC\*01 (100%), Km3 A45.1 (154), V101(192) (109'-  
215')]; tetramer (219-219": 220-220": 223-223": 226-226")-  
tetrakisdisulfide, produced in Chinese hamster ovary  
(CHO) cells, glycoform alfa  
*neurological*

dévextinetug

immunoglobuline G2-kappa, anti-[(+)-métamphétamine],  
anticorps monoclonal chimérique;  
chaîne lourde gamma2 chimérique (1-443) [VH (*Mus*  
*musculus* IGHV1S135\*01 (87.6%) -(IGHD) -IGHJ2\*01  
(92.9%), CDR-IMGT [8.8.10] (26-33.51-58.97-106)) (1-  
117) -*Homo sapiens* IGHG2\*06, G2m.. (CH1 (118-215),  
charnière 1-12 (216-227), CH2 V45.1 (278) (228-336),  
CH3 (337-441), CHS (442-443)) (118-443)], (131-215')-  
disulfure avec la chaîne légère kappa chimérique (1'-215')  
[V-KAPPA (*Mus musculus* IGKV4-79\*01 (93.8%) -  
IGKJ4\*01 (100%), CDR-IMGT [7.3.9] (27-33.51-53.90-98))  
(1'-108') -*Homo sapiens* IGKC\*01 (100%), Km3 A45.1  
(154), V101 (192) (109'-215')]; tétramère (219-219": 220-  
220": 223-223": 226-226")-tétrakisdisulfure, produit dans  
des cellules ovariennes de hamster chinois (CHO),  
glycoforme alfa  
*neurologique*

devextinetug

inmunoglobulina G2-kappa, anti-[(+)-metanfetamina]], anticuerpo monoclonal quimérico; cadena pesada gamma2 quimérica (1-443) [VH (*Mus musculus* IGHV1S135\*01 (87.6%) -(IGHD) -IGHJ2\*01 (92.9%), CDR-IMGT [8.8.10] (26-33.51-58.97-106)) (1-117) -*Homo sapiens* IGHG2\*06, G2m.. (CH1 (118-215), bisagra 1-12 (216-227), CH2 V45.1 (278) (228-336), CH3 (337-441), CHS (442-443)) (118-443)], (131-215)-disulfuro con la cadena ligera kappa quimérica (1'-215') [V-KAPPA (*Mus musculus* IGKV4-79\*01 (93.8%) -IGKJ4\*01 (100%), CDR-IMGT [7.3.9] (27-33.51-53.90-98)) (1'-108') -*Homo sapiens* IGKC\*01 (100%), Km3 A45.1 (154), V101 (192) (109'-215')]; tetrámero (219-219": 220-220": 223-223": 226-226")-tetrakisdisulfuro, producido en las células ováricas de hamster chino (CHO), forma glicosilada alfa *neurólogo*

2609642-90-0

Heavy chain / Chaîne lourde / Cadena pesada

```
EIQLQQSGPE LGKPGASVKV SCRASGFSPA DYYIYWKQS HGKSLLELIGY 50
IDPFNGGDTY NQIFK GKATL TVDKSSSTAF MYLNSLTSED SAVYYCAAFR 100
NPSFDFWGGQ TLTIVSSAST KGPSVFPLAP CSRSTSESTA ALGCLVKDYF 150
PEPVTWSWNS GALTSGVHTF PAVLQSSGLY SLSSVVTVPS SNFGTQTYTC 200
NVDHKPSNTK VDKTVERKCC VECPCPAPP VAGPSVFLFP PKPKDTLMIS 250
RTPEVTVVVV DVSHEDPEVQ FNWYVDGVEV HNAKTKPERE QFNSTFRVVS 300
VLTVVHQDWL NGKEYKCKVS NKGKLPARIEK TISKTKGQPR EPQVYTLPEFS 350
REEMTKQVVS LTCLVKGFYP SDISVEWESN GQPENNYKTT PMLDSDGGSF 400
FLYSKLTVDK SRWQQGNVFS CSMVHEALHN HYTKRSLSLG PGR 443
```

Light chain / Chaîne légère / Cadena ligera

```
QIVLIQSPPI MSASPGKVT LTCASSSVS SRYLYWYQQK PGSSPKLMIY 50
GTSNLAGVFP ARFSGSGSGT SFSLTISSME AEDAASYFCH QWSSFPPTFG 100
SGTKLEIKRT VAAPSVFIFP FSDEQLKSGT ASVVCLLNFF YPREARVQWK 150
VDNALQSGNS QESVTEQDSK DSTYLSLSTL TLSKADYERH KVVACEVTHQ 200
GLSSPVTKSF NRGEC 215
```

Post-translational modifications

Disulfide bridges location / Position des ponts disulfure / Posiciones de los puentes disulfuro

Intra-H (C23-C104) 22-96 144-200 257-317 363-421  
22"-96" 144"-200" 257"-317" 363"-421"

Intra-L (C23-C104) 23'-89' 135'-195'  
23"-89" 135"-195"

Inter-H-L (CH1 10-CL 126) 131-215' 131"-215"

Inter-H-H (h 4, h 5, h 8, h 11) 219-219" 220-220" 223-223" 226-226"

N-terminal glutaminy cyclization / Cyclisation du glutaminyle N-terminal / Ciclación del glutaminilo N-terminal

Q > pyroglutamyl (pE, 5-oxopropyl) / pyroglutamyle (pE, 5-oxoprotyle) / piroglutamilo (pE, 5-oxoprolilo)  
L VL QI: I, I"

N-glycosylation sites / Sites de N-glycosylation / Posiciones de N-glicosilación

H CH2 N84.4: 293, 293"

Fucosylated complex bi-antennary CHO-type glycans and high mannose forms / glycanes de type CHO bi-antennaires complexes fucosylés et formes riches en mannose / glicanos de tipo CHO biantenaricos complejos fucosilados y formas ricas en manosa.

C-terminal lysine clipping / Coupure de la lysine C-terminale / Recorte de lisina C-terminal

H CHS K2: 443, 443"

dimdazenilum

dimdazenil

7-chloro-3-[5-[(dimethylamino)methyl]-1,2,4-oxadiazol-3-yl]-5-methyl-4,5-dihydro-6H-imidazo[1,5-a][1,4]benzodiazepin-6-one  
*GABA<sub>A</sub> receptor positive allosteric modulator*

dimdazénil

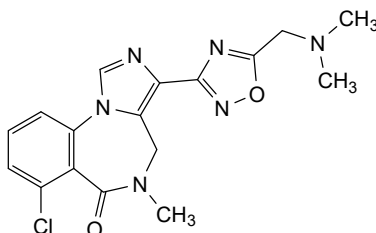
7-chloro-3-[5-[(diméthylamino)méthyl]-1,2,4-oxadiazol-3-yl]-5-méthyl-4,5-dihydro-6H-imidazo[1,5-a][1,4]benzodiazépin-6-one  
*modulateur allostérique positif du récepteur GABA<sub>A</sub>*

dimdazenil

7-cloro-3-{5-[(dimetilamino)metil]-1,2,4-oxadiazol-3-il}-5-metil-4,5-dihidro-6*H*-imidazo[1,5-a][1,4]benzodiazepin-6-ona  
*modulador alostérico positivo del receptor GABA<sub>A</sub>*

C<sub>17</sub>H<sub>17</sub>ClN<sub>6</sub>O<sub>2</sub>

308239-86-3



**divarasibum**  
divarasib

1-((3*S*)-4-[(7*M*)-7-[6-amino-4-methyl-3-(trifluorometil)piridin-2-il]-6-cloro-8-fluoro-2-[[2*S*]-1-metilpirrolidin-2-il]metoxi]quinazolin-4-il)-3-metilpiperazin-1-il}prop-2-en-1-ona  
*rat sarcoma viral oncogene homolog (KRAS) inhibitor, antineoplastic*

divarasib

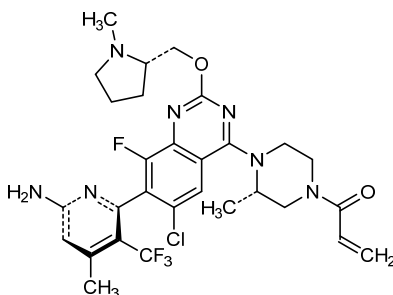
1-((3*S*)-4-[(7*M*)-7-[6-amino-4-méthyl-3-(trifluorométhyl)pyridin-2-il]-6-cloro-8-fluoro-2-[[2*S*]-1-méthylpyrrolidin-2-il]méthoxy]quinazolin-4-il)-3-méthylpipérazin-1-il}prop-2-én-1-ona  
*inhibiteur de l'homologue de l'oncogène du virus du sarcome du rat (KRAS), antinéoplasique*

divarasib

1-((3*S*)-4-[(7*M*)-7-[6-amino-4-metil-3-(trifluorometil)piridin-2-il]-6-cloro-8-fluoro-2-[[2*S*]-1-metilpirrolidin-2-il]metoxi]quinazolin-4-il)-3-metilpiperazin-1-il}prop-2-en-1-ona  
*inhibidor homólogo del oncogén del virus del sarcoma de rata (KRAS), antineoplásico*

C<sub>29</sub>H<sub>32</sub>ClF<sub>4</sub>N<sub>7</sub>O<sub>2</sub>

2417987-45-0



**dordavipronum**

dordaviprone

7-benzyl-4-[(2-methylphenyl)methyl]-2,4,6,7,8,9-hexahydroimidazo[1,2-a]pyrido[3,4-e]pyrimidin-5(1H)-one  
*antineoplastic*

dordaviprone

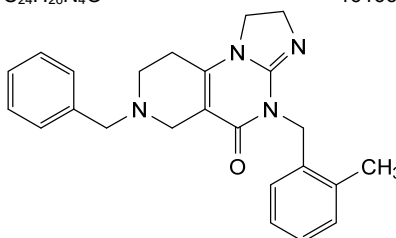
7-benzyl-4-[(2-méthylphényl)méthyl]-2,4,6,7,8,9-hexahydroimidazo[1,2-a]pyrido[3,4-e]pyrimidin-5(1H)-one  
*antinéoplasique*

dordaviprona

7-bencil-4-[(2-metilfenil)metil]-2,4,6,7,8,9-hexahidroimidazo[1,2-a]pirido[3,4-e]pirimidin-5(1H)-ona  
*antineoplásico*

C<sub>24</sub>H<sub>26</sub>N<sub>4</sub>O

1616632-77-9

**dovramilastum**

dovramilast

*N*-{2-[(1*S*)-1-(3-ethoxy-4-methoxyphenyl)-2-(methanesulfonyl)ethyl]-3-oxo-2,3-dihydro-1*H*-isoindol-4-yl}cyclopropanecarboxamide  
*phosphodiesterase 4 (PDE4) inhibitor*

dovramilast

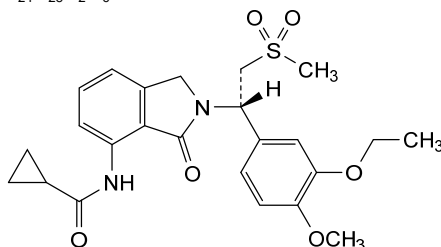
*N*-{2-[(1*S*)-1-(3-éthoxy-4-méthoxyphényl)-2-(méthanesulfonyl)éthyl]-3-oxo-2,3-dihydro-1*H*-isoindol-4-yl}cyclopropanecarboxamide  
*inhibiteur de la phosphodiesterase 4 (PDE4)*

dovramilast

*N*-{2-[(1*S*)-1-(3-etoxi-4-metoxifenil)-2-(metanosulfonyl)etil]-3-oxo-2,3-dihidro-1*H*-isoindol-4-il}ciclopropanocarboxamida  
*inhibidor de la fosfodiesterasa 4 (PDE4)*

C<sub>24</sub>H<sub>28</sub>N<sub>2</sub>O<sub>6</sub>S

340019-69-4



**eciskafuspum alfa #**  
eciskafusp alfa

humanized immunoglobulin G1-kappa anti-(human PDCD1 (programmed cell death protein 1, PD-1, CD279)) fused at the C-terminus of one heavy chain (1-449), variant (L237>A, L238>A, P332>G, S357>C, T369>W, C-terminal K<sup>450</sup> deleted), via the peptide linker <sup>450</sup>GGGSGGGSGGGGS<sup>464</sup>, to human interleukin 2 (IL2) (465-597), variant (T<sup>3</sup>>A<sup>467</sup>, F<sup>42</sup>>A<sup>506</sup>, Y<sup>45</sup>>A<sup>509</sup>, L<sup>72</sup>>G<sup>536</sup>, C<sup>125</sup>>A<sup>589</sup>), disulfide bridged to gamma1 heavy chain (1-450), variant (L237">A, L238">A, P332">G, Y352">C, T369">S, L371">A, Y410">V) with each gamma1 chain disulfide bridged to the same kappa light chain, heterodimer, produced in Chinese hamster ovary (CHO) cells, glycoform alfa;

humanized immunoglobulin G1-kappa, anti-[*Homo sapiens* PDCD1 (programmed cell death protein 1, PD-1, PD1, CD279)], fused at the C-terminus of one heavy chain, via a (G<sub>4</sub>S)<sub>3</sub> peptide linker with one interleukin 2 mutant chain, glycoform alfa: gamma1 heavy chain (1-449) [VH (*Homo sapiens* IGHV3-23\*01 -(IGHD) -IGHJ5\*01, CDR-Kabat [5.17.11] (31-35.50-66.99-109)) (1-120) -*Homo sapiens* IGHG1\*01 CH1 (121-218), hinge (219-233), CH2 L<sup>237</sup>>A, L<sup>238</sup>>A, P<sup>332</sup>>G, (234-343), CH3 S<sup>357</sup>>C, T<sup>369</sup>>W (344-448), CHS K<sup>450</sup>>del (449))] fused via a (G<sub>4</sub>S)<sub>3</sub> peptide linker (450-464) with interleukin 2 (IL2, human), [T<sup>3</sup>>A<sup>467</sup>, F<sup>42</sup>>A<sup>506</sup>, Y<sup>45</sup>>A<sup>509</sup>, L<sup>72</sup>>G<sup>536</sup>, C<sup>125</sup>>A<sup>589</sup>]-mutant (465-597), (223-218')-disulfide with kappa light chain (1'-218') [V-KAPPA (*Homo sapiens* IGKV4-1\*01 -IGKJ1\*01, CDR-Kabat [15.7.9] (24'-38'.54'-60'.93'-101'')) (1'-111'') -*Homo sapiens* IGKC\*01 (112'-218'')], (229-229'':232-232'', 357-352'')- trisulfide heterodimer with gamma1 heavy chain (1''-450'') [VH (*Homo sapiens* IGHV3-23\*01 -(IGHD) -IGHJ5\*01, CDR-Kabat [5.17.11] (31''-35''.50''-66''.99''-109'')) (1''-120'') -*Homo sapiens* IGHG1\*01 CH1 (121''-218''), hinge (219''-233''), CH2 L<sup>237</sup>>A, L<sup>238</sup>>A, P<sup>332</sup>>G (234''-343''), CH3 Y<sup>352</sup>>C, T<sup>369</sup>>S, L<sup>371</sup>>A, Y<sup>410</sup>>V (344''-448'') CHS (449''-450'')], (223''-218'')-disulfide with kappa light chain (1'''-218''') [V-KAPPA (*Homo sapiens* IGKV4-1\*01 -IGKJ1\*01, CDR-Kabat [15.7.9] (24'''-38'''-54'''-60'''-93'''-101''')) (1'''-111''') -*Homo sapiens* IGKC\*01 (112'''-218''')], produced in Chinese hamster ovary (CHO) cells, glycoform alfa *antineoplastic*

éciskafusp alfa

immunoglobuline G1-kappa humanisée anti-(PDCD1 humaine (protéine de mort cellulaire programmée 1, PD-1, CD279)) fusionnée à l'extrémité C-terminale d'une chaîne lourde (1-449), variante (L237>A, L238>A, P332>G, S357>C, T369>W, K<sup>450</sup> C-terminal supprimé), via la liaison peptidique <sup>450</sup>GGGSGGGSGGGGS<sup>464</sup>, à l'interleukine 2 (IL2) humaine (465-597), variante (T<sup>3</sup>>A<sup>467</sup>, F<sup>42</sup>>A<sup>506</sup>, Y<sup>45</sup>>A<sup>509</sup>, L<sup>72</sup>>G<sup>536</sup>, C<sup>125</sup>>A<sup>589</sup>), pont disulfure attaché à la chaîne lourde gamma1 (1-450), variant (L237">A, L238">A, P332">G, Y352">C, T369">S, L371">A, Y410">V) avec chaque chaîne gamma1 attachée par un pont disulfure à la même chaîne légère kappa, hétérodimère, produit dans des cellules ovariennes de hamster chinois (CHO), glycoforme alfa;

immunoglobuline G1-kappa humanisée, anti-[*Homo sapiens* PDCD1 (protéine de mort cellulaire programmée 1, PD-1, PD1, CD279)], fusionnée à l'extrémité C-terminale d'une chaîne lourde, via la liaison peptidique (G<sub>4</sub>S)<sub>3</sub>, avec une chaîne mutante d'interleukine 2, glycoforme alfa: chaîne lourde gamma1 (1-449) [VH (*Homo sapiens* IGHV3-23\*01 -(IGHD) -IGHJ5\*01, CDR-Kabat [5.17.11] (31-35.50-66.99-109)) (1-120) -*Homo sapiens* IGHG1\*01 CH1 (121-218), charnière (219-233), CH2 L<sup>237</sup>>A, L<sup>238</sup>>A, P<sup>332</sup>>G, (234-343), CH3 S<sup>357</sup>>C, T<sup>369</sup>>W (344-448), CHS K<sup>450</sup>>del (449))] fusionnée via la liaison

peptidique (G<sub>4</sub>S)<sub>3</sub> (450-464) avec l'interleukine 2 (IL2, humaine), [T<sup>3</sup>>A<sup>467</sup>, F<sup>42</sup>>A<sup>506</sup>, Y<sup>45</sup>>A<sup>509</sup>, L<sup>72</sup>>G<sup>536</sup>, C<sup>125</sup>>A<sup>589</sup>]-mutant (465-597), (223-218')-disulfure avec la chaîne légère kappa (1'-218') [V-KAPPA (*Homo sapiens* IGKV4-1\*01 -IGKJ1\*01, CDR-Kabat [15.7.9] (24'-38'.54'-60'.93'-101')) (1'-111') -*Homo sapiens* IGKC\*01 (112'-218'))], hétérodimère (229-229":232-232", 357-352")-trisdisulfure avec la chaîne lourde gamma1 (1"-450") [VH (*Homo sapiens* IGHV3-23\*01 -(IGHD) -IGHJ5\*01, CDR-Kabat [5.17.11] (31"-35".50"-66".99"-109")) (1"-120") -*Homo sapiens* IGHG1\*01 CH1 (121"-218"), charnière (219"-233"), CH2 L<sup>237</sup>>A, L<sup>238</sup>>A, P<sup>332</sup>>G (234"-343"), CH3 Y<sup>352</sup>>C, T<sup>369</sup>>S, L<sup>371</sup>>A, Y<sup>410</sup>>V (344"-448") CHS (449"-450")], (223"-218''')-disulfure avec chaîne légère kappa (1'''-218''') [V-KAPPA (*Homo sapiens* IGKV4-1\*01 -IGKJ1\*01, CDR-Kabat [15.7.9] (24'''-38'''-54'''-60'''-93'''-101''')) (1'''-111''') -*Homo sapiens* IGKC\*01 (112'''-218''')], produit dans des cellules ovariennes de hamsters chinois (CHO), glycoforme alfa *antinéoplasique*

## eciskafusp alfa

inmunoglobulina G1-kappa humanizada anti-(PDCD1 humano (proteína 1 de muerte celular programada, PD-1, CD279)) fusionada en el C-terminal de una cadena pesada (1-449), variante (L237>A, L238>A, P332>G, S357>C, T369>W, C-terminal K<sup>450</sup> eliminada), a través de un enlace peptídico <sup>450</sup>GGGGSGGGSGGGGS<sup>464</sup>, a la interleukina 2 humana (IL2) (465-597), variante (T<sup>3</sup>>A<sup>467</sup>, F<sup>42</sup>>A<sup>506</sup>, Y<sup>45</sup>>A<sup>509</sup>, L<sup>72</sup>>G<sup>536</sup>, C<sup>125</sup>>A<sup>589</sup>), disulfuro unido a la cadena pesada gamma1 (1-450), variante (L237">A, L238">A, P332">G, Y352">C, T369">S, L371">A, Y410">V) con cada cadena gamma1 disulfuro unida a la misma cadena ligera kappa, heterodímero, producida en células ováricas de hámster Chino (CHO), glicofoma alfa; inmunoglobulina G1-kappa humanizada, anti-[*Homo sapiens* PDCD1 (proteína de muerte celular programada 1, PD-1, PD1, CD279)], fusionada en el extremo C-terminal de una cadena pesada, a través de un enlace peptídico (G<sub>4</sub>S)<sub>3</sub> con una cadena mutante de interleukina 2, glicofoma alfa: cadena pesada gamma1 (1-449) [VH (*Homo sapiens* IGHV3-23\*01 -(IGHD) -IGHJ5\*01, CDR-Kabat [5.17.11] (31-35.50-66.99-109)) (1-120) -*Homo sapiens* IGHG1\*01 CH1 (121-218), bisagra (219-233), CH2 L<sup>237</sup>>A, L<sup>238</sup>>A, P<sup>332</sup>>G, (234-343), CH3 S<sup>357</sup>>C, T<sup>369</sup>>W (344-448), CHS K<sup>450</sup>>del (449)] fusionada mediante un enlace peptídico (G<sub>4</sub>S)<sub>3</sub> (450-464) con interleukina 2 (IL2, humana), [T<sup>3</sup>>A<sup>467</sup>, F<sup>42</sup>>A<sup>506</sup>, Y<sup>45</sup>>A<sup>509</sup>, L<sup>72</sup>>G<sup>536</sup>, C<sup>125</sup>>A<sup>589</sup>]-mutante (465-597), (223-218')-disulfuro con cadena ligera kappa (1'-218') [V-KAPPA (*Homo sapiens* IGKV4-1\*01 -IGKJ1\*01, CDR-Kabat [15.7.9] (24'-38'.54'-60'.93'-101')) (1'-111') -*Homo sapiens* IGKC\*01 (112'-218'))], heterodímero (229-229":232-232", 357-352")-trisdisulfuro con cadena pesada gamma1 (1"-450") [VH (*Homo sapiens* IGHV3-23\*01 -(IGHD) -IGHJ5\*01, CDR-Kabat [5.17.11] (31"-35".50"-66".99"-109")) (1"-120") -*Homo sapiens* IGHG1\*01 CH1 (121"-218"), bisagra (219"-233"), CH2 L<sup>237</sup>>A, L<sup>238</sup>>A, P<sup>332</sup>>G (234"-343"), CH3 Y<sup>352</sup>>C, T<sup>369</sup>>S, L<sup>371</sup>>A, Y<sup>410</sup>>V (344"-448") CHS (449"-450")], (223"-218''')-disulfuro con cadena ligera kappa (1'''-218''') [V-KAPPA (*Homo sapiens* IGKV4-1\*01 -IGKJ1\*01, CDR-Kabat [15.7.9] (24'''-38'''-54'''-60'''-93'''-101''')) (1'''-111''') -*Homo sapiens* IGKC\*01 (112'''-218''')], producido en las células ováricas de hámster Chino (CHO), glicofoma alfa *antineoplásico*

2649758-52-9

Heavy chains / Chaînes lourdes / Cadenas pesadas

H: IgG1γ-IL2

EVQLLESGGG LVQPGGSLRL SCAASGFSPS SYTMSWVRQA PGKGLEWVAT 50  
 ISGGGRDIYY PDSVKGRFTI SRDNSKNTLY LQMNSLRAED TAVYYCVLLT 100  
 GRVYFALDSW GQGTLVTVSS ASTKGPSVFP LAPSSKSTSG GTAALGCLVK 150  
 DYFPEPVTWS WNSGALTSKV HTPFAVLQSS GLYSLSSVVT VPSSSLGTQT 200  
 YICNVNHRPS NTKVDKKEVP KSCDKTHTCP PCPAPFAAGG PSVFLFPPKP 250  
 KDTLMISRTPEVTCVVVDVSD HEDPEVKFNW YVDGVEVHNA KTKPREEQYN 300  
 STYRVVSVLT VLNQDNLNGK EYKCKVSNKA LGAPIEKTIS KAKGQPREPQ 350  
 VYTLPPCRDE LTKNQVSLVWC LVKGPYPSDI AVEWESNGQP ENNYKTTTPV 400  
 LDSGGSFFLY SKLTVDKSRW QQGNVFCVSV MHEALHNHYT QKSLSLSPG 450  
**GGSGGGGGSG GGSAPASS** TRKTKQLQLEH LLLDLQMLN GINNYKNPKL 500  
 TRMLTAKFAM PKKATELKLH QCLEEELKPL EEVLNCAQSK NFHLRPRDLI 550  
 SNINIVLEL KGETTFMCE YADETATIVE FLNRWITFAQ SIISTLT 597

H<sup>h</sup>: IgG1γ

EVQLLESGGG LVQPGGSLRL SCAASGFSPS SYTMSWVRQA PGKGLEWVAT 50  
 ISGGGRDIYY PDSVKGRFTI SRDNSKNTLY LQMNSLRAED TAVYYCVLLT 100  
 GRVYFALDSW GQGTLVTVSS ASTKGPSVFP LAPSSKSTSG GTAALGCLVK 150  
 DYFPEPVTWS WNSGALTSKV HTPFAVLQSS GLYSLSSVVT VPSSSLGTQT 200  
 YICNVNHRPS NTKVDKKEVP KSCDKTHTCP PCPAPFAAGG PSVFLFPPKP 250  
 KDTLMISRTPEVTCVVVDVSD HEDPEVKFNW YVDGVEVHNA KTKPREEQYN 300  
 STYRVVSVLT VLNQDNLNGK EYKCKVSNKA LGAPIEKTIS KAKGQPREPQ 350  
 VQLTLPSPRDE LTKNQVSLVSC AVKGFYPSDI AVEWESNGQP ENNYKTTTPV 400  
 LDSGGSFFLV SKLTVDKSRW QQGNVFCVSV MHEALHNHYT QKSLSLSPGK 450

Light chains / Chaînes légères / Cadenas ligeras: L', L''

DIVMTQSPDS LAVSLGERAT INCKASESVD TSDNSFIHWY QKPGQSPKEL 50  
 LIYRSSTLES GVPDRFSGSG SGTDFTLTIS SLQAEDVAVY YCQYNYDVPWF 100  
 TFGQGTKEVEI KRTVAAPSVEF IFPSPDEQLK SGTASVCLL NNFYPREAKV 150  
 QWKVDNALQS GNSQESVTEQ DSKDSTYSLT STLTLKADY EKHKVYACEV 200  
 THQCLSPVPT KSFNRGEC 218

Mutation / Mutation / Mutación

H: L<sup>237></sup>A, L<sup>238></sup>A, P<sup>332></sup>G, S<sup>357></sup>C, T<sup>369></sup>W, K<sup>450></sup>del

IL2: T<sup>3></sup>A<sup>67</sup>, F<sup>12></sup>A<sup>506</sup>, V<sup>45></sup>A<sup>509</sup>, I<sup>72></sup>C<sup>536</sup>, C<sup>125></sup>A<sup>589</sup>

H<sup>h</sup>: L<sup>237></sup>A, L<sup>238></sup>A, P<sup>332></sup>G, V<sup>352></sup>C, T<sup>369></sup>S, L<sup>371n></sup>A, Y<sup>410n></sup>V

Peptide linker / Peptide liant / Péptido de unión

450-464 **GGSGGGGGGGGG**

Post-translational modifications

Disulfide bridges location / Position des ponts disulfure / Posiciones de los puentes disulfuro

Intra-H 22-96 147-203 264-324 370-428  
 22"-96" 147"-203" 264"-324" 370"-428"

Intra-IL2 522-569

Intra-L 23'-92' 138"-198"  
 23"-92" 138"-198"

Inter-H-L 223-218" 223"-218"

Inter-H-H 229-229" 232-232" 357-352"

N-glycosylation sites / Sites de N-glycosylation / Posiciones de N-glicosilación

H CH2 N84.4: N300, N300"

C-terminal lysine clipping / Coupure de la lysine C-terminale / Recorte de lisina C-terminal

H CHS K2: K450"

**edecesertibum**

edecesertib

4-[[*(1R)*-1-cyanoethyl]amino]-6-(3-cyanopyrrolo[1,2-*b*]pyridazin-7-yl)-*N*-[(*2R*)-2-fluoro-3-hydroxy-3-methylbutyl]pyridine-3-carboxamide  
*serine/ threonine kinase inhibitor, anti-inflammatory*

édécésertib

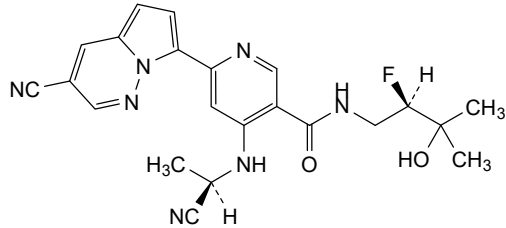
4-[[*(1R)*-1-cyanoéthyl]amino]-6-(3-cyanopyrrolo[1,2-*b*]pyridazin-7-yl)-*N*-[(*2R*)-2-fluoro-3-hydroxy-3-méthylbutyl]pyridine-3-carboxamide  
*inhibiteur de sérine/ thréonine kinase, anti-inflammatoire*

edecesertib

4-[[*(1R)*-1-cianoetil]amino]-6-(3-cianopirrolo[1,2-*b*]piridazin-7-il)-*N*-[[*(2R)*-2-fluoro-3-hidroxi-3-metilbutil]piridina-3-carboxamida  
*inhibidor de serina/ treonina kinasa antiinflamatorio*

C<sub>22</sub>H<sub>22</sub>FN<sub>7</sub>O<sub>2</sub>

2408839-73-4



**eglatoprutugum #**  
 eglatoprutug

immunoglobulin G1-kappa, anti-[*Homo sapiens* KIT (KIT proto-oncogene receptor tyrosine kinase, c-kit, SCFR, CD117)], humanized monoclonal antibody; gamma1 heavy chain humanized (1-446) [VH (*Homo sapiens* IGHV1-46\*01 (87.8%) -(IGHD) -IGHJ6\*01 (90.9%), CDR-IMGT [8.8.10] (26-33.51-58.97-106)) (1-117) -*Homo sapiens* IGHG1\*01, G1m17,1 (CH1 K120 (214) (118-215), hinge 1-15 (216-230), CH2 (231-340), CH3 D12 (356), L14 (358) (341-445), CHS K2>del (446)) (118-446)], (220-218')-disulfide with kappa light chain humanized (1'-218') [V-KAPPA (*Homo sapiens* IGKV2-28\*01 (80.0%) -IGKJ4\*01 (100%), CDR-IMGT [10.3.9] (27-36.54-56.93-101)) (1'-111') -*Homo sapiens* IGKC\*01 (100%), Km3 A45.1 (157), V101 (195) (112'-218')]; dimer (226-226'': 229-229'')-bisdisulfide, produced in Chinese hamster ovary (CHO) cells, cell line CHO-K1 lacking the glutamine synthetase (GS-KO) gene, glycoform alfa  
*immunosuppressive*

églatoprutug

immunoglobuline G1-kappa, anti-[*Homo sapiens* KIT (KIT proto-oncogène récepteur tyrosine kinase, c-Kit, SCFR, CD117)], anticorps monoclonal humanisé; chaîne lourde gamma1 humanisée (1-446) [VH (*Homo sapiens* IGHV1-46\*01 (87.8%) -(IGHD) - IGHJ6\*01 (90.9%), CDR-IMGT [8.8.10] (26-33.51-58.97-106)) (1-117) -*Homo sapiens* IGHG1\*01, G1m17,1 (CH1 K120 (214) (118-215), charnière 1-15 (216-230), CH2 (231-340), CH3 D12 (356), L14 (358) (341-445), CHS K2>del (446)) (118-446)], (220-218')-disulfure avec la chaîne légère kappa humanisée (1'-218') [V-KAPPA (*Homo sapiens* IGKV2-28\*01 (80.0%) -IGKJ4\*01 (100%), CDR-IMGT [10.3.9] (27-36.54-56.93-101)) (1'-111') -*Homo sapiens* IGKC\*01 (100%), Km3 A45.1 (157), V101(195) (112'-218')]; dimère (226-226'': 229-229'')-bisdisulfure, produit dans des cellules ovariennes de hamster chinois (CHO), lignée cellulaire CHO-K1 ne présentant pas le gène de la glutamine synthétase (GS-KO), glycoforme alfa  
*immunosuppresseur*

eglatoprutug

immunoglobulina G1-kappa, anti-[*Homo sapiens* KIT (KIT proto-oncogen receptor tirosina kinasa, c-Kit, SCFR, CD117)], anticuerpo monoclonal humanizado ;  
 cadena pesada gamma1 humanizada (1-446) [VH (*Homo sapiens* IGHV1-46\*01 (87.8%) -(IGHD) - IGHJ6\*01 (90.9%), CDR-IMGT [8.8.10] (26-33.51-58.97-106)) (1-117) -*Homo sapiens* IGHG1\*01, G1m17,1 (CH1 K120 (214) (118-215), bisagra 1-15 (216-230), CH2 (231-340), CH3 D12 (356), L14 (358) (341-445), CHS K2<del (446)) (118-446)], (220-218')-disulfuro con la cadena ligera kappa humanizada (1'-218') [V-KAPPA (*Homo sapiens* IGKV2-28\*01 (80.0%) -IGKJ4\*01 (100%), CDR-IMGT [10.3.9] (27-36.54-56.93-101)) (1'-111') -*Homo sapiens* IGKC\*01 (100%), Km3 A45.1 (157), V101 (195) (112'-218')]; dímero (226-226'': 229-229'')-bisdisulfuro  
*inmunosupresor*

2518200-21-8

## Heavy chain / Chaîne lourde / Cadena pesada

QVQLVQSGAE VVKFGASVKV SCKASGYTFT SYNMHVWRQA PGQGLEWMMGV	50
IYSGNGDSTY AQRKFKGRVTI TADKSTSTAY MELSLRSED TAVYYCARER	100
DTRFGNWGGQ TLVTVSSAST KGPSVFLPAP SSKSTSGGTA ALGCLVKDYF	150
PEPVTWVNS GALTSGVHTF PAVLQSSGLY SLSVTVTPS SSLGTQTYIC	200
NVNHKPSNTK VDKKVEPKSC DKHTCCPCP APPELLGGPSV FLFPPKPKDT	250
LMISRTPEVT CVVVDVSHED PEVKFNWYVD GVEVHNAKTK PREBQYNSTY	300
RVVSVLTVLH QDWLNGKEYK CKVSNKALPA PIEKTSKAK GQPFQPVYT	350
LPFSDDELTK NQVSLTCLVK GFYPSDIAVE WESNGQPENN YKTTFPVLDL	400
DGSFFLYSKL TVDKSRWQQG NVFCSVMHE ALHNHYTQKS LLSLSPG	446

## Light chain / Chaîne légère / Cadena ligera

DIVMTQSPPLS LPVTPGEPAS ISCRASESDV IYQSFMHY LQKPGQSPQL	50
LILYLANLES GVPDRFSGSG SGTDFTLKIS RVEAEDVGYV YCQQNEDPY	100
TFGGGTKEVI KRTVAAPSVF IFPPSDEQLK SGTSASVCLL NNFYFREAKV	150
QWKVDNALQS GNSQESVTEQ DSKDSTYLSL STLTLSKADY EKHKVYACEV	200
THQGLSSPVT KSFNRGEC	218

## Post-translational modifications

Disulfide bridges location / Position des ponts disulfure / Posiciones de los puentes disulfuro

Intra-H (C23-C104)	22-96	144-200	261-321	367-425
	22 <sup>°</sup> -96 <sup>°</sup>	144 <sup>°</sup> -200 <sup>°</sup>	261 <sup>°</sup> -321 <sup>°</sup>	367 <sup>°</sup> -425 <sup>°</sup>
Intra-L (C23-C104)	23 <sup>°</sup> -92 <sup>°</sup>	138 <sup>°</sup> -198 <sup>°</sup>		
	23 <sup>°</sup> -92 <sup>°</sup>	138 <sup>°</sup> -198 <sup>°</sup>		
Inter-H-L (h 5-CL 126)	220-218'	220'-218"		
Inter-H-H (h 11, h 14)	226-226''	229-229''		

N-terminal glutaminyl cyclization / Cyclisation du glutaminyle N-terminal / Ciclación del glutaminilo N-terminal

Q &gt; pyroglutamyl (pE, 5-oxopropyl) / pyroglutamyle (pE, 5-oxopropyle) / piroglutamilo (pE, 5-oxopropilo)

H VH Q1: 1, 1"

N-glycosylation sites / Sites de N-glycosylation / Posiciones de N-glicosilación

H CH2 N84.4; 297, 297"

Fucosylated complex bi-antennary CHO-type glycans / glycanes de type CHO bi-antennaires complexes fucosylés / glicanos de tipo CHO biantennarios complejos fucosilados.

eldocasinanum

eldocasinan

micro-ribonucleic acid miRNA-193a-3p (mature, 22 bases, miRBase: MIMAT0000459), duplex with an artificial modified passenger strand (22 bases) matching with all nucleotides of a sequence of 20 bases; adenylyl-(3'→5')-adenylyl-(3'→5')-cytidylyl-(3'→5')-uridylyl-(3'→5')-guanylyl-(3'→5')-guanylyl-(3'→5')-cytidylyl-(3'→5')-cytidylyl-(3'→5')-uridylyl-(3'→5')-adenylyl-(3'→5')-cytidylyl-(3'→5')-adenylyl-(3'→5')-adenylyl-(3'→5')-guanylyl-(3'→5')-uridylyl-(3'→5')-cytidylyl-(3'→5')-cytidylyl-(3'→5')-cytidylyl-(3'→5')-adenylyl-(3'→5')-guanylyl-(3'→5')-uridine, duplex with thymidylyl-(5'→3')-thymidylyl-(5'→3')-2'-O-methyluridylyl-(5'→3')-2'-O-methyluridylyl-(5'→3')-guanylyl-(5'→3')-adenylyl-(5'→3')-cytidylyl-(5'→3')-cytidylyl-(5'→3')-guanylyl-(5'→3')-guanylyl-(5'→3')-adenylyl-(5'→3')-uridylyl-(5'→3')-guanylyl-(5'→3')-uridylyl-(5'→3')-uridylyl-(5'→3')-uridylyl-(5'→3')-cytidylyl-(5'→3')-adenylyl-(5'→3')-guanylyl-(5'→3')-guanylyl-(5'→3')-2'-O-methylguanylyl-(5'→3')-2'-O-methyluridine  
*microRNA-193a-3p analogue, antineoplastic*

eldocasiran

acide micro-ribonucléique miARN-193a-3p (mature, 22 bases, miRBase: MIMAT0000459), duplex avec un brin passager modifié artificiel (22 bases) correspondant à tous les nucléotides d'une séquence de 20 bases;  
 adénylyl-(3'→5')-adénylyl-(3'→5')-cytidyl-(3'→5')-uridylyl-(3'→5')-guanylyl-(3'→5')-guanylyl-(3'→5')-cytidyl-(3'→5')-cytidyl-(3'→5')-uridylyl-(3'→5')-adénylyl-(3'→5')-cytidyl-(3'→5')-adénylyl-(3'→5')-adénylyl-(3'→5')-adénylyl-(3'→5')-guanylyl-(3'→5')-uridylyl-(3'→5')-cytidyl-(3'→5')-cytidyl-(3'→5')-cytidyl-(3'→5')-adénylyl-(3'→5')-guanylyl-(3'→5')-uridine, duplex avec thymidyl-(5'→3')-thymidyl-(5'→3')-2'-O-méthyluridylyl-(5'→3')-2'-O-méthyluridylyl-(5'→3')-guanylyl-(5'→3')-adénylyl-(5'→3')-cytidyl-(5'→3')-cytidyl-(5'→3')-guanylyl-(5'→3')-guanylyl-(5'→3')-adénylyl-(5'→3')-uridylyl-(5'→3')-guanylyl-(5'→3')-uridylyl-(5'→3')-uridylyl-(5'→3')-uridylyl-(5'→3')-cytidyl-(5'→3')-adénylyl-(5'→3')-guanylyl-(5'→3')-guanylyl-(5'→3')-2'-O-méthylguanylyl-(5'→3')-2'-O-méthyluridine  
*analogue du micro-ARN-193a-3p, antinéoplasique*

eldocasirán

ácido micro-ribonucleico miARN-193a-3p (maduro, 22 bases, miRBase: MIMAT0000459), dúplex con una cadena pasajera artificial modificada (22 bases) que se empareja con todos los nucleótidos de una secuencia de 20 bases;  
 adenilil-(3'→5')-adenilil-(3'→5')-citidilil-(3'→5')-uridilil-(3'→5')-guanilil-(3'→5')-guanilil-(3'→5')-citidilil-(3'→5')-citidilil-(3'→5')-uridilil-(3'→5')-adenilil-(3'→5')-citidilil-(3'→5')-adenilil-(3'→5')-adenilil-(3'→5')-guanilil-(3'→5')-uridilil-(3'→5')-citidilil-(3'→5')-citidilil-(3'→5')-citidilil-(3'→5')-adenilil-(3'→5')-guanilil-(3'→5')-uridina, dúplex con timidilil-(5'→3')-timidilil-(5'→3')-2'-O-metiluridilil-(5'→3')-2'-O-metiluridilil-(5'→3')-guanilil-(5'→3')-adenilil-(5'→3')-citidilil-(5'→3')-citidilil-(5'→3')-guanilil-(5'→3')-guanilil-(5'→3')-adenilil-(5'→3')-uridilil-(5'→3')-guanilil-(5'→3')-uridilil-(5'→3')-uridilil-(5'→3')-citidilil-(5'→3')-adenilil-(5'→3')-guanilil-(5'→3')-guanilil-(5'→3')-2'-O-metilguanilil-(5'→3')-2'-O-metiluridina  
*análogo del micro-ARN-193a-3p, antineoplásico*

C<sub>423</sub>H<sub>529</sub>N<sub>161</sub>O<sub>305</sub>P<sub>42</sub>

2615098-65-0

(3'5')A—A—C—U—G—G—C—C—U—A—C—A—A—A—G—U—C—C—C—A—G—U  
 .....  
 (5'3')dT·Um·Um·G·A·C·C·G·G·A·U·G·U·U·U·C·A·G·G·Gm·Um

N : nucleoside / nucléoside / nucleósido  
 dN : 2'-deoxy-N / 2'-desoxy-N / 2'-desoxi-N  
 Nm : 2'-O-methyl-N / 2'-O-méthyl-N / 2'-O-metil-N

elebsiranum

elebsiran

*all-P-ambo-2'-O-methyl-P-thioguanlyl-(3'→5')-2'-O-methyl-P-thiouridylyl-(3'→5')-2'-O-methylguanylyl-(3'→5')-2'-O-methyluridylyl-(3'→5')-2'-deoxy-2'-fluoroguanlyl-(3'→5')-2'-O-methylcytidyl-(3'→5')-2'-deoxy-2'-fluoroadenylyl-(3'→5')-2'-deoxy-2'-fluorocytidyl-(3'→5')-2'-deoxy-2'-fluorouridylyl-(3'→5')-2'-O-methyluridylyl-(3'→5')-2'-O-methylcytidyl-(3'→5')-2'-O-methylguanylyl-(3'→5')-2'-O-methylcytidyl-(3'→5')-2'-O-methyluridylyl-(3'→5')-2'-O-methyluridylyl-(3'→5')-2'-O-methylcytidyl-(3'→5')-2'-O-methyladenylyl-(3'→5')-2'-O-methylcytidyl-(3'→5')-[(2S,4R)-1-{1-[(2-acetamido-2-deoxy-β-D-galactopyranosyl)oxy]-16,16-bis({3-[(3-{5-[(2-acetamido-2-deoxy-β-D-galactopyranosyl)oxy]pentanamido}propyl)amino]-3-oxopropoxy)methyl}-5,11,18-trioxo-14-oxa-6,10,17-triazanococan-29-oyl)-4-hydroxypyrrolidin-2-yl]methyl hydrogen 2'-O-methyl-3'-adenylate,*

	<p>duplex with <i>all-P-ambo-2'-O-methyl-P-thiouridylyl-(5'→3')-2'-O-methyl-P-thiouridylyl-(5'→3')-2'-O-methylcytidylyl-(5'→3')-2'-O-methyladenylyl-(5'→3')-2'-O-methylcytidylyl-(5'→3')-2'-deoxy-2'-fluoroadenylyl-(5'→3')-2'-O-methylcytidylyl-(5'→3')-2'-deoxy-2'-fluoroguanlylyl-(5'→3')-2'-O-methyluridylyl-(5'→3')-2'-O-methylguanylyl-(5'→3')-2'-O-methyladenylyl-(5'→3')-2'-O-methyladenylyl-(5'→3')-2'-deoxy-2'-fluoroguanlylyl-(5'→3')-2'-deoxy-2'-fluorocytidylyl-(5'→3')-2'-O-methylguanylyl-(5'→2')-[(2S)-3-(6-amino-9H-purin-9-yl)-2-hydroxypropoxy]hydroxyphosphoryl-(1'→3')-2'-O-methyladenylyl-(5'→3')-2'-O-methylguanylyl-(5'→3')-2'-O-methyl-P-thiouridylyl-(5'→3')-2'-deoxy-2'-fluoro-P-thioguanlylyl-(5'→3')-2'-O-methyluridine</i> <i>antiviral</i></p>
élebsiran	<p><i>tout-P-ambo-2'-O-méthyl-P-thioguanlylyl-(3'→5')-2'-O-méthyl-P-thiouridylyl-(3'→5')-2'-O-méthylguanylyl-(3'→5')-2'-O-méthyluridylyl-(3'→5')-2'-désoxy-2'-fluoroguanlylyl-(3'→5')-2'-O-méthylcytidylyl-(3'→5')-2'-désoxy-2'-fluoroadénylyl-(3'→5')-2'-désoxy-2'-fluorocytidylyl-(3'→5')-2'-désoxy-2'-fluorouridylyl-(3'→5')-2'-O-méthyluridylyl-(3'→5')-2'-O-méthylcytidylyl-(3'→5')-2'-O-méthylguanylyl-(3'→5')-2'-O-méthylcytidylyl-(3'→5')-2'-O-méthyluridylyl-(3'→5')-2'-O-méthyluridylyl-(3'→5')-2'-O-méthylcytidylyl-(3'→5')-2'-O-méthyladénylyl-(3'→5')-2'-O-méthylcytidylyl-(3'→5')-hydrogéno-2'-O-méthyl-3'-adénylate de [(2S,4R)-1-{1-[(2-acétamido-2-désoxy-β-D-galactopyranosyl)oxy]-16,16-bis({3-[(3-5-[(2-acétamido-2-désoxy-β-D-galactopyranosyl)oxy]pentanamido)propil]amino)-3-oxopropoxy)méthyl}-5,11,18-trioxo-14-oxa-6,10,17-triazanonacosan-29-oyl)-4-hydroxypyrrolidin-2-yl]méthyle</i>, duplex avec <i>tout-P-ambo-2'-O-méthyl-P-thiouridylyl-(5'→3')-2'-O-méthyl-P-thiouridylyl-(5'→3')-2'-O-méthylcytidylyl-(5'→3')-2'-O-méthyladénylyl-(5'→3')-2'-O-méthylcytidylyl-(5'→3')-2'-désoxy-2'-fluoroadénylyl-(5'→3')-2'-O-méthylcytidylyl-(5'→3')-2'-désoxy-2'-fluoroguanlylyl-(5'→3')-2'-O-méthyluridylyl-(5'→3')-2'-O-méthylguanylyl-(5'→3')-2'-O-méthyladénylyl-(5'→3')-2'-O-méthyladénylyl-(5'→3')-2'-désoxy-2'-fluoroguanlylyl-(5'→3')-2'-désoxy-2'-fluorocytidylyl-(5'→3')-2'-O-méthylguanylyl-(5'→2')-[(2S)-3-(6-amino-9H-purin-9-yl)-2-hydroxypropoxy]hydroxyphosphoryl-(1'→3')-2'-O-méthyladénylyl-(5'→3')-2'-O-méthylguanylyl-(5'→3')-2'-O-méthyl-P-thiouridylyl-(5'→3')-2'-désoxy-2'-fluoro-P-thioguanlylyl-(5'→3')-2'-O-méthyluridine</i> <i>antiviral</i></p>
elebsirán	<p><i>todo-P-ambo-2'-O-metil-P-tioguanilil-(3'→5')-2'-O-metil-P-tiouridilil-(3'→5')-2'-O-metilguanilil-(3'→5')-2'-O-metiluridilil-(3'→5')-2'-desoxi-2'-fluoroguanilil-(3'→5')-2'-O-metilcitolil-(3'→5')-2'-desoxi-2'-fluoroadenilil-(3'→5')-2'-desoxi-2'-fluorocitolil-(3'→5')-2'-desoxi-2'-fluorouridilil-(3'→5')-2'-O-metiluridilil-(3'→5')-2'-O-metilcitolil-(3'→5')-2'-O-metilguanilil-(3'→5')-2'-O-metilcitolil-(3'→5')-2'-O-metiluridilil-(3'→5')-2'-O-metiluridilil-(3'→5')-2'-O-metiladenilil-(3'→5')-2'-O-metilcitolil-(3'→5')-hidrógeno-2'-O-metil-3'-adenilato de [(2S,4R)-1-{1-[(2-acetamido-2-desoxi-β-D-galactopiranosil)oxi]-16,16-bis({3-[(3-5-[(2-acetamido-2-desoxi-β-D-galactopiranosil)oxi]pentanamido)propil]amino)-3-oxopropoxi}metil)-5,11,18-trioxo-14-oxa-6,10,17-triazanonacosan-29-oyl)-4-hidroxi-pirrolidin-2-il]metilo</i>,</p>





**eneboparatidum**

eneboparatide

[S<sup>3</sup>>A, H<sup>5</sup>>I, L<sup>8</sup>>M, D<sup>10</sup>>Q, K<sup>11</sup>>R, G<sup>12</sup>>A, S<sup>14</sup>>W, L<sup>18</sup>>A, F<sup>22</sup>>A, H<sup>26</sup>>K]-human parathyroid hormone-related protein [1-36] (PTHrP [1-36]):

L-alanyl-L-valyl-L-alanyl-L-α-glutamyl-L-isoleucyl-L-glutamyl-L-leucyl-L-methionyl-L-histidyl-L-glutamyl-L-arginyl-L-alanyl-L-lysyl-L-tryptophyl-L-isoleucyl-L-glutamyl-L-α-aspartyl-L-alanyl-L-arginyl-L-arginyl-L-arginyl-L-alanyl-L-phenylalanyl-L-leucyl-L-histidyl-L-lysyl-L-leucyl-L-isoleucyl-L-alanyl-L-α-glutamyl-L-isoleucyl-L-histidyl-L-threonyl-L-alanyl-L-α-glutamyl-L-isoleucine

*parathyroid hormone*

énéboparatide

[S<sup>3</sup>>A, H<sup>5</sup>>I, L<sup>8</sup>>M, D<sup>10</sup>>Q, K<sup>11</sup>>R, G<sup>12</sup>>A, S<sup>14</sup>>W, L<sup>18</sup>>A, F<sup>22</sup>>A, H<sup>26</sup>>K]-protéine apparentée à l'hormone parathyroïdienne [1-36] (PTHrP [1-36]) humaine:

L-alanyl-L-valyl-L-alanyl-L-α-glutamyl-L-isoleucyl-L-glutamyl-L-leucyl-L-méthionyl-L-histidyl-L-glutamyl-L-arginyl-L-alanyl-L-lysyl-L-tryptophyl-L-isoleucyl-L-glutamyl-L-α-aspartyl-L-alanyl-L-arginyl-L-arginyl-L-arginyl-L-alanyl-L-phénylalanyl-L-leucyl-L-histidyl-L-lysyl-L-leucyl-L-isoleucyl-L-alanyl-L-α-glutamyl-L-isoleucyl-L-histidyl-L-thréonyl-L-alanyl-L-α-glutamyl-L-isoleucine

*hormone parathyroïdienne*

eneboparatida

[S<sup>3</sup>>A, H<sup>5</sup>>I, L<sup>8</sup>>M, D<sup>10</sup>>Q, K<sup>11</sup>>R, G<sup>12</sup>>A, S<sup>14</sup>>W, L<sup>18</sup>>A, F<sup>22</sup>>A, H<sup>26</sup>>K]-proteína relacionada con la hormona paratiroidea [1-36] (PTHrP [1-36]) humana:

L-alanil-L-valil-L-alanil-L-α-glutamil-L-isoleucil-L-glutamini-L-leucil-L-metionil-L-histidil-L-glutamini-L-arginil-L-alanil-L-lisil-L-triptofil-L-isoleucil-L-glutamini-L-α-aspartil-L-alanil-L-arginil-L-arginil-L-arginil-L-alanil-L-fenilalanil-L-leucil-L-histidil-L-lisil-L-leucil-L-isoleucil-L-alanil-L-α-glutamil-L-isoleucil-L-histidil-L-treonil-L-alanil-L-α-glutamil-L-isoleucina

*hormona paratiroidea*

C<sub>191</sub>H<sub>312</sub>N<sub>60</sub>O<sub>49</sub>S

1349298-00-5

AVAEIQLMHQ RAKWIQDARR RAFLHKLIAE IHTAEI 36

**enekinragenum inzadenovecum #**

enekinragene inzadenovec

recombinant, non-replicating adenovirus type 5 (Ad5) vector encoding codon-optimised human interleukin 1 receptor antagonist (IL-1Ra) under the control of an engineered nuclear factor kappa B (NF-κB) inducible promoter composed of five conserved NF-κB binding motif repeats fused to a proximal promoter region of the human endothelial leukocyte adhesion molecule (ELAM) gene (NF-κB5-ELAM), and terminated by a simian virus 40 (SV40) polyadenylation sequence. The vector genome is flanked by human Ad5 inverted terminal repeats (ITRs) and the bulk of the adenovirus genome has been replaced by a non-coding human hypoxanthine phosphoribosyltransferase (HPRT) stuffer sequence and by a human non-coding cosmid insert containing the polymorphic marker DXS455.  
*gene therapy (osteoarthritis)*

énékinragène inzadénovec

vecteur adénoviral de type 5 (Ad5) recombinant et non répliquant, codant l'antagoniste du récepteur de l'interleukine 1 (IL-1Ra) humaine aux codons optimisés, sous le contrôle d'un promoteur rendu inductible du facteur nucléaire kappa B (NF-κB), composé de cinq répétitions conservées du motif de liaison au NF-κB, fusionnées à une région promotrice proximale du gène de la molécule d'adhésion des leucocytes endothéliaux (ELAM) humains (NF-κB5-ELAM), et terminé par une séquence de polyadénylation du virus simien 40 (SV40). Le génome du vecteur est flanqué de répétitions terminales inversées (ITR) de l'Ad5 humain et la majeure partie du génome de l'adénovirus a été remplacée par une séquence de remplissage non codante de l'hypoxanthine phosphoribosyltransférase (HPRT) humaine et par un insert cosmide non codant humain contenant le marqueur polymorphe DXS455.

*thérapie génique (ostéoarthritis)*

enekinragén inzadenovec

adenovirus tipo 5 (Ad5) recombinante, no replicativo, que codifica, con codones optimizados, para el antagonista del receptor de interleukina 1 (IL-1Rα) humano bajo el control de un promotor inducible modificado del factor nuclear kappa B (NF-κB) compuesto por cinco motivos repetidos de unión a NF-κB conservados, fusionado a la región del promotor proximal del gen de la molécula de adhesión leucocitaria al endotelio (ELAM) humana (NF-κB5-ELAM), y terminado por una secuencia de poliadenilación del virus de simio 40 (SV40). El genoma del vector está flanqueado por repeticiones terminales invertidas (ITRs) del Ad5 humano y el conjunto del genoma del adenovirus se ha reemplazado por una secuencia no codificante de relleno de la hipoxantina fosforibosiltransferasa (HPRT) y por un inserto de un cósmido humano no codificante que contiene el marcador polimórfico DXS455.

*terapia génica (osteoarthritis)*

2618581-50-1

epacmarstobartum #

epacmarstobart

immunoglobulin G1-kappa, anti-[*Homo sapiens* SIRPA (signal regulatory protein alpha, SHPS1, SIRP, SIRP alpha, CD172a)], monoclonal antibody; gamma1 heavy chain (1-449) [VH (*Mus musculus* IGHV1-55\*01 (85.6%) -(IGHD) -IGHJ2\*01 (86.7%)/*Homo sapiens* IGHV1-2\*06 (80.4%) -(IGHD) -IGHJ4\*01 (100%), CDR-IMGT [8.8.13] (26-33.51-58.97-109)] (1-120) -*Homo sapiens* IGHG1\*03v, G1m3>G1m17, nG1m1 (CH1 R120>K (217) (121-218), hinge 1-15 (219-233), CH2 (234-343), CH3 E12 (359), M14 (361) (344-448), CHS K2>del (449)) (121-449)], (223-214')-disulfide with kappa light chain (1'-214') [V-KAPPA (*Homo sapiens* IGKV1-39\*01 (86.3%) -IGKJ2\*02 (100%), CDR-IMGT [6.3.9] (27-32.50-52.89-97)] (1'-107') -*Homo sapiens* IGKC\*01 (100%), Km3, A45.1 (153), V101 (191) (108'-214')]; dimer (229-229":232-232")-bisdisulfide, produced in Chinese hamster ovary (CHO) cells, cell line CHO-K1SV lacking the glutamine synthetase (GS-KO) gene, non-glycosylated *immunostimulant, antineoplastic*

epacmarstobart immunoglobuline G1-kappa, anti-[*Homo sapiens* SIRPA (protéine alpha régulatrice de signal, SHPS1, SIRP, SIRP alpha, CD172a)], anticorps monoclonal;  
chaîne lourde gamma1 (1-449) [VH (*Mus musculus* IGHV1-55\*01 (85.6%) -(IGHD) -IGHJ2\*01 (86.7%)/*Homo sapiens* IGHV1-2\*06 (80.4%) -(IGHD) -IGHJ4\*01 (100%), CDR-IMGT [8.8.13] (26-33.51-58.97-109)) (1-120) -*Homo sapiens* IGHG1\*03v, G1m3>G1m17, nG1m1 (CH1 R120>K(217) (121-218), charnière 1-15 (219-233), CH2 (234-343), CH3 E12 (359), M14 (361) (344-448), CHS K2>del (449)) (121-449)], (223-214')-disulfure avec la chaîne légère kappa (1'-214') [V-KAPPA (*Homo sapiens* IGKV1-39\*01 (86.3%) -IGKJ2\*02 (100%), CDR-IMGT [6.3.9] (27-32.50-52.89-97)) (1'-107') -*Homo sapiens* IGKC\*01 (100%), Km3, A45.1 (153), V101 (191) (108'-214')]; dimère (229-229'':232-232'')-bisdisulfure, produit dans des cellules ovariennes de hamster chinois (CHO), lignée cellulaire CHO-K1SV ne présentant pas le gène de la glutamine synthétase (GS-KO), non-glycosylé  
*immunostimulant, antinéoplasique*

epacmarstobart inunoglobulina G1-kappa, anti-[*Homo sapiens* SIRPA (proteína alfa reguladora de señal, SHPS1, SIRP, SIRP alfa, CD172a)], anticuerpo monoclonal;  
cadena pesada gamma1 (1-449) [VH (*Mus musculus* IGHV1-55\*01 (85.6%) -(IGHD) -IGHJ2\*01 (86.7%)/*Homo sapiens* IGHV1-2\*06 (80.4%) -(IGHD) -IGHJ4\*01 (100%), CDR-IMGT [8.8.13] (26-33.51-58.97-109)) (1-120) -*Homo sapiens* IGHG1\*03v, G1m3>G1m17, nG1m1 (CH1 R120>K(217) (121-218), bisagra 1-15 (219-233), CH2 (234-343), CH3 E12 (359), M14 (361) (344-448), CHS K2>del (449)) (121-449)], (223-214')-disulfuro con la cadena ligera kappa (1'-214') [V-KAPPA (*Homo sapiens* IGKV1-39\*01 (86.3%) -IGKJ2\*02 (100%), CDR-IMGT [6.3.9] (27-32.50-52.89-97)) (1'-107') -*Homo sapiens* IGKC\*01 (100%), Km3, A45.1 (153), V101 (191) (108'-214')]; dímero (229-229'':232-232'')-bisdisulfuro, producido en las células ováricas de hámster chino (CHO), línea celular CHO-K1SV en ausencia del gen glutamina sintetasa (GS-KO), no glicosilado  
*inmunoestimulante, antineoplásico*

2518200-89-8

## Heavy chain / Chaîne lourde / Cadena pesada

QVQLVQSGAE VKRFGASVKV SCRASGYTFT SYWITWVKQA PGQGLEWIGD 50  
IYPGSGSTNH IEKFKSKATL TVDTSISTAY MELSLRSDD TAVFYCATGY 100  
GSSYGYFDYV GQCTLVTVSS ASTKGPVFP LAPSSKSTSG GTAALGLCVK 150  
DYFPEPVTVS WNSGALTSV HTPFAVLQSS GLYLSLSSVT VPSSSLGTQT 200  
YICNVNHRPS NTKVDKVEP KSCDKTHTCP PCPAPPELLGG PSVFLFPPPK 250  
KDTLMLSRTP EYTCVVVDVS HEDPEVKFNW YVDGVEVHNA KTKPREEQYA 300  
STYRVSVLT VLRQDWLNGK EYKCKVSNKA LPAPIEKTIIS KARKGQPREPQ 350  
VITLPPSREE MTKNQVSLTC LVKGFYPSDI AVEWESNGQP ENNYKTTTTPV 400  
LSDSGSFFLY SKLTVDKSRW QQGNVFPSCV MHEALHNHYT QKSLSLSPG 449

## Light chain / Chaîne légère / Cadena ligera

DIQMTQSPSS LSASVGRVIT ITCRASENIY SYLAWYQQKFP GKAPKLLIYT 50  
AKTLAEGVPS RFGSGSGSDT FTLTISSLQP EDFATYYCQH QYIGPFFTFQ 100  
GTKLEIKRIV AAFSVPFIFFP SDEQLKSGTA SVVCLLNFFY FREAKVQWKV 150  
DNALQSGNSQ ESVTEQDSKD STYLSLSTLT LSKADYEKHK VYACEVTHQG 200  
LSSPVTKSPN RGEC 214

## Post-translational modifications

Disulfide bridges location / Position des ponts disulfure / Posiciones de los puentes disulfuro

Intra-H (C23-C104) 22-96 147-203 264-324 370-428  
22"-96" 147"-203" 264"-324" 370"-428"

Intra-L (C23-C104) 23-88" 134-194"  
23"-88" 134"-194"

Inter-H-L (h 5-CL 126) 223-214' 223"-214"

Inter-H-H (h 11, h 14) 229-229" 232-232"

N-terminal glutaminyl cyclization / Cyclisation du glutaminyle N-terminal / Ciclación del glutaminilo N-terminal

Q > pyroglutamyl (pE, 5-oxoprollyl) / pyroglutamyle (pE, 5-oxoprolyle) / piroglutamilo (pE, 5-oxoprolilo)  
H VH Q1: 1, 1"

No N-glycosylation sites / pas de sites de N-glycosylation / ningún posición de N-glicosilación  
H CH2 N84.4-A: 300, 300"

**equecabtogene autoleucl #**  
equecabtogene autoleucl

autologous T lymphocytes obtained from peripheral blood mononuclear cells by leukapheresis, transduced with a self-inactivating, non-replicating lentiviral vector encoding a chimeric antigen receptor (CAR) targeting human B cell maturation antigen (BCMA). The expressed transgene comprises a CD8 $\alpha$  leader sequence, an anti-BCMA single chain variable fragment (scFv), a CD8 $\alpha$  hinge and transmembrane domain, and a 4-1BB (CD137) and CD3 $\zeta$  signal domain, under control of the human elongation factor 1 alpha (EF-1 $\alpha$ ) promoter. The construct is flanked by 5' and 3' long terminal repeats (LTRs) and also contains a  $\psi$  packaging signal, a Rev response element (RRE), a central polypurine tract (cPPT) sequence and an optimized Woodchuck hepatitis virus posttranscriptional regulatory element (WPRE). The vector is pseudotyped with vesicular stomatitis virus (VSV) glycoprotein G.

The leukapheresis material is enriched for CD3+ T lymphocytes by positive immunoselection, activated by CD3 and CD28 agonists and transduced with the lentiviral vector before further culture and expansion in growth media containing interleukin 2 (IL-2). The cell suspension consists of T lymphocytes (>90%), with greater than 10% of the T lymphocytes expressing the CAR-BCMA transgene. The T lymphocytes secrete interferon gamma (IFN- $\gamma$ ) following co-culture with BCMA-expressing cells.

*cell-based gene therapy (antineoplastic)*

équécabtagène autoleucl

lymphocytes T autologues obtenus à partir de cellules mononucléaires de sang périphérique par leucaphérèse, transduits avec un vecteur lentiviral auto-inactivant et non répliquant, codant un récepteur antigénique chimérique (CAR) ciblant l'antigène de maturation des cellules B humaines (BCMA). Le transgène exprimé comprend une séquence leader CD8 $\alpha$ , un fragment variable à chaîne unique (scFv) anti-BCMA, un domaine charnière et transmembranaire CD8 $\alpha$ , et un domaine signal 4-1BB (CD137) et CD3 $\zeta$ , sous le contrôle du promoteur du facteur d'élongation 1 alpha (EF-1 $\alpha$ ) humain. La construction est flanquée de longues répétitions terminales (LTR) en 5' et 3' et contient également un signal d'encapsidation  $\psi$ , un élément de réponse Rev (RRE), une séquence du tractus polypurine central (cPPT) et un élément régulateur post-transcriptionnel (WPRE) optimisé du virus de l'hépatite de la marmotte. Le vecteur est pseudotypé avec la glycoprotéine G du virus de la stomatite vésiculaire (VSV).

Le matériel de leucaphérèse est enrichi en lymphocytes T CD3+ par immunosélection positive, activé par des agonistes CD3 et CD28 et transduit avec le vecteur lentiviral avant d'être cultivé et amplifié dans un milieu de croissance contenant de l'interleukine 2 (IL-2). La suspension cellulaire consiste de lymphocytes T (>90%), avec plus de 10% des lymphocytes T exprimant le transgène CAR-BCMA. Les lymphocytes T sécrètent de l'interféron gamma (IFN- $\gamma$ ) après co-culture avec des cellules exprimant le BCMA.

*thérapie génique à base de cellules (antinéoplasique)*

equecabtagén autoleucel

linfocitos T autólogos obtenidos de células mononucleares de sangre periférica mediante leucoaféresis, transducidos con un vector lentiviral auto inactivante, no replicativo, que codifica para un receptor de antígenos quimérico (CAR) dirigido al antígeno de maduración de células B (BCMA) humanas. El transgén expresado contiene una secuencia líder de CD8α, un fragmento variable de cadena sencilla (scFv) anti-BCMA, un dominio bisagra y transmembrana de CD8α, y un dominio señal 4-1BB (CD137) y CD3ζ bajo el control del promotor del factor de elongación 1 alfa (EF1α). El constructo está flanqueado por repeticiones terminales largas (LTRs) en 5' y 3' y también contiene una señal de empaquetamiento ψ, un elemento de respuesta Rev (RRE), una secuencia de tracto de poli-purina central (cPPT) y un elemento regulador post-transcripcional del virus de la hepatitis de la marmota (WPRE) optimizado. El vector está seudotipado con la glicoproteína G del virus de la estomatitis vesicular (VSV).

El material de leucoaféresis se enriquece para linfocitos T CD3+ mediante inmunoselección positiva, se activa mediante agonistas de CD3 y CD28 y se transduce con el vector lentiviral antes de ser adicionalmente cultivado y expandido en medio de crecimiento que contiene interleuquina 2 (IL-2). La suspensión celular consiste en linfocitos T (>90%), con más del 10% de linfocitos T que expresan el transgén del CAR-BCMA. Los linfocitos T secretan interferón gamma (IFN-γ) tras el co-cultivo con células que expresan BCMA.

*terapia génica basada en células (antineoplásico)*

**erepdekinrum #**

erepdekinra

*N*-acetyl-L-valyl-L-histidyl-L-valyl-L-threonyl-L-isoleucyl-L-prolyl-L-alanyl-L-α-aspartyl-L-leucyl-L-tryptophyl-L-α-aspartyl-L-tryptophyl-L-isoleucyl-L-asparaginyll-L-lysynamid

*interleukin-17A receptor antagonist*

érepdékinra

*N*-acétyl-L-valyl-L-histidyl-L-valyl-L-thréonyl-L-isoleucyl-L-prolyl-L-alanyl-L-α-aspartyl-L-leucyl-L-tryptophyl-L-α-aspartyl-L-tryptophyl-L-isoleucyl-L-asparaginyll-L-lysynamide

*antagoniste du récepteur de l'interleukine 17A*

erepdekinra

*N*-acetil-L-valil-L-histidil-L-valil-L-treonil-L-isoleucil-L-prolil-L-alanil-L-α-aspartil-L-leucil-L-triptofil-L-α-aspartil-L-triptofil-L-isoleucil-L-asparaginil-L-lisinamida

*antagonista de receptor de la interleukina-17A*

2641313-47-3

Sequence / Séquence / Secuencia

1 5 10 15  
Ac-Val-His-Val-Thr-Ile-Pro-Ala-Asp-Leu-Trp-Asp-Trp-Ile-Asn-Lys-NH<sub>2</sub>

**esepapogenum zalarnarepvecum #**  
esepapogene zalarnarepvec

recombinant replication-competent attenuated arenavirus (lymphocytic choriomeningitis virus [LCMV] strain clone 13) expressing the glycoprotein of LCMV strain WE instead of its endogenous glycoprotein (alternatively designated as rC113/WE-GP) vector with two copies of the small (S) genome segment (S RNA segment), with one encoding the viral membrane glycoprotein (GP) and one encoding the viral nucleocapsid protein (NP), and both encoding a synthetic human papillomavirus type 16 E7E6 fusion protein (with mutations of C24G, E26G and C91G in E7 and C69G and C112G in E6), and with a wild type large (L) genome segment (L RNA segment). Expression of the E7E6 fusion protein is under control of the viral expression mechanism.  
*virus-based gene therapy (antineoplastic)*

ésépapogène zalarnarepvec

vecteur recombinant d'arénavirus atténué compétent à la réplication (clone 13 de la souche du virus de la chorio-méningite lymphocytaire [LCMV]) exprimant la glycoprotéine de la souche WE du LCMV au lieu de sa glycoprotéine endogène (alternativement désigné sous le nom de rC113/WE-GP) avec deux copies du petit segment génomique (S) (segment ARN S), l'une codant la glycoprotéine (GP) de la membrane virale et l'autre codant la protéine de la nucléocapside (NP) virale, et toutes deux codant une protéine de fusion synthétique E7E6 du papillomavirus humain de type 16 (avec les mutations C24G, E26G et C91G dans E7 et C69G et C112G dans E6), et avec un segment du grand génome (L) de type sauvage (segment d'ARN L). L'expression de la protéine de fusion E7E6 est sous le contrôle du mécanisme d'expression virale.  
*thérapie génique à base de virus (antinéoplasique)*

esepapogén zalarnarepvec

vector de una cepa atenuada de arenavirus (virus de la coriomeningitis linfocítica [LCMV]) clon 13 recombinante, competente para replicación, que expresa la glicoproteína de la cepa WE de LCMV en lugar de su glicoproteína endógena (designado alternativamente como rC113/WE-GP) con dos copias del segmento genómico pequeño (segmento RNA S), una que codifica para la glicoproteína (GP) viral de membrana y otra que codifica para la proteína de la nucleocápsida (NP) viral, y ambas codifican para una proteína de fusión E7E6 sintética del virus del papiloma humano tipo 16 (con mutaciones de C24G, E26G y C91G en E7, y C69G y C112G en E6), y con un segmento genómico grande (segmento RNA L) de tipo silvestre. La expresión de la proteína de fusión E7E6 está bajo el control del mecanismo de expresión viral.  
*terapia génica basada en virus (antineoplásico)*

2632271-13-5

**etrinabdionum**

etrinabdione

(1*R*,6'*R*)-3-(benzylamino)-6-hydroxy-3'-methyl-4-pentyl-6'-(prop-1-en-2-yl)[1,1'-bi(cyclohexane)]-1(6),2',3-triene-2,5-dione  
*cannabinoid 2 (CB2) receptor agonist*

étrinabdione

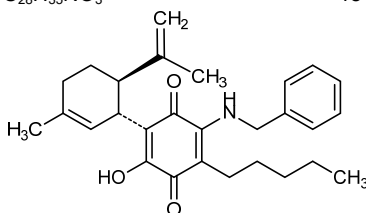
(1*R*,6'*R*)-3-(benzylamino)-6-hydroxy-3'-méthyl-4-pentyl-6'-(prop-1-én-2-yl)[1,1'-bi(cyclohexane)]-1(6),2',3-triène-2,5-dione  
*agoniste du récepteur aux cannabinoïdes type 2 (CB2)*

etrinabdiona

(1*R*,6'*R*)-3-(bencilamino)-6-hidroxi-3'-metil-4-pentil-6'-(prop-1-en-2-il)[1,1'-bi(ciclohexano)]-1(6),2',3-trieno-2,5-diona  
*agonista del receptor de los cannabinoïdes tipo 2 (CB2)*

C<sub>28</sub>H<sub>35</sub>NO<sub>3</sub>

1818428-24-8

**evazarsenum**

evazarsen

*all-P-ambo-5'-O-(28-[(2-acetamido-2-deoxy-β-D-galactopyranosyl)oxy]-16,16-bis[[3-({6-[(2-acetamido-2-deoxy-β-D-galactopyranosyl)oxy]hexyl)amino]-3-oxopropoxy]methyl]-1-hydroxy-1,10,14,21-tetraoxo-2,18-dioxo-9,15,22-triaza-1λ<sup>5</sup>-phosphaoctacosan-1-yl)-2'-O-(2-methoxyethyl)-5-methyl-P-thiocytidylyl-(3'→5')-2'-O-(2-methoxyethyl)-P-thioadenylyl-(3'→5')-2'-O-(2-methoxyethyl)-5-methyl-P-thiocytidylyl-(3'→5')-2'-O-(2-methoxyethyl)-P-thioadenylyl-(3'→5')-2'-O-(2-methoxyethyl)-P-thioadenylyl-(3'→5')-2'-deoxy-P-thioadenylyl-(3'→5')-2'-deoxy-5-methyl-P-thiocytidylyl-(3'→5')-2'-deoxy-P-thioadenylyl-(3'→5')-2'-deoxy-P-thioadenylyl-(3'→5')-2'-deoxy-P-thioadenylyl-(3'→5')-2'-deoxy-5-methyl-P-thiocytidylyl-(3'→5')-P-thiothymidylyl-(3'→5')-2'-deoxy-P-thioadenylyl-(3'→5')-2'-deoxy-P-thioadenylyl-(3'→5')-P-thiothymidylyl-(3'→5')-2'-O-(2-methoxyethyl)-5-methyl-P-thiocytidylyl-(3'→5')-2'-O-(2-methoxyethyl)-P-thioadenylyl-(3'→5')-2'-O-(2-methoxyethyl)-5-methyl-P-thioadenylyl-(3'→5')-2'-O-(2-methoxyethyl)-5-methyl-P-thiouridylyl-(3'→5')-2'-O-(2-methoxyethyl)-5-methyluridine  
*angiotensinogen synthesis reducer, antihypertensive**

évazarsen

*tout-P-ambo-5'-O-(28-[(2-acétamido-2-désoxy-β-D-galactopyranosyl)oxy]-16,16-bis[[3-({6-[(2-acétamido-2-désoxy-β-D-galactopyranosyl)oxy]hexyl)amino]-3-oxopropoxy]méthyl]-1-hydroxy-1,10,14,21-tétraoxo-2,18-dioxa-9,15,22-triaza-1λ<sup>5</sup>-phosphaoctacosan-1-yl)-*

2'-O-(2-méthoxyéthyl)-5-méthyl-*P*-thiocytidylyl-(3'→5')-2'-O-(2-méthoxyéthyl)-*P*-thioadénylyl-(3'→5')-2'-O-(2-méthoxyéthyl)-5-méthyl-*P*-thiocytidylyl-(3'→5')-2'-O-(2-méthoxyéthyl)-*P*-thioadénylyl-(3'→5')-2'-O-(2-méthoxyéthyl)-*P*-thioadénylyl-(3'→5')-2'-désoxy-*P*-thioadénylyl-(3'→5')-2'-désoxy-5-méthyl-*P*-thiocytidylyl-(3'→5')-2'-désoxy-*P*-thioadénylyl-(3'→5')-2'-désoxy-*P*-thioguanilyl-(3'→5')-2'-désoxy-5-méthyl-*P*-thiocytidylyl-(3'→5')-*P*-thiothymidylyl-(3'→5')-2'-désoxy-*P*-thioguanilyl-(3'→5')-2'-désoxy-*P*-thioguanilyl-(3'→5')-*P*-thiothymidylyl-(3'→5')-2'-O-(2-méthoxyéthyl)-5-méthyl-*P*-thiocytidylyl-(3'→5')-2'-O-(2-méthoxyéthyl)-*P*-thioguanilyl-(3'→5')-2'-O-(2-méthoxyéthyl)-*P*-thioguanilyl-(3'→5')-2'-O-(2-méthoxyéthyl)-5-méthyl-*P*-thiouridylyl-(3'→5')-2'-O-(2-méthoxyéthyl)-5-méthyluridine  
*réducteur de la synthèse de l'angiotensinogène, antihypertenseur*

evazarsén

*todo-P-ambo-5'-O-(28-[(2-acetamido-2-desoxi-β-D-galactopiranosil)oxi]-16,16-bis{[3-({6-[(2-acetamido-2-desoxi-β-D-galactopiranosil)oxi]hexil)amino]-3-oxopropoxil}metil)-1-hidroxi-1,10,14,21-tetraoxo-2,18-dioxa-9,15,22-triaza-1λ<sup>5</sup>-fosfaoctacosan-1-il)-5-metil-2'-O-(2-metoxietil)-*P*-tiocitidilil-(3'→5')-2'-O-(2-metoxietil)-*P*-tioadenilil-(3'→5')-5-metil-2'-O-(2-metoxietil)-*P*-tiocitidilil-(3'→5')-2'-O-(2-metoxietil)-*P*-tioadenilil-(3'→5')-2'-O-(2-metoxietil)-*P*-tioadenilil-(3'→5')-2'-desoxi-*P*-tioadenilil-(3'→5')-2'-desoxi-5-metil-*P*-tiocitidilil-(3'→5')-2'-desoxi-*P*-tioadenilil-(3'→5')-2'-desoxi-*P*-tioadenilil-(3'→5')-2'-desoxi-*P*-tioguanilil-(3'→5')-2'-desoxi-5-metil-*P*-tiocitidilil-(3'→5')-*P*-tiotimidilil-(3'→5')-2'-desoxi-*P*-tioguanilil-(3'→5')-*P*-tiotimidilil-(3'→5')-5-metil-2'-O-(2-metoxietil)-*P*-tiocitidilil-(3'→5')-2'-O-(2-metoxietil)-*P*-tioguanilil-(3'→5')-2'-O-(2-metoxietil)-*P*-tioguanilil-(3'→5')-5-metil-2'-O-(2-metoxietil)-*P*-tiouridilil-(3'→5')-2'-O-(2-metoxietil)-5-metiluridina  
*reductor de la síntesis del angiotensinógeno, antihipertensivo**

C<sub>296</sub>H<sub>434</sub>N<sub>86</sub>O<sub>146</sub>P<sub>20</sub>S<sub>19</sub>

2589926-22-5

R1-m<sup>5</sup>Cmoe=Amoe=m<sup>5</sup>Cmoe=Amoe=Amoe=dA=m<sup>5</sup>C<sub>d</sub>=dA=dG=m<sup>5</sup>C<sub>d</sub>=dT=dG=dG=dT=m<sup>5</sup>Cmoe=Gmoe=Gmoe=m<sup>5</sup>Umoe=m<sup>5</sup>Umoe

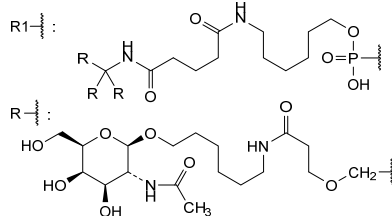
=: -PS(OH)-

N: nucleoside / nucléoside / nucleósido

dN & N<sub>d</sub>: 2'-deoxy-N / 2'-désoxy-N / 2'-desoxi-N

Nmoe: 2'-O-(2-methoxyethyl)-N / 2'-O-(2-méthoxyéthyl)-N / 2'-O-(2-metoxietil)-N

m<sup>5</sup>N: 5-methyl-N / 5-méthyl-N / 5-metil-N



**evunzekibartum#**

evunzekibart

immunoglobulin G4-kappa, anti-[TNFRSF9 (tumor necrosis factor receptor (TNFR) superfamily member 9, 4-1BB, CD137)], *Homo sapiens* monoclonal antibody;  
 gamma4 heavy chain *Homo sapiens* (1-445) [VH (*Homo sapiens* IGHV3-23\*03 (88.8%) -(IGHD) - IGHJ4\*01 (100%), CDR-IMGT [8.8.11] (26-33.51-58.97-107)) (1-118)-*Homo sapiens* IGHG4\*01, G4v5 h P10, nG4m(a) CH2 L92 (CH1 (119-216), hinge 1-12 S10>P (226) (217-228), CH2 L92 (307) (229-338), CH3 (339-443), CHS (444-445)) (119-445)], (132-215')-disulfide with kappa light chain *Homo sapiens* (1'-215') [V-KAPPA (*Homo sapiens* IGKV1-39\*01 (94.6%) -IGKJ2\*02 (100%), CDR-IMGT [6.3.10] (27-32.50-52.89-98)) (1'-108') -*Homo sapiens* IGKC\*01 (100%), Km3 A45.1 (154), V101 (192) (109'-215')]; dimer (224-224":227-227")-bisdisulfide, produced in Chinese hamster ovary (CHO) cells, cell line CHO-DG44, glycoform alfa  
*immunostimulant, antineoplastic*

évunzékibart

immunoglobuline G4-kappa, anti-[TNFRSF9 (membre 9 de la superfamille des récepteurs du facteur de nécrose tumorale, 4-1BB, CD137)], anticorps monoclonal *Homo sapiens*;  
 chaîne lourde gamma4 *Homo sapiens* (1-445) [VH (*Homo sapiens* IGHV3-23\*03 (88.8%) -(IGHD) - IGHJ4\*01 (100%), CDR-IMGT [8.8.11] (26-33.51-58.97-107)) (1-117)-*Homo sapiens* IGHG4\*01, G4v5 h P10, nG4m(a) CH2 L92 (CH1 (119-216), charnière 1-12 S10>P (226) (217-228), CH2 L92 (307) (229-338), CH3 (339-443), CHS (444-445)) (119-445)], (132-215')-disulfure avec la chaîne légère kappa *Homo sapiens* (1'-215') [V-KAPPA (*Homo sapiens* IGKV1-39\*01 (94.6%) -IGKJ2\*02 (100%), CDR-IMGT [6.3.10] (27-32.50-52.89-98)) (1'-108') -*Homo sapiens* IGKC\*01 (100%), Km3 A45.1 (154), V101 (192) (109'-215')]; dimère (224-224":227-227")-bisdisulfure, produit dans des cellules ovariennes de hamster chinois (CHO), lignée cellulaire CHO-DG44, glycoforme alfa  
*immunostimulant, antinéoplasique*

evunzekibart

immunoglobulina G4-kappa, anti-[TNFRSF9 (miembro 9 de la superfamilia de los receptores del factor de necrosis tumoral, 4-1BB, CD137)], anticuerpo monoclonal *Homo sapiens*;  
 cadena pesada gamma4 *Homo sapiens* (1-445) [VH (*Homo sapiens* IGHV3-23\*03 (88.8%) -(IGHD) - IGHJ4\*01 (100%), CDR-IMGT [8.8.11] (26-33.51-58.97-107)) (1-117)-*Homo sapiens* IGHG4\*01, G4v5 h P10, nG4m(a) CH2 L92 (CH1 (119-216), bisagra 1-12 S10>P (226) (217-228), CH2 L92 (307) (229-338), CH3 (339-443), CHS (444-445)) (119-445)], (132-215')-disulfuro con la cadena ligera kappa *Homo sapiens* (1'-215') [V-KAPPA (*Homo sapiens* IGKV1-39\*01 (94.6%) -IGKJ2\*02 (100%), CDR-IMGT [6.3.10] (27-32.50-52.89-98)) (1'-108') -*Homo sapiens* IGKC\*01 (100%), Km3 A45.1 (154), V101 (192) (109'-215')]; dímero (224-224":227-227")-bisdisulfuro, producido en las células ováricas de hámster chino (CHO), línea celular CHO-DG44, forma glicosilada alfa  
*inmunoestimulante, antineoplásico*

2639688-77-8

Heavy chain / Chaîne lourde / Cadena pesada

EVQLLESGGG	LVQPGGSLRL	SCAASGFNFG	YSYMSWVRQA	PGKGLEWVSS	50
IGSTSSHTYY	ADSVKGRFTI	SRDNSKNTLY	LQMNSLRAED	TAVYYCARVY	100
SSPGIDYWGQ	GTLVTVSSAS	TKGSPVFPLA	PCSRSTSEST	AALGCLVKDY	150
FFPEPTVSWN	SGALTSQVHT	FPAVLQSSGL	YLSLSSVTVF	SSSLGPKTYT	200
CNVDHKPSNT	KVDKRVESKY	GPPCPFCFAP	EFLGGPSVFL	FPPKPKDTLM	250
ISRTPEVTCV	VVDVSEQDEPE	VQFNWYVDGV	EVHNAKTKPR	EEQFNSTYRV	300
VSVLTVLHQD	WLNKGKEYKCK	VSNKGLPSSI	EKTISKAKGQ	PREPQVITLF	350
PSQEEMTRMQ	VSLTCLVKGF	YPSDIAVEWE	SNGQPFENYK	TTPFVLDSDG	400
SFFLYSRLTV	DKSRWQEGNV	FSCVMHEAL	HNHYTQKSL	LSLGK	445

Light chain / Chaîne légère / Cadena ligera

DIQMTQSPSS	LSASVGDRTV	ITCRASQSIG	STLNWYQQK	GKAPKLLIYG	50
ASSLQSGVPS	RFGSGSGTDF	FTLTISLQPF	EDFATYYCQ	YTWVPFTFG	100
QGTKLEIKRT	VAAPSVFIFP	PSDEQLKSGT	ASVVCCLNNF	YPREAKVQWK	150
VDNALQSGNS	QESVTEQDSK	DSTYLSSTL	TLSKADYVEK	KVYACEVTHQ	200
GLSSPVTKSF	NRGEC				215

**Post-translational modifications**

Disulfide bridges location / Position des ponts disulfure / Posiciones de los puentes disulfuro

Intra-H (C23-C104) 22-96 145-201 259-319 365-423  
 22"-96" 145"-201" 259"-319" 365"-423"

Intra-L (C23-C104) 23"-88" 135"-195"  
 23"-88" 135"-195"

Inter-H-L (CH1 10-CL 126) 132-215" 132"-215"

Inter-H-H (h 8, h 11) 224-224" 227-227"

N-glycosylation sites / Sites de N-glycosylation / Posiciones de N-glicosilación

H CH2 N84.4: 295, 295"

Fucosylated complex bi-antennary CHO-type glycans / glycanes de type CHO bi-antennaires complexes fucosylés / glicanos de tipo CHO biantennarios complejos fucosilados.

C-terminal lysine clipping / Coupure de la lysine C-terminale / Recorte de lisina C-terminal  
H CHS K2: 445, 445"**exarafenibum**

exarafenib

(3*S*)-*N*-{3-[2-[[*(2R)*]-1-hydroxypropan-2-yl]amino]-6-(morpholin-4-yl)pyridin-4-yl]-4-methylphenyl}-3-(2,2,2-trifluoroethyl)pyrrolidine-1-carboxamide  
*antineoplastique*

exarafénib

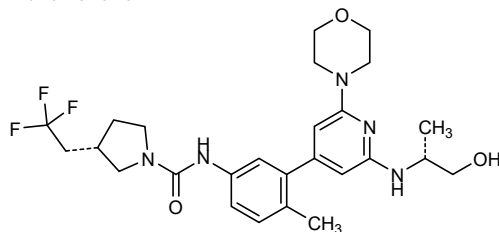
(3*S*)-*N*-{3-[2-[[*(2R)*]-1-hydroxypropan-2-yl]amino]-6-(morpholin-4-yl)pyridin-4-yl]-4-méthylphényl}-3-(2,2,2-trifluoroéthyl)pyrrolidine-1-carboxamide  
*antineoplasique*

exarafenib

(3*S*)-*N*-{3-[2-[[*(2R)*]-1-hidroxiopropan-2-il]amino]-6-(morfolin-4-il)piridin-4-il]-4-metilfenil}-3-(2,2,2-trifluoroetil)pirrolidina-1-carboxamida  
*antineoplásico*

C<sub>26</sub>H<sub>34</sub>F<sub>3</sub>N<sub>5</sub>O<sub>3</sub>

2639957-39-2

**exlinkibartum #**

exlinkibart

immunoglobulin G1-kappa, anti-[*Homo sapiens* TNFRSF9 (tumor necrosis factor receptor (TNFR) superfamily member 9, 4-1BB, T cell antigen 1LA, CD137)], humanized monoclonal antibody;

- gamma1 heavy chain humanized (1-444) [VH (*Homo sapiens*IGHV1-2\*06 (88.8%) -(IGHD) -IGHJ4\*01 (93.3%), CDR-IMGT [8.8.9] (26-33.51-58.97-105)) (1-116) -*Homo sapiens*IGHG1\*03v,G1m3>G1m17, nG1m1, G1v47CH2 G1.1del, G1v35 CH2 E29 (CH1 R120>K (213) (117-214), hinge 1-15 (215-229), CH2 G1.1>del, S29>E (265) (230-338), CH3 E12 (354), M14 (356) (339-443), CHS K2>del (444)) (117-444)], (219-214')-disulfide with kappa light chain humanized (1'-214') [V-KAPPA (*Homo sapiens*IGKV1-39\*01 (85.3%) -IGKJ4\*01 (90.9%), CDR-IMGT [6.3.9] (27-32.50-52.89-97)) (1'-107') -*Homo sapiens*IGKC\*01 (100%), Km3 A45.1 (153), V101 (191) (108'-214')]; dimer (225-225": 228-228")-bisdisulfide, produced in Chinese hamster ovary (CHO) cells, derived from cell line CHO-K1, lacking the glutamine synthetase (GS-KO) gene, glycoform alfa *immunostimulant, antineoplastic*
- exlinkibart immunoglobuline G1-kappa, anti-[*Homo sapiens* TNFRSF9 (membre 9 de la superfamille des récepteurs du facteur de nécrose tumorale, 4-1BB, antigène ILA des lymphocytes T, CD137)], anticorps monoclonal humanisé; chaîne lourde gamma1 humanisée (1-444) [VH (*Homo sapiens*IGHV1-2\*06 (88.8%) -(IGHD) -IGHJ4\*01 (93.3%), CDR-IMGT [8.8.9] (26-33.51-58.97-105)) (1-116) -*Homo sapiens*IGHG1\*03v, G1m3>G1m17, nG1m1, G1v47CH2 G1.1del, G1v35 CH2 E29 (CH1 R120>K (213) (117-214), charnière 1-15 (215-229), CH2 G1.1>del, S29>E (265) (230-338), CH3 E12 (354), M14 (356) (339-443), CHS K2>del (444)) (117-444)], (219-214')-disulfure avec la chaîne légère kappa humanisée (1'-214') [V-KAPPA (*Homo sapiens*IGKV1-39\*01 (85.3%) -IGKJ4\*01 (90.9%), CDR-IMGT [6.3.9] (27-32.50-52.89-97)) (1'-107') -*Homo sapiens*IGKC\*01 (100%), Km3 A45.1 (153), V101 (191) (108'-214')]; dimère (225-225": 228-228")-bisdisulfure, produit dans des cellules ovariennes de hamster chinois (CHO), dérivant de la lignée cellulaire CHO-K1, ne présentant pas le gène de la glutamine synthétase (GS-KO), glycoforme alfa *immunostimulant, antinéoplasique*
- exlinkibart inmunoglobulina G1-kappa, anti-[*Homo sapiens* TNFRSF9 (miembro 9 de la superfamilia de los receptores del factor de necrosis tumoral, 4-1BB, antígeno ILA de las células T, CD137)], anticuerpo monoclonal humanizado; cadena pesada gamma1 humanizada (1-444) [VH (*Homo sapiens*IGHV1-2\*06 (88.8%) -(IGHD) -IGHJ4\*01 (93.3%), CDR-IMGT [8.8.9] (26-33.51-58.97-105)) (1-116) -*Homo sapiens*IGHG1\*03v, G1m3>G1m17, nG1m1, G1v47 CH2 G1.1del, G1v35 CH2 E29 (CH1 R120>K (213) (117-214), bisagra 1-15 (215-229), CH2 G1.1>del, S29>E (265) (230-338), CH3 E12 (354), M14 (356) (339-443), CHS K2>del (444)) (117-444)], (219-214')-disulfuro con la cadena ligera kappa humanizada (1'-214') [V-KAPPA (*Homo sapiens*IGKV1-39\*01 (85.3%) -IGKJ4\*01 (90.9%), CDR-IMGT [6.3.9] (27-32.50-52.89-97)) (1'-107') -*Homo sapiens*IGKC\*01 (100%), Km3 A45.1 (153), V101 (191) (108'-214')]; dímero (225-225": 228-228")-bisdisulfuro, producido en las células ováricas de hámster chino (CHO), línea celular derivada de CHO-K1, en ausencia del gen glutamina sintetasa (GS-KO), forma glicosilada alfa *inmunoestimulante, antineoplásico*

2642171-64-8

## Heavy chain / Chaîne lourde / Cadena pesada

VQLVQSGAE VKKPGASVKV SCKASGYTFA GFEMHWVRQA PGQGLEWMGA 50  
 IDPKTGTQDY NQKPKDRVTM TRDTSISTAY MELSRRLRSDD TAVYYCARDL 100  
 GYFDVWGQGT LVTSSASTK GFSVFLPLAS SKSTSGGTAA LGCLVKDYFP 150  
 EPTVTSWNSG ALTSGVHTFP AVLQSSGLYS LSSVTVVPS SLGTQTYICN 200  
 VNHKPSNTKV DKKVEPKSCD KTHTCPPCA PELLGSPVFL FPFKPKDTLM 250  
 ISRTPEVTCV VVDVEHEDPE VKFNWYVDGV EVHNARTKPR EEQYINSTRV 300  
 VSVLTVLHQD WLNKKEYKCK VSNKALPAPI EKTISKAKGQ PREPQVYTLF 350  
 PSREEMTKNQ VSLTCLVKGF YPSDIAVEWE SNGQPENNYK TTPFVLDSDG 400  
 SFFLYSKLTV DKSRWQGGNV FSCSVMHEAL HNHYTQKSL SPSG 444

## Light chain / Chaîne légère / Cadena ligera

DIQMTQSPSS LSASVGRVIT ITCRASQDIR SNLNWYQQKFP GGAVKLLIYY 50  
 TSLRHSQVPS RFGSGSGSDT YTLTISSLQP EDFATYFCQG SEKLPRTFGG 100  
 GTKVEIRRTV AAPSVEIFPP SDEQLKSGTA SVVCLLNIFY PREAKVQKRV 150  
 DNALQSGNSQ ESVTEQDSKD STYLSLSLT LSKADYEKHK VYACEVTHQG 200  
 LSSPVTKSFN RGEK 214

## Post-translational modifications

Disulfide bridges location / Position des ponts disulfure / Posiciones de los puentes disulfuro

Intra-H (C23-C104) 22-96 143-199 259-319 365-423  
 22"-96" 143"-199" 259"-319" 365"-423"

Intra-L (C23-C104) 23-88' 134'-194'  
 23"-88" 134"-194"

Inter-H-L (h 5-CL 126) 219-214' 219"-214"

Inter-H-H (h 11, h 14) 225-225" 228-228"

N-terminal glutaminyl cyclization / Cyclisation du glutaminyle N-terminal / Ciclación del glutaminilo N-terminal

Q > pyroglutamyl (pE, 5-oxoprolyl) / pyroglutamyl (pE, 5-oxoprolyle) / piroglutamilo (pE, 5-oxoprolilo)

H VH Q1: 1, 1"

N-glycosylation sites / Sites de N-glycosylation / Posiciones de N-glicosilación

H CH2 N84.4: 295, 295"

Fucosylated complex bi-antennary CHO-type glycans / glycanes de type CHO bi-antennaires complexes fucosylés / glicanos de tipo CHO biantennarios complejos fucosilados.

**famzeretcelum**

famzeretcel

allogeneic human retinal progenitor cells (hRPCs) derived from foetal retina (17-20 weeks gestation). The retinal tissue undergoes dissection and digestion and the obtained cells are grown on fibronectin-coated plates under hypoxic conditions in serum free high nutrient media. The final cell population is characterized by the expression of retinal specification genes (nestin, >95%; Sox2, >85%; Ki67, >50%) and as well as by evidence of differentiation into neurons (neuronal migration protein doublecortin (DCX)) and glia (glial fibrillary acidic protein (GFAP); <5%). The cells secrete osteopontin (OPN), and the secreted OPN together with other trophic factors can give protection to a human retinoblastoma (hRB) cell line treated with a histone deacetylase inhibitor.

*cell therapy (retinitis pigmentosa)*

famzéretcel

cellules progénitrices rétiniennes humaines allogéniques (hRPC) dérivées de la rétine de fœtus (17-20 semaines de gestation). Le tissu rétinien est disséqué et digéré et les cellules obtenues sont cultivées sur des plaques recouvertes de fibronectine sous condition hypoxique dans un milieu hautement nutritif sans sérum. La population cellulaire finale est caractérisée par l'expression de gènes de spécification rétinienne (nestine, >95%; Sox2, >85%; Ki67, >50%) et par des preuves de différenciation en neurones (protéine de migration neuronale doublecortine (DCX)) et en glie (protéine acide fibrillaire gliale (GFAP); <5%). Les cellules sécrètent de l'ostéopontine (OPN), et l'OPN sécrétée ainsi que d'autres facteurs trophiques peuvent protéger une lignée cellulaire de rétinoblastome humain (hRB) traitée avec un inhibiteur d'histone désacétylases.

*thérapie cellulaire (rétinopathie pigmentaire)*

famzeretcel	<p>células progenitoras de retina humana (hRPCs) alogénicas derivadas de retina fetal (17-20 semanas de gestación). El tejido retinal se disecciona y digiere y las células obtenidas se crecen en placas forradas de fibronectina bajo condiciones hipóxicas en medio rico en nutrientes y libre de suero. La población celular final se caracteriza por la expresión de genes de especificación retinal (nestina, &gt;95%; Sox2, &gt;85%; Ki67, &gt;50%) y también por la evidencia de diferenciación a neuronas (proteína de migración neuronal doblecortina (DCX)) y glía (proteína ácida fibrilar glial (GFAP; &lt;5%). Las células secretan osteopontina (OPN), y la OPN secretada, junto con otros factores tróficos, da protección a la línea celular de retinoblastoma humana (hRB) tratada con un inhibidor de histona deacetilasa.</p> <p><i>terapia celular (retinitis pigmentaria)</i></p>
<b>fepixnebartum #</b> fepixnebart	<p>immunoglobulin G4-kappa, anti-[<i>Homo sapiens</i> TGFA (transforming growth factor alpha) and anti-EREG (epiregulin)], humanized monoclonal antibody; gamma4 heavy chain humanized (1-444) [VH humanized (<i>Homo sapiens</i> IGHV1-69*02 (83,7%) - (IGHD) -IGHJ6*01 (100%), CDR-IMGT [8.8.11] (26-33.51-58.97-107)) (1-118)-<i>Homo sapiens</i> IGHG4*01, IGHG4v5 h P10, G4v4 CH2 A1.3, A1.2, nG4m(a) CH2 L92 (CH1 (119-216), hinge 1-12 S10&gt;P (226) (217-228), CH2 L92 (307), F1.3&gt;A (232), L1.2&gt;A (233) (229-338), CH3 (339-443), CHS K2&gt;del (444)) (119-444)], (132-219')-disulfide with kappa light chain <i>Homo sapiens</i> (1'-219') [V-KAPPA <i>Homo sapiens</i> IGKV4-1*01 (81.2%) -IGKJ4*01 (100%), CDR-IMGT [11.3.9] (27-37.55-57.94-102)) (1'-112') -<i>Homo sapiens</i> IGKC*01 (100%), Km3 A45.1 (158), V101 (196) (113'-219')]; dimer (224-224":227-227")-bisdisulfide, produced in a Chinese hamster ovary (CHO)-derived cell line transfected with the glutamine synthetase (GS) gene, glycoform alfa</p> <p><i>analgesic</i></p>
fépixnebart	<p>immunoglobuline G4-kappa, anti-[<i>Homo sapiens</i> TGFA (transforming growth factor alpha) et anti-EREG (épiréguline)], anticorps monoclonal humanisé; chaîne lourde gamma4 humanisée (1-444) [VH humanisé (<i>Homo sapiens</i> IGHV1-69*02 (83,7%) - (IGHD) -IGHJ6*01 (100%), CDR-IMGT [8.8.11] (26-33.51-58.97-107)) (1-118)-<i>Homo sapiens</i> IGHG4*01, IGHG4v5 h P10, G4v4 CH2 A1.3, A1.2, nG4m(a) CH2 L92 (CH1 (119-216), charnière 1-12 S10&gt;P (226) (217-228), CH2 L92 (307), F1.3&gt;A (232), L1.2&gt;A (233) (229-338), CH3 (339-443), CHS K2&gt;del (444)) (119-444)], (132-219')-disulfure avec la chaîne légère kappa</p>

fepixnebart

*Homo sapiens* (1'-219') [V-KAPPA *Homo sapiens* IGKV4-1\*01 (81.2%) -IGKJ4\*01 (100%), CDR-IMGT [11.3.9] (27-37.55-57.94-102)] (1'-112') -*Homo sapiens* IGKC\*01 (100%), Km3 A45.1 (158), V101 (196) (113'-219)]; dimère (224-224"-227-227")-bisdisulfure, produite dans une lignée cellulaire dérivée des cellules ovariennes de hamster chinois (CHO) transfectée avec le gène de la glutamine synthétase (GS), glycoforme alfa  
*analgésique*

immunoglobulina G4-kappa, anti-[*Homo sapiens* TGFA (factor de crecimiento transformante alfa) y anti-EREG (epiregulina)], anticuerpo monoclonal humanizado; cadena pesada gamma4 humanizada (1-444) [VH humanizado (*Homo sapiens* IGHV1-69\*02 (83,7%) - (IGHD) -IGHJ6\*01 (100%), CDR-IMGT [8.8.11] (26-33.51-58.97-107)) (1-118)-*Homo sapiens* IGHG4\*01, IGHG4v5 h P10, G4v4 CH2 A1.3, A1.2, nG4m(a) CH2 L92 (CH1 (119-216), bisagra 1-12 S10>P (226) (217-228), CH2 L92 (307), F1.3>A (232), L1.2>A (233) (229-338), CH3 (339-443), CHS K2>del (444)) (119-444)], (132-219')-disulfuro con la cadena ligera kappa *Homo sapiens* (1'-219') [V-KAPPA *Homo sapiens* IGKV4-1\*01 (81.2%) -IGKJ4\*01 (100%), CDR-IMGT [11.3.9] (27-37.55-57.94-102)] (1'-112') -*Homo sapiens* IGKC\*01 (100%), Km3 A45.1 (158), V101 (196) (113'-219)]; dímero (224-224"-227-227")-bisdisulfuro, producido en una línea celular derivada de las células ováricas de hámster chino (CHO) transfectada con el gen de la glutamina sintetasa (GS), forma glicosilada alfa  
*analgésico*

2489584-93-0

## Heavy chain / Chaîne lourde / Cadena pesada

QVQLVQSGAE VKKPGSSVKV SCKASGYTFT DAYINWVRQA PGQGLEWMGW 50  
 IWPFPVITYY NPKFKGRVTI TADKSTSTAY MELSSLRSED TAVYYCARRR 100  
 VLSFPFAYWQG GTTVTVSSAS TKGPSVFPLA PCSRSTSEST AALGCLVKDY 150  
 FFEFVTVSWN SGALTSGVHT FFAVLQSSGL YLSSVTVTP SSSLGKTITYT 200  
 CNVDHKFSNT KVDKRVESKY GPFPCPCAP EAAGGFSVFL FFPKPKDTLM 250  
 ISRTPEVTCV VVDVQEDPE VQFNWYVDGV EVHNARTKFR EEQFNSTYRV 300  
 VSVLTVLHQD WLNKEYKCK VSNKGLPSSI EKTISKAKGQ PREPQVYITLP 350  
 PSQEEMTKNQ VSLTCLVKG F YPSDIAVEWE SNGQPENNYK TTPPVLDSDG 400  
 SFFLYSRLTV DKSRWQEGNV FSCSVMEAL HHNYTQKSL SLSL 444

## Light chain / Chaîne légère / Cadena ligera

DIVMTQSPDS LAVSLGERAT INCRSSQSIV HSTGNTYLEW YQKPGQPPK 50  
 LLIIYKVSNR FSGVDRFSGS GSGTDFTLTI SSLQAEDVAV YYCFHGTHVP 100  
 YTFGGGKTKE IKRTVAAPSV FIFPPSDEQL KSGTASVCL LNNFYPREAK 150  
 VQWKVDNALQ SGNSQESVTE QDSKDYSTLS SSSLTSLSKAD YEKHKVYACE 200  
 VTHQGLSSPV TKSFNRGEC 219

## Post-translational modifications

Disulfide bridges location / Position des ponts disulfure / Posiciones de los puentes disulfuro

Intra-H (C23-C104) 22-96 145-201 259-319 365-423  
 22"-96" 145"-201" 259"-319" 365"-423"  
 Intra-L (C23-C104) 23"-93" 139"-199"  
 23"-93" 139"-199"

Inter-H-L (CH1 10-CL 126) 132-219" 132"-219"

Inter-H-H (h 8, h 11) 224-224" 227-227"

N-terminal glutaminyl cyclization / Cyclisation du glutaminyle N-terminal / Ciclación del glutaminilo N-terminal

Q ≥ pyroglutamyl (pE, 5-oxoprolyl) / pyroglutamyle (pE, 5-oxoprolyle) / piroglutamilo (pE, 5-oxoprolyle)  
 H VH Q1: 1, 1"

N-glycosylation sites / Sites de N-glycosylation / Posiciones de N-glicosilación

H CH2 N84.4: 295, 295"

Fucosylated complex bi-antennary CHO-type glycans / glycanes de type CHO bi-antennaires complexes fucosylés / glicanos de tipo CHO biantenarijos complejos fucosilados.

**fequesetidum**

fequesetide

thymosin- $\beta_4$  (17-23)-peptide, non-phosphorylated;  
L-leucyl-L-lysyl-L-lysyl-L-threonyl-L- $\alpha$ -glutamyl-L-  
threonyl-L-glutamine  
*thymosin beta-4 analogue, anti-inflammatory*

féquésétide

(17-23)-peptide de la thymosine- $\beta_4$ , non phosphorylé;  
L-leucyl-L-lysyl-L-lysyl-L-thréonyl-L- $\alpha$ -glutamyl-L-  
thréonyl-L-glutamine  
*analogue de la thymosine bêta-4, anti-inflammatoire*

fequesetida

(17-23)-péptido de la timosina- $\beta_4$ , no fosforilado;  
L-leucil-L-lisil-L-lisil-L-treonil-L- $\alpha$ -glutamil-L-treonil-L-  
glutamina  
*análogo de la timosina beta-4, antiinflamatorio*

C<sub>36</sub>H<sub>66</sub>N<sub>10</sub>O<sub>13</sub>

476014-70-7

Leu - Lys - Lys - Thr - Glu - Thr - Gln

**florzolotauum (<sup>18</sup>F)**florzolotau (<sup>18</sup>F)

*rac*-(2*R*)-1-(<sup>18</sup>F)fluoro-3-[(2-[(1*E*,3*E*)-4-[6-  
(methylamino)pyridin-3-yl]buta-1,3-dien-1-yl]-1,3-  
benzothiazol-6-yl)oxy]propan-2-ol  
*diagnostic imaging agent*

florzolotau (<sup>18</sup>F)

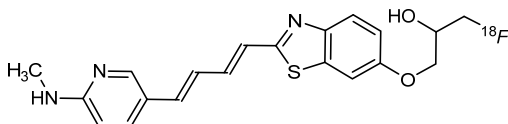
*rac*-(2*R*)-1-(<sup>18</sup>F)fluoro-3-[(2-[(1*E*,3*E*)-4-[6-  
(méthylamino)pyridin-3-yl]buta-1,3-diène-1-yl]-1,3-  
benzothiazol-6-yl)oxy]propan-2-ol  
*agent diagnostique*

florzolotau (<sup>18</sup>F)

*rac*-(2*R*)-1-(<sup>18</sup>F)fluoro-3-[(2-[(1*E*,3*E*)-4-[6-  
(metilamino)piridin-3-il]buta-1,3-dien-1-il]-1,3-  
benzotiazol-6-il)oxi]propan-2-ol  
*agente de diagnóstico*

C<sub>20</sub>H<sub>20</sub><sup>18</sup>FN<sub>3</sub>O<sub>2</sub>S

1565797-57-0

**forimtamigum #**

forimtamig

immunoglobulin G1-lambda/kappa with crossed domains, anti-[*Homo sapiens* GPRC5D (G protein-coupled receptor class C group 5 member D)] and anti-[*Homo sapiens* CD3E (CD3 epsilon, Leu-4)], humanized monoclonal antibody, bispecific, trivalent; gamma-lambda heavy chain bispecific, anti-GPRC5D and anti-CD3E (VH-CH1-V-lambda-CH1-CH2-CH3) (1-672) [humanized VH anti-GPRC5D (*Homo sapiens*IGHV3-23\*03 (91.8%) -(IGHD) -IGHJ4\*01 (93.3%), CDR-IMGT [8.8.10] (26-33.51-58.97-106)) (1-117) - *Homo sapiens*IGHG1\*01, G1m17 (CH1 K26>E (147),

K119>E (213), K120 (214) (118-215), hinge 1-6 (216-221)) (118-221) -10-mer bis(tetraglycyl-seryl) linker (222-231) -Musmus/Homsap V-LAMDDA anti-CD3E (*Mus musculus* IGLV1\*01 (81.2%) -IGLJ1\*01 (100%)/*Homo sapiens* IGLV7-46\*01 (80.0%) -IGLJ3\*02 (100%), CDR-IMGT [9.3.9] (257-265.283-285.322-330))(232-340) -2-mer biseryl linker (341-342) -*Homo sapiens* IGHG1\*01, G1m17,1, G1v14-49 CH2 A1.3, A1.2, G114, G1v32 CH3 W22 (knob) (CH1 K120 (439) (343-440), hinge 1-15 (441-455), CH2 L1.3>A (459), L1.2>A (460), P114>G (554) (456-565), CH3 S10>C (579), D12 (581), L14 (583), T22>W (591) (566-670), CHS (671- 672)) (343-672)), (220-218')-disulfide with kappa light chain anti-GPRC5D (1'-218') [humanized V-KAPPA (*Homo sapiens* IGKV3-20\*01 (83.8%) -IGKJ5\*01 (91.7%), CDR-IMGT [10.3.9] (27-36.54-56.93-101)) (1'-111') -*Homo sapiens* IGKC\*01 (98.1%), E12>R (127), Q13>K (128), Km3 A45.1 (157), V101 (195) (112'-218')), (445-232''')-disulfide with light chain with crossed VH anti-CD3E (1'''-232''') [humanized VH (*Homo sapiens* IGHV3-23\*03 (87.0%) -IGHJ4\*01 (86.7%), CDR-IMGT [8.10.16] (26-33.51-60.99-114)) (1'''-125''') -*Homo sapiens* IGKC\*01 (99.1%), R1.4>A (126), T1.3>S (127), Km3 A45.1 (171), V101 (209) (126'''-232''')]; gamma1 heavy chain anti-GPRC5D (1''-447'') [humanized VH (*Homo sapiens* IGHV3-23\*03 (91.8%) -(IGHD) -IGHJ4\*01 (93.3%), CDR-IMGT [8.8.10] (26-33.51-58.97-106)) (1''-117'') -*Homo sapiens* IGHG1\*01, G1m17,1, G1v14-49 CH2 A1.3, A1.2, G114, G1v33 CH3 S22, A24, V86 (hole) (CH1 K26>E (147), K119>E (213), K120(214) (118''-215''), hinge1-15 (216''-230''), CH2 L1.3>A (234), L1.2>A (235), P114>G (329) (231''- 340''), CH3 Y5>C (349), D12 (356), L14 (358), T22>S (366), L24>A (368), Y86>V (407) (341''-445''), CHS (446''- 447'') (118''-447'')], (220''-218''')-disulfide with kappa light chain anti-GPRC5D(1''''-218''') [humanized V-KAPPA (*Homo sapiens* IGKV3-20\*01 (83.8%) -IGKJ5\*01 (91.7%), CDR-IMGT [10.3.9] (27-36.54-56.93-101)) (1''''-111''') -*Homo sapiens* IGKC\*01 (98.1%), E12>R (127), Q13>K (128), Km3 A45.1 (157), V101 (195) (112''''- 218''')]; dimer (451-226'':454-229'':579-349'')-trisdisulfide, produced in Chinese hamster ovary (CHO) cells, glycoform alfa  
*antineoplastic*

forimtamig

immunoglobuline G1-lambda/kappa avec domaines croisés, anti-[*Homo sapiens* GPRC5D(membre D du groupe 5 de la classe C des récepteurs couplés aux protéines G)] et anti-[*Homo sapiens* CD3E (CD3 epsilon, Leu-4)], anticorps monoclonal humanisé, bispécifique, trivalent; chaîne lourde gamma-lambda anti-GPRC5D et anti-CD3E (VH-CH1-V-lambda-CH1-CH2-CH3) (1-672) [VH anti-GPRC5D humanisé (*Homo sapiens* IGHV3-23\*03 (91.8%) -(IGHD) -IGHJ4\*01 (93.3%), CDR-IMGT [8.8.10] (26-33.51-58.97-106)) (1-117) -*Homo sapiens* IGHG1\*01, G1m17 (CH1 K26>E (147), K119>E (213), K120(214) (118-215), charnière 1-6 (216-221)) (118-221) -10-mer bis(tétraglycyl-séryl) linker (222-231) -Musmus/Homsap V-LAMDDA anti-CD3E (*Mus musculus* IGLV1\*01 (81.2%) -IGLJ1\*01 (100%)/*Homo sapiens* IGLV7-46\*01 (80.0%) -IGLJ3\*02 (100%), CDR-IMGT [9.3.9] (257-265.283-285.322-330))(232-340) -2-mer biséryl linker (341-342) -*Homo sapiens* IGHG1\*01, G1m17,1, G1v14-49 CH2 A1.3, A1.2, G114, G1v32 CH3 W22 (knob) (CH1 K120 (439) (343-440), charnière 1-15 (441-455), CH2 L1.3>A (459), L1.2>A (460), P114>G (554) (456-565), CH3 S10>C (579), D12 (581), L14 (583), T22>W (591) (566-670), CHS (671- 672)) (343-672)], (220-218')-disulfure avec la chaîne légère kappa anti-GPRC5D (1'-218') [V-KAPPA humanisé (*Homo sapiens* IGKV3-20\*01 (83.8%) -IGKJ5\*01 (91.7%), CDR-IMGT [10.3.9] (27-36.54-56.93-101)) (1'-111') -*Homo sapiens* IGKC\*01 (98.1%), E12>R (127), Q13>K (128), Km3 A45.1 (157), V101 (195) (112'-218')), (445-232''')-disulfure avec la chaîne légère kappa à VH croisé anti-CD3E

- (1"-232") [VH humanisé (*Homo sapiens* IGHV3-23\*03 (87.0%) -IGHJ4\*01 (86.7%), CDR-IMGT [8.10.16] (26-33.51-60.99-114)) (1"-125") -*Homo sapiens* IGKC\*01 (99.1%), R1.4>A (126), T1.3>S (127), Km3 A45.1 (171), V101 (209) (126"-232"); chaîne lourde gamma1 anti-GPRC5D (1"-447") [VH humanisé (*Homo sapiens* IGHV3-23\*03 (91.8%) -(IGHD) -IGHJ4\*01 (93.3%), CDR-IMGT [8.8.10] (26-33.51-58.97-106)) (1"-117") -*Homo sapiens* IGHG1\*01, G1m17,1, G1v14-49 CH2 A1.3, A1.2, G114, G1v33 CH3 S22, A24, V86 (hole)(CH1 K26>E (147), K119>E (213), K120(214) (118"-215"), charnière1-15 (216"-230"), CH2 L1.3>A (234), L1.2>A (235), P114>G (329) (231"- 340"), CH3 Y5>C (349), D12 (356), L14 (358), T22>S (366), L24>A (368), Y86>V (407) (341"-445"), CHS (446"- 447") (118"-447"), (220"-218")-disulfure avec la chaîne légère anti-GPRC5D (1"-218") [V-KAPPA humanisé (*Homo sapiens* IGKV3-20\*01 (83.8%) -IGKJ5\*01 (91.7%), CDR-IMGT [10.3.9] (27-36.54-56.93-101)) (1"-111") -*Homo sapiens* IGKC\*01 (98.1%), E12>R (127), Q13>K (128), Km3 A45.1 (157), V101 (195) (112"- 218"); dimère (451-226":454-229":579-349)-trisulfure, produit dans des cellules ovariennes de hamster chinois (CHO), glycoforme alfa antineoplásique
- forimtamig immunoglobulina G1-lambda/kappa con dominios cruzados, anti-[*Homo sapiens* GPRC5D(miembro D del grupo 5 de la clase C de los receptores emparejados con proteínas G)] y anti-[*Homo sapiens* CD3E (CD3 épsilon, Leu-4)], anticuerpo monoclonal humanizado, biespecifico, trivalente; cadena pesada gamma-lambda anti-GPRC5D y anti-CD3E (VH-CH1-V-lambda-CH1-CH2-CH3) (1-672) [VH anti-GPRC5D humanizado (*Homo sapiens* IGHV3-23\*03 (91.8%) -(IGHD) -IGHJ4\*01 (93.3%), CDR-IMGT [8.8.10] (26-33.51-58.97-106)) (1-117) -*Homo sapiens* IGHG1\*01, G1m17 (CH1 K26>E (147), K119>E (213), K120(214) (118-215), bisagra 1-6 (216-221)) (118-221) -10-mer bis(tetraglicil-seril) linker (222-231) -Musmus/Homsap V-LAMDDA anti-CD3E (*Mus musculus* IGLV1\*01 (81.2%) -IGLJ1\*01 (100%)/*Homo sapiens* IGLV7-46\*01 (80.0%) -IGLJ3\*02 (100%), CDR-IMGT [9.3.9] (257-265.283-285.322-330))(232-340) -2-mer biseril linker (341-342) -*Homo sapiens* IGHG1\*01, G1m17,1, G1v14-49 CH2 A1.3, A1.2, G114, G1v32 CH3 W22 (knob) (CH1 K120 (439) (343-440), bisagra 1-15 (441-455), CH2 L1.3>A (459), L1.2>A (460), P114>G (554) (456-565), CH3 S10>C (579), D12 (581), L14 (583), T22>W (591) (566-670), CHS (671- 672)) (343-672)], (220-218')-disulfuro con la cadena ligera kappa anti-GPRC5D (1'-218') [V-KAPPA humanizada (*Homo sapiens* IGKV3-20\*01 (83.8%) -IGKJ5\*01 (91.7%), CDR-IMGT [10.3.9] (27-36.54-56.93-101)) (1'-111') -*Homo sapiens* IGKC\*01 (98.1%), E12>R (127), Q13>K (128), Km3 A45.1 (157), V101 (195) (112'-218')], (445-232")-disulfuro con la cadena ligera kappa con VH cruzado anti-CD3E (1"-232") [VH humanizado (*Homo sapiens* IGHV3-23\*03 (87.0%) -IGHJ4\*01 (86.7%), CDR-IMGT [8.10.16] (26-33.51-60.99-114)) (1"-125") -*Homo sapiens* IGKC\*01 (99.1%), R1.4>A (126), T1.3>S (127), Km3 A45.1 (171), V101 (209) (126"-232"); cadena pesada gamma1 anti-GPRC5D (1"-447") [VH humanizado (*Homo sapiens* IGHV3-23\*03 (91.8%) -(IGHD) -IGHJ4\*01 (93.3%), CDR-IMGT [8.8.10] (26-33.51-58.97-106)) (1"-117") -*Homo sapiens* IGHG1\*01, G1m17,1, G1v14-49 CH2 A1.3, A1.2, G114, G1v33 CH3 S22, A24, V86 (hole)(CH1 K26>E (147), K119>E (213), K120(214) (118"-215"), bisagra1-15 (216"-230"), CH2 L1.3>A (234), L1.2>A (235), P114>G (329) (231"- 340"), CH3 Y5>C (349), D12 (356), L14 (358), T22>S (366), L24>A (368), Y86>V (407) (341"-445"), CHS (446"- 447") (118"-447"), (220"-218")-disulfuro con la cadena ligera anti-GPRC5D(1"-218") [V-KAPPA humanizada (*Homo sapiens* IGKV3-20\*01 (83.8%) -IGKJ5\*01 (91.7%), CDR-IMGT [10.3.9] (27-36.54-56.93-101)) (1"-111") -*Homo sapiens* IGKC\*01 (98.1%), E12>R (127), Q13>K (128), Km3 A45.1 (157), V101 (195) (112"- 218"); dímero (451-226":454-229":579-349)-trisulfuro, producido en una línea celular derivada de las células ováricas de hamster chino (CHO), forma glicosilada alfa antineoplásico

2649379-96-2

## Heavy chain / Chaîne lourde / Cadena pesada:

## bispecific VH-CH1-V-lambda-CH1-CH2-CH3 (H)

EVQLLESGGG LVQPGGSLRL SCAASGFTFS KYAMAWVRQA PGKGLEWVAS 50  
 ISTGGVNTYY ADSVKGRFTI SRDNSKNTLY LQMNLSRAED TAVYYCATH 100  
 GDYFDYWGQG TMVTVSSAST KGPSVFPLAP SSKSTSGGTA ALGCLVEDYF 150  
 PEPVTVSWNS GALTSGVHTF PAVLQSSGLY SLSSVTVVPS SSLGTQTYIC 200  
 NVNHKPSNTK VDEKVEPKSC DGGGGSGGGG SQAVVTQEPS LTVSPGGT 250  
 LTCGSSTGAV TTSNYANWVQ EKPQGAFRGL IGGTNKRAPG TPARFSGSLL 300  
 GGKAAALTSG AQPEDEAEY CALWYNSLWV FGGGKTLTVL SSASTKGPSV 350  
 FFLAPSSKST SGGTAALGCL VKDYFPEPVT VSWNSGALTS GVHTFPAVLQ 400  
 SSGLYLSLSSV VTVPSSSLGT QTYICNVNHK PSNTKVDKVK EPKSCDKTHT 450  
 CPPCPAPEAA GGPSVFLFPP KPKDMLMISR TPEVTCVVDV VSHEDPEVKF 500  
 NWYVDGVEVH NAKTKPREEQ YNSTYRVVSV LTVLHQDWLN GKEYKCKVSN 550  
 KALGAPIEKT ISKARGQPRE PQVYTLPPCR DELTKNQVSL WCLVKGFYPS 600  
 DIAVEWESNG QPENNYKTFP VLKDSGDSGF LYSKLTVDKS RWQGGNVFSC 650  
 SVMHEALHNH YTKQSLSLSP GK 672

Heavy chain / Chaîne lourde / Cadena pesada: anti-GPRC5D (H<sup>o</sup>)

EVQLLESGGG LVQPGGSLRL SCAASGFTFS KYAMAWVRQA PGKGLEWVAS 50  
 ISTGGVNTYY ADSVKGRFTI SRDNSKNTLY LQMNLSRAED TAVYYCATH 100  
 GDYFDYWGQG TMVTVSSAST KGPSVFPLAP SSKSTSGGTA ALGCLVEDYF 150  
 PEPVTVSWNS GALTSGVHTF PAVLQSSGLY SLSSVTVVPS SSLGTQTYIC 200  
 NVNHKPSNTK VDEKVEPKSC DKHTCCPPC APEAAGGPSV FLFPPKPKDT 250  
 LMIISRTPEVT CVVVDVSHED PEVKFNMYVD GVEVHNKTK PREEQYNSTY 300  
 RVVSVLTVLH QDWLNGKEYK CKVSNKALGA PIEKTIKAK GQPREPQVCT 350  
 LPPSRDELTK NQVSLSCAVK GFYPSDIAVE WESNGQPENN YKTPPVLD 400  
 DGSFFLVSKL TVDKSRWQGG NVFSCVMHE ALHNHYTQKS LSLSPGK 447

Light chain / Chaîne légère / Cadena ligera: anti-GPRC5D (L, L<sup>o</sup>)

EIVLTQSPFT LSLSPGERAT LSCRASQSVS ISGINLNNWY QKQPGQQPKL 50  
 LIYHASICLAS GIPDRFSGSG SGTDFTLTIS RLEPEDFAVY YCQQTRESPL 100  
 TFGQGTRELI KRTVAAPSVF IFPPSDRKLK SGTASVCLL NNFYFREAKV 150  
 QWKVDNALQS GNSQESVTEQ DSKDSTYSLT STLTLKADY EKHKVYACEV 200  
 THQGLSSPVT KSFNRGEC 218

Light chain / Chaîne légère / Cadena ligera: anti-CD3E crossed VH (L<sup>o</sup>)

EVQLLESGGG LVQPGGSLRL SCAASGFQFS SYAMNWVRQA PGKGLEWVSR 50  
 IRSKYNNYAT YYADSVKGRF TI SRDSDKNT LYLQMNLSRA EDTAVYYCVR 100  
 HTTFPSSYVS YYGYWGGQTL VTVSSASVAA PSVFIFPPSD EQLKSGTASV 150  
 VCLLNFFYPR EAKVQWKVDN ALQSGNSQES VTEQDSKDT YLSLSTLTL 200  
 KADYEKHKVY ACEVTHQGLS SPVTKSFNRG EC 232

## Post-translational modifications

Disulfide bridges location / Position des ponts disulfure / Posiciones de los puentes disulfuro

Intra-H (C23-C104) 22-96 144-200 253-321 369-425 486-546 592-650

22<sup>o</sup>-96<sup>o</sup> 144<sup>o</sup>-200<sup>o</sup> 261<sup>o</sup>-321<sup>o</sup> 367<sup>o</sup>-425<sup>o</sup>Intra-L (C23-C104) 23<sup>o</sup>-92<sup>o</sup> 138<sup>o</sup>-198<sup>o</sup> 23<sup>o</sup>-92<sup>o</sup> 138<sup>o</sup>-198<sup>o</sup>22<sup>o</sup>-98<sup>o</sup> 152<sup>o</sup>-212<sup>o</sup>Inter-H-L (h 5-CL 126) 220-218<sup>o</sup> 445-232<sup>o</sup> 220<sup>o</sup>-218<sup>o</sup>Inter-H-H (h 11, h 14) 451-226<sup>o</sup> 454-229<sup>o</sup> 579-349<sup>o</sup>

N-glycosylation sites / Sites de N-glycosylation / Posiciones de N-glicosilación

H CH2 N84.4:

522, 297<sup>o</sup>

Fucosylated complex bi-antennary CHO-type glycans / glycanes de type CHO bi-antennaires

complexes fucosylés / glicanos de tipo CHO biantennarios complejos fucosilados.

C-terminal lysine clipping / Coupure de la lysine C-terminale / Recorte de lisina C-terminal

H CHS K2:

672, 447<sup>o</sup>

**fosclevudinum alafenamidum**  
 fosclevudine alafenamide

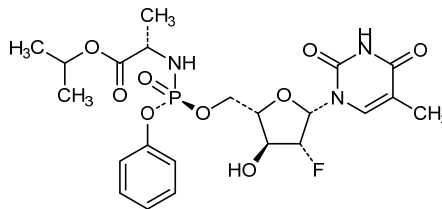
propan-2-yl N-[(<sup>P5</sup>S)-2'-deoxy-2'-fluoro-5-methyl-O<sup>P</sup>-phenyl-β-L-arabino-5'-uridylyl]-L-alaninate  
*antiviral*

fosclevudine alafenamide

N-[(<sup>P5</sup>S)-2'-désoxy-2'-fluoro-5-méthyl-O<sup>P</sup>-phényl-β-L-arabino-5'-uridylyl]-L-alaninate de propan-2-yle  
*antiviral*

fosclevudina alafenamida

N-[(<sup>P5</sup>S)-2'-desoxi-O<sup>P</sup>-fenil-2'-fluoro-5-metil-β-L-arabino-5'-uridilil]-L-alaninato de propan-2-ilo  
*antiviral*



**freneslerbartum #**  
freneslerbart

immunoglobulin G4-kappa, anti-[Fel d 1 (*Felis silvestris catus* (domestic cat) allergen 1), *Homo sapiens* monoclonal antibody; gamma4 heavy chain *Homo sapiens* (1-446) [VH (*Homo sapiens* IGHV3-21\*05 (92.9%) -(IGHD) -IGHJ6\*01 (94.1%), CDR-IMGT [8.8.12] (26-33.51-58.97-108)) (1-119)-*Homo sapiens* IGHG4\*01, G4v5 h P10, nG4m(a) CH2 L92 (CH1 (120-217), hinge 1-12 S10>P (227) (218-229), CH2 L92 (308) (230-339), CH3 (340-444), CHS (445-446)) (120-446)], (133-214')-disulfide with kappa light chain *Homo sapiens* (1'-214') [V-KAPPA (*Homo sapiens* IGKV1-27\*01 (95.8%) -IGKJ2\*01 (100%), CDR-IMGT [6.3.9] (27-32.50-52.89-97)) (1'-107') -*Homo sapiens* IGKC\*01 (100%), Km3 A45.1 (153), V101 (191) (108'-214')]; dimer (225-225":228-228")-bisdisulfide, produced in Chinese hamster ovary (CHO) cells, glycoform alfa  
*antiallergic*

fréneslerbart

immunoglobuline G4-kappa, anti-[Fel d 1 (allergène 1 de *Felis silvestris catus* (chat domestique))], anticorps monoclonal *Homo sapiens*;  
chaîne lourde gamma4 *Homo sapiens* (1-446) [VH (*Homo sapiens* IGHV3-21\*05 (92.9%) -(IGHD) -IGHJ6\*01 (94.1), CDR-IMGT [8.8.12] (26-33.51-58.97-108)) (1-119)-*Homo sapiens* IGHG4\*01, G4v5 h P10, nG4m(a) CH2 L92 (CH1 (120-217), charnière 1-12 S10>P (227) (218-229), CH2 L92 (308) (230-339), CH3 (340-444), CHS (445-446)) (120-446)], (133-214')-disulfure avec la chaîne légère kappa *Homo sapiens* (1'-214') [V-KAPPA (*Homo sapiens* IGKV1-27\*01 (95.8%) -IGKJ2\*01 (100%), CDR-IMGT [6.3.9] (27-32.50-52.89-97)) (1'-107') -*Homo sapiens* IGKC\*01 (100%), Km3 A45.1 (153), V101 (191) (108'-214')]; dimère (225-225":228-228")-bisdisulfure, produit dans des cellules ovariennes de hamster chinois (CHO), glycoforme alfa  
*antiallergique*

freneslerbart

immunoglobulina G4-kappa, anti-[Fel d 1 (alérgeno 1 de *Felis silvestris catus* (gato doméstico))], anticuerpo monoclonal *Homo sapiens*;  
cadena pesada gamma4 *Homo sapiens* (1-446) [VH (*Homo sapiens* IGHV3-21\*05 (92.9%) -(IGHD) -IGHJ6\*01 (94.1), CDR-IMGT [8.8.12] (26-33.51-58.97-108)) (1-119)-*Homo sapiens* IGHG4\*01, G4v5 h P10, nG4m(a) CH2 L92 (CH1 (120-217), bisagra 1-12 S10>P (227) (218-229), CH2 L92 (308) (230-339), CH3 (340-444), CHS (445-446)) (120-446)], (133-214')-disulfuro con la cadena ligera kappa *Homo sapiens* (1'-214') [V-KAPPA (*Homo sapiens* IGKV1-27\*01 (95.8%) -IGKJ2\*01 (100%), CDR-IMGT [6.3.9] (27-32.50-52.89-97)) (1'-107') -*Homo sapiens* IGKC\*01 (100%), Km3 A45.1 (153), V101 (191) (108'-214')]; dímero (225-225":228-228")-bisdisulfuro, producido en las células ováricas de hámster chino (CHO), forma glicosilada alfa  
*antialérgico*

2453195-94-1

## Heavy chain / Chaîne lourde / Cadena pesada

EVQLVESGGG LVKPGGSLRL SCAASGFTFR NYNINWVRQA PGKGLEWVSL 50  
 ISGSSSYIY ADSVKGRFTV SRDNAKNSLY LQMNSLRAD TAVYICARRT 100  
 LSYVMDVWG QGTTVTVSSA STKGPSVFLP APCSRSTSES TAALGCLVKD 150  
 YFPEPVTVSW NSGALTSGVH TTPAVLQSSG LYSLSVSVTV PSSSLGTRKY 200  
 TCNVDHKFSN TKVDKRVESK YGPPCPCPA PFLGGPSVF LFPPKPKDTL 250  
 MISRTPEVTC VVVDVDSQEDP EVQFNWYVDG VEVHNAKTKP REEQFNSTYR 300  
 VVSVLTVLHQ DWLNGKEYKC KVSNGKLPSS IEKTISKARG QPPEPQVYTL 350  
 PPSQEEETKN QVSLTCLVRG FYPSDIAVEW ESNGLQENNY KTTTPVLDSD 400  
 GSFFLYSRLT VDKSRWQEGN VFSCSVMHEA LHNHYTQKSL SLSLGR 446

## Light chain / Chaîne légère / Cadena ligera

DIQVTSQSPF LSASVGDRTV ITCRASGGIS NYLAWYQQPK GRVPQLLIYA 50  
 ASTLQSGVPS RFGSGSGTD FTLTISSLOP EDVATYYCQK YNSAPYTFGQ 100  
 GTKLEIKRTV AAPSVFIFPP SDEQLKSGTA SVVCLLNIFY PREAKVQWKV 150  
 DNALQSGNSQ ESVTEQDSKD STYLSLSTLT LSKADYERKH VYACEVTHQG 200  
 LSSPVTKSNF RGEC 214

## Post-translational modifications

Disulfide bridges location / Position des ponts disulfure / Posiciones de los puentes disulfuro

Intra-H (C23-C104) 22-96 146-202 260-320 366-424  
 22"-96" 146"-202" 260"-320" 366"-424"

Intra-L (C23-C104) 23"-88" 134"-194"  
 23"-88"" 134""-194""

Inter-H-L (CH1 10-CL 126) 133-214" 133"-214"

Inter-H-H (h 8, h 11) 225-225" 228-228"

N-glycosylation sites / Sites de N-glycosylation / Posiciones de N-glicosilación

H CH2 N84.4; 296, 296"

Fucosylated complex bi-antennary CHO-type glycans / glycanes de type CHO bi-antennaires complexes fucosylés / glicanos de tipo CHO biantennarios complejos fucosilados.

C-terminal lysine clipping / Coupure de la lysine C-terminale / Recorte de lisina C-terminal

H CHS K2: 446, 446"

**froniglutidum #**  
froniglutide

[2-glycine]-human glucagon-like peptide 1(7-37) (1-31 in the actual sequence), non-phosphorylated, fused to 121 repeats of elastin-derived pentapeptides (VPGVG, VPGGG, VPGAG, and VPGWP) (32-636);

fusion protein comprising [A<sup>8</sup>>G<sup>2</sup>]-human glucagon-like peptide 1(7-37) [hGLP-1(7-37)] (1-31) and an artificial elastin-like polypeptide (ELP) (32-631) of 120 alternating pentapeptides of three types VPGVG, VPGGG, and VPGAG, and a C-terminal pentapeptide VPGWP (632-636), produced in *Escherichia coli* glucagon-like peptide 1 (GLP-1) receptor agonist

## froniglutide

[2-glycine]-peptide de type glucagon 1(7-37) humain (1-31 dans la séquence réelle), non phosphorylé, fusionné à 121 répétitions de pentapeptides dérivés de l'élastine (VPGVG, VPGGG, VPGAG et VPGWP) (32-636);

protéine de fusion comprenant le [A<sup>8</sup>>G<sup>2</sup>]-peptide de type glucagon 1(7-37) humain [hGLP-1(7-37)] (1-31) et un polypeptide de type élastine (ELP) artificiel (32-631) de 120 pentapeptides alternés de trois types VPGVG, VPGGG et VPGAG, et un pentapeptide C-terminal VPGWP (632-636), produit dans *Escherichia coli* agoniste du récepteur au peptide-1 d'action type glucagon (GLP-1)

## froniglutida

[2-glicina]-péptido similar al glucagón 1(7-37) humano (1-31 en la secuencia real), no fosforilado, fusionado a 121 repeticiones de pentapéptidos derivados de elastina (VPGVG, VPGGG, VPGAG y VPGWP) ( 32-636);

proteína de fusión que comprende el [A<sup>8</sup>> G<sup>2</sup>]-péptido similar al glucagón 1(7-37) humano [hGLP-1(7-37)] (1-31) y un polipéptido similar a elastina artificial (ELP) (32-631) de 120 pentapéptidos alternos de tres tipos VPGVG, VPGGG y VPGAG, y un pentapéptido C-terminal VPGWP (632-636), producida en *Escherichia coli* agonista del receptor del péptido 1 similar al glucagón (GLP-1)

1234965-40-2

Sequence / Séquence / Secuencia:

<b>HCEGTF</b> TSDV	<b>SSYLEG</b> QAAK	<b>EFTAWL</b> VKGR	GVPGVGVPV	GVPGGV <b>VPGA</b>	50
<b>G</b> VPGVGVPV	GVPGVGVP <b>GG</b>	<b>GVPAGV</b> PGG	GVPGVGVPV	GVPGGV <b>VPGA</b>	100
<b>G</b> VPGVGVPV	GVPGVGVP <b>GG</b>	<b>GVPAGV</b> PGG	GVPGVGVPV	GVPGGV <b>VPGA</b>	150
<b>G</b> VPGVGVPV	GVPGVGVP <b>GG</b>	<b>GVPAGV</b> PGG	GVPGVGVPV	GVPGGV <b>VPGA</b>	200
<b>G</b> VPGVGVPV	GVPGVGVP <b>GG</b>	<b>GVPAGV</b> PGG	GVPGVGVPV	GVPGGV <b>VPGA</b>	250
<b>G</b> VPGVGVPV	GVPGVGVP <b>GG</b>	<b>GVPAGV</b> PGG	GVPGVGVPV	GVPGGV <b>VPGA</b>	300
<b>G</b> VPGVGVPV	GVPGVGVP <b>GG</b>	<b>GVPAGV</b> PGG	GVPGVGVPV	GVPGGV <b>VPGA</b>	350
<b>G</b> VPGVGVPV	GVPGVGVP <b>GG</b>	<b>GVPAGV</b> PGG	GVPGVGVPV	GVPGGV <b>VPGA</b>	400
<b>G</b> VPGVGVPV	GVPGVGVP <b>GG</b>	<b>GVPAGV</b> PGG	GVPGVGVPV	GVPGGV <b>VPGA</b>	450
<b>G</b> VPGVGVPV	GVPGVGVP <b>GG</b>	<b>GVPAGV</b> PGG	GVPGVGVPV	GVPGGV <b>VPGA</b>	500
<b>G</b> VPGVGVPV	GVPGVGVP <b>GG</b>	<b>GVPAGV</b> PGG	GVPGVGVPV	GVPGGV <b>VPGA</b>	550
<b>G</b> VPGVGVPV	GVPGVGVP <b>GG</b>	<b>GVPAGV</b> PGG	GVPGVGVPV	GVPGGV <b>VPGA</b>	600
<b>G</b> VPGVGVPV	GVPGVGVP <b>GG</b>	<b>GVPAGV</b> PGG	GVPGW		636

Mutation / Mutation / Mutación

A<sup>2</sup>→G

Structuring of the ELP / Structuration de l'ELP / Estructuración del ELP

32-636 (605 aa) = 120 × VPGXG (with X = A, G, V) = 12 × aabca-aabcb, with the pentapeptides **a** = VPGVG, **b** = VPGGG, and **c** = VPGAG, plus the C-terminal pentapeptide VPGWP.

Post-translational modifications / Modifications post-traduccionnelles / Modificaciones postraduccionales: none / aucune / ninguna

**fulimetibantum**  
fulimetibant

2-(1-cyclobutyl-1*H*-pyrazol-4-yl)-5-{1-[2-fluoro-4-(trifluoromethyl)phenyl]cyclopropane-1-carboxamido}benzoic acid  
*bradykinin receptor antagonist*

fulimétibant

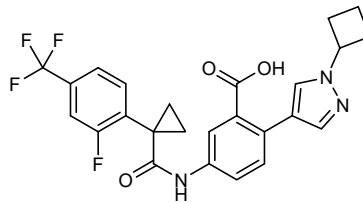
acide 2-(1-cyclobutyl-1*H*-pyrazol-4-yl)-5-{1-[2-fluoro-4-(trifluorométhyl)phényl]cyclopropane-1-carboxamido}benzoïque  
*antagoniste du récepteur de la bradykinine*

fulimetibant

ácido 2-(1-ciclobutil-1*H*-pirazol-4-il)-5-{1-[2-fluoro-4-(trifluorometil)fenil]ciclopropano-1-carboxamido}benzoico  
*antagonista del receptor de bradiquinina*

C<sub>25</sub>H<sub>21</sub>F<sub>4</sub>N<sub>3</sub>O<sub>3</sub>

2231142-90-6



**funobactamum**  
funobactam

(1*R*,4*S*,5*R*)-4-{5-[(4*S*)-2-amino-4,5-dihydro-1*H*-imidazol-4-yl]-1,3,4-oxadiazol-2-yl}-6-oxo-5,7-diazaspiro[bicyclo[3.2.1]octane-2,1'-cyclopropan]-7-yl hydrogen sulfate  
*beta-lactamase inhibitor*

funobactam

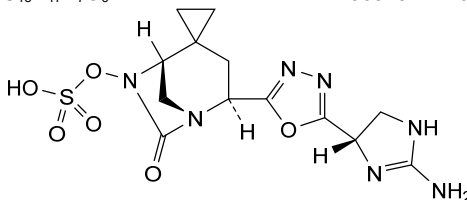
hydrogénosulfate de (1*R*,4*S*,5*R*)-4-{5-[(4*S*)-2-amino-4,5-dihydro-1*H*-imidazol-4-yl]-1,3,4-oxadiazol-2-yl}-6-oxo-5,7-diazaspiro[bicyclo[3.2.1]octane-2,1'-cyclopropan]-7-yle  
*inhibiteur de la bêta-lactamase*

funobactam

hidrogenosulfato de (1*R*,4*S*,5*R*)-4-{5-[(4*S*)-2-amino-4,5-dihidro-1*H*-imidazol-4-il]-1,3,4-oxadiazol-2-il}-6-oxo-5,7-diazaspiro[biciclo[3.2.1]octano-2,1'-ciclopropan]-7-ilo  
*inhibidor de la beta-lactamasa*

C<sub>13</sub>H<sub>17</sub>N<sub>7</sub>O<sub>6</sub>S

2365454-12-0

**golcadomidum**

golcadomide

(8<sup>3</sup>*S*)-4<sup>3</sup>-fluoro-6-aza-7(4,2)-isoindola-1(4)-morpholina-8(3)-piperidina-2(3,1)-azetidina-4(1,4)-benzenaocetaphane-7<sup>1</sup>,7<sup>3</sup>,8<sup>2</sup>,8<sup>6</sup>-tetrone  
*antineoplastica*

golcadomide

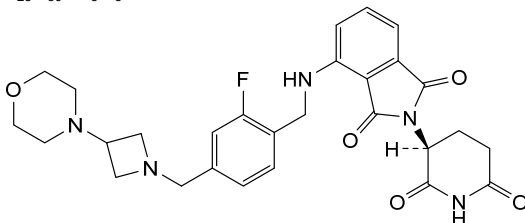
(8<sup>3</sup>*S*)-4<sup>3</sup>-fluoro-6-aza-7(4,2)-isoindola-1(4)-morpholina-8(3)-pipéridina-2(3,1)-azétidina-4(1,4)-benzénaocetaphane-7<sup>1</sup>,7<sup>3</sup>,8<sup>2</sup>,8<sup>6</sup>-tétrone  
*antineoplasique*

golcadomida

(8<sup>3</sup>*S*)-4<sup>3</sup>-fluoro-6-aza-7(4,2)-isoindola-1(4)-morfolina-8(3)-piperidina-2(3,1)-azetidina-4(1,4)-bencenaocetafano-7<sup>1</sup>,7<sup>3</sup>,8<sup>2</sup>,8<sup>6</sup>-tetrona  
*antineoplásico*

C<sub>28</sub>H<sub>30</sub>FN<sub>5</sub>O<sub>5</sub>

2379572-34-4

**gumarontinibum**

gumarontinib

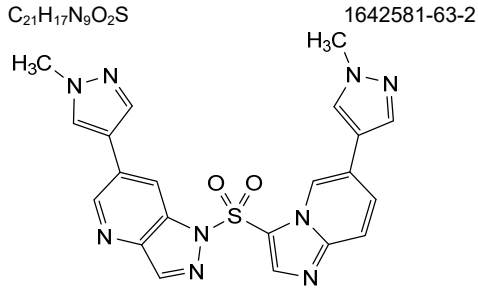
6-(1-methyl-1*H*-pirazol-4-il)-1-[6-(1-metil-1*H*-pirazol-4-il)imidazo[1,2-*a*]piridina-3-sulfonil]-1*H*-pirazolo[4,3-*b*]piridina  
*tyrosine kinase inhibitor, antineoplastica*

gumarontinib

6-(1-méthyl-1*H*-pirazol-4-il)-1-[6-(1-méthyl-1*H*-pirazol-4-il)imidazo[1,2-*a*]piridina-3-sulfonil]-1*H*-pirazolo[4,3-*b*]piridina  
*inhibiteur de la tyrosine kinase, antinéoplasique*

gumarontinib

6-(1-metil-1*H*-pirazol-4-il)-1-[6-(1-metil-1*H*-pirazol-4-il)imidazo[1,2-*a*]piridina-3-sulfonil]-1*H*-pirazolo[4,3-*b*]piridina  
*inhibidor de la tirosina kinasa, antineoplásico*



**ibcasertibum**  
ibcasertib

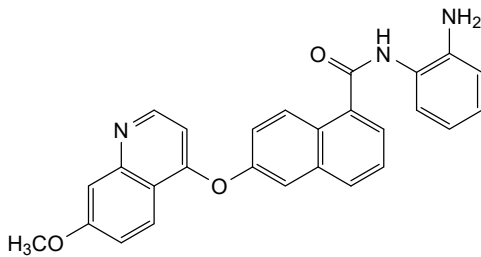
*N*-(2-aminophényl)-6-[(7-méthoxyquinolin-4-yl)oxy]naphthalène-1-carboxamide  
*serine/ threonine kinase inhibitor, antineoplastic*

ibcasertib

*N*-(2-aminophényl)-6-[(7-méthoxyquinoléin-4-yl)oxy]naphthalène-1-carboxamide  
*inhibiteur de sérine/ thréonine kinase, antinéoplasique*

ibcasertib

*N*-(2-aminofenil)-6-[(7-metoxiquinolein-4-il)oxi]naftaleno-1-carboxamida  
*inhibidor de serina/ treonina kinasa, antineoplásico*



**icanbelimodum**  
icanbelimod

1-[(2-fluoro-4-{5-[4-(2-méthylpropyl)phényl]-1,2,4-oxadiazol-3-yl}phényl)méthyl]azétidine-3-carboxylique acid  
*immunomodulateur*

icanbélimod

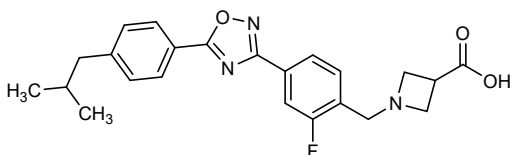
acide 1-[(2-fluoro-4-{5-[4-(2-méthylpropyl)phényl]-1,2,4-oxadiazol-3-yl}phényl)méthyl]azétidine-3-carboxylique  
*immunomodulateur*

icanbelimod

ácido 1-[(2-fluoro-4-{5-[4-(2-metilpropil)fenil]-1,2,4-oxadiazol-3-il}fenil)metil]azetidina-3-carboxílico  
*immunomodulador*

C<sub>23</sub>H<sub>24</sub>FN<sub>3</sub>O<sub>3</sub>

1514888-56-2



**igrelimogenum litadenorepvecum #**  
igrelimogene litadenorepvec

recombinant, replication-competent oncolytic adenovirus type 5 (Ad5) vector encoding human tumour necrosis factor  $\alpha$  (TNF $\alpha$ ) and human interleukin 2 (IL-2) separated by an internal ribosomal entry site (IRES), inserted into the *E3* region deleted for gp19K/6.7K, and under control of the viral *E3* promoter. Viral replication is under control of a tumour-selective *E2F* promoter that is linked to a 24-bp deletion in the adenoviral *E1A* region. The gene encoding the viral fiber protein is a chimera with an adenovirus (Ad) type 3 knob sequence and an Ad type 5 shaft and tail sequence.  
*virus-based gene therapy (antineoplastic)*

igrélimogène litadénorepvec

vecteur adénoviral oncolytique de type 5 (Ad5) recombinant, compétent à la réplication, codant le facteur  $\alpha$  de nécrose tumorale (TNF $\alpha$ ) humain et l'interleukine 2 (IL-2) humaine, séparés par un site d'entrée ribosomique interne (IRES), insérés dans la région *E3* dont gp19K/6.7K a été supprimé, et sous le contrôle du promoteur *E3* viral. La réplication virale est sous le contrôle d'un promoteur *E2F* sélectif des tumeurs qui est lié à une délétion de 24 pb dans la région *E1A* adénovirale. Le gène codant la protéine de la fibre virale est une chimère avec une séquence de bouton adénovirus de type 3 et une séquence d'axe et de queue Ad de type 5.  
*thérapie génique à base de virus (antineoplasique)*

igrelimogén litadenorepvec

vector de adenovirus tipo 5 (Ad5) oncolítico, recombinante, competente para la replicación que codifica para el factor de necrosis tumoral alfa (TNF- $\alpha$ ) humano e interleuquina 2 (IL-2) humana separados por un sitio interno de entrada al ribosoma (IRES), insertado en la región *E3* delecionada por gp19K/6.7K y bajo el control del promotor viral *E3*. La replicación viral está bajo el control de un promotor *E2F* selectivo de tumor que está ligado a una deleción de 24 pb en la región adenoviral *E1A*. El gen que codifica para la proteína de la fibra viral es una quimera con una secuencia botón (*knob*) del Ad tipo 3 y una secuencia eje (*shaft*) y cola del Ad tipo 5.  
*terapia génica basada en virus (antineoplásico)*

2646695-70-5

**inaleucelum**

inaleucel

allogenic natural killer (NK) cells (CD56+CD3-) derived from cord blood CD34+ hematopoietic stem and progenitor cells (HSPCs). The CD34+ HSPC selected fraction is collected in growth medium containing stem cell factor (SCF), thrombopoietin (TPO), FMS-like tyrosine kinase 3 ligand (Flt3L) and interleukin 7 (IL-7). CD34+ HSPC expansion and subsequent HSPC-NK cell differentiation takes place in growth medium containing SCF, IL-7, IL-2 and IL-15. The cells express (>30%) the activating receptors NK cell receptor D (NKG2D), DNAM-1 (CD226 antigen), NKp44, and the inhibitory receptor NKG2A and show very low killer-cell immunoglobulin-like receptor (KIR) expression. The cells contain and release perforin, granzyme B and interferon gamma (IFN- $\gamma$ ), and exert cytotoxicity against multiple MHC class I positive and negative tumour cell lines.  
*cell therapy (antineoplastic)*

inaleucel

cellules tueuses naturelles (NK) allogéniques (CD56+CD3-) dérivées de cellules souches et progénitrices hématopoïétiques (HSPC) CD34+ du sang de cordon. La fraction sélectionnée HSPC CD34+ est recueillie dans un milieu de croissance contenant du facteur de cellules souches (SCF), la thrombopoïétine (TPO), le ligand 3 de la tyrosine kinase de type FMS (Flt3L) et l'interleukine 7 (IL-7). L'expansion des HSPC CD34+ et la différenciation ultérieure des cellules HSPC-NK ont lieu dans un milieu de croissance contenant du SCF, de l'IL-7, de l'IL-2 et de l'IL-15. Les cellules expriment (>30%) les récepteurs d'activation récepteur D des cellules NK (NKG2D), DNAM-1 (antigène CD226), NKp44, et le récepteur d'inhibition NKG2A et présentent une très faible expression des récepteurs de type immunoglobuline des cellules tueuses (KIR). Les cellules contiennent et libèrent de la perforine, du granzyme B et de l'interféron gamma (IFN- $\gamma$ ), et exercent une cytotoxicité contre de multiples lignées de cellules tumorales positives et négatives du CMH de classe I.  
*thérapie cellulaire (antineoplasique)*

inaleucel

células natural killer (NK) alogénicas (CD56+CD3-) derivadas de células madre y progenitoras hematopoyéticas (HSPCs) CD34+ de sangre de cordón umbilical. La fracción seleccionada de HSPC CD34+ se recoge en medio de crecimiento que contiene factor de células madre (SCF), trombopoyetina (TPO), ligando de tirosina quinasa 3 similar a FMS (Flt3L) e interleuquina 7 (IL-7). La expansión de las células HSPC CD34+ y la subsiguiente diferenciación de las células HSPC-NK tiene lugar en medio de crecimiento que contiene SCF, IL-7, IL-2 e IL-15. Las células expresan (>30%) los receptores activadores receptor D de células NK (NKG2D), DNAM-1 (antígeno CD226), NKp44 y el receptor inhibidor NKG2A y muestran muy poca expresión del receptor similar a inmunoglobulina de células asesinas (KIR). Las células contienen y liberan perforina, granzima B e interferón gamma (IFN- $\gamma$ ), y ejercen citotoxicidad contra múltiples líneas celulares tumorales tanto positivas como negativas para MHC de clase I.  
*terapia celular (antineoplásico)*

**inixaciclibum**

inixaciclib

5-fluoro-4-[8-fluoro-4-(propan-2-yl)-3,4-dihydro-2H-1,4-benzoxazin-6-yl]-N-[5-(1-methylpiperidin-4-yl)pyridin-2-yl]pyrimidin-2-amine  
*cyclin-dependent kinase inhibitor, antineoplastic*

inixaciclib

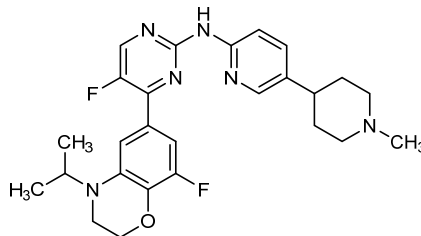
5-fluoro-4-[8-fluoro-4-(propan-2-yl)-3,4-dihydro-2H-1,4-benzoxazin-6-yl]-N-[5-(1-méthylpipéridin-4-yl)pyridin-2-yl]pyrimidin-2-amine  
*inhibiteur des kinases dépendantes des cyclines, antinéoplasique*

inixaciclib

5-fluoro-4-[8-fluoro-4-(propan-2-il)-3,4-dihidro-2H-1,4-benzoxazin-6-il]-N-[5-(1-metilpiperidin-4-il)piridin-2-il]pirimidin-2-amina  
*inhibidor de las kinasas dependientes de las ciclinas, antineoplásico*

C<sub>26</sub>H<sub>30</sub>F<sub>2</sub>N<sub>6</sub>O

2370913-42-9

**ispectamabum tazidum #**

ispectamab tazide

immunoglobulin G1-kappa [186,410-bis[4-(azidomethyl)-L-phenylalanine]], anti-[*Homo sapiens* TNFRSF17 (TNF receptor superfamily member 17, tumor necrosis factor receptor superfamily, member 17, B cell maturation antigen, BCMA, BCM, TNFRSF13A, CD269)], humanized monoclonal antibody; L-methionyl (1)-gamma1 heavy chain humanized (1-453) [VH (*Homo sapiens* IGHV3-66\*01 (82.7%) -(IGHD)-IGHJ4\*01 (92.9%), CDR-IMGT [8.8.15] (27-34.52-59.98-112)) (1-123) -*Homo sapiens* IGHG1\*03v, G1m3>G1m17, nG1m1 (CH1 Y85.2>F (pAMF) (186), R120>K (220) (124-221), hinge 1-15 (222-236), CH2 (237-346), CH3 E12 (362), M14 (364), F85.2>F (pAMF) (410) (347-451), CHS (452-453)) (124-453)], (226-215')-disulfide with L-methionyl (1')-kappa light chain humanized (1'-215') [V-KAPPA (*Homo sapiens* IGKV1-39\*01 (84.2%) -IGKJ1\*01 (100%), CDR-IMGT [6.3.9] (28-33.51-53.90-98)) (1'-108') -*Homo sapiens* IGKC\*01 (100%), Km3 A45.1 (154), V101 (192) (109'-215')]; dimer (232-232":235-235")-bisdisulfide, produced by a cell-free protein expression system based on *Escherichia coli* lysate, non-glycosylated, conjugated at C-4 of the four L-phenylalanyl residues 186, 410, 186" and 410" with azidomethyl (*tazide*) groups by genetically predetermined incorporation of 4-(azidomethyl)-L-phenylalanyl residues in these specific positions  
*antineoplastic*

ispectamab tazide

immunoglobuline G1-kappa [186,410-bis[4-(azidométhyl)-L-phénylalanine]], anti-[*Homo sapiens* TNFRSF17 (membre 17 de la superfamille des récepteurs du TNF, membre 17 de la superfamille des récepteurs du facteur de nécrose tumorale, antigène de maturation de cellule B, BCMA, BCM, TNFRSF13A, CD269)], anticorps monoclonal humanisé;

L-méthionyl (1)-chaîne lourde gamma1 humanisée (1-453) [VH (*Homo sapiens* IGHV3-66\*01 (82.7%) -(IGHD) -IGHJ4\*01 (92.9%), CDR-IMGT [8.8.15] (27-34.52-59.98-112)) (1-123) -*Homo sapiens* IGHG1\*03v, G1m3>G1m17, nG1m1 (CH1 Y85.2>F (pAMF) (186), R120>K (220) (124-221), charnière 1-15 (222-236), CH2 (237-346), CH3 E12 (362), M14 (364), F85.2>F (pAMF) (410) (347-451), CHS (452-453)) (124-453)], (226-215')-disulfure avec la L-méthionyl (1')-chaîne légère kappa humanisée (1'-215') [V-KAPPA (*Homo sapiens* IGKV1-39\*01 (84.2%) -IGKJ1\*01 (100%), CDR-IMGT [6.3.9] (28-33.51-53.90-98)) (1'-108') -*Homo sapiens* IGKC\*01 (100%), Km3 A45.1 (154), V101 (192) (109'-215')]; dimère (232-232'':235-235'')-bisdisulfure, produit par un système acellulaire de l'expression des protéines à base de lysat d'*Escherichia coli*, non-glycosylé; conjugué en C-4 des quatre résidus L-phénylalanyle 186, 410, 186" et 410" avec des groupes azidométhyle (*tazide*) par incorporation génétiquement prédéterminée de résidus 4-(azidométhyl)-L-phénylalanyle dans ces positions spécifiques

*antineoplasique*

ispectamab tazida

immunoglobulina G1-kappa [186,410-bis[4-(azidometil)-L-fenilalanina]], anti-[*Homo sapiens* TNFRSF17 (miembro 17 de la superfamilia de los receptores del TNF, miembro 17 de la superfamilia de los receptores del factor de necrosis tumoral, antígeno de maduración de célula B, BCMA, BCM, TNFRSF13A, CD269)], anticuerpo monoclonal humanizado;

L-metionil (1)-cadena pesada gamma1 humanizada (1-453) [VH (*Homo sapiens* IGHV3-66\*01 (82.7%) -(IGHD) -IGHJ4\*01 (92.9%), CDR-IMGT [8.8.15] (27-34.52-59.98-112)) (1-123) -*Homo sapiens* IGHG1\*03v, G1m3>G1m17, nG1m1 (CH1 Y85.2>F (pAMF) (186), R120>K (220) (124-221), bisagra 1-15 (222-236), CH2 (237-346), CH3 E12 (362), M14 (364), F85.2>F (pAMF) (410) (347-451), CHS (452-453)) (124-453)], (226-215')-disulfuro con la L-metionil (1')-cadena ligera kappa humanizada (1'-215') [V-KAPPA (*Homo sapiens* IGKV1-39\*01 (84.2%) -IGKJ1\*01 (100%), CDR-IMGT [6.3.9] (28-33.51-53.90-98)) (1'-108') -*Homo sapiens* IGKC\*01 (100%), Km3 A45.1 (154), V101 (192) (109'-215')]; dímero (232-232'':235-235'')-bisdisulfuro, producido por un sistema de expresión de proteínas sin células basado en lisado de *Escherichia coli*, no glicosilado, conjugado en C-4 de los cuatro residuos de L-fenilalanilo 186, 410, 186" y 410" con grupos azidometilo (*tazida*) por incorporación genéticamente predeterminada de residuos 4-(azidometil)-L-fenilalanilo en estas posiciones específicas

*antineoplásico*

2585651-78-9

## Heavy chain / Chaîne lourde / Cadena pesada

MEVQLVESGG GLVQPGGSLR LSCAASGFNI SAPGIHVVQR APGKGLMEVVG 50  
 FINFAGGYTD YADSVKGRFT ISADTSKNTA YLQMNSLRAE DTAVVYCARD 100  
 YIRQYWTYVL DYWGQGTLLV VSSASTKGPS VFPLAPSSKS TSGGTAALGQ 150  
 LVKDYFPEPV TVSWNSGALT SGVHTFPAVL QSSGL<sup>E</sup>SLSLSS VVTVPSSSLG 200  
 TQTYICNVNH KPSNTRKVDK VEPKSCDKTH TCPFCPAPEL LGGPVSFLFP 250  
 PKPKDTLMIS RTPEVTCVVV DVSHEDEPKV FNWYVDGVEV HNAKTKPREE 300  
 QYNSTYRVVS VLTVLHQDWL NGREYKCKVS NKALPAPIEK TISKAKGQPR 350  
 EFQVYTLPPS REEMTRKQVS LTCLVKGFPY SDAVEWESN GQFENNYKTT 400  
 PFVLDSDGSE<sup>E</sup> FLYSKLTVDK SRWQQQNVFS CSVMHEALHN HYTKSLSLSS 450  
 PGK 453

**E** indicates non-natural amino acid p-azidomethyl-L-phenylalanine (pAMF)

## Light chain / Chaîne légère / Cadena ligera

MDIQMTQSPS SLSASVGDV TITCRASQDV NTAVAWYQQK PGKAPKLLIY 50  
 SASFLYSGVP SRFSGSRSGT DFTLTISSLQ PEDFATYCYQ QHYTTPPTFG 100  
 QGTKVEIKRT VAAPSVFIFP PSDEQLKSGT ASVVCLLNFF YPREAKVQWK 150  
 VDNALQSGNS QESVTEQDSK DSTYLSLSTL TLSKADYEKH KYVACEVTHQ 200  
 GLSSPVTKSF NRGEC 215

## Post-translational modifications

Disulfide bridges location / Position des ponts disulfure / Posiciones de los puentes disulfuro

Intra-H (C23-C104) 23<sup>o</sup>-97<sup>o</sup> 150<sup>o</sup>-206<sup>o</sup> 267<sup>o</sup>-327<sup>o</sup> 373<sup>o</sup>-431<sup>o</sup>  
 23<sup>o</sup>-97<sup>o</sup> 150<sup>o</sup>-206<sup>o</sup> 267<sup>o</sup>-327<sup>o</sup> 373<sup>o</sup>-431<sup>o</sup>"

Intra-L (C23-C104) 24<sup>o</sup>-89<sup>o</sup> 135<sup>o</sup>-195<sup>o</sup>  
 24<sup>o</sup>-89<sup>o</sup> 135<sup>o</sup>-195<sup>o</sup>"

Inter-H-L (h 5-CL 126) 226-215<sup>o</sup> 226<sup>o</sup>-215<sup>o</sup>"Inter-H-H (h 11, h 14) 232-232<sup>o</sup> 235-235<sup>o</sup>"

N-terminal methionine / Méthionine N-terminale / Metionina N-terminal

H VH M1.1: 1, 1<sup>o</sup>L V-KAPPA M1.1: 1<sup>o</sup>, 1<sup>o</sup>"

No N-terminal methionine clipping (expressed in a cell-free expression system) / Pas de coupeure de la méthionine N-terminale (exprimé dans un système d'expression acellulaire) / Sin recorte de metionina N-terminal (expresado en un sistema de expresión libre de células)

C-terminal lysine / Lysine C-terminale / Lisina C-terminal

H CHS K2: 453, 453<sup>o</sup>

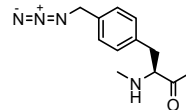
No C-terminal lysine clipping (expressed in a cell-free expression system) / Pas de coupeure de la lysine C-terminale (exprimé dans un système d'expression acellulaire) / Sin recorte de lisina C-terminal (expresado en un sistema de expresión libre de células)

N-glycosylation sites / Sites de N-glycosylation / Posiciones de N-glicosilación

H CH2 N84.4: 303, 303<sup>o</sup>

Aglycosylated (expressed in a cell-free expression system) / aglycosylé (exprimé dans un système d'expression acellulaire) / aglicosilado (expresado en un sistema de expresión libre de células)

Conjugation sites / Sites de conjugaison / Posiciones de conjugación

**E**: p-azidomethyl-L-phenylalanine (pAMF) used as conjugation specific site**E**: p-azidomethyl-L-phenylalanine (pAMF) utilisé comme site spécifique de conjugaison**E**: p-azidometil-L-fenilalanina (pAMF) utilizada como sitio específico de conjugaciónH CH1 Y85.2<sup>o</sup>-**E**: 186, 186<sup>o</sup>H CH3 F85.2<sup>o</sup>-**E**: 410, 410<sup>o</sup>"

**ixoberogenum soroparovecum #**  
 ixoberogene soroparovec

recombinant, non-replicating adeno-associated virus serotype 2 (AAV2) vector, with a mutated variant of capsid protein VP1 (AAV2.7m8), encoding a codon-optimised fusion protein that consists of vascular endothelial growth factor (VEGF)-binding portions from the extracellular domains of human VEGF receptors 1 and 2 fused to the Fc portion of human IgG1, under control of a human cytomegalovirus promoter, preceded by an adenovirus tripartite leader sequence, synthetic intron and Kozak sequence, followed by a scaffold attachment region (SAR), and terminated by a human growth hormone (hGH) polyadenylation sequence, flanked by AAV2 inverted terminal repeats (ITRs). The mature expressed protein is equivalent to *afibercept* (96)(57).  
*gene therapy (macular degeneration)*

ixoberogène soroparvec vecteur recombinant et non répliquant du virus adéno-associé de sérotype 2 (AAV2), avec un variant muté de la protéine de capsid VP1 (AAV2.7m8), codant une protéine de fusion aux codons optimisés qui consiste en des portions de liaison au facteur de croissance endothélial vasculaire (VEGF) provenant des domaines extracellulaires des récepteurs 1 et 2 du VEGF humain fusionnées à la portion Fc d'une IgG1 humaine, sous le contrôle d'un promoteur du cytomégalo virus humain, précédée d'une séquence de tête tripartite d'adénovirus, d'un intron synthétique et d'une séquence de Kozak, suivie d'une région structure d'attachement (SAR), et terminée par une séquence de polyadénylation de l'hormone de croissance humaine (hGH), flanquée de répétitions terminales inversées (ITR) d'AAV2. La protéine mature exprimée est équivalente à l'*afibercept (96)(57)*.  
*thérapie génique (dégénérescence maculaire)*

ixoberogén soroparvec vector de virus adenoasociado recombinante del serotipo 2 (AAV2), no replicativo, con una variante mutada de la proteína de la cápsida VP1 (AAV2.7m8), que codifica, con codones optimizados, para una proteína de fusión que consta de las porciones de unión al factor de crecimiento del endotelio vascular (VEGF) de los dominios extracelulares de los receptores 1 y 2 de VEGF humano fusionadas a la porción Fc de la IgG1 humana, bajo el control de un promotor de citomegalovirus humano, precedido de una secuencia líder tripartita de adenovirus, un intrón sintético y una secuencia Kozak, seguido de una región de anclaje al andamio (SAR), y terminado por una secuencia de poliadenilación de la hormona de crecimiento humana (hGH), flanqueado por las repeticiones terminales invertidas (ITRs) de AAV2. La proteína madura expresada es equivalente al *afibercept (96)(57)*.  
*terapia génica (degeneración macular)*

2538429-16-0

**izeltabartum #**  
izeltabart

immunoglobulin G1-kappa, anti-[*Homo sapiens* ADAM9 (ADAM metallopeptidase domain 9, cone rod dystrophy 9, CORD9, meltrin gamma, MDC9, MCMP)], humanized monoclonal antibody;  
gamma1 heavy chain humanized (1-452) [VH humanized (*Homo sapiens* IGHV3-64\*07 (81.6%) -(IGHD) -IGHJ4\*01 (80%), CDR-IMGT [8.8.16](26-33.51-58.97-112))(1-123) -*Homo sapiens* IGHG1\*03, G1m3, nG1m1, G1v21 CH2 Y15.1, T16, E18, G1v44 CH3 C122 (CH1 R120 (220) (124-221), hinge 1-15 (222-236), CH2 M>Y15.1 (258), S>T16 (260), T>E18 (262)(237-346), CH3 E12 (362), M14 (364), S>C122 (448) (347-451), CHS K2>del (452)) (124-452)], (226-218')-disulfide with kappa light chain humanized (1'-218') [V-KAPPA (*Homo sapiens* IGKV4-1\*01 (77.2%) -IGKJ2\*02 (100%), CDR-IMGT [10.3.9](27-36.54-56.93-101)) (1'-111') -*Homo sapiens* IGKC\*01 (100%), Km3, A45.1 (157), V101 (195)(112'-218')]; dimer (232-232':235-235'')-bisdisulfide, produced in Chinese hamster ovary (CHO) cells, cell line CHO-S, glycoform alfa *antineoplastic*

izeltabart

immunoglobuline G1-kappa, anti-[*Homo sapiens* ADAM9 (ADAM métallopeptidase domaine 9, dystrophie 9 cônes-bâtonnets, *CORD9*, meltrine gamma, MDC9, MCMP)], anticorps monoclonal humanisé; chaîne lourde gamma1 humanisée (1-452) [VH humanisé (*Homo sapiens* IGHV3-64\*07 (81.6%) -(IGHD)-IGHJ4\*01 (80%), CDR-IMGT [8.8.16] (26-33.51-58.97-112)) (1-123) -*Homo sapiens* IGHG1\*03, G1m3, nG1m1, G1v21 CH2 Y15.1, T16, E18, G1v44 CH3 C122 (CH1 R120 (220)(124-221), charnière 1-15 (222-236), CH2 M>Y15.1 (258), S>T16 (260), T>E18 (262)(237-346), CH3 E12 (362), M14 (364), S>C122 (448) (347-451), CHS K2>del (452)) (124-452)], (226-218')-disulfure avec la chaîne légère kappa humanisée (1'-214') [V-KAPPA (*Homo sapiens* IGKV4-1\*01 (77.2%) -IGKJ2\*02 (100%), CDR-IMGT [10.3.9] (27-36.54-56.93-101)) (1'-111') -*Homo sapiens* IGKC\*01 (100%), Km3, A45.1 (157), V101 (195) (112'-218')]; dimère (232-232":235-235")-bisdisulfure, produit dans des cellules ovariennes de hamster chinois (CHO), lignée cellulaire CHO-S, glycoforme alfa *antineoplasique*

izeltabart

immunoglobulina G1-kappa, anti-[*Homo sapiens* ADAM9 (ADAM metalopeptidasa dominio 9, distrofia 9 de conos y bastones, *CORD9*, meltrina gamma, MDC9, MCMP)], anticuerpo monoclonal humanizado; cadena pesada gamma1 humanizada (1-452) [VH humanizado (*Homo sapiens* IGHV3-64\*07 (81.6%) -(IGHD)-IGHJ4\*01 (80%), CDR-IMGT [8.8.16] (26-33.51-58.97-112)) (1-123) -*Homo sapiens* IGHG1\*03, G1m3, nG1m1, G1v21 CH2 Y15.1, T16, E18, G1v44 CH3 C122 (CH1 R120 (220)(124-221), bisagra 1-15 (222-236), CH2 M>Y15.1 (258), S>T16 (260), T>E18 (262)(237-346), CH3 E12 (362), M14 (364), S>C122 (448) (347-451), CHS K2>del (452)) (124-452)], (226-218')-disulfuro con la cadena ligera kappa humanizada (1'-214') [V-KAPPA (*Homo sapiens* IGKV4-1\*01 (77.2%) -IGKJ2\*02 (100%), CDR-IMGT [10.3.9] (27-36.54-56.93-101)) (1'-111') -*Homo sapiens* IGKC\*01 (100%), Km3, A45.1 (157), V101 (195) (112'-218')]; dímero (232-232":235-235")-bisdisulfuro, producido en las células ováricas de hámster chino (CHO), línea celular CHO-S, forma glicosilada alfa *antineoplásico*

2642078-60-0

## Heavy chain / Chaîne lourde / Cadena pesada

EVQLVESGGG LVKPGGSLRL SCAASGFTFS SYWMHWVQA PGKLEWVGE	50
IIPFGHTNY NEKFKSRFTI SLDNSKNTLY LQMGSLRAED TAVYYCARGG	100
YVYYFRQGL DYWGQGTFTV VSSASTKGPS VFPLAPSSKS TSGGTAALGC	150
LVKDYDFEPEV TVSNNGSALT SGVHTFPAVL QSSGLYSLSS VVTVPSSSLG	200
TQTYICNVNH KPSNTRKDKR VEPKSCDKTH TCPPCPAPEL LGGPSVFLFP	250
PKPKDTLYIT REPEVTCVVV DVSHEDEPEK FNWYVDGVEV HNAKTKPREE	300
QVNSTYRVVS VLTVLHQDWL NGKEYKCKVS NKALPAIEK TISKAKGQPR	350
EPQVYTLPPS REEMTKNQVS LTCLVKGFYP SDIAVEWESN GQPENNYKTT	400
FPVLDSDGSF FLYSKLTVDK SRWQQGNVFS CSVMHEALHN HYTQKSLCL	450
PG	452

## Light chain / Chaîne légère / Cadena ligera

DIIVMTQSPDS LAVSLGERAT ISCKASQSVQ YSGDSYMNWY QQKPGQPPKL	50
LIYAASDLES GIPARFSGSG SGTDFTLTIS SLEPEDFATY YCQQSHEDFP	100
TFGQGTKLEI KRTVAAPSVF IFPPSDEQLK SGTASVVCLL NNFYPREAKV	150
QWKVDNALQS GNSQESVTEQ DSKDSTYSLS STLTLSKADY EKHKVYACEV	200
THQGLSSPVT KSFNRGEC	218

## Post-translational modifications

Disulfide bridges location / Position des ponts disulfure / Posiciones de los puentes disulfuro

Intra-H (C23-C104)	22-96	150-206	267-327	373-431
	22"-96"	150"-206"	267"-327"	373"-431"
Intra-L (C23-C104)	23'-92'	138'-198'		
	23'''-92'''	138'''-198'''		
Inter-H-L (h 5-CL 126)	226-218"	226"-218'''		
Inter-H-H (h 11, h 14)	232-232"	235-235"		

N-glycosylation sites / Sites de N-glycosylation / Posiciones de N-glicosilación

H CH2 N84.4: 303, 303"

Fucosylated complex bi-antennary CHO-type glycans / glycanes de type CHO bi-antennaires complexes fucosylés / glicanos de tipo CHO biantennarios complejos fucosilados.

**izeltabartum tapatansinum #**  
izeltabart tapatansine

immunoglobulin G1-kappa, anti-[*Homo sapiens* ADAM9 (ADAM metallopeptidase domain 9, cone rod dystrophy 9, CORD9, meltrin gamma, MDC9, MCMP)], humanized monoclonal antibody, conjugated with the tubulin inhibitor *N*<sup>2</sup>-deacetylmaytansine via a 6-(6-maleimidohexanoyl-L-alanyl-D-alanyl-L-alaninamidomethylthio) hexanoyl linker at two engineered cysteine sites 448 and 448"; gamma 1 heavy chain humanized (1-452) [VH humanized (*Homo sapiens* IGHV3-64\*07 (81.6%) - (IGHD) -IGHJ4\*01 (80%), CDR-IMGT [8.8.16](26-33.51-58.97-112))(1-123) -*Homo sapiens* IGHG1\*03, G1m3, nG1m1, G1v21 CH2 Y15.1, T16, E18, G1v44 CH3 C122 (CH1 R120 (220) (124-221), hinge 1-15 (222-236), CH2 M>Y15.1 (258), S>T16 (260), T>E18 (262)(237-346), CH3 E12 (362), M14 (364), S>C122 (448) (347-451), CHS K2>del (452)) (124-452)], (226-218')-disulfide with kappa light chain humanized (1'-218') [V-KAPPA (*Homo sapiens* IGKV4-1\*01 (77.2%) -IGKJ2\*02 (100%), CDR-IMGT [10.3.9](27-36.54-56.93-101)) (1'-111') -*Homo sapiens* IGKC\*01, Km3, A45.1 (157), V101 (195)(112'-218')]; dimer (232-232''-235-235'')-bisdisulfide, produced in Chinese hamster ovary (CHO) cells, cell line CHO-S, glycoform alfa; substituted at the sulfur atoms of the L-cysteiny residues 448 and 448" with two (3RS)-1-[(2S,14S,17R,20S)-1-{{{(1<sup>4</sup>S,1<sup>6</sup>S,2R,3<sup>2</sup>S,3<sup>3</sup>S,4S,10E,12E,14R)-8<sup>6</sup>-chloro-1<sup>4</sup>-hydroxy-8<sup>5</sup>,14-dimethoxy-2,3<sup>3</sup>,7,10-tetramethyl-1<sup>2</sup>,6-dioxo-7-aza-1(6,4)-[1,3]oxazinana-3(2,3)-oxirana-8(1,3)-benzenacyclotetradecaphane-10,12-dien-4-yl]oxy}-2,3,14,17,20-pentamethyl-1,4,13,16,19,22-hexaoxo-10-thia-3,12,15,18,21-pentaazaheptacosan-27-yl)-2,5-dioxopyrrolidin-3-yl] (*tapatansine*) groups *antineoplastic*

## izeltabart tapatansine

immunoglobuline G1-kappa, anti-[*Homo sapiens* ADAM9 (ADAM métallopeptidase domaine 9, dystrophie 9 cônes-bâtonnets, CORD9, meltrine gamma, MDC9, MCMP)], anticorps monoclonal humanisé, conjugué à l'inhibiteur de tubuline *N*<sup>2</sup>-désacétylmaytansine via la liaison 6-(6-maléimidohexanoyl-L-alanyl-D-alanyl-L-alaninamidométhythio)hexanoyle dans deux sites artificiels de cystéine 448 et 448"; chaîne lourde gamma1 humanisée (1-452) [VH humanisé (*Homo sapiens* IGHV3-64\*07 (81.6%) - (IGHD) -IGHJ4\*01 (80%), CDR-IMGT [8.8.16] (26-33.51-58.97-112)) (1-123) -*Homo sapiens* IGHG1\*03, G1m3, nG1m1, G1v21 CH2 Y15.1, T16, E18, G1v44 CH3 C122 (CH1 R120 (220)(124-221), charnière 1-15 (222-236), CH2 M>Y15.1 (258), S>T16 (260), T>E18 (262)(237-346), CH3 E12 (362), M14 (364), S>C122 (448) (347-451), CHS K2>del (452)) (124-452)], (226-218')- disulfure avec la chaîne légère

	<p>kappa humanisée (1'-214') [V-KAPPA (<i>Homo sapiens</i> IGKV4-1*01 (77.2%) -IGKJ2*02 (100%), CDR-IMGT [10.3.9] (27-36.54-56.93-101)) (1'-111') -<i>Homo sapiens</i> IGKC*01, Km3, A45.1 (157), V101 (195) (112'-218')); dimère (232-232":235-235")-bisdisulfure, produit dans des cellules ovariennes de hamster chinois (CHO), lignée cellulaire CHO-S, glycoforme alfa, substitué sur les atomes de soufre des résidus L-cystéinyle 448 et 448" par deux groupes (3RS)-1-[(2S,14S,17R,20S)-1-{{(1<sup>4</sup>S,1<sup>6</sup>S,2R,3<sup>2</sup>S,3<sup>3</sup>S,4S,10E,12E,14R)-8<sup>6</sup>-chloro-1<sup>4</sup>-hydroxy-8<sup>5</sup>,14-diméthoxy-2,3<sup>3</sup>,7,10-tétraméthyl-1<sup>2</sup>,6-dioxo-7-aza-1(6,4)-[1,3]oxazinana-3(2,3)-oxirana-8(1,3)-benzénacyclotétradécaphano-10,12-diène-4-yl]oxy}-2,3,14,17,20-pentaméthyl-1,4,13,16,19,22-hexaoxo-10-thia-3,12,15,18,21-pentaazaheptacosan-27-yl]-2,5-dioxopyrrolidin-3-yle (<i>tapatansine</i>) <i>antineoplasique</i></p>
<p>izeltabart tapatansina</p>	<p>immunoglobulina G1-kappa, anti-[<i>Homo sapiens</i> ADAM9 (ADAM metalopeptidasa dominio 9, distrofia 9 de conos y bastones, CORD9, meltrina gamma, MDC9, MCMP)], anticuerpo monoclonal humanizado; conjugado con el inhibidor de tubulina N<sup>2</sup>-desacetilmaitansina a través de un conector 6-(6-maleimidohexanoil-L-alanil-D-alanil-L-alaninamidometilto)hexanoilo en dos sitios diseñados de cisteína 448 y 448"; cadena pesada gamma1 humanizada (1-452) [VH humanisé (<i>Homo sapiens</i> IGHV3-64*07 (81.6%) - (IGHD) -IGHJ4*01 (80%), CDR-IMGT [8.8.16] (26-33.51-58.97-112)) (1-123) -<i>Homo sapiens</i> IGHG1*03, G1m3, nG1m1, G1v21 CH2 Y15.1, T16, E18, G1v44 CH3 C122 (CH1 R120 (220)(124-221), bisagra 1-15 (222-236), CH2 M&gt;Y15.1 (258), S&gt;T16 (260), T&gt;E18 (262)(237-346), CH3 E12 (362), M14 (364), S&gt;C122 (448) (347-451), CHS K2&gt;del (452)) (124-452)], (226-218')-disulfuro con la cadena ligera kappa humanizada (1'-214') [V-KAPPA (<i>Homo sapiens</i> IGKV4-1*01 (77.2%) -IGKJ2*02 (100%), CDR-IMGT [10.3.9] (27-36.54-56.93-101)) (1'-111') -<i>Homo sapiens</i> IGKC*01, Km3, A45.1 (157), V101 (195) (112'-218')); dímero (232-232":235-235")-bisdisulfuro; producido en las células ováricas de hámster chino (CHO), línea celular CHO-S, forma glicosilada alfa, sustituido en los átomos de azufre de los residuos de L-cisteinilo 448 y 448" con dos grupos (3RS)-1-[(2S,14S,17R,20S)-1-{{(1<sup>4</sup>S,1<sup>6</sup>S,2R,3<sup>2</sup>S,3<sup>3</sup>S,4S,10E,12E,14R)-8<sup>6</sup>-cloro-1<sup>4</sup>-hidroxi-2,3<sup>3</sup>,7,10-tetrametil-8<sup>5</sup>,14-dimetoxi-1<sup>2</sup>,6-dioxo-7-aza-1(6,4)-[1,3]oxazinana-3(2,3)-oxirana-8(1,3)-bencenacyclotetradecafano-10,12-diène-4-il]oxi}-2,3,14,17,20-pentametil-1,4,13,16,19,22-hexaoxo-10-thia-3,12,15,18,21-pentaazaheptacosan-27-il]-2,5-dioxopirrolidin-3-ilo (<i>tapatansina</i>) <i>antineoplásico</i></p>

2642078-62-2

## Heavy chain / Chaîne lourde / Cadena pesada

EVQLVESGGG LVKPGGSLRL SCAASGFTFS SYWMHWVRQA PGKGLEWVGE 50  
 IIPFGHTNY NEKFKSRFTI SLDNSKNTLY LQMGSLRAED TAVYYCARGG 100  
 YYYYPKGGFL DYWGQGTVT VSSASTKGPS VFPLAPSSKS TSGGTAALGC 150  
 LVKDYFPEPV TVSWNSGALT SGVHTFPAVL QSSGLYSLSS VVTVPSSSLG 200  
 TQTYICNVNH KPSNTKVDKR VEPKSCDKTH TCPPEPAPEL LGGSPVFLFP 250  
 PKPKDLYLT REPEVTCVVV DVSHEDPEVK FNWYVDGVEV HNAKTKPREE 300  
 QYNSTYRVVS VLTVLHQDWL NGKEYKCKVS NKALPAPIEK TISKAKGQPR 350  
 EPQVYTLPPS REEMTKNQVS LTLCLVKGYP SDAVAVESN GQPENNYKTT 400  
 PVLDSGDSF FLYSKLTVDK SRWQQGNVFS CSVMHEALHN HYTKQSLCLL 450  
 PG 452

## Light chain / Chaîne légère / Cadena ligera

DIVMTQSPDS LAVSLGERAT ISCKASQSV D YSGDSYMNWY QOKPGQPPKL 50  
 LIYAASDLSE GIPARFSGSG SGTDFTLTIS SLEPEDFATY YCQQSHEDPF 100  
 TFGQGTLEI KRTVAAPSVF IFPPSDEQLK SGTASVCLL NNFYPREAKV 150  
 QWKVDNALQS GNSQESVTEQ DSKDSTYSL S TLTLSKADY EKHKVYACEV 200  
 THQGLSSPVT KSFNRGEC 218

## Post-translational modifications

Disulfide bridges location / Position des ponts disulfure / Posiciones de los puentes disulfuro

Intra-H (C23-C104) 22-96 150-206 267-327 373-431  
 22"-96" 150"-206" 267"-327" 373"-431"

Intra-L (C23-C104) 23"-92" 138"-198"  
 23"-92" 138"-198"

Inter-H-L (h 5-CL 126) 226-218" 226"-218"

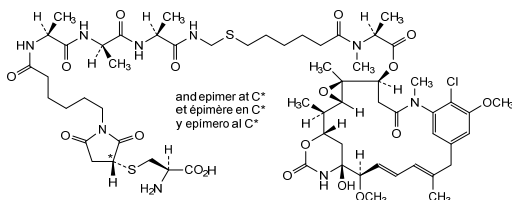
Inter-H-H (h 11, h 14) 232-232" 235-235"

N-glycosylation sites / Sites de N-glycosylation / Posiciones de N-glicosilación

H CH2 N84.4: 303, 303"

Fucosylated complex bi-antennary CHO-type glycans / glycanes de type CHO bi-antennaires complexes fucosylés / glicanos de tipo CHO biantennarios complejos fucosilados.

Potential modified residues / résidus modifiés potentiels / restos modificados potenciales C448, C448"



izuforantum

izuforant

1-(8-bromopyrido[2,3-e][1,2,4]triazolo[4,3-a]pyrazin-4-yl)-N-methylazetidin-3-amine  
*histamine H4 receptor antagonist*

izuforant

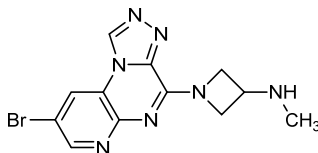
1-(8-bromopyrido[2,3-e][1,2,4]triazolo[4,3-a]pyrazin-4-yl)-N-méthylazétidin-3-amine  
*antagoniste du récepteur H4 de l'histamine*

izuforant

1-(8-bromopirido[2,3-e][1,2,4]triazolo[4,3-a]pirazin-4-il)-N-metilazetidin-3-amina  
*antagonista del receptor H4 de histamina*

C<sub>12</sub>H<sub>12</sub>BrN<sub>7</sub>

1429374-83-3





linavonkibart

inmunoglobulina G4-kappa, anti-[TGFB1 (factor de crecimiento transformante beta-1, TGF beta)], anticuerpo monoclonal *Homo sapiens*; cadena pesada gamma4 *Homo sapiens* (1-446) [VH (*Homo sapiens* IGHV3-48\*01 (92.9%) -(IGHD) -IGHJ5\*02 (100%), CDR-IMGT [8.8.13] (26-33.51-58.97-109)) (1-120) -*Homo sapiens* IGHG4\*01, G4v5 h P10, nG4m(a) CH2 L92 (CH1 (121-218), bisagra 1-12 S10>P (228) (219-230), CH2 L92 (309) (231-340), CH3 (341-445), CHS K2>del (446)) (121-446)], (134-215)-disulfuro con la cadena ligera kappa *Homo sapiens* (1'-215') [V-KAPPA (*Homo sapiens* IGKV1-33\*01 (96.8%) -IGKJ4\*01 (100%), CDR-IMGT [6.3.10] (27-32.50-52.89-98)) (1'-108') -*Homo sapiens* IGKC\*01 (100%), Km3 A45.1 (154), V101 (192) (109'-215')]; dímero (226-226"-229-229")-bisdisulfuro, producido en las células ováricas de hámster chino (CHO), forma glicosilada alfa *antineoplásico*

2640981-30-0

Heavy chain / Chaîne lourde / Cadena pesada

```
EVQLVESGGG LVQPGGSLRL SCTASGFTFS SFSMDWVRQA PGKGLEWVSY 50
ISFSDATIIY ADSVKGRFTI SRDNAKNTLY LQMNSLRAED TAVYYCARGV 100
LDYGDMLMPW QGGTLVTVSS ASTKGPSVFP LAPCSRSTSE STAALGCLVK 150
DYFFPEPVTVS NNSGALTSGV HTFPAVLQSS GLYSLSSVVT VPSSSLGTKT 200
YTCNVDHKPS NTKVDKRVES KYGPFPCPCF APEFLGGPSV FLFPFKRKT 250
LMI SRTPEVT CUVVDVDSQED PEVQFNWYVD GVEVHNAKTK PREEQFNSTY 300
RVVSVLTVLH QDWLNGKEYK CKVSNKGLPS SIEKTIKAK GQPREPQVYT 350
LFPSQDEMTK NQVSLTCLVK GFYPSDIAVE WESNGQPENN YKTTTPVLDL 400
DGSFFLYSRL TVDKSRWQEG NWFSCSVMEH ALHNHYTQRS LLSLSLG 446
```

Light chain / Chaîne légère / Cadena ligera

```
DIQMTQSPSS LSASVGDRTV ITCQASQDIT NYLNWYQQRP GKAPKLLIYD 50
ASNLETGVPS RFGSGSGSTD FTFTISSLQP EDIATYYCQQ ADNHPPWTFG 100
GGTKVEIKRT VAAPSVFIFP PSDEQLKSGT ASVVCLLNNF YPREAKVQWK 150
VDNALQSGNS QESVTEQDSK DSTYLSSTL TLSKADYERK KYVACEVTHQ 200
GLSSPVTKSF NRGEC 215
```

Post-translational modifications

Disulfide bridges location / Position des ponts disulfure / Posiciones de los puentes disulfuro

Intra-H (C23-C104) 22-96 147-203 261-321 367-425  
22"-96" 147"-203" 261"-321" 367"-425"

Intra-L (C23-C104) 23"-88" 135"-195"  
23"-88" 135"-195"

Inter-H-L (CH1 10-CL 126) 134-215' 134"-215"

Inter-H-H (h 8, h 11) 226-226" 229-229"

N-glycosylation sites / Sites de N-glycosylation / Posiciones de N-glicosilación

HCH2 N84.4: 297, 297"

Fucosylated complex bi-antennary CHO-type glycans / glycanes de type CHO bi-antennaires complexes fucosylés / glicanos de tipo CHO biantenarijos complejos fucosilados.

**linvekinogenum treniplasmidum #**  
linvekinogene treniplasmid

DNA plasmid encoding a single amino acid variant of human interleukin 10 (IL-10 F129S), under control of a human cytomegalovirus immediate early enhancer/chicken  $\beta$ -actin promoter, with a chicken  $\beta$ -actin intron, terminated by a simian virus 40 (SV40) polyadenylation signal. The plasmid also contains adeno-associated virus 2 (AAV2) inverted terminal repeats (ITRs), an f1 origin of replication, a kanamycin antibiotic resistance gene and a ColE1 origin of replication.

*gene therapy (anti-inflammatory)*

linvékinogéne tréniplasmide

plasmide d'ADN codant un variant à un seul acide aminé de l'interleukine 10 humaine (IL-10 F129S), sous le contrôle d'un amplificateur précoce immédiat du cytomégalovirus humain/promoteur de la  $\beta$ -actine de poulet, avec un intron de la  $\beta$ -actine de poulet, terminé par un signal de polyadénylation du virus simien 40 (SV40). Le plasmide contient également des répétitions terminales inversées (ITR) du virus adéno-associé 2 (AAV2), une origine de réplication f1, un gène de résistance à l'antibiotique kanamycine et une origine de réplication ColE1.

*thérapie génique (anti-inflammatoire)*

linvekinogén treniplásmido

plásmido de DNA que codifica para una variante en un único amino ácido de la interleuquina 10 humana (IL-10 F129S) bajo el control de un potenciador inmediato temprano del citomegalovirus humano/promotor de la  $\beta$ -actina de pollo, con un intrón de la  $\beta$ -actina de pollo, terminado con una señal de poliadenilación del virus de simio 40 (SV40). El plásmido también contiene repeticiones terminales invertidas (ITRs) del virus adenasociado 2 (AAV2), un origen de replicación f1, un gen de resistencia al antibiótico kanamicina y un origen de replicación ColE1.

*terapia génica (antiinflamatorio)*

2641647-12-1

**lipustobartum #**

lipustobart

immunoglobulin G4-kappa, anti-[*Homo sapiens* PDCD1 (programmed cell death 1, PD1, PD-1, CD279)], humanized monoclonal antibody; gamma4 heavy chain humanized (1-447) [VH humanized (*Homo sapiens* IGHV1-46\*01 (84.7%) -(IGHD) -IGHJ4\*01 (92.9%), CDR-IMGT [8.8.13] (26-33.51-58.97-109))] (1-120)-*Homo sapiens* IGHG4\*01,IGHG4v5 h P10, nG4m(a) CH2 L92 (CH1 (121-218), hinge 1-12 S10>P (228) (219-230), CH2 L92 (309) (231-340), CH3 (341-445), CHS (446-447)) (121-447)], (134-218')-disulfide with kappa light chain humanized (1'-218') [V-KAPPA *Homo sapiens* IGKV3D-11\*01 (83.0%) -IGKJ4\*01 (91.7%), CDR-IMGT [10.3.9] (27-36.54-56.93-101))] (1'-111') -*Homo sapiens* IGKC\*01 (100%), Km3A45.1 (157), V101 (195) (112'-218')]; dimer (226-226":229-229")-bisdisulfide, produced in Chinese hamster ovary (CHO) cells, cell line CHO-S, glycoform alfa

*immunostimulant, antineoplastic*

lipustobart

immunoglobuline G4-kappa, anti-[*Homo sapiens* PDCD1 (protéine 1 de mort cellulaire programmée, PD-1, PD1, CD279)], anticorps monoclonal humanisé; chaîne lourde gamma4 humanisée (1-447) [VH humanisé (*Homo sapiens* IGHV1-46\*01 (84.7%) -(IGHD) -IGHJ4\*01 (92.9%), CDR-IMGT [8.8.13] (26-33.51-58.97-109))] (1-120)-*Homo sapiens* IGHG4\*01, IGHG4v5 h P10, nG4m(a) CH2 L92 (CH1 (121-218), charnière 1-12 S10>P (228) (219-230), CH2 L92 (309) (231-340), CH3 (341-445), CHS (446-447)) (121-447)], (134-218')-disulfure avec la chaîne

légère kappa humanisée (1'-218') [V-KAPPA *Homo sapiens* IGKV3D-11\*01 (83.0%) -IGKJ4\*01 (91.7%), CDR-IMGT [10.3.9] (27-36.54-56.93-101)] (1'-111') -*Homo sapiens* IGKC\*01 (100%), Km3 A45.1 (157), V101 (195) (112'-218)]; dimère (226-226":229-229")-bisdisulfure, produit dans des cellules ovariennes de hamster chinois (CHO), lignée cellulaire CHO-S, glycoforme alfa immunostimulant, antinéoplasique

lipustobart

inmunoglobulina G4-kappa, anti-[*Homo sapiens* PDCD1 (proteína 1 de muerte celular programada, PD-1, PD1, CD279)], anticuerpo monoclonal humanizado; cadena pesada gamma4 humanizada (1-447) [VH humanizado (*Homo sapiens* IGHV1-46\*01 (84.7%) - (IGHD) -IGHJ4\*01 (92.9%), CDR-IMGT [8.8.13] (26-33.51-58.97-109)) (1-120)-*Homo sapiens* IGHG4\*01, IGHG4v5 h P10, nG4m(a) CH2 L92 (CH1 (121-218), bisagra 1-12 S10>P (228) (219-230), CH2 L92 (309) (231-340), CH3 (341-445), CHS (446-447)) (121-447)], (134-218')-disulfuro con la cadena ligera kappa humanizada (1'-218') [V-KAPPA *Homo sapiens* IGKV3D-11\*01 (83.0%) -IGKJ4\*01 (91.7%), CDR-IMGT [10.3.9] (27-36.54-56.93-101)] (1'-111') -*Homo sapiens* IGKC\*01 (100%), Km3 A45.1 (157), V101 (195) (112'-218)]; dímero (226-226":229-229")-bisdisulfuro, producido en las células ováricas de hámster chino (CHO), línea celular CHO-S, forma glicosilada alfa immunoestimulante, antineoplásico

2639481-06-2

## Heavy chain / Chaîne lourde / Cadena pesada

QVQLVQSGAE VKKPGASVKV SCKASGYTFT SYMYWVRQA PGQGLEWMGG 50  
 VNFSNGGTNF NEKFKSRVTI TADKSTSTAY MELSSLRSSE TAVYVCARRD 100  
 YRYDMGFYDW GQGTITVTVSS ASTKGPSVFP LAPCSRSTSE STAALGCLVK 150  
 DYFPEPFTVS WNSGALTSGV HTFFAVLQSS GLYSLSSVVT VPSSSLGKTK 200  
 YTCNVDHKPS NTKVDKRVEE KYGPPCPPEP APEFLGGPSV FLFPPKPKDT 250  
 LMSIRTPPEVT CVVVDVSEQE PEVQFNWYVD GVEVHNARKT PREEQFNSTY 300  
 RVVSVLTVLH QDWLNGKEYK CKVSNKGLPS SIEKTIKAK QGPREFQVYT 350  
 LPFSQEMTK NQVSLTCLVK GFYPSDIAVE WESNGQPENN YKTTTPVLDL 400  
 DGSFFLYSRL TVDKSRWQEG NTFSCSVHME ALHNHYTQKS LLSLSLKG 447

## Light chain / Chaîne légère / Cadena ligera

EIVLTQSPAT LSLSPGERAT ISCRASKGVS TSGYSYLHWY QQKPGQAPRL 50  
 LIYLAHYLES GVPARFSGSG SGTDFLTIS SLEPEDFATY YCQHSRELPL 100  
 TFGTGTQVEI KRTVAAPSVF IFPPSDEQLK SGTASVVCLL NNFYPREAKV 150  
 QWKVDNALQS GNSQESVTEQ DSKDSTYSL S TLTLSKADY EKHKVYACEV 200  
 THQGLSSPVT KSFNRGEC 218

## Post-translational modifications

Disulfide bridges location / Position des ponts disulfure / Posiciones de los puentes disulfuro

Intra-H (C23-C104) 22-96 147-203 261-321 367-425  
 22"-96" 147"-203" 261"-321" 367"-425"  
 Intra-L (C23-C104) 23'-92' 138"-198"  
 23"'-92"' 138"'-198"  
 Inter-H-L (CH1 10-CL 126) 134-218' 134"-218"  
 Inter-H-H (h 8, h 11) 226-226" 229-229"

N-terminal glutaminyl cyclization / Cyclisation du glutaminyle N-terminal / Ciclación del glutamínilo N-terminal

Q > pyroglutamyl (pE, 5-oxopropyl) / pyroglutamyle (pE, 5-oxopropyle) / piroglutamilo (pE, 5-oxoprolilo)  
 H VH Q1: 1, 1"

N-glycosylation sites / Sites de N-glycosylation / Posiciones de N-glicosilación

H CH2 N84.4: 297, 297"

Fucosylated complex bi-antennary CHO-type glycans / glycanes de type CHO bi-antennaires complexes fucosylés / glicanos de tipo CHO biantenarijos complejos fucosilados.

C-terminal lysine clipping / Coupure de la lysine C-terminale / Recorte de lisina C-terminal  
 H CHS K2: 447, 447"

**lomvastomigum #**  
lomvastomig

immunoglobulin G1-kappa with crossed domains, anti-[*Homo sapiens* PDCD1(programmed cell death 1, PD1, PD-1, CD279)] and anti-[*Homo sapiens* HAVCR2 (hepatitis A virus cellular receptor 2, T cell immunoglobulin and mucin domains family member 3, TIM3, TIM-3, TIMD3, CD366)], humanized monoclonal antibody, bispecific;

gamma1 heavy chain with crossed V-kappa anti-PDCD1 (1-443) [V-KAPPA humanized (*Homo sapiens* IGKV4-1\*01 (82.2%) - IGKJ1\*01 (100%), CDR-IMGT [10.3.9] (27-36.54-56.93-101)) (1-111) -2-mer biseryl linker (112-113) -*Homo sapiens* IGHG1\*01, G1m17,1, G1v14-49 CH2 A1.3, A1.2, G114, G1v32 CH3 W22 (knob) (CH1 K120 (210) (114-211), hinge 1-15 (212-226), CH2 L1.3>A (230), L1.2>A (231), P114>G (325) (227- 336), CH3 D12 (352), L14 (354), S10>C (350), T22>W (362) (337- 441), CHS (442-443)) (112-443)], (216-227')-disulfide with kappa light chain with crossed VH anti-PDCD1 (1'-227') [VH humanized (*Homo sapiens* IGHV3-23\*01 (90.6%) -(IGHD) -IGHJ5\*01 (92.9%)), CDR-IMGT [8.8.13] (26-33.51-58.97-109)) (1'-120') -*Homo sapiens* IGKC\*01 (99.1%), R1.5>A (121), T1.4>S (122), Km3 A45.1 (166), V101 (204) (121'-227')]; gamma1 heavy chain anti-HAVCR2 (TIM3) (1"-449") [VH humanized (*Homo sapiens* IGHV3-66\*01 (74.5%) -(IGHD) -IGHJ6\*01 T123>L (114) (90.9%), CDR-IMGT [8.8.12] (26-33.51-58.97-108)) (1"-119") -*Homo sapiens* IGHG1\*01, G1m17,1, G1v14-49 CH2 A1.3, A1.2, G114, G1v33 CH3 S22, A24, V86 (hole) (CH1 K26>E (149), K119>E (215), K120 (216) (120"-217"), hinge 1-15 (218"-232"), CH2 L1.3>A (236), L1.2>A (237), P114>G (331) (233"-342"), CH3 D12 (358), L14 (360) Y5>C (351), T22>S (368), L24>A (370), Y86>V (409)] (343"-447"), CHS (448"-449")) (120"-449"), (222"-214"')-disulfide with kappa light chain anti-HAVCR2 (TIM3) (1""-214"') [*Homo sapiens* V-KAPPA (IGKV2-28\*01 (81.0%) -IGKJ2\*01 (91.7%)) [6.3.9], CDR-IMGT [6.3.9] (27-32.50-52.99-107) (1""-107"') -*Homo sapiens* IGKC\*01 (98.1%), E12>R (123), Q13>K (124) Km3 A45.1 (153), V101 (191) (108""-214"')]; dimer (222-228"":225-231"":350-351"')-trisdysulfide, produced in Chinese hamster ovary (CHO) cells, derived from the cell line CHO-K1, glycoform alfa

*immunostimulant, antineoplastic*

lomvastomig

immunoglobuline G1-kappa avec domaines croisés, anti-[*Homo sapiens* PDCD1 (protéine 1 de mort cellulaire programmée, PD-1, PD1, CD279)] et anti-[*Homo sapiens* HAVCR2 (récepteur cellulaire 2 du virus de l'hépatite A, membre 3 de la famille à domaines immunoglobuline et mucine des lymphocytes T, TIM3, TIM-3, TIMD3, CD366)], anticorps monoclonal humanisés, bispécifique;

chaîne lourde gamma1 à V-kappa croisé anti-PDCD1 (1-443) [V-KAPPA humanisé (*Homo sapiens* IGKV4-1\*01 (82.2%) - IGKJ1\*01 (100%), CDR-IMGT [10.3.9] (27-36.54-56.93-101)) (1-111) -2-mer biséryl linker (112-113) -*Homo sapiens* IGHG1\*01, G1m17,1, G1v14-49 CH2 A1.3, A1.2, G114, CH2 G1v32 CH3 W22 (knob) (CH1 K120 (210) (114-211), charnière 1-15 (212-226), CH2 L1.3>A (230), L1.2>A (231), P114>G (325) (227- 336), CH3 D12 (352), L14 (354), S10>C (350), T22>W (362)) (337- 441), CHS (442-443)) (112-443)], (216-227')-disulfure avec la chaîne légère kappa à VH croisé anti-PDCD1 (1'-227') [VH humanisé (*Homo sapiens* IGHV3-23\*01 (90.6%) -(IGHD) -IGHJ5\*01 (92.9%), CDR-IMGT [8.8.13] (26-32.51-58.97-109)) (1'-120') -*Homo sapiens* IGKC\*01 (99.1%), R1.5>A (121), T1.4>S (122), Km3 A45.1 (166), V101 (204) (121'-227')]; chaîne lourde gamma1 anti-HAVCR2

	<p>(TIM3) (1"-449") [VH humanisé (<i>Homo sapiens</i> IGHV3-66*01 (74.5%)-(IGHD) -IGHJ6*01 T123&gt;L (114) (90.9%), CDR-IMGT [8.8.12] (26-33.51-58.97-108 (1"-119") -<i>Homo sapiens</i> IGHG1*01, G1m17.1, G1v14-49 CH2 A1.3, A1.2, G114, G1v33 CH3 S22, A24, V86 (hole) (CH1 K26&gt;E (149), K119&gt;E (215), K120 (216) (120"-217"), charnière 1-15 (218"-232"), CH2 L1.3&gt;A (236), L1.2&gt;A (237), P114&gt;G (331) (233"-342"), CH3 D12 (358), L14 (360) Y5&gt;C (351), T22&gt;S (368), L24&gt;A (370), Y86&gt;V (409)] (343"-447"), CHS (448"-449") (120"-449"), (222"-214""-disulfure avec la chaîne légère kappa anti-HAVCR2 (TIM3) (1""-214"" [<i>Homo sapiens</i> V-KAPPA (IGKV2-28*01 (81.0%) -IGKJ2*01 (91.7%)] [6.3.9], CDR-IMGT [6.3.9] (27-32.50-52.99-107) (1""-107"" -<i>Homo sapiens</i> IGKC*01 (98.1%), E12&gt;R (123), Q13&gt;K (124) Km3 A45.1 (153), V101 (191) (108""-214"")); dimère (222-228":225-231":350-351")-trisdifure, produit dans des cellules ovariennes de hamster chinois (CHO), dérivant de la lignée cellulaire CHO-K1, glycoforme alfa <i>immunostimulant, antinéoplasique</i></p>
lomvastomig	<p>inmunoglobulina G1-kappa con dominios cruzados, anti-[<i>Homo sapiens</i> PDCD1 (proteína 1 de muerte celular programada, PD-1, PD1, CD279)] y anti-[<i>Homo sapiens</i> HAVCR2 (receptor celular 2 del virus de la hepatitis A, miembro 3 de la familia con dominios de inmunoglobulina y mucina de las células T, TIM3, TIM-3, TIMD3, CD366)], anticuerpo monoclonal humanizado, biespecifico; cadena pesada gamma1 con V-kappa cruzada anti-PDCD1 (1-443) [V-KAPPA humanizado (<i>Homo sapiens</i> IGKV4-1*01 (82.2%) -IGKJ1*01 (100%), CDR-IMGT [10.3.9] (27-36.54-56.93-101)] (1-111) -2-mer biserial linker (112-113) -<i>Homo sapiens</i> IGHG1*01, G1m17.1, G1v14-49 CH2 A1.3, A1.2, G114, CH2 G1v32 CH3 W22 (knob) (CH1 K120 (210) (114-211), bisagra 1-15 (212-226), CH2 L1.3&gt;A (230), L1.2&gt;A (231), P114&gt;G (325) (227- 336), CH3 D12 (352), L14 (354), S10&gt;C (350), T22&gt;W (362)] (337- 441), CHS (442-443)) (112-443)], (216-227')-disulfuro con la cadena ligera kappa con VH cruzado anti-PDCD1 (1'-227') [VH humanizado (<i>Homo sapiens</i> IGHV3-23*01 (90.6%) -(IGHD) -IGHJ5*01 (92.9%), CDR-IMGT [8.8.13] (26-32.51-58.97-109)) (1'-120') -<i>Homo sapiens</i> IGKC*01 (99.1%), R1.5&gt;A (121), T1.4&gt;S (122), Km3 A45.1 (166), V101 (204) (121'-227')]; cadena pesada gamma1 anti-HAVCR2 (TIM3) (1"-449") [VH humanizado (<i>Homo sapiens</i> IGHV3-66*01 (74.5%)-(IGHD) -IGHJ6*01 T123&gt;L (114) (90.9%), CDR-IMGT [8.8.12] (26-33.51-58.97-108 (1"-119") -<i>Homo sapiens</i> IGHG1*01, G1m17.1, G1v14-49 CH2 A1.3, A1.2, G114, G1v33 CH3 S22, A24, V86 (hole) (CH1 K26&gt;E (149), K119&gt;E (215), K120 (216) (120"-217"), bisagra 1-15 (218"-232"), CH2 L1.3&gt;A (236), L1.2&gt;A (237), P114&gt;G (331) (233"-342"), CH3 D12 (358), L14 (360) Y5&gt;C (351), T22&gt;S (368), L24&gt;A (370), Y86&gt;V (409)] (343"-447"), CHS (448"-449") (120"-449"), (222"-214""-disulfuro con la cadena ligera kappa anti-HAVCR2 (TIM3) (1""-214"" [<i>Homo sapiens</i> V-KAPPA (IGKV2-28*01 (81.0%) -IGKJ2*01 (91.7%)] [6.3.9], CDR-IMGT [6.3.9] (27-32.50-52.99-107) (1""-107"" -<i>Homo sapiens</i> IGKC*01 (98.1%), E12&gt;R (123), Q13&gt;K (124) Km3 A45.1 (153), V101 (191) (108""-214"")); dímero (222-228":225-231":350-351")-trisdifure, producido en las células ováricas de hámster chino (CHO), línea celular derivada de CHO-K1, forma glicosilada alfa <i>inmunoestimulante, antineoplásico</i></p>

2648840-52-0

Heavy chain / Chaîne lourde / Cadena pesada: anti-PDCD1 crossed V-kappa (H)  
 DIVMTQSPDS LAVSLGERAT INCKASEVD TSDNSFIHWY QKPGQSPKL 50  
 LIYRSSTLES GVPDRFSGSG SGTDFTLTIS LQAEADVAVY YCQNYVDVFP 100  
 TFGQGTKEVI KSSASTKGPS VFPLAPSSKS TSGGTAALGC LVKDYFPEPV 150  
 TVSNNSGALT SGVHTFPVAVL QSSGLYLSLS VWTVPSSSLG TQTYICNVNH 200  
 KPSNNTKVDKK VEPKSCDKTH TCPPCPAPEA AGGPSVFLFP PKPKDLMIS 250  
 RTPPEVTCVVV DVSHEDPEVK FNVYVDGVEV HNAKTKPRE QYNSTYRVVS 300  
 VLTVLHQDWL NGKEYKCKVS NKALGAPIEK TISKAKGQPR EFQVYTLFPFC 350  
 RDELTKNQVS LWCLVKGYFYP SDIAVEWESN GQFPENNYKTT PFLVDSGDF 400  
 FLYSKLTVDR SRWQQGNVFS CSVMHEALHN HYTKQSLSLS PGK 443

Light chain / Chaîne légère / Cadena ligera: anti-PDCD1 crossed VH (L)  
 EVQLLESGGG LVQPGGSLRL SCAASGFSPS SYTMSWVRQA PGKGLEWVAT 50  
 ISGGGRDIYV PDSVYKGRFTI SRDNSKNTLY LQMNSLRAED TAVYVCVLLT 100  
 GRVYFALDSW GQGTLVTVSS ASVAAPSVEFI FPPSDEQLKS GTASVCLLN 150  
 NFYFREAKVQ WKVDNALQSG NSQESVTEQD SKDSTYSLSL TLTLRSKADYE 200  
 KHKVYACEVT HQGLSSPVTK SFNRGEC 227

Heavy chain / Chaîne lourde / Cadena pesada: anti-HAVCR2 (TIM3) (H\*)  
 EVQLVESGGG LVQPGGSLRL SCAASGFNIK TYMHVWRQA PGKGLEWVGR 50  
 IDPADDNTKY APKFQGKATI SADTSKNTAY LQMNSLRAED TAVYCVDRDF 100  
 GYVAWFAYWG QGTLTVVSSA STKGPSVFPL APSSKSTSGG TAALGCLVED 150  
 YFPEPVTVSW NSGALTSVGH TFFAVLQSSG LYSLSVTVV PSSSLGTQTY 200  
 ICNVNHKPSN TKVDEKVEPK SCDKHTCCPP CPAPEAAGGP SVFLFPKPK 250  
 DTLMSRTPTE VTCVVVDVSH EDPEVKFNWY VDGVEVHNAK TKPREQYNS 300  
 TYRVVSVLTV LHQDVLNGKE YKCKVSNKAL GAPIEKTISK AKGQPREPQV 350  
 CTLPPSRDEL TKNQVLSLCA VKGFYPSDIA VEVESNGQPE NNYKTPPV 400  
 DSDGSFFLVS KLTVDKSRWQ QGNVFCSCVM HEALHNHYTQ KSLSLSPGK 449

Light chain / Chaîne légère / Cadena ligera: anti-HAVCR2 (TIM3) (L\*)  
 DIVMTQSPDS LPVTPGEFAS ISCRASQSDV NYVAWYLQKP GQSPQLLIYY 50  
 ASNRYIGVDP RFSGSGSGTD FTLKISRVEA EDWGVYYCQO HYSSPYTFGQ 100  
 GTKVEIKRTV AAPSVEFIFPP SDRKLKSGTA SVVCLLNIFY PREAKVQMKV 150  
 DNALQSGNSQ ESVTEQDSKD STYLSLSLTL LSKADYEKHK VYACEVTHQG 200  
 LSSPVTKSFN RGEK 214

**Post-translational modifications**

Disulfide bridges location / Position des ponts disulfure / Posiciones de los puentes disulfuro

Intra-H (C23-C104) 23-92 140-196 257-317 363-421  
 22"-96" 146"-202" 263"-323" 369"-427"

Intra-L (C23-C104) 22"-96" 147-207"  
 23"-88" 134"-194"

Inter-H-L (h 5-CL 126) 216-227" 222"-214"

Inter-H-H (h 11, h 14) 222-228" 225-231" (engineered) 350-351"

N-glycosylation sites / Sites de N-glycosylation / Posiciones de N-glicosilación

H CH2 N84.4: 293, 299"

Fucosylated complex bi-antennary CHO-type glycans / glycanes de type CHO bi-antennaires complexes fucosylés / glicanos de tipo CHO biantennarios complejos fucosilados.

**lorundrostatum**

lorundrostat

*N*-(*trans*-4-acetamidocyclohexyl)-2-[4-[5-(4-methylphenyl)-1,2,4-triazin-3-yl]piperazin-1-yl]acetamide  
*aldosterone synthase inhibitor*

lorundrostat

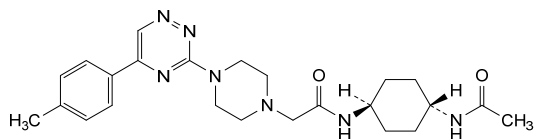
*N*-(*trans*-4-acétamidocyclohexyl)-2-[4-[5-(4-méthylphényl)-1,2,4-triazin-3-yl]pipérazin-1-yl]acétamide  
*inhibiteur de l'aldostérone synthase*

lorundrostat

*N*-(*trans*-4-acetamidociclohexil)-2-[4-[5-(4-metilfenil)-1,2,4-triazin-3-il]piperazin-1-il]acetamida  
*inhibidor de la aldosterona sintasa*

C<sub>24</sub>H<sub>33</sub>N<sub>7</sub>O<sub>2</sub>

1820940-17-7



**lunaxafuspum #**

## lunaxafusp

L-methionyl-Shiga-like toxin 1 subunit A1 (2-252), variant (S<sup>45</sup>>I<sup>46</sup>, V<sup>54</sup>>I<sup>55</sup>, R<sup>55</sup>>L<sup>56</sup>, I<sup>57</sup>>F<sup>58</sup>, P<sup>59</sup>>F<sup>60</sup>, E<sup>60</sup>>T<sup>61</sup>, E<sup>61</sup>>L<sup>62</sup>, G<sup>110</sup>>A<sup>111</sup>, R<sup>188</sup>>A<sup>189</sup>, C<sup>242</sup>>S<sup>243</sup>, R<sup>248</sup>>A<sup>249</sup>, R<sup>251</sup>>A<sup>252</sup>), fused via the peptide linker <sup>253</sup>EFPKPSTPPGSSGGAP<sup>268</sup> to an anti-(human ERBB2 (epidermal growth factor receptor 2, receptor tyrosine-protein kinase erbB-2, EGFR2, HER2, CD340)) murine immunoglobulin single chain variable fragment (scFv) (269-519), containing a VH region (269-387), a <sup>388</sup>GGGGSGGGGSGGGGSGGGGSGGGGS<sup>412</sup> peptide linker and a VL region (413-519), produced in *Escherichia coli*;

methionyl (1)-Shiga-like toxin 1 subunit A1 (SLT-1 subunit A1, SLT-1a1, SLT-1a1, sltA1, stxA1, verotoxin 1 subunit A1, verocytotoxin 1 subunit A1, rRNA N-glycosidase 1, EC:3.2.2.22) of *enterobacteria phage H19B* (*bacteriophage H19B*) (2-252), [S<sup>45</sup>>I<sup>46</sup>, V<sup>54</sup>>I<sup>55</sup>, R<sup>55</sup>>L<sup>56</sup>, I<sup>57</sup>>F<sup>58</sup>, P<sup>59</sup>>F<sup>60</sup>, E<sup>60</sup>>T<sup>61</sup>, E<sup>61</sup>>L<sup>62</sup>, G<sup>110</sup>>A<sup>111</sup>, R<sup>188</sup>>A<sup>189</sup>, C<sup>242</sup>>S<sup>243</sup>, R<sup>248</sup>>A<sup>249</sup>, R<sup>251</sup>>A<sup>252</sup>]-mutant, fused via the 16-peptide linker EFPKPSTPPGSSGGAP (253-268, containing the murine IgG3 hinge fragment PKPSTPPGSS 255-264), to an anti-[*Homo sapiens* ERBB2 (epidermal growth factor receptor 2, receptor tyrosine-protein kinase erbB-2, EGFR2, HER2, HER-2, p185c-erbB2, NEU, CD340)] single-chain *Mus musculus* immunoglobulin Fv fragment (269-387) [VH (*Mus musculus* IGHV9-1\*02 (IGHD) -IGHJ2\*01, CDR-Kabat [5.17.10] (299-303.318-334.367-376))], fused via a 25-peptide linker (G<sub>4</sub>S)<sub>5</sub> (388-412), to an anti-[*Homo sapiens* ERBB2 (epidermal growth factor receptor 2, receptor tyrosine-protein kinase erbB-2, EGFR2, HER2, HER-2, p185c-erbB2, NEU, CD340)] single-chain *Mus musculus* immunoglobulin Fv fragment (413-519), [VL (*Mus musculus* IGKV6-17\*01 (IGHD) -IGKJ4\*01, CDR-Kabat [11.7.9] (436-446.462-468.501-509))], non-glycosylated, produced in *Escherichia coli* *antineoplastica*

## lunaxafusp

sous-unité A1 de la toxine 1 de type L-méthionyl-Shiga (2-252), variante (S<sup>45</sup>>I<sup>46</sup>, V<sup>54</sup>>I<sup>55</sup>, R<sup>55</sup>>L<sup>56</sup>, I<sup>57</sup>>F<sup>58</sup>, P<sup>59</sup>>F<sup>60</sup>, E<sup>60</sup>>T<sup>61</sup>, E<sup>61</sup>>L<sup>62</sup>, G<sup>110</sup>>A<sup>111</sup>, R<sup>188</sup>>A<sup>189</sup>, C<sup>242</sup>>S<sup>243</sup>, R<sup>248</sup>>A<sup>249</sup>, R<sup>251</sup>>A<sup>252</sup>), fusionnée via la liaison peptidique <sup>253</sup>EFPKPSTPPGSSGGAP<sup>268</sup> à un anti-(ERBB2 humain (récepteur 2 du facteur de croissance épidermique, récepteur de la tyrosine-protéine kinase erbB-2, EGFR2, HER2, CD340)) immunoglobuline murine à fragment variable à chaîne unique (scFv) (269-519), contenant une région VH (269-387), une liaison peptidique <sup>388</sup>GGGGSGGGGSGGGGSGGGGSGGGGS<sup>412</sup> et une région VL (413-519), produit chez *Escherichia coli*;

méthionyl (1)-sous-unité A1 de la toxine de type Shiga 1 (sous-unité A1 de SLT-1, SLT-1a1, SLT-1a1, sltA1, stxA1, sous-unité A1 de la vérocytotoxine 1, sous-unité A1 de la vérocytotoxine 1, ARNr N-glycosidase 1, EC:3.2.2.22) du *phage entérobactérien H19B* (*bactériophage H19B*) (2-252), [S<sup>45</sup>>I<sup>46</sup>, V<sup>54</sup>>I<sup>55</sup>, R<sup>55</sup>>L<sup>56</sup>, I<sup>57</sup>>F<sup>58</sup>, P<sup>59</sup>>F<sup>60</sup>, E<sup>60</sup>>T<sup>61</sup>, E<sup>61</sup>>L<sup>62</sup>, G<sup>110</sup>>A<sup>111</sup>, R<sup>188</sup>>A<sup>189</sup>, C<sup>242</sup>>S<sup>243</sup>, R<sup>248</sup>>A<sup>249</sup>, R<sup>251</sup>>A<sup>252</sup>]-mutant, fusionnée via le 16-peptide liant EFPKPSTPPGSSGGAP (253-268, contenant le fragment PKPSTPPGSS de la charnière de la IgG3 murine 255-264), à un fragment Fv monocaténaire d'anti-[*Homo sapiens* ERBB2 (récepteur 2 du facteur de croissance épidermique, récepteur tyrosine-protéine kinase erbB-2, EGFR2, HER2, HER-2, p185c-erbB2, NEU, CD340)] immunoglobuline de *Mus musculus* (269-387) [VH (*Mus musculus* IGHV9-1\*02 (IGHD) -IGHJ2\*01, CDR-Kabat [5.17.10] (299-303.318-334.367-376))], fusionnée via le 25-peptide liant (G<sub>4</sub>S)<sub>5</sub> (388-412), à un anti-[*Homo sapiens* ERBB2 (récepteur 2 du facteur de croissance épidermique, récepteur tyrosine-protéine kinase erbB-2, EGFR2, HER2, HER-2, p185c-erbB2, NEU, CD340)] fragment Fv de l'immunoglobuline de *Mus musculus* (413-519), [VL (*Mus musculus* IGKV6-17\*01 (IGHD) -IGKJ4\*01, CDR-Kabat [11.7.9] (436-446.462-468.501-509))], non glycosylée, produite chez *Escherichia coli* *antineoplastica*

lunaxafusp

subunidad A1 de la toxina 1 de tipo L-metionil-Shiga (2-252), variante (S<sup>45</sup>>I<sup>46</sup>, V<sup>54</sup>>I<sup>55</sup>, R<sup>55</sup>>L<sup>56</sup>, I<sup>57</sup>>F<sup>58</sup>, P<sup>59</sup>>F<sup>60</sup>, E<sup>60</sup>>T<sup>61</sup>, E<sup>61</sup>>L<sup>62</sup>, G<sup>110</sup>>A<sup>111</sup>, R<sup>188</sup>>A<sup>189</sup>, C<sup>242</sup>>S<sup>243</sup>, R<sup>248</sup>>A<sup>249</sup>, R<sup>251</sup>>A<sup>252</sup>), fusionada a través del enlace peptídico <sup>253</sup>EFPKPSTPPGSSGGAP<sup>268</sup> a un fragmento variable monocatenario de la inmunoglobulina murina (scFv) (receptor 2 del factor de crecimiento epidérmico, receptor de la proteína tirosina kinasa erbB-2, EGFR2, HER2, CD340)) (269-519), que contiene una región VH (269-387), un enlace peptídico <sup>388</sup>GGGGSGGGSGGGSGGGSGGGSGGG<sup>412</sup> y una región VL (413-519), producida por *Escherichia coli*; metionil (1)-subunidad A1 de la toxina 1 de tipo Shiga (subunidad A1 de SLT-1, SLT-1a1, SLT-1a1, sItA1, stxA1, subunidad A1 de la verotoxina 1, subunidad A1 de la verocitotoxina 1, rRNA N-glicosidasa 1, EC: 3.2.2.22) del *fago de enterobacterias H19B (bacteriófago H19B) (2-252)*, [S<sup>45</sup>>I<sup>46</sup>, V<sup>54</sup>>I<sup>55</sup>, R<sup>55</sup>>L<sup>56</sup>, I<sup>57</sup>>F<sup>58</sup>, P<sup>59</sup>>F<sup>60</sup>, E<sup>60</sup>>T<sup>61</sup>, E<sup>61</sup>>L<sup>62</sup>, G<sup>110</sup>>A<sup>111</sup>, R<sup>188</sup>>A<sup>189</sup>, C<sup>242</sup>>S<sup>243</sup>, R<sup>248</sup>>A<sup>249</sup>, R<sup>251</sup>>A<sup>252</sup>]-mutante, fusionado mediante el conector de 16-péptido EFPKPSTPPGSSGGAP (253-268, que contiene el fragmento PKPSTPPGSS de la bisagra de la IgG3 murina 255-264), a un fragmento Fv monocatenario de la anti-[*Homo sapiens* ERBB2 (receptor 2 del factor de crecimiento epidérmico, receptor proteína tirosina kinasa erbB-2, EGFR2, HER2, HER-2, p185c-erbB2, NEU, CD340)] inmunoglobulina de *Mus musculus* (269-387) [VH (*Mus musculus* IGHV9-1\*02 (IGHD) -IGHJ2\*01, CDR-Kabat [5.17.10] (299-303.318-334.367-376))], fusionado mediante el enlace peptídico 25(G<sub>4</sub>S)<sub>5</sub> (388-412), a un anti-[*Homo sapiens* ERBB2 (receptor 2 del factor de crecimiento epidérmico, receptor proteína tirosina kinasa erbB-2, EGFR2, HER2, HER-2, p185c-erbB2, NEU, CD340)] fragmento Fv de la inmunoglobulina de *Mus musculus* (413-519), [VL (*Mus musculus* IGV6-17\*01 (IGHD) -IGKJ4\*01, CDR-Kabat [11.7.9] (436-446.462-468.501-509))], no glicosilada, producida en *Escherichia coli antineoplásico*

2642197-17-7

## Sequence / Séquence / Secuencia

```

MKEFTLDFST AKTYVDSLNV IRSAIGTPLQ TISSGGTSSL MIDSGIGDNL 50
FAVDLLGFDFTLGRFNLRLL IVERNNLVYVTFVNRNTNNVF YRFADFHSVT 100
FPGTAVTFLSADSSYTTLQR VAGISRTGMQ INRHSLTTSY LDLMSHSGTS 150
LTQSVARAMLRFVTVTAELRFRQIQRGRFTLLDLSGAS YVMTAEDVDL 200
TLNWGRLLSSVLPDYHGQDSV RVGRISFGSI NAILGSVALI LNSHHHASAV 250
AEFPKPSTPPGSSGGAPQVQLQSSGPELKPGETVKIASC KASGYPFNTNY 300
GMNVVKQAPGQGLKWMGWINTSTGESTFADDFKGRFDPSL ETSANTAYLQ 350
INNLKSEDSATYFCARWEVYHGYPYWGQGTVTTVSSGGGSGSGGSGGGG 400
GSGGGSGGGGSDIQMTQSPSSLSASVGDRVTITTKASQD VYNAVAVYQQ 450
KPGQSPKLLIYASSRYTGVPSRFTGSGSGPDTFTTIVSSQAEDLAVYFC 500
QQHFRTPFTF GSGTKLEIK 519

```

## Mutation / Mutation / Mutación

N-L-methionyl added (M<sup>1</sup>), S<sup>45</sup>>I<sup>46</sup>, V<sup>54</sup>>I<sup>55</sup>, R<sup>55</sup>>L<sup>56</sup>, I<sup>57</sup>>F<sup>58</sup>, P<sup>59</sup>>F<sup>60</sup>, E<sup>60</sup>>T<sup>61</sup>, E<sup>61</sup>>L<sup>62</sup>, G<sup>110</sup>>A<sup>111</sup>, R<sup>188</sup>>A<sup>189</sup>, C<sup>242</sup>>S<sup>243</sup>, R<sup>248</sup>>A<sup>249</sup>, R<sup>251</sup>>A<sup>252</sup>

## Peptide linkers / Peptides liants / Péptidos de unión

EFPKPSTPPGSSGGAP 253-268 (PKPSTPPGSS 256-265: murine IgG3 hinge fragment), (G<sub>4</sub>S)<sub>5</sub> 388-412

## Post-translational modifications

Disulfide bridges location / Position des ponts disulfure / Posiciones de los puentes disulfuro 290-364, 435-500

N-glycosylation sites / Sites de N-glycosylation / Posiciones de N-glicosilación none / aucun / ninguna

**lusacomfarum alfa**  
lusacomfar alfa

human complement factor H (CFH, H factor 1),  
produced in human embryonic kidney cells (HEK293),  
glycoform alfa  
*complement factor H*

lusacomfar alfa

facteur H du complément humain (CFH, facteur H 1),  
produit dans des cellules rénales embryonnaires  
humaines (HEK293), glycoforme alfa  
*facteur H du complément*

lusacomfar alfa

factor de complemento humano H (CFH, factor H 1),  
producido en células renales embrionarias humanas  
(HEK293), glicofórmula alfa  
*factor H del complemento*

2640087-71-2

Sequence / Séquence / Secuencia

EDCNELPFR	NTEILTGSWS	DQTYPEGTQA	IYKRCRPGYRS	LGNVIMVCRK	50
GEWVALNPLR	KCQKRPCGHP	GDTPEGFTTL	TGGNVFEYGV	KAVYTCNEGY	100
QLLGEINYRE	CDTDGWTNDI	PICEVVKCLP	VTAPENGVKIV	SSAMEPDREY	150
HFGQAVRFVC	NSGYKIEGDE	EMHCSDDGFW	SKEKPKCVEI	SCKSPDVIING	200
SPISQKIYK	ENERFQYKCN	MGVEYSERGD	AVCTESGWRP	LPSCEEKSCD	250
NPYIPNGDYS	PLRIKHRTGD	EITYQRNGF	YPATRGNTAK	CTSTGWIPAP	300
RCTLKPCDYP	DIKHGGLYHE	NMRRYPFPVA	VGKYYSYICD	EHFETPSGSY	350
WDHIHCTQDG	WSPAVPCLRK	CYFPYLENGY	NQNYGRKFVQ	GKSIDVACHP	400
GYALPKAQT	VTCMENGWSP	TPRCIRVKTC	SKSSIDIENG	FISESQVTYA	450
LKERAKYQCK	LGXYTADGET	SGSITCGKDG	WSAQPTCIKS	CDIPVFMNAR	500
TKNDFTWFKL	NDTLDYECHD	GYESNTGSTT	GSIVCGYNGW	SDLPICIERE	550
CELPKIDVHL	VPDRKKDQYK	VGEVLKFSCK	FGFTIVGPNS	VQCYHFGLSL	600
DLPICKEQVQ	SCGPPPELLN	GNVKEKTEEE	YGHSEVVEYY	CNPRFLMKG	650
NKIQCVDGEW	TTLPVCIIVEE	STCGDIPELE	HGWAQLSSPP	YYYGDSVEFN	700
CSESFMTIGH	RSITCIHGW	TQLPQCVAID	KLKCKSSNL	IILBEHLKMK	750
KEFDHNSNIR	YRCRGEKGI	HTVCINGRWD	PEVNCMAQI	QLCPPPFPQIP	800
NSHNMTTLN	YRDGEKVSVL	CQENYLQEG	EEITCKDGRW	QSIPLCVERI	850
PCSQPPQIEH	GTINSSRSRQ	ESYAHGTKLS	YTCGEGFRIS	EENETTCYMG	900
KWSSPPQCEG	LPCSKSPEIIS	HGVVAHMSDS	YQYGEVVTYK	CFEGFGIDGP	950
AIAKCLGKWK	SHPPSCKIKT	CLSLSPFENA	IPMGEKKDVI	KAGEQVITYC	1000
ATYYKMDGAS	NVTCINSRWT	GRPTCRDTSC	VNPPTVQNAV	IVSRQMSKYP	1050
SGERVRYQCR	SPYEMFGDEE	VMCLNGNWT	PPQCKDSTGK	CGPPPPIDNG	1100
DITSFPLSVY	APASSVEYQC	QNLVQLEGNK	RITCRNGQWS	EPFKLHPVC	1150
ISREIMENYN	IALRWTAQKQ	LYSRTGESVE	FVCKRGYRLS	SRSHLRTTC	1200
WDGKLEYPTC	AKR				1213

Post-translational modifications

Disulfide bridges location / Position des ponts disulfure / Posiciones de los puentes disulfuro

3-48,	34-62,	67-111,	96-123,	128-174,
160-192,	187-233,	219-244,	249-291,	276-302,
307-356,	339-367,	371-413,	398-424,	430-476,
459-487,	491-535,	518-546,	551-593,	579-605,
612-655,	641-666,	673-715,	701-726,	735-774,
763-785,	793-835,	821-846,	852-897,	883-908,
913-955,	941-966,	971-1014,	1000-1025,	1030-1073,
1059-1084,	1091-1134,	1120-1145,	1149-1200,	1183-1210

N-glycosylation sites / Sites de N-glycosylation / Posiciones de N-glicosilación  
N511, N700, N784, N804, N864, N1011, N1077 (complex biantennary glycans)

**lunixasertibum**  
lunixasertib

*N*-cyclopropyl-4-{7-(((1*S*,3*S*)-3-hydroxy-3-methylcyclobutyl)methyl)amino}-5-[(pyridin-3-yl)oxy]pyrazolo[1,5-*a*]pyrimidin-3-yl}-2-methylbenzamide  
*serine/ threonine kinase inhibitor, antineoplastic*

lunixasertib

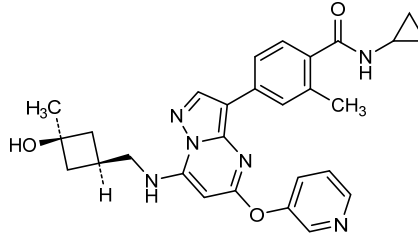
*N*-cyclopropyl-4-{7-(((1*S*,3*S*)-3-hydroxy-3-méthylcyclobutyl)méthyl)amino}-5-[(pyridin-3-yl)oxy]pyrazolo[1,5-*a*]pyrimidin-3-yl}-2-méthylbenzamide  
*inhibiteur de sérine/ thréonine kinase, antinéoplasique*

lucixasertib

*N*-ciclopropil-4-{7-([[(1*s*,3*s*)-3-hidroxi-3-metilciclobutil]metil]amino)-5-[[piridin-3-il]oxi]pirazolo[1,5-*a*]pirimidin-3-il]-2-metilbenzamida  
inhibidor de serina/ treonina kinasas, antineoplásico

C<sub>28</sub>H<sub>30</sub>N<sub>6</sub>O<sub>3</sub>

1610759-22-2



**manusiranum**  
manusiran

*all-P-ambo-5'-O*-{21-[(2-acetamido-2-deoxy-β-D-galactopyranosyl)oxy]-9,9-bis{12-[(2-acetamido-2-deoxy-β-D-galactopyranosyl)oxy]-7-hydroxy-7-sulfanylidene-2,6,8-trioxa-7λ<sup>5</sup>-phosphadodecan-1-yl}-1,16-dihydroxy-1,16-bis(sulfanylidene)-2,7,11,15,17-pentaoxa-1λ<sup>5</sup>,16λ<sup>5</sup>-diphosphahenicosan-1-yl}-2'-deoxy-2'-fluorouridylyl-(3'→5')-2'-O-methylcytidylyl-(3'→5')-2'-deoxy-2'-fluoroadenylyl-(3'→5')-2'-O-methylcytidylyl-(3'→5')-2'-deoxy-2'-fluorocytidylyl-(3'→5')-2'-O-methyluridylyl-(3'→5')-2'-deoxy-2'-fluoroguanilyl-(3'→5')-2'-O-methylcytidylyl-(3'→5')-2'-deoxy-2'-fluorouridylyl-(3'→5')-2'-O-methyluridylyl-(3'→5')-2'-deoxy-2'-fluorocytidylyl-(3'→5')-2'-O-methyluridylyl-(3'→5')-2'-deoxy-2'-fluorouridylyl-(3'→5')-2'-O-methylcytidylyl-(3'→5')-2'-deoxy-2'-fluorouridylyl-(3'→5')-2'-O-methylguanylyl-(3'→5')-2'-deoxy-2'-fluoro-*P*-thioguanylyl-(3'→5')-2'-O-methyl-*P*-thiouridylyl-(3'→5')-2'-deoxy-2'-fluorouridine, duplex with *all-P-ambo-2'-O-methyl-P-thioadenylyl-(3'→5')-2'-deoxy-2'-fluoro-P-thioadenylyl-(3'→5')-2'-O-methylcytidylyl-(3'→5')-2'-deoxy-2'-fluorocytidylyl-(3'→5')-2'-O-methyladenylyl-(3'→5')-2'-deoxy-2'-fluoroguanilyl-(3'→5')-2'-O-methyladenylyl-(3'→5')-2'-deoxy-2'-fluoroadenylyl-(3'→5')-2'-O-methylguanylyl-(3'→5')-2'-deoxy-2'-fluoroadenylyl-(3'→5')-2'-O-methyladenylyl-(3'→5')-2'-deoxy-2'-fluoroguanilyl-(3'→5')-2'-O-methylcytidylyl-(3'→5')-2'-deoxy-2'-fluoroadenylyl-(3'→5')-2'-O-methylguanylyl-(3'→5')-2'-deoxy-2'-fluoroguanilyl-(3'→5')-2'-O-methyl-*P*-thiouridylyl-(3'→5')-2'-deoxy-2'-fluoro-*P*-thioguanylyl-(3'→5')-2'-O-methyladenosine  
*transmembrane protease serine 6 synthesis reducer**

manusiran

*tout-P-ambo-5'-O*-{21-[(2-acétamido-2-désoxy-β-D-galactopyranosyl)oxy]-9,9-bis{12-[(2-acétamido-2-désoxy-β-D-galactopyranosyl)oxy]-7-hydroxy-7-sulfanylidène-2,6,8-trioxa-7λ<sup>5</sup>-phosphadodécane-1-yl}-1,16-dihydroxy-1,16-bis(sulfanylidène)-2,7,11,15,17-pentaoxa-1λ<sup>5</sup>,16λ<sup>5</sup>-diphosphahénicosan-1-yl}-2'-désoxy-2'-fluorouridylyl-(3'→5')-2'-O-méthylcytidylyl-(3'→5')-2'-désoxy-2'-fluoroadénylyl-(3'→5')-2'-O-méthylcytidylyl-(3'→5')-2'-désoxy-2'-fluorocytidylyl-(3'→5')-2'-O-méthyluridylyl-(3'→5')-2'-désoxy-2'-fluoroguanilyl-(3'→5')-2'-O-méthylcytidylyl-(3'→5')-2'-désoxy-2'-fluorouridylyl-(3'→5')-2'-O-méthyluridylyl-(3'→5')-2'-désoxy-2'-fluorocytidylyl-(3'→5')-2'-O-méthyluridylyl-(3'→5')-2'-désoxy-2'-fluorouridylyl-(3'→5')-2'-O-méthylcytidylyl-(3'→5')-2'-désoxy-2'-fluorouridylyl-(3'→5')-2'-O-méthylguanylyl-(3'→5')-2'-désoxy-2'-fluoro-*P*-thioguanylyl-(3'→5')-2'-O-méthyl-*P*-thiouridylyl-(3'→5')-2'-désoxy-2'-fluorouridine,



**maplirpaceptum #**  
maplirpacept

human signal-regulatory protein alpha (SIRP $\alpha$ , tyrosine-protein phosphatase non-receptor type substrate 1, inhibitory receptor SHPS-1) N-terminal fragment (1-118) variant (L<sup>14</sup>>S, T<sup>20</sup>>S, T<sup>22</sup>>I, R<sup>24</sup>>H, A<sup>27</sup>>V, G<sup>45</sup>>A, D<sup>65</sup>>E, L<sup>66</sup>>S, N<sup>70</sup>>E, R<sup>77</sup>>S, G<sup>79</sup>>S, D<sup>101</sup> deleted, V<sup>102</sup>>T<sup>101</sup>) fused to a human immunoglobulin G4 C-terminal Fc fragment (119-347), variant (S<sup>128</sup>>P), disulfide bridged dimer, produced in Chinese hamster ovary (CHO), glycoform alfa;  
human signal-regulatory protein alpha (SIRP $\alpha$ , tyrosine-protein phosphatase non-receptor type substrate 1, inhibitory receptor SHPS-1), natural [L<sup>14</sup>>S, T<sup>20</sup>>S, T<sup>22</sup>>I, R<sup>24</sup>>H, A<sup>27</sup>>V, G<sup>45</sup>>A, D<sup>65</sup>>E, L<sup>66</sup>>S, N<sup>70</sup>>E, R<sup>77</sup>>S, G<sup>79</sup>>S, D<sup>101</sup>>del, V<sup>102</sup>>T<sup>101</sup>]-variant, N-terminal (1-118)-fragment [binding domain for CD47 (inhibitor of phagocytosis by macrophages)], fused to a C-terminal Fc fragment of human immunoglobulin G4 (119-347),IGHG4\*01; hinge 119-130 [S<sup>128</sup>>P]-variant; CH2 131-240; CH3 241-345; CHS 346-347; dimer (126-126':129-129')-bisdisulfide, produced in Chinese hamster ovary (CHO) cells, glycoform alfa  
*antineoplastic*

maplirpacept

fragment N-terminal (1-118) de la protéine régulatrice humaine du signal alpha (SIRP $\alpha$ , substrat 1 de type non-récepteur de la tyrosine-protéine-phosphatase, récepteur inhibiteur SHPS-1) variant (L<sup>14</sup>>S, T<sup>20</sup>>S, T<sup>22</sup>>I, R<sup>24</sup>>H, A<sup>27</sup>>V, G<sup>45</sup>>A, D<sup>65</sup>>E, L<sup>66</sup>>S, N<sup>70</sup>>E, R<sup>77</sup>>S, G<sup>79</sup>>S, D<sup>101</sup> supprimé, V<sup>102</sup>>T<sup>101</sup>) fusionné à un fragment Fc C-terminal de l'immunoglobuline G4 humaine (119-347), variant (S<sup>128</sup>>P), dimère à pont disulfure, produit dans des cellules ovariennes de hamster chinois (CHO), glycoforme alfa;  
protéine régulatrice du signal alpha (SIRP $\alpha$ , substrat 1 de type non-récepteur de la tyrosine-protéine phosphatase, récepteur inhibiteur SHPS-1), variante naturelle [L<sup>14</sup>>S, T<sup>20</sup>>S, T<sup>22</sup>>I, R<sup>24</sup>>H, A<sup>27</sup>>V, G<sup>45</sup>>A, D<sup>65</sup>>E, L<sup>66</sup>>S, N<sup>70</sup>>E, R<sup>77</sup>>S, G<sup>79</sup>>S, D<sup>101</sup>>del, V<sup>102</sup>>T<sup>101</sup>], fragment N-terminal (1-118) [domaine de liaison au CD47 (inhibiteur de la phagocytose par les macrophages)], fusionné à un fragment Fc C-terminal de l'immunoglobuline G4 humaine (119-347), IGHG4\*01; charnière 119-130 [S<sup>128</sup>>P]-variante; CH2 131-240; CH3 241-345; CHS 346-347; dimère (126-126':129-129')-bisdisulfure, produit dans des cellules ovariennes de hamster chinois (CHO), glycoforme alfa  
*antinéoplasique*

maplirpacept

proteína reguladora de señales alfa (SIRP $\alpha$ , sustrato 1 de tipo no receptor de la proteína tirosina fosfatasa, receptor inhibidor SHPS-1) fragmento N-terminal (1-118) variante (L<sup>14</sup>>S, T<sup>20</sup>>S, T<sup>22</sup>>I, R<sup>24</sup>>H, A<sup>27</sup>>V, G<sup>45</sup>>A, D<sup>65</sup>>E, L<sup>66</sup>>S, N<sup>70</sup>>E, R<sup>77</sup>>S, G<sup>79</sup>>S, D<sup>101</sup> eliminado, V<sup>102</sup>>T<sup>101</sup>) fusionado al fragment Fc C-terminal de la inmunoglobulina G4 humana (119-347), variante (S<sup>128</sup>>P), dímero unido al disulfuro, producido en células ováricas de hámster Chino (CHO), glicofoma alfa;  
proteína reguladora de señales alfa (SIRP $\alpha$ , sustrato 1 de tipo no-receptor de la proteína tirosina fosfatasa, receptor inhibidor SHPS-1), variante natural [L<sup>14</sup>>S, T<sup>20</sup>>S, T<sup>22</sup>>I, R<sup>24</sup>>H, A<sup>27</sup>>V, G<sup>45</sup>>A, D<sup>65</sup>>E, L<sup>66</sup>>S, N<sup>70</sup>>E, R<sup>77</sup>>S, G<sup>79</sup>>S, D<sup>101</sup>>del, V<sup>102</sup>>T<sup>101</sup>], fragmento N-terminal (1-118) [dominio de unión a CD47 (inhibidor de la fagocitosis por macrófagos)], fusionado con un fragmento Fc C-terminal de inmunoglobulina G4 humana (119-347), IGHG4\*01; bisagra 119-130 [S<sup>128</sup>>P]-variante; CH2 131-240; CH3 241-345; CHS 346-347; dímero (126-126':129-129')-bisdisulfuro, producido en células ováricas de hámster Chino (CHO), forma glicosilada alfa  
*antineoplásico*

2631667-06-4

Sequence / Séquence / Secuencia

**EEELQVIQPD KSVSVVAGE** **AILLCTVTSL** **IPVGPQWFR GAGPARELIY** 50  
**NQKEGHFPRV TTVSESTRKE** **NMDFSLISLN** **ITPADAGTYV CVKFRKGSFD** 100  
**IFKSGAGTE LSVRAKPSSE** KYGPPCP **PCP** APEFLGGPSV FLFPKPKDT 150  
 LMISRTPPEVT CVVVDVSQED FEVQFNWYVD GVEVHNAKTK PREEQFNSTY 200  
 RVVSVLTVLH QDWLNGKEYK CKVSNKGLPS SIEKTISKAK GQPREPQVYT 250  
 LFPSEQEEMTK NQVSLTCLVK GFYPSDIAVE WESNGQPENN YKTTFPVLDL 300  
 DGSFFLYSRL TVDKSRWQEG NVFSCSVMHE ALHNHYTQKS LLSLSLGG 347

Natural variant / Variante naturelle / Variante natural

L<sup>14</sup>>S, T<sup>20</sup>>S, T<sup>22</sup>>L, R<sup>24</sup>>H, A<sup>27</sup>>I, G<sup>45</sup>>A, D<sup>65</sup>>E, L<sup>66</sup>>S, N<sup>70</sup>>E, R<sup>77</sup>>S, G<sup>79</sup>>S,  
 D<sup>101</sup>>del, V<sup>102</sup>>I<sup>101</sup>

Mutation / Mutation / Mutación

S128.S128&gt;E

**Post-translational modifications**

Disulfide bridge locations / Position des ponts disulfure / Posiciones de los puentes disulfuro  
 intra-chain: 25-91, 161-221, 267-325,

25-91', 161'-221', 267'-325'

inter-chain: 126-126', 129-129'

N-glycosylation sites / Sites de N-glycosylation / Posiciones de N-glicosilación

N80, N80', N197, N197'

C-terminal lysine clipping / Coupure de la lysine C-terminale / Recorte de lisina C-terminal

H CHS K2: K347, K347'

**masofanitenum**

masofaniten

*N*-{4-[(4-{2-[3-chloro-4-(2-chloroethoxy)-5-cyanophenyl]propan-2-yl}phenoxy)methyl]pyrimidin-2-yl}methanesulfonamide  
*antiandrogen, antineoplastic*

masofanitène

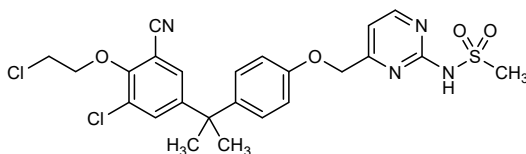
*N*-{4-[(4-{2-[3-chloro-4-(2-chloroéthoxy)-5-cyanophényl]propan-2-yl}phénoxy)méthyl]pyrimidin-2-yl}méthanesulfonamide  
*antiandrogène, antinéoplasique*

masofanitén

*N*-{4-[(4-{2-[3-ciano-5-cloro-4-(2-cloroetoxi)fenil]propan-2-il}fenoxi)metil]pirimidin-2-il}metanosulfonamida  
*antiandrógeno, antineoplásico*

C<sub>24</sub>H<sub>24</sub>Cl<sub>2</sub>N<sub>4</sub>O<sub>4</sub>S

2416716-62-4

**mavodelparum**

mavodelpar

(4-[[[(2*E*)-3-(4-fluorophenyl)-3-[4-[3-(morpholin-4-yl)prop-1-yn-1-yl]phenyl]prop-2-en-1-yl]oxy]-2-methylphenoxy]acetic acid  
*peroxisome proliferator activated receptor (PPAR) delta agonist*

mavodelpar

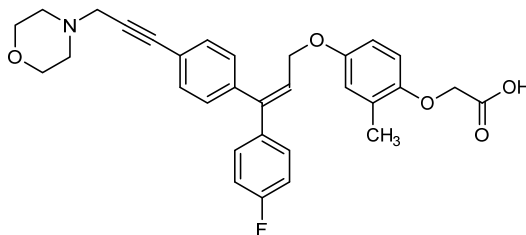
acide (4-[[[(2*E*)-3-(4-fluorophényl)-3-[4-[3-(morpholin-4-yl)prop-1-yn-1-yl]phényl]prop-2-én-1-yl]oxy]-2-méthylphénoxy]acétique  
*agoniste du récepteur delta activé par les proliférateurs de peroxysomes (PPAR)*

mavodelpar

ácido 4-[[[(2*E*)-3-(4-fluorofenil)-3-{4-[3-(morfolin-4-il)prop-1-in-1-il]fenil}prop-2-en-1-il]oxi]-2-metilfenoxi]acético  
agonista del receptor delta activado por los factores de proliferación de peroxisomas (PPAR)

C<sub>31</sub>H<sub>30</sub>FNO<sub>5</sub>

942594-93-6

**mebufoteninum**

mebufotenin

2-(5-methoxy-1*H*-indol-3-yl)-*N,N*-dimethylethan-1-amine  
serotonin receptors 5-HT1A and 5-HT2A agonist,  
antidepressant

mébufoténine

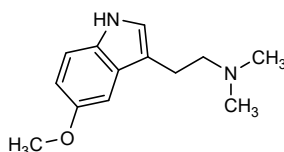
2-(5-méthoxy-1*H*-indol-3-yl)-*N,N*-diméthyléthan-1-amine  
agoniste des récepteurs 5-HT1A et 5-HT2A de la  
sérotonine, antidépresseur

mebufotenina

*N,N*-dimetil-2-(5-metoxi-1*H*-indol-3-il)etan-1-amina  
agonista del receptors 5-HT1A y 5-HT2A de la serotonina,  
antidepresivo

C<sub>13</sub>H<sub>18</sub>N<sub>2</sub>O

1019-45-0

**mevonlerbartum #**

mevonlerbart

immunoglobulin G4-kappa, anti-[Fel d 1 (*Felis silvestris catus* (domestic cat) allergen 1)], *Homo sapiens* monoclonal antibody;  
gamma4 heavy chain *Homo sapiens* (1-442) [VH (*Homo sapiens* IGHV3-23\*04 (94.9%) -(IGHD) -IGHJ4\*01 (100%), CDR-IMGT [8.8.8] (26-33.51-58.97-104)) (1-115)-*Homo sapiens* IGHG4\*01, G4v5 h P10, nG4m(a) CH2 L92 (CH1 (116-213), hinge 1-12 S10>P (223) (214-225), CH2 L92 (304) (226-335), CH3 (336-440), CHS (441-442)) (116-442)], (129-214')-disulfide with kappa light chain *Homo sapiens* (1'-214') [V-KAPPA (*Homo sapiens* IGKV1-5\*03 (96.8%) -IGKJ4\*01 (100%), CDR-IMGT [6.3.9] (27-32.50-52.89-97)) (1'-107') -*Homo sapiens* IGKC\*01 (100%), Km3 A45.1 (153), V101 (191) (108'-214')]; dimer (221-221":224-224")-bisdisulfide, produced in Chinese hamster ovary (CHO) cells, glycoform alfa  
*antiallergic*

mévonlerbart

immunoglobuline G4-kappa, anti-[Fel d 1 (allergène 1 de *Felis silvestris catus* (chat domestique))], anticorps monoclonal *Homo sapiens*; chaîne lourde gamma4 *Homo sapiens* (1-442) [VH (*Homo sapiens* IGHV3-23\*04 (94.9%) -(IGHD) -IGHJ4\*01 (100%), CDR-IMGT [8.8.8] (26-33.51-58.97-104)) (1-115)-*Homo sapiens* IGHG4\*01, G4v5 h P10, nG4m(a) CH2 L92 (CH1 (116-213), charnière 1-12 S10>P (223) (214-225), CH2 L92 (304) (226-335), CH3 (336-440), CHS (441-442)) (116-442)], (129-214')-disulfure avec la chaîne légère kappa *Homo sapiens* (1'-214') [V-KAPPA (*Homo sapiens* IGKV1-5\*03 (96.8%) -IGKJ4\*01 (100%), CDR-IMGT [6.3.9] (27-32.50-52.89-97)) (1'-107') -*Homo sapiens* IGKC\*01 (100%), Km3 A45.1 (153), V101 (191) (108'-214')]; dimère (221-221":224-224")-bisdisulfure, produit dans des cellules ovariennes de hamster chinois (CHO), glycoforme alfa *antiallergique*

mevonlerbart

immunoglobulina G4-kappa, anti-[Fel d 1 (alérgeno 1 de *Felis silvestris catus* (gato doméstico))], anticuerpo monoclonal *Homo sapiens*; cadena pesada gamma4 *Homo sapiens* (1-442) [VH (*Homo sapiens* IGHV3-23\*04 (94.9%) -(IGHD) -IGHJ4\*01 (100%), CDR-IMGT [8.8.8] (26-33.51-58.97-104)) (1-115)-*Homo sapiens* IGHG4\*01, G4v5 h P10, nG4m(a) CH2 L92 (CH1 (116-213), bisagra 1-12 S10>P (223) (214-225), CH2 L92 (304) (226-335), CH3 (336-440), CHS (441-442)) (116-442)], (129-214')-disulfuro con la cadena ligera kappa *Homo sapiens* (1'-214') [V-KAPPA (*Homo sapiens* IGKV1-5\*03 (96.8%) -IGKJ4\*01 (100%), CDR-IMGT [6.3.9] (27-32.50-52.89-97)) (1'-107') -*Homo sapiens* IGKC\*01 (100%), Km3 A45.1 (153), V101 (191) (108'-214')]; dímero (221-221":224-224")-bisdisulfuro, producido en las células ováricas de hámster chino (CHO), forma glicosilada alfa *antialérgico*

2453195-99-6

Heavy chain / Chaîne lourde / Cadena pesada  
 EVQLVESGGG LVQPGGSLRL SCAASGFTFS SYAMSWVRQA PGKLEWVSA 50  
 ISGRGNADY ADSVKGRFTI SRDNSKNTLY LQMNSLRAED TAVYYCAKLE 100  
 YFDYWGQGTL VTVSSASTKG PSVFLAPCS RSTSESTAAL GCLVKDYFPE 150  
 PVTVSWNSGA LTVSGVHTFPA VLQSSGLYSL SSVTVFPSS LGTKYTCNV 200  
 DHKPSNTKVD KRVESKYGPP CPCCPAPEFL GGSVFLFPP KFKDTLMISR 250  
 TPEVTCVVVD VSQEDPEVQF NWYVDGVEVH NAKTKPREEQ FNSTYRVVSV 300  
 LTVLHQDWLN GKKEYKCKVSN KGLPSSIEKT ISKAKGQPRE PQVYTLPPSQ 350  
 EEMTKNQVSL TCVLKGFYPS DIAVEWESNG QPENNYKTTT PVLDSGDSFF 400  
 LYSRLTVDKS RWQEGNVFSC SVMHEALHNN YTQKSLSLSL GK 442

Light chain / Chaîne légère / Cadena ligera  
 DIQMTQSPST LSASVGDRTV ITCRASQSI SWLAWYQQKPK GAKPKLLIYK 50  
 ASSLESGVPS RFGSGSGSDT FTLTISLRLP EDFATYICQQ YNSYPLTFGG 100  
 GTKVEIKRVT AAPSVFIFPP SDEQLKSGTA SVVCLLNIFY PREAKVQNKV 150  
 DNALQSGNSQ ESVTEQDSKD STYLSLSTLT LSKADYEKHK VYACEVTHQG 200  
 LSSPVTKSFN RGEK 214

**Post-translational modifications**

Disulfide bridges location / Position des ponts disulfure / Posiciones de los puentes disulfuro

Intra-H (C23-C104) 22-96 142-198 256-316 362-420  
 22"-96" 142"-198" 256"-316" 362"-420"  
 Intra-L (C23-C104) 23'-88" 134'-194"  
 23"'-88"' 134"'-194"  
 Inter-H-L (CH1 10-CL 126) 129-214" 129"-214"  
 Inter-H-H (h 8, h 11) 221-221" 224-224"

N-glycosylation sites / Sites de N-glycosylation / Posiciones de N-glicosilación

H CH2 N84.4: 292, 292"

Fucosylated complex bi-antennary CHO-type glycans / glycanes de type CHO bi-antennaires complexes fucosylés / glicanos de tipo CHO biantenarios complejos fucosilados.

C-terminal lysine clipping / Coupure de la lysine C-terminale / Recorte de lisina C-terminal  
 H CHS K2: 442, 442"

**milpocitidum**

milpocitide

low-density lipoprotein receptor (human LDL receptor, LDLR), (293-333)-peptide fragment (EGF-like domain 1), artificial [N<sup>301</sup>>L<sup>9</sup>, N<sup>309</sup>>R<sup>17</sup>, K<sup>312</sup>>E<sup>20</sup>, D<sup>321</sup>>E<sup>29</sup>, Q<sup>328</sup>>K<sup>36</sup>, D<sup>333</sup>>K<sup>41</sup>]-mutant, produced in *Saccharomyces cerevisiae*, chemically converted to the N<sup>6,36</sup>,N<sup>6,41</sup>-bis[(22S)-22,38-dicarboxy-10,19,24-trioxo-3,6,12,15-tetraoxa-9,18,23-triazaoctatriacontan-1-oyl]-derivative  
*proprotein convertase subtilisin/ kexin type 9 (PCSK9) inhibitor*

milpocitide

récepteur des lipoprotéines de basse densité (récepteur LDL humain, LDLR), fragment peptidique (293-333) (domaine 1 de type EGF), mutant [N<sup>301</sup>>L<sup>9</sup>, N<sup>309</sup>>R<sup>17</sup>, K<sup>312</sup>>E<sup>20</sup>, D<sup>321</sup>>E<sup>29</sup>, Q<sup>328</sup>>K<sup>36</sup>, D<sup>333</sup>>K<sup>41</sup>] artificiel, produit dans *Saccharomyces cerevisiae*, converti chimiquement en dérivé N<sup>6,36</sup>,N<sup>6,41</sup>-bis[(22S)-22,38-dicarboxy-10,19,24-trioxo-3,6,12,15-tétraoxa-9,18,23-triazaoctatriacontan-1-oyle] *inhibiteur de la proprotéine convertase subtilisine/ kexine de type 9 (PCSK9)*

milpocitida

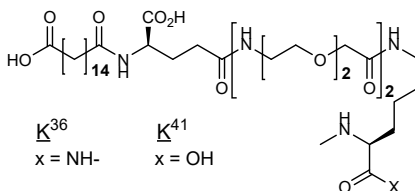
receptor de lipoproteinas de baja densidad (receptor de LDL humano, LDLR), fragmento de péptido (293-333) (dominio 1 similar a EGF), mutante [N<sup>301</sup>>L<sup>9</sup>, N<sup>309</sup>>R<sup>17</sup>, K<sup>312</sup>>E<sup>20</sup>, D<sup>321</sup>>E<sup>29</sup>, Q<sup>328</sup>>K<sup>36</sup>, D<sup>333</sup>>K<sup>41</sup>] artificial, producido en *Saccharomyces cerevisiae*, químicamente convertido en el derivado de N<sup>6,36</sup>,N<sup>6,41</sup>-bis [(22S)-22,38-dicarboxi-10,19,24-trioxo-3,6,12,15-tetraoxa-9,18,23-triazaoctatriacontan-1-oilo] *inhibidor de la proproteína convertasa subtilisina/ kexina tipo 9 (PCSK9)*

C<sub>255</sub>H<sub>413</sub>N<sub>63</sub>O<sub>86</sub>S<sub>6</sub>

2643306-81-2

1 GTNECLDNLG GCSHVCRDLE IGYECLQPEG FQLVA<sup>36</sup>KRRCE<sup>41</sup>K

Modified residues / Résidus modifiés / Restos modificados

**misetionamidum**

misetionamide

1,4λ<sup>6</sup>,3-oxathiazinane-4,4-dione  
*antineoplastique*

misétionamide

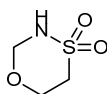
1,4λ<sup>6</sup>,3-oxathiazinane-4,4-dione  
*antineoplasique*

misetionamida

1,4λ<sup>6</sup>,3-oxatiazinano-4,4-diona  
*antineoplásico*

C<sub>3</sub>H<sub>7</sub>NO<sub>3</sub>S

856785-75-6

**mizacoratum**

mizacorat

2,2-difluoro-*N*-[(1*R*,2*S*)-3-méthyl-1-[[1-(1-méthyl-6-oxo-1,6-dihydropyridin-3-yl)-1*H*-indazol-5-yl]oxy]-1-phénylbutan-2-yl]propanamide  
*glucocorticoid receptor agonist, anti-inflammatory*

mizacorat

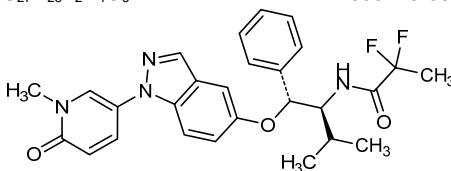
2,2-difluoro-*N*-[(1*R*,2*S*)-3-méthyl-1-[[1-(1-méthyl-6-oxo-1,6-dihydropyridin-3-yl)-1*H*-indazol-5-yl]oxy]-1-phénylbutan-2-yl]propanamide  
*agoniste du récepteur des glucocorticoïdes, anti-inflammatoire*

mizacorat

*N*-[(1*R*,2*S*)-1-fenil-3-metil-1-[[1-(1-metil-6-oxo-1,6-dihidropiridin-3-il)-1*H*-indazol-5-il]oxi]butan-2-il]-2,2-difluoropropanamida  
*agonista del receptor de los glucocorticoides, antiinflamatorio*

C<sub>27</sub>H<sub>28</sub>F<sub>2</sub>N<sub>4</sub>O<sub>3</sub>

1893415-00-3

**nadravaleucelum**

nadravaleucel

allogeneic natural killer (NK) cells isolated from peripheral blood leukapheresis of individual donors. The cells are co-cultured in media containing interleukin 15 (IL-15) and nicotinamide (NAM, niacinamide) with expansion enhanced by the presence of feeder cells. The final cell population consists of 97-99% CD3-CD56+ NK cells, with >10% expressing CD16 (also known as FcγRIII) and CD62L (also known as L-selectin) and with capacity to degranulate (surface expression of CD107α [Lysosome-associated membrane glycoprotein 1]; >10%), and to kill target cells (>10%) in co-culture assays against human cancer cell lines.  
*cell therapy (antineoplastic)*

nadravaleucel

cellules tueuses naturelles (NK) allogéniques isolées à partir d'une leucaphérèse de sang périphérique de donneurs individuels. Les cellules sont co-cultivées dans un milieu contenant de l'interleukine 15 (IL-15) et du nicotinamide (NAM, niacinamide), l'expansion étant améliorée par la présence de cellules nourricières. La population cellulaire finale consiste en 97 à 99% de cellules NK CD3-CD56+, dont >10% expriment CD16 (également connu sous le nom de

	<p>FcγRIII) et CD62L (également connu sous le nom de L-sélectine) et ont la capacité de dégranuler (expression de surface de CD107α [glycoprotéine 1 membranaire associée au lysosome]; &gt;10%), et de tuer les cellules cibles (&gt;10%) dans des tests de co-culture contre des lignées cellulaires cancéreuses humaines.</p> <p><i>thérapie cellulaire (antineoplasique)</i></p>
<p>nadravaleucel</p>	<p>células natural killer (NK) alogénicas aisladas de leucaféresis de sangre periférica de donantes individuales. Las células se co-cultivan en medio que contiene interleuquina 15 (IL-15) y nicotinamida (NAM, niacinamida) con expansión aumentado por la presencia de células alimentadoras. La población celular final consiste en un 97-99% de células NK CD3-CD56+, con &gt;10% que expresan CD16 (también conocido como FcγRIII) y CD62L (también conocido como L-selectina) y con capacidad para desgranular (expresión en superficie de CD107α [glicoproteína de membrana 1 asociada a lisosoma]; &gt;10%) y de matar células diana (&gt;10%) en ensayos de co-cultivo contra líneas celulares de cáncer humanas.</p> <p><i>terapia celular (antineoplásico)</i></p>
<p><b>narlumosbartum #</b> narlumosbart</p>	<p>immunoglobulin G4-kappa, anti-[TNFSF11 (tumor necrosis factor (TNF) superfamily member 11, osteoclast differentiation factor, ODF, OPGL, RANKL, TRANCE, CD254)], <i>Homo sapiens</i> monoclonal antibody;</p> <p>gamma4 heavy chain <i>Homo sapiens</i> (1-449) [VH (<i>Homo sapiens</i>IGHV3-23*01 (98.0%) -(IGHD) -IGHJ5*02 (93.8%), CDR-IMGT [8.8.15] (26-33.51-58.97-111)) (1-122)-<i>Homo sapiens</i>IGHG4*01, G4v5 h P10, nG4m(a) CH2 L92 (CH1 (123-220), hinge 1-12, S10&gt;P (230) (221-232), CH2 L92 (311) (233-342), CH3 (343-447), CHS (448-449)) (123-449)], (136-215')-disulfide with kappa light chain <i>Homo sapiens</i> (1'-215') [V-KAPPA (<i>Homo sapiens</i>IGKV3-20*01 (85.8%) -IGKJ1*01 (100%), CDR-IMGT [7.3.9] (27-33.51-53.90-98)) (1'-108') -<i>Homo sapiens</i>IGKC*01 (100%), Km3 A45.1 (154), V101 (192) (109'-215')]; dimer (228-228":231-231")-bisdisulfide, produced in Chinese hamster ovary (CHO) cells, cell line CHO-S, glycoform alfa</p> <p><i>treatment of bone metabolism disorders</i></p>
<p>narlumosbart</p>	<p>immunoglobuline G4-kappa, anti-[TNFSF11 (membre 11 de la superfamille TNFSF des facteurs de nécrose tumorale, facteur de différenciation des ostéoclastes, ODF, OPGL, RANKL, TRANCE, CD254)], anticorps monoclonal <i>Homo sapiens</i>;</p>

chaîne lourde gamma4 *Homo sapiens* (1-449) [VH (*Homo sapiens* IGHV3-23\*01 (98.0%) -(IGHD) -IGHJ5\*01 (93.8%), CDR-IMGT [8.8.15] (26-33.51-58.97-111)) (1-122)-*Homo sapiens* IGHG4\*01, G4v5 h P10, nG4m(a) CH2 L92 (CH1 (123-220), charnière 1-12 S10>P (230) (221-232), CH2 L92 (311) (233-342), CH3 (343-447), CHS (448-449)) (123-449)], (136-211')-disulfure avec la chaîne légère kappa *Homo sapiens* (1'-215') [V-KAPPA (*Homo sapiens* IGKV3-20\*01 (85.8%) -IGKJ1\*01 (100%), CDR-IMGT [7.3.9] (27-33.51-53.90-98)) (1'-108') -*Homo sapiens* IGKC\*01 (100%), Km3 A45.1 (154), V101 (192) (109'-215')]; dimère (228-228":231-231")-bisdisulfure, produit dans des cellules ovariennes de hamster chinois (CHO), lignée cellulaire CHO-S, glycoforme alfa  
*traitement des troubles du métabolisme osseux*

narlumosbart

inmunoglobulina G4-kappa, anti-[TNFSF11 (miembro 11 de la superfamilia TNFSF de los factores de necrosis tumoral, factor de diferenciación de los osteoclastos, ODF, OPGL, RANKL, TRANCE, CD254)], anticuerpo monoclonal *Homo sapiens*; cadena pesada gamma4 *Homo sapiens* (1-449) [VH (*Homo sapiens* IGHV3-23\*01 (98.0%) -(IGHD) -IGHJ5\*01 (93.8%), CDR-IMGT [8.8.15] (26-33.51-58.97-111)) (1-122)-*Homo sapiens* IGHG4\*01, G4v5 h P10, nG4m(a) CH2 L92 (CH1 (123-220), bisagra 1-12 S10>P (230) (221-232), CH2 L92 (311) (233-342), CH3 (343-447), CHS (448-449)) (123-449)], (136-211')-disulfuro con la cadena ligera kappa *Homo sapiens* (1'-215') [V-KAPPA (*Homo sapiens* IGKV3-20\*01 (85.8%) -IGKJ1\*01 (100%), CDR-IMGT [7.3.9] (27-33.51-53.90-98)) (1'-108') -*Homo sapiens* IGKC\*01 (100%), Km3 A45.1 (154), V101 (192) (109'-215')]; dímero (228-228":231-231")-bisdisulfuro, producido en las células ováricas de hámster chino (CHO), línea celular CHO-S, forma glicosilada alfa  
*tratamiento del trastorno del metabolismo óseo*

2646587-68-8

Heavy chain / Chaîne lourde / Cadena pesada

EVQLLESGGG	LVQPGGSLRL	SCAASGFTFS	SYAMSWVRQA	PKGLENVSG	50
IRGSGGTTY	ADSVKGRFTI	SRDNSKNLTY	LQMSLRAED	TAVYYCAKDP	100
GTTVIMSWFD	FWGQGLVTV	SSASTKGPSV	FPLAPCSRST	SESTAALGCL	150
VKDYFPEPVT	VSNRNGALTS	GVHTFPAVLQ	SSGLYSLSSV	VTVPSSSLGT	200
KTYTCNVDDH	FSNTKVDKRV	ESKYGPPCFP	CPAPEFLGGP	SVFLFFPKPK	250
DTLMSRTPPE	VTCVVVDVSO	EDPEVQFNWY	VDGVEVHNAK	TKFREEQFNS	300
TYRVVSVLTV	LHQDNLNGKE	YKCKVSNKGL	PSSIEKTIK	ARKGQPREPQV	350
YTLPPSQEEM	TKNQVSLTCL	VKGFYPSDIA	VEVESNGQPE	NNYKTTTPVL	400
DSGDSFFLYS	RLTVDRSRWQ	EGNVFSCSVM	HEALHNHYTQ	KSLSLSLGK	449

Light chain / Chaîne légère / Cadena ligera

EIVLTQSPGT	LSSLSPGERAT	LSCRASQSVR	GRYLAWYQQK	PGQAPRLLIY	50
GASSRATGIP	DRFSGSGSGT	DFTLTISRLE	PDFFAVFYQC	YQGSSPRTEFG	100
QGTKVEIKRT	VAAFSVFIFF	PSDEQLKSGT	ASVVCLLNFF	YPREAKVQWK	150
VDNALQSGNS	QESVTEQDSK	DSTYLSLSTL	TLSKADYERK	KVYACEVTHQ	200
GLSSPVTKSF	NRGEC				215

Post-translational modifications

Disulfide bridges location / Position des ponts disulfure / Posiciones de los puentes disulfuro

Intra-H (C23-C104) 22-96 149-205 263-323 369-427  
22"-96" 149"-205" 263"-323" 369"-427"

Intra-L (C23-C104) 23'-89' 135'-195'  
23"'-89'" 135"'-195'"

Inter-H-L (CH1 10-CL 126) 136-215' 136"-215"

Inter-H-H (h 8, h 11) 228-228" 231-231"

N-glycosylation sites / Sites de N-glycosylation / Posiciones de N-glicosilación

H CH2 N84: 299, 299"

Fucosylated complex bi-antennary CHO-type glycans / glycanes de type CHO bi-antennaires complexes fucosylés / glicanos de tipo CHO biantennarios complejos fucosilados.

C-terminal lysine clipping / Coupure de la lysine C-terminale / Recorte de lisina C-terminal  
H CHS K2: 449, 449"

**nasaruplasum gamma #**  
nasaruplase gamma

human urokinase-type plasminogen activator (U-plasminogen activator, uPA, PLAU, EC:3.4.21.73), single-chain pro-protein (pro-urokinase), produced in Chinese hamster ovary (CHO) cells, cell line CHO-DG44, clone 8-93, glycoform gamma  
*urokinase plasminogen activator*

nasaruplase gamma

activateur du plasminogène de type urokinase humain (activateur d'U-plasminogène, uPA, PLAU, EC:3.4.21.73), pro-protéine monocaténaire (pro-urokinase), produite dans des cellules ovariennes de hamster chinois (CHO), lignée cellulaire CHO-DG44, clone 8-93, glycoforme gamma  
*activateur du plasminogène de type urokinase*

nasaruplasa gamma

activador humano del plasminógeno de tipo urokinasa (activador del plasminógeno-U, uPA, PLAU, EC: 3.4.21.73), proproteína monocatenaria (prourokinasa), producida en células ováricas de hámster Chino (CHO), línea celular CHO-DG44, clon 8-93, glicoforma gamma  
*activador del plasminógeno tipo uroquinasa*

2647419-93-8

Sequence / Séquence / Secuencia

SNELHQVPSN	CDCLNGGTCV	SNKYFSNIHW	CNCPKPKFGGQ	HCEIDKSKTC	50
YEGNGHFYRG	KASTDTMGRP	CLPWNSATVL	QQTVAHRSD	ALQLGLGKHN	100
YCRNPDNRRR	PWCYVQVGLK	PLVQECMVHD	CADGKKPSSP	PEELKFCGQ	150
KTLRPR <b>FKII</b>	GGEFTTIENQ	PWFAAIYRRH	RGGSVTYVCG	GSLISPCWVI	200
SATHCFIDYP	KKEDIYVYLG	RSRLNSNTQG	EMKFEVENLI	LHKDYSADTL	250
AHHNDIALLK	IRSEGRCAQ	PSRTIQTICL	PSMYNDPQFG	TSCEITGFGK	300
ENSTDYLYPE	QLKMTVVKLI	SHRECQQPHY	YGSEVTTKML	CAADPQWKTD	350
SCQGDSGGPL	VCSLQGRMTL	TGIVSWGRC	ALKDKPGVYT	RVSHFLPWIR	400
SHTKEENGLA	L				411

Plasmin cleavage site / Site du clivage par la plasmine / Sitio de la escisión por plasmina  
**K**<sup>158</sup>-**I**<sup>159</sup>

Post-translational modifications

Disulfide bridges location / Position des ponts disulfure / Posiciones de los puentes disulfuro  
11-19, 13-31, 33-42, 50-131, 71-113, 102-126, 148-279, 189-205, 197-268, 293-362, 325-341, 352-380

Glycosylation sites / Sites de glycosylation / Posiciones de glicosilación  
T18 (O-fucosyl), N302 (CHO type glycans)

**neltependocelum**  
neltependocel

allogenic corneal endothelial cells derived from human corneal tissue (Descemet's membrane) and obtained by enzymatic digestion. The endothelial cells are seeded onto collagen type I-coated plates and expanded in media containing foetal bovine serum, calcium chloride, chondroitin sulfate, epidermal growth factor (EGF), a p38 mitogen-activated protein (MAP) kinase inhibitor, ascorbic acid, and a Rho-associated protein kinase (ROCK)-inhibitor. The cells are positive for CD166 (activated leukocyte cell adhesion molecule; >90%) and negative for CD24, CD105 (endoglin), CD44, CD26 (dipeptidyl peptidase 4), and CD200, display a healthy corneal cell morphology, and show expression at the cell periphery for sodium potassium pumps (Na<sup>+</sup>/K<sup>+</sup>-ATPase) and tight cell junctions (ZO-1).  
*cell therapy (corneal endothelium regeneration)*

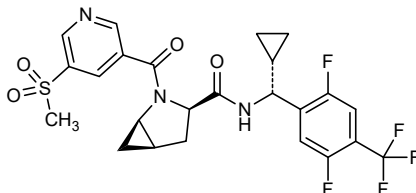
neltépendocel	<p>cellules endothéliales cornéennes allogéniques dérivées du tissu cornéen humain (membrane de Descemet) et obtenues par digestion enzymatique. Les cellules endothéliales sont ensemencées sur des plaques recouvertes de collagène de type I et amplifiées dans un milieu contenant du sérum bovin fœtal, du chlorure de calcium, du sulfate de chondroïtine, du facteur de croissance épidermique (EGF), un inhibiteur de la protéine kinase activée par le mitogène (MAP) p38, de l'acide ascorbique et un inhibiteur de la protéine kinase associée à Rho (ROCK). Les cellules sont positives pour le CD166 (molécule d'adhésion cellulaire des leucocytes activés; &gt;90%) et négatives pour le CD24, le CD105 (endogline), le CD44, le CD26 (dipeptidyl peptidase 4) et le CD200, présentent une morphologie de cellules cornéennes saines, et présentent à la périphérie cellulaire une expression de pompes à sodium-potassium (Na<sup>+</sup>/K<sup>+</sup>-ATPase) et de jonctions cellulaires serrées (ZO-1).</p> <p><i>thérapie cellulaire (régénération de l'endothélium cornéen)</i></p>
neltependocel	<p>células del endotelio corneal alogénicas derivadas de tejido corneal humano (membrana de Descemet) y obtenidas mediante digestión enzimática. Las células endoteliales se siembran en placas forradas de colágenos tipo I y se expanden en medio que contiene suero bovino fetal, cloruro cálcico, condroitin sulfato, factor de crecimiento epidérmico (EGF), un inhibidor de la proteína quinasa activada por el mitógeno p38 (MAP), ácido ascórbico y un inhibidor de la proteína quinasa asociada a Rho (ROCK). Las células son positivas para CD166 (molécula de adhesión de leucocitos activados; &gt;90%) y negativas para CD24, CD105 (endoglina), CD44, CD26 (dipeptidil peptidasa 4) y CD200, ofrecen una morfología de célula corneal sana y muestran expresión en la periferia celular de bombas de sodio y potasio (Na<sup>+</sup>/K<sup>+</sup>-ATPasa) y uniones celulares estrechas (ZO-1).</p> <p><i>terapia celular (regeneración del endotelio corneal)</i></p>
<b>nelutroctivum</b> nelutroctiv	<p>(1<i>R</i>,3<i>R</i>,5<i>R</i>)-<i>N</i>-{(<i>R</i>)-cyclopropyl[2,5-difluoro-4-(trifluoromethyl)phenyl]methyl}-2-[5-(methanesulfonyl)pyridine-3-carbonyl]-2-azabicyclo[3.1.0]hexane-3-carboxamide</p> <p><i>cardiac troponin activator</i></p>
nélutroctiv	<p>(1<i>R</i>,3<i>R</i>,5<i>R</i>)-<i>N</i>-{(<i>R</i>)-cyclopropyl[2,5-difluoro-4-(trifluorométhyl)phényl]méthyl}-2-[5-(méthanesulfonyl)pyridine-3-carbonyl]-2-azabicyclo[3.1.0]hexane-3-carboxamide</p> <p><i>activateur de la troponine cardiaque</i></p>

nelutroctiv

(1*R*,3*R*,5*R*)-*N*-{(*R*)-ciclopropil[2,5-difluoro-4-(trifluorometil)fenil]metil}-2-[5-(metanosulfonyl)piridina-3-carbonil]-2-azabicclo[3.1.0]hexano-3-carboxamida  
*activador de la troponina cardiaca*

C<sub>24</sub>H<sub>22</sub>F<sub>5</sub>N<sub>3</sub>O<sub>4</sub>S

2299177-09-4

**nenocorilantum**

nenocorilant

[(4*aR*)-1-(4-fluorophenyl)-6-(2-methyl-2*H*-1,2,3-triazole-4-sulfonyl)-1,4,5,6,7,8-hexahydro-4*aH*-pyrazolo[3,4-*g*]isoquinolin-4*a*-yl][4-(trifluoromethyl)pyridin-2-yl]methanone  
*glucocorticoid receptor antagonist*

nénocorilant

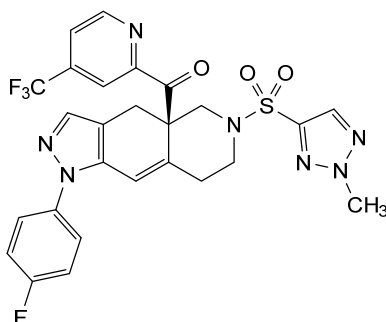
[(4*aR*)-1-(4-fluorophényl)-6-(2-méthyl-2*H*-1,2,3-triazole-4-sulfonyl)-1,4,5,6,7,8-hexahydro-4*aH*-pyrazolo[3,4-*g*]isoquinoléin-4*a*-yl][4-(trifluorométhyl)pyridin-2-yl]méthanone  
*antagoniste du récepteur des glucocorticoïdes*

nenocorilant

[(4*aR*)-1-(4-fluorofenil)-6-(2-metil-2*H*-1,2,3-triazol-4-sulfonyl)-1,4,5,6,7,8-hexahidro-4*aH*-pirazolo[3,4-*g*]isoquinolein-4*a*-il][4-(trifluorometil)piridin-2-il]metanona  
*antagonista del receptor de los glucocorticoides*

C<sub>26</sub>H<sub>21</sub>F<sub>4</sub>N<sub>7</sub>O<sub>3</sub>S

1496509-78-4

**nexiguranum #**

nexiguran

single-stranded guide RNA (sgRNA) targeting the human transthyretin (TTR) gene with its 5'-terminal 20 nucleotides;





ninsipapogène sibarnarepvec      vecteur d'arénavirus atténué (virus de Pichindé [PICV]) recombinant, compétent à la réplication, comportant deux copies du petit segment génomique (S) (segment ARN S), l'une codant la glycoprotéine (GP) de la membrane virale et l'autre codant la protéine de nucléocapside (NP) virale, et les deux codant une protéine de fusion synthétique E7E6 du papillomavirus humain de type 16 (avec les mutations C24G, E26G et C91G dans E7, et C69G et C112G dans E6), et avec un segment du grand génome (L) de type sauvage (segment d'ARN L). L'expression de la protéine de fusion E7E6 est sous le contrôle du mécanisme d'expression virale.  
*thérapie génique à base de virus (antinéoplasique)*

ninsipapogén sibarnarepvec      Un vector de arenavirus (virus Pichindé [PICV]) recombinante, competente para replicación, atenuado, con dos copias del segmento genómico pequeño (segmento RNA S), una que codifica para la glicoproteína (GP) viral de membrana y otra que codifica para la proteína de la nucleocápsida (NP) viral, y ambas codifican para una proteína de fusión E7E6 sintética del virus del papiloma humano tipo 16 (con mutaciones de C24G, E26G y C91G en E7, y C69G y C112G en E6), y con un segmento genómico grande (segmento RNA L) de tipo silvestre. La expresión de la proteína de fusión E7E6 está bajo el control del mecanismo de expresión viral.  
*terapia génica basada en virus (antineoplásico)*

2640294-04-6

**nisevokitugum #**  
nisevokitug

immunoglobulin G2-lambda1, anti-[*Homo sapiens* TGFB1 (transforming growth factor beta-1) and TGFB2 (transforming growth factor beta-2)], monoclonal antibody;  
gamma2 heavy chain (1-447) [VH (*Homo sapiens* IGHV1-69\*01 (100%) -(IGHD) -IGHJ4\*01 (100%), CDR-IMGT [8.8.14] (26-33.51-58.97-110)) (1-121) - *Homo sapiens* IGHG2\*02 (100%) G2m23 (CH1 T92 (194) (122-219), hinge 1-12 (220-231), CH2 M45.1 (283) (232-340), CH3 (341-445), CHS (446-447)) (122-447)], (135-213')-disulfide with lambda1 light chain (1'-214') [V-LAMBDA (*Homo sapiens* IGLV3-21\*02 (87.5%) -IGLJ1\*01 (100%)) CDR-IMGT [6.3.11] (26-31.49-51.88-98)) (1'-108') -*Homo sapiens* IGLC1\*02 (100%) (109'-214')]; dimer (223-223":224-224":227-227":230-230")-tetrakisdisulfide, produced in Chinese hamster ovary (CHO) cells, derived from the cell line CHO-K1, glycoform alfa  
*immunostimulant, antineoplastic*

nisévokitug

immunoglobuline G2-lambda1, anti-[*Homo sapiens* TGFB1 (facteur de croissance transformant bêta-1) et TGFB2 (facteur de croissance transformant bêta-2, G-TsF)], anticorps monoclonal;

chaîne lourde gamma2 (1-447) [VH (*Homo sapiens* IGHV1-69\*01 (100%) -(IGHD) -IGHJ4\*01 (100%), CDR-IMGT [8.8.14] (26-33.51-58.97-110)) (1-121) -*Homo sapiens* IGHG2\*02 (100%) G2m23 (CH1 T92 (194) (122-219), charnière 1-12 (220-231), CH2 M45.1 (283) (232-340), CH3 (341-445), CHS (446-447)) (122-447)], (135-213')-disulfure avec la chaîne légère lambda1 (1'-214') [V-LAMBDA (*Homo sapiens* IGLV3-21\*02 (87.5%) -IGLJ1\*01 (100%) CDR-IMGT [6.3.11] (26-31.49-51.88-98)) (1'-108') -*Homo sapiens* IGLC1\*02 (100%) (109'-214')]; dimère (223-223':224-224':227-227':230-230')-tétrakisdisulfure, produit dans des cellules ovariennes de hamster chinois (CHO), dérivant de la lignée cellulaire CHO-K1, glycoforme alfa  
*immunostimulant, antinéoplasique*

nisevokitug

inmunoglobulina G2-lambda1, anti-[*Homo sapiens* TGFB1 (factor de crecimiento transformante beta-1) y TGFB2 (factor de crecimiento transformante beta-2, G-TsF)], anticuerpo monoclonal;

cadena pesada gamma2 (1-447) [VH (*Homo sapiens* IGHV1-69\*01 (100%) -(IGHD) -IGHJ4\*01 (100%), CDR-IMGT [8.8.14] (26-33.51-58.97-110)) (1-121) -*Homo sapiens* IGHG2\*02 (100%) G2m23 (CH1 T92 (194) (122-219), bisagra 1-12 (220-231), CH2 M45.1 (283) (232-340), CH3 (341-445), CHS (446-447)) (122-447)], (135-213')-disulfuro con la cadena ligera lambda1 (1'-214') [V-LAMBDA (*Homo sapiens* IGLV3-21\*02 (87.5%) -IGLJ1\*01 (100%) CDR-IMGT [6.3.11] (26-31.49-51.88-98)) (1'-108') -*Homo sapiens* IGLC1\*02 (100%) (109'-214')]; dímero (223-223':224-224':227-227':230-230')-tetraakisdisulfuro, producido en las células ováricas de hámster chino (CHO), línea celular derivada de CHO-K1, forma glicosilada alfa  
*inmunoestimulante, antineoplásico*

2649854-92-0

## Heavy chain / Chaîne lourde / Cadena pesada

QVQLVQSGAE VKKPGSSVKV SCKASGGTFS SYAISWVRQA PGQGLEWMGG 50  
 I I P I F G T A N Y A Q K F Q G R V T I T A D E S T S T A Y M E L S S L R S E D T A V Y Y C A R G L 100  
 W E V R A L P S V Y W G Q G T L V T V S S A S T K G P S V F P L A P C S R S T S E S T A A L G C L V 150  
 K D Y F P E P V T V S W N S G A L T S G V H T F P A V L Q S S G L Y S L S S V V T V T S S N F G T Q 200  
 T Y T C N V D H K P S N T K V D K T V E R K C C V E C P P C P A P P V A G P S V F L F P P K P K D T 250  
 L M I S R T P E V T C V V V D V S H E D P E V Q F N W Y V D G M E V H N A K T K P R E E Q F N S T F 300  
 R V V S V L T V V H Q D W L N G K E Y K C K V S N K G L E P A P I E K T I S K T K G Q P R E P Q V Y T 350  
 L P S R E E M T K N Q V S L T C L V K G F Y P S D I A V E W E S N G Q P E N N Y K T T P P M L D S 400  
 D G S F F L Y S K L T V D K S R W Q Q G N V F S C S V M H E A L H N H Y T Q K S L S L S P G K 447

## Light chain / Chaîne légère / Cadena ligera

S Y E L T Q P F S V S V A P G Q T A R I T C G A N D I G S K S V H W Y Q Q K A G Q A P V L V S E D 50  
 I I R P S G I F E R I S G S N S G N T A T L T I S R V E A G D E A D Y Y C Q W W D R D S D Q Y V F G 100  
 T G T K V T V L G Q P K A N P T V T L F P P S S E E L Q A N K A T L V C L I S D F Y P G A V T V A W 150  
 K A D G S F V K A G V E T T K P S K Q S N N K Y A A S S Y L S L T P E Q W K S H R S Y S C Q V T H E 200  
 G S T V E K T V A P T E C S 214

## Post-translational modifications

Disulfide bridges location / Position des ponts disulfure / Posiciones de los puentes disulfuro

Intra-H (C23-C104) 22-96 148-204 261-321 367-425

22'-96" 148"-204" 261"-321" 367"-425"

Intra-L (C23-C104) 22'-87" 136"-195"

22"-87" 136"-195"

Inter-H-L (CH1 10-CL 126) 135-213' 135"-213"

Inter-H-H (h 4, h 5, h 8, h 11) 223-223" 224-224" 227-227" 230-230"

N-terminal glutaminyl cyclization / Cyclisation du glutaminyle N-terminal / Ciclación del glutaminilo N-terminal

Q &gt; pyroglutamyl (pE, 5-oxoprolyl) / pyroglutamyle (pE, 5-oxopropyle) / piroglutamilo (pE, 5-oxoprolilo)

H VH Q1: 1, 1"

N-glycosylation sites / Sites de N-glycosylation / Posiciones de N-glicosilación

H CH2 N84.4: 297, 297"

Fucosylated complex bi-antennary CHO-type glycans / glycanes de type CHO bi-antennaires complexes fucosylés / glicanos de tipo CHO biantenaricos complejos fucosilados.

C-terminal lysine clipping / Coupeure de la lysine C-terminale / Recorte de lisina C-terminal

H CHS K2: 447, 447"

**nivasorexantum**

nivasorexant

(4<sup>3R</sup>)-6<sup>4</sup>-methyl-4(3,4)-morpholina-1,7(2)-  
di[1,2,3]triazola-2(1,3),6(1,2)-dibenzenaheptaphan-5-  
one  
*orexin receptor antagonist*

nivasorexant

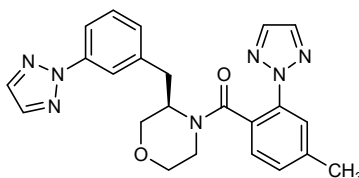
(4<sup>3R</sup>)-6<sup>4</sup>-méthyl-4(3,4)-morpholina-1,7(2)-  
di[1,2,3]triazola-2(1,3),6(1,2)-dibenzénaheptaphan-5-  
one  
*antagoniste du récepteur de l'orexine*

nivasorexant

(4<sup>3R</sup>)-6<sup>4</sup>-metil-4(3,4)-morfolina-1,7(2)-di[1,2,3]triazola-  
2(1,3),6(1,2)-dibencenaheptafan-5-ona  
*antagonista del receptor de la orexina*

C<sub>23</sub>H<sub>23</sub>N<sub>7</sub>O<sub>2</sub>

1435480-40-2

**ocifisertibum**

ocifisertib

(1*R*,2*S*)-2-{3-[(*E*)-2-(4-[(2*R*,6*S*)-2,6-  
dimethylmorpholin-4-yl]methyl)phenyl]ethen-1-yl]-1*H*-  
indazol-6-yl}-5'-methoxyspiro[cyclopropane-1,3'-indol]-  
2'(1'*H*)-one  
*serine/ threonine kinase inhibitor, antineoplastic*

ocifisertib

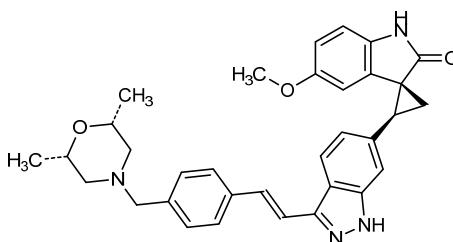
(1*R*,2*S*)-2-{3-[(*E*)-2-(4-[(2*R*,6*S*)-2,6-  
diméthylmorpholin-4-yl]méthyl)phényl]éthén-1-yl]-1*H*-  
indazol-6-yl}-5'-méthoxyspiro[cyclopropane-1,3'-indol]-  
2'(1'*H*)-one  
*inhibiteur de sérine/ thréonine kinase, antinéoplasique*

ocifisertib

(1*R*,2*S*)-2-{3-[(*E*)-2-(4-[(2*R*,6*S*)-2,6-dimethylmorpholin-4-  
il]metil)fenil]eten-1-il]-1*H*-indazol-6-il}-5'-  
metoxispiro[ciclopropano-1,3'-indol]-2'(1'*H*)-ona  
*inhibidor de serina/ treonina kinasa, antineoplásico*

C<sub>33</sub>H<sub>34</sub>N<sub>4</sub>O<sub>3</sub>

1338806-73-7



**odetiglucaum**

odetiglucaum

(1→3),(1→6)-β-D-glucan of the cell wall of a selected mutated strain of *Saccharomyces cerevisiae*, partially degraded by acid-catalysed hydrolysis to low molecular mass molecules consisting of a (1→3)-β-D-glucan principal chain (about 84 glucose units) and about four 6-O-linked (1→3)-β-D-glucan branches of about 4 glucose units each  
*immunostimulant*

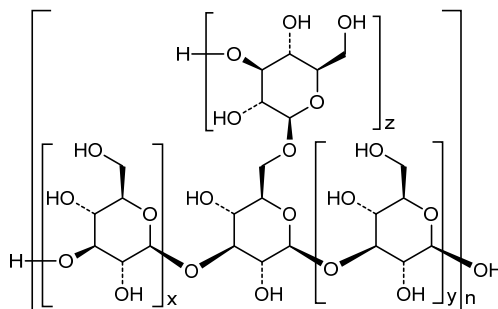
odétiglucaum

(1→3),(1→6)-β-D-glucane de la paroi cellulaire d'une souche mutée sélectionnée de *Saccharomyces cerevisiae*, partiellement dégradée par hydrolyse catalysée par un acide en molécules de faible masse moléculaire constituées d'une chaîne principale de (1→3)-β-D-glucane (environ 84 unités de glucose) et environ quatre branches de (1→3)-β-D-glucane (environ 4 unités de glucose chacune) liées aux positions 6-O  
*immunostimulant*

odetiglucono

(1→3),(1→6)-β-D-glucano de la pared celular de una cepa mutada seleccionada de *Saccharomyces cerevisiae*, parcialmente degradada por hidrólisis catalizada por ácido a moléculas de bajo peso molecular que consisten en cadena principal de (1→3)-β-D-glucano (aproximadamente 84 unidades de glucosa) y aproximadamente cuatro ramas de (1→3)-β-D-glucano (aproximadamente 4 unidades de glucosa cada una) unidas a posiciones 6-O  
*immunoestimulante*

(C<sub>6</sub>H<sub>10</sub>O<sub>5</sub>)<sub>n</sub>(H<sub>2</sub>O); n ≈ 100; M ≈ 16 kDa 53238-80-5



$x = y \sim 10; z \sim 4; n \sim 4; (x + y + z + 1) \times n \sim 100$

**omesdafexorum**

omesdafexor

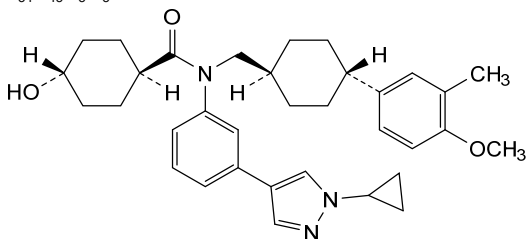
*trans*-N-[3-(1-cyclopropyl-1H-pyrazol-4-yl)phenyl]-4-hydroxy-N-[[*trans*-4-(4-methoxy-3-methylphenyl)cyclohexyl]methyl]cyclohexane-1-carboxamide  
*farnesoid X (FXR) receptor agonist*

omesdafexor  
*trans-N*-[3-(1-cyclopropyl-1*H*-pyrazol-4-yl)phényl]-4-hydroxy-*N*-[[*trans*-4-(4-méthoxy-3-méthylphényl)cyclohexyl]méthyl]cyclohexane-1-carboxamide  
 agoniste du récepteur farnésoïde X (FXR)

omesdafexor  
*trans-N*-[3-(1-ciclopropil-1*H*-pirazol-4-il)fenil]-4-hidroxi-*N*-[[*trans*-4-(3-metil-4-metoxifenil)ciclohexil]metil]ciclohexano-1-carboxamida  
 agonista del receptor de farnesoide X (FXR)

C<sub>34</sub>H<sub>43</sub>N<sub>3</sub>O<sub>3</sub>

2244440-85-3



**ompenaclidum**  
 ompenaclid

*N*-carbamimidoyl-β-alanine,  
 3-(carbamimidoylamino)propanoic acid  
*antineoplastique*

ompénaclid

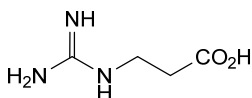
*N*-carbamimidoyl-β-alanine,  
 acide 3-(carbamimidoylamino)propanoïque  
*antineoplasique*

ompenaclid

*N*-carbamimidoil-β-alanina,  
 ácido 3-(carbamimidoilamino)propanoico  
*antineoplásico*

C<sub>4</sub>H<sub>9</sub>N<sub>3</sub>O<sub>2</sub>

353-09-3

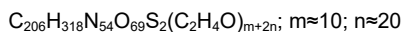


**pegozaferminum #**  
 pegozafermin

L-methionyl-human fibroblast growth factor 21 (FGF-21), variant (S<sup>172</sup>>T, R<sup>175</sup>>A), enzymatically glycosylated at T<sup>172</sup> with subsequent pegylation (20 kDa PEG) on the attached carbohydrate, produced in *Escherichia coli*;  
 L-methionyl-[S<sup>172</sup>>T, R<sup>175</sup>>A]-human fibroblast growth factor 21 (FGF-21), produced in *Escherichia coli*, O-glycosylated at threonine 172 with an *N*-(*N*-[[α-methylpoly(oxyethylene)-ω-oxy]carbonyl]glycyl)-α-neuraminylic acid-(2→6)-2-acetamido-2-deoxy-α-D-galactopyranosyl group  
*fibroblast growth factor*



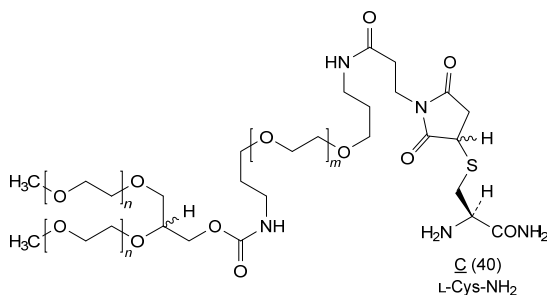
- L-histidylglycyl-L- $\alpha$ -glutamylglycyl-L-threonyl-L-phenylalanyl-L-threonyl-L-seryl-L- $\alpha$ -aspartyl-L-leucyl-L-seryl-L-lysyl-L-glutamyl-L-methionyl-L- $\alpha$ -glutamyl-L- $\alpha$ -glutamyl-L- $\alpha$ -glutamyl-L-alanyl-L-valyl-L-arginyl-L-leucyl-L-phenylalanyl-L-isoleucyl-L- $\alpha$ -glutamyl-L-tryptophyl-L-leucyl-L-lysyl-L-asparaginylglycylglycyl-L-prolyl-L-seryl-L-serylglycyl-L-alanyl-L-prolyl-L-prolyl-L-prolyl-L-seryl-S- $\{(3RS)\}$ -1-[3- $\{(3-[\alpha-3- $\{(2RS)\}$ -2,3-bis[ $\alpha$ -methylpoly(oxyethylene)- $\omega$ -oxy]propoxy)carbonyl)amino]propyl}poly(oxyethylene)- $\omega$ -oxy]propyl}amino)-3-oxopropyl]-2,5-dioxopyrrolidin-3-yl]-L-cysteinamide  
*glucagon-like peptide 1 (GLP-1) receptor agonist*$
- pegsébrénatide      exendin-4-oil-L-cystéinamide, conjuguée en Cys<sup>40</sup> via un lieu 1-O-(3-{O'-[3-(3-maléimidopropanamido)propil]polyéthylène glycol-O-yl}propylaminocarbonyl)glycérol avec deux chaînes de O-méthylpoly(éthylène glycol):  
L-histidylglycyl-L- $\alpha$ -glutamylglycyl-L-thréonyl-L-phénylalanyl-L-thréonyl-L-séryl-L- $\alpha$ -aspartyl-L-leucyl-L-séryl-L-lysyl-L-glutamyl-L-méthionyl-L- $\alpha$ -glutamyl-L- $\alpha$ -glutamyl-L- $\alpha$ -glutamyl-L-alanyl-L-valyl-L-arginyl-L-leucyl-L-phénylalanyl-L-isoleucyl-L- $\alpha$ -glutamyl-L-tryptophyl-L-leucyl-L-lysyl-L-asparaginylglycylglycyl-L-prolyl-L-séryl-L-sérylglycyl-L-alanyl-L-prolyl-L-prolyl-L-séryl-S- $\{(3RS)\}$ -1-[3- $\{(3-[\alpha-3- $\{(2RS)\}$ -2,3-bis[ $\alpha$ -méthylpoly(oxyéthylène)- $\omega$ -oxy]propoxy)carbonyl)amino]propyl}poly(oxyéthylène)- $\omega$ -oxy]propyl}amino)-3-oxopropyl]-2,5-dioxopyrrolidin-3-yl]-L-cystéinamide  
*agoniste du récepteur au peptide-1 d'action type glucagon (GLP-1)*$
- pegsebrenatida      exendin-4-oil-L-cisteinamida, conjugada en Cys<sup>40</sup> mediante un conector 1-O-(3-{O'-[3-(3-maleimidopropanamido)propil]polietilene glicol-O-yl}propilaminocarbonyl)glicerol con dos cadenas de O-metilpoli(etileno glicol):  
L-histidilglicil-L- $\alpha$ -glutamilglicil-L-treonil-L-fenilalanil-L-treonil-L-seril-L- $\alpha$ -aspartil-L-leucil-L-seril-L-lisil-L-glutamini-L-metionil-L- $\alpha$ -glutamil-L- $\alpha$ -glutamil-L- $\alpha$ -glutamil-L-alanil-L-valil-L-arginil-L-leucil-L-fenilalanil-L-isoleucil-L- $\alpha$ -glutamil-L-triptofil-L-leucil-L-lisil-L-asparaginilglicilglicil-L-prolil-L-seril-L-serilglicil-L-alanil-L-prolil-L-prolil-L-prolil-L-seril-S- $\{(3RS)\}$ -1-[3- $\{(3-[\alpha-3- $\{(2RS)\}$ -2,3-bis[ $\alpha$ -metilpoli(oxietileno)- $\omega$ -oxi]propoxi)carbonyl)amino]propil}poli(oxietileno)- $\omega$ -oxi]propil}amino)-3-oxopropil]-2,5-dioxopirrolidin-3-il]-L-cisteinamida  
*agonista del receptor del péptido similar al glucagón (GLP-1)*$



2243292-26-2

HGEGTFTSDL SKQMEEEA VR LFIEWLKN GG PSSGAPP PSC 40

Modified residues / Résidus modifiés / Restos modificados


 $m = 200 \sim 250, n = 450 \sim 520, \text{total polymer part} \approx (10 + 2 \times 20) \text{ kDa} = 50 \text{ kDa} (48 \sim 57 \text{ kDa})$

**pegarviliusum #**

pegarviliase

human cystathionine  $\gamma$ -lyase (CGL, cysteine-protein sulfhydrase,  $\gamma$ -cystathionase, CTH, EC:4.4.1.1) variant (E<sup>59</sup>>I, S<sup>63</sup>>L, L<sup>91</sup>>M, R<sup>119</sup>>D, K<sup>268</sup>>R, T<sup>311</sup>>G, E<sup>339</sup>>V, I<sup>353</sup>>S), conjugated at N<sup>2</sup> of M<sup>1</sup> and at the N<sup>6</sup> of K<sup>4</sup>, K<sup>73</sup>, K<sup>141</sup>, K<sup>178</sup>, K<sup>288</sup>, K<sup>330</sup> with [ $\alpha$ -methylpoly(oxyethylene)- $\omega$ -oxy]acetyl groups (~50% or >50% at each site, about 120 oxyethylene units per chain on average) (~50% or >50% per site, about 120 oxyethylene units per chain on average), tetramer, produced in *Escherichia coli*; [E<sup>59</sup>>I, S<sup>63</sup>>L, L<sup>91</sup>>M, R<sup>119</sup>>D, K<sup>268</sup>>R, T<sup>311</sup>>G, E<sup>339</sup>>V, I<sup>353</sup>>S]-human cystathionine  $\gamma$ -lyase (CGL, cysteine-protein sulfhydrase,  $\gamma$ -cystathionase, CTH, EC:4.4.1.1), non-covalent homotetramer, substituted at N<sup>2</sup> of Met 1 and N<sup>6</sup> of Lys 4, 73, 141, 178, 288, and 330 with [ $\alpha$ -methylpoly(oxyethylene)- $\omega$ -oxy]acetyl groups (~50% or >50% at each site, about 120 oxyethylene units per chain on average), produced in *Escherichia coli*  
enzyme replacement therapy (homocystinuria)

pegarviliase

variant de la cystathionine  $\gamma$ -lyase humaine (CGL, cystéine-protéine sulfhydrase,  $\gamma$ -cystathionase, CTH, EC:4.4.1.1) (E<sup>59</sup>>I, S<sup>63</sup>>L, L<sup>91</sup>>M, R<sup>119</sup>>D, K<sup>268</sup>>R, T<sup>311</sup>>G, E<sup>339</sup>>V, I<sup>353</sup>>S), conjugué au N<sup>2</sup> de M<sup>1</sup> et au N<sup>6</sup> de K<sup>4</sup>, K<sup>73</sup>, K<sup>141</sup>, K<sup>178</sup>, K<sup>288</sup>, K<sup>330</sup> par des groupes [ $\alpha$ -méthylpoly(oxyéthylène)- $\omega$ -oxy]acétyles (~50% ou >50% à chaque site, environ 120 motifs d'oxyéthylène par chaîne, en moyenne), tétramère, produit chez *Escherichia coli*; [E<sup>59</sup>>I, S<sup>63</sup>>L, L<sup>91</sup>>M, R<sup>119</sup>>D, K<sup>268</sup>>R, T<sup>311</sup>>G, E<sup>339</sup>>V, I<sup>353</sup>>S]-cystathionine  $\gamma$ -lyase humaine (CGL, cystéine-protéine sulfhydrase,  $\gamma$ -cystathionase, CTH, EC:4.4.1.1), homotétramère non-covalent, substitué à N<sup>2</sup> de Met1 et N<sup>6</sup> de Lys 4, 73, 141, 178, 288 et 330 par des groupes [ $\alpha$ -méthylpoly(oxyéthylène)- $\omega$ -oxy]acétyles (~50% ou >50% à chaque site, environ 120 motifs d'oxyéthylène par chaîne, en moyenne), produit chez *Escherichia coli*  
traitement enzymatique substitutif (homocystinurie)

pegarviliasa

cistationina humana  $\gamma$ -liasa (CGL, sulfhidrasa proteína cisteína,  $\gamma$ -cistationasa, CTH, EC:4.4.1.1) variante (E<sup>59</sup>>I, S<sup>63</sup>>L, L<sup>91</sup>>M, R<sup>119</sup>>D, K<sup>268</sup>>R, T<sup>311</sup>>G, E<sup>339</sup>>V, I<sup>353</sup>>S), conjugado en N<sup>2</sup> de M<sup>1</sup> y en el N<sup>6</sup> de K<sup>4</sup>, K<sup>73</sup>, K<sup>141</sup>, K<sup>178</sup>, K<sup>288</sup>, K<sup>330</sup> con grupos [ $\alpha$ -metilpoli(oxietileno)- $\omega$ -oxi]acetilo (~50% or >50% por sitio, sobre las 120 unidades de oxietileno por cadena en promedio), tetrámero, producido por *Escherichia coli*; [E<sup>59</sup>>I, S<sup>63</sup>>L, L<sup>91</sup>>M, R<sup>119</sup>>D, K<sup>268</sup>>R, T<sup>311</sup>>G, E<sup>339</sup>>V, I<sup>353</sup>>S]-cistationina  $\gamma$ -liasa humana (CGL, proteína cisteína sulfhidrasa,  $\gamma$ -cistationasa, CTH, EC:4.4.1.1), homotetramero no covalente, sustituido en N<sup>2</sup> de Met1 y N<sup>6</sup> de Lys 4, 73, 141, 178, 288 y 330 con grupos [ $\alpha$ -metilpoli(oxietileno)- $\omega$ -oxi]acetilo (~50% o >50% en cada sitio, aproximadamente 120 unidades de oxietileno por cadena en promedio), producido por *Escherichia coli*  
tratamiento enzimático de sustitución (homocistinuria)

2649372-23-4

## Sequence / Séquence / Secuencia

MQE<sup>F</sup>DASSQG FLPHFQHFAT QAIHVQGDPE QWTSRAVVPF ISLSTTFKQG 50  
 APGQHS<sup>G</sup>GF<sup>I</sup>Y SR<sup>L</sup>GNPTRNC LEKAVAALDG AKYCLAFASG MAATVTITHL 100  
 LKAGDQIICM DDVYGGT<sup>N</sup>DY FRQVASEFGL KISFVDCSKI KLEEAITPE 150  
 TKLVWIEPTPT NPTQKV<sup>I</sup>VDIE GCAHIVH<sup>K</sup>HG DII<sup>L</sup>VVDNTP MSPYFQPLA 200  
 LGADISMYSA TKYMN<sup>G</sup>HS<sup>D</sup>V VMGLV<sup>S</sup>VNCE SLHNRLRF<sup>L</sup>Q NSLGAVPSPI 250  
 DCYLCNRGLK TLHVRME<sup>R</sup>HF KNGMAVAQ<sup>L</sup>F ESNF<sup>W</sup>VE<sup>K</sup>VI YPGLFSPHQH 300  
 ELV<sup>K</sup>RQCTGC <sup>G</sup>GMVTFYIKG TLQ<sup>H</sup>AEI<sup>F</sup>LK NLK<sup>L</sup>FTL<sup>A</sup>V<sup>S</sup> LGGFESLAE<sup>L</sup> 350  
 P<sup>A</sup>S<sup>M</sup>THASVL K<sup>N</sup>DRD<sup>V</sup>LGIS D<sup>T</sup>LIRLSVGL EDEEDLLE<sup>D</sup>L DQALKA<sup>A</sup>HPP 400  
 S<sup>G</sup>SHS 405

## Mutation / Mutation / Mutación

E<sup>59</sup>>L, S<sup>63</sup>>L, L<sup>91</sup>>M, R<sup>119</sup>>D, K<sup>268</sup>>R, T<sup>311</sup>>G, E<sup>339</sup>>Y, I<sup>353</sup>>S

## Post-translational modifications

Disulfide bridge locations / Position des ponts disulfure / Posiciones de los puentes disulfuro  
none / aucune / ninguna

Glycosylation sites / Sites de glycosylation / Posiciones de glicosilación  
none / aucun / ninguna

## Cofactor binding site / Site de liaison de cofacteur / Sitio de unión de cofactor

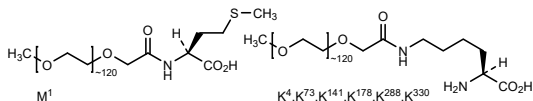
pyridoxal 5'-phosphate (PLP) bound to N<sup>6</sup> of K<sup>212</sup>

## Chemical modification / Modification chimique / Modificación química

-COCH<sub>2</sub>O[CH<sub>2</sub>CH<sub>2</sub>O]<sub>n</sub>CH<sub>3</sub> (n ~ 120)

at N<sup>2</sup> of M<sup>1</sup> and N<sup>6</sup> of K<sup>4</sup>, K<sup>73</sup>, K<sup>141</sup>, K<sup>178</sup>, K<sup>288</sup>, and K<sup>330</sup>

(~50% or >50% at each indicated site)



## pelecopanum

pelecopan

[2-({7-[2-(aminomethyl)-3-fluoropyridin-4-yl]-1-benzofuran-5-yl)methoxy}phenyl)acetic acid  
*complement factor D inhibitor*

pélécopan

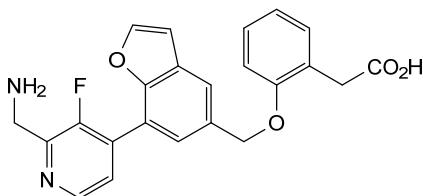
acide [2-({7-[2-(aminométhyl)-3-fluoropyridin-4-yl]-1-benzofuran-5-yl)méthoxy}phényl)acétique  
*inhibiteur du facteur D du complément*

pelecopán

ácido [2-({7-[2-(aminometil)-3-fluoropiridin-4-il]-1-benzofuran-5-il)metoxi}fenil)acético  
*inhibidor de factor D del complemento*

C<sub>23</sub>H<sub>19</sub>FN<sub>2</sub>O<sub>4</sub>

2378380-49-3



## perenostobartum #

perenostobart

immunoglobulin G4-kappa, anti-[ENTPD1 (ectonucleoside triphosphate diphosphohydrolase 1, NTPDase-1, ATPDase, SPG64, CD39)], *Homo sapiens* monoclonal antibody;

- gamma4 heavy chain *Homo sapiens* (1-448) [VH (*Homo sapiens* IGHV1-69\*01 (95.9%) -(IGHD) - IGHJ2\*01 (94.1%), CDR-IMGT [8.8.14] (26-33.51-58.97-110)) (1-121)-*Homo sapiens* IGHG4\*01, G4v5 h P10, nG4m(a) CH2 L92 (CH1 (122-219), hinge 1-12 S10>P (229) (220-231), CH2 L92 (310) (232-341), CH3 (342-446), CHS (447-448)) (122-448)], (135-214')-disulfide with kappa light chain *Homo sapiens* (1'-214') [V-KAPPA (*Homo sapiens* IGKV3-15\*01 (96.8%) -IGKJ4\*01 (100%), CDR-IMGT [6.3.9] (27-32.50-52.89-97)) (1'-107') -*Homo sapiens* IGKC\*01 (100%), Km3 A45.1 (153), V101 (191) (108'-214')]; dimer (227-227":230-230")-bisdisulfide, produced in Chinese hamster ovary (CHO) cells, cell line CHO-DG44, glycoform alfa  
*immunostimulant, antineoplastic*
- pérénostobart  
immunoglobuline G4-kappa, anti-[ENTPD1 (ectonucleoside triphosphate diphosphohydrolase 1, NTPDase-1, ATPDase, SPG64, CD39)], anticorps monoclonal *Homo sapiens*;  
chaîne lourde gamma4 *Homo sapiens* (1-448) [VH (*Homo sapiens* IGHV1-69\*01 (95.9%) -(IGHD) - IGHJ2\*01 (94.1%), CDR-IMGT [8.8.14] (26-33.51-58.97-110)) (1-121)-*Homo sapiens* IGHG4\*01, G4v5 h P10, nG4m(a) CH2 L92 (CH1 (122-219), charnière 1-12 S10>P (229) (220-231), CH2 L92 (310) (232-341), CH3 (342-446), CHS (447-448)) (122-448)], (135-214')-disulfure avec la chaîne légère kappa *Homo sapiens* (1'-214') [V-KAPPA (*Homo sapiens* IGKV3-15\*01 (96.8%) -IGKJ4\*01 (100%), CDR-IMGT [6.3.9] (27-32.50-52.89-97)) (1'-107') -*Homo sapiens* IGKC\*01 (100%), Km3 A45.1 (153), V101 (191) (108'-214')]; dimère (227-227":230-230")-bisdisulfure, produit dans des cellules ovariennes de hamster chinois (CHO), lignée cellulaire CHO-DG44, glycoforme alfa  
*immunostimulant, antinéoplasique*
- perenostobart  
immunoglobulina G4-kappa, anti-[ENTPD1 (ectonucleosido trifosfato difosfohidrolasa 1, NTPDase-1, ATPDase, SPG64, CD39)], anticuerpo monoclonal *Homo sapiens*;  
cadena pesada gamma4 *Homo sapiens* (1-448) [VH (*Homo sapiens* IGHV1-69\*01 (95.9%) -(IGHD) - IGHJ2\*01 (94.1%), CDR-IMGT [8.8.14] (26-33.51-58.97-110)) (1-121)-*Homo sapiens* IGHG4\*01, G4v5 h P10, nG4m(a) CH2 L92 (CH1 (122-219), bisagra 1-12 S10>P (229) (220-231), CH2 L92 (310) (232-341), CH3 (342-446), CHS (447-448)) (122-448)], (135-214')-disulfuro con la cadena ligera kappa *Homo sapiens* (1'-214') [V-KAPPA (*Homo sapiens* IGKV3-15\*01 (96.8%) -IGKJ4\*01 (100%), CDR-IMGT [6.3.9] (27-32.50-52.89-97)) (1'-107') -*Homo sapiens* IGKC\*01 (100%), Km3 A45.1 (153), V101 (191) (108'-214')]; dímero (227-227":230-230")-bisdisulfuro, producido en las células ováricas de hámster chino (CHO), línea celular CHO-DG44, forma glicosilada alfa  
*inmunostimulante, antineoplásico*

2643331-31-9

Heavy chain / Chaîne lourde / Cadena pesada  
 VQQLVQSGAE VKKPGSSVKV SCRASGGTFS SEGISMVVRQA PGQGLEWMGS 50  
 ILPIFGTANY AQKFGQGRVTI TADESTSTAY MELSSLRSED TAVYYCAREA 100  
 GYRYRYFDL WGRGTLVTVS SASTKGPSVF PLAPCSRSTS ESTAALGCLV 150  
 KDYFFPEPVTV SWNSGALTSG VHTFFAVLQS SGLYLSLSSVV TFPSSSLGTK 200  
 TYTCNVDHKP SNTKVDKRVV SKYGFPCCPC FAFEFLLGGPS VLFPPKPKKD 250  
 TLMISRTPEV TCVVVDVSQE DPEVFQNWIV DGEVHNNAKT KPREEQFNST 300  
 YRVVSVLTVL HQDWLNGKEY KCKVSNKGLP SSEIKTISKA KGQPREPQVY 350  
 TLPFSQEEMT KNQVSLTCLV KGFYPSDIAV EWESNGQPFEN NYKTTTPEVLD 400  
 SDGSFFLYSR LTVDKSRWQE GNVFSCSVMH EALHNNHYTK SLSLSLGLK 448

Light chain / Chaîne légère / Cadena ligera  
 EIVMTQSPAT LSVSPGERAT LSCRASQSVS SNLAWYQQPK GQAPRLLIYG 50  
 ASTRATGIPA RFGSGSGSTE FTLTISSLQS EDFAVYYCQQ HALWPLTFGG 100  
 GTRKVEIKRTV AAPSVFIFPP SDEQLKSGTA SVVCLLNIFY BREAKVQWKV 150  
 DNALQSGNSQ ESVTEQDSKD STYLSLSTLT LSKADYEHKK VYACEVTHQG 200  
 LSSFVTKSFN RGEC 214

**Post-translational modifications**  
 Disulfide bridges location / Position des ponts disulfure / Posiciones de los puentes disulfuro  
 Intra-H (C23-C104) 22-96 148-204 262-322 368-426  
 22"-96" 148"-204" 262"-322" 368"-426"  
 Intra-L (C23-C104) 23"-88" 134"-194"  
 23"-88"" 134""-194""  
 Inter-H-L (CH1 10-CL 126) 135-214" 135"-214"  
 Inter-H-H (h 8, h 11) 227-227" 230-230"

N-terminal glutaminyl cyclization / Cyclisation du glutaminyle N-terminal / Ciclación del glutamilo N-terminal  
 Q > pyroglutamyl (pE, 5-oxoprolyl) / pyroglutamyle (pE, 5-oxoprolyle) / piroglutamilo (pE, 5-oxoprolyle)  
 H VH Q1: 1, 1"

N-glycosylation sites / Sites de N-glycosylation / Posiciones de N-glicosilación  
 H CH2 N84.4: 298, 298"  
 Fucosylated complex bi-antennary CHO-type glycans / glycanes de type CHO bi-antennaires complexes fucosylés / glicanos de tipo CHO biantennarios complejos fucosilados.

C-terminal lysine clipping / Coupure de la lysine C-terminale / Recorte de lisina C-terminal  
 H CHS K2: 448, 448"

**pifusertibum**  
 pifusertib

(1*r*,3*r*)-3-amino-1-methyl-3-[4-(3-phenyl-5*H*-imidazo[1,2-*c*]pyrido[3,4-*e*][1,3]oxazin-2-yl)phenyl]cyclobutan-1-ol  
*serine/ threonine kinase inhibitor, antineoplastic*

pifusertib

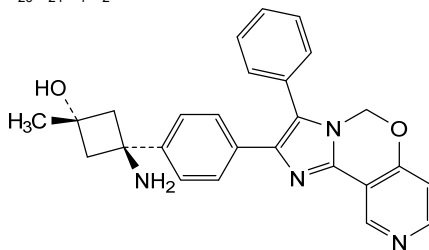
(1*r*,3*r*)-3-amino-1-méthyl-3-[4-(3-phényl-5*H*-imidazo[1,2-*c*]pyrido[3,4-*e*][1,3]oxazin-2-yl)phényl]cyclobutan-1-ol  
*inhibiteur de sérine/ thréonine kinase, antinéoplasique*

pifusertib

(1*r*,3*r*)-3-amino-3-[4-(3-fenil-5*H*-imidazo[1,2-*c*]pirido[3,4-*e*][1,3]oxazin-2-il)fenil]-1-metilciclobutan-1-ol  
*inhibidor de serina/ treonina kinasa, antineoplásico*

C<sub>26</sub>H<sub>24</sub>N<sub>4</sub>O<sub>2</sub>

1402602-94-1



**pimroctakinum (bovinum) #**  
pimroctakin (bovine)

bovine interleukin 8 (*Bos taurus*) (IL-8, C-X-C motif chemokine ligand 8) (1-79, 40-118 in the current sequence) fused with an N-terminal peptide (1-39) consisting of a fragment of the *Tumebacillus flagellates* EL26\_24220 protein (2-21) containing an hexahistidine tag (4-9) and a fragment of the *Virgibacillus pantothenicus* amine transaminase (21-39), produced in *Escherichia coli*;

interleukin 8 (*Bos taurus*, bovine) (IL-8, IL8, C-X-C motif chemokine 8, C-X-C motif chemokine ligand 8, CXCL8) (1-79, 40-118 in the actual sequence) fused with an N-terminal leader peptide (1-39) containing a hexahistidine tag (4-9) and consisting of the (2-21)-peptide of protein EL26\_24220 of *Tumebacillus flagellatus* (1-20) and the (2-20)-peptide of amine transaminase of *Virgibacillus pantothenicus* (21-39), produced in *Escherichia coli*  
*interleukin-8 analogue (veterinary use)*

pimroctakine (bovine)

interleukine bovine 8 (*Bos taurus*) (IL-8, ligand 8 de la chimiokine à motif C-X-C) (1-79, 40-118 dans la séquence actuelle) fusionnée avec un peptide N-terminal (1-39) consistant en un fragment de la protéine EL26\_24220 de *Tumebacillus flagellates* (2-21) contenant un marqueur hexahistidine (4-9) et un fragment de l'amine transaminase de *Virgibacillus pantothenicus* (21-39), produit chez *Escherichia coli*;

interleukine 8 (*Bos taurus*, bovine) (IL-8, IL8, chimiokine 8 à motif C-X-C, ligand 8 de la chimiokine à motif C-X-C, CXCL8) (1-79, 40-118 dans la séquence actuelle) fusionnée avec un peptide de tête en N-terminal (1-39) contenant un marqueur hexahistidine (4-9) et constitué du (2-21)-peptide de la protéine EL26\_24220 de *Tumebacillus flagellatus* (1-20) et du (2-20)-peptide de l'amine transaminase de *Virgibacillus pantothenicus* (21-39), produite chez *Escherichia coli*  
*analogue de l'interleukine 8 (usage vétérinaire)*

pimroctakina (bovina)

interleukina 8 bovina (*Bos taurus*) (IL-8, ligando 8 con quimiocina con motivo CXC) (1-79, 40-118 en la secuencia actual) fusionado con un péptido N-terminal (1-39) que consta de un fragmento del *Tumebacillus flagellates* EL26\_24220 proteína (2-21) que contiene una etiqueta de hexahistidina (4-9) y un fragmento de la amina transaminasa *Virgibacillus pantothenicus* (21-39), producido por *Escherichia coli*;

interleukina 8 (*Bos taurus*, bovina) (IL-8, IL8, quimiocina 8 con motivo CXC, ligando 8 con quimiocina con motivo CXC, CXCL8) (1-79, 40-118 en la secuencia real) fusionada con un péptido líder N-terminal (1-39) que contiene una etiqueta de hexahistidina (4-9) y que consta del péptido (2-21) de la proteína EL26\_24220 de *Tumebacillus flagellatus* (1-20) y el péptido (2-20) de la amina transaminasa de *Virgibacillus pantothenicus* (21-39), producida por *Escherichia coli*  
*análogo de la interleukina-8 (uso veterinario)*

2559453-71-1

## Sequence / Séquence / Secuencia

GS:SHHHHHS SGLVPRGSHM ASMTGGQMG RDLYDDDDKA VL SRMSTELR 50  
 CQCIKTHSTP FHPKFIKELR VIESGPHCEN SEIIVKLTNG NEVCLNPKK 100  
 WVQKVVQVFV KRAEKQDP 118

## Hexohistidine tag / marqueur hexahistidine / etiqueta de hexahistidina

**H<sup>1</sup>-H<sup>9</sup>**

## Post-translational modifications

Disulfide bridge locations / Position des ponts disulfure / Posiciones del puentes disulfuro  
51-78, 53-94Glycosylation sites / Sites de glycosylation / Posiciones de glicosilación  
none / aucun / ninguna**plogosertibum**

plogosertib

4-[(9'-cyclopentyl-5'-methyl-6'-oxo-5',6',8',9'-tetrahydrospiro[cyclopropane-1,7'-pyrimido[4,5-*b*][1,4]diazepin]-2'-yl)amino]-3-methoxy-*N*-[*trans*-4-(4-methylpiperazin-1-yl)cyclohexyl]benzamide  
*serine/threonine kinase inhibitor, antineoplastic*

plogosertib

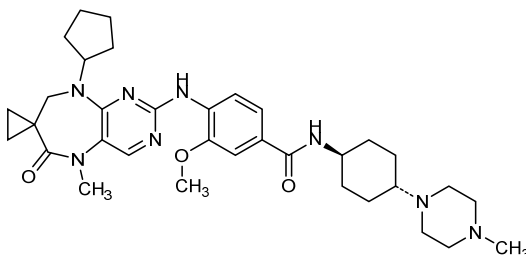
4-[(9'-cyclopentyl-5'-méthyl-6'-oxo-5',6',8',9'-tétrahydrospiro[cyclopropane-1,7'-pyrimido[4,5-*b*][1,4]diazépin]-2'-yl)amino]-3-méthoxy-*N*-[*trans*-4-(4-méthylpipérazin-1-yl)cyclohexyl]benzamide  
*inhibiteur de sérine/ thréonine kinase, antinéoplasique*

plogosertib

4-[(9'-ciclopentil-5'-metil-6'-oxo-5',6',8',9'-tetrahidrospiro[ciclopropano-1,7'-pirimido[4,5-*b*][1,4]diazepin]-2'-il)amino]-*N*-[*trans*-4-(4-metilpiperazin-1-il)ciclohexil]-3-metoxibenzamida  
*inhibidor de serina/ treonina kinasa, antineoplásico*

C<sub>34</sub>H<sub>48</sub>N<sub>8</sub>O<sub>3</sub>

1137212-79-3

**pociredirum**

pociredir

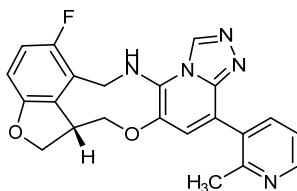
(7a*R*)-12-fluoro-4-(2-methylpyridin-3-yl)-7a,8,13,14-tetrahydro-7*H*-furo[4,3,2-*gh*][1,2,4]triazolo[4',3':1,6]pyrido[2,3-*c*][5,2]benzoxazone  
*embryonic ectoderm development (EED) protein inhibitor*

pocirédir (7aR)-12-fluoro-4-(2-méthylpyridin-3-yl)-7a,8,13,14-tétrahydro-7H-furo[4,3,2-gh][1,2,4]triazolo[4',3':1,6]pyrido[2,3-c][5,2]benzoxazonine  
inhibiteur de la protéine de développement de l'ectoderme embryonnaire (EED)

pociredir (7aR)-12-fluoro-4-(2-metilpiridin-3-il)-7a,8,13,14-tetrahydro-7H-furo[4,3,2-gh][1,2,4]triazolo[4',3':1,6]pirido[2,3-c][5,2]benzoxazonina  
inhibidor de la proteína embrionaria de desarrollo del ectodermo (EED)

C<sub>22</sub>H<sub>18</sub>FN<sub>5</sub>O<sub>2</sub>

2490674-02-5

**polzastobartum #**

polzastobart

immunoglobulin G4-kappa, anti-[*Homo sapiens* LILRB2 (leukocyte immunoglobulin like receptor B2, ILT4, LIR-2, MIR10, CD85d)], humanized monoclonal antibody; gamma4 heavy chain humanized (1-450) [VH humanized (*Homo sapiens* IGHV2-5\*01 (86,9%) -(IGHD) -IGHJ1\*01 (100%), CDR-IMGT [10.7.15] (26-35.53-59.98-112)) (1-123)-*Homo sapiens* IGHG4\*01, IGHG4v5 h P10, nG4m(a) CH2 L92 (CH1 (124-221), hinge 1-12 S10>P (231) (222-233), CH2 L92 (312) (234-343), CH3 (344-448), CHS (449-450)) (124-450)], (137-214')-disulfide with kappa light chain *Homo sapiens* (1'-214') [V-KAPPA *Homo sapiens* IGKV1-33\*01 (83.2%) -IGKJ2\*01 (100%), CDR-IMGT [6.3.9] (27-32.50-52.89-97)) (1'-107') -*Homo sapiens* IGKC\*01 (100%), Km3 A45.1 (153), V101 (191) (108'-214')]; dimer (229-229'':232-232'')-bisdisulfide, produced in Chinese hamster ovary (CHO) cells, glycoform alfa  
*immunostimulant, antineoplastic*

polzastobart

immunoglobuline G4-kappa, anti-[*Homo sapiens* LILRB22 (récepteur B2 de type immunoglobuline leucocytaire, ILT4, LIR-2, MIR10, CD85d)], anticorps monoclonal humanisé; chaîne lourde gamma4 humanisée (1-450) [VH humanisé (*Homo sapiens* IGHV2-5\*01 (86,9%) -(IGHD) -IGHJ1\*01 (100%), CDR-IMGT [10.7.15] (26-35.53-59.98-112)) (1-123)-*Homo sapiens* IGHG4\*01, IGHG4v5 h P10, nG4m(a) CH2 L92 (CH1 (124-221), charnière 1-12 S10>P (231) (222-233), CH2 L92 (312) (234-343), CH3 (344-448), CHS (449-450)) (124-450)], (137-214')-disulfure avec la chaîne légère kappa *Homo sapiens* (1'-214') [V-KAPPA *Homo sapiens* IGKV1-33\*01 (83,2%) -IGKJ2\*01 (100%), CDR-IMGT [6.3.9] (27-32.50-52.89-97)) (1'-107') -*Homo sapiens* IGKC\*01 (100%), Km3 A45.1 (153), V101 (191) (108'-214')]; dimère (229-229'':232-232'')-bisdisulfure, produit dans des cellules ovariennes de hamster chinois (CHO), glycoforme alfa  
*immunostimulant, antinéoplasique*

polzastobart

immunoglobulina G4-kappa, anti-[*Homo sapiens* LILRB22 (receptor B2 tipo inmunoglobulina de los leucocitos, ILT4, LIR-2, MIR10, CD85d)], anticuerpo monoclonal humanizado; cadena pesada gamma4 humanizada (1-450) [VH humanizado (*Homo sapiens* IGHV2-5\*01 (86.9%) - (IGHD) -IGHJ1\*01 (100%), CDR-IMGT [10.7.15] (26-35.53-59.98-112)) (1-123)-*Homo sapiens* IGHG4\*01, IGHG4v5 h P10, nG4m(a) CH2 L92 (CH1 (124-221), bisagra 1-12 S10>P (231) (222-233), CH2 L92 (312) (234-343), CH3 (344-448), CHS (449-450)) (124-450)], (137-214')-disulfuro con la cadena ligera kappa *Homo sapiens* (1'-214') [V-KAPPA *Homo sapiens* IGKV1-33\*01 (83.2%) -IGKJ2\*01 (100%), CDR-IMGT [6.3.9] (27-32.50-52.89-97)] (1'-107') -*Homo sapiens* IGKC\*01 (100%), Km3 A45.1 (153), V101 (191) (108'-214')]; dímero (229-229":232-232")-bisdisulfuro, producido en las células ováricas de hámster chino (CHO), forma glicosilada alfa *immunoestimulante, antineoplásico*

2640981-19-5

Heavy chain / Chaîne lourde / Cadena pesada

QITLKESGPT LVKPTQTLTL TCTFSGFSLN TYAMGVSWIR QPPGKALEWL 50  
 ASIWNWNGNKY NNPFLKSLRSLT VTKDTSKNQV VLTMTNMDPV DTATYYCAHS 100  
 RIIRFTDYVM DAWGQGLTIVT VSSASTKGPS VFPLAPCSRS TSESTAALGC 150  
 LVKDYFPEPVM TVSWNSGALT SGVHTFPAVL QSSGLYSLSS VVTVPSSSLG 200  
 TKTYTCNVDH KPSNTKVDKR VESKYGPPOPC PCPAPEFLGG PSVFLFPFKP 250  
 KDTLMLISRTP EVTCVVVDVS QEDPEVGFQNW YVDGVEVHNA KTKPREEQFN 300  
 STYRVVSVLT VHQDVLNKG EYKCKVSNKG LPSSIEKTIS KAKGQPREPQ 350  
 VYTLPPSQEE MTRNQVSLTLC LVKGFYPSDI AVEWESNGQP ENNYKTTTPV 400  
 LDSDSGFFLY SRLTVDKSRW QEGNVFSCSV MHEALHNHYT QKSLSLSLKG 450

Light chain / Chaîne légère / Cadena ligera

DIQMTQSPSS LSTSVGDRVT ITCRASEDIY NDLAWYQQKP GKAPKLLIYN 50  
 ANSLHTGVAS RFGSGSGSDT FTFTISSLQF EDVATYFCQQ YYDYPLTFGQ 100  
 GTKLEIKRTV AAPSVFIFPP SDEQLKSGTA SVVCLLNIFY PREAKVQMKV 150  
 DNALQSGNSQ ESVTEQDSKD STYLSLSLTIT LSKADYEKHK VYACEVTHQG 200  
 LSSPVTKSFN RGEK 214

Post-translational modifications

Disulfide bridges location / Position des ponts disulfure / Posiciones de los puentes disulfuro

Intra-H (C23-C104) 22-97 150-206 264-324 370-428  
 22"-97" 150"-206" 264"-324" 370"-428"  
 Intra-L (C23-C104) 23"-88" 134"-194"  
 23"-88" 134"-194"  
 Inter-H-L (CH1 10-CL 126) 137-214' 137"-214"  
 Inter-H-H (h 8, h 11) 229-229" 232-232"

N-terminal glutaminyl cyclization / Cyclisation du glutaminyle N-terminal / Ciclación del glutaminilo N-terminal

Q > pyroglutamyl (pE, 5-oxoprolyl) / pyroglutamyle (pE, 5-oxoprolyle) / piroglutamilo (pE, 5-oxoprolilo)  
 H VH Q1: 1, 1"

N-glycosylation sites / Sites de N-glycosylation / Posiciones de N-glicosilación

H CH2 N84.4: 300, 300"

Fucosylated complex bi-antennary CHO-type glycans / glycanes de type CHO bi-antennaires complexes fucosylés / glicanos de tipo CHO biantenarios complejos fucosilados.

C-terminal lysine clipping / Coupeure de la lysine C-terminale / Recorte de lisina C-terminal

H CHS K2: 450, 450"

**pomlucabtagenum autoleucelum #**  
 pomlucabtagene autoleucel

autologous T lymphocytes obtained from peripheral blood mononuclear cells by leukapheresis, transduced with a self-inactivating, non-replicating murine stem cell virus (MSCV) vector, encoding a chimeric antigen receptor (CAR) targeting human ganglioside GM2. The expressed CAR transgene comprises a leader sequence derived from a human immunoglobulin

heavy chain, a human GM2-specific single-chain variable fragment (scFv), a human CD8 transmembrane domain, CD28, 4-1BB and CD3 $\zeta$  intracellular signal motif. The vector genome also contains transgenes encoding human interleukin-7 (IL-7), human C-C motif chemokine 19 (CCL19) and herpes simplex virus-derived thymidine kinase transgene (HSV-tk), with each transgene separated by sequences encoding a foot and mouth disease 2A self-cleaving peptide. The construct is flanked by 5' and 3' long terminal repeats (LTRs) and expression is under the control of the 5' LTR promoter. The leukapheresis material is enriched for CD3 T lymphocytes by positive immunoselection, and cultured in bags coated with anti-CD3 and recombinant human fibronectin, in media containing interleukin 2 (IL-2). The activated cells are transduced with the vector before further culture expansion in growth media containing IL-2. The cell suspension consists of T lymphocytes (>80%), with greater than 5% of the T lymphocytes expressing the anti-GM2 transgene. The T lymphocytes secrete interferon gamma (IFN- $\gamma$ ) and also transgene-derived IL-7 and CCL19 following co-culture with GM2-expressing cells.

*cell-based gene therapy (antineoplastic)*

pomlucabtagène autoleucel

lymphocytes T autologues obtenus à partir de cellules mononucléaires de sang périphérique par leucaphérèse, transduits avec un vecteur du virus de cellules souches murines (MSCV) auto-inactivant et non répliquant, codant un récepteur antigénique chimérique (CAR) ciblant le ganglioside GM2 humain. Le transgène CAR exprimé comprend une séquence de tête, un fragment variable à chaîne unique (scFv) spécifique de GM2 humain, un domaine transmembranaire CD8 humain, un motif de signal intracellulaire CD28, 4-1BB et CD3 $\zeta$ . Le génome du vecteur contient également des transgènes codant l'interleukine-7 humaine (IL-7), la chimiokine 19 humaine à motif C-C (CCL19) et le transgène de la thymidine kinase dérivée du virus de l'herpès simplex (HSV-tk), chaque transgène étant séparé par des séquences codant un peptide auto-sécable de la fièvre aphteuse 2A. La construction est flanquée de longues répétitions terminales (LTR) en 5' et 3' et l'expression est sous le contrôle du promoteur LTR 5'.

Le matériel de leucaphérèse est enrichi en lymphocytes T CD3 par immunosélection positive, et des sacs de culture recouverts d'anti-CD3 et de fibronectine humaine recombinante, dans un milieu contenant de l'interleukine 2 (IL-2). Les cellules activées sont transduites avec le vecteur avant de poursuivre la culture et l'expansion dans un milieu de croissance contenant de l'IL-2. La suspension cellulaire est constituée de lymphocytes T (>80%), avec plus de 5% des lymphocytes T exprimant le transgène anti-GM2. Les lymphocytes T sécrètent de l'interféron gamma (IFN- $\gamma$ ) après une co-culture avec des cellules exprimant GM2, et sécrètent également de l'IL-7 et du CCL19 dérivés du transgène.

*thérapie génique à base de cellules (antinéoplasique)*

pomlucabtagén autoleucel

linfocitos T autólogos obtenidos de células mononucleares de sangre periférica mediante leucaféresis, transducidos con un vector de virus de células madre murino (MSCV) auto inactivante, no replicativo, que codifica para un receptor de antígenos quimérico (CAR) dirigido al gangliósido GM2 humano. El transgén CAR expresado contiene una secuencia líder, un fragmento variable de cadena sencilla (scFv) específico de GM2 humano, un dominio transmembrana de CD8 humano y un motivo de señalización intracelular CD28, 4-1BB y CD3 $\zeta$ . El genoma del vector también contiene transgenes que codifican para la interleuquina-7 (IL-7) humana, la quimioquina con motivo C-C 19 (CCL19) humana y el transgén de la timidina quinasa derivada del virus del herpes simplex (HSV-tk), con cada transgén separado por secuencias que codifican para un péptido de autoescisión 2A del virus de la fiebre aftosa. El constructo está flanqueado por repeticiones terminales largas (LTRs) en 5' y 3' y la expresión está bajo el control de un promotor LTR en 5'.

El material de leucoaféresis se enriquece para linfocitos T CD3 mediante inmunoselección positiva y se cultiva en bolsas forradas de anti-CD3 y fibronectina humana recombinante, en medio que contiene interleuquina 2 (IL-2). Las células activadas se transducen con el vector antes de ser cultivadas de nuevo y expandidas en medio de crecimiento que contiene IL-2. La suspensión celular consiste en linfocitos T (> 80%), con más del 5% de los linfocitos T que expresan el transgén anti-GM2. Los linfocitos T secretan interferón gamma (IFN- $\gamma$ ) tras el co-cultivo con células que expresan GM2, y también secretan IL-7 y CCL19 derivadas de los transgenes.

*terapia génica basada en células (antineoplásico)*

**porustobartum #**  
porustobart

immunoglobulin gamma1 VH-h-CH2-CH3 dimer, anti-[CTLA4 (cytotoxic T-lymphocyte-associated antigen 4, cytotoxic T-lymphocyte-associated protein 4, CTLA-4, CD152)], *Homo sapiens* heavy-chain only monoclonal antibody, bivalent; gamma1 VH-h-CH2-CH3 chain *Homo sapiens* (1-351) [VH (*Homo sapiens*IGHV3-53\*01 (94.8%) -(IGHD) -IGHJ3\*02 (93.3%), CDR-IMGT [8.7.13] (26-33.51-57.96-108)) (1-119)] - [h-CH2-CH3 (*Homo sapiens*IGHG1\*03 nG1m1, CH3 E12, M14, G1v7 CH2 D3, E117 (hinge 1-15 (120-134), CH2 S3>D (143), I117>E (236) (135-244), CH3 E12 (260), M14 (262) (245-349), CHS (350-351)) (120-351)], dimer(124-124":130-130":133-133")-trisulfide, produced in Chinese hamster ovary (CHO) cells, cell line CHO-K1, glycoform alfa

*immunostimulant, antineoplastic*

porustobart

immunoglobuline gamma1 VH-h-CH2-CH3 dimère, anti-CTLA4 [antigène 4 associé aux lymphocytes T cytotoxiques, protéine 4 associée aux lymphocytes T cytotoxiques, CTLA-4, CD152)], anticorps monoclonal *Homo sapiens* à chaîne lourde uniquement, bivalent;

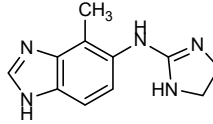
	<p>gamma1 VH-h-CH2-CH3 chaîne <i>Homo sapiens</i> (1-351) [VH <i>Homo sapiens</i> IGHV3-53*01 (94.8%) - (IGHD) -IGHJ3*02 (93.3%), CDR-IMGT [8.7.13] (26-33.51-57.96-108)] (1-119)] -[h-CH2-CH3 (<i>Homo sapiens</i> IGHG1*03 nG1m1, CH3 E12, M14, G1v7 CH2 D3, E117 (charnière 1-15 (120-134), CH2 S3&gt;D (143), I117&gt;E (236) (135-244), CH3 E12 (260), M14 (262) (245-349), CHS (350-351)) (120-351)], dimère (124-124":130-130":133-133")-trisdisulfure, produit dans des cellules ovariennes de hamster chinois (CHO), lignée cellulaire CHO-K1, glycoforme alfa <i>immunostimulant, antinéoplasique</i></p>
porustobart	<p>immunoglobulina gamma1 VH-h-CH2-CH3 dímero, anti-CTLA4 [antígeno 4 asociado a los linfocitos T citotóxicos, proteína 4 asociada a los linfocitos T citotóxicos, CTLA-4, CD152)], anticuerpo monoclonal <i>Homo sapiens</i> com cadena pesada únicamente, bivalente;</p> <p>gamma1 VH-h-CH2-CH3 cadena <i>Homo sapiens</i> (1-351) [VH <i>Homo sapiens</i> IGHV3-53*01 (94.8%) - (IGHD) -IGHJ3*02 (93.3%), CDR-IMGT [8.7.13] (26-33.51-57.96-108)] (1-119)] -[h-CH2-CH3 (<i>Homo sapiens</i> IGHG1*03 nG1m1, CH3 E12, M14, G1v7 CH2 D3, E117 (bisagra 1-15 (120-134), CH2 S3&gt;D (143), I117&gt;E (236) (135-244), CH3 E12 (260), M14 (262) (245-349), CHS (350-351)) (120-351)], dímero (124-124":130-130":133-133")-trisdisulfuro, producido en las células ováricas de hámster chino (CHO), línea celular CHO-K1, forma glicosilada alfa <i>immunoestimulante, antineoplásico</i></p>
	<p>2649372-91-6</p> <p>Heavy chain / Chaîne lourde / Cadena pesada</p> <pre> EVQLVESGGG LIQPGGSLRL SCAVSGFTVS KNYMSWVRQA PGKGLEWVSV 50 VYSGGSKTYA DSVKGRFTIS RDNSKNTLYL QMNSLRAEDT AVYVCARAVP 100 HSPSSFDIWG QGTMVTVSSE PKSCDKTHTC PPCPAPELLG GPDVFLFPPK 150 PKDTLMISRT PEVTCVVVDV SHEDPEVKFN WYVDGVEVHN AKTKPREEQY 200 NSTYRVVSVL TVLHQDMLNG KEYKCKVSNK ALPAPAEKTI SKAKGQPREP 250 QVYTLPPSRE EMTKNQVSLT CLVKGFPYPSD IAVENESNGQ PENNYKTTTP 300 VLDSDGSFFL YSKLTVDKSR WQQGNVFCSS VMHEALHNRHY TQKSLSLSPG 350 K </pre> <p><b>Post-translational modifications</b>  Disulfide bridges location / Position des ponts disulfure / Posiciones de los puentes disulfuro  Intra-V (C23-C104) 22-95  22"-95"  Intra-C (C23-C104) 165-225 271-329  165"-225" 271"-329"  Inter-H-H (h 5, h 11, h 14) 124-124" 130-130" 133-133"</p> <p>N-glycosylation sites / Sites de N-glycosylation / Posiciones de N-glicosilación  H CH2 N84.4: 201, 201"  Fucosylated complex bi-antennary CHO-type glycans / glycanes de type CHO bi-antennaires complexes fucosylés / glicanos de tipo CHO biantenaricos complejos fucosilados.</p> <p>C-terminal lysine clipping / Coupure de la lysine C-terminale / Recorte de lisina C-terminal  H CHS K2: 351, 351"</p>
<b>povafonidinum</b> povafonidine	<p><i>N</i>-(4,5-dihydro-1<i>H</i>-imidazol-2-yl)-4-methyl-1<i>H</i>-benzimidazol-5-amine <i>alpha</i>-2 adrenoreceptor agonist</p>
povafonidine	<p><i>N</i>-(4,5-dihydro-1<i>H</i>-imidazol-2-yl)-4-méthyl-1<i>H</i>-benzimidazol-5-amine <i>agoniste du récepteur alpha-2 adrénergique</i></p>

povafonidina

*N*-(4,5-dihydro-1*H*-imidazol-2-il)-4-metil-1*H*-benzimidazol-5-amina  
agonista del receptor alfa-2 adrenérgico

C<sub>11</sub>H<sub>13</sub>N<sub>5</sub>

177843-85-5



**povetaciceptum #**  
povetacicept

human TACI (transmembrane activator and CAML interactor, tumor necrosis factor receptor superfamily member 13B, CD267) receptor domain, fragment 68-110 (1-43 in the current sequence) variant (K<sup>77</sup>>E<sup>10</sup>, F<sup>78</sup>>Y<sup>11</sup>, Y<sup>102</sup>>D<sup>35</sup>), fused via the peptide linker <sup>44</sup>GSGGGGS<sup>50</sup> to a human immunoglobulin G1 C-terminal Fc fragment (51-281) variant (C<sup>55</sup>>S, L<sup>69</sup>>A, L<sup>70</sup>>E, G<sup>72</sup>>A, C-terminal K<sup>282</sup> deleted), disulfide bridged dimer, produced in Chinese hamster ovary (CHO) cells, cell line CHO-K1 GS<sup>-</sup>, glycoform alfa;

human TACI (transmembrane activator and CAML interactor, tumor necrosis factor receptor superfamily member 13B, TNFRSF13B, CD267) receptor domain 68-110 fragment (K<sup>77</sup>>E<sup>10</sup>, F<sup>78</sup>>Y<sup>11</sup>, Y<sup>102</sup>>D<sup>35</sup>)-mutant (1-43), fused via a GSG<sub>4</sub>S peptide linker (44-50) with 232 C-terminal residues of a mutated human immunoglobulin G1 gamma1 heavy chain (51-281) [*Homo sapiens*IGHG1\*01, hinge C<sup>55</sup>>S (51-65), CH2 L<sup>69</sup>>A, L<sup>70</sup>>E, G<sup>72</sup>>A (66-175), CH3 (176-280), CHS K<sup>282</sup>>del (281)], (61-61':64-64')-bisdisulfide dimer, produced in Chinese hamster ovary (CHO) cells, cell line CHO-K1 GS<sup>-</sup>, glycoform alfa

*anti-inflammatory*

povétacicept

domaine du récepteur TACI humain (activateur transmembranaire interagissant avec CAML, membre 13B de la superfamille des récepteurs du facteur de nécrose tumorale, CD267), fragment 68-110 (1-43 dans la séquence actuelle) variant (K<sup>77</sup>>E<sup>10</sup>, F<sup>78</sup>>Y<sup>11</sup>, Y<sup>102</sup>>D<sup>35</sup>), fusionné via la liaison peptidique <sup>44</sup>GSGGGGS<sup>50</sup> à un variant (51-281) du fragment FcC-terminal de l'immunoglobuline G1 humaine (C<sup>55</sup>>S, L<sup>69</sup>>A, L<sup>70</sup>>E, G<sup>72</sup>>A, C-terminal K<sup>282</sup> délétion), dimère à pont disulfure, produit dans des cellules ovariennes de hamster chinois (CHO), lignée cellulaire CHO-K1 GS<sup>-</sup>, glycoforme alfa; TACI humain (activateur transmembranaire et interagissant avec CAML, membre 13B de la superfamille de récepteurs de facteur de nécrose tumorale, TNFRSF13B, CD267), fragment 68-110 du récepteur du domaine, [K<sup>77</sup>>E<sup>10</sup>, F<sup>78</sup>>Y<sup>11</sup>, Y<sup>102</sup>>D<sup>35</sup>]-mutant (1-43), fusionné via une liaison peptidique GSG<sub>4</sub>S (44-50) avec 232 résidus C-terminaux d'une chaîne lourde gamma1 mutée de l'immunoglobuline G1 humaine (51-281) [*Homo sapiens*IGHG1\*01, charnière C<sup>55</sup>>S (51-65), CH2 L<sup>69</sup>>A, L<sup>70</sup>>E, G<sup>72</sup>>A (66-175), CH3 (176-280), CHS K<sup>282</sup>>del (281)], dimère (61-61':64-64')-bisdisulfure, produit dans des cellules ovariennes de hamster chinois (CHO), lignée cellulaire CHO-K1 GS<sup>-</sup>, glycoforme alfa

*anti-inflammatoire*

## povetacicept

TACI humano (activador transmembrane y que interacciona con CAML, miembro 13B de la superfamilia de receptores del factor de necrosis tumoral, CD267) dominio del receptor, fragmento 68-110 (1-43 en la secuencia actual) variante (K<sup>77</sup>>E<sup>10</sup>, F<sup>78</sup>>Y<sup>11</sup>, Y<sup>102</sup>>D<sup>35</sup>), fusionado a través del enlace peptídico <sup>44</sup>GSGGGGS<sup>50</sup> a la inmunoglobulina humana G1 C-terminal Fc fragmento (51-281) variante (C<sup>55</sup>>S, L<sup>69</sup>>A, L<sup>70</sup>>E, G<sup>72</sup>>A, C-terminal K<sup>282</sup> eliminada), dímero unido al disulfuro, producido en células ováricas de hámster Chino (CHO), línea celular CHO-K1 GS<sup>-</sup>, glicofoma alfa;

TACI humano (activador transmembrana y que interacciona con CAML, miembro 13B de la superfamilia de receptores del factor de necrosis tumoral, TNFRSF13B, CD267), fragmento 68-110 del dominio del receptor, [K<sup>77</sup>>E<sup>10</sup>, F<sup>78</sup>>Y<sup>11</sup>, Y<sup>102</sup>>D<sup>35</sup>]-mutante (1-43), fusionado a través de un enlace peptídico GSG<sub>4</sub>S (44-50) con 232 residuos C-terminales de una cadena pesada gamma1 mutada de inmunoglobulina G1 humana (51-281) [*Homo sapiens* IGHG1\*01, bisagra C<sup>55</sup>>S (51-65), CH2 L<sup>69</sup>>A, L<sup>70</sup>>E, G<sup>72</sup>>A (66-175), CH3 (176-280), CHS K<sup>282</sup>> del (281)], dímero (61-61':64-64')-bisdisulfuro, producido en células ováricas de hámster Chino (CHO), línea celular CHO-K1 GS<sup>-</sup>, glicofoma alfa *antiinflamatorio*

2490217-42-8

## Sequene / Séquence / Secuencia

SLSCRKEQCE YVDHLLRDCI SCASICGQHP KQCPDFCENK LRSGSGGGGS	50
EPKSSDKTHT GPCPCAPAEAE GAPSVFLFPP KKDPTLMISR TPEVTCVVVD	100
VSHDEPEVKF NWYVDGVEVH NAKTKPREEQ YNSTYRVVSV LTVLHQDWLN	150
GKEYKCKVSN KALPAPIEKT ISKAKGQPRE POVYTLPPSR DELTKNQVSL	200
TCLVKGFTYPS DIAVWESNG QPENNYKTPP PVLDSGDSFF LYSKLTVDKS	250
RWQQGNVFSV SVMHEALHNN YTKRSLSLSP G	281

## Mutation / Mutation / Mutación

K10, K10>E, F11, F11>Y, Y35>D, C55, C55>S, L69, L69>A, L70, L70>E, G72, G72>A, K282, K282>del

## Peptide linker / Peptide liant / Péptido de unión

44-50 GSGGGGS

## Post-translational modifications

Disulfide bridge locations / Position des ponts disulfure / Posiciones de los puentes disulfuro

Intra-chain 4-19, 22-33, 26-37, 96-156, 202-260,  
4'-19', 22'-33', 26'-37', 96'-156', 202'-260'

Inter-chain 61-61', 64-64'

N-glycosylation sites / Sites de N-glycosylation / Posiciones de N-glicosilación

H CH2 N84.4: N132, N132'

## pradusinstobartum #

## pradusinstobart

immunoglobulin G4-kappa, anti-[*Homo sapiens* PDCD1 (programmed cell death 1, PD1, PD-1, CD279)], humanized monoclonal antibody; gamma4 heavy chain humanized (1-448) [VH humanized (*Homo sapiens* IGHV2-5\*08 (89.0%) -(IGHD) -IGHJ5\*01 (86.7%), CDR-IMGT [10.7.13] (26-35.53-59.98-110)) (1-121)-*Homo sapiens* IGHG4\*01, IGHG4v5 h P10, nG4m(a) CH2 L92 (CH1 (122-219), hinge 1-12 S10>P (229) (220-231), CH2 L92 (310) (232-341), CH3 (342-446), CHS (447-448)) (122-448)], (135-213')-disulfide with kappa light chain *Homo sapiens* (1'-213') [V-KAPPA *Homo sapiens* IGKV1-16\*01 (86.2%) -IGKJ4\*01 (100%), CDR-IMGT [6.3.8] (27-32.50-52.89-96)) (1'-106') -*Homo sapiens* IGKC\*01 (100%), Km3A45.1 (152), V101 (190) (107'-213')]; dimer (227-227":230-230")-bisdisulfide, produced in Chinese hamster ovary (CHO) cells, derived from CHO-K1 cell line, lacking the glutamine synthetase (GS-KO) gene, glycoform alfa *immunostimulant, antineoplastic*

## pradusinstobart

immunoglobuline G4-kappa, anti-[*Homo sapiens* PDCD1 (protéine 1 de mort cellulaire programmée, PD-1, PD1, CD279)], anticorps monoclonal humanisé;

chaîne lourde gamma4 humanisée (1-448) [VH humanisé (*Homo sapiens* IGHV2-5\*08 (89.0%) -(IGHD)-IGHJ5\*01 (86.7%), CDR-IMGT [10.7.13] (26-35.53-59.98-110)) (1-121)-*Homo sapiens* IGHG4\*01, IGHG4v5 h P10, nG4m(a) CH2 L92 (CH1 (122-219), charnière 1-12 S10>P (229) (220-231), CH2 L92 (310) (232-341), CH3 (342-446), CHS (447-448)) (122-448)], (135-213')-disulfure avec la chaîne légère kappa *Homo sapiens* (1'-213') [V-KAPPA *Homo sapiens* IGKV1-16\*01 (86.2%) -IGKJ4\*01 (100%), CDR-IMGT [6.3.8] (27-32.50-52.89-96)) (1'-106') -*Homo sapiens* IGKC\*01 (100%), Km3 A45.1 (152), V101 (190) (107'-213')]; dimère (227-227":230-230")-bisdisulfure, produit dans des cellules ovariennes de hamster chinois (CHO), dérivant de la lignée cellulaire CHO-K1, ne présentant pas le gène de la glutamine synthétase (GS-KO), glycoforme alfa  
*immunostimulant, antinéoplasique*

pradusinstobart

inmunoglobulina G4-kappa, anti-[*Homo sapiens* PDCD1 (proteína 1 de muerte celular programada, PD-1, PD1, CD279)], anticuerpo monoclonal humanizado;

cadena pesada gamma4 humanizada (1-448) [VH humanizado (*Homo sapiens* IGHV2-5\*08 (89.0%) -(IGHD)-IGHJ5\*01 (86.7%), CDR-IMGT [10.7.13] (26-35.53-59.98-110)) (1-121)-*Homo sapiens* IGHG4\*01, IGHG4v5 h P10, nG4m(a) CH2 L92 (CH1 (122-219), bisagra 1-12 S10>P (229) (220-231), CH2 L92 (310) (232-341), CH3 (342-446), CHS (447-448)) (122-448)], (135-213')-disulfuro con la cadena ligera kappa *Homo sapiens* (1'-213') [V-KAPPA *Homo sapiens* IGKV1-16\*01 (86.2%) -IGKJ4\*01 (100%), CDR-IMGT [6.3.8] (27-32.50-52.89-96)) (1'-106') -*Homo sapiens* IGKC\*01 (100%), Km3 A45.1 (152), V101 (190) (107'-213')]; dímero (227-227":230-230")-bisdisulfuro, producido en las células ováricas de hámster chino (CHO), línea celular derivada de CHO-K1, en ausencia del gen glutamina sintetasa (GS-KO), forma glicosilada alfa  
*inmunoestimulante, antineoplásico*

2642171-66-0

## Heavy chain / Chaîne lourde / Cadena pesada

```

QVTLKESGPA LVKPTQTLTL TCTFSGFSLT TSGTCVSWIR QPPKALEWL 50
ATICNEDSKG YNPSLKSRLT ISKDTSKNQA VLTMTNDMPV DTAITYCARR 100
EDSGYVWFYV WQGGTLVTVS SASTKGPSVF PLAPCSRSTS ESTALGCLV 150
KDYFPEPVTV SWNSGALTSV VHTFFAVLQS SGLYLSLSSV TTPSSSLGK 200
TYTCNVDHKK SNTKVDKRVV SKYGGPPCPK PAPEFLGGPS VFLFPKPKD 250
TLMISRTPEV TCVVVDVSQE DPEVQFNMYV DGEVHNAKT KPREQFNST 300
YRVVSLTIVL HQDWLNGKEY KCKVSNKGLP SSIKTIKSA KGQFREPQVY 350
TLFPQSQEEM KNQVSLTCLV KGFYPSDIAP EWESNGQFEN NYKTFPFVLD 400
SDGSFFLYSR LTVDKSRWQE GNVFSCVMH EALHNHYTQK SLSLSLGK 448

```

## Light chain / Chaîne légère / Cadena ligera

```

NIQMTQSPSS LSASVGDRTV ITCRAGQNVN NYLAWYQQKPK GKAPKVLIFN 50
ANSLQGTGVP RFSGSGSGTD FTLTISSLQP EDFATYCYCQ YNSWTFGGG 100
TKVEIKRTVA APSVFIKPPS DEQLKSGTAS VVCLLNFFYP REAKVQWQVD 150
NALQSGNSQE SVTEQDSKDS TYLSLSTLTL SKADYEKHKV YACEVTHQGL 200
SSPVTKSFNR GEC 213

```

## Post-translational modifications

Disulfide bridges location / Position des ponts disulfure / Posiciones de los puentes disulfuro

Intra-H (C23-C104) 22-97 148-204 262-322 368-426  
 22"-97" 148"-204" 262"-322" 368"-426"  
 Intra-L (C23-C104) 23'-88" 133'-193"  
 23"'-88"' 133"'-193"  
 Inter-H-L (CH1 10-CL 126) 135-213" 135"-213"  
 Inter-H-H (h 8, h 11) 227-227" 230-230"

N-terminal glutaminyl cyclization / Cyclisation du glutaminyle N-terminal / Ciclación del glutaminilo N-terminal

Q > pyroglutamyl (pE, 5-oxopropyl) / pyroglutamyle (pE, 5-oxopropyle) / piroglutamilo (pE, 5-oxopropililo)  
 H VH Q1: 1, 1"

N-glycosylation sites / Sites de N-glycosylation / Posiciones de N-glicosilación

H CH2 N84.4:298, 298"

Fucosylated complex bi-antennary CHO-type glycans / glycanes de type CHO bi-antennaires complexes fucosylés / glicanos de tipo CHO biantennarios complejos fucosilados.

C-terminal lysine clipping / Coupure de la lysine C-terminale / Recorte de lisina C-terminal

H CHS K2: 448, 448"

**prafnosbartum #**

prafnosbart

immunoglobulin G1-kappa, anti-[*Homo sapiens* ACVR1 (activin A receptor type 1, ACVRLK2, ALK2, ACVR1A, SKR1)], humanized monoclonal antibody; gamma1 heavy chain humanized (1-451) [VH humanized (*Homo sapiens* IGHV3-21\*01 (88.7%) -(IGHD) -IGHJ4\*01 (93.3%), CDR-IMGT [8.8.14] (26-33.51-58.97-110))] (1-121) - *Homo sapiens* IGHG1\*03, G1m3, nG1m1, G1v14 CH2 A1.3, A1.2 (CH1 R120 (218) (122-219), hinge 1-15 (220-234), CH2 L1.3>A (238), L1.2>A (239) (235-344), CH3 E12 (360), M14 (362) (345-449), CHS (450-451))(122-451)], (224-214')-disulfide with kappa light chain humanized (1'-214') [V-KAPPA (*Homo sapiens* IGKV3-20\*01 (81.2%) -IGKJ2\*01 (91.7%), CDR-IMGT [5.3.10] (27-31.49-51.88-97))] (1'-107') -*Homo sapiens* IGKC\*01, Km3, T1.3>A (109), A45.1 (153), V101 (191) (108'-214')]; dimer (230-230":233-233")-bisdisulfide, produced in Chinese hamster ovary (CHO) cells, cell line CHO-S, glycoform alfa  
*treatment of bone metabolism disorders*

prafnosbart

immunoglobuline G1-kappa, anti-[*Homo sapiens* ACVR1 (récepteur de type 1 de l'activine A, ACVRLK2, ALK2, ACVR1A, SKR1)], anticorps monoclonal humanisé; chaîne lourde gamma1 humanisée (1-451) [VH humanisé (*Homo sapiens* IGHV3-21\*01 (88.7%) -(IGHD) -IGHJ4\*01 (93.3%), CDR-IMGT [8.8.14](26-33.51-58.97-110))] (1-121) - *Homo sapiens* IGHG1\*03, G1m3, nG1m1, G1v14 CH2 A1.3, A1.2 (CH1 R120 (218) (122-219), charnière 1-15 (220-234), CH2 L1.3>A (238), L1.2>A (239) (235-344), CH3 E12 (360), M14(362) (345-449), CHS (450-451)) (122-451)], (224-214')-disulfure avec la chaîne légère kappa humanisée (1'-214') [V-KAPPA (*Homo sapiens* IGKV3-20\*01 (81.2%) -IGKJ2\*01 (91.7%), CDR-IMGT [5.3.10](27-31.49-51.88-97))] (1'-107') - *Homo sapiens* IGKC\*01, Km3, T1.3>A (109), A45.1 (153), V101(191) (108'-214')]; dimère (230-230":233-233")-bisdisulfure, produit dans des cellules ovariennes de hamster chinois (CHO), lignée cellulaire CHO-S, glycoforme alfa  
*traitement des troubles du métabolisme osseux*

prafnosbart

inmunoglobulina G1-kappa, anti-[*Homo sapiens* ACVR1 (receptor de tipo 1 de la activina A, ACVRLK2, ALK2, ACVR1A, SKR1)], anticuerpo monoclonal humanizado; cadena pesada gamma1 humanizada (1-451) [VH humanizado (*Homo sapiens* IGHV3-21\*01 (88.7%) -(IGHD) -IGHJ4\*01 (93.3%), CDR-IMGT [8.8.14](26-33.51-58.97-110))] (1-121) -*Homo sapiens* IGHG1\*03, G1m3, nG1m1, G1v14 CH2 A1.3, A1.2 (CH1 R120 (218) (122-219), bisagra 1-15 (220-234), CH2 L1.3>A (238), L1.2>A (239) (235-344), CH3 E12 (360), M14(362) (345-449), CHS (450-451)) (122-451)], (224-214')-disulfuro con la cadena ligera kappa humanizada (1'-214') [V-KAPPA (*Homo sapiens* IGKV3-20\*01 (81.2%) -IGKJ2\*01 (91.7%), CDR-IMGT [5.3.10](27-31.49-51.88-97))] (1'-107') -*Homo sapiens* IGKC\*01, Km3, T1.3>A (109), A45.1 (153), V101(191) (108'-214')]; dímero (230-230":233-233")-bisdisulfuro, producido en las células ováricas de hámster chino (CHO), línea celular CHO-S, forma glicosilada alfa  
*tratamiento del trastorno del metabolismo óseo*

2566473-71-8

Heavy chain / Chaîne lourde / Cadena pesada  
 EVQLVESGGG LVQPGGSLRL SCAASGTFE NYGMKWRQA PGKGLEWVSS 50  
 ISRSSTYIY ADTVKGRFTI SRDINKNTLY LQMNSLRAD TAVYYCAAII 100  
 STPFYWFYDF WQQGTLVTVS SASTKGPSVF PLAPSKSSTS GGTAAALGCLV 150  
 KDYFPEPVTV SWNSGALTSQ VHTFFAVLQS SGLYSLSSVV TFPSSSLGTQ 200  
 TYICNVNHPK SNTKVDKRVK PKSCDKTHTC PPCAPEAAG GPSVFLFPPK 250  
 PKDTLMSRPT PEVTCVVVDV SHEDPEVKFN WYVDGVEVHN AKTKPREEQY 300  
 NSTYRVVSVL TVLHQDMLNG KEYCKKVSNNK ALPAFIEKTI SKARGQPREP 350  
 QVYTLFPSRE EMTKNQVSLT CLVKGYPFSD IAVEWESNGQ PENNYKTFPP 400  
 VLDSGSGFFL YSKLTVDKSR WQGNVFSQS VMHEALHNNY TQKSLSLSPG 450  
 K 451

Light chain / Chaîne légère / Cadena ligera  
 EIVLTQSPGT LSLSPGERAT LSCCLASSSVS YMTWYQQKPG QPRLWIYGT 50  
 SNLASGVFDR FSGSGSGTDF TLTISRLEPE DPAVYYCCLH TSYPYTFPGQ 100  
 GTKVETKRAV AAPSVPFIFPP SDEQLKSGTA SVVCLLNIFY PREAKVQWVKV 150  
 DNALQSGNSQ ESVTEQDSKD STYLSLSTLT LSKADYKHKH VYACEVTHQG 200  
 LSSFPVTKSFN RGEK 214

**Post-translational modifications**  
 Disulfide bridges location / Position des ponts disulfure / Posiciones de los puentes disulfuro  
 Intra-H (C23-C104) 22"-96 148"-204 265"-325 371"-429  
 22"-96" 148"-204" 265"-325" 371"-429"  
 Intra-L (C23-C104) 23"-87" 134"-194"  
 23"-87" 134"-194"  
 Inter-H-L (h5-CL126) 224"-214" 224"-214"  
 Inter-H-H (h 11, h 14) 230"-230" 233"-233"

N-glycosylation sites / Sites de N-glycosylation / Posiciones de N-glicosilación  
 HCH2 N84.4: 301, 301"  
 Fucosylated complex bi-antennary CHO-type glycans / glycanes de type CHO bi-antennaires complexes fucosylés / glicanos de tipo CHO biantennarios complejos fucosilados.

C-terminal lysine clipping / Coupure de la lysine C-terminale / Recorte de lisina C-terminal  
 HCHS K2: 451, 451"

**puliginuradum**  
 puliginurad

3-[4-(4-cyanophenyl)thieno[2,3-c]pyridin-2-yl]-2,2-dimethylpropanoic acid  
*urate transporter inhibitor*

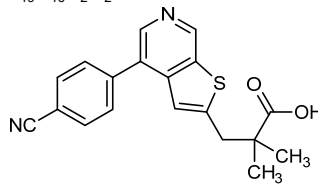
puliginurad

acide 3-[4-(4-cyanophényl)thiéno[2,3-c]pyridin-2-yl]-2,2-diméthylpropanoïque  
*inhibiteur du transporteur de l'urate*

puliginurad

ácido 3-[4-(4-cianofenil)tiemo[2,3-c]piridin-2-il]-2,2-dimetilpropanoico  
*inhibidor del transportador del urato*

C<sub>19</sub>H<sub>16</sub>N<sub>2</sub>O<sub>2</sub>S 2013582-27-7



**raludotatugum #**  
 raludotatug

immunoglobulin G1-kappa, anti-[*Homo sapiens* CDH6 (cadherin 6, K-cadherin (foetal kidney), cadherin 6 type 2)], humanized monoclonal antibody; gamma1 heavy chain humanized (1-452) [VH (*Homo sapiens* IGHV1-3\*01 (86.7%) -(IGHD) -IGHJ4\*01 (93.3%), CDR-IMGT [8.8.15] (26-33.51-58.97-111))(1-122) -*Homo sapiens* IGHG1\*03, G1m3, nG1m1 (CH1 R120 (219) (123-220), hinge 1-15 (221-235), CH2 (236-345), CH3 E12 (361), M14 (363) (346-450), CHS (451-452)) (123-452)], (225-213')-disulfide with kappa

light chain humanized (1'-213') [V-KAPPA (*Homo sapiens* IGKV1-39\*01 (86%) -IGKJ1\*01 (91.7%), CDR-IMGT [6.3.8] (27-32.50-52.89-96)) (1'-106') - *Homo sapiens* IGKC\*01 (100%), Km3 A45.1 (152), V101 (190) (107'-213')]; dimer (231-231": 234-234")-bisdisulfide, produced in Chinese hamster ovary (CHO) cells, glycoform alfa *antineoplastica*

raludotatug

immunoglobuline G1-kappa, anti-[*Homo sapiens* CDH6 (cadherine 6, K-cadhérine (rein foetal), cadherine 6 type 2)], anticorps monoclonal humanisé; chaîne lourde gamma1 humanisée (1-452) [VH (*Homo sapiens* IGHV1-3\*01 (86.7%) -(IGHD) -IGHJ4\*01 (93.3%), CDR-IMGT [8.8.15] (26-33.51-58.97-111)) (1-122) -*Homo sapiens* IGHG1\*01, G1m3, nG1m1 (CH1 R120 (219) (123-220), charnière 1-15 (221-235), CH2 (236-345), CH3 E12 (361), M14(363) (346-450), CHS (451-452)) (123-452)], (225-213')-disulfure avec la chaîne légère kappa humanisée (1'-213') [V-KAPPA (*Homo sapiens* IGKV1-39\*01 (86%) -IGKJ1\*01 (91.7%), CDR-IMGT [6.3.8] (27-32.50-52.89-96)) (1'-106') -*Homo sapiens* IGKC\*01 (100%), Km3 A45.1 (152), V101 (190) (107'-213')]; dimère (231-231": 234-234")-bisdisulfure, produit dans des cellules ovariennes de hamster chinois (CHO), glycoforme alfa *antineoplasique*

raludotatug

inmunoglobulina G1-kappa, anti-[*Homo sapiens* CDH6 (cadherina 6, K-cadherina (riñón fetal), cadherina 6 tipo 2)], anticuerpo monoclonal humanizado; cadena pesada gamma1 humanizada (1-452) [VH (*Homo sapiens* IGHV1-3\*01 (86.7%) -(IGHD) -IGHJ4\*01 (93.3%), CDR-IMGT [8.8.15] (26-33.51-58.97-111)) (1-122) -*Homo sapiens* IGHG1\*01, G1m3, nG1m1 (CH1 R120 (219) (123-220), bisagra 1-15 (221-235), CH2 (236-345), CH3 E12 (361), M14 (363) (346-450), CHS (451-452)) (123-452)], (225-213')-disulfuro con la cadena ligera kappa humanizada (1'-213') [V-KAPPA (*Homo sapiens* IGKV1-39\*01 (86%) -IGKJ1\*01 (91.7%), CDR-IMGT [6.3.8] (27-32.50-52.89-96)) (1'-106') -*Homo sapiens* IGKC\*01 (100%), Km3 A45.1 (152), V101 (190) (107'-213')]; dímero (231-231": 234-234")-bisdisulfuro, producido en las células ováricas de hámster chino (CHO), forma glicosilada alfa *antineoplásico*

2610074-56-9

## Heavy chain / Chaîne lourde / Cadena pesada

```

EVQLVQSGAE VKKPGASVKV SCKASGYTFT RNFMHWRQA PGQGLEWMGW 50
IYPGDGETEY AQPFGQGRVTI TADTSTSTAY MELSSLRSED TAVYYCARGV 100
YGGFAGGYFD FWQGTLTVT SSASTKGPSV FFLAPSSKST SGGTAALGCL 150
VKDYFPEPVT VSWNSGALTS GVHTFPAVLQ SGLYLSLSSV VTFVSSSLGT 200
QTYICNVNKH PSNTKVDKRV EPKSCDKTHT CPFCPAPELL GGPSVLEFPP 250
KPKDTLMISR TPEVTCVVVD VSHEDPEVKF NWYVDGVEVH NAKTKPREEQ 300
YNSTYRVVSV LTVLHQDWLN GKEYCKVSN KALPAPIEKT ISKAKGQPRE 350
PQVYTLPPSR EEMTKNQVSL TCLVKGFYPS DIAVEVESNG QPENNYKTFP 400
PVLDSGDSGFF LYSKLTVDKS RWQQGNVFSC SVMHEALHNNH YTKKLSLSLP 450
GK 452

```

## Light chain / Chaîne légère / Cadena ligera

```

DIQMTQSPSS LSASVGRVIT ITCKASQNIY KNLAWYQQKP GKAPKLLIYD 50
ANTLQGTQPS RFSGSGSGSD FTLTPISSLQP EDFATYFCQQ YYSGMVFGQG 100
TKVEIKRTVA APSVFIIPPS DEQLKSGTAS VVCLLNNFYP REAKVQWRKVD 150
NALQSGNSQE SVTEQDSKDS TYSLSSTLTL SKADYEKHKV YACEVTHQGL 200
SSPVTKSFNR GEC 213

```

## Post-translational modifications

Disulfide bridges location / Position des ponts disulfure / Posiciones de los puentes disulfuro

Intra-H (C23-C104) 22-96 149-205 266-326 372-430  
 22"-96" 149"-205" 266"-326" 372"-430"

Intra-L (C23-C104) 23-88 133-193"  
 23"-88" 133"-193"

Inter-H-L (h 5-CL 126) 225-213' 225"-213"

Inter-H-H (h 11, h 14) 231-231" 234-234"

N-glycosylation sites / Sites de N-glycosylation / Posiciones de N-glicosilación

H CH2 N84.4: 302, 302"

Fucosylated complex bi-antennary CHO-type glycans / glycanes de type CHO bi-antennaires complexes fucosylés / glicanos de tipo CHO biantennarios complejos fucosilados.

C-terminal lysine clipping / Coupeure de la lysine C-terminale / Recorte de lisina C-terminal

H CHS K2: 452, 452"

**raludotatugum deruxtecenum #**  
raludotatug deruxtecan

immunoglobulin G1-kappa, anti-[*Homo sapiens* CDH6 (cadherin 6, K-cadherin (foetal kidney), cadherin 6 type 2)], humanized monoclonal antibody conjugated to *deruxtecan*, comprising a linker and a camptothecin derivative;

gamma1 heavy chain humanized (1-452) [VH (*Homo sapiens* IGHV1-3\*01 (86.7%) -(IGHD) -IGHJ4\*01 (93.3%), CDR-IMGT [8.8.15] (26-33.51-58.97-111))(1-122) -*Homo sapiens* IGHG1\*03, G1m3, nG1m1 (CH1 R120 (219)(123-220), hinge 1-15 (221-235), CH2 (236-345), CH3 E12 (361), M14 (363) (346-450), CHS (451-452)) (123-452)], (225-213')-disulfide with kappa light chain humanized (1'-213') [V-KAPPA (*Homo sapiens* IGKV1-39\*01 (86%) -IGKJ1\*01 (91.7%), CDR-IMGT[6.3.8] (27-32.50-52.89-96)) (1'-106') -*Homo sapiens* IGKC\*01 (100%), Km3 A45.1 (152), V101 (190) (107'-213')]; dimer (231-231": 234-234")-bisdisulfide, produced in Chinese hamster ovary (CHO) cells, glycoform alfa; conjugated, on an average of 8 cysteinyl, to *deruxtecan*, comprising a linker and a camptothecin derivative

For the *deruxtecan* part, please refer to the proposed INN List 116, published in the *WHO Drug Information, Vol.30, No.4, 2016. antineoplastic*

## raludotatug déruxtécán

immunoglobuline G1-kappa, anti-[*Homo sapiens* CDH6 (cadhérine 6, K-cadhérine (rein foetal), cadhérine 6 type 2)], anticorps monoclonal humanisé conjugué au *déruxtécán*, comprenant un linker et un dérivé de la camptothécine;

chaîne lourde gamma1 humanisée (1-452) [VH (*Homo sapiens* IGHV1-3\*01 (86.7%) -(IGHD) -IGHJ4\*01 (93.3%), CDR-IMGT [8.8.15] (26-33.51-58.97-111)) (1-122) -*Homo sapiens* IGHG1\*01, G1m3, nG1m1 (CH1 R120 (219) (123-220), charnière 1-15 (221-235), CH2 (236-345), CH3 E12 (361), M14 (363) (346-450), CHS (451-452)) (123-452)], (225-213')-disulfure avec la chaîne légère kappa humanisée(1'-213') [V-KAPPA (*Homo sapiens* IGKV1-39\*01 (86%) -IGKJ1\*01 (91.7%), CDR-IMGT [6.3.8] (27-32.50-52.89-96)) (1'-106') -*Homo sapiens* IGKC\*01 (100%), Km3 A45.1 (152), V101 (190) (107'-213')]; dimère (231-231": 234-234")-bisdisulfure, produit dans des cellules ovariennes de hamster chinois (CHO), glycoforme alfa; conjugué, sur une moyenne de 8 cystéinyl, au *déruxtécán*, comprenant un linker et un dérivé de la camptothécine

Pour la partie *déruxtécán*, veuillez-vous référer à la Liste 116 des DCI proposées, publiée dans le *WHO Drug Information, Vol.30, No.4, 2016. antinéoplasique*

## raludotatug deruxtecán

immunoglobulina G1-kappa, anti-[*Homo sapiens* CDH6 (cadherina 6, K-cadherina (riñón fetal), cadherina 6 tipo 2)], anticuerpo monoclonal humanizado; conjugado con *deruxtecán*, que comprende un enlace y un derivado de la camptotecina;

cadena pesada gamma1 humanizada (1-452) [VH (*Homo sapiens* IGHV1-3\*01 (86.7%) -(IGHD) - IGHJ4\*01 (93.3%), CDR-IMGT [8.8.15] (26-33.51-58.97-111)) (1-122) -*Homo sapiens* IGHG1\*01, G1m3, nG1m1 (CH1 R120 (219) (123-220), bisagra 1-15 (221-235), CH2 (236-345), CH3 E12 (361), M14 (363) (346-450), CHS (451-452)) (123-452)], (225-213')-disulfuro con la cadena ligera kappa humanizada (1'-213') [V-KAPPA (*Homo sapiens* IGKV1-39\*01 (86%) - IGKJ1\*01 (91.7%), CDR-IMGT [6.3.8] (27-32.50-52.89-96)) (1'-106') -*Homo sapiens* IGKC\*01 (100%), Km3 A45.1 (152), V101 (190) (107'-213')]; dímero (231-231": 234-234")-bisdisulfuro, producido en las células ováricas de hámster chino (CHO), forma glicosilada alfa; conjugado, en 8 restos cisteinil por término medio, al deruxtecán, que consta de un enlace y un derivado de la camptotecina

Para la parte *deruxtecán*, por favor vaya a la Lista 116 de las DCI propuestas, publicadas en la *WHO Drug Information, Vol.30, No.4, 2016. antineoplásico*

2610074-57-0

## Heavy chain / Chaîne lourde / Cadena pesada

```
EVQLVQSGAE VKKPGASVKV SCKASGYTFT RNFMHWRQA PGQGLEWMGW 50
IYPGDGETEY AQRFGQGRVTI TADTSTSTAY MELSSLRSRD TAVYYCARGV 100
YGGFAGGYFD FWGQGLTLVT SSASTKGPSV FPLAPSSKST SGGTAALGCL 150
VKDYFFPEPVT VSWNSGALTS GVHTFFPAVLQ SSGLYSLSSV VTPVSSSLGT 200
QTYICNVNHK PSNTKVDKRV EPKSCDKTHT CPPEPAPELL GGPSVFLFPP 250
KPKDTLMISR TPEVTCVVVD VSHEDPEVKF NNYVDGVEVH NAKTKPREEQ 300
YNSTYRVVSV LTVLHQDWLNL GKEYKCKVSN KALPAPIEKT ISKAKGQPRE 350
PQVYTLPPSR EEMTKNQVSL TCLVKGFYPS DIAVEWESNG QPENNYKTTT 400
PVLDSGGSFF LYSKLTVDKRS RWQQGNVFSC SVMHEALHNNH YTKRSLSLSP 450
GK
```

## Light chain / Chaîne légère / Cadena ligera

```
DIQMTQSPSS LSASVGDRTV ITCKASQNIY KNLAWYQQKP GKAPKLLIYD 50
ANTLQTGVPS RFGSGSGSDS FTLTISLSLOP EDFATYFCQQ YSWGAFQGG 100
TKVEIKRTVA APSVFIPIPPS DEQLKSGTAS VVCLLNNFYP REAKVQWKVD 150
NALQSGNSQE SVTEQDSKDS TYSLSSTLTL SKADYEKHKV YACEVTHQGL 200
SSPVTKSFNR GEC
```

## Post-translational modifications

Disulfide bridges location / Position des ponts disulfure / Posiciones de los puentes disulfuro

Intra-H (C23-C104) 22°-96' 149°-205' 266°-326' 372°-430'  
 22°-96' 149°-205' 266°-326' 372°-430'  
 Intra-L (C23-C104) 23°-88' 133°-193'  
 23°-88' 133°-193'

Inter-H-L (h 5-CL 126)\* 225°-213' 225°-213'

Inter-H-H (h 11, h 14)\* 231°-231' 234°-234'

\*The four inter-chain disulfide bridges are not present, an average of 8 cysteinyl being conjugated each via a thioether bond to a drug linker.

\*Les quatre ponts disulfures inter-chaînes ne sont pas présents, 8 cystéinyl en moyenne étant chacun conjugué via une liaison thioéther à un linker-principe actif.

\*Faltan los cuatro puentes disulfuro inter-catenarios, una media de 8 cisteinil está conjugada a conectores de principio activo.

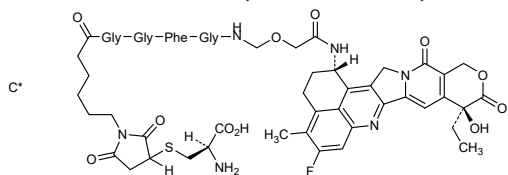
N-glycosylation sites / Sites de N-glycosylation / Posiciones de N-glicosilación

H CH2 N84.4: 302, 302"

Fucosylated complex bi-antennary CHO-type glycans / glycanes de type CHO bi-antennaires complexes fucosylés / glicanos de tipo CHO biantenarios complejos fucosilados.

C-terminal lysine clipping / Coupure de la lysine C-terminale / Recorte de lisina C-terminal  
 H CHS K2: 452, 452"

Potential modified residues / résidus modifiés potentiels / restos modificados potenciales



**ralzapastotugum #**  
ralzapastotug

immunoglobulin G1-kappa, anti-[*Homo sapiens* TIGIT (T-cell immunoreceptor with Ig domain and ITIM, V-set Ig member 9, VSIG9, V-set and transmembrane member 3, VSTM3)], humanized monoclonal antibody; gamma1 heavy chain humanized (1-451) [VH (*Homo sapiens* IGHV4-4\*10 (90.8%) - (IGHD) -IGHJ4\*01 (100%), CDR-IMGT [9.7.14] (26-34.52-58.97-110)) (1-121) -*Homo sapiens* IGHG1\*01, G1m17,1 (CH1 K120 (218) (122-219), hinge 1-15 (220-234), CH2 (235-344), CH3 D12 (360), L14 (362) (345-449), CHS (450-451)) (122-451)], (224-214')-disulfide with kappa light chain humanized (1'-214') [V-KAPPA (*Homo sapiens* IGKV3-15\*01 (86.5%) -IGKJ4\*01 (100%), CDR-IMGT [6.3.9] (27-32.50-52.89-97)) (1'-107') -*Homo sapiens* IGKC\*01 (100%), Km3 A45.1 (153), V101 (191) (108'-214')]; dimer (230-230": 233-233")-bisdisulfide, produced in Chinese hamster ovary (CHO) cells, cell line CHO-K1, glycoform alfa  
*immunostimulant, antineoplastic*

ralzapastotug

immunoglobuline G1-kappa, anti-[*Homo sapiens* TIGIT (immunorécepteur des lymphocytes T avec domaine Ig et ITIM, membre 9 de l'Ig V-set, VSIG9, membre 3 de l'Ig V-set et région transmembranaire, VSTM3)], anticorps monoclonal humanisé;  
chaîne lourde gamma1 humanisée (1-451) [VH (*Homo sapiens* IGHV4-4\*10 (90.8%) - (IGHD) - IGHJ4\*01 (100%), CDR-IMGT [9.7.14] (26-34.52-58.97-110)) (1-121) -*Homo sapiens* IGHG1\*01, G1m17,1 (CH1 K120 (218) (122-219), charnière 1-15 (220-234), CH2 (235-344), CH3 D12 (360), L14 (362) (345-449), CHS (450-451)) (122-451)], (224-214')-disulfure avec la chaîne légère kappa humanisée (1'-214') [V-KAPPA (*Homo sapiens* IGKV3-15\*01 (86.5%) -IGKJ4\*01 (100%), CDR-IMGT [6.3.9] (27-32.50-52.89-97)) (1'-107') - *Homo sapiens* IGKC\*01 (100%), Km3 A45.1 (153), V101 (191) (108'-214')]; dimère (230-230": 233-233")-bisdisulfure, produit dans des cellules ovariennes de hamster chinois (CHO), lignée cellulaire CHO-K1, glycoforme alfa  
*immunostimulant, antinéoplasique*

ralzapastotug

inmunoglobulina G1-kappa, anti-[*Homo sapiens* TIGIT (immunoreceptor de linfocitos T con dominio Ig e ITIM, miembro 9 de la Ig V-set, VSIG9, miembro 3 de la Ig V-set y región transmembranaria, VSTM3)], anticuerpo monoclonal humanizado;  
cadena pesada gamma1 humanizada (1-451) [VH (*Homo sapiens* IGHV4-4\*10 (90.8%) - (IGHD) - IGHJ4\*01 (100%), CDR-IMGT [9.7.14] (26-34.52-58.97-110)) (1-121) -*Homo sapiens* IGHG1\*01, G1m17,1 (CH1 K120 (218) (122-219), bisagra 1-15 (220-234), CH2 (235-344), CH3 D12 (360), L14 (362) (345-449), CHS (450-451)) (122-451)], (224-214')-disulfuro con la cadena ligera kappa humanizada (1'-214') [V-KAPPA (*Homo sapiens* IGKV3-15\*01 (86.5%) -IGKJ4\*01 (100%), CDR-IMGT [6.3.9] (27-32.50-52.89-97)) (1'-107') - *Homo sapiens* IGKC\*01 (100%), Km3 A45.1 (153), V101 (191) (108'-214')]; dímero (230-230": 233-233")-bisdisulfuro, producido en las células ováricas de hámster chino (CHO), línea celular CHO-K1, forma glicosilada alfa  
*inmunoestimulante, antineoplásico*

2581724-89-0

## Heavy chain / Chaîne lourde / Cadena pesada

QVQLQESGPG LVKPSGTLSL TCAVSGYSIT SGYSWHWVRQ PPGKLEWIG 50  
 VVHYSGSTNY NPSLRSRVTI SVDKSKNQFS LKLSSTVTAAD TAVYYCARM 100  
 YGNYGGAMDY WGGQTLVTVS SASTKGPSVF PLAPSSKSTS GGTAALGCLV 150  
 KDYFPEPVTV SWNSGALTSQ VHTFEAVLQS SGLYLSLSSV TVPSSSLGTQ 200  
 TYICNVNHKP SNTKVDRKVE PKSCDKTHTC PPCPAPELLG GPSVFLFPFK 250  
 PKDTLMSIRT PEVTCVVVDV SHEDPEVKFN WYVDGVEVHN AKTKPREEQY 300  
 NSTYRVVSVL TVLHQDWLNG KEYKCKVSNK ALPAPIEKTI SKARGQPREP 350  
 QVYTLFPPSRD ELTKNQVSLT CLVKGFYPSD IAVEWESNGQ PENNYKTTFP 400  
 VLDSGGSFFL YSKLTVDKSR WQQGNVFCSS VMHEALHNHY TQKSLSLSPG 450  
 K

## Light chain / Chaîne légère / Cadena ligera

EIVMTQSPAT LSVSPGERAT LSCAKSQDVR TAVAWYQQKQ GPAPRLLIYS 50  
 ASYRYTGIPA RFGSGSGSTE FTLTISLSLQ EDFAVYYCQQ YSTQWTFGG 100  
 GTKVEIKRTV AAPSVEIFPP SDEQLKSGTA SVVCLLNIFY PREAKVQMKV 150  
 DNALQSGNSQ ESVTEQDSKD STYLSLSTLT LSKADYEKHK VYACEVTHQG 200  
 LSSPVTKSFN RGECC

## Post-translational modifications

Disulfide bridges location / Position des ponts disulfure / Posiciones de los puentes disulfuro

Intra-H (C23-C104) 22-96 148-204 265-325 371-429  
 22"-96" 148"-204" 265"-325" 371"-429"

Intra-L (C23-C104) 23"-88" 134"-194"  
 23"-88" 134"-194"

Inter-H-L (h 5-CL 126) 224-214" 224"-214"

Inter-H-H (h 11, h 14) 230-230" 233-233"

N-terminal glutaminyl cyclization / Cyclisation du glutaminyle N-terminal / Ciclación del glutaminilo N-terminal

Q > pyroglutamyl (pE, 5-oxoprolyl) / pyroglutamyle (pE, 5-oxoprolyle) / piroglutamilo (pE, 5-oxoprolilo)  
 H VH Q1: 1, 1"

N-glycosylation sites / Sites de N-glycosylation / Posiciones de N-glicosilación

H CH2 N84.4: 301, 301"

Fucosylated complex bi-antennary CHO-type glycans / glycanes de type CHO bi-antennaires complexes fucosylés / glicanos de tipo CHO biantenaricos complejos fucosilados.

C-terminal lysine clipping / Coupure de la lysine C-terminale / Recorte de lisina C-terminal  
 H CHS K2: 451, 451"

**raxorulimogenum belzovacirepvecum #**  
 raxorulimogene belzovacirepvec

recombinant replication-competent oncolytic vaccinia virus (VACV; strain Copenhagen) encoding three codon-optimised transgenes: (i) anti-cytotoxic T-lymphocyte-associated protein 4 (CTLA-4) immunoglobulin G1  $\gamma$ 1-chain fused via a synthetic T2A peptide with human immunoglobulin kappa chain (anti-CTL4 antibody) under control of the VACV H5R promoter, (ii) human Fms-like receptor tyrosine kinase 3 ligand (FLT3L), isoform X7, under control of the VACV B19R promoter, and (iii) membrane bound human interleukin 12 subunit  $\alpha$  (IL-12A, p35) under control of a synthetic VACV late promoter (pLate). The virus carries major genomic deletions at the 5' end (CopMD5p) and 3' end (CopMD3p) of the genome with the anti-hCTLA-4 transgene inserted into the CopMD5p region. In addition, insertion of the FLT3L and IL-12p35 transgenes leads to disruption of the B8R locus.

*virus-based gene therapy (antineoplastic)*

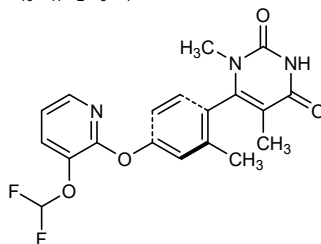
raxorulimogène belzovacirepvec

virus de la vaccine (VACV; souche Copenhague) oncolytique, recombinant et compétent à la réplication codant trois transgènes aux codons optimisés: (i) la chaîne  $\gamma$ 1 de l'immunoglobuline G1 anti-protéine 4 associée aux lymphocytes T cytotoxiques (CTLA-4) fusionnée via un peptide synthétique T2A avec la chaîne kappa de l'immunoglobuline humaine (anticorps anti-CTL4) sous le contrôle du promoteur H5R du VACV, (ii) le ligand du récepteur de la tyrosine kinase 3 humaine de type Fms (FLT3L), isoforme X7

- sous le contrôle du promoteur B19R du VACV, et (iii) la sous-unité  $\alpha$  de l'interleukine 12 humaine liée à la membrane (IL-12A, p35) sous le contrôle d'un promoteur synthétique tardif du VACV (pLate). Le virus porte des délétions génomiques majeures à l'extrémité 5' (CopMD5p) et à l'extrémité 3' (CopMD3p) du génome, le transgène anti-hCTLA-4 a été inséré dans la région CopMD5p. En outre, l'insertion des transgènes FLT3L et IL-12p35 entraîne la perturbation du locus B8R.  
*thérapie génique à base de virus (antineoplasique)*
- raxorulimogén belzovacirepvec virus vaccinia (VACV; cepa Copenhague) recombinante oncolytico, competente para la replicación que codifica tres transgenes con codones optimizados: (i) la cadena  $\gamma$ 1 de la inmunoglobulina G1 anti-proteína asociada a linfocitos T citotóxicos 4 (CTLA-4) fusionada a través de un péptido 2A sintético con la cadena kappa de la inmunoglobulina humana (anticuerpo anti-CTLA4) bajo el control del promotor VACV H5R, (ii) el ligando del receptor de tirosina quinasa 3 similar a Fms (FLT3L), isoforma X7 bajo el control del promotor VACV B19R y (iii) la subunidad  $\alpha$  de la interleuquina 12 (IL-12A, p35) humana unida a membrana bajo el control de un promotor sintético tardío (pLate) de VACV. El virus tiene grandes deleciones genómicas en los extremos 5' (CopMD5p) y 3' (CopMD3p) del genoma, con el transgén de anti-hCTLA-4 insertado en la región CopMD5p. Además, la inserción de los transgenes de FLT3L e IL-12p35 conduce a la rotura del locus B8R.  
*terapia génica basada en virus (antineoplásico)*
- 2648343-10-4
- razpipadonum**  
razpipadon (-)-(6*P*)-6-(4-[[3-(difluoromethoxy)pyridin-2-yl]oxy]-2-methylphenyl)-1,5-dimethylpyrimidine-2,4(1*H*,3*H*)-dione  
*dopamine receptor partial agonist*
- razpipadon (-)-(6*P*)-6-(4-[[3-(difluorométhoxy)pyridin-2-yl]oxy]-2-méthylphényl)-1,5-diméthylpyrimidine-2,4(1*H*,3*H*)-dione  
*agoniste partiel du récepteur dopaminergique*
- razpipadón (-)-(6*P*)-6-(4-[[3-(difluorometoxi)piridin-2-il]oxi]-2-metilfenil)-1,5-dimetilpirimidina-2,4(1*H*,3*H*)-diona  
*agonista parcial del receptor dopaminérgico*

C<sub>19</sub>H<sub>17</sub>F<sub>2</sub>N<sub>3</sub>O<sub>4</sub>

1643489-35-3



**resomelagonum**

resomelagon

(2E)-2-{{(2E)-3-[1-(2-nitrophenyl)-1H-pyrrol-2-yl]prop-2-en-1-ylidene}hydrazine-1-carboximidamide  
*melanocortin receptor agonist*

résomélagon

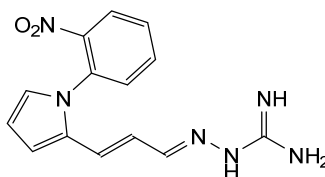
(2E)-2-{{(2E)-3-[1-(2-nitrophényl)-1H-pyrrol-2-yl]prop-2-én-1-ylidène}hydrazine-1-carboximidamide  
*agoniste du récepteur de la mélanocortine*

resomelagón

(2E)-2-{{(2E)-3-[1-(2-nitrofenil)-1H-pirrol-2-il]prop-2-en-1-ilideno}hidrazina-1-carboximidamida  
*agonista del receptor de melanocortina*

C<sub>14</sub>H<sub>14</sub>N<sub>6</sub>O<sub>2</sub>

1809420-71-0

**resugosbartum #**

resugosbart

immunoglobulin G4-kappa, anti-[*Homo sapiens* SOST (sclerostin)], monoclonal antibody;  
 gamma4 heavy chain (1-444) [VH (*Homo sapiens* IGHV1-18\*01 (79,6%) -(IGHD) -IGHJ4\*01 (93,3%), CDR-IMGT [8.8.10] (26-33.51-58.97-106)) (1-117)-*Homo sapiens* IGHG4\*01, IGHG4v5 h P10, nG4m(a) CH2 L92 (CH1 (118-215), hinge 1-12 S10>P (225) (216-227), CH2 L92 (306) (228-337), CH3 (338-442), CHS (443-444)) (118-444)], (131-214')-disulfide with kappa light chain (1'-214') [ V-KAPPA (*Mus musculus* IGKV6-32\*01 (81.9%) -IGKJ1\*01 (90,9%)/*Homo sapiens* IGKV1-39\*01 (81.1%) -IGKJ4\*01 (91,7%), CDR-IMGT [6.3.9] (27-32.50-52.89-97)) (1'-107') -*Homo sapiens* IGKC\*01 (100%), Km3 A45.1 (153), V101 (191) (108'-214')]; dimer (223-223':226-226'')-bisdisulfide, produced in Chinese hamster ovary (CHO) cells, cell line CHO-K1SV lacking the glutamine synthetase (GS-KO) gene, glycoform alfa  
*treatment of bone metabolism disorders*

résugosbart

immunoglobuline G4-kappa, anti-[*Homo sapiens* SOST (sclérostine)], anticorps monoclonal;  
 chaîne lourde gamma4 (1-444) [VH (*Homo sapiens* IGHV1-18\*01 (79,6%) -(IGHD) -IGHJ4\*01 (93,3%), CDR-IMGT [8.8.10] (26-33.51-58.97-106)) (1-117)-*Homo sapiens* IGHG4\*01, IGHG4v5 h P10, nG4m(a) CH2 L92 (CH1 (118-215), charnière 1-12 S10>P (225) (216-227), CH2 L92 (306) (228-337), CH3 (338-442), CHS (443-444)) (118-444)], (131-214')-disulfure avec

la chaîne légère kappa (1'-214') [V-KAPPA (*Mus musculus* IGKV6-32\*01 (81.9%) -IGKJ1\*01 (90.9%)/*Homo sapiens* IGKV1-39\*01 (81.1%) - IGKJ4\*01 (91,7%), CDR-IMGT [6.3.9] (27-32.50-52.89-97)) (1'-107') -*Homo sapiens* IGKC\*01 (100%), Km3 A45.1 (153), V101 (191) (108'-214')]; dimère (223-223":226-226")-bisdisulfure, produit dans des cellules ovariennes de hamster chinois (CHO), lignée cellulaire CHO-K1SV ne présentant pas le gène de la glutamine synthétase (GS-KO), glycoforme alfa *traitement des troubles du métabolisme osseux*

resugosbart

immunoglobulina G4-kappa, anti-[*Homo sapiens* SOST (esclerostina)], anticuerpo monoclonal; cadena pesada gamma4 (1-444) [VH (*Homo sapiens* IGHV1-18\*01 (79,6%) -(IGHD) -IGHJ4\*01 (93,3%), CDR-IMGT [8.8.10] (26-33.51-58.97-106)) (1-117)-*Homo sapiens* IGHG4\*01, IGHG4v5 h P10, nG4m(a) CH2 L92 (CH1 (118-215), bisagra 1-12 S10>P (225) (216-227), CH2 L92 (306) (228-337), CH3 (338-442), CHS (443-444)) (118-444)], (131-214')-disulfuro con la cadena ligera kappa (1'-214') [V-KAPPA (*Mus musculus* IGKV6-32\*01 (81.9%) -IGKJ1\*01 (90,9%)/*Homo sapiens* IGKV1-39\*01 (81.1%) - IGKJ4\*01 (91,7%), CDR-IMGT [6.3.9] (27-32.50-52.89-97)) (1'-107') -*Homo sapiens* IGKC\*01 (100%), Km3 A45.1 (153), V101 (191) (108'-214')]; dímero (223-223":226-226")-bisdisulfuro, producido en las células ováricas de hámster chino (CHO), línea celular CHO-K1SV en ausencia del gen glutamina sintetasa (GS-KO), forma glicosilada alfa *tratamiento de trastornos del metabolismo óseo*

2647412-09-5

Heavy chain / Chaîne lourde / Cadena pesada  
 EVQLVQSGAE VKKPGASVKV SKKASGYTF DYNLDWLRQA PEGGLEWIGD 50  
 IDPNDGDLIL NQKFRDRVTM TDTSTSTAY MELRSLRSDD TAVVYCARRW 100  
 AYYFDYWGQG TTVTSSAST KGPSVFLPAP CSRSTSESTA ALGCLVKDYF 150  
 PEPVTVSWSN GALTSGVHTF PAVLQSSGLY SLSSVTVVPS SSGTKTYTC 200  
 NVDHKPSNTR VDKRVESKYG PFCPCPFAPF FLGGPSVFLF PPKPKDTLMI 250  
 SRTFEVTCVV VDVSGEDFEV QFNWYVDGVE VHNAKTKPRE EQFNSTYRVV 300  
 SVLTVLHQDW LNGKEYKCKV SNKGLPSSIE KTIKSKARGQP REPQVITLFP 350  
 SQEEMTKNQV SLTCLVKGFI PSDIAVEWES NGQPENNYKT TTPVLDSDGS 400  
 FFLYSRLTVD KSRWQEGNVF SCSVMHEALH NHYTQKLSLSL SLGK 444

Light chain / Chaîne légère / Cadena ligera  
 DIVMTQSPSS LSASVGDRTV ITCKASQSVS NDVAWYQQKPK GKSPKLLIYY 50  
 TSNRFTGVPD RFGSGSGSDT FTLTISLQPF EDFATYFCQQ DYSSPVTFGG 100  
 GTKVEIKRTV AAPSVFIFPP SDEQLKSGTA SVVCLLNIFY PREAKVQWKV 150  
 DNALQSGNSQ ESVTEQDSKD STYLSSTLT LSKADYEKHK VYACEVTHQG 200  
 LSSPVTKSFN RGEK 214

**Post-translational modifications**

Disulfide bridges location / Position des ponts disulfure / Posiciones de los puentes disulfuro  
 Intra-H (C23-C104) 22-96 144-200 258-318 364-422  
 22"-96" 144"-200" 258"-318" 364"-422"

Intra-L (C23-C104) 23"-88" 134"-194"  
 23'''-88''' 134'''-194'''

Inter-H-L (CH1 10-CL 126) 131-214' 131"-214"  
 Inter-H-H (h 8, h 11) 223-223" 226-226"

N-glycosylation sites / Sites de N-glycosylation / Posiciones de N-glicosilación  
 H CH2 N84.4: 294, 294"

Fucosylated complex bi-antennary CHO-type glycans / glycanes de type CHO bi-antennaires complexes fucosylés / glicanos de tipo CHO biantennarios complejos fucosilados.

C-terminal lysine clipping / Coupure de la lysine C-terminale / Recorte de lisina C-terminal  
 H CHS K2: 444, 444"

**rezpegaldesleukinum #**  
rezpegaldesleukin

human interleukin-2 (IL-2, IL2, T-cell growth factor, TCGF), variant (Ala<sup>1</sup> deleted, Cys<sup>125</sup>>Ser), conjugated at N<sup>6</sup> of 2-3 lysine residues (on average) with 4-[(1,3-bis[α-methylpoly(oxyethylene)-ω-carbamoyl]oxy)propan-2-yl]oxy]butanoyl groups, produced in *Escherichia coli*; human interleukin-2 (IL-2, IL2, T-cell growth factor, TCGF), variant (Ala<sup>1</sup>>del, Cys<sup>125</sup>>Ser), non-glycosylated, produced in *Escherichia coli*, substituted at N<sup>6</sup> of 2-3 lysine residues on average with 4-[(1,3-bis[α-methylpoly(oxyethylene)-ω-carbamoyl]oxy)propan-2-yl]oxy]butanoyl groups  
*interleukin-2 analogue*

rezpégaldesleukine

interleukine-2 humaine (IL-2, IL2, facteur de croissance des lymphocytes T, TCGF), variant (Ala<sup>1</sup> supprimé, Cys<sup>125</sup>>Ser), conjuguée en N<sup>6</sup> de 2-3 résidus lysine (en moyenne) avec des groupes 4-[(1,3-bis[α-méthylpoly(oxyéthylène)-ω-carbamoyl]oxy)propan-2-yl]oxy]butanoyle, produite chez *Escherichia coli*; interleukine-2 humaine (IL-2, IL2, facteur de croissance des lymphocytes T, TCGF), variant (Ala<sup>1</sup>>del, Cys<sup>125</sup>>Ser), non glycosylée, produit chez *Escherichia coli*, substituée en N<sup>6</sup> de 2-3 résidus lysine en moyenne par des groupes 4-[(1,3-bis[α-méthylpoly(oxyéthylène)-ω-carbamoyl]oxy)propan-2-yl]oxy]butanoyle  
*analogue de l'interleukine 2*

rezpegaldesleukina

interleukina 2 humana (IL-2, IL2, factor de crecimiento de células T, TCGF), variante (Ala<sup>1</sup> eliminada, Cys<sup>125</sup>>Ser), conjugada en N<sup>6</sup> de 2-3 residuos de lisina (de promedio) con grupos 4-[(1,3-bis[α-metilpoli(oxietileno)-ω-carbamoi]oxi}propan-2-il]oxi]butanoil, producidos por *Escherichia coli*; interleukina-2 humana (IL-2, IL2, factor de crecimiento de células T, TCGF), variante (Ala<sup>1</sup>>del, Cys<sup>125</sup>>Ser), no glicosilado, producida por *Escherichia coli*, sustituida en N<sup>6</sup> de 2-3 residuos de lisina en promedio con grupos 4-[(1,3-bis[α-metilpoli(oxietilen)-ω-carbamoi]oxi}propan-2-il]oxi]butanoilo  
*análogo de la interleukina-2*

2641686-76-0

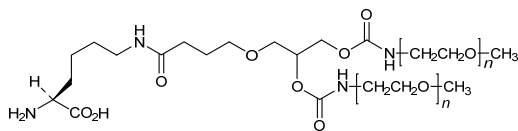
Sequence (132 residues) / Séquence (132 résidus) / Secuencia (132 restos)  
-PTSSSTKKT QLQLEHLLLD LQMILNGINN YKNPKLTRML TFKFYMPKKA 50  
TELKHLQCLE EELKPLEEVL NLAQSKNFHL RPRDLIGNIN VIVLELKGSE 100  
TTFMCEYADE TATIVEFLNR WITFSQSIIS TLT 133

Mutation / Mutation / Mutación  
A1>del, C125>S

Post-translational modifications  
Disulfide bridge locations / Position des ponts disulfure / Posiciones del puentes disulfuro  
58-105

Glycosylation sites / Sites de glycosylation / Posiciones de glicosilación  
none / aucune / ninguna

Pegylated residues / Résidus pégylés / Restos pegilados  
K<sup>6</sup>, K<sup>9</sup>, K<sup>32</sup>, K<sup>76</sup> (two-three residues substituted))



**rifaquizinum**

rifaquizinone

1-cyclopropyl-7-fluoro-9-methyl-8-[(3*R*)-3-{1-[methyl(1-  
{(E)-[(rifamycin-3-yl)methylidene]amino}piperidin-4-  
yl)amino]cyclopropyl}pyrrolidin-1-yl]-4-oxo-4*H*-  
quinolizine-3-carboxylic acid;

8-[(3*R*)-3-{1-[(E)-  
{[(1<sup>2</sup>S,3*E*,5*S*,6*R*,7*S*,8*R*,9*R*,10*R*,11*S*,12*S*,13*E*,15*Z*)-7-  
(acetyloxy)-1<sup>5</sup>,1<sup>6</sup>,1<sup>9</sup>,9,11-pentahydroxy-5-methoxy-  
1<sup>2</sup>,1<sup>4</sup>,6,8,10,12,16-heptamethyl-1<sup>1</sup>,17-dioxo-1<sup>1</sup>,1<sup>2</sup>-  
dihydro-2-oxa-18-aza-1(2,7)-(naphtho[2,1-  
*b*]furana)cyclooctadecaphane-3,13,15-trien-1<sup>8</sup>-  
yl]methylidene}amino]piperidin-4-  
yl}(methyl)amino]cyclopropyl}pyrrolidin-1-yl]-1-  
cyclopropyl-7-fluoro-9-methyl-4-oxo-4*H*-quinolizine-3-  
carboxylic acid

*antibacterial*

rifaquizinone

acide 1-cyclopropyl-7-fluoro-9-méthyl-8-[(3*R*)-3-{1-  
[méthyl(1-[(E)-[(rifamycin-3-  
yl)méthylidène]amino]pipéridin-4-  
yl)amino]cyclopropyl}pyrrolidin-1-yl]-4-oxo-4*H*-  
quinolizine-3-carboxylique;

acide 8-[(3*R*)-3-{1-[(E)-  
{[(1<sup>2</sup>S,3*E*,5*S*,6*R*,7*S*,8*R*,9*R*,10*R*,11*S*,12*S*,13*E*,15*Z*)-7-  
(acétyloxy)-1<sup>5</sup>,1<sup>6</sup>,1<sup>9</sup>,9,11-pentahydroxy-5-méthoxy-  
1<sup>2</sup>,1<sup>4</sup>,6,8,10,12,16-heptaméthyl-1<sup>1</sup>,17-dioxo-1<sup>1</sup>,1<sup>2</sup>-  
dihydro-2-oxa-18-aza-1(2,7)-(naphtho[2,1-  
*b*]furana)cyclooctadécaphane-3,13,15-trién-1<sup>8</sup>-  
yl]méthylidène}amino]pipéridin-4-  
yl}(méthyl)amino]cyclopropyl}pyrrolidin-1-yl]-1-  
cyclopropyl-7-fluoro-9-méthyl-4-oxo-4*H*-quinolizine-3-  
carboxylique

*antibactérien*

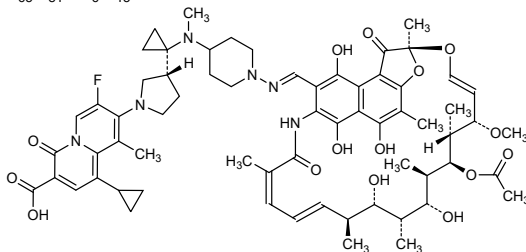
rifaquizinona

ácido 1-ciclopropil-7-fluoro-9-metil-8-[(3*R*)-3-{1-  
[metil(1-[(E)-[(rifamicin-3-il)metilideno]amino]piperidin-  
4-il)amino]ciclopropil}pirrolidin-1-il]-4-oxo-4*H*-  
quinolizina-3-carboxílico;

ácido 8-[(3*R*)-3-{1-[(E)-  
{[(1<sup>2</sup>S,3*E*,5*S*,6*R*,7*S*,8*R*,9*R*,10*R*,11*S*,12*S*,13*E*,15*Z*)-7-  
(acetiloxi)-1<sup>5</sup>,1<sup>6</sup>,1<sup>9</sup>,9,11-pentahidroxi-  
1<sup>2</sup>,1<sup>4</sup>,6,8,10,12,16-heptametil-5-metoxi-1<sup>1</sup>,17-dioxo-  
1<sup>1</sup>,1<sup>2</sup>-dihidro-2-oxa-18-aza-1(2,7)-(naphtho[2,1-  
*b*]furana)ciclooctadecafano-3,13,15-trien-1<sup>8</sup>-  
il]metilideno}amino]piperidin-4-  
il}(metil)amino]ciclopropil}pirrolidin-1-il]-1-ciclopropil-7-  
fluoro-9-metil-4-oxo-4*H*-quinolizina-3-carboxílico

*antibacteriano*C<sub>65</sub>H<sub>81</sub>FN<sub>6</sub>O<sub>15</sub>

922717-97-3



**rifasutenizolum**

rifasutenizol

1-[2-(2-methyl-5-nitro-1*H*-imidazol-1-yl)ethyl]-O<sup>1'</sup>,N<sup>1''</sup>-didehydro-3"*H*-spiro[piperidine-4,2"-rifamycin XII]; (1<sup>9</sup>S,4Z,6E,8S,9S,10R,11R,12R,13S,14R,15S,16E)-1<sup>6</sup>,9,11-trihydroxy-15-methoxy-1<sup>7</sup>,1<sup>9</sup>,4,8,10,12,14-heptamethyl-1'-[2-(2-methyl-5-nitro-1*H*-imidazol-1-yl)ethyl]-1<sup>5</sup>,1<sup>10</sup>,3-trioxo-1<sup>3</sup>,1<sup>5</sup>,1<sup>9</sup>,1<sup>10</sup>-tetrahydrospiro[18-oxa-2-aza-1(4,9)-(furo[2',3':7,8]naphtho[1,2-*d*]imidazola)cyclooctadecaphane-1<sup>2</sup>,4'-piperidine]-4,6,16-trien-13-yl acetate  
*antibacterial*

rifasuténizol

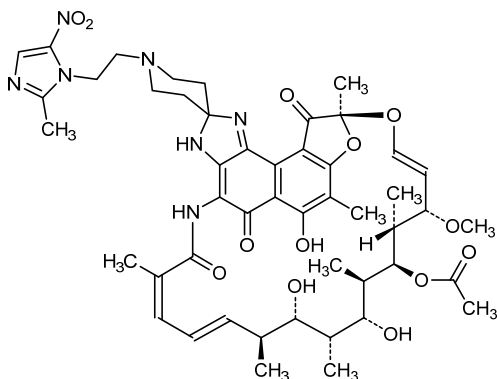
1-[2-(2-méthyl-5-nitro-1*H*-imidazol-1-yl)éthyl]-O<sup>1'</sup>,N<sup>1''</sup>-didésydro-3"*H*-spiro[pipéridine-4,2"-rifamycine XII]; acétate de (1<sup>9</sup>S,4Z,6E,8S,9S,10R,11R,12R,13S,14R,15S,16E)-1<sup>6</sup>,9,11-trihydroxy-15-méthoxy-1<sup>7</sup>,1<sup>9</sup>,4,8,10,12,14-heptaméthyl-1'-[2-(2-méthyl-5-nitro-1*H*-imidazol-1-yl)éthyl]-1<sup>5</sup>,1<sup>10</sup>,3-trioxo-1<sup>3</sup>,1<sup>5</sup>,1<sup>9</sup>,1<sup>10</sup>-tétrahydrospiro[18-oxa-2-aza-1(4,9)-(furo[2',3':7,8]naphtho[1,2-*d*]imidazola)cyclooctadécaphane-1<sup>2</sup>,4'-pipéridine]-4,6,16-trién-13-yle  
*antibactérien*

rifasutenizol

1-[2-(2-metil-5-nitro-1*H*-imidazol-1-il)etil]-O<sup>1'</sup>,N<sup>1''</sup>-dideshidro-3"*H*-spiro[piperidina-4,2"-rifamicina XII]; acetato de (1<sup>9</sup>S,4Z,6E,8S,9S,10R,11R,12R,13S,14R,15S,16E)-1<sup>6</sup>,9,11-trihidroxi-1<sup>7</sup>,1<sup>9</sup>,4,8,10,12,14-heptametil-1'-[2-(2-metil-5-nitro-1*H*-imidazol-1-il)etil]-15-metoksi-1<sup>5</sup>,1<sup>10</sup>,3-trioxo-1<sup>3</sup>,1<sup>5</sup>,1<sup>9</sup>,1<sup>10</sup>-tetrahidrospiro[18-oxa-2-aza-1(4,9)-(furo[2',3':7,8]nafto[1,2-*d*]imidazola)ciclooctadecafano-1<sup>2</sup>,4'-piperidina]-4,6,16-trien-13-ilo  
*antibacteriano*

C<sub>48</sub>H<sub>61</sub>N<sub>7</sub>O<sub>13</sub>

1001314-13-1



**rilparencelum**  
rilparencel

autologous renal epithelial cells derived from renal cortical tissue via kidney biopsy. The cells are dissociated from the kidney biopsy using enzymatic digestion and then cultured in medium supplemented with several growth factors and cytokines, including epidermal growth factor (EGF), hepatocyte growth factor (HGF) and insulin. Prior to harvesting, cells are placed under hypoxic conditions (2% oxygen). Density gradient is used to select the desired renal cell population. The final cell population expresses epithelial cell markers cytokeratin 18 (CK18, >80%), gamma glutamyl transferase 1 (GGT1, >18%) and contains a low percentage of other renal cell types (aquaporin 2 (AQP2), ≤28%). There are few or no endothelial cell present (lack of CD146 expression). The cells secrete vascular endothelial growth factor (VEGF), and demonstrate γ-glutamyl transpeptidase (GGT) and leucine aminopeptidase (LAP) enzymatic activity.  
*cell therapy (renal tissue regeneration)*

rilparencel

cellules épithéliales rénales autologues dérivées de tissu cortical rénal par biopsie rénale. Les cellules sont dissociées de la biopsie rénale par digestion enzymatique, puis cultivées dans un milieu complétement avec plusieurs facteurs de croissance et de cytokines, dont le facteur de croissance épidermique (EGF), le facteur de croissance hépatocytaire (HGF) et l'insuline. Avant d'être récoltées, les cellules sont placées sous condition hypoxique (2% d'oxygène). Un gradient de densité est utilisé pour sélectionner la population de cellules rénales souhaitée. La population cellulaire finale exprime les marqueurs de cellules épithéliales cytotératine 18 (CK18, >80%), gamma glutamyl transférase 1 (GGT1, >18%) et contient un faible pourcentage d'autres types de cellules rénales (aquaporine 2 (AQP2), ≤28%). Les cellules endothéliales sont peu ou pas présentes (absence d'expression de CD146). Les cellules sécrètent le facteur de croissance endothélial vasculaire (VEGF), et présentent une activité enzymatique γ-glutamyl transpeptidase (GGT) et leucine aminopeptidase (LAP).  
*thérapie cellulaire (régénération du tissu rénal)*

rilparencel

células epiteliales renales autólogas derivadas de tejido cortical renal mediante biopsia de riñón. Las células se disocian de la biopsia de riñón usando digestión enzimática y después se cultivan en medio suplementado con varios factores de crecimiento- y citoquinas, incluyendo factor de crecimiento epidérmico (EGF), factor de crecimiento de hepatocitos (HGF) e insulina. Antes de cosecharlas, las células se colocan en condiciones de hipoxia (2% de oxígeno). Se utiliza un gradiente de densidad para seleccionar la población de células renales deseada. La población final de células expresa los marcadores de células epiteliales citoqueratina 18 (CK18, >80%), gamma glutamil transferasa 1 (GGT1, >18%) y contiene un bajo porcentaje de otros tipos de células renales (acuaporina 2 (AQP2), ≤28%). Hay pocas o ninguna célula endotelial presente (ausencia de expresión de CD146). Las células secretan factor de crecimiento del endotelio vascular (VEGF) y demuestran actividad enzimática γ-glutamyl transpeptidasa (GGT) y leucina aminopeptidasa (LAP).  
*terapia celular (regeneración del tejido renal)*

**riltovetbartum #**

riltovetbart

immunoglobulin G2-kappa, anti-[*Canis lupus familiaris* IL31 (interleukin 31)], caninized monoclonal antibody; gamma2 heavy chain caninized (1-453) [VH (*Canis lupus familiaris* IGHV3-35\*01 (89.6%) -(IGHD) - IGHJ4\*01 (100%), CDR-IMGT [8.8.11] (26-33.51-58.97-107)) (1-118) -*Canis lupus familiaris* IGHG2\*02, G2v2 CH3 H114 (CH1 (119-215), hinge 1-19 (216-234), CH2 (235-344), CH3 N114>H (440) (345-451), CHS (452-453)) (119-453)], (133-217')-disulfide with kappa light chain caninized (1'-217') [V-KAPPA (*Canis lupus familiaris* IGKV3-18\*02 (85.1%) -IGKJ3\*01 (91.7%), CDR-IMGT [10.3.9] (27-36.54-56.93-101)) (1'-111') -*Canis lupus familiaris* IGKC\*01 (100%) (112'-217'')]; dimer (230-230":233-233'')-bisdisulfide, produced in a Chinese hamster ovary (CHO)-derived cell line transfected with the glutamine synthetase (GS) gene, glycoform alfa  
*anti-inflammatory (veterinary use)*

riltovetbart

immunoglobuline G2-kappa, anti-[*Canis lupus familiaris* IL31 (interleukine 31)], anticorps monoclonal caninisé;  
chaîne lourde gamma2 caninisée (1-453) [VH (*Canis lupus familiaris* IGHV3-35\*01 (89.6%) -(IGHD) - IGHJ4\*01 (100%), CDR-IMGT [8.8.11] (26-33.51-58.97-107)) (1-118) -*Canis lupus familiaris* IGHG2\*02, G2v2 CH3 H114 (CH1 (119-215), charnière 1-19 (216-234), CH2 (235-344), CH3 N114>H (440) (345-451), CHS (452-453)) (119-453)], (133-217')-disulfure avec la chaîne légère kappa caninisée (1'-217') [V-KAPPA (*Canis lupus familiaris* IGKV3-18\*02 (85.1%) -IGKJ3\*01 (91.7%), CDR-IMGT [10.3.9] (27-36.54-56.93-101)) (1'-111') -*Canis lupus familiaris* IGKC\*01 (100%) (112'-217'')]; dimère (230-230":233-233'')-bisdisulfure, produite dans une lignée cellulaire dérivée des cellules ovariennes de hamster chinois (CHO) transfectée avec le gène de la glutamine synthétase (GS), glycoforme alfa  
*anti-inflammatoire (usage vétérinaire)*

riltovetbart

inmunoglobulina G2-kappa, anti-[*Canis lupus familiaris* IL31 (interleukina 31)], anticuerpo monoclonal caninizado;  
cadena pesada gamma2 caninizada (1-453) [VH (*Canis lupus familiaris* IGHV3-35\*01 (89.6%) -(IGHD) - IGHJ4\*01 (100%), CDR-IMGT [8.8.11] (26-33.51-58.97-107)) (1-118) -*Canis lupus familiaris* IGHG2\*02, G2v2 CH3 H114 (CH1 (119-215), bisagra 1-19 (216-234), CH2 (235-344), CH3 N114>H (440) (345-451), CHS (452-453)) (119-453)], (133-217')-disulfuro con la cadena ligera kappa caninizada (1'-217') [V-KAPPA (*Canis lupus familiaris* IGKV3-18\*02 (85.1%) -IGKJ3\*01 (91.7%), CDR-IMGT [10.3.9] (27-36.54-56.93-101)) (1'-111') -*Canis lupus familiaris* IGKC\*01 (100%) (112'-217'')]; dímero (230-230":233-233'')-bisdisulfuro, producido en una línea celular derivada de las células ováricas de hámster chino (CHO) transfectada con el gen de la glutamina sintetasa (GS), forma glicosilada alfa  
*antiinflamatorio (uso veterinario)*

2641479-65-2

Heavy chain / Chaîne lourde / Cadena pesada

EVQLVESGGD LVKPGGSLRL SCVASGFTFS NYGMSWVRQA PGKGLQWVAT	50
ISYGGSYTY Y PDNIKGRFTI SRDNKNTLY LQMNSLRAED TAMYYCVRGY	100
GYDTMDYWGQ GTLVTVSSAS TTAPSVFPLA PSCGSTSGST VALACLVSQY	150
FPEPVTVSWN SGLSLTSGVHT FPSVLQSSGL YSLSSMVTVP SSRWPFSEFT	200
CNVAHPASKT KVDFKVFVKRE NGRVPRPPDC PKCPAPEMLG GPSVFIFFPK	250
PKDTLLIART PEVTKCVVVDL DPEDPEVQIS WFDVGGKQMQT AKTQFPREEQF	300
NGTYRVVSVL FIGHQDWLKG KQFTCKVNNK ALPSPPIERTI SKARGQAHQP	350
SVYVLPSPRE ELKNTVSLT CLIKDFPPFD IDVEWQSNQ QEPESKYRRT	400
FPQLDEGDSY FLYSKLSVDK SRWRQGDTFI CAVMHEALHH HYTQESLSHS	450
PGK	453

Light chain / Chaîne légère / Cadena ligera

IVIMTQSPAS LLSLSQEEKVT ITCKASQSVS FAGTGLMHVY QQKPGQAPKL	50
LIYRASNLEA GVPSRFSGSG SGTDFSEFTIS SLEPEDVAVY YQQQSREYFW	100
TFQGQTKLEI KRNDAPFVY LFQPSDPQLH TGSASVCLL NSFYPKDINW	150
KWKVDGVIQD TGIQESVTEQ DKDSTYSLSS TLTMSSTEYL SHELYSCEIT	200
HKSLPSTLIK SFQRSEC	217

**Post-translational modifications**

Disulfide bridges location / Position des ponts disulfure / Posiciones de los puentes disulfuro

Intra-H (C23-C104) 22-96 145-201 265-325 371-431  
 22"-96" 145"-201" 265"-325" 371"-431"

Intra-L (C23-C104) 23"-92" 138"-197"  
 23"-92" 138"-197"

Inter-H-L (CH1 11-CL 126) 133-217 133"-217"  
 Inter-H-H (h 15, h 18) 230-230 233-233"

N-glycosylation sites / Sites de N-glycosylation / Posiciones de N-glicosilación  
 H CH2 N84.4: 301, 301"

Fucosylated complex bi-antennary CHO-type glycans / glycanes de type CHO bi-antennaires complexes fucosylés / glicanos de tipo CHO biantennarios complejos fucosilados.

C-terminal lysine clipping / Coupure de la lysine C-terminale / Recorte de lisina C-terminal  
 H CHS K2: 453, 453"

**rilvegostomigum #**  
 rilvegostomig

immunoglobulin G1-kappa/lambda, anti-[*Homo sapiens* PDCD1(programmed cell death 1, PD1, PD-1, CD279)] and anti-[*Homo sapiens* TIGIT (T-cell immunoreceptor with Ig domain and ITIM, V-set Ig member 9, VSIG9, V-set and transmembrane member 3, VSTM3)], humanized and *Homo sapiens* monoclonal antibody, bispecific; gamma1 heavy chain anti-PDCD1 (1-452) [VH humanized (*Homo sapiens* IGHV3-48\*01 (92.9%) -(IGHD) -IGHJ4\*01 (93.3%) L123>T (117), CDR-IMGT [8.8.15] (26-33.51-58.97-111)) (1-122) -*Homo sapiens* IGHG1\*03, G1m3, nG1m1, G1v39 CH2 F1.3, E1.2, S116, G1v33 CH3 S22, A24, V86 (hole) (CH1 R120 (219) (123-220), hinge 1-15 (221-235), CH2 L1.3>F (239), L1.2>E (240), P116>S (336) (236-345), CH3 Y5>C (354), E12 (361), M14 (363), T22>S (371), L24>A (373), Y86>V (412) (346-450), CHS (451-452)) (123-452)], (225-219)-disulfide with kappa light chain anti-PDCD1 (1'-219') [V-KAPPA humanized (*Homo sapiens* IGKV3D-7\*01 (81.1%) -IGKJ2\*02 (100%), CDR-IMGT [11.3.9] (27-37.55-57.94-102)) (1'-112') -*Homo sapiens* IGKC\*01 (100%), Km3 A45.1 (158), V101 (196) (113'-219')]; gamma1 heavy chain anti-TIGIT (1"-451") *Homo sapiens* [VH (*Homo sapiens* IGHV3-30\*01 (96.9%) -(IGHD) -IGHJ6\*01 (94.4%), CDR-IMGT [8.8.14] (26-33.51-58.97-110)) (1"-121") -*Homo sapiens* IGHG1\*03, G1m3, nG1m1, G1v32 CH3 W22 (knob) (CH1 F5>C (130), R120 (218) (122"-219"), hinge 1-15 C5>V (224) (220"-234"), CH2 L1.3>F (238), L1.2>E (239), P116>S (335) (235"-344"), CH3 S10>C (358), E12 (360), M14 (362), T22>W (370) (345"-449"), CHS (450"-451") (122"-451")], (130"-125")-disulfide with lambda light chain anti-TIGIT (1"'-219") *Homo sapiens* [V-LAMBDA (*Homo sapiens* IGLV1-44\*01 (92.6%) -IGLJ7\*01 (90%) F118>L (101), CDR-IMGT [8.3.11] (26-33.51-53.90-100)) (1"'-110") -*Homo sapiens* IGLC2\*01 (98.1%) S10>C (125), C126>V (215) (111"'-216")]; heterodimer (231-230":234-233":354-358")-trisdissulfide, produced in Chinese hamster ovary (CHO) cells, cell line CHO-CAT-S, glycoform alfa immunostimulant, antineoplastic

- rilvégostomig immunoglobuline G1-kappa/lambda, anti-[*Homo sapiens* PDCD1 (protéine 1 de mort cellulaire programmée, PD-1, PD1, CD279)] et anti-[*Homo sapiens* TIGIT (Immunorécepteur des lymphocytes T avec domaine Ig et ITIM, membre 9 de l'Ig V-set, VSIG9, membre 3 de l'Ig V-set et région transmembranaire, VSTM3)], anticorps monoclonal humanisé et *Homo sapiens*, bispécifique; chaîne lourde gamma1 anti-PDCD1 (1-452) [VH humanisé (*Homo sapiens* IGHV3-48\*01 (92.9%) -(IGHD) -IGHJ4\*01 (93.3%) L123>T (117), CDR-IMGT [8.8.15] (26-33.51-58.97-111)) (1-122) -*Homo sapiens* IGHG1\*03, G1m3, nG1m1, G1v39 CH2 F1.3, E1.2, S116, G1v33 CH3 S22, A24, V86 (hole) (CH1 R120 (219) (123-220), charnière 1-15 (221-235), CH2 L1.3>F (239), L1.2>E (240), P116>S (335) (236-345), CH3 Y5>C (354), E12 (361), M14 (363), T22>S (371), L24>A (373), Y86>V (412) (346-450), CHS (451-452)) (123-452)], (225-219')-disulfure avec la chaîne légère kappa anti-PDCD1 (1'-219') [V-KAPPA humanisé (*Homo sapiens* IGKV3D-7\*01 (81.1%) -IGKJ2\*02 (100%), CDR-IMGT [11.3.9] (27-37.55-57.94-102)) (1'-112') -*Homo sapiens* IGKC\*01 (100%), Km3 A45.1 (158), V101 (196) (113'-219')]; chaîne lourde gamma1 anti-TIGIT (1"-451") *Homo sapiens* [VH (*Homo sapiens* IGHV3-30\*01 (96.9%) -(IGHD) -IGHJ6\*01 (94.4%), CDR-IMGT [8.8.14] (26-33.51-58.97-110)) (1"-121") -*Homo sapiens* IGHG1\*03, G1m3, nG1m1, G1v32 CH3 W22 (knob) (CH1 F5>C (130), R120 (218) (122"-219"), charnière 1-15 C5>V (224) (220"-234"), CH2 L1.3>F (238), L1.2>E (239), P116>S (335) (235"-344"), CH3 S10>C (358), E12 (360), M14 (362), T22>W (370) (345"-449"), CHS (450"-451")) (122"-451")], (130"-125'")-disulfure avec la chaîne légère lambda anti-TIGIT (1'"-219'") *Homo sapiens* [V-LAMBDA (*Homo sapiens* IGLV1-44\*01 (92.6%) -IGLJ7\*01 (90%) F118>L (101), CDR-IMGT [8.3.11] (26-33.51-53.90-100)) (1'"-110'") -*Homo sapiens* IGLC2\*01 (98.1%) S10>C (125), C126>V (215) (111'"-216'")]; heterodimer (231-230":234-233":354-358")-trisdisulfide, produit dans des cellules ovariennes de hamster chinois (CHO), lignée cellulaire CHO-CAT-S, glycoforme alfa immunostimulant, antinéoplasique
- rilvégostomig inmunoglobulina G1-kappa/lambda, anti-[*Homo sapiens* PDCD1 (proteína 1 de muerte celular programada, PD-1, PD1, CD279)] y anti-[*Homo sapiens* TIGIT (inmunoreceptor de los linfocitos T con dominio Ig e ITIM, miembro 9 de la Ig V-set, VSIG9, miembro 3 de la Ig V-set y región transmembranaire, VSTM3)], anticuerpo monoclonal humanizado y *Homo sapiens*, biespécífico; cadena pesada gamma1 anti-PDCD1 (1-452) [VH humanizado (*Homo sapiens* IGHV3-48\*01 (92.9%) -(IGHD) -IGHJ4\*01 (93.3%) L123>T (117), CDR-IMGT [8.8.15] (26-33.51-58.97-111)) (1-122) -*Homo sapiens* IGHG1\*03, G1m3, nG1m1, G1v39 CH2 F1.3, E1.2, S116, G1v33 CH3 S22, A24, V86 (hole) (CH1 R120 (219) (123-220), bisagra 1-15 (221-235), CH2 L1.3>F (239), L1.2>E (240), P116>S (335) (236-345), CH3 Y5>C (354), E12 (361), M14 (363), T22>S (371), L24>A (373), Y86>V (412) (346-450), CHS (451-452)) (123-452)], (225-219')-disulfuro con la cadena ligera kappa anti-PDCD1 (1'-219') [V-KAPPA humanizada (*Homo sapiens* IGKV3D-7\*01 (81.1%) -IGKJ2\*02 (100%), CDR-IMGT [11.3.9] (27-37.55-57.94-102)) (1'-112') -*Homo sapiens* IGKC\*01 (100%), Km3 A45.1 (158), V101 (196) (113'-219')]; cadena pesada gamma1 anti-TIGIT (1"-451") *Homo sapiens* [VH (*Homo sapiens* IGHV3-30\*01 (96.9%) -(IGHD) -IGHJ6\*01 (94.4%), CDR-IMGT [8.8.14] (26-33.51-58.97-110)) (1"-121") -*Homo sapiens* IGHG1\*03, G1m3, nG1m1, G1v32 CH3 W22 (knob) (CH1 F5>C (130), R120 (218) (122"-219"), bisagra 1-15 C5>V (224) (220"-234"), CH2 L1.3>F (238), L1.2>E (239), P116>S (335) (235"-344"), CH3 S10>C (358), E12 (360), M14 (362), T22>W (370) (345"-449"), CHS (450"-451")) (122"-451")], (130"-125'")-disulfuro con la cadena ligera lambda anti-TIGIT (1'"-219'") *Homo sapiens* [V-LAMBDA (*Homo sapiens* IGLV1-44\*01 (92.6%) -IGLJ7\*01 (90%) F118>L (101), CDR-IMGT [8.3.11] (26-33.51-53.90-100)) (1'"-110'") -*Homo sapiens* IGLC2\*01 (98.1%) S10>C (125), C126>V (215) (111'"-216'")]; heterodimero (231-230":234-233":354-358")-trisdisulfuro, producido en las células ováricas de hamster chino (CHO), línea celular CHO-CAT-S, forma glicosilada alfa inmuoestimulante, antineoplásico

2640305-01-5

Heavy chain / Chaîne lourde / Cadena pesada: anti-PDCD1 (H)  
 EVQLVESGGG LVQPGGSLRL SCAASGFTFS DYGMHWVRQA PGKGLEWVAV 50  
 ISSGSYTIYS ADSVKGRFTI SRDNAKNSLY LQMSLRAED TAVYICARRA 100  
 PMSFYEIYFD YWGQGTTVTV SSASTKGPSV FFLAPSSKST SGGTAAALGCL 150  
 VKDYFPEPVT VSWNSGALTS GVHTFFPAVLQ SGLYSLSSVV VTPSSSLGT 200  
 QTYICNVNHK PSNTKVDKRV EPKSCDKTHT CPFCFAFEFE GGSVFLFPF 250  
 KFKDTLMISR TPEVTCVVVD VSHEDPEVFK NMYVDGVEVH NAKTKPREEQ 300  
 YNSTYRVVSV LTVLHQDWLNL GKEYKCKVSN KALPASIEKT ISKAKGQPRE 350  
 PQVCTLPPSR EEMTRNQVSL SCAVKGFPYS DIAVEWESNG QPENNYKTFP 400  
 PVLDSGSGFF LVSKLTVDKRS RWQQGNVFSC SVMHEALHMH YTKSLSLSP 450  
 GK 452

Light chain / Chaîne légère / Cadena ligera: anti-PDCD1 kappa (L)  
 QIVLTQSPAT LSLSPGERAT LSCASSKHT NLYWSRHMVY YQQKPGQAPR 50  
 LLILYLTNSRA TGIIPARFSGS GSGTDFTLTI SSLEPEDFAV YYCQQWSSNP 100  
 FTFPGQGTKLE IKRTVAAPSV FIFPPSDEQL KSGTASVCL LNNFYPREAK 150  
 VQWKVDNALQ SGNSQESVTE QDSKDSYSL SSTLTLSKAD YEKHKVYACE 200  
 VTHQGLSSPV TKSFNRGEC 219

Heavy chain / Chaîne lourde / Cadena pesada: anti-TIGIT (H\*)  
 QVQLVESGGG VVQPGRSLRL SCAASGFTFS SYAMHWVRQA PGKGLEWVAV 50  
 ISYAGEVKY ADSVKGRFTI SRDNKNTLY LQMSLRAED TAVYICARDP 100  
 LPLHYGMVDV WQGGTIVTVS SASTKGPSVC PLAPSSKSTS GGTAALGCLV 150  
 KDYFPEPVTV SWNSGALTSV VHTFFPAVLQS SGLYSLSSVV VTPSSSLGTQ 200  
 TYICNVNHK PSNTKVDKRV EPKSCDKTHT CPFCFAFEFE GGSVFLFPF 250  
 PKDTLMISR TPEVTCVVVD VSHEDPEVFK NMYVDGVEVH NAKTKPREEQ 300  
 NSTYRVVSV LTVLHQDWLNL GKEYKCKVSN KALPASIEKT ISKAKGQPRE 350  
 QVYTLPPCRE EMTKNQVSLM CLVKGFPYSD IAVEWESNG PENNYKTFP 400  
 VLDSGSGFFL YSKLTVDKRS WQQGNVFSC SVMHEALHMH YTKSLSLSP 450  
 K 451

Light chain / Chaîne légère / Cadena ligera: anti-TIGIT lambda (L\*)  
 QSVLTQPPSA SGTTPGQRVTI SCSGSSNIG RRFVNWYQL PGTAPELLIY 50  
 SQNQRFSVGP DRFSGSQSGT SASLAISGLQ SEDEADYFCA WDDIGRVLQ 100  
 LGGGTQLTVL GQPKAAPSVT LFPCCSEELQ ANKATLVCLI SDFYPGAVTV 150  
 AWKADSSPVK AGVETTTPSK QSNNKYAASS YLSLTPEQWK SHRSYSCQVT 200  
 HEGSTVEKTV APTFVTS 216

**Post-translational modifications**

Disulfide bridges location / Position des ponts disulfure / Posiciones de los puentes disulfuro  
 Intra-H (C23-C104) 22-96 148\* 204\* 265\* 325\* 371\*-429\*  
 22"-96" 148"-204" 265"-325" 371"-429"

Intra-L (C23-C104) 23\*-93" 139\*-199"  
 22"-89" 138"-197"

Inter-H-L (h 5-CL 126) 225-219" (CH1 5-CL 10)\* 130"-125"

Inter-H-H (h 11, h 14) 231-230\* 234-233\* (CH3 5-CH3 10)\* 354-358"

\*Engineered alternative Inter-H-L (instead of 224\*-215") and additional Inter-H-H, owing to 4 amino acid changes to cysteinyl.

N-terminal glutaminyl cyclization / Cyclisation du glutaminyle N-terminal / Ciclación del glutaminilo N-terminal

Q > pyroglutamyl (pE, 5-oxopropyl) / pyroglutamyle (pE, 5-oxopropyle) / piroglutamilo (pE, 5-oxopropilo)

H VH Q1: 1"

V VL Q1: 1, 1"

C-terminal lysine clipping / Coupure de la lysine C-terminale / Recorte de lisina C-terminal

H CHS K2:  
 452, 451"

N-glycosylation sites / Sites de N-glycosylation / Posiciones de N-glicosilación

H CH2 N84.4:  
 302, 301"

Fucosylated complex bi-antennary CHO-type glycans / glycanes de type CHO bi-antennaires complexes fucosylés / glicanos de tipo CHO biantenarios complejos fucosilados.

**rivunatpagenum miziparvovecum #**  
 rivunatpagene miziparvovec

recombinant, non-replicating adeno-associated virus serotype 9 (rAAV9) vector encoding ATPase copper-transporting beta gene (ATP7B, copper transporting ATPase 2), modified to encode the last three of the six metal-binding domains (ATP7B-MBD456), under control of a murine transthyretin enhancer/human transthyretin promoter, with a simian virus 40 (SV40) intron, terminated with an SV40 polyadenylation signal, and flanked by adeno-associated virus 2 (AAV2) inverted terminal repeats (ITRs).  
*gene therapy (Wilson's disease)*

rivunatpagène miziparovec

vecteur recombinant et non répliquant du virus adéno-associé de sérotype 9 (rAAV9) codant le gène bêta de l'ATPase transportant le cuivre (ATP7B, ATPase 2 transportant le cuivre), modifié pour coder les trois derniers des six domaines de liaison aux métaux (ATP7B-MBD456), sous le contrôle d'un promoteur de la transthyréline humaine/amplificateur de la transthyréline murine, avec un intron du virus simien 40 (SV40), terminé par un signal de polyadénylation du SV40, et flanqué de répétitions terminales inversées (ITR) du virus adéno-associé 2 (AAV2).  
*thérapie génique (maladie de Wilson)*

rivunatpagén miziparovec

vector de virus adenoasociado recombinante del serotipo 9 (rAAV9), no replicativo, que codifica el gen de la ATPasa beta transportadora de cobre (ATP7B, ATPasa transportadora de cobre 2), modificado para codificar los últimos tres de los seis dominios de unión a metal (ATP7B-MBD456), bajo el control de un potenciador de transtiretina murina/promotor de transtiretina humana, con un intrón del virus de simio 40 (SV40), terminado con una señal de poliadenilación de SV40 y flanqueado por las repeticiones terminales invertidas (ITRs) del virus adenoasociado 2 (AAV2).  
*terapia génica (enfermedad de Wilson)*

2646715-00-4

**ruserontinibum**

ruserontinib

*N*<sup>2</sup>-[4-(4-methylpiperazin-1-yl)phenyl]-9-(propan-2-yl)-*N*<sup>6</sup>-(pyridin-3-yl)-9*H*-purine-2,8-diamine  
*tyrosine kinase inhibitor, antineoplastic*

rusérontinib

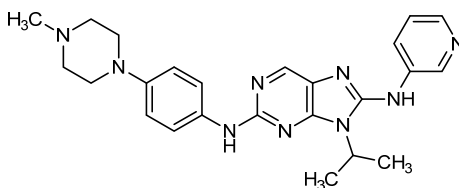
*N*<sup>2</sup>-[4-(4-méthylpipérazin-1-yl)phényl]-9-(propan-2-yl)-*N*<sup>6</sup>-(pyridin-3-yl)-9*H*-purine-2,8-diamine  
*inhibiteur de la tyrosine kinase, antinéoplasique*

ruserontinib

*N*<sup>2</sup>-[4-(4-metilpiperazin-1-il)fenil]-*N*<sup>6</sup>-(piridin-3-il)-9-(propan-2-il)-9*H*-purina-2,8-diamina  
*inhibidor de la tirosina kinasa, antineoplásico*

C<sub>24</sub>H<sub>29</sub>N<sub>9</sub>

1350544-93-2



**sacibertinibum**

sacibertinib

(2*E*)-*N*-[(1<sup>3</sup>S)-5<sup>3</sup>-chloro-3<sup>3</sup>-cyano-2,6-dioxa-4-aza-3(7,4)-quinolina-8(2)-pyridina-1(3)-oxolana-5(1,4)-benzenaocctaphan-3<sup>6</sup>-yl]-4-(dimethylamino)but-2-enamide  
*tyrosine kinase inhibitor, antineoplastic*

sacibertinib

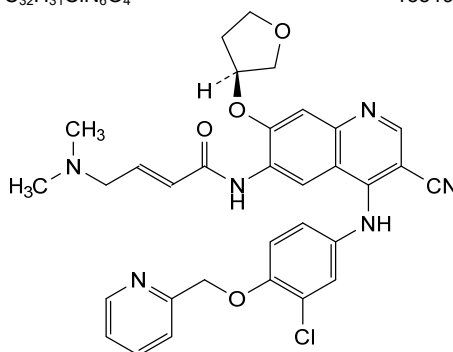
(2*E*)-*N*-[(1<sup>3</sup>S)-5<sup>3</sup>-chloro-3<sup>3</sup>-cyano-2,6-dioxa-4-aza-3(7,4)-quinoléina-8(2)-pyridina-1(3)-oxolana-5(1,4)-benzénaocctaphan-3<sup>6</sup>-yl]-4-(diméthylamino)but-2-énamide  
*inhibiteur de la tyrosine kinase, antinéoplasique*

sacibertinib

(2*E*)-*N*-[(1<sup>3</sup>S)-3<sup>3</sup>-ciano-5<sup>3</sup>-cloro-2,6-dioxa-4-aza-3(7,4)-quinoleina-8(2)-piridina-1(3)-oxolana-5(1,4)-bencenaocctafan-3<sup>6</sup>-il]-4-(dimetilamino)but-2-enamida  
*inhibidor de la tirosina kinasa, antineoplásico*

C<sub>32</sub>H<sub>31</sub>ClN<sub>6</sub>O<sub>4</sub>

1351941-69-9

**satricabtagenum autoleucelum #**

satricabtagene autoleucel

autologous T lymphocytes obtained from peripheral blood mononuclear cells by leukapheresis, transduced with a self-inactivating, non-replicating lentiviral vector, encoding a chimeric antigen receptor (CAR) targeting human claudin 18.2 (also known as claudin 18 isoform A2, CLDN18.2). The expressed transgene comprises anti-human CLDN18.2 single-chain variable fragment (scFv), derived from humanized monoclonal IgG1 antibody hu8E5-21, human CD8 $\alpha$  hinge, CD28 transmembrane and co-stimulatory domain and CD3 $\zeta$  signalling domain and is under control of the elongation factor 1 alpha (EF1 $\alpha$ ) promoter. The construct is flanked by 5' and 3' long terminal repeats (LTRs) and also contains a  $\psi$  packaging signal, a Rev response element (RRE), a central polypurine tract (cPPT) sequence and a Woodchuck hepatitis virus posttranscriptional regulatory element (WPRE).

The leukapheresis material is activated by CD3 and CD28 agonists and transduced with the lentiviral vector. The cells are then expanded in media supplemented with autologous serum and interleukin 2 (IL-2). The cell suspension consists of T lymphocytes (>70%), with greater than 10% of the T lymphocytes expressing the CAR transgene and secreting interferon gamma (IFN- $\gamma$ ) following co-culture with claudin 18.2-expressing cells.

*cell-based gene therapy (antineoplastic)*

satricabtagène autoleucel

lymphocytes T autologues obtenus à partir de cellules mononucléaires de sang périphérique par leucaphérèse, transduits avec un vecteur lentiviral auto-inactivant et non répliquant, codant un récepteur antigénique chimérique (CAR) ciblant la claudine 18.2 humaine (également connue sous le nom d'isoforme A2 de la claudine 18, CLDN18.2). Le transgène exprimé comprend un fragment variable à chaîne unique (scFv) anti-claudine 18.2 humaine, dérivé de l'anticorps monoclonal humanisé IgG1 hu8E5-2I, de la charnière CD8 $\alpha$  humaine, des domaines transmembranaires et co-stimulateur CD28 et le domaine de signalisation CD3 $\zeta$ , qui est sous le contrôle du promoteur du facteur d'élongation 1 alpha (EF1 $\alpha$ ). La construction est flanquée de répétitions terminales longues (LTR) en 5' et 3' et contient également un signal d'encapsidation  $\psi$ , un élément de réponse Rev (RRE), une séquence du tractus polypurine central (cPPT) et un élément de régulation post-transcriptionnel du virus de l'hépatite de marmotte (WPPE). Le matériel de leucaphérèse est activé par des agonistes CD3 et CD28 et transduit par le vecteur lentiviral. Les cellules sont ensuite développées dans un milieu complété par du sérum autologue et de l'interleukine 2 (IL-2). La suspension cellulaire est constituée de lymphocytes T (>70%), plus de 10% des lymphocytes T exprimant le transgène CAR et sécrétant de l'interféron gamma (IFN- $\gamma$ ) après co-culture avec des cellules exprimant la claudine 18.2.

*thérapie génique à base de cellules (antinéoplasique)*

satricabtagén autoleucel

linfocitos T autólogos obtenidos de células mononucleares de sangre periférica mediante leucaféresis, transducidos con un vector lentiviral auto inactivante, no replicativo, que codifica para un receptor de antígenos quimérico (CAR) dirigido a la claudina 18.2 humana (también conocida como isoforma A2 de la claudina 18, CLDN18.2). El transgén expresado contiene un fragmento variable de cadena sencilla (scFv) anti-CLDN18.2 humana derivado del anticuerpo monoclonal IgG1 humanizado hu8E5-2I, una región bisagra de CD8 $\alpha$ , un dominio transmembrana y co-estimulador de CD28 y un dominio de señalización CD3 $\zeta$ , y está bajo el control del promotor del factor de elongación 1 alfa (EF1 $\alpha$ ). El constructo está flanqueado por repeticiones terminales largas (LTRs) en 5' y 3' y también contiene una señal de empaquetamiento  $\psi$ , un elemento de respuesta Rev (RRE), una secuencia de tracto de poli-purina central (cPPT) y un elemento regulador post-transcripcional del virus de la hepatitis de la marmota (WPPE).

El material de leucoaféresis se activa mediante agonistas de CD3 y CD28 y se transduce con el vector lentiviral. Las células son después expandidas en medio suplementado con suero autólogo e interleuquina 2 (IL-2). La suspensión celular consiste en linfocitos T (>70%), con más del 10% de los linfocitos T que expresan el transgén del CAR y secretan interferón gamma (IFN- $\gamma$ ) tras el co-cultivo con células que expresan claudina 18.2.

*terapia génica basada en células (antineoplásico)*

**seglebegagenum dasniparvecum #**

seglebegagene dasniparvec

recombinant, non-replicating adeno-associated virus serotype hu68 (rAAVhu68) vector encoding codon-optimised human  $\beta$ -galactosidase (GLB1), under control of the human ubiquitin C promoter plus a chimeric intron, consisting of human  $\beta$ -globin splice donor and immunoglobulin G splice acceptor elements, terminated with the simian virus 40 (SV40) late polyadenylation signal, flanked by adeno-associated virus 2 (AAV2) inverted terminal repeats (ITRs).

*gene therapy (GM1 gangliosidosis)*

seglébégagène dasniparvec

vecteur recombinant et non répliquant du virus adéno-associé de sérotype hu68 (rAAVhu68) codant la  $\beta$ -galactosidase (GLB1) humaine aux codons optimisés, sous le contrôle du promoteur de l'ubiquitine C humaine plus un intron chimérique consistant d'éléments donneurs d'épissage de la  $\beta$ -globine humaine et d'éléments accepteurs d'épissage de l'immunoglobuline G humaine, terminé par le signal de polyadénylation tardive du virus simien 40 (SV40), flanqué de répétitions terminales inversées (ITR) du virus adéno-associé 2 (AAV2).

*thérapie génique (gangliosidose à GM1)*

seglebegagén dasniparvec

vector de virus adenoasociado recombinante del serotipo hu68 (rAAVhu68), no replicativo, que codifica, con codones optimizados, para la  $\beta$ -galactosidasa humana (GLB1), bajo el control del promotor de la ubiquitina C humana más un intrón quimérico que consta del sitio donante del procesamiento de la  $\beta$ -globina humana y los elementos aceptores del procesamiento de la inmunoglobulina G, terminado con una señal de poliadenilación del virus de simio 40 (SV40), flanqueado por las repeticiones terminales invertidas (ITRs) del virus adenoasociado 2 (AAV2).

*terapia génica (gangliosidosis GM1)*

2607029-99-0

**selvigaltinum**

selvigaltin

5-bromopyridin-3-yl 3-deoxy-1-thio-3-[4-(3,4,5-trifluorophenyl)-1H-1,2,3-triazol-1-yl]- $\alpha$ -D-galactopyranoside  
*galectin-3 inhibitor*

selvigaltine

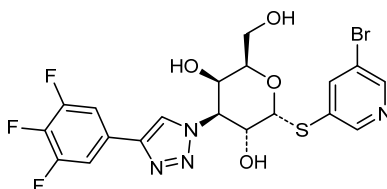
3-désoxy-1-thio-3-[4-(3,4,5-trifluorophényl)-1H-1,2,3-triazol-1-yl]- $\alpha$ -D-galactopyranoside de 5-bromopyridin-3-yle  
*inhibiteur de la galectine-3*

selvigaltina

3-desoxi-1-tio-3-[4-(3,4,5-trifluorofenil)-1H-1,2,3-triazol-1-il]- $\alpha$ -D-galactopiranosido de 5-bromopiridin-3-ilo  
*inhibidor de la galectina-3*

C<sub>19</sub>H<sub>16</sub>BrF<sub>3</sub>N<sub>4</sub>O<sub>4</sub>S

1978336-95-6

**sipagladenantum**

sipagladenant

*N*-[4-(furan-2-yl)-5-(oxane-4-carbonyl)-1,3-thiazol-2-yl]-6-methylpyridine-3-carboxamide  
*adenosine receptor A2A inverse agonist*

sipagladénant

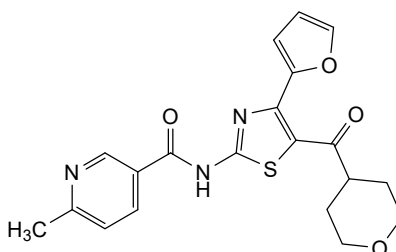
*N*-[4-(furan-2-yl)-5-(oxane-4-carbonyl)-1,3-thiazol-2-yl]-6-méthylpyridine-3-carboxamide  
*agoniste inverse du récepteur A2A de l'adénosine*

sipagladenant

*N*-[4-(furan-2-il)-5-(oxano-4-carbonil)-1,3-tiazol-2-il]-6-metilpiridina-3-carboxamida  
*agonista inverso del receptor A2A de la adenosina*

C<sub>20</sub>H<sub>19</sub>N<sub>3</sub>O<sub>4</sub>S

858979-50-7

**sitagliptinum fenilalanilum**

sitagliptin fenilalanil

(2*S*)-2-amino-*N*-{(2*R*)-4-oxo-4-[3-(trifluoromethyl)-5,6-dihydro[1,2,4]triazolo[4,3-*a*]pyrazin-7(8*H*)-yl]-1-(2,4,5-trifluorophenyl)butan-2-yl]-3-phenylpropanamide  
*dipeptidyl aminopeptidase 4 (DPP-4) inhibitor*

sitagliptine fénilalanil

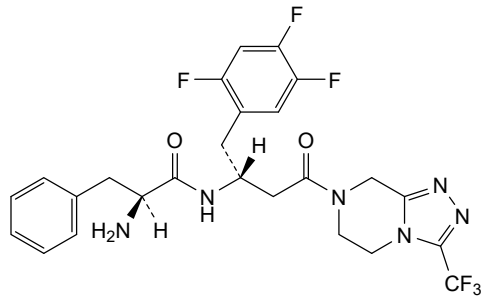
(2*S*)-2-amino-*N*-{(2*R*)-4-oxo-4-[3-(trifluorométhyl)-5,6-dihydro[1,2,4]triazolo[4,3-*a*]pyrazin-7(8*H*)-yl]-1-(2,4,5-trifluorophényl)butan-2-yl]-3-phénylpropanamide  
*inhibiteur de la dipeptidyle peptidase 4 (DPP-4)*

sitagliptina fenilalanilo

(2*S*)-2-amino-3-fenil-*N*-{(2*R*)-4-oxo-4-[3-(trifluorometil)-5,6-dihidro[1,2,4]triazolo[4,3-*a*]pirazin-7(8*H*)-il]-1-(2,4,5-trifluorofenil)butan-2-il}propanamida  
*inhibidor de la dipeptidilo peptidasa 4 (DPP-4)*

C<sub>25</sub>H<sub>24</sub>F<sub>6</sub>N<sub>6</sub>O<sub>2</sub>

1339955-03-1



**tamnorzatinibum**  
tamnorzatinib

*N*-{5-[(6,7-dimethoxyquinolin-4-yl)oxy]pyridin-2-yl}-2,5-dioxo-1-phenyl-1,2,5,6,7,8-hexahydroquinoline-3-carboxamide  
*tyrosine kinase inhibitor, antineoplastic*

tamnorzatinib

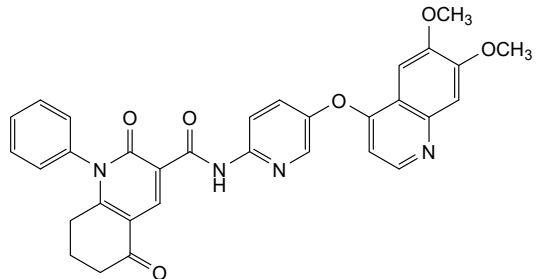
*N*-{5-[(6,7-diméthoxyquinoléin-4-yl)oxy]pyridin-2-yl}-2,5-dioxo-1-phényl-1,2,5,6,7,8-hexahydroquinoléine-3-carboxamide  
*inhibiteur de la tyrosine kinase, antinéoplasique*

tamnorzatinib

*N*-{5-[(6,7-dimetoxiquinolein-4-il)oxi]piridin-2-il}-1-fenil-2,5-dioxo-1,2,5,6,7,8-hexahydroquinoleina-3-carboxamida  
*inhibidor de la tirosina kinasa, antineoplásico*

C<sub>32</sub>H<sub>26</sub>N<sub>4</sub>O<sub>6</sub>

1646839-59-9



**taragarestrantum**  
taragarestrant

(2*E*)-3-{3,5-dichloro-4-[(1*R*,3*R*)-2-(2-fluoro-2-methylpropyl)-3-methyl-2,3,4,9-tetrahydro-1*H*-pyrido[3,4-*b*]indol-1-yl]phenyl}prop-2-enoic acid  
*antiestrogen, antineoplastic*

taragarestrant

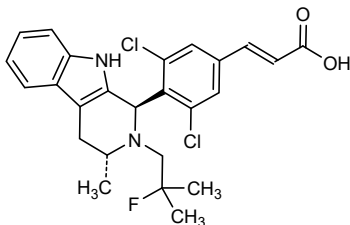
acide (2*E*)-3-{3,5-dichloro-4-[(1*R*,3*R*)-2-(2-fluoro-2-méthylpropyl)-3-méthyl-2,3,4,9-tétrahydro-1*H*-pyrido[3,4-*b*]indol-1-yl]phényl}prop-2-énoïque  
*anti-œstrogène, antinéoplasique*

taragarestrant

ácido (2E)-3-{3,5-dicloro-4-[(1R,3R)-2-(2-fluoro-2-metilpropil)-3-metil-2,3,4,9-tetrahidro-1H-pirido[3,4-b]indol-1-il]fenil}prop-2-enoico  
*antiestrógeno, antineoplásico*

C<sub>25</sub>H<sub>25</sub>Cl<sub>2</sub>FN<sub>2</sub>O<sub>2</sub>

2118899-51-5



**tarperprumigum #**  
 tarperprumig

immunoglobulin single chain VH-VH', anti-[*Homo sapiens* CFP (complement factor properdin, properdin)] and anti-[*Homo sapiens* ALB (albumin, human serum albumin, HAS)], humanized monoclonal antibody, bispecific, bivalent; single chain (sc) VH-VH' (1-256) [humanized VH anti-CFP (*Vicugna pacos* IGHV3-3\*01 (81.6%) -(IGHD) -IGHJ3\*01 (92.3%)/*Homo sapiens* IGHV3-11\*05 (80.4%) -(IGHD) -IGHJ4\*01 (92.9%), CDR-IMGT [8.7.17] (26-33.51-57.96-112) (1-123)) -15-mer tris(tetraglycyl-glutamyl) linker (124-138)-humanized VH anti-ALB (*Vicugna pacos* 3S3\*01 (82.3%) -(IGHD) -IGHJ4\*01, Q123>L (92.3%)/*Homo sapiens* IGHV3-23\*01 (80.0%) -(IGHD) -IGHJ4\*01 (100%), CDR-IMGT [8.7.13] (163-170.188-194.233-245) (139-256))], produced in Chinese hamster ovary (CHO) cells, cell line CHO-K1SV, non-glycosylated  
*immunosuppressive*

tarperprumig

immunoglobuline simple chaîne VH-VH', anti-[*Homo sapiens* CFP (facteur du complément properdine, properdine)] et anti-[*Homo sapiens* ALB (albumine, sérum albumine humaine, SAH)], anticorps monoclonal humanisé, bispécifique, bivalent; simple chaîne (sc) VH-VH' (1-256) [VH anti-CFP humanisé (*Vicugna pacos* IGHV3-3\*01 (81.6%) -(IGHD) -IGHJ3\*01 (92.3%)/*Homo sapiens* IGHV3-11\*05 (80.4%) -(IGHD) -IGHJ4\*01 (92.9%), CDR-IMGT [8.7.17] (26-33.51-57.96-112) (1-123)) -15-mer tris(tétraglycyl-glutamyl) linker (124-138)-VH anti-ALB humanisé (*Vicugna pacos* 3S3\*01 (82.3%) -(IGHD) -IGHJ4\*01, Q123>L (92.3%)/*Homo sapiens* IGHV3-23\*01 (80.0%) -(IGHD) -IGHJ4\*01 (100%), CDR-IMGT [8.7.13] (163-170.188-194.233-245) (139-256))], produit dans des cellules ovariennes de hamster chinois (CHO), lignée cellulaire CHO-K1SV, non-glycosylé  
*immunosuppresseur*

tarperprumig

inmunoglobulina cadena única VH-VH', anti-[*Homo sapiens* CFP (factor complemento properdina, properdina)] y anti-[*Homo sapiens* ALB (albúmina, albumina sérica humana, SAH)], anticuerpo monoclonal humanizado, biespecífico, bivalente; cadena única (sc) VH-VH' (1-256) [VH anti-CFP humanizado (*Vicugna pacos* IGHV3-3\*01 (81.6%) - (IGHD) -IGHJ3\*01 (92.3%)/*Homo sapiens* IGHV3-11\*05 (80.4%) - (IGHD) -IGHJ4\*01 (92.9%), CDR-IMGT [8.7.17] (26-33.51-57.96-112) (1-123)) -15-mer tris(tetraglicil-glutamil) linker (124-138)-VH anti-ALB humanizado (*Vicugna pacos* 3S3\*01 (82.3%) - (IGHD) -IGHJ4\*01, Q123>L (92.3%)/*Homo sapiens* IGHV3-23\*01 (80.0%) - (IGHD) -IGHJ4\*01 (100%), CDR-IMGT [8.7.13] (163-170.188-194.233-245) (139-256))], producido en las células ováricas de hámster chino (CHO), línea celular CHO-K1SV, no glicosilado  
*inmunosupresor*

2630946-41-5

Chain scVH-VH' / Chaîne scVH-VH' / Cadena scVH-VH'  
 QVQLVESGGG LVKPGGSLRL SCAASGRFVS NYAAAWFRQA PGKEREFVSA 50  
 INWQKATATYA DSVKGRFTIS RDNAKNSLYL QMNSLRAEDT AVYYCAAVFR 100  
 VVAFKTQYDY DWYWGQTLVT VSSGGGGEGG GGGGGGGEVQ LLESGGGLVQ 150  
 PGGSLRLSCA ASGRISIIH MAWFRQAPGK ERELVSEISR VGTTVYADSV 200  
 KGRFTISRDN SKNTLYLQMN SLKPEDTAVY YCNALQYKHK GGADYWGQGT 250  
 LVTVSS 256

**Post-translational modifications**

Disulfide bridges location / Position des ponts disulfure / Posiciones de los puentes disulfuro  
 Intra-single chain (sc) VH-VH' (C23-C104) 22-95 159-232

N-terminal glutaminyl cyclization / Cyclisation du glutaminyle N-terminal / Ciclación del glutaminilo N-terminal

Q > pyrroglutamyl (pE, 5-oxoprolyl) / pyrroglutamyne (pE, 5-oxoprolyle) / piroglutamilo (pE, 5-oxoprolylo)  
 sc VH Q1: 1

No N-glycosylation sites / pas de sites de N-glycosylation / ningún posición de N-glicosilación

tebideutorexantum

tebideutorexant

[3-fluoro-2-(pyrimidin-2-yl)phenyl][(1*S*,4*R*,6*R*)-6-{{5-(trifluoromethyl)pyridin-2-yl}oxy}(3,3-<sup>2</sup>H<sub>2</sub>)-2-azabicyclo[2.2.1]heptan-2-yl)methanone  
*orexin receptor antagonist*

tébideutorexant

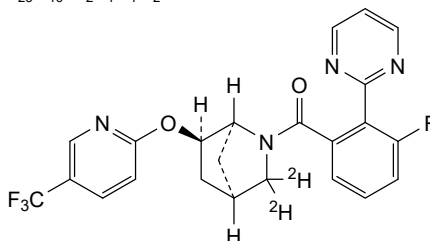
[3-fluoro-2-(pyrimidin-2-yl)phényl][(1*S*,4*R*,6*R*)-6-{{5-(trifluorométhy)pyridin-2-yl}oxy}(3,3-<sup>2</sup>H<sub>2</sub>)-2-azabicyclo[2.2.1]heptan-2-yl]méthanone  
*antagoniste du récepteur de l'orexine*

tebideutorexant

[3-fluoro-2-(pirimidin-2-il)fenil][(1*S*,4*R*,6*R*)-6-{{5-(trifluorometil)piridin-2-il}oxi}(3,3-<sup>2</sup>H<sub>2</sub>)-2-azabicyclo[2.2.1]heptan-2-il]metanona  
*antagonista del receptor de la orexina*

C<sub>23</sub>H<sub>16</sub><sup>2</sup>H<sub>2</sub>F<sub>4</sub>N<sub>4</sub>O<sub>2</sub>

1637681-55-0



**tezemlimogenum daxadenorepvecum#**

tezemlimogene daxadenorepvec

recombinant conditionally replication-competent oncolytic adenovirus type 5 (Ad5) encoding human immune modulatory protein OX40 ligand (OX40L, CD252, tumor necrosis factor ligand superfamily member 4) under control of the cytomegalovirus (CMV) immediate-early promoter-enhancer and terminated with the bovine growth hormone (bGH) polyadenylation sequence. The OX40L sequence along with the CMV immediate-early promoter and bGH polyadenylation signal is inserted into the Ad5 E3 region, displacing approximately 2.69 kb of the E3 region. Genetic modification also includes a 24 bp deletion in the E1A gene and a 27 bp insertion into the fiber gene which introduces an RGD (Arg-Gly-Asp) motif.

*virus-based gene therapy (antineoplastic)*

tézemlimogène daxadénorepvec

adénovirus oncolytique de type 5 (Ad5) recombinant, conditionnellement compétent à la réplication, codant le ligand de la protéine modulatrice immunitaire humaine OX40 (OX40L, CD252, membre 4 de la superfamille du ligand du facteur de nécrose tumorale) sous le contrôle du promoteur-amplificateur précoce immédiat du cytomégalovirus (CMV) et terminé par la séquence de polyadénylation de l'hormone de croissance bovine (bGH). La séquence OX40L ainsi que le promoteur précoce immédiat du CMV et le signal de polyadénylation de la bGH sont insérés dans la région E3 d'Ad5, déplaçant environ 2,69 kb de la région E3. La modification génétique comprend également une délétion de 24 pb dans le gène E1A et une insertion de 27 pb dans le gène fibre introduisant un motif RGD (Arg-Gly-Asp).

*thérapie génique à base de virus (antinéoplasique)*

tezemlimogén daxadenorepvec

adenovirus tipo 5 (Ad5) recombinante oncolítico condicionalmente competente para replicación que codifica para el ligando de la proteína inmunomoduladora OX40 humana (OX40L, CD52, ligando del miembro 4 de la superfamilia del factor de necrosis tumoral) bajo el control del promotor-potenciador inmediato-temprano del citomegalovirus (CMV) y terminado con la secuencia de poliadenilación de la hormona de crecimiento bovina (bGH). La secuencia de OX40L junto con el promotor inmediato-temprano de CMV y la secuencia de poliadenilación bGH están insertados en la región Ad5 E3, desplazando aproximadamente 2,69 kb de la región E3. La modificación genética también incluye una delección de 24 bp en el gen E1A y una inserción de 27 bp en el gen de la fibra que introduce un motivo RGD (Arg-Gly-Asp).

*terapia génica basada en virus (antineoplásico)*

2642046-11-3

**tidagixagenum derxeparvovecum #**

tidagixagene derxeparvovec

recombinant, self-complementary (dimeric), non-replicating adeno-associated virus serotype 9 (scAAV9) vector encoding codon-optimised human gigaxonin (giant axonal neuropathy [GAN] gene, Kelch-like protein 16) under the control of the artificial JeT promoter (built from fragments of the viral simian virus 40 [SV40] early promoter and the human beta-actin and ubiquitin C promoters), terminated by a synthetic polyadenylation sequence, and flanked by AAV2 inverted terminal repeats (ITRs).  
*gene therapy (giant axonal neuropathy)*

tidagixagène derxéparvovec

vecteur recombinant, autocomplémentaire (dimère), non répliquant, du virus adéno-associé de sérotype 9 (scAAV9) codant la gigaxonine humaine aux codons optimisés (gène de la neuropathie axonale géante [GAN], protéine 16 de type Kelch) sous le contrôle du promoteur artificiel JeT (construit à partir de fragments du promoteur précoce du virus simien 40 [SV40] et des promoteurs humains de la bêta-actine et de l'ubiquitine C), terminé par une séquence de polyadénylation synthétique et flanqué de répétitions terminales inversées (ITR) d'AAV2.  
*thérapie génique (neuropathie à axones géants)*

tidagixagén derxeparvovec

vector de virus adenoasociado del serotipo 9 recombinante, autocomplementario (dimérico) (scAAV9), no replicativo, que codifica, con codones optimizados, para la gigaxonina humana (gen de la neuropatía axonal gigante (GAN), proteína 16 similar a Kelch) bajo el control del promotor artificial JeT (construido con fragmentos del promotor viral temprano del virus de simio 40 [SV40] y los promotores de la beta-actina humana y la ubiquitina C), terminado con una secuencia de poliadenilación sintética y flanqueado por las repeticiones terminales invertidas (ITRs) del AAV2.  
*terapia génica (neuropatía axonal gigante)*

2644621-85-0

**tilpisertibum fosmecarbilum**

tilpisertib fosmecarbil

(phosphonoxy)methyl *N*-[*(S)*-[1-(bicyclo[1.1.1]pentan-1-yl)-1*H*-1,2,3-triazol-4-yl]](2-methyl-1-oxo-1,2-dihydroisoquinolin-5-yl)methyl]-*N*-{8-chloro-3-cyano-4-[(2,2-dimethylpropyl)amino]quinolin-6-yl]carbamate  
*serine/ threonine kinase inhibitor, anti-inflammatory*

tilpisertib fosmécarbil

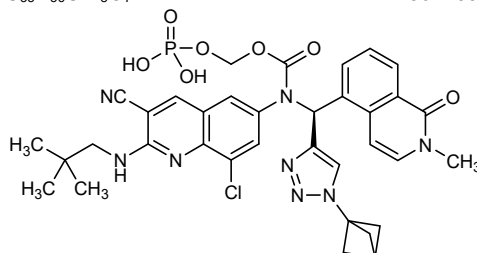
*N*-[*(S)*-[1-(bicyclo[1.1.1]pentan-1-yl)-1*H*-1,2,3-triazol-4-yl]](2-méthyl-1-oxo-1,2-dihydroisoquinoléin-5-yl)méthyl]-*N*-{8-chloro-3-cyano-4-[(2,2-diméthylpropyl)amino]quinoléin-6-yl]carbamate de (phosphonoxy)méthyle  
*inhibiteur de sérine/ thréonine kinase, anti-inflammatoire*

tilpiseritib fosmecarbilo

*N*-[(*S*)-[1-(biciclo[1.1.1]pentan-1-il)-1*H*-1,2,3-triazol-4-il]-(2-metil-1-oxo-1,2-dihidroisoquinolein-5-il)metil]-*N*-{3-ciano-8-cloro-4-[(2,2-dimetilpropil)amino]quinolein-6-il}carbamato de (fosfonooxi)metilo  
*inhibidor de serina/ treonina kinasa, antiinflamatorio*

C<sub>35</sub>H<sub>36</sub>ClN<sub>8</sub>O<sub>7</sub>P

2567459-64-5

**tinlorafenibum**

tinlorafenib

*N*-[2-chloro-3-[(3,5-dimethyl-4-oxo-3,4-dihydroquinazolin-6-yl)amino]-4-fluorophenyl]-3-fluoropropane-1-sulfonamide  
*antineoplástico*

tinlorafénib

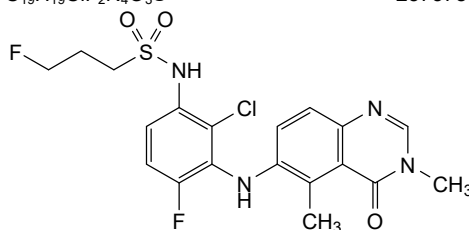
*N*-[2-chloro-3-[(3,5-diméthyl-4-oxo-3,4-dihydroquinazolin-6-yl)amino]-4-fluorophényl]-3-fluoropropane-1-sulfonamide  
*antineoplasique*

tinlorafenib

*N*-[2-cloro-3-[(3,5-dimetil-4-oxo-3,4-dihidroquinazolin-6-il)amino]-4-fluorofenil]-3-fluoropropano-1-sulfonamida  
*antineoplástico*

C<sub>19</sub>H<sub>19</sub>ClF<sub>2</sub>N<sub>4</sub>O<sub>3</sub>S

2573781-75-4

**tobemstomigum #**

tobemstomig

immunoglobulin G1-kappa with crossed domains, anti-[*Homo sapiens* PDCD1 (programmed cell death 1, PD1, PD-1, CD279)] and anti-[*Homo sapiens* LAG3 (lymphocyte activating 3, lymphocyte-activation 3, CD223)], humanized monoclonal antibody, bispecific;  
gamma1 heavy chain with crossed V-kappa anti-PDCD1 (1-443) [V-KAPPA humanized (*Homo sapiens* IGKV4-1\*01 (82.2%) -IGKJ1\*01 (100%), CDR-IMGT) [10.3.9] (27-36.54-56.93-101) (1-111) -2-mer biseryl linker (112-113) -*Homo sapiens* IGHG1\*01, G1m17,1, G1v14-49 CH2 A1.3, A1.2, G114, G1v32 CH3 W22 (knob) (CH1 K120 (210) (114-211), hinge 1-15 (212-226), CH2 L1.3>A (230), L1.2>A (231),

- P114>G (325) (227- 336), CH3 D12 (352), L14 (354), S10>C (350), T22>W (362) (337- 441), CHS (442-443)) (112-443)], (216-227')-disulfide with kappa light chain with crossed VH anti-PDCD1 (1'-227') [VH humanized (*Homo sapiens* IGHV3-23\*01 (90.6%) -(IGHD) -IGHJ5\*01 (92.9%)), CDR-IMGT [8.8.13] (26-33.51-58.97-109)) (1'-120') -*Homo sapiens* IGKC\*01 (99.1%), R1.5>A (121), T1.4>S (122), Km3 A45.1 (166), V101 (204) (121'-227')]; gamma1 heavy chain anti-LAG3 (1''-451'') [VH humanized (*Homo sapiens* IGHV3-23\*01 (86.7%) -(IGHD) -IGHJ4\*01 (100%)), CDR-IMGT [8.8.14] (26-33.51-58.97-110)) (1''-121'') -*Homo sapiens* IGHG1\*01, G1m17.1, G1v14-49 CH2 A1.3, A1.2, G114, G1v33 CH3 S22, A24, V86 (hole) (CH1 K26>E (151), K119>E (217), K120 (218) (122''-219''), hinge 1-15 (220''-234''), CH2 L1.3>A (238), L1.2>A (239), P114>G (333) (235''-344''), CH3 D12 (360), L14 (362), Y5>C (353), T22>S (370), L24>A (372), Y86>V (411) (345''-449''), CHS (450''-451'') (122''-451'')], (224''-214'')-disulfide with kappa light chain anti-LAG3 (1'''-214''') [*Homo sapiens* V-KAPPA (IGKV1D-39\*01 (96.8%) -IGKJ4\*01 (100%))] [6.3.9], CDR-IMGT (27-32.50-52.89-97) (1'''-107''') -*Homo sapiens* IGKC\*01 (98.1%), E12>R (123), Q13>K (124) (108'''-214''')]; dimer (222-230''':225-233''':350-353''')-trisulfide, produced in Chinese hamster ovary (CHO) cells, derived from the cell line CHO-K1, glycoform alfa  
*immunostimulant, antineoplastic*
- tobemstomig immunoglobuline G1-kappa avec domaines croisés, anti-[*Homo sapiens* PDCD1 (protéine 1 de mort cellulaire programmée, PD-1, PD1, CD279)] and anti-[*Homo sapiens* LAG3 (activateur 3 des lymphocytes, lymphocyte-activation 3, CD223)], anticorps monoclonal humanisé, bispécifique;  
chaîne lourde gamma1 à V-kappa croisé anti-PDCD1 (1-443) [V-KAPPA humanisé (*Homo sapiens* IGKV4-1\*01 (82.2%) -IGKJ1\*01 (100%), CDR-IMGT [10.3.9] (27-36.54-56.93-101)) (1-111) -2-mer biséryl linker (112-113) -*Homo sapiens* IGHG1\*01, G1m17.1, G1v14-49 CH2 A1.3, A1.2, G114, CH2 G1v32 CH3 W22 (knob) (CH1 K120 (210) (114-211), charnière 1-15 (212-226), CH2 L1.3>A (230), L1.2>A (231), P114>G (325) (227- 336), CH3 D12 (352), L14 (354), S10>C (350), T22>W (362)) (337- 441), CHS (442-443)) (112-443)], (216-227')-disulfure avec la chaîne légère kappa à VH croisé anti-PDCD1 (1'-227') [VH humanisé (*Homo sapiens* IGHV3-23\*01 (90.6%) -(IGHD) -IGHJ5\*01 (92.9%)), CDR-IMGT [8.8.13] (26-33.51-58.97-109)) (1'-120') -*Homo sapiens* IGKC\*01 (99.1%), R1.5>A (121), T1.4>S (122), Km3 A45.1 (166), V101 (204) (121'-227')]; chaîne lourde gamma1 anti-LAG3 (1''-451'') [VH humanisé (*Homo sapiens* IGHV3-23\*01 (86.7%) -(IGHD) -IGHJ4\*01 (100%)), CDR-IMGT [8.8.14] (26-33.51-58.97-110)) (1''-121'') -*Homo sapiens* IGHG1\*01, G1m17.1, G1v14-49 CH2 A1.3, A1.2, G114, G1v33 CH3 S22, A24, V86 (hole) (CH1 K26>E (151), K119>E (217), K120 (218) (122''-219''), charnière 1-15 (220''-234''), CH2 L1.3>A (238), L1.2>A (239), P114>G (333) (235''-344''), CH3 D12 (360), L14 (362), Y5>C (353), T22>S (370), L24>A (372), Y86>V (411) (345''-449''), CHS (450''-451'') (122''-451'')], (224''-214'')-disulfure avec la chaîne légère kappa anti-LAG3 (1'''-214''') [*Homo sapiens* V-KAPPA (IGKV1D-39\*01 (96.8%) -IGKJ4\*01 (100%))] [6.3.9], CDR-IMGT (27-32.50-52.89-97) (1'''-107''') -*Homo sapiens* IGKC\*01 (98.1%), E12>R (123), Q13>K (124) (108'''-214''')]; dimère (222-230''':225-233''':350-353''')-trisulfure, produit dans des cellules ovariennes de hamster chinois (CHO), dérivant de la lignée cellulaire CHO-K1, glycoforme alfa  
*immunostimulant, antinéoplasique*
- tobemstomig inmunoglobulina G1-kappa con dominios cruzados, anti-[*Homo sapiens* PDCD1 (proteína 1 de muerte celular programada, PD-1, PD1, CD279)] y anti-[*Homo sapiens* LAG3 (activador 3 de los linfocitos, linfocito-activación 3, CD223)], anticuerpo monoclonal humanizado, biespecifico;

cadena pesada gamma1 con V-kappa cruzada anti-PDCD1 (1-443) [V-KAPPA humanizado (*Homo sapiens* IGKV4-1\*01 (82.2%) -IGKJ1\*01 (100%), CDR-IMGT [10.3.9] (27-36.54-56.93-101)) (1-111) -2-mer biserial linker (112-113) - *Homo sapiens* IGHG1\*01, G1m17.1, G1v14-49 CH2 A1.3, A1.2, G114, CH2 G1v32 CH3 W22 (knob) (CH1 K120 (210) (114-211), bisagra 1-15 (212-226), CH2 L1.3>A (230), L1.2>A (231), P114>G (325) (227- 336), CH3 D12 (352), L14 (354), S10>C (350), T22>W (362))] (337- 441), CHS (442-443)) (112-443)], (216-227')-disulfuro con la cadena ligera kappa con VH cruzado anti-PDCD1 (1'-227') [VH humanizado (*Homo sapiens* IGHV3-23\*01 (90.6%) -(IGHD) -IGHJ5\*01 (92.9%), CDR-IMGT [8.8.13] (26-33.51-58.97-109)) (1'-120') -*Homo sapiens* IGKC\*01 (99.1%), R1.5>A (121), T1.4>S (122), Km3 A45.1 (166), V101 (204) (121'-227')]; cadena pesada gamma1 anti-LAG3 (1''-451'') [VH humanizado (*Homo sapiens* IGHV3-23\*01 (86.7%) -(IGHD) -IGHJ4\*01 (100%), CDR-IMGT [8.8.14] (26-33.51-58.97-110)) (1''-121'') -*Homo sapiens* IGHG1\*01, G1m17.1, G1v14-49 CH2 A1.3, A1.2, G114, G1v33 CH3 S22, A24, V86 (hole) (CH1 K26>E (151), K119>E (217), K120 (218) (122''-219''), bisagra 1-15 (220''-234''), CH2 L1.3>A (238), L1.2>A (239), P114>G (333) (235''-344''), CH3 D12 (360), L14 (362), Y5>C (353), T22>S (370), L24>A (372), Y86>V (411))] (345''-449''), CHS (450''-451'') (122''-451''), (224''-214'')-disulfuro con la cadena ligera kappa anti-LAG3 (1'''-214''') [*Homo sapiens* V-KAPPA (IGKV1D-39\*01 (96.8%) -IGKJ4\*01 (100%))] [6.3.9], CDR-IMGT (27-32.50-52.89-97) (1'''-107''') -*Homo sapiens* IGKC\*01 (98.1%), E12>R (123), Q13>K (124) (108'''-214'''); dímero (222-230''':225-233''':350-353'')-trisdifuro, producido en las células ováricas de hámster chino (CHO), línea celular derivada de CHO-K1, forma glicosilada alfa *inmunoestimulante, antineoplásico*

2648839-43-2

## Heavy chain / Chaîne lourde / Cadena pesada : anti-PDCD1 crossed V-kappa (H)

DIIVMTQSPDS	LAVSLGERAT	INCKASESVD	TSDNSFIHWY	QQKPGQSPKL	50
LIYRSTLES	GVPDRFSGSG	SGTDFTLTIS	SLQAEDVAVY	YCQQNYDVPWF	100
TFGQGTKVEI	KSSASTKGPS	VFPLAPSSKS	TSGGTAALGC	LVKDYFPEPV	150
TVSNNGALT	SGVHTFPAVL	QSSGLYSLSS	VTVFPSSSLG	TQTYICNVNH	200
KPSNTRVDRK	VEPKSKDKTH	TCPCPAPEA	AGGSPVFLFP	FKPKDTLMIS	250
RTPEVTCVVV	DVSHEDPEVK	FNWYVDGVEV	HNAKTKPREE	QYNSTRYVVS	300
VLTVLHQDWL	NGKEYKRCVS	NKALGAPIEK	TISKAKGQPR	EPQVYTLPPC	350
RDELTRKQVS	LNCLVKGFPY	SDIAVEWESN	GQPENNYKTT	FPVLDSGGSF	400
FLYSKLTVDK	SRWQQGNVFS	CSVMHEALHN	HYTQKSLSL	PGK	443

## Light chain / Chaîne légère / Cadena ligera : anti-PDCD1 crossed VH (L')

EVQLLESGGG	LVQPGGSLRL	SCAASGFSS	SYTMSWVRQA	PGKLEWVAT	50
ISGGGRDIY	PDSVKGRFTI	SRDNSKNTLY	LQMNSLRAED	TAVYYCVLLT	100
GRVYFALDSW	QGQTLVTVSS	ASVAAPSVEFI	FPPSDEQLKS	GTASVVCLLN	150
NFYPREAKVQ	WKVDNALQSG	NSQESVTEQD	SKDSTYSLSS	TLTSLKADYE	200
KHKVYACEVT	HQGLSSPVTK	SFNRGEC			227

## Heavy chain / Chaîne lourde / Cadena pesada : anti-LAG3 (H'')

EVQLLESGGG	LVQPGGSLRL	SCAASGFIFD	DYTMNWRVQA	PGKLEWVAV	50
ISWDGGTTYI	TDSVKGRFTI	SRDDFKNTLY	LQMNSLRAED	TAVYYCAKGL	100
TDITLVLGSDY	WQGTSLTVTS	SASTKGPSVF	PLAPSSKSTIS	GGTAALGCLV	150
EDYFPEFVTV	SNNSGALTSV	VHTFPAVLQS	SGLYSLSSVV	TVPSSSLGTQ	200
TYICNVNHKPT	SNTKVDKVEK	PKSCDKHTHC	PCCPAPEAAG	GPSVFLFPPK	250
PKDTLMISRT	PEVTCVVVDV	SHEDPEVKFN	WYVDGVEVHN	AKTKPREEQY	300
NSTYRIVVSL	TVLHQDWLNG	KEYKCKVSNK	ALGAPIEKTI	SKAKGQPREP	350
QVCTLPPSRD	ELTRKQVSL	CAVKGFPYSD	IAVEWESNQG	FENNYKTTTP	400
VLDSDGSFFL	VSKLTVDKSR	WQQGNVFS	VMHEALHNYH	TQKSLSLSPG	450
K					451

## Light chain / Chaîne légère / Cadena ligera : anti-LAG-3 (L'') [6]:

DIIVMTQSPDS	LSASVGRDVT	ITCRASQSI	SYLNWYQQK	GKAPKLLIYA	50
ASTLQSGVPS	RFSGSGSGTD	FTLTISLQPL	EDFATYYCQQ	TYSSPLTFGG	100
GTKVEIKRTV	AAPSVEIFPP	SDRKLKSGTA	SVVCLLNFFY	PREAKVQKRW	150
LNALQSGNSQ	ESVTEQDSKD	STYLSLSTLT	LSKADYKHKH	VYACEVTHQG	200
DSSPVTKSFN	RGEC				214

## Post-translational modifications

Disulfide bridges location / Position des ponts disulfure / Posiciones de los puentes disulfuro

Intra-H (C23-C104)	23-92	140-196	257-317	363-421
	22''-96''	148''-204''	265''-325''	371''-429''

Intra-L (C23-C104)	22'-96'	147'-207'
	23'''-88'''	134'''-194'''

Inter-H-L (h 5-CL 126) 216-227' 224''-214'''

Inter-H-H (h 11, h 14) 222-230'' 225-233''' (engineered) 350-353''

N-glycosylation sites / Sites de N-glycosylation / Posiciones de N-glicosilación

H CH2 N84.4: 293, 301''

Fucosylated complex bi-antennary CHO-type glycans / glycanes de type CHO bi-antennaires complexes fucosylés / glicanos de tipo CHO biantennarios complejos fucosilados.

**tobevibartum #**

tobevibart

immunoglobulin G1-lambda, anti-[HBV (hepatitis B virus) surface envelope protein], *Homo sapiens* monoclonal antibody;  
 gamma1 heavy chain *Homo sapiens* (1-449) [VH (*Homo sapiens* IGHV3-7\*01 (85.6%) -(IGHD) -IGHJ6\*01 (93.3%)) [8.8.12] (26-33.51-58.97-108) (1-119) -*Homo sapiens* IGHG1\*01, G1m17,1, G1v45 CH2 A1.1, L115, E117, G1v24 CH3 L107, S114 (CH1 K120 (216) (120-217), hinge 1-15 (218-232), CH2 G1.1>A (238), A115>L (332), I117>E (334) (233-342), CH3 D12 (358), L14 (360), M107>L (430), N114>S (436) (343-447), CHS (448-449)) (120-449)], (222-211')-disulfide with lambda light chain *Homo sapiens* (1'-212') [V-LAMBDA (*Homo sapiens* IGLV3-1\*01 (81.9%) - IGLJ2\*01 (91,7%)) [6.3.9] (26-31.49-51.88-96) (1'-106') - *Homo sapiens* IGLC2\*01 (100%) (107'-212')]; dimer (228-228":231-231")-bisdisulfide, produced in Chinese hamster ovary (CHO) cells, cell line CHO-K1, glycoform alfa  
*antiviral*

tobévibart

immunoglobuline G1-lambda, anti-[protéine d'enveloppe de surface du HBV (virus de l'hépatite B)], anticorps monoclonal *Homo sapiens*;  
 chaîne lourde gamma1 *Homo sapiens* (1-449) [VH (*Homo sapiens* IGHV3-7\*01 (85.6%) -(IGHD) -IGHJ6\*01 (93.3%)) [8.8.12] (26-33.51-58.97-108) (1-119) -*Homo sapiens* IGHG1\*01, G1m17,1, G1v45 CH2 A1.1, L115, E117, G1v24 CH3 L107, S114 (CH1 K120 (216) (120-217), charnière 1-15 (218-232), CH2 G1.1>A (238), A115>L (332), I117>E (334) (233-342), CH3 D12 (358), L14 (360), M107>L (430), N114>S (436) (343-447), CHS (448-449)) (120-449)], (222-211')-disulfure avec la chaîne légère lambda *Homo sapiens* (1'-212') [V-LAMBDA (*Homo sapiens* IGLV3-1\*01 (81.9%) - IGLJ2\*01 (91,7%)) [6.3.9] (26-31.49-51.88-96) (1'-106') - *Homo sapiens* IGLC2\*01 (100%) (107'-212')]; dimère (228-228":231-231")-bisdisulfure, produit dans des cellules ovariennes de hamster chinois (CHO), lignée cellulaire CHO-K1, glycoforme alfa  
*antiviral*

tobevibart

immunoglobulina G1-lambda, anti-[proteína de envoltura de superficie del HBV (virus de la hepatitis B)], anticuerpo monoclonal *Homo sapiens*;  
 cadena pesada gamma1 *Homo sapiens* (1-449) [VH (*Homo sapiens* IGHV3-7\*01 (85.6%) -(IGHD) -IGHJ6\*01 (93.3%)) [8.8.12] (26-33.51-58.97-108) (1-119) -*Homo sapiens* IGHG1\*01, G1m17,1, G1v45 CH2 A1.1, L115, E117, G1v24 CH3 L107, S114 (CH1 K120 (216) (120-217), bisagra 1-15 (218-232), CH2 G1.1>A (238), A115>L (332), I117>E (334) (233-342), CH3 D12 (358), L14 (360), M107>L (430), N114>S (436) (343-447), CHS (448-449)) (120-449)], (222-211')-disulfuro con la cadena ligera lambda *Homo sapiens* (1'-212') [V-LAMBDA (*Homo sapiens* IGLV3-1\*01 (81.9%) - IGLJ2\*01 (91,7%)) [6.3.9] (26-31.49-51.88-96) (1'-106') - *Homo sapiens* IGLC2\*01 (100%) (107'-212')]; dímero (228-228":231-231")-bisdisulfuro, producido en las células ováricas de hámster chino (CHO), línea celular CHO-K1, forma glicosilada alfa  
*antiviral*

2645440-65-7

## Heavy chain / Chaîne lourde / Cadena pesada

ELQLVESGGG WVQPGGSQRL SCAASGRIFR SFYMSWVRQA PGKGLEWVAT 50  
 INQDGSSEKLY VDSVKGREFTI SRDNAKNSLF LQMNLRVED TAVYYCAAMS 100  
 GNSGGMDVWG QGTTVSVSSA STKGPVSFPL APSSKSTSGG TAALGCLVKD 150  
 YFPEPVTVSW NSGALTSVGH TFPVAVLQSSG LYSLSVVTV PSSSLGTTQTY 200  
 ICNVNHKPSN TKVDKKEVEPK SCDKTHTCPF CPAPELLAGP SVFLFPPKPK 250  
 DTLNISRTPE VTCVVVDVSH EDPEVKFNWY VDGVEVHNAK TKPREEQYNS 300  
 TYRVSVLTV LHQDWLNGKE YKCKVSNKAL PLPEEKTIKSK ARGQPREPQV 350  
 YTLPPSREDEL TKNQVSLTCL VKGFYPSDIA VEVESNGQPE NNYKTTFPVL 400  
 DSDGSFFLYS KLTVDKSRWQ QGNVFSCSVLA HEALTHSHYQ KSLSLSPGK 449

## Light chain / Chaîne légère / Cadena ligera

SYELTQPPSV SVSPGQTVSI PCSGDKLGNK NVAWFQHKPG QSPVLVIYEV 50  
 KYRPSGIPER FSGSNSNTA TLTISGTQAM DEAYFCQFT DSTTVVFGGG 100  
 TRLTVLGQPK AAPSVTLFPP SSEELQANKA TLVCLISDFY PGAVTVAWKA 150  
 DSSPVKAGVE TTTFSKQSNM KYAASSYLSL TPEQNKSHRS YSCQVTHEGS 200  
 TVEKTVAPTE CS 212

## Post-translational modifications

## Disulfide bridges location / Position des ponts disulfure / Posiciones de los puentes disulfuro

Intra-H (C23-C104) 22-96 146-202 263-323 369-427  
 22"-96" 146"-202" 263"-323" 369"-427"

Intra-L (C23-C104) 22"-87" 134"-193"  
 22"-87" 134"-193"

Inter-H-L (h 5-CL 126) 222-211" 222"-211"

Inter-H-H (h 11, h 14) 228-228" 231-231"

## N-glycosylation sites / Sites de N-glycosylation / Posiciones de N-glicosilación

H CH2 N84.4: 299, 299"

Fucosylated complex bi-antennary CHO-type glycans / glycanes de type CHO bi-antennaires complexes fucosylés / glicanos de tipo CHO biantenaricos complejos fucosilados

C-terminal lysine clipping / Coupure de la lysine C-terminale / Recorte de lisina C-terminal  
 H CHS K2: 449, 449"

## tonlamarsenum

tonlamarsen

*all-P-ambo-5'-O-(28-[(2-acetamido-2-deoxy-β-D-galactopyranosyl)oxy]-16,16-bis{[3-({6-[(2-acetamido-2-deoxy-β-D-galactopyranosyl)oxy]hexyl)amino]-3-oxopropoxy)methyl}-1-hydroxy-1,10,14,21-tetraoxo-2,18-dioxa-9,15,22-triaza-1λ<sup>5</sup>-phosphaoctacosan-1-yl)-2'-O-(2-methoxyethyl)-5-methyl-P-thiocytidylyl-(3'→5')-2'-O-(2-methoxyethyl)guanylyl-(3'→5')-2'-O,4'-C-[(1S)-ethane-1,1-diyl]-5-methylcytidylyl-(3'→5')-P-thiothymidylyl-(3'→5')-2'-deoxy-P-thioguanilyl-(3'→5')-2'-deoxy-P-thioadenilyl-(3'→5')-P-thiothymidylyl-(3'→5')-P-thiothymidylyl-(3'→5')-2'-deoxy-P-thioguanilyl-(3'→5')-P-thiothymidylyl-(3'→5')-2'-deoxy-5-methyl-P-thiocytidylyl-(3'→5')-2'-O,4'-C-[(1S)-ethane-1,1-diyl]guanylyl-(3'→5')-2'-O,4'-C-[(1S)-ethane-1,1-diyl]-P-thioguanilyl-(3'→5')-2'-O-(2-methoxyethyl)guanosine  
 angiotensinogen synthesis reducer, antihypertensive*

tonlamarsen

*tout-P-ambo-5'-O-(28-[(2-acétamido-2-désoxy-β-D-galactopyranosyl)oxy]-16,16-bis{[3-({6-[(2-acétamido-2-désoxy-β-D-galactopyranosyl)oxy]hexyl)amino]-3-oxopropoxy)méthyl}-1-hydroxy-1,10,14,21-tétraoxo-2,18-dioxa-9,15,22-triaza-1λ<sup>5</sup>-phosphaoctacosan-1-yl)-2'-O-(2-méthoxyéthyl)-5-méthyl-P-thiocytidylyl-(3'→5')-2'-O-(2-méthoxyéthyl)guanylyl-(3'→5')-2'-O,4'-C-[(1S)-éthane-1,1-diyl]-5-méthylcytidylyl-(3'→5')-P-thiothymidylyl-(3'→5')-2'-désoxy-P-thioguanilyl-(3'→5')-2'-désoxy-P-thioadénylyl-(3'→5')-P-thiothymidylyl-(3'→5')-P-thiothymidylyl-(3'→5')-2'-désoxy-P-thioguanilyl-(3'→5')-P-thiothymidylyl-(3'→5')-2'-désoxy-5-méthyl-P-thiocytidylyl-(3'→5')-2'-O,4'-C-[(1S)-éthane-1,1-diyl]guanylyl-(3'→5')-2'-O,4'-C-[(1S)-éthane-1,1-diyl]-P-thioguanilyl-(3'→5')-2'-O-(2-méthoxyéthyl)guanosine  
 réducteur de la synthèse de l'angiotensinogène,  
 antihypertenseur*

tonlamarsén

*todo-P-ambo-5'-O-(28-[(2-acetamido-2-desoxi-β-D-galactopiranosil)oxi]-16,16-bis[[3-((6-[(2-acetamido-2-desoxi-β-D-galactopiranosil)oxi]hexil)amino)-3-oxopropoxi]metil]-1-hidroxi-1,10,14,21-tetraoxo-2,18-dioxa-9,15,22-triaza-1λ<sup>5</sup>-fosfoactocosan-1-il)-5-metil-2'-O-(2-metoxietil)-P-tiocitidilil-(3'→5')-2'-O-(2-metoxietil)guanilil-(3'→5')-2'-O,4'-C-[(1S)-etano-1,1-dilil]-5-metilcitidilil-(3'→5')-P-tiotimidilil-(3'→5')-2'-desoxi-P-tioguanilil-(3'→5')-2'-desoxi-P-tioadenilil-(3'→5')-P-tiotimidilil-(3'→5')-P-tiotimidilil-(3'→5')-2'-desoxi-P-tioguanilil-(3'→5')-P-tiotimidilil-(3'→5')-2'-desoxi-5-metil-P-tiocitidilil-(3'→5')-2'-desoxi-5-metil-P-tiocitidilil-(3'→5')-2'-O,4'-C-[(1S)-etano-1,1-dilil]guanilil-(3'→5')-2'-O,4'-C-[(1S)-etano-1,1-dilil]-P-tioguanilil-(3'→5')-2'-O-(2-metoxietil)guanosina*

*reductor de la síntesis del angiotensinógeno, antihipertensivo*

C<sub>241</sub>H<sub>346</sub>N<sub>65</sub>O<sub>124</sub>P<sub>16</sub>S<sub>12</sub>

2589926-20-3

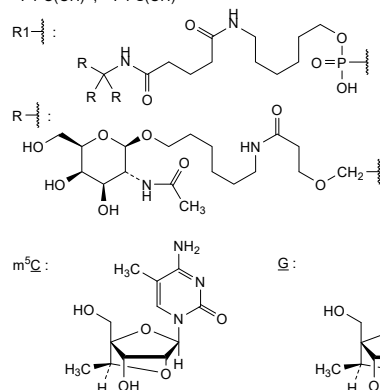
R1-m<sup>5</sup>Cmoe=Gmoe-m<sup>5</sup>C-dT=dG=dA=dT=dT=dT=dG=m<sup>5</sup>C<sub>g</sub>=G<sub>g</sub>=Gmoe

N : nucleoside / nucléoside / nucleósido

m<sup>5</sup>N : 5-methyl-N / 5-méthyl-N / 5-metil-NdN & N<sub>g</sub> : 2'-deoxy-N / 2'-désoxy-N / 2'-desoxi-N

Nmoe : 2'-O-(2-methoxyethyl)-N / 2'-O-(2-méthoxyéthyl)-N / 2'-O-(2-metoxietil)-N

- : -PO(OH)- ; = : -PS(OH)-



### torulimogenum lonferencelum

torulimogene lonferencel

irradiated human embryonic kidney cells (cell line HEK293) transfected with three self-inactivating, non-replicating lentiviral vectors individually expressing (i) codon-optimised Wilms tumour protein 1 (WT1) isoform D, (ii) codon-optimised cluster of differentiation 1d (CD1d), and (iii) a codon-optimised reverse *tetracycline*-controlled transactivator (rtTA), a fusion protein of the TetR repressor and the herpes simplex virus VP16 transactivation domain. Expression of both CD1d and rtTA is controlled by the cytomegalovirus immediate early (CMV IE) promoter; expression of WT1 is controlled by an inducible Tet responsive promoter (TRE). Each lentivirus vector also contains a packaging signal (Ψ), a Rev-response element (RRE), a central polypurine tract/central termination sequence (cPPT/CTS) and a Woodchuck hepatitis virus posttranscriptional regulatory element (WPRE), and are flanked by a 5' long terminal repeat (LTR) and a 3' self-inactivating long terminal repeat (SIN-LTR).

Colonies of transfected cells (expression of CD1d) were established as a Master cell bank (MCB). For the drug substance, cells are expanded and then *doxycycline* added to induce WT1 in the presence of  $\alpha$ -galactosylceramide ( $\alpha$ -GalCer), which binds to CD1d forming a CD1d/ $\alpha$ -GalCer complex on the cell surface. Finally, the cells are subject to X-ray irradiation. The cells express CD1d (>90%) and intracellular WT1 and the ratio of Cd1d to  $\alpha$ -GalCer is determined.

*cell-based gene therapy (antineoplastic)*

torulimogène Ionférencel

cellules rénales embryonnaires humaines irradiées (lignée cellulaire HEK293) transfectées avec trois vecteurs lentiviraux auto-inactivants et non répliquants exprimant individuellement (i) l'isoforme D de la protéine 1 de la tumeur de Wilms (WT1) aux codons optimisés, (ii) le cluster (groupe) de différenciation 1d (CD1d) aux codons optimisés, et (iii) un transactivateur inverse contrôlé par la *tétracycline* (rtTA) aux codons optimisés, une protéine de fusion du répresseur TetR et le domaine de transactivation VP16 du virus de l'herpès simplex. L'expression de CD1d et de rtTA est contrôlée par le promoteur immédiat précoce du cytomégalovirus (CMV IE); l'expression de WT1 est contrôlée par un promoteur inductible répondant à Tet (TRE). Chaque vecteur lentivirus contient également un signal d'encapsulation ( $\Psi$ ), un élément de réponse Rev (RRE), un tractus polypurine central/séquence de terminaison centrale (cPPT/CTS) et un élément de régulation post-transcriptionnel du virus de l'hépatite de marmotte (WPRE), et est flanqué d'une longue répétition terminale en 5' (LTR) et d'une longue répétition terminale auto-inactivante en 3' (SIN-LTR). Des colonies de cellules transfectées (expression de CD1d) ont été établies en tant que banque cellulaire primaire (MCB). Pour la substance médicamenteuse, les cellules sont amplifiées, puis de la *doxycycline* est ajoutée pour induire WT1 lors de la présence de  $\alpha$ -galactosylcéramide ( $\alpha$ -GalCer), qui se lie à CD1d en formant un complexe CD1d/ $\alpha$ -GalCer à la surface des cellules. Enfin, les cellules sont soumises à une irradiation aux rayons X. Les cellules expriment CD1d (>90%) et WT1 intracellulaire et le rapport de Cd1d à  $\alpha$ -GalCer est déterminé.

*thérapie génique à base de cellules (antinéoplasique)*

torulimogén Ionferencel

células de riñón embrionario humano (línea celular HEK293) irradiadas, transfectadas con tres vectores lentivirales auto-inactivantes, no replicativos que individualmente expresan (i) la isoforma D de la proteína 1 del tumor de Wilms (WT1), con codones optimizados, (ii) el grupo de diferenciación 1d (CD1d), con codones optimizados y (iii) un transactivador controlado por *tetraciclina* inverso (rtTA), con codones optimizados, una proteína de fusión del represor TetR y el dominio de transactivación VP16 del virus del herpes simplex. La expresión de CD1d y rtTA está controlada por el promotor inmediato temprano del citomegalovirus (CMV IE); la expresión de WT1 está controlada por un promotor inducible que responde a Tet (TRE). Cada vector de lentivirus contiene también una señal de empaquetamiento ( $\Psi$ ), un elemento de respuesta Rev (RRE), una secuencia de tracto de poli-purina central /secuencia de terminación central (cPPT/CTS) y un elemento regulador post-transcripcional del virus de la hepatitis de la marmota (WPRE), y está flanqueado por una repetición terminal larga en 5' (LTR) y una repetición terminal larga auto-inactivante en 3' (SIN-LTR).

Se establecieron colonias de células transfectadas (con expresión de CD1d) como un banco de células maestro (MCB). Para el principio activo, las células se expanden y después se añade *doxyciclina* para inducir WT1 en presencia de  $\alpha$ -galactosilceramida ( $\alpha$ -GalCer), que se une a CD1d para formar el complejo CD1d/ $\alpha$ -GalCer en la superficie celular. Finalmente, las células se someten a irradiación con rayos X. Las células expresan CD1d (>90%) y WT1 intracelular y se determina la ratio de Cd1D a  $\alpha$ -GalCer.

*terapia génica basada en células (antineoplásico)*

### trastuzumab imbotolimodum #

trastuzumab imbotolimod

immunoglobulin G1-kappa, anti-[*Homo sapiens* ERBB2 (epidermal growth factor receptor 2, receptor tyrosine-protein kinase erbB-2, EGFR2, HER2, HER-2, p185c-erbB2, NEU, CD340)], humanized monoclonal antibody, conjugated to *imbotolimod*, comprising a linker and a derivative of *telratolimod*; gamma1 heavy chain humanized (1-449) [VH (*Homo sapiens*IGHV3-66\*01 (81.6%) -(IGHD) -IGHJ4\*01 (100%), CDR-IMGT [8.8.13] (26-33.51-58.97-109)) (1-120) -*Homo sapiens*IGHG1\*03v, G1m3>G1m17, nG1m1 (CH1 R120>K (217) (121-218), hinge 1-15 (219-233), CH2 (234-343), CH3 E12 (359), M14 (361) (344-448), CHS K2>del (449)) (121-449)], (223-214')-disulfide with kappa light chain humanized (1'-214') [V-KAPPA (*Homo sapiens*IGKV1-39\*01 (86.3%) -IGKJ1\*01 (100%), CDR-IMGT [6.3.9] (27-32.50-52.89-97)) (1'-107') -*Homo sapiens*IGKC\*01 (100%), Km3 A45.1 (153), V101 (191) (108'-214')]; dimer (229-229":232-232")-bisdisulfide, produced in Chinese hamster ovary (CHO) cells, glycoform alfa, conjugated at N<sup>6</sup> of an average of 2.5 lysyl residues with 1-[4-(4-amino-2-butyl-1H-imidazo[4,5-c]quinolin-8-yl)piperazin-1-yl]-3,6,9,12,15,18,21,24,27,30-decaoxatritriacontan-33-oyl (*imbotolimod*) groups  
*antineoplastic*

trastuzumab imbotolimod

immunoglobuline G1-kappa, anti-[*Homo sapiens* ERBB2 (récepteur 2 du facteur de croissance épidermique, récepteur tyrosine-protéine kinase erbB-2, EGFR2, HER2, HER-2, p185c-erbB2, NEU, CD340)], anticorps monoclonal humanisé, conjugué à l'*imbotolimod*, comprenant un linker et un dérivé du *telratolimod*; chaîne lourde gamma1 humanisée (1-449) [VH (*Homo sapiens*IGHV3-66\*01 (81.6%) -(IGHD) -IGHJ4\*01 (100%), CDR-IMGT [8.8.13] (26-33.51-58.97-109)) (1-120) -*Homo sapiens*IGHG1\*03v, G1m3>G1m17, nG1m1 (CH1 R120>K (217) (121-218), charnière 1-15 (219-233), CH2 (234-343), CH3 E12 (359), M14 (361) (344-448), CHS K2>del (449)) (121-449)], (223-214')-disulfure avec la chaîne légère kappa humanisée (1'-214') [V-KAPPA (*Homo sapiens*IGKV1-39\*01 (86.3%) -IGKJ1\*01 (100%), CDR-IMGT [6.3.9] (27-32.50-52.89-97)) (1'-107') -*Homo sapiens*IGKC\*01 (100%), Km3 A45.1 (153), V101 (191) (108'-214')]; dimère (229-229":232-232")-bisdisulfure, produit dans des cellules ovariennes de hamster chinois (CHO), glycoforme alfa, conjugué en N<sup>6</sup> d'une moyenne de 2,5 résidus lysyle avec des groupes 1-[4-(4-amino-2-butyl-1H-imidazo[4,5-c]quinoléin-8-yl)pipérazin-1-yl]-3,6,9,12,15,18,21,24,27,30-décaoxatritriacontan-33-oyl (*imbotolimod*)  
*antineoplasique*

## trastuzumab imbotolimod

inmunoglobulina G1-kappa, anti-[*Homo sapiens* ERBB2 (receptor 2 del factor de crecimiento epidérmico, receptor tirosina-proteína quinasa erbB-2, EGFR2, HER2, HER-2, p185c-erbB2, NEU, CD340)], anticuerpo monoclonal humanizado, conjugado con *imbotolimod*, que comprende un linker y un derivado del *telratolimod*;  
 cadena pesada gamma1 humanizada (1-449) [VH (*Homo sapiens* IGHV3-66\*01 (81.6%) -(IGHD) - IGHJ4\*01 (100%), CDR-IMGT [8.8.13] (26-33.51-58.97-109)) (1-120) -*Homo sapiens* IGHG1\*03v, G1m3>G1m17, nG1m1 (CH1 R120>K (217) (121-218), bisagra 1-15 (219-233), CH2 (234-343), CH3 E12 (359), M14 (361) (344-448), CHS K2>del (449)) (121-449)], (223-214')-disulfuro con la cadena ligera kappa humanizada (1'-214') [V-KAPPA (*Homo sapiens* IGKV1-39\*01 (86.3%) -IGKJ1\*01 (100%), CDR-IMGT [6.3.9] (27-32.50-52.89-97)) (1'-107') -*Homo sapiens* IGKC\*01 (100%), Km3 A45.1 (153), V101 (191) (108'-214')]; dimère (229-229":232-232")-bisulfuro, producido en las células ováricas de hámster chino (CHO), forma glicosilada alfa, conjugado en N<sup>6</sup> de un promedio de 2,5 residuos de lisilo con grupos 1-[4-(4-amino-2-butil-1*H*-imidazo[4,5-*c*]quinolein-8-il)piperazin-1-il]-3,6,9,12,15,18,21,24,27,30-decaoxatritriacontan-33-oilo (*imbotolimod*)  
**antineoplásico**

2643926-85-4

## Heavy chain / Chaîne lourde / Cadena pesada

```
EVQLVESGGG LVQPGGSLRL SCAASGFSNIK DTYIHWVRQA PGKGLEWVAR 50
IYPTNGYTRY ADSVRGRFTI SADTSKNTAY LQMNSLRAED TAVYCSRWG 100
GDGFYAMDYW GQGLTIVTSS ASTKGPSVFP LAPSSKSTSG GTAALGCLVK 150
DYFPEFVTVS WNSGALTSV HTFFPAVLQSS GLYLSVSWT VFSSSLGTQT 200
YICNVNHKPS NTKVDRKVEP KSCDKHTPC PCPAPPELLGG FSVFLFPPK 250
KDTLMISRTF EIVTCVVVDV HEDPEVKFNW YVDGVEVHNA KTKPREEQYN 300
STYRVVSVLT VLNQDNLNGK EYKCKVSNKA LPAPIEKTTIS KAKGQPREPQ 350
VYTLPPSREE MTKNQVSLTC LVKGFYPSDI AVEWESNGQP ENNYKTTTPV 400
LSDGGSFFLY SKLTVDKSRW QQGNVFSVCSV MHEALHNHYT QKSLSLSPG 449
```

## Light chain / Chaîne légère / Cadena ligera

```
DIQMTQSPSS LSASVGDRTV ITCRASQDVN TAVAWYQQKPK GKAPKLLIYS 50
ASFLYSGVPS RFSGSRSGTD FTLTISSLQP EDFATYVCQQ HYTPPTFGQ 100
GTRKVEIKRTV AAPSVEIFPP SDEQLKSGTA SVVCLLNNEY PREAKVQWKV 150
DNALQSGNSQ ESVTEQDSK STYSLSSLT LSKADYERKH VYACEVTHQG 200
LSSPVTKSFN RGEC 214
```

## Post-translational modifications

Disulfide bridges location / Position des ponts disulfure / Posiciones de los puentes disulfuro

Intra-H (C23-C104) 22-96 147-203 264-324 370-428  
 22"-96" 147"-203" 264"-324" 370"-428"

Intra-L (C23-C104) 23'-88' 134'-194'  
 23"-88"" 134""-194""

Inter-H-L (h 5-CL 126) 223'-214' 223"-214"

Inter-H-H (h 11, h 14) 229-229" 232-232"

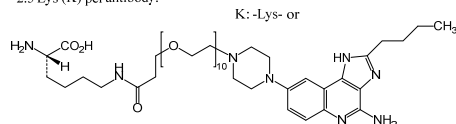
N-glycosylation sites / Sites de N-glycosylation / Posiciones de N-glicosilación  
 HCH2 N84.4:

300, 300"

Fucosylated complex bi-antennary CHO-type glycans / glycanes de type CHO bi-antennaires complexes fucosylés / glicanos de tipo CHO biantennarios complejos fucosilados

Conjugation sites / Sites de conjugaison / Posiciones de coniugación

~2.5 Lys (K) per antibody:



**trastuzumabum rezetecanum #**

trastuzumab rezetecan immunoglobulin G1-kappa, anti-[*Homo sapiens* ERBB2 (epidermal growth factor receptor 2, receptor tyrosine-protein kinase erbB-2, EGFR2, HER2, HER-2, p185c-erbB2, NEU, CD340)], humanized monoclonal antibody, conjugated via a cleavable linker with a camptothecin derivative; gamma1 heavy chain humanized (1-450) [VH (*Homo sapiens* IGHV3-66\*01 (81.6%) -(IGHD) -IGHJ4\*01 (100%), CDR-IMGT [8.8.13] (26-33.51-58.97-109)) (1-120) -*Homo sapiens* IGHG1\*03v, G1m3>G1m17, nG1m1 (CH1 R120>K (217) (121-218), hinge 1-15 (219-233), CH2 (234-343), CH3 E12 (359), M14 (361) (344-448), CHS (449-450)) (121-450)], (223-214')-disulfide with kappa light chain humanized (1'-214') [V-KAPPA (*Homo sapiens* IGKV1-39\*01 (86.3%) -IGKJ1\*01 (100%), CDR-IMGT [6.3.9] (27-32.50-52.89-97)) (1'-107') -*Homo sapiens* IGKC\*01 (100%), Km3 A45.1 (153), V101 (191) (108'-214')]; dimer (229-229":232-232")-bisdisulfide, produced in Chinese hamster ovary (CHO) cells, cell line CHO-K1SV lacking the glutamine synthetase (GS-KO) gene, glycoform alfa, conjugated on an average of 5.3 to 6.4 cysteinyl, with (3RS)-1-[(2R,10S)-10-benzyl-2-cyclopropyl-1-[[[(1S,9S)-9-ethyl-5-fluoro-9-hydroxy-4-methyl-10,13-dioxo-2,3,9,10,13,15-hexahydro-1H,12H-benzo[de]pyrano[3',4':6,7]indolizino[1,2-b]quinolin-1-yl]amino]-1,6,9,12,15,18-hexaoxo-3-oxa-5,8,11,14,17-pentaazatricosan-23-yl]-2,5-dioxopyrrolidin-3-yl (rezetecan) groups *antineoplastic*

trastuzumab rézétécán

immunoglobuline G1-kappa, anti-[*Homo sapiens* ERBB2 (récepteur 2 du facteur de croissance épidermique, récepteur tyrosine-protéine kinase erbB-2, EGFR2, HER2, HER-2, p185c-erbB2, NEU, CD340)], anticorps monoclonal humanisé, conjugué via un lieu clivable avec un dérivé de camptothécine; chaîne lourde gamma1 humanisée (1-450) [VH (*Homo sapiens* IGHV3-66\*01 (81.6%) -(IGHD) -IGHJ4\*01 (100%), CDR-IMGT [8.8.13] (26-33.51-58.97-109)) (1-120) -*Homo sapiens* IGHG1\*03v, G1m3>G1m17, nG1m1 (CH1 R120>K (217) (121-218), charnière 1-15 (219-233), CH2 (234-343), CH3 E12 (359), M14 (361) (344-448), CHS (449-450)) (121-450)], (223-214')-disulfure avec la chaîne légère kappa humanisée (1'-214') [V-KAPPA (*Homo sapiens* IGKV1-39\*01 (86.3%) -IGKJ1\*01 (100%), CDR-IMGT [6.3.9] (27-32.50-52.89-97)) (1'-107') -*Homo sapiens* IGKC\*01 (100%), Km3 A45.1 (153), V101 (191) (108'-214')]; dimère (229-229":232-232")-bisdisulfure, produit dans des cellules ovariennes de hamster chinois (CHO), lignée cellulaire CHO-K1SV ne présentant pas le gène de la glutamine synthétase (GS-KO), glycoforme alfa, conjugué en moyenne de 5,3 à 6,4 résidus cystéinyle, avec des groupes (3RS)-1-[[[(1S,9S)-9-éthyl-5-fluoro-9-hydroxy-4-méthyl-10,13-dioxo-2,3,9,10,13,15-hexahydro-1H,12H-benzo[de]pyrano[3',4':6,7]indolizino[1,2-b]quinoléin-1-yl]amino]-1,6,9,12,15,18-hexaoxo-3-oxa-5,8,11,14,17-pentaazatricosan-23-yl]-2,5-dioxopyrrolidin-3-yle (rézétécán) *antineoplasique*

trastuzumab rezetecán

immunoglobulina G1-kappa, anti-[*Homo sapiens* ERBB2 (receptor 2 del factor de crecimiento epidérmico, receptor tirosina-proteína kinasa erbB-2, EGFR2, HER2, HER-2, p185c-erbB2, NEU, CD340)], anticuerpo monoclonal humanizado, conjugado mediante un enlace escindible con un derivado de camptotecina;

cadena pesada gamma1 humanizada (1-450) [VH (*Homo sapiens* IGHV3-66\*01 (81.6%) -(IGHD) -IGHJ4\*01 (100%), CDR-IMGT [8.8.13] (26-33.51-58.97-109)) (1-120) -*Homo sapiens* IGHG1\*03v, G1m3>G1m17, nG1m1 (CH1 R120>K (217) (121-218), bisagra 1-15 (219-233), CH2 (234-343), CH3 E12 (359), M14 (361) (344-448), CHS (449-450)) (121-450)], (223-214')-disulfuro con la cadena ligera kappa humanizada (1'-214') [V-KAPPA (*Homo sapiens* IGKV1-39\*01 (86.3%) -IGKJ1\*01 (100%), CDR-IMGT [6.3.9] (27-32.50-52.89-97)) (1'-107') -*Homo sapiens* IGKC\*01 (100%), Km3 A45.1 (153), V101 (191) (108'-214')]; dímero (229-229":232-232")-bisdisulfuro, producido en las células ováricas de hámster chino (CHO), línea celular CHO-K1SV en ausencia del gen glutamina sintetasa (GS-KO), forma glicosilada alfa, conjugado, en un promedio de 5,3 a 6,4 residuos de cisteinilo, con grupos (3*RS*)-1-[(2*R*,10*S*)-10-bencil-2-ciclopropil-1-[[[(1*S*,9*S*)-9-etil-5-fluoro-9-hidroxi-4-metil-10,13-dioxo-2,3,9,10,13,15-hexahidro-1*H*,12*H*-benzo[de]pirano[3',4':6,7]indolizino[1,2-*b*]quinolein-1-il]amino]-1,6,9,12,15,18-hexaoxo-3-oxa-5,8,11,14,17-pentaazatriosano-23-il]-2,5-dioxopirrolidin-3-ilo (*rezetecán*)  
*antineoplásico*

2647845-11-0

## Heavy chain / Chaîne lourde / Cadena pesada

EVQLVESGGG	LVQPGGSLRL	SCAASGFNIK	DTYIHWVRQA	PGKGLEWVAR	50
IYPTNGYTRY	ADSVKGRFTI	SADTSKNTAY	LQMSNLRAD	TAVYICSRWG	100
GDGFYAMDYV	GGQTLVTVSS	ASTKGPSVFP	LAPSSKSTSG	GTAALGCLVK	150
DYFPEPVTVS	WNSGALTSGV	HTFPAVLQSS	GLYSLSSVVT	VPSSSLGTQT	200
YICNVNHKPS	NTKVDKKEVP	KSCDRHTTCT	PCPAPELLGG	PSVFLFPPKP	250
KDTLMISRTF	EVTCVVDVDS	HEDPEVKFNW	YVDGVEVHNA	KTKPREEQYN	300
STYRVVSVLT	VLHQDWLNGK	EYKCKVSNKA	LPAPIEKTIS	KAKGQPREPK	350
VYTLPPSREE	MTKNQVSLTC	LVRGFPYPSDI	AVEWESNQGQ	ENNYKTTTPPV	400
LSDSGSFFLY	SKLTVDKSRW	QQGNVFSCSV	MHEALHNHYT	QKSLSLSPGK	450

## Light chain / Chaîne légère / Cadena ligera

DIQMTQSPSS	LSASVGRDVT	ITCRASQDVN	TAVAWYQKPK	GKAPKLLIYS	50
ASFLYSGVPS	RFSGSRSGTD	FLLTISSLQF	EDFATYYCQQ	HYTTPPTFGQ	100
GTKVEIKRTV	AAPSVFIFPP	SDEQLKSGTA	SVVCLLNIFY	PREAKVQWKV	150
DNALQSGNSQ	ESVTEQDSKD	STYSLSSLT	LSKADYEKHK	VYACEVTHQG	200
LSSPVTKSFN	RGEC				214

## Post-translational modifications

## Disulfide bridges location / Position des ponts disulfure / Posiciones de los puentes disulfuro

Intra-H (C23-C104) 22-96 147-203 264-324 370-428

22"-96" 147"-203" 264"-324" 370"-428"

Intra-L (C23-C104) 23'-88' 134'-194'

23"-88" 134"-194"

Inter-H-L (h 5-CL 126)\* 223-214' 223"-214"

Inter-H-H (h 11, h 14)\* 229-229" 232-232"

\*Three to four inter-chain disulfide bridges are not present, an average of 5 to 6 cysteinyl being conjugated each via a thioether bond to a drug linker.

## N-glycosylation sites / Sites de N-glycosylation / Posiciones de N-glicosilación

H CH2 N84.4:

300, 300"

## Fucosylated complex bi-antennary CHO-type glycans / glycanes de type CHO bi-antennaires

complexes fucosylés / glicanos de tipo CHO biantennarios complejos fucosilados

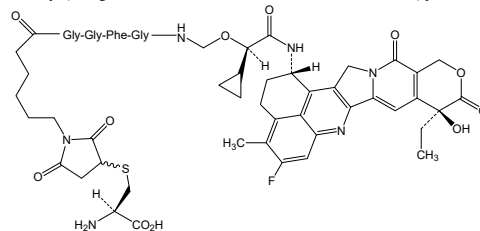
## C-terminal lysine clipping / Coupure de la lysine C-terminale / Recorte de lisina C-terminal

H CHS K2:

450, 450"

## Conjugation sites / Sites de conjugaison / Posiciones de conjugación

5.3-6.4 Cys (among C223, C229, C232, C214', C223", C229", C232", C214") per antibody:



**tremtelectogenum empogeditemcelum #**

tremtelectogene empogeditemcel

allogeneic human CD34<sup>+</sup> hematopoietic stem and progenitor cells (HSPC) obtained from peripheral blood by leukapheresis from human leukocyte antigen (HLA)-matched healthy donors, genetically modified *ex vivo* by CRISPR/Cas9 (clustered regularly interspaced short palindromic repeats (CRISPR)-associated protein-9 (Cas9)) nuclease, complexed with a guide RNA (gRNA) that binds to a 20-base pair target DNA sequence at the intron 2/exon 3 boundary of the sialic acid binding Ig-like lectin 3 (Siglec-3, CD33) gene, which introduces a premature stop codon and degradation of the mRNA such that no functional CD33 is expressed.

The cell suspension is enriched for CD34<sup>+</sup> cells using magnetic bead separation. Following electroporation, the cells are cultured in media containing stem cell factor (SCF), Fms-related tyrosine kinase 3 ligand (FLT-3L), and thrombopoietin (TPO). The substance consists of cells with ≥90% CD34 purity and ≥50% on-target editing of CD33.

*cell-based gene therapy (antineoplastic)*

tremtélectogène empogéditemcel

cellules souches et progénitrices hématopoïétiques humaines CD34<sup>+</sup> allogéniques (HSPC) obtenues à partir de sang périphérique par leucaphérèse de donneurs sains dont le HLA est compatible, génétiquement modifiées *ex vivo* par la nucléase CRISPR/Cas9 (courtes répétitions palindromiques groupées et régulièrement espacées associées à la protéine 9 (Cas9)) complexée avec un ARN guide (gRNA) qui se lie à une séquence d'ADN cible de 20 paires de bases à la limite de l'intron 2/exon 3 du gène Ig-like lectine 3 (Siglec-3, CD33) qui introduit un codon stop prématuré et une dégradation de l'ARNm de sorte qu'aucun CD33 fonctionnel n'est exprimé.

La suspension cellulaire est enrichie en cellules CD34<sup>+</sup> par séparation avec billes magnétiques. Après électroporation, les cellules sont cultivées dans un milieu contenant le facteur des cellules souches (SCF), le ligand de la tyrosine kinase 3 liée au Fms (FLT-3L) et la thrombopoïétine (TPO). La substance est constituée de cellules présentant une pureté de CD34 ≥90% et une édition atteignant l'objectif de CD33 ≥50%.

*thérapie génique à base de cellules (antineoplasique)*

tremtelectogén empogeditemcel

células madre y precursores hematopoyéticos (HSPC) CD34<sup>+</sup> humanas, alogénicas, obtenidas de sangre periférica mediante leucaféresis de donantes sanos con compatibilidad HLA, modificadas genéticamente *ex vivo* mediante CRISPR/Cas9 (proteína nucleasa-9 asociada a repeticiones palindrómicas cortas agrupadas y espaciadas regularmente (CRISPR) (Cas9)) en complejo con un ARN guía (ARNg) que se une a una secuencia diana de ADN de 20 pares de bases en la frontera del intrón 2/exón 3 del gen de la lectina 3 de unión a ácido siálico similar a Ig (Siglec-3, CD33) que introduce un codón de terminación prematuro resultando en la degradación del ARNm de forma que no se expresa un CD33 funcional.

La suspensión celular se enriquece en células CD34+ usando separación por bolas magnéticas. Tras la electroporación, las células se cultivan en medio que contiene factor de células madre (SCF), ligando de tirosina quinasa 3 similar a FMS (Flt3L) y trombopoyetina (TPO). La sustancia consiste en células con una pureza de ≥90% para CD34 y ≥50% con edición en el sitio deseado (*on-target*) de CD33.  
*terapia génica basada en células (antineoplásico)*

**tulisokibartum #**  
tulisokibart

immunoglobulin G1-kappa, anti-[*Homo sapiens*TNFSF15 (tumor necrosis factor (TNF) superfamily member 15, TL1A, vascular endothelial cell growth inhibitor 192-A, VEG192A), membrane and soluble], humanized monoclonal antibody; gamma1 heavy chain humanized (1-446) [VH (*Homo sapiens* IGHV1-46\*02 (80.6%) -(IGHD) -IGHJ6\*01 (100%), CDR-IMGT [8.8.9](26-33.51-58.97-105)) (1-116) -*Homo sapiens* IGHG1\*01, G1m17,1, G1v14 CH2 A1.3, A1.2, G1v4 CH2 A114 (CH1 K120 (213) (117-214), hinge 1-15 (215-229), CH2L1.3>A (233), L1.2>A (234), P114>A(328) (230-339), CH3 D12 (355), L14 (357) (340-444), CHS (445-446)) (117-446)], (219-213')-disulfide with kappa light chain humanized (1'-213') [V-KAPPA (*Homo sapiens* IGKV3D-11\*02 (85.6%) -IGKJ4\*01 (90.9%), CDR-IMGT [5.3.9] (27-31.49-51.88-96)) (1'-106') -*Homo sapiens* IGKC\*01 (100%), Km3 A45.1 (152), V101 (190) (107'-213')]; dimer (225-225": 228-228")-bisdisulfide, produced in Chinese hamster ovary (CHO) cells, cell line CHO-DG44, glycoform alfa  
*anti-inflammatory*

tulisokibart

immunoglobuline G1-kappa, anti-[*Homo sapiens* TNFSF15 (membre 15 de la superfamille TNFSF des facteurs de nécrose tumorale, TL1A, inhibiteur 192-A de la croissance des cellules de l'endothélium vasculaire, VEG192A), membrane et soluble], anticorps monoclonal humanisé; chaîne lourde gamma1 humanisée (1-446) [VH (*Homo sapiens* IGHV1-46\*02 (80.6%) -(IGHD) - IGHJ6\*01 (100%), CDR-IMGT [8.8.9] (26-33.51-58.97-105)) (1-116) -*Homo sapiens* IGHG1\*01, G1m17,1, G1v14 CH2 A1.3, A1.2, G1v4 CH2 A114 (CH1 K120 (213) (117-214), charnière 1-15 (215-229), CH2 L1.3>A (233), L1.2>A (234), P114>A (328) (230-339), CH3 D12 (355), L14 (357) (340-444), CHS (445-446)) (117-446)], (219-213')-disulfure avec la chaîne légère kappa humanisée (1'-213') [V-KAPPA (*Homo sapiens* IGKV3D-11\*02 (85.6%) -IGKJ4\*01 (90.9%), CDR-IMGT [5.3.9] (27-31.49-51.88-96)) (1'-106') -*Homo sapiens* IGKC\*01 (100%), Km3 A45.1 (152), V101 (190) (107'-213')]; dimère (225-225": 228-228")-bisdisulfure, produit dans des cellules ovariennes de hamster chinois (CHO), lignée cellulaire CHO-DG44, glycoforme alfa  
*anti-inflammatoire*

tulisokibart

inmunoglobulina G1-kappa, anti-[*Homo sapiens* TNFSF15 (miembro 15 de la superfamilia TNFSF de los factores de necrosis tumoral, TL1A, inhibidor 192-A del crecimiento de las células del endotelio vascular, VEG192A), membrana y soluble], anticuerpo monoclonal humanizado;

cadena pesada gamma1 humanizada (1-446) [VH (*Homo sapiens* IGHV1-46\*02 (80.6%) -(IGHD) -IGHJ6\*01 (100%), CDR-IMGT [8.8.9] (26-33.51-58.97-105)) (1-116) -*Homo sapiens* IGHG1\*01, G1m17,1, G1v14 CH2 A1.3, A1.2, G1v4 CH2 A114 (CH1 K120 (213) (117-214), bisagra 1-15 (215-229), CH2 L1.3>A (233), L1.2>A (234), P114>A (328) (230-339), CH3 D12 (355), L14 (357) (340-444), CHS (445-446)) (117-446)], (219-213')-disulfuro con la cadena ligera kappa humanizada (1'-213') [V-KAPPA (*Homo sapiens* IGKV3D-11\*02 (85.6%) -IGKJ4\*01 (90.9%), CDR-IMGT [5.3.9] (27-31.49-51.88-96)) (1'-106') -*Homo sapiens* IGKC\*01 (100%), Km3 A45.1 (152), V101 (190) (107'-213')]; dímero (225-225": 228-228")-bisulfuro, producido en las células ováricas de hámster chino (CHO), línea celular CHO-DG44, forma glicosilada alfa  
**antiinflamatorio**

2648504-55-4

## Heavy chain / Chaîne lourde / Cadena pesada

```

QVQLVQSGAE VPKPGASVKV SKKASGFDIQ DTYMHWVKQR PGQGLEWMGR 50
IDPASGHTKY DPKFKQVRVTL TRDTSTSTVY LELSSLRSED TAVYYCARSG 100
GLPDVWGQGT TVTVSSASTK GFSVFELAPS SKSTSGGTAA LGCLVKDYFP 150
EPVTVSWNSG ALTSGVHTFP AVLQSSGLYS LSSVVTVPSS SLGTQTYICN 200
VNHKFSNTKV DKKVEPKSCD KHTHCPCPA PEARAGGVSFV LFPKPKDPTL 250
MISRTPVETC VVVDVSHEDP EVKFNWYVDG VEVHNKATPK REEQYNSTYR 300
VVSVLTVLHQ DWLNGKEYKC KVSNKALAAP IEKTIISKAKG QRPFPQVYTL 350
PPSRDELTKN QVSLTCLVKG FYPSDIAVEW ESNQGPENNY KTFPPVLDS 400
GSFFLYSKLT VDKSRWQQGN VFSCSVMHEA LNHHTYTKSL SLSPGK 446

```

## Light chain / Chaîne légère / Cadena ligera

```

EIVLTQSPGT LSLSPGERAT LSCRASSSVS YMYWYQQKPKG QAPRPLIYAT 50
SNLASGI PDR FSGSGSDTDF TLTISRLEPE DPAVYYCQGW EGNPRTFPGG 100
TKLEIKRTVA APSVFIFFPS DEQLKSGTAS VVCLLNFPY REARVQWKVD 150
NALQSGNSQE SVTEQDSKDS TYSLSLSTLT SKADYEKHKV YACEVTHQGL 200
SSPVTKSFNR GEC 213

```

## Post-translational modifications

Disulfide bridges location / Position des ponts disulfure / Posiciones de los puentes disulfuro

Intra-H (C23-C104) 22-96 143-199 260-320 366-424  
22"-96" 143"-199" 260"-320" 366"-424"

Intra-L (C23-C104) 23'-87' 133'-193'  
23"'-87'" 133"'-193'"

Inter-H-L (h 5-CL 126) 219-213' 219"-213"

Inter-H-H (h 11, h 14) 225-225" 228-228"

N-terminal glutaminyl cyclization / Cyclisation du glutaminyle N-terminal / Ciclación del glutaminilo N-terminal

Q > pyroglutamyl (pE, 5-oxoprolyl) / pyroglutamide (pE, 5-oxoprotyl) / piroglutamilo (pE, 5-oxoprolilo)  
H VH Q1: 1, 1"

N-glycosylation sites / Sites de N-glycosylation / Posiciones de N-glicosilación

H CH2 N84.4: 296, 296"

Fucosylated complex bi-antennary CHO-type glycans / glycanes de type CHO bi-antennaires complexes fucosylés / glicanos de tipo CHO biantenarijos complejos fucosilados.

C-terminal lysine clipping / Coupure de la lysine C-terminale / Recorte de lisina C-terminal  
H CHS K2: 446, 446"**tunodafilem**

tunodafil

2-[2-ethoxy-5-(4-ethylpiperazine-1-sulfonyl)phenyl]-5-methyl-7-propyl-3,7-dihydro-4H-pyrrolo[2,3-d]pyrimidin-4-one  
**phosphodiesterase 5 (PDE5) inhibitor**

tunodafil

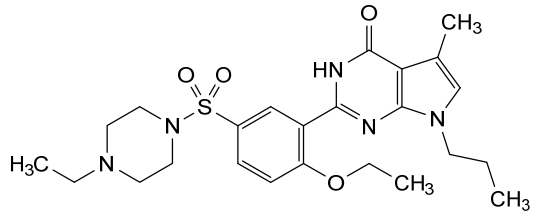
2-[2-éthoxy-5-(4-éthylpipérazine-1-sulfonyl)phényl]-5-méthyl-7-propyl-3,7-dihydro-4H-pyrrolo[2,3-d]pyrimidin-4-one  
**inhibiteur de la phosphodiesterase 5 (PDE5)**

tunodafilo

2-[5-(4-éthylpiperazina-1-sulfonil)-2-étoxfenil]-5-méthyl-7-propil-3,7-dihydro-4*H*-pirrolo[2,3-*d*]pyrimidin-4-ona  
*inhibidor de la fosfodiesterasa 5 (PDE5)*

C<sub>24</sub>H<sub>33</sub>N<sub>5</sub>O<sub>4</sub>S

804518-63-6

**tuparstobartum #**

tuparstobart

immunoglobulin G1-kappa, anti-[*Homo sapiens* LAG3 (lymphocyte activating 3, lymphocyte-activation 3, CD223)], humanized monoclonal antibody; gamma1 heavy chain humanized (1-450) [VH (*Homo sapiens* IGHV1-46\*02 (80.4%) -(IGHD) -IGHJ4\*01 (100%), CDR-IMGT [8.8.14] (26-33.51-58.97-110)) (1-121) -*Homo sapiens* IGHG1\*03, G1m3, nG1m1, G1v29 CH2 A84.4 (CH1 R120 (218) (122-219), hinge 1-15 (220-234), CH2 N84.4>A (301) (235-344), CH3 E12 (360), M14 (362) (345-449), CHS K2>del (450)) (122-450)], (224-215')-disulfide with kappa light chain humanized (1'-215') [V-KAPPA (*Homo sapiens* IGKV3-20\*01 (86.5%) -IGKJ1\*01 (91.7%), CDR-IMGT [7.3.9] (27-33.51-53.90-98)) (1'-108') -*Homo sapiens* IGKC\*01 (100%), Km3 A45.1 (154), V101 (192) (109'-215')]; dimer (230-230": 233-233")-bisdisulfide, produced in Chinese hamster ovary (CHO) cells, cell line CHO-K1SV lacking the glutamine synthetase (GS-KO) gene, non-glycosylated  
*immunostimulant, antineoplastique*

tuparstobart

immunoglobuline G1-kappa, anti-[*Homo sapiens* LAG3 (activateur 3 des lymphocytes, lymphocyte-activation 3, CD223)], anticorps monoclonal humanisé; chaîne lourde gamma1 humanisée (1-450) [VH (*Homo sapiens* IGHV1-46\*02 (80.4%) -(IGHD) -IGHJ4\*01 (100%), CDR-IMGT [8.8.14] (26-33.51-58.97-110)) (1-121) -*Homo sapiens* IGHG1\*03, G1m3, nG1m1, G1v29 CH2 A84.4 (CH1 R120 (218) (122-219), charnière 1-15 (220-234), CH2 N84.4>A (301) (235-344), CH3 E12 (360), M14 (362) (345-449), CHS K2>del (450)) (122-450)], (224-215')-disulfure avec la chaîne légère kappa humanisée (1'-215') [V-KAPPA (*Homo sapiens* IGKV3-20\*01 (86.5%) -IGKJ1\*01 (91.7%), CDR-IMGT [7.3.9] (27-33.51-53.90-98)) (1'-108') -*Homo sapiens* IGKC\*01 (100%), Km3 A45.1 (154), V101 (192) (109'-215')]; dimère (230-230": 233-233")-bisdisulfure, produit dans des cellules ovariennes de hamster chinois (CHO), lignée cellulaire CHO-K1SV ne présentant pas le gène de la glutamine synthétase (GS-KO), non-glycosylé  
*immunostimulant, antinéoplasique*

tuparstobart

immunoglobulina G1-kappa, anti-[*Homo sapiens* LAG3 (activador 3 de los linfocitos, activación de linfocito 3, CD223)], anticuerpo monoclonal humanizado; cadena pesada gamma1 humanizada (1-450) [VH (*Homo sapiens* IGHV1-46\*02 (80.4%) -(IGHD) - IGHJ4\*01 (100%), CDR-IMGT [8.8.14] (26-33.51-58.97-110)) (1-121) -*Homo sapiens* IGHG1\*03, G1m3, nG1m1, G1v29 CH2 A84.4 (CH1 R120 (218) (122-219), bisagra 1-15 (220-234), CH2 N84.4>A (301) (235-344), CH3 E12 (360), M14 (362) (345-449), CHS K2>del (450)) (122-450)], (224-215')-disulfuro con la cadena ligera kappa humanizada (1'-215') [V-KAPPA (*Homo sapiens* IGKV3-20\*01 (86.5%) -IGKJ1\*01 (91.7%), CDR-IMGT [7.3.9] (27-33.51-53.90-98)) (1'-108') -*Homo sapiens* IGKC\*01 (100%), Km3 A45.1 (154), V101 (192) (109'-215')]; dímero (230-230": 233-233")-bisdisulfuro, producido en las células ováricas de hámster chino (CHO), línea celular CHO-K1SV en ausencia del gen glutamina sintetasa (GS-KO), no glicosilado  
*inmunoestimulante, antineoplásico*

2649466-03-3

Heavy chain / Chaîne lourde / Cadena pesada  
 QVQMVQSGAE VKKPGASVKV SCASGFNIK DTYIHWRQA PGGQLEWME 50  
 IDPANDNTKY DPKFQGRVTI TADTSTSTVY MELSSLRSED TAVYYCATY 100  
 YKYDVGGFDY WQQGLVTVS SASTKGPSVF PLAPSSRSTS GGTAAALGCLV 150  
 KDYFPPEVTV SWNSGALTSV VHTFPAVLQS SGLYSLSSVV TVPSSSLGTQ 200  
 TYICNVNHFV SNTKVDKRVV PKSCDKTHTC PCCPAPELLG GPSVFLFPPK 250  
 PKDTLMSRST PEVTCVVVDV SHEDPEVKFN WYVDGVEVHN ARTKPREEQY 300  
 ASTYRVVSVL TVLHQDWLNG KEYKCKVSNK ALPAPIEKTI SKAKGQPREP 350  
 QVYTLPPSRE EMTKNQVSLT CLVKGFPYPSD IAVEWESNGQ PENNYKTTPT 400  
 VLDSGDSFFL YSKLTVDKSR WQQGNVFSCS VMHEALHNHY TQKLSLSLSPG 450

Light chain / Chaîne légère / Cadena ligera  
 EIVLTQSPGT LSLSPGERAT LSCSVSSSIS SSNLHWYQQK PQAAPRLLIY 50  
 GTSNLAAGIP DRFSGSGSGT DFTLTISRLE PEDFAVYYCQ QWSSYPFTFG 100  
 QGTKVEIKRT VAAPSVEFIFP PSDEQLKSGT ASVVCLLNMF YPREAKVQWK 150  
 VDNALQSGNS QESVTEQDSK DSTYLSLSTL TLSKADYERK KVAACEVTHQ 200  
 GLSSPVTKSF NRGEC 215

**Post-translational modifications**

Disulfide bridges location / Position des ponts disulfure / Posiciones de los puentes disulfuro

Intra-H (C23-C104) 22°-96° 148°-204° 265°-325° 371°-429°  
 22°-96° 148°-204° 265°-325° 371°-429°

Intra-L (C23-C104) 23°-89° 135°-195°  
 23°-89° 135°-195°

Inter-H-L (h 5-CL 126) 224°-215° 224°-215°

Inter-H-H (h 11, h 14) 230°-230° 233°-233°

N-terminal glutaminyl cyclization / Cyclisation du glutaminyle N-terminal / Ciclación del glutaminilo N-terminal

Q > pyroglutamyl (pE, 5-oxopropyl) / pyroglutamyle (pE, 5-oxopropyle) / piroglutamilo (pE, 5-oxopropililo)

H VH Q1: 1, 1"

No N-glycosylation sites / pas de sites de N-glycosylation / ningún posición de N-glycosilación  
 H CH2 N84.4>A (G1v29): 301, 301"

tuspetinibum

tuspetinib

5-chloro-*N*-(3-cyclopropyl-5-[[{(3*R*,5*S*)-3,5-dimethylpiperazin-1-yl]methyl}phenyl]-4-(6-methyl-1*H*-indol-3-yl)pyrimidin-2-amine  
*tyrosine kinase inhibitor, antineoplastic*

tuspetinib

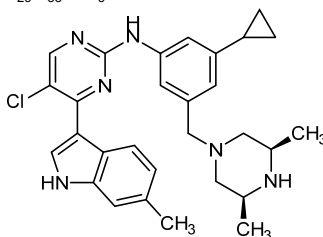
5-chloro-*N*-(3-cyclopropyl-5-[[{(3*R*,5*S*)-3,5-diméthylpipérazin-1-yl]méthyl}phényl]-4-(6-méthyl-1*H*-indol-3-yl)pyrimidin-2-amine  
*inhibiteur de la tyrosine kinase, antinéoplasique*

tuspetinib

*N*-(3-ciclopropil-5-[[[(3*R*,5*S*)-3,5-dimetilpiperazin-1-il]metil]fenil]-5-cloro-4-(6-metil-1*H*-indol-3-il)pirimidin-2-amina  
*inhibidor de la tirosina kinasa, antineoplásico*

C<sub>29</sub>H<sub>33</sub>ClN<sub>6</sub>

2294874-49-8

**tuvusertibum**

tuvusertib

2-amino-6-fluoro-*N*-[5-fluoro-4-(1-metil-1*H*-imidazol-5-yl)piridin-3-yl]pirazolo[1,5-*a*]pirimidine-3-carboxamide  
*serine/ threonine kinase inhibitor, antineoplastic*

tuvusertib

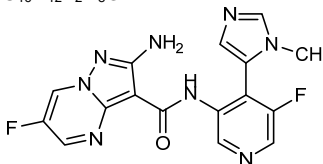
2-amino-6-fluoro-*N*-[5-fluoro-4-(1-méthyl-1*H*-imidazol-5-yl)pyridin-3-yl]pyrazolo[1,5-*a*]pyrimidine-3-carboxamide  
*inhibiteur de sérine/ thréonine kinase, antinéoplasique*

tuvusertib

2-amino-6-fluoro-*N*-[5-fluoro-4-(1-metil-1*H*-imidazol-5-il)piridin-3-il]pirazolo[1,5-*a*]pirimidina-3-carboxamida  
*inhibidor de serina/ treonina kinasa, antineoplásico*

C<sub>16</sub>H<sub>12</sub>F<sub>2</sub>N<sub>8</sub>O

1613200-51-3

**ulecaciclibum**

ulecaciclib

4-[2-(cyclopentylamino)-4-metil-1,3-thiazol-5-yl]-*N*-{5-[(4-ethylpiperazin-1-yl)methyl]pyridin-2-yl}-5-fluoropyrimidin-2-amine  
*cyclin-dependent kinase inhibitor, antineoplastic*

ulécaciclib

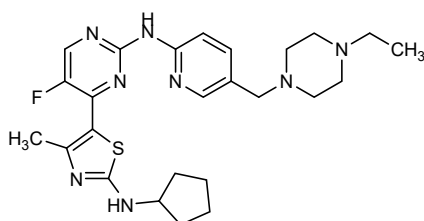
4-[2-(cyclopentylamino)-4-méthyl-1,3-thiazol-5-yl]-*N*-{5-[(4-éthylpipérazin-1-yl)méthyl]pyridin-2-yl}-5-fluoropyrimidin-2-amine  
*inhibiteur des kinases dépendantes des cyclines, antinéoplasique*

ulecaciclib

4-[2-(ciclopentilamino)-4-metil-1,3-tiazol-5-il]-*N*-{5-[(4-etilpiperazin-1-il)metil]piridin-2-il}-5-fluoropirimidin-2-amina  
*inhibidor de las kinasas dependientes de las ciclinas, antineoplásico*

C<sub>25</sub>H<sub>33</sub>FN<sub>8</sub>S

2075750-05-7

**12354---ulefnersenum**

ulefnersen

*all-P-ambo-2'-O-(2-methoxyethyl)-P-thioguanlyl-(3'→5')-2'-O-(2-methoxyethyl)-5-methylcytidyl-(3'→5')-2'-O-(2-methoxyethyl)adenyl-(3'→5')-2'-O-(2-methoxyethyl)adenyl-(3'→5')-2'-O-(2-methoxyethyl)-5-methyluridylyl-(3'→5')-2'-deoxy-*P*-thioguanlyl-(3'→5')-*P*-thiothymidylyl-(3'→5')-2'-deoxy-5-methyl-*P*-thiocytidylyl-(3'→5')-2'-deoxy-*P*-thioadenyl-(3'→5')-2'-deoxy-5-methyl-*P*-thiocytidylyl-(3'→5')-2'-deoxy-5-methyl-*P*-thiocytidylyl-(3'→5')-*P*-thiothymidylyl-(3'→5')-*P*-thiothymidylyl-(3'→5')-*P*-thiothymidylyl-(3'→5')-2'-deoxy-5-methyl-*P*-thiocytidylyl-(3'→5')-2'-O-(2-methoxyethyl)adenyl-(3'→5')-2'-O-(2-methoxyethyl)-5-methyluridylyl-(3'→5')-2'-O-(2-methoxyethyl)-*P*-thioadenyl-(3'→5')-2'-O-(2-methoxyethyl)-5-methyl-*P*-thiocytidylyl-(3'→5')-2'-O-(2-methoxyethyl)-5-methylcytidine RNA-binding protein fused-in sarcoma (*FUS*) synthesis reducer*

uléfnersen

*tout-P-ambo-2'-O-(2-méthoxyéthyl)-P-thioguanlyl-(3'→5')-2'-O-(2-méthoxyéthyl)-5-méthylcytidyl-(3'→5')-2'-O-(2-méthoxyéthyl)adényl-(3'→5')-2'-O-(2-méthoxyéthyl)adényl-(3'→5')-2'-O-(2-méthoxyéthyl)-5-méthyluridylyl-(3'→5')-2'-désoxy-*P*-thioguanlyl-(3'→5')-*P*-thiothymidylyl-(3'→5')-2'-désoxy-5-méthyl-*P*-thiocytidylyl-(3'→5')-2'-désoxy-*P*-thioadényl-(3'→5')-2'-désoxy-5-méthyl-*P*-thiocytidylyl-(3'→5')-2'-désoxy-5-méthyl-*P*-thiocytidylyl-(3'→5')-*P*-thiothymidylyl-(3'→5')-*P*-thiothymidylyl-(3'→5')-*P*-thiothymidylyl-(3'→5')-2'-désoxy-5-méthyl-*P*-thiocytidylyl-(3'→5')-2'-O-(2-méthoxyéthyl)adényl-(3'→5')-2'-O-(2-méthoxyéthyl)-5-méthyluridylyl-(3'→5')-2'-O-(2-méthoxyéthyl)-*P*-thioadényl-(3'→5')-2'-O-(2-méthoxyéthyl)-5-méthyl-*P*-thiocytidylyl-(3'→5')-2'-O-(2-méthoxyéthyl)-5-méthylcytidine réducteur de la synthèse de la protéine de liaison à l'ARN fusionnée dans le sarcome (*FUS*)*

ulefnersén

*todo-P-ambo-2'-O-(2-metoxietil)-P-tioguanilil-(3'→5')-5-metil-2'-O-(2-metoxietil)citidilil-(3'→5')-2'-O-(2-metoxietil)adenilil-(3'→5')-2'-O-(2-metoxietil)adenilil-(3'→5')-5-metil-2'-O-(2-metoxietil)uridilil-(3'→5')-2'-desoxi-*P*-tioguanilil-(3'→5')-*P*-tiotimidilil-(3'→5')-2'-desoxi-5-metil-*P*-tiocitidilil-(3'→5')-2'-desoxi-*P*-tioadenilil-(3'→5')-2'-desoxi-5-metil-*P*-tiocitidilil-(3'→5')-2'-desoxi-5-metil-*P*-tiocitidilil-(3'→5')-*P*-tiotimidilil-(3'→5')-2'-desoxi-5-metil-*P*-tiocitidilil-(3'→5')-2'-O-(2-metoxietil)adenilil-(3'→5')-5-metil-2'-O-(2-metoxietil)uridilil-(3'→5')-2'-O-(2-metoxietil)-*P*-tioadenilil-(3'→5')-5-metil-2'-O-(2-metoxietil)-*P*-tiocitidilil-(3'→5')-5-metil-2'-O-(2-metoxietil)citidina reductor de la síntesis de la proteína de unión al ARN fusionada en sarcoma (*FUS*)*

C<sub>230</sub>H<sub>321</sub>N<sub>68</sub>O<sub>126</sub>P<sub>19</sub>S<sub>13</sub>

2589926-25-8

Gmoe=m<sup>5</sup>Cmoe-Amoe-Amoe-m<sup>5</sup>Umoe-dG=dT=m<sup>5</sup>C<sub>d</sub>=dA=m<sup>5</sup>C<sub>d</sub>=m<sup>5</sup>C<sub>d</sub>=dT=dT=m<sup>5</sup>C<sub>d</sub>=  
Amoe-m<sup>5</sup>Umoe-Amoe=m<sup>5</sup>Cmoe=m<sup>5</sup>Cmoe

- : -PO(OH)- ; : -PS(OH)-

N : nucleoside / nucléoside / nucleósido

dN & N<sub>d</sub> : 2'-deoxy-N / 2'-désoxy-N / 2'-desoxi-N

Nmoe : 2'-O-(2-methoxyethyl)-N / 2'-O-(2-méthoxyéthyl)-N / 2'-O-(2-metoxietil)-N

m<sup>5</sup>N : 5-methyl-N / 5-méthyl-N / 5-metil-N**ulonivirinum**

ulonivirine

3-chloro-5-[[6-oxo-1-[[6-oxo-5-(trifluoromethyl)-1,6-dihydropyridazin-3-yl]methyl]-4-(trifluoromethyl)-1,6-dihydropyrimidin-5-yl]oxy]benzotrile  
*antiviral*

ulonivirine

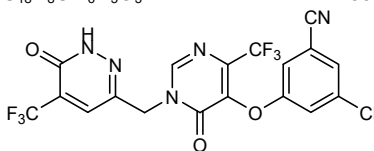
3-chloro-5-[[6-oxo-1-[[6-oxo-5-(trifluorométhy)-1,6-dihydropyridazin-3-yl]méthyl]-4-(trifluorométhy)-1,6-dihydropyrimidin-5-yl]oxy]benzotrile  
*antiviral*

ulonivirina

3-cloro-5-[[6-oxo-1-[[6-oxo-5-(trifluorometil)-1,6-dihidropiridazin-3-il]metil]-4-(trifluorometil)-1,6-dihidropirimidin-5-il]oxi]benzotrilo  
*antiviral*

C<sub>18</sub>H<sub>8</sub>ClF<sub>6</sub>N<sub>5</sub>O<sub>3</sub>

1591823-76-5

**ultevursenum**

ultevursen

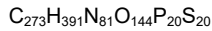
*all-P-ambo-2'-O-(2-methoxyethyl)-P-thioadenylyl-(3'→5')-2'-O-(2-methoxyethyl)-P-thioguanlylyl-(3'→5')-2'-O-(2-methoxyethyl)-5-methyl-P-thiocytidylyl-(3'→5')-2'-O-(2-methoxyethyl)-5-methyl-P-thiouridylyl-(3'→5')-2'-O-(2-methoxyethyl)-5-methyl-P-thiouridylyl-(3'→5')-2'-O-(2-methoxyethyl)-P-thioguanlylyl-(3'→5')-2'-O-(2-methoxyethyl)-P-thioguanlylyl-(3'→5')-2'-O-(2-methoxyethyl)-P-thioguanlylyl-(3'→5')-2'-O-(2-methoxyethyl)-P-thioguanlylyl-(3'→5')-2'-O-(2-methoxyethyl)-P-thioguanlylyl-(3'→5')-2'-O-(2-methoxyethyl)-P-thioguanlylyl-(3'→5')-2'-O-(2-methoxyethyl)-P-thioguanlylyl-(3'→5')-2'-O-(2-methoxyethyl)-P-thioguanlylyl-(3'→5')-2'-O-(2-methoxyethyl)-P-thioguanlylyl-(3'→5')-2'-O-(2-methoxyethyl)-5-methyl-P-thiouridylyl-(3'→5')-2'-O-(2-methoxyethyl)-5-methyl-P-thiouridylyl-(3'→5')-2'-O-(2-methoxyethyl)-5-methyl-P-thiouridylyl-(3'→5')-2'-O-(2-methoxyethyl)-P-thioguanlylyl-(3'→5')-2'-O-(2-methoxyethyl)-P-thioguanlylyl-(3'→5')-2'-O-(2-methoxyethyl)-P-thioguanlylyl-(3'→5')-2'-O-(2-methoxyethyl)-5-methyl-P-thiouridylyl-(3'→5')-2'-O-(2-methoxyethyl)-5-methyl-P-thiouridylyl-(3'→5')-2'-O-(2-methoxyethyl)-5-methylcytidine  
*promotion of functional usherin synthesis**

ultévursen

*tout-P-ambo-2'-O-(2-méthoxyéthyl)-P-thioadénylyl-(3'→5')-2'-O-(2-méthoxyéthyl)-P-thioguanilyl-(3'→5')-2'-O-(2-méthoxyéthyl)-5-méthyl-P-thiocytidylyl-(3'→5')-2'-O-(2-méthoxyéthyl)-5-méthyl-P-thiouridylyl-(3'→5')-2'-O-(2-méthoxyéthyl)-5-méthyl-P-thiouridylyl-(3'→5')-2'-O-(2-méthoxyéthyl)-5-méthyl-P-thiocytidylyl-(3'→5')-2'-O-(2-méthoxyéthyl)-P-thioguanilyl-(3'→5')-2'-O-(2-méthoxyéthyl)-P-thioguanilyl-(3'→5')-2'-O-(2-méthoxyéthyl)-P-thioadénylyl-(3'→5')-2'-O-(2-méthoxyéthyl)-P-thioguanilyl-(3'→5')-2'-O-(2-méthoxyéthyl)-P-thioadénylyl-(3'→5')-2'-O-(2-méthoxyéthyl)-P-thioadénylyl-(3'→5')-2'-O-(2-méthoxyéthyl)-P-thiouridylyl-(3'→5')-2'-O-(2-méthoxyéthyl)-5-méthyl-P-thiouridylyl-(3'→5')-2'-O-(2-méthoxyéthyl)-5-méthyl-P-thiouridylyl-(3'→5')-2'-O-(2-méthoxyéthyl)-P-thioadénylyl-(3'→5')-2'-O-(2-méthoxyéthyl)-P-thioadénylyl-(3'→5')-2'-O-(2-méthoxyéthyl)-5-méthyl-P-thiouridylyl-(3'→5')-2'-O-(2-méthoxyéthyl)-P-thioadénylyl-(3'→5')-2'-O-(2-méthoxyéthyl)-5-méthyl-P-thiouridylyl-(3'→5')-2'-O-(2-méthoxyéthyl)-5-méthylcytidine stimulation de la synthèse d'ushérine fonctionnelle*

ultevursén

*todo-P-ambo-2'-O-(2-metoxietil)-P-tioadenilil-(3'→5')-2'-O-(2-metoxietil)-P-tioguanilil-(3'→5')-5-metil-2'-O-(2-metoxietil)-P-tiocitidilil-(3'→5')-5-metil-2'-O-(2-metoxietil)-P-tiouridilil-(3'→5')-5-metil-2'-O-(2-metoxietil)-P-tiocitidilil-(3'→5')-5-metil-2'-O-(2-metoxietil)-P-tioguanilil-(3'→5')-2'-O-(2-metoxietil)-P-tioguanilil-(3'→5')-2'-O-(2-metoxietil)-P-tioadenilil-(3'→5')-2'-O-(2-metoxietil)-P-tioguanilil-(3'→5')-2'-O-(2-metoxietil)-P-tioadenilil-(3'→5')-2'-O-(2-metoxietil)-P-tioadenilil-(3'→5')-5-metil-2'-O-(2-metoxietil)-P-tiouridilil-(3'→5')-5-metil-2'-O-(2-metoxietil)-P-tiouridilil-(3'→5')-5-metil-2'-O-(2-metoxietil)-P-tiouridilil-(3'→5')-2'-O-(2-metoxietil)-P-tioadenilil-(3'→5')-2'-O-(2-metoxietil)-P-tioadenilil-(3'→5')-5-metil-2'-O-(2-metoxietil)-P-tiouridilil-(3'→5')-2'-O-(2-metoxietil)-5-metilcitidina estimulación de la síntesis de la usherina funcional*



2642382-41-8

Amoe=Gmoe=m<sup>f</sup>Cmoe=m<sup>f</sup>Umoe=m<sup>f</sup>Umoe=m<sup>f</sup>Cmoe=Gmoe=Gmoe=Amoe=Gmoe=Amoe=Amoe=Amoe=m<sup>f</sup>Umoe=m<sup>f</sup>Umoe=m<sup>f</sup>U=Amoe=Amoe=Amoe=m<sup>f</sup>Umoe=m<sup>f</sup>Cmoe

= : -PS(OH)-

N : nucleoside / nucléoside / nucleósido

m<sup>f</sup>N : 5-methyl-N / 5-méthyl-N / 5-metil-N

Nmoe : 2'-O-(2-methoxyethyl)-N / 2'-O-(2-méthoxyéthyl)-N / 2'-O-(2-metoxietil)-N

**ulviprubartum #**

ulviprubart

immunoglobulin G1-kappa, anti-[*Homo sapiens* KLRG1(killer cell lectin like receptor G1, MAFA, CLEC15A)], humanized monoclonal antibody; gamma1 heavy chain humanized (1-449) [VH humanized (*Homo sapiens* IGHV1-8\*01 (81.6%) -(IGHD) -IGHJ5\*01 (86.7%), CDR-IMGT [8.8.12] (26-33.51-58.97-108)) (1-119) -*Homo sapiens* IGHG1\*03v, G1m3>G1m17, nG1m1 (CH1 R120>K (216) (120-217), hinge 1-15 (218-232), CH2 (233-342), CH3 E12 (358), M14 (360) (343-447), CHS (448-449)], (222-219')-disulfide with kappa light chain humanized (1'-219') [V-KAPPA (*Homo sapiens* IGKV4-1\*01 (94.1%) -IGKJ4\*01 (100%), CDR-IMGT [12.3.8] (27-38.56-58.95-102)) (1'-112') -*Homo sapiens* IGKC\*01 (100%), Km3, A45.1 (158), V101 (196)(113'-219')]; dimer (228-228":231-231")-bisdisulfide, produced in a cell line derived from Chinese hamster ovary (CHO) cells, glycoform alfa immunosuppressive

- ulviprubart** immunoglobuline G1-kappa, anti-[*Homo sapiens* KLRG1 (récepteur lectine like G1 de cellule tueuse, MAFA, CLEC15A)], anticorps monoclonal humanisé;  
chaîne lourde gamma1 humanisée (1-449) [VH humanisé (*Homo sapiens* IGHV1-8\*01 (81.6%) -(IGHD) -IGHJ5\*01 (86.7%), CDR-IMGT [8.8.12] (26-33.51-58.97-108)) (1-119) -*Homo sapiens* IGHG1\*03v, G1m3>G1m17, nG1m1 (CH1 R120>K (216) (120-217), charnière 1-15 (218-232), CH2 (233-342), CH3 E12 (358), M14 (360) (343-447), CHS (448-449)) (120-449)], (222-219)-disulfure avec la chaîne légère kappa humanisée (1'-219') [V-KAPPA (*Homo sapiens* IGKV4-1\*01 (94.1%) -IGKJ4\*01 (100%), CDR-IMGT [12.3.8] (27-38.56-58.95-102)) (1'-112') -*Homo sapiens* IGKC\*01 (100%), Km3, A45.1 (158), V101 (196) (113'-219')]; dimère (228-228":231-231")-bisdisulfure, produite dans une lignée cellulaire dérivée des cellules ovariennes de hamster chinois (CHO), glycoforme alfa  
*immunosuppresseur*
- ulviprubart** inmunoglobulina G1-kappa, anti-[*Homo sapiens* KLRG1 (receptor lectina tipo G1 de célula asesina, MAFA, CLEC15A)], anticuerpo monoclonal humanizado;  
cadena pesada gamma1 humanizada (1-449) [VH humanizado (*Homo sapiens* IGHV1-8\*01 (81.6%) -(IGHD) -IGHJ5\*01 (86.7%), CDR-IMGT [8.8.12] (26-33.51-58.97-108)) (1-119) -*Homo sapiens* IGHG1\*03v, G1m3>G1m17, nG1m1 (CH1 R120>K (216) (120-217), bisagra 1-15 (218-232), CH2 (233-342), CH3 E12 (358), M14 (360) (343-447), CHS (448-449)) (120-449)], (222-219)-disulfuro con la cadena ligera kappa humanizada (1'-219') [V-KAPPA (*Homo sapiens* IGKV4-1\*01 (94.1%) -IGKJ4\*01 (100%), CDR-IMGT [12.3.8] (27-38.56-58.95-102)) (1'-112') -*Homo sapiens* IGKC\*01 (100%), Km3, A45.1 (158), V101 (196) (113'-219')]; dímero (228-228":231-231")-bisdisulfuro, producido en una línea celular derivada de las células ováricas de hámster chino (CHO), forma glicosilada alfa  
*immunosupresor*

2569434-60-0

## Heavy chain / Chaîne lourde / Cadena pesada

QVQLVQSGAE	VKKFGASVKV	SCKASGYTFT	DHNMHVVKQA	TGQGLEWFGF	50
INPNTGVTRY	NQKFGQGRVTL	TINKAISTAY	LELSSLRSED	TAVYCARDY	100
YGSANFAWYG	QGTLLTVSSA	STKGFSPVFLP	APSSKSTSGG	TALGLCVKDD	150
YFPEPVTWS	NSGALTSVGH	TFPAVLQSSG	LYLSLSSVTV	PSSSLGTQTY	200
ICNNHFKPSN	TKVDKKEVEK	SCDKTHTCCP	CPAPELLGGP	SVFLFPPKPK	250
DTLMIISRTPE	VTCVVVDVSH	EDPEVKFNMY	VDGVEVHNAK	TKPREEQVNS	300
TYRVVSVLTV	LHQDNLNGKE	YKCKVSNKAL	PAPIEKTISK	AKGQFPREPQV	350
YTLFPSREEM	TKNQVSLTCL	VRGFPYSDIA	VEWESNGQPE	NNYKTTPEVL	400
DSGDSFFLYS	KLTVDKSRWQ	QGNVFCSVM	HEALHNHYTQ	KSLSLSPGK	449

## Light chain / Chaîne légère / Cadena ligera

DIVMTQSPDS	LAVSLGERAT	INCKSSQTLT	YSSDQKNYLA	WYQQKPGQPP	50
KLLIYWASTR	ESGVPRDFSG	SGSGTDFTLT	ISLLAQEDVA	VYCCQQYNY	100
PTFPGGQTKVE	IKRTVAAPS	FIFPPSDEQL	KSGTASVVCCL	LNNFYPREAK	150
VQWKVDNALQ	SGNSQESVTE	QDSKSTYSL	SSTLTLSKAD	YEKHKVYACE	200
VTHQGLSSPV	TKSFNRGEC				219

## Post-translational modifications

Disulfide bridges location / Position des ponts disulfure / Posiciones de los puentes disulfuro

Intra-H (C23-C104)	22-96	146-202	263-323	369-427
	22"-96"	146"-202"	263"-323"	369"-427"

Intra-L (C23-C104)	23'-94'	139"-199"
	23"-94"	139"-199"

Inter-H-L (h 5-CL 126) 222-219' 222"-219"

Inter-H-H (h 11, h 14) 228-228" 231-231"

N-terminal glutaminyl cyclization / Cyclisation du glutaminyle N-terminal / Ciclación del glutaminilo N-terminal

Q &gt; pyroglutamyl (pE, 5-oxopropyl) / pyroglutamyle (pE, 5-oxopropyle) / piroglutamilo (pE, 5-oxopropilo)

H VH Q1: 1, 1"

N-glycosylation sites / Sites de N-glycosylation / Posiciones de N-glicosilación

H CH2 N84.4: 299, 299"

Fucosylated complex bi-antennary CHO-type glycans / glycanes de type CHO bi-antennaires complexes fucosylés / glicanos de tipo CHO biantennarios complejos fucosilados.

C-terminal lysine clipping / Coupure de la lysine C-terminale / Recorte de lisina C-terminal

H CHS K2: 449, 449"

**umesolerbartum #**

umesolerbart

immunoglobulin G4-kappa, anti-[Bet v 1 (*Betula alleghaniensis* (yellow birch) pollen allergen 1), *Homo sapiens* monoclonal antibody; gamma4 heavy chain *Homo sapiens* (1-446) [VH (*Homo sapiens*IGHV3-48\*03 (92.9%) -(IGHD) -IGHJ5\*01 (92.9%), CDR-IMGT [8.8.12] (26-33.51-58.97-108)) (1-119)-*Homo sapiens*IGHG4\*01, G4v5 h P10, nG4m(a) CH2 L92 (CH1 (120-217), hinge 1-12 S10>P (227) (218-229), CH2 L92 (308) (230-339), CH3 (340-444), CHS (445-446)) (120-446)], (133-214')-disulfide with kappa light chain *Homo sapiens* (1'-214') [V-KAPPA (*Homo sapiens*IGKV3-15\*01 (94.7%) -IGKJ4\*01 (100%), CDR-IMGT [6.3.9] (27-32.50-52.89-97)) (1'-107') -*Homo sapiens*IGKC\*01 (100%), Km3 A45.1 (153), V101 (191) (108'-214')]; dimer (225-225":228-228")-bisdisulfide, produced in Chinese hamster ovary (CHO) cells, glycoform alfa *antiallergic*

umésolerbart

immunoglobuline G4-kappa, anti-[Bet v 1 (allergène 1 du pollen de *Betula alleghaniensis* (bouleau jaune)], anticorps monoclonal *Homo sapiens*; chaîne lourde gamma4 *Homo sapiens* (1-446) [VH (*Homo sapiens*IGHV3-48\*03 (92.9%) -(IGHD) -IGHJ5\*01 (92.9%), CDR-IMGT [8.8.12] (26-33.51-58.97-108)) (1-119)-*Homo sapiens*IGHG4\*01, G4v5 h P10, nG4m(a) CH2 L92 (CH1 (120-217), charnière 1-12 S10>P (227) (218-229), CH2 L92 (308) (230-339), CH3 (340-444), CHS (445-446)) (120-446)], (133-214')-disulfure avec la chaîne légère kappa *Homo sapiens* (1'-214') [V-KAPPA (*Homo sapiens*IGKV3-15\*01 (94.7%) -IGKJ4\*01 (100%), CDR-IMGT [6.3.9] (27-32.50-52.89-97)) (1'-107') -*Homo sapiens*IGKC\*01 (100%), Km3 A45.1 (153), V101 (191) (108'-214')]; dimère (225-225":228-228")-bisdisulfure, produit dans des cellules ovariennes de hamster chinois (CHO), glycoforme alfa *antiallergique*

umesolerbart

inmunoglobulina G4-kappa, anti-[Bet v 1 (alérgeno 1 del polen de *Betula alleghaniensis* (abedul amarillo)], anticuerpo monoclonal *Homo sapiens*; cadena pesada gamma4 *Homo sapiens* (1-446) [VH (*Homo sapiens*IGHV3-48\*03 (92.9%) -(IGHD) -IGHJ5\*01 (92.9%), CDR-IMGT [8.8.12] (26-33.51-58.97-108)) (1-119)-*Homo sapiens*IGHG4\*01, G4v5 h P10, nG4m(a) CH2 L92 (CH1 (120-217), bisagra 1-12 S10>P (227) (218-229), CH2 L92 (308) (230-339), CH3 (340-444), CHS (445-446)) (120-446)], (133-214')-disulfuro con la cadena ligera kappa *Homo sapiens* (1'-214') [V-KAPPA (*Homo sapiens*IGKV3-15\*01 (94.7%) -IGKJ4\*01 (100%), CDR-IMGT [6.3.9] (27-32.50-52.89-97)) (1'-107') -*Homo sapiens*IGKC\*01 (100%), Km3 A45.1 (153), V101 (191) (108'-214')]; dímero (225-225":228-228")-bisdisulfuro, producido en las células ováricas de hámster chino (CHO), forma glicosilada alfa *antialérgico*

2456307-11-0

## Heavy chain / Chaîne lourde / Cadena pesada

EVQLVESGGD	LVQPFGSRL	SCAASGFTFS	SYEMNWVRQA	PGKLEWVSF	50
ISDSSNIYY	ADSVKGRFTI	SRDNAKKSly	LQMTSLRAED	TAVYVCAREA	100
IGSTSFDNWG	QGTLLVTVSSA	STKGPSVFLP	APCSRSTSES	TAALGCLVKD	150
YFPEPVTWSW	NSGALTSVGH	TFFAVLQSSG	LYSLSSVTVV	PSSSLGKTKY	200
TCNVDRKPSN	TKVDKRVESK	YGPPCPPCPA	PEFLGGPSVF	LFPKPKDTL	250
MISRTEPVC	VVVDVSDQEDF	EVQFNWYVDG	VEVHNAKTKP	REEQFNSTYR	300
VVSVLTVLHQ	DWLNKGEYK	KVSNKGLPSS	IEKTIISKAG	QPREPQVYTL	350
PFSQEQEMTKN	QVSLTCLVKG	FYPSDIAVEW	ESNGQPENNY	KTTPFVLDSD	400
GSFFLYSRLT	VDKSRWQEGN	VFSCSVMHEA	LHNHYTQKSL	SLSLKG	446

## Light chain / Chaîne légère / Cadena ligera

EIVMTQSPAT	LSVSPGERAT	LSCRASQSVS	SSLAWYQQKP	GQAPRRLIYS	50
ASTRATGIPA	RFSGSGSGTE	FTLTISLSLQ	EDFAIYYCHQ	YNNWPLTFGG	100
GTKVEIKRTV	AAPSVFIFPP	SDEQLKSGTA	SVVCLLNIFY	PREAKVQMKV	150
DNALQSGNSQ	ESVTEQDSKD	STYSLSSITL	LSKADYEKHK	VYACEVTHQG	200
LSSPVTKSFN	RGEC				214

## Post-translational modifications

Disulfide bridges location / Position des ponts disulfure / Posiciones de los puentes disulfuro

Intra-H (C23-C104)	22-96	146-202	260-320	366-424
	22"-96"	146"-202"	260"-320"	366"-424"
Intra-L (C23-C104)	23"-88"	134"-194"		
	23"-88"	134"-194"		
Inter-H-L (CH1 10-CL 126)	133-214'	133"-214"		
Inter-H-H (h 8, h 11)	225-225"	228-228"		

N-glycosylation sites / Sites de N-glycosylation / Posiciones de N-glicosilación  
H CH2 N84.4: 296, 296"

Fucosylated complex bi-antennary CHO-type glycans / glycanes de type CHO bi-antennaires complexes fucosylés / glicanos de tipo CHO biantennarios complejos fucosilados.

C-terminal lysine clipping / Coupure de la lysine C-terminale / Recorte de lisina C-terminal  
H CHS K2: 446, 446"**umitreilmorgenum autodencelum #**  
umitreilmorgene autodencel

autologous dendritic cells (DCs) derived from peripheral blood mononuclear cells (PBMCs) obtained from newly diagnosed glioblastoma multiforme patients by apheresis, loaded with two messenger ribonucleic acids (mRNA) encoding (i) human lysosome-associated membrane protein 1 (LAMP 1) fused in frame to codon-optimised human cytomegalovirus (hCMV) 65 kDa matrix protein (pp65) (LAMP:pp65) and (ii) amino acids 21-261 of codon-optimised CD-40 ligand (CD-40L M21). Each mRNA also contains a 5' cap (cap 0), a Kozak sequence and a 3' polyadenylation tail.

The cells are expanded in selective growth media containing granulocyte-macrophage colony-stimulating factor (GM-CSF) and interleukin 4 (IL-4). Prior to the electroporation, the cells are briefly cultured in a maturation media containing TNF-alpha, interferon-gamma (IFN-gamma) and prostaglandin E<sub>2</sub> (PGE<sub>2</sub>). The cell suspension contains ≥60% dendritic cells (HLA-DR) and ≤10% each of T lymphocytes (CD3), B lymphocytes (CD19), natural killer cells (CD56) and monocytes (CD14). In a co-culture assay with T lymphocytes from the same patient the cells release IFN-gamma.

*cell-based gene therapy (antineoplastic)*

## umitréilmorgène autodencel

cellules dendritiques (DC) autologues dérivées de cellules mononucléaires de sang périphérique (PBMC) obtenues par aphérese de patients atteints de glioblastome multiforme récemment diagnostiqué, chargées avec deux acides ribonucléiques messagers (mRNA) codant (i) la protéine 1 membranaire associée au lysosome humain (LAMP 1) fusionnée sans

	<p>décalage du cadre de lecture à la protéine de matrice 65 kDa (pp65) du cytomégalovirus humain (hCMV) aux codons optimisés (LAMP:pp65) et (ii) les acides aminés 21-261 du ligand CD-40 aux codons optimisés (CD-40L M21). Chaque ARNm contient également une coiffe (cap 0) en 5', un promoteur T7, une séquence Kozak et une queue de polyadénylation en 3'. Les cellules sont amplifiées dans un milieu de croissance sélectif contenant du facteur de stimulation des colonies de granulocytes-macrophages (GM-CSF) et de l'interleukine 4 (IL-4), puis avant l'électroporation, les cellules sont brièvement cultivées dans un milieu de maturation contenant du TNF-alpha, de l'interféron-gamma (IFN-γ) et de la prostaglandine E<sub>2</sub> (PGE2). La suspension cellulaire contient ≥60% de cellules dendritiques (HLA-DR) et ≤10% de lymphocytes T (CD3), lymphocytes B (CD19), cellules tueuses naturelles (CD56) et monocytes (CD14). Dans un essai de co-culture avec des lymphocytes T du même patient, les cellules libèrent de l'IFN-γ.</p> <p><i>thérapie génique à base de cellules (antineoplasique)</i></p>
umitrelimorgén autodencel	<p>células dendríticas autólogas derivadas de células mononucleares de sangre periférica obtenidas mediante aféresis de pacientes diagnosticados de glioblastoma múltiple, cargadas con dos ácidos ribonucleicos mensajeros (ARNm) que codifican para (i) la proteína 1 de membrana asociada al lisosoma (LAMP-1) humana fusionada, en el mismo marco de lectura, con la proteína de la matriz de 65 kDa (pp65) del citomegalovirus humano (hCMV), con codones optimizados (LAMP:pp65) y (ii) los amino ácidos 21-261 del ligando de CD-40 con codones optimizados (CD40L M21). Cada ARNm también contiene una caperuza (cap 0) en 5', un promotor T7, una secuencia Kozak y una cola de poliadenilación.</p> <p>Las células se expanden en medio de crecimiento selectivo que contiene factor estimulante de colonias de granulocitos-macrófagos (GM-CSF) e interleuquina 4 (IL-4), y después, antes de la electroporación, las células se cultivan brevemente en un medio de maduración que contiene TNF-alfa, interferón-gamma (IFN-γ) y prostaglandina E<sub>2</sub> (PEG2). La suspensión celular contiene ≥60% de células dendríticas (HLA-DR) y ≤10% de cada una de estas poblaciones celulares, linfocitos T (CD3), linfocitos B (CD19), células natural killer (CD56) y monocitos (CD14). En un ensayo de co-cultivo con linfocitos T del mismo paciente, las células liberan IFN-γ.</p> <p><i>terapia génica basada en células (antineoplásico)</i></p>

**umizortamigum #**  
umizortamig

immunoglobulin scFv-G1-scFv-scFv\_L-kappa, anti-[*Homo sapiens* EGFRvIII (epidermal growth factor receptor (receptor tyrosine-protein kinase erbB-1, ERBB1, HER1, HER-1, ERBB) variant III)], anti-[*Homo sapiens* CD3E (CD3 epsilon, Leu-4) and CD3G], anti-[*Homo sapiens* CD274 (programmed cell death 1 ligand 1, B7H1, B7-H1, PDL1, PD-L1, PDCD1L1, B7 homolog 1, B7 homologue 1)] and anti-[*Homo sapiens* TNFRSF9 (tumor necrosis factor receptor (TNFR) superfamily member 9, 4-1BB, T cell antigen ILA, CD137 (4-1BB, CD137). 41BB)], humanized and chimeric monoclonal antibody, tetraspecific, tetravalent;

scFv-G1-scFv-scFv fused heavy chain humanized and chimeric (1-1231) [scFv kappa-heavy anti-CD3E and CD3G humanized (1-252) [V-KAPPA (*Homo sapiens* IGKV1-5\*01 (90.1%) -IGKJ4\*01 (90.9%), CDR-IMGT [6.3.14] (27-32.50-52.89-102))] (1-112) -20-mer tetrakis(tetraglycyl-seryl) linker (113-132) -VH (*Homo sapiens* IGHV3-66\*01 (86.6%) -(IGHD) -IGHJ1\*01 (100%), CDR-IMGT [8.7.14] (158-165.183-189.228-241))] (133-252)] -10-mer bis(tetraglycyl-seryl) linker (253-262) -gamma-1 heavy chain anti-EGFRvIII chimeric (263-707) [VH Musmus/Homsap (*Mus musculus* IGHV3-2\*02 (94.82%) -(IGHD) -IGHJ3\*01 (92.9%)/*Homo sapiens* IGHV4-30-4\*01 (72.9%) -(IGHD) -IGHJ4\*01 (85.7%), CDR-IMGT [9.7.9] (288-296.314-320.359-367))] (263-378) -*Homo sapiens* IGHG1\*01v, G1m17, 1>G1m3,1, G1v14-1 CH2 A1.3, A1.2, A1, G1v20 CH2 A105 (CH1 R120 (475) (379-476), hinge 1-15 (477-491), CH2 L1.3>A (495), L1.2>A (496), G1>A (498), K105>A (583) (492-601), CH3 D12 (617), L14 (619) (602-706), CHS K2>del (707)) (379-707)] -10-mer bis(tetraglycyl-seryl) linker (708-717) -scFv heavy-kappa anti-CD274 humanized (718-969) [VH (*Homo sapiens* IGHV3-23\*01 (84.0%) -(IGHD) -IGHJ1\*01 (100%), CDR-IMGT [9.9.13] (743-751.769-777.816-828))] (718-839) -20-mer tetrakis(tetraglycyl-seryl) linker (840-859) -V-KAPPA (*Homo sapiens* IGKV1-5\*03 (91.5%) -IGKJ4\*01 (100%), CDR-IMGT [6.3.12] (886-891.909-911.948-959))] (860-969)] -10-mer bis(tetraglycyl-seryl) linker (970-979) -scFv heavy-kappa anti-TNFRSF9 humanized (980-1231) [VH (*Homo sapiens* IGHV3-66\*01 (85.6%) -(IGHD) -IGHJ4\*01 (100%), CDR-IMGT [9.9.12] (1004-1012.1030-1038.1077-1088))] (980-1099) -20-mer tetrakis(tetraglycyl-seryl) linker (1100-1119) -V-KAPPA (*Homo sapiens* IGKV1-5\*03 (87.2%) -IGKJ4\*01 (100%), CDR-IMGT [6.3.14] (1146-1151.1169-1171.1208-1221))] (1120-1231)]; (481-214')-disulfide with kappa light chain anti-EGFRvIII chimeric (1'-214') [V-KAPPA Musmus/Homsap (*Mus musculus* IGKV14-100\*01 (93.7%) -IGKJ1\*01 (100%)/*Homo sapiens* IGKV1-12\*01 (63.2%) -IGKJ4\*01 (90.9%), CDR-IMGT [6.3.9] (27-32.50-52.89-97))] (1'-107') -*Homo sapiens* IGKC\*01 (100%), Km3 A45.1 (153), V101 (191) (108'-214')]]; dimer (487-487":490-490")-bisdisulfide, produced in Chinese hamster ovary (CHO) cells, glycoform alfa  
antineoplastic

## umizortamig

immunoglobuline scFv-G1-scFv-scFv\_L-kappa, *Homo sapiens* EGFRvIII (variant III du récepteur du facteur de croissance épidermique (récepteur tyrosine-protéine kinase erB-1, ERBB1, HER1, HER-1, ERBB)), anti-[*Homo sapiens* anti-CD3E (CD3 epsilon, Leu-4) and CD3G], anti-[*Homo sapiens* CD274 (ligand 1 de mort programmée, PDL1, PD-L1, homologue 1 de B7, B7H1)] et anti-TNFRSF9 (membre 9 de la superfamille des récepteurs du facteur de nécrose tumorale, 4-1BB, CD137)], anticorps monoclonal humanisé et chimérique, tétraspécifique, tétravalent; chaîne lourde fusionnée scFv-G1-scFv-scFv humanisée et chimérique (1-1231) [scFv kappa-lourd anti-CD3E and CD3G humanisé (1-252) [V-KAPPA (*Homo sapiens* IGKV1-5\*01 (90.1%) -IGKJ4\*01 (90.9%), CDR-IMGT [6.3.14] (27-32.50-52.89-102))] (1-112) -20-mer tetrakis(tetraglycyl-séryl) linker (113-132) -VH (*Homo sapiens* IGHV3-66\*01 (86.6%) -(IGHD) -IGHJ1\*01 (100%), CDR-IMGT [8.7.14] (158-165.183-189.228-241))] (133-252)] -10-mer bis(tétraglycyl-séryl) linker (253-262) -chaîne lourde gamma-1 anti-EGFRvIII chimérique (263-707) [VH Musmus/Homsap (*Mus musculus* IGHV3-2\*02 (94.82%) -(IGHD) -IGHJ3\*01 (92.9%)/*Homo sapiens* IGHV4-30-4\*01 (72.9%) -(IGHD) -IGHJ4\*01 (85.7%), CDR-IMGT [9.7.9] (288-296.314-320.359-367))] (263-378) -*Homo sapiens* IGHG1\*01v, G1m17,1>G1m3,1, G1v14-1 CH2 A1.3, A1.2, A1, G1v20 CH2 A105 (CH1 R120 (475) (379-476), charnière 1-15 (477-491), CH2 L1.3>A (495), L1.2>A (496), G1>A (498), K105>A (583) (492-601), CH3 D12 (617), L14 (619) (602-706), CHS K2>del (707)) (379-707)] -10-mer bis(tétraglycyl-séryl) linker (708-717) -scFv lourd-kappa anti-CD274 humanisé (718-969)

[VH (*Homo sapiens* IGHV3-23\*01 (84.0%) -(IGHD) -IGHJ1\*01 (100%), CDR-IMGT [9.9.13] (743-751.769-777.816-828)) (718-839) -20-mer tétrakis(tétraglicil-séryl) linker (840-859) -V-KAPPA (*Homo sapiens* IGKV1-5\*03 (91.5%) -IGKJ4\*01 (100%), CDR-IMGT [6.3.12] (886-891.909-911.948-959)) (860-969)] -10-mer bis(tétraglicil-séryl) linker (970-979) -scFv lourd-kappa anti-TNFRSF9 humanisé (980-1231) [VH (*Homo sapiens* IGHV3-66\*01 (85.6%) -(IGHD) -IGHJ4\*01 (100%), CDR-IMGT [9.9.12] (1004-1012.1030-1038.1077-1088)) (980-1099) -20-mer tétrakis(tétraglicil-séryl) linker (1100-1119) -V-KAPPA (*Homo sapiens* IGKV1-5\*03 (87.2%) -IGKJ4\*01 (100%), CDR-IMGT [6.3.14] (1146-1151.1169-1171.1208-1221)) (1120-1231)]; (481-214')-disulfure avec la chaîne légère kappa anti-EGFRvIII chimérique (1'-214') [V-KAPPA *Musmus/Homsap* (*Mus musculus* IGKV14-100\*01 (93.7%) -IGKJ1\*01 (100%)/*Homo sapiens* IGKV1-12\*01 (63.2%) -IGKJ4\*01 (90.9%), CDR-IMGT [6.3.9] (27-32.50-52.89-97)) (1'-107') -*Homo sapiens* IGKC\*01 (100%), Km3 A45.1 (153), V101 (191) (108'-214')]; dimère (487-487''-490-490''-bisdisulfure, produit dans des cellules ovariennes de hamster chinois (CHO), glycoforme alfa  
*antineoplasique*

## umizortamig

inmunoglobulina scFv-G1-scFv-scFv\_L-kappa, *Homo sapiens* EGFRvIII (variante III del receptor del factor de crecimiento epidérmico (receptor tirosina-proteína quinasa erB-1, ERBB1, HER1, HER-1, ERBB)), anti-[*Homo sapiens* anti-CD3E (CD3 epsilon, Leu-4) y CD3G], anti-[*Homo sapiens* CD274 (ligando 1 de muerte programada, PDL1, PD-L1, homólogo 1 de B7, B7H1)] y anti-TNFRSF9 (miembro 9 de la superfamilia de los receptores del factor de necrosis tumoral, 4-1BB, CD137)], anticuerpo monoclonal humanizado y quimérico, tetraespecífico, tetravalente; cadena pesada fusionada scFv-G1-scFv-scFv humanizada y quimérica (1-1231) [scFv kappa-pesado anti-CD3E y CD3G humanizada (1-252) [V-KAPPA (*Homo sapiens* IGKV1-5\*01 (90.1%) -IGKJ4\*01 (90.9%), CDR-IMGT [6.3.14] (27-32.50-52.89-102)) (1-112) -20-mer tetrakis(tétraglicil-seril) linker (113-132) -VH (*Homo sapiens* IGHV3-66\*01 (86.6%) -(IGHD) -IGHJ1\*01 (100%), CDR-IMGT [8.7.14] (158-165.183-189.228-241)) (133-252)] -10-mer bis(tétraglicil-seril) linker (253-262) -cadena pesada gamma-1 anti-EGFRvIII quimérica (263-707) [VH *Musmus/Homsap* (*Mus musculus* IGHV3-2\*02 (94.82%) -(IGHD) -IGHJ3\*01 (92.9%)/*Homo sapiens* IGHV4-30-4\*01 (72.9%) -(IGHD) -IGHJ4\*01 (85.7%), CDR-IMGT [9.7.9] (288-296.314-320.359-367)) (263-378) -*Homo sapiens* IGHG1\*01v, G1m17,1>G1m3,1, G1v14-1 CH2 A1.3, A1.2, A1, G1v20 CH2 A105 (CH1 R120 (475) (379-476), bisagra 1-15 (477-491), CH2 L1.3>A (495), L1.2>A (496), G1>A (498), K105>A (583) (492-601), CH3 D12 (617), L14 (619) (602-706), CHS K2>del (707)) (379-707)] -10-mer bis(tétraglicil-seril) linker (708-717) -scFv pesado-kappa anti-CD274 humanizada (718-969) [VH (*Homo sapiens* IGHV3-23\*01 (84.0%) -(IGHD) -IGHJ1\*01 (100%), CDR-IMGT [9.9.13] (743-751.769-777.816-828)) (718-839) -20-mer tetrakis(tétraglicil-seril) linker (840-859) -V-KAPPA (*Homo sapiens* IGKV1-5\*03 (91.5%) -IGKJ4\*01 (100%), CDR-IMGT [6.3.12] (886-891.909-911.948-959)) (860-969)] -10-mer bis(tétraglicil-seril) linker (970-979) -scFv pesado-kappa anti-TNFRSF9 humanizada (980-1231) [VH (*Homo sapiens* IGHV3-66\*01 (85.6%) -(IGHD) -IGHJ4\*01 (100%), CDR-IMGT [9.9.12] (1004-1012.1030-1038.1077-1088)) (980-1099) -20-mer tetrakis(tétraglicil-seril) linker (1100-1119) -V-KAPPA (*Homo sapiens* IGKV1-5\*03 (87.2%) -IGKJ4\*01 (100%), CDR-IMGT [6.3.14] (1146-1151.1169-1171.1208-1221)) (1120-1231)]; (481-214')-disulfuro com la cadena ligera kappa anti-EGFRvIII quimérica (1'-214') [V-KAPPA *Musmus/Homsap* (*Mus musculus* IGKV14-100\*01 (93.7%) -IGKJ1\*01 (100%)/*Homo sapiens* IGKV1-12\*01 (63.2%) -IGKJ4\*01 (90.9%), CDR-IMGT [6.3.9] (27-32.50-52.89-97)) (1'-107') -*Homo sapiens* IGKC\*01 (100%), Km3 A45.1 (153), V101 (191) (108'-214')]; dímero (487-487''-490-490''-bisdisulfuro, producido en las células ováricas de hámster chino (CHO), forma glicosilada alfa  
*antineoplásico*

2599198-83-9

Heavy chain / Chaîne lourde / Cadena pesada:

[scFv (anti-CD3E)-G1 (anti-EGFRvIII)-scFv (anti-CD274)-scFv (anti-TNFRSF9)]

DVVMTQSPST LSASVGDRTV INCQASESIS SWLAWYQQRP GKAPKLLIYE 50  
 ASKLGASGVPV RFGSGSGGTE FTLTISLQPF DDFATYYCQG YFFYISRYYV 100  
 NSFQGGTKVE KGGGGSGGG GSGGGSGGG GSEVQLVESG GGLVQPGGSL 150  
 RLSCAASGFT ISTNAMSWVR QAPKGLEWI GVITGRDITY YASWAKGRFT 200  
 ISRDNSKNTL YLQMNSLRAE DTAIVYCARD GGSSAITSMN IWGQGTLVTV 250  
 SSGGGSGGG GSDVQLQESG FSLVKPQSL SLTCTVTGYS ITSDFAWNI 300  
 RQFFGNKLEW MGYISYSGNT RYNFSLKSR ISTRDTSKNQ FFLQLNSVTI 350  
 EDTATYYCVT AGRGFPYWGQ GTLVTVSAAS TKGPSVFPLA PSSKSTSGGT 400  
 AALGCLVKDY FPEFVTVSWN SGALTSVGHV FPAVLQSSGL YSLSSVTVTP 450  
 SSSLGTQTYI CNVNHKPSNT KVDKRVPEKS CDKTHTCPPC PAPEAAGAPS 500  
 VFLFPPKPKD TLMISRTPEV TCVVVDVSH EDPVKFNWYV DGEVHNAKT 550  
 KPREEQYNST YRVVSVLTVL HQDWLNGKEY KCAVSNKALP APIEKTISKA 600  
 KGQFPREPQVY TLPSPRDEL TKNQVSLTCLV KGFYPSDIAV EWESNGQPEN 650  
 NYKTTTPEVLD SDGGSFFLYSK LTVDKSRWQQ GNVFSCSVMH EALHNNHYTQK 700  
 SLSLSPGGGG GSGGGGSEVQ LLESGGGLVQ PGGSLRLSCA ASGFSFSSGY 750  
 DMCWVRQAPG KGLEWIACTA AGSAGITYDA NNAKGRFTIS RDNSKNTLYL 800  
 QMNSLRAEDT AVYCARSAF SFDYAMDWLG QGTLVTVSSG GGGSGGGSG 850  
 GGGSGGGGSD IQMTQSPSTL SASVGDRTVI TCQASQSISS HLNWYQQKPG 900  
 KAPKLLIYKA STLASGVPSR FSGSGSGTEF TLTISLQPD DFTATYYCQG 950  
 YSWGNDVNFV GGGTKVEIKG GGGSGGGGSLV SVESGGGLV QPQGSRLRSC 1000  
 AASGFSFSSN YWICWRQAP GKGLEWIACTI YVGSSTGDTY ASSAKGRFTI 1050  
 SRDNSKNTLY LQMNSLRAED TAVYCARSDS SYYMFLNLG QGTLVTVSSG 1100  
 GGGSGGGGSG GGGSGGGGSA LVMQSPSTL SASVGDRTVI NCQASEDIDT 1150  
 YLAWYQQKPG KAPKLLIFYA SDLASGVPSR FSGSGSGTEF TLTISLQPD 1200  
 DFTATYYCQG YYTSSADTRG AFGGGTKVEI K 1231

Light chain / Chaîne légère / Cadena ligera

DILMTQSPSS MSVSLGDTVS ITHCSQDIN SNIGWLQQRP GKSPFKLIYH 50  
 GTNLDDEVPS RFGSGSGGAD YSLTISLES EDFADYCVQ YAQFPWTFGG 100  
 GTKLEIKRTV AAPSVFIFPP SDEQLKSGTA SVVCLLNIFY BREAKVQMKV 150  
 DNALQSGSNQ ESVTEQDSDK STYLSLSTLT LSKADYEKHK VYACEVTHQG 200  
 LSSPVTKSFN RGEK 214

**Post-translational modifications**

Disulfide bridges location / Position des ponts disulfure / Posiciones de los puentes disulfuro

Intra-H (C23-C104) 23-88 154-227 284-358 405-461 522-582  
 23"-88" 154"-227" 284"-358" 405"-461" 522"-582"  
 628-686 739-815 882-947 1000-1076 1142-1207  
 628"-686" 739"-815" 882"-947" 1000"-1076" 1142"-1207"

Intra-L (C23-C104) 23"-88" 134"-194"  
 23"-88" 134"-194"

Inter-H-L (h 5-CL 126) 481-214" 481"-214"

Inter-H-H (h 11, h 14) 487-487" 490-490"

N-glycosylation sites / Sites de N-glycosylation / Posiciones de N-glicosilación

H CH2 N84.4: 558, 558"

Fucosylated complex bi-antennary CHO-type glycans / glicanes de type CHO bi-antennaires complexes fucosylés / glicanos de tipo CHO biantenaricos complejos fucosilados.

**unecritinibum**

unecritinib

*N*-{3-[(1*R*)-1-(2,6-dichloro-3-fluorophenyl)ethoxy]-5-[1-(piperidin-4-yl)-1*H*-pyrazol-4-yl]pyridin-2-yl}acetamide  
 tyrosine kinase inhibitor, antineoplastic

unécritinib

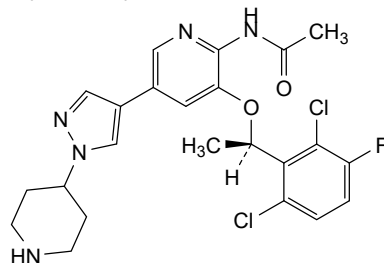
*N*-{3-[(1*R*)-1-(2,6-dichloro-3-fluorophényl)éthoxy]-5-[1-(pipéridin-4-yl)-1*H*-pirazol-4-yl]pyridin-2-yl}acétamide  
 inhibiteur de la tyrosine kinase, antinéoplasique

unecritinib

*N*-{3-[(1*R*)-1-(2,6-dicloro-3-fluorofenil)etoxi]-5-[1-(piperidin-4-il)-1*H*-pirazol-4-il]piridin-2-il}acetamida  
 inhibidor de la tirosina kinasa, antineoplásico

C<sub>23</sub>H<sub>24</sub>Cl<sub>2</sub>FN<sub>5</sub>O<sub>2</sub>

1418026-92-2



**vamotinibum**

vamotinib

4-methyl-*N*-{4-[(4-methylpiperazin-1-yl)methyl]-3-(trifluoromethyl)phenyl}-3-[[[1,2,4]triazolo[4,3-*a*]pyridin-3-yl]ethynyl]benzamide  
*tyrosine kinase inhibitor, antineoplastic*

vamotinib

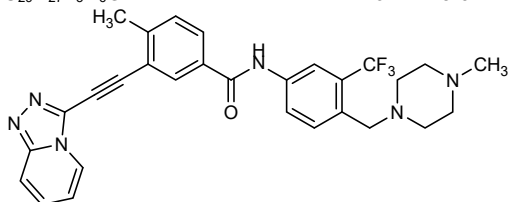
4-méthyl-*N*-{4-[(4-méthylpipérazin-1-yl)méthyl]-3-(trifluorométhyl)phényl}-3-[[[1,2,4]triazolo[4,3-*a*]pyridin-3-yl]éthynyl]benzamide  
*inhibiteur de la tyrosine kinase, antinéoplasique*

vamotinib

4-metil-*N*-{4-[(4-metilpiperazin-1-il)metil]-3-(trifluorometil)fenil}-3-[[[1,2,4]triazolo[4,3-*a*]piridin-3-il]etinil]benzamida  
*inhibidor de la tirosina kinasa, antineoplásico*

C<sub>29</sub>H<sub>27</sub>F<sub>3</sub>N<sub>6</sub>O

1416241-23-0

**varnimcabtagenum autoleucelum**

varnimcabtagene autoleucel

autologous T lymphocytes obtained from peripheral blood lymphocytes by leukapheresis, transduced with a self-inactivating, non-replicating lentiviral vector, encoding a chimeric antigen receptor targeting CD19. The expressed transgene comprises a CD8 $\alpha$  leader sequence, a murine anti-CD19 single chain variable fragment (scFv) derived from clone A3B1, a CD8 $\alpha$  hinge and transmembrane region, and a 4-1BB (CD137) and CD3 $\zeta$  (CD247) signalling domain and is under control of the elongation factor 1 alpha (EF1 $\alpha$ ) promoter. The construct is flanked by 5' and 3' long terminal repeats (LTRs) and also contains a  $\psi$  packaging signal, a Rev response element (RRE), a central polypurine tract (cPPT) sequence, a Woodchuck hepatitis virus posttranscriptional regulatory element (WPRE) and a remnant of a deleted *nef* gene.

The leukapheresis material is enriched for CD4/CD8 T lymphocytes by positive immunoselection, activated by CD3 and CD28 agonists and transduced with the vector. The cells are then expanded in media supplemented with human AB serum from healthy male donors, interleukin (IL) 7 and IL-15. The cell suspension consists of T lymphocytes (>70%), with greater than 20% of the T lymphocytes expressing the CAR transgene, and cytotoxic potency is measured against a CD19+ leukemia cell line.

*cell-based gene therapy (antineoplastic)*

varnimcabtagène autoleucel

lymphocytes T autologues obtenus à partir de lymphocytes de sang périphérique par leucaphérèse, transduits avec un vecteur lentiviral auto-inactivant et non répliquant, codant un récepteur antigénique chimérique ciblant CD19. Le transgène exprimé comprend une séquence de tête CD8 $\alpha$ , un fragment variable à chaîne unique (scFv) anti-CD19 murin dérivé du clone A3B1, une région charnière et transmembranaire CD8 $\alpha$ , et un domaine de signalisation 4-1BB (CD137) et CD3 $\zeta$  (CD247) qui est sous le contrôle du promoteur du facteur d'élongation 1 alpha (EF1 $\alpha$ ). La construction est flanquée de longues répétitions terminales (LTR) en 5' et 3' et contient également un signal d'encapsidation  $\psi$ , un élément de réponse Rev (RRE), une séquence du tractus polypurine central (cPPT), un élément de régulation post-transcriptionnel (WPRE) du virus de l'hépatite de marmotte et un reste du gène *nef* supprimé. Le matériel de leucaphérèse est enrichi en lymphocytes T CD4/CD8 par immunosélection positive, activé par des agonistes CD3 et CD28 et transduit par le vecteur. Les cellules sont ensuite cultivées dans un milieu complété par du sérum AB humain provenant de donneurs mâles sains, de l'interleukine (IL) 7 et de l'IL-15. La suspension cellulaire est constituée de lymphocytes T (>70%), avec plus de 20% des lymphocytes T exprimant le transgène CAR, et le pouvoir cytotoxique est mesurée contre une lignée de cellules leucémiques CD19+.

*thérapie génique à base de cellules (antineoplasique)*

varnimcabtagén autoleucel

linfocitos T autólogos obtenidos de linfocitos de sangre periférica mediante leucoaféresis, transducidos con un vector lentiviral auto inactivante, no replicativo, que codifica para un receptor de antígenos quimérico (CAR) dirigido a CD19. El transgén expresado contiene una secuencia líder de CD8 $\alpha$ , un fragmento variable de cadena sencilla (scFv) murino anti-CD19 derivado del clon A3B1, una región bisagra y transmembrana de CD8 $\alpha$ , y un dominio de señalización 4-1BB (CD137) y CD3 $\zeta$  (CD247), y está bajo el control del promotor del factor de elongación 1 alfa (EF1 $\alpha$ ). El constructo está flanqueado por repeticiones terminales largas (LTRs) en 5' y 3' y también contiene una señal de empaquetamiento  $\psi$ , un elemento de respuesta Rev (RRE), una secuencia de tracto de poli-purina central (cPPT), un elemento regulador post-transcripcional del virus de la hepatitis de la marmota (WPRE) y los restos de un gen *nef* delecionado.

El material de leucoaféresis se enriquece para linfocitos T CD4/CD8 mediante inmunoselección positiva, se activa mediante agonistas de CD3 y CD28 y se transduce con el vector. Las células son después expandidas en medio suplementado con suero humano AB de donantes varones sanos, interleuquina (IL) 7 e IL-15. La suspensión celular consiste en linfocitos T (>70%), con más del 20% de los linfocitos T que expresan el transgén del CAR, y con potencia citotóxica medida frente a una línea celular CD19+ de leucemia.

*terapia génica basada en células (antineoplásico)*

**varokibartum #**

varokibart

immunoglobulin G4-lambda, anti-[*Homo sapiens*IL5 (interleukin 5, IL-5)], *Homo sapiens* monoclonal antibody; gamma4 heavy chain *Homo sapiens* (1-443) [VH (*Homo sapiens* IGHV4-31\*02 (99%) -(IGHD) -IGHJ5\*01 (93.8%)) [10.7.9](26-35.53-59.98-106) (1-117) -*Homo sapiens* IGHG4\*01, nG4m(a) CH2 L92, G4v5 h P10, G4v21 CH2 Y15.1, T16, E18 (CH1 (118-215), hinge 1-12 S10>P (225) (216-227), CH2 L92 (312), M>Y15.1 (249), S>T16 (251), T>E18 (253) (228-337), CH3 (338-442), CHS K2>del (443)) (118-443)], (131-213')-disulfide with lambda light chain *Homo sapiens* (1'-214') [V-LAMBDA (*Homo sapiens* IGLV1-21\*02 (94.8%) -IGLJ2\*01 (100%)) [6.3.11] (26-31.49-51.88-98) (1'-108') -*Homo sapiens* IGLC2\*01 (100%) (109'-214')]; dimer(223-223":226-226")-bisdisulfide, produced in Chinese hamster ovary (CHO) cells, cell line CHO-K1SV, glycoform alfa  
*anti-inflammatory*

varokibart

immunoglobuline G4-lambda, anti-[*Homo sapiens* IL5 (interleukine 5, IL-5)], anticorps monoclonal *Homo sapiens*;  
chaîne lourde gamma1 *Homo sapiens* (1-443 [VH (*Homo sapiens* IGHV4-31\*02 (99%) -(IGHD) -IGHJ5\*01 (93.8%)) [10.7.9] (26-35.53-59.98-106) (1-117) -*Homo sapiens* IGHG4\*01, nG4m(a) CH2 L92, G4v5 h P10, G4v21 CH2 Y15.1, T16, E18 (CH1 (118-215), charnière 1-12 S10>P (225) (216-227), CH2 L92 (312), M>Y15.1 (249), S>T16 (251), T>E18 (253) (228-337), CH3 (338-442), CHS K2>del (443)) (118-443)], (131-213')-disulfure avec la chaîne légère lambda *Homo sapiens* (1'-214') [V-LAMBDA (*Homo sapiens* IGLV1-21\*02 (94.8%) -IGLJ2\*01 (100%)) [6.3.11] (26-31.49-51.88-98) (1'-108') -*Homo sapiens* IGLC2\*01 (100%) (109'-214')]; dimère (223-223":226-226")-bisdisulfure, produit dans des cellules ovariennes de hamster chinois (CHO), lignée cellulaire CHO-K1SV, glycoforme alfa  
*anti-inflammatoire*

varokibart

inmunoglobulina G4-lambda, anti-[*Homo sapiens* IL5 (interleukina 5, IL-5)], anticuerpo monoclonal *Homo sapiens*;  
cadena pesada gamma1 *Homo sapiens* (1-443 [VH (*Homo sapiens* IGHV4-31\*02 (99%) -(IGHD) -IGHJ5\*01 (93.8%)) [10.7.9] (26-35.53-59.98-106) (1-117) -*Homo sapiens* IGHG4\*01, nG4m(a) CH2 L92, G4v5 h P10, G4v21 CH2 Y15.1, T16, E18 (CH1 (118-215), bisagra 1-12 S10>P (225) (216-227), CH2 L92 (312), M>Y15.1 (249), S>T16 (251), T>E18 (253) (228-337), CH3 (338-442), CHS K2>del (443)) (118-443)], (131-213')-disulfuro con la cadena ligera lambda *Homo sapiens* (1'-214') [V-LAMBDA (*Homo sapiens* IGLV1-21\*02 (94.8%) -IGLJ2\*01 (100%)) [6.3.11] (26-31.49-51.88-98) (1'-108') -*Homo sapiens* IGLC2\*01 (100%) (109'-214')]; dímero (223-223":226-226")-bisdisulfuro, producido en las células ováricas de hamster chino (CHO), línea celular CHO-K1SV, forma glicosilada alfa  
*antiinflamatorio*

2643349-04-4

## Heavy chain / Chaîne lourde / Cadena pesada

QVQLQESGPG	LVKPSQTLISL	TCTVSGGSIS	NGGYWWSWIR	QHPGKLEWI	50
GIYIYSGSTY	YNPSLKSRTV	ISVDTSKNQF	SLKLSSTAA	DTAVYYCASL	100
GNWFDYWGQG	TLVTVSSAST	KGPSVFFPLAP	CSRSTSESTA	ALGCLVKDYF	150
PEFVTVSWNS	GALTSGVHTF	PAVLQSSGLY	SLSSVTVTPS	SSLGKTYTTC	200
NVDHKFSNTR	VDKRVESKYG	FPCCPCPAPE	FLGGPSVFLF	PFKPKDTLYI	250
TREPEVTCVV	VDVSEQDPEV	QFNWYVDGVE	VHNAKTKPRE	EQFNSTYRVV	300
SVLTVLHQDW	LNGKEYKCKV	SNKGLPSSIE	KTISKAKGQP	REPQVYTLPP	350
SQEEMTKNQV	SLTCLVKGFY	PSDIAVEWES	NGQPENNYKT	TPPVLDSDGS	400
FFLYSRLTVD	KSRWQEGNVF	SCSVMEALH	NHYTQKLSL	SLG	443

## Light chain / Chaîne légère / Cadena ligera

SYVLTQPPSV	SVAPGQTARI	TCGGNNIGSK	NVVYQQKPG	QAPVLVHDD	50
SDRPSGIPER	FSGSNSGNTA	TLTISRVEVG	DEADYSCQW	DSSSDHVVFG	100
GGTKLTVLGG	PKAAPSVTLF	PPSSEELQAN	KATLVCLISD	FYPGAVTVAV	150
KADSSPVKAG	VETTTPSKQS	NNKYAASSYL	SLTPEQWKSH	RSYSCQVTHE	200
GSTVEKTVAP	TECS				214

## Post-translational modifications

Disulfide bridges location / Position des ponts disulfure / Posiciones de los puentes disulfuro

Intra-H (C23-C104)	22"-97"	144"-200"	258"-318"	364"-422"
	22"-97"	144"-200"	258"-318"	364"-422"

Intra-L (C23-C104) 22"-87" 136"-195"

22"-87" 136"-195"

Inter-H-L (CH1 10-CL 126) 131"-213" 131"-213"

Inter-H-H (h 8, h 11) 223"-223" 226"-226"

N-terminal glutaminyl cyclization / Cyclisation du glutaminyle N-terminal / Ciclación del glutamínilo N-terminal

Q &gt; pyroglutamyl (pE, 5-oxoprolyl) / pyroglutamyle (pE, 5-oxoprolyle) / piroglutamilo (pE, 5-oxoprolyle)

H VH Q1: 1, 1"

N-glycosylation sites / Sites de N-glycosylation / Posiciones de N-glicosilación

H CH2 N84.4: 294, 294"

Fucosylated complex bi-antennary CHO-type glycans / glycanes de type CHO bi-antennaires complexes fucosylés / glicanos de tipo CHO biantenarijos complejos fucosilados

## vepedegestrant

vepedegestrant

(2<sup>1</sup>R,2<sup>2</sup>S,8<sup>3</sup>S)-2<sup>6</sup>-hydroxy-2<sup>1</sup>,2<sup>2</sup>,2<sup>3</sup>,2<sup>4</sup>-tetrahydro-7(5,2)-isoindola-6(1,4)-piperazina-4(1,4),8(3)-dipiperidina-2(2,1)-naphthalena-1(1),3(1,4)-dibenzenaoctaphane-7<sup>1</sup>,8<sup>2</sup>,8<sup>6</sup>(7<sup>3</sup>H)-trione  
*antiestrogen, antineoplastica*

vepedégestrant

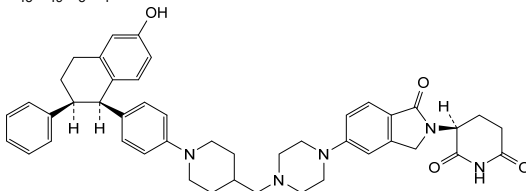
(2<sup>1</sup>R,2<sup>2</sup>S,8<sup>3</sup>S)-2<sup>6</sup>-hydroxy-2<sup>1</sup>,2<sup>2</sup>,2<sup>3</sup>,2<sup>4</sup>-tétrahydro-7(5,2)-isoindola-6(1,4)-pipérazina-4(1,4),8(3)-dipipéridina-2(2,1)-naphtaléna-1(1),3(1,4)-dibenzénaoctaphane-7<sup>1</sup>,8<sup>2</sup>,8<sup>6</sup>(7<sup>3</sup>H)-trione  
*anti-œstrogène, antinéoplasique*

vepedegestrant

(2<sup>1</sup>R,2<sup>2</sup>S,8<sup>3</sup>S)-2<sup>6</sup>-hidroxi-2<sup>1</sup>,2<sup>2</sup>,2<sup>3</sup>,2<sup>4</sup>-tetrahidro-7(5,2)-isoindola-6(1,4)-piperazina-4(1,4),8(3)-dipiperidina-2(2,1)-naftalena-1(1),3(1,4)-dibencenaoctafano-7<sup>1</sup>,8<sup>2</sup>,8<sup>6</sup>(7<sup>3</sup>H)-triona  
*antiestrógeno, antineoplásico*

C<sub>45</sub>H<sub>49</sub>N<sub>5</sub>O<sub>4</sub>

2229711-68-4



**vidoflufolastatum (<sup>18</sup>F)**vidoflufolastat (<sup>18</sup>F)

(10S,15S,22S)-1-[4-(<sup>18</sup>F)fluorophenyl]-20-hydroxy-1,8,13,20-tetraoxo-19-oxa-2,9,14,21-tetraaza-20λ<sup>5</sup>-phosphatetracosane-10,15,22,24-tetracarboxylic acid  
*diagnostic imaging agent*

vidoflufolastat (<sup>18</sup>F)

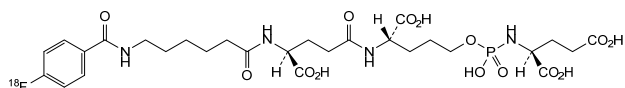
acide (10S,15S,22S)-1-[4-(<sup>18</sup>F)fluorophényl]-20-hydroxy-1,8,13,20-tétraoxo-19-oxa-2,9,14,21-tétraaza-20λ<sup>5</sup>-phosphatétracosane-10,15,22,24-tétracarboxylique  
*agent diagnostique*

vidoflufolastat (<sup>18</sup>F)

ácido (10S,15S,22S)-1-[4-(<sup>18</sup>F)fluorofenil]-20-hidroxi-1,8,13,20-tetraoxo-19-oxa-2,9,14,21-tetraaza-20λ<sup>5</sup>-fosfatetracosano-10,15,22,24-tetracarboxílico  
*agente de diagnóstico*

C<sub>28</sub>H<sub>40</sub><sup>18</sup>FN<sub>4</sub>O<sub>14</sub>P

1628717-59-8

**vilamakitugum #**

vilamakitug

immunoglobulin G4-kappa, anti-[*Homo sapiens* IL1A (interleukin 1 alpha)], monoclonal antibody; gamma4 heavy chain (1-445) [VH (*Homo sapiens* IGHV1-69\*01 (80.4%) -(IGHD) -IGHJ4\*01 (100%), CDR-IMGT [8.8.11] (26-33.51-58.97-107)) (1-118) -*Homo sapiens* IGHG4\*01 (100%), nG4m(a) CH2 L92 (CH1 (119-216), hinge 1-12 (217-228), CH2 L92 (307) (229-338), CH3 (339-443), CHS (444-445)) (119-445)], (132-220')-disulfide with kappa light chain (1'-220') [V-KAPPA (*Homo sapiens* IGKV4-1\*01 (100%) -IGKJ1\*01 (100%), CDR-IMGT [12.3.9] (27-38.56-58.95-103)) (1'-113') -*Homo sapiens* IGKC\*01 (100%), Km3 A45.1 (159), V101 (197) (114'-220')]; dimer (224-224":227-227")-bisdisulfide, produced in Chinese hamster ovary (CHO) cells, cell line CHO-K1SV, glycoform alfa  
*anti-inflammatory, antineoplastic*

vilamakitug

immunoglobuline G4-kappa, anti-[*Homo sapiens* IL1A (interleukine 1 alpha)], anticorps monoclonal; chaîne lourde gamma4 (1-445) [VH (*Homo sapiens* IGHV1-69\*01 (80.4%) -(IGHD) -IGHJ4\*01 (100%), CDR-IMGT [8.8.11] (26-33.51-58.97-107)) (1-118) -*Homo sapiens* IGHG4\*01 (100%), nG4m(a) CH2 L92 (CH1 (119-216), charnière 1-12 (217-228), CH2 L92 (307) (229-338), CH3 (339-443), CHS (444-445)) (119-445)], (132-220')-disulfure avec la chaîne légère kappa (1'-220') [V-KAPPA (*Homo sapiens* IGKV4-1\*01 (100%) -IGKJ1\*01 (100%), CDR-IMGT [12.3.9] (27-38.56-58.95-103))(1'-113') -*Homo sapiens* IGKC\*01 (100%), Km3 A45.1 (159), V101 (197) (114'-220')]; dimère (224-224":227-227")-bisdisulfure, produit dans des cellules ovariennes de hamster chinois (CHO), lignée cellulaire CHO-K1SV, glycoforme alfa  
*anti-inflammatoire, antinéoplasique*

vilamakitug

immunoglobulina G4-kappa, anti-[*Homo sapiens* IL1A (interleukina 1 alfa)], anticuerpo monoclonal;

cadena pesada gamma4 (1-445) [VH (*Homo sapiens* IGHV1-69\*01 (80.4%)-(IGHD)-IGHJ4\*01 (100%), CDR-IMGT [8.8.11] (26-33.51-58.97-107)) (1-118) - *Homo sapiens* IGHG4\*01 (100%), nG4m(a) CH2 L92 (CH1 (119-216), bisagra 1-12 (217-228), CH2 L92 (307) (229-338), CH3 (339-443), CHS (444-445)) (119-445)], (132-220)-disulfuro con la cadena ligera kappa (1'-220') [V-KAPPA (*Homo sapiens* IGKV4-1\*01 (100%)-IGKJ1\*01 (100%), CDR-IMGT [12.3.9] (27-38.56-58.95-103))(1'-113') - *Homo sapiens* IGKC\*01 (100%), Km3 A45.1 (159), V101 (197) (114'-220)]; dímero (224-224":227-227")-bisdisulfuro, producido en las células ováricas de hámster chino (CHO), línea celular CHO-K1SV, forma glicosilada alfa **antiinflamatorio, antineoplásico**

## 2458202-06-5

## Heavy chain / Chaîne lourde / Cadena pesada

QVQLVQSGAE	VKKPGSSVKV	SCKASGGRFT	NYAILWVRQA	PGQGLQWLGG	50
IIPFDETDH	AQDFQDRLLT	TVDESMFTAY	MELSSLRPED	TAIYYCATGS	100
NSYIGLYWGQ	GTLVTVSSAS	TGQFSVFLPA	PCSRSTSEST	AALGCLVKDY	150
FPEFPTVSWN	SGALTSVGHV	FPAVLQSSGL	YLSLSSVVTVP	SSSLGPKTYT	200
CNVDHKFSNT	KVDKRVESKY	GPFCPCPCAP	EFLGGPSVFL	FPPKPKDTLM	250
ISRTPEVTCV	VVDVSDQEDPE	VQFNWYVDGV	EVHNAKTKPR	EEQFNSTYRV	300
VSVLTVLHQD	WLNKREYKCK	VSNKGLPSSI	EKTISKAKGQ	PREPQVYTLF	350
PSQEEMTKNQ	VSLTCLVKGF	YPSDIAVEVE	SNGQFENNYK	TPPVLDSGDG	400
SFFLYSRLTV	DKSRWQEGNV	FSCSVMEAL	HNHYTQKSL	LSLGK	445

## Light chain / Chaîne légère / Cadena ligera

DIVMTQSPDS	LAVSLGERAT	INCKSSQSVL	YSSNNKNYLA	WYQQKPGQPP	50
KLLIYWASTR	ESGVPRFRSG	SGSGTDFTLT	ISLQAEDVA	VYQCQYYST	100
PSTFGQGTKV	EIKRTVAAPS	VFIFFPSDEQ	LKSGTASVVC	LLNNFYPREA	150
KVQWKVDNAL	QSGNSQESVT	EQDSKDSSTYS	LSSTLTLSKA	DYEKHKVYAC	200
EVTHQGLSSP	VTKSFNRGEC				220

## Post-translational modifications

Disulfide bridges location / Position des ponts disulfure / Posiciones de los puentes disulfuro

Intra-H (C23-C104)	22-96	145-201	259-319	365-423
	22"-96"	145"-201"	259"-319"	365"-423"
Intra-L (C23-C104)	23'-94'	140'-200'		
	23"-94"	140"-200"		
Inter-H-L (CH1 10-CL 126)	132-220'	132"-220"		
Inter-H-H (h 8, h 11)	224-224"	227-227"		

N-terminal glutaminyl cyclization / Cyclisation du glutaminyle N-terminal / Ciclación del glutaminilo N-terminal

Q > pyroglutamyl (pE, 5-oxoprolyl) / pyroglutamyl (pE, 5-oxoprolyle) / piroglutamilo (pE, 5-oxoproliolo)  
H VH Q1: 1, 1"N-glycosylation sites / Sites de N-glycosylation / Posiciones de N-glicosilación  
H CH2 N84.4: 295, 295"

Fucosylated complex bi-antennary CHO-type glycans / glycanes de type CHO bi-antennaires complexes fucosylés / glicanos de tipo CHO biantenarijos complejos fucosilados.

C-terminal lysine clipping / Coupure de la lysine C-terminale / Recorte de lisina C-terminal  
H CHS K2: 445, 445"**vimmerixinum**

vimmerixin

*N*-(6-(((2*R*,3*S*)-3,4-dihydroxybutan-2-yl]oxy)-2-(((4-fluorophenyl)methyl]sulfanyl]pyrimidin-4-yl)-3-methylazetidina-1-sulfonamide  
**CXC chemokine receptor type 2 antagonist**

vimnérixine

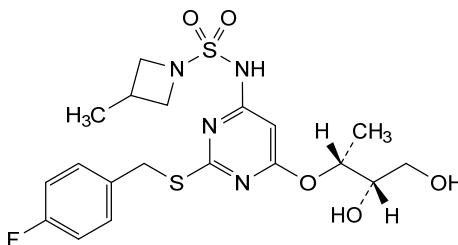
*N*-(6-(((2*R*,3*S*)-3,4-dihydroxybutan-2-yl]oxy)-2-(((4-fluorophényl)méthyl]sulfanyl]pyrimidin-4-yl)-3-méthylazétidine-1-sulfonamide  
**antagoniste du récepteur de chimiokine CXC de type 2**

vimmerixina

*N*-(6-(((2*R*,3*S*)-3,4-dihidroxiбутан-2-ил]oxi)-2-(((4-fluorofenil]metil]sulfanil]pirimidin-4-il)-3-metilazetidina-1-sulfonamida  
**antagonista del receptor de la quimiocina CXC tipo 2**

C<sub>19</sub>H<sub>25</sub>FN<sub>4</sub>O<sub>5</sub>S<sub>2</sub>

1418112-77-2

**vipoglanstatum**

vipoglanstat

2-{2,6-dichloro-3-[(2,2-diméthylpropanamido)méthyl]anilino}-6-(2,2-difluoroéthoxy)-1-méthyl-N-[*trans*-4-(trifluorométhyl)cyclohexyl]-1*H*-benzimidazole-5-carboxamide  
*prostaglandin E synthase inhibitor, anti-inflammatory*

vipoglanstat

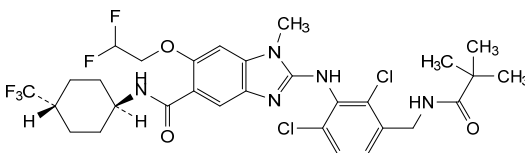
2-{2,6-dichloro-3-[(2,2-diméthylpropanamido)méthyl]anilino}-6-(2,2-difluoroéthoxy)-1-méthyl-N-[*trans*-4-(trifluorométhyl)cyclohexyl]-1*H*-benzimidazole-5-carboxamide  
*inhibiteur de la synthase de la prostaglandine E, anti-inflammatoire*

vipoglanstat

2-{2,6-dichloro-3-[(2,2-diméthylpropanamido)metil]anilino}-6-(2,2-difluoroetoxi)-1-metil-N-[*trans*-4-(trifluorometil)ciclohexil]-1*H*-benzimidazol-5-carboxamida  
*inhibidor de la prostaglandina E sintasa, antiinflamatorio*

C<sub>30</sub>H<sub>34</sub>Cl<sub>2</sub>F<sub>5</sub>N<sub>5</sub>O<sub>3</sub>

1360622-01-0

**vociprotafibum**

vociprotafib

{6-[(2-amino-3-chloropyridin-4-yl)sulfanyl]-3-[(3*S*,4*S*)-4-amino-3-méthyl-2-oxa-8-azaspiro[4.5]décan-8-yl]-5-méthylpyrazin-2-yl)méthanol  
*protein tyrosine phosphatase (HPTP) inhibitor*

vociprotafib

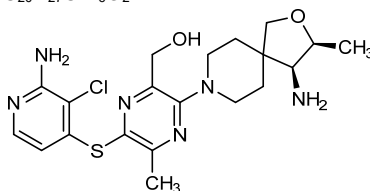
{6-[(2-amino-3-chloropyridin-4-yl)sulfanyl]-3-[(3*S*,4*S*)-4-amino-3-méthyl-2-oxa-8-azaspiro[4.5]décan-8-yl]-5-méthylpyrazin-2-yl)méthanol  
*inhibiteur de la protéine tyrosine phosphatase (HPTP)*

vociprotafib

{6-[(2-amino-3-cloropiridin-4-il)sulfanil]-3-[(3S,4S)-4-amino-3-metil-2-oxa-8-azaspiro[4.5]decan-8-il]-5-metilpirazin-2-il}metanol  
*inhibidor de la proteína tirosina fosfatasa (HPTP)*

C<sub>20</sub>H<sub>27</sub>ClN<sub>6</sub>O<sub>2</sub>S

2172652-48-9

**vodudeutenantum**

vodudeutenant

*N*-{[(2*R*,6*S*)-2,6-di[(<sup>2</sup>H<sub>1</sub>)]methyl]piperidine-1-carbonyl}-4-methyl-L-leucyl-1-(methoxycarbonyl)-D-tryptophyl-(2*R*)-2-aminohexanoic acid  
*endothelin receptor antagonist*

vodudeutenant

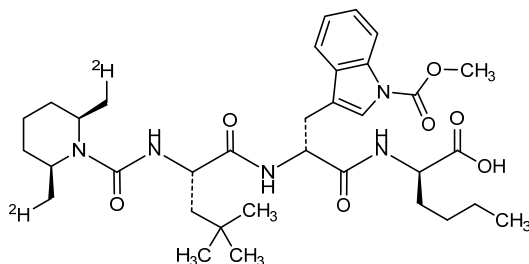
acide *N*-{[(2*R*,6*S*)-2,6-di[(<sup>2</sup>H<sub>1</sub>)]méthyl]pipéridine-1-carbonyl}-4-méthyl-L-leucyl-1-(méthoxycarbonyl)-D-tryptophyl-(2*R*)-2-aminohexanoïque  
*antagoniste du récepteur de l'endothéline*

vodudeutenant

ácido *N*-{[(2*R*,6*S*)-2,6-di[(<sup>2</sup>H<sub>1</sub>)]metil]piperidina-1-carbonil}-4-metil-L-leucil-1-(metoxicarbonil)-D-triptofil-(2*R*)-2-aminohexanoico  
*antagonista del receptor de la endotelina*

C<sub>34</sub>H<sub>49</sub><sup>2</sup>H<sub>2</sub>N<sub>5</sub>O<sub>7</sub>

2364365-83-1

**volrustomigum #**

volrustomig

immunoglobulin G1-kappa/kappa-lambda, anti-[*Homo sapiens* PDCD1 (programmed cell death 1, PD1, PD-1, CD279)] and anti-[*Homo sapiens* CTLA4 (cytotoxic T-lymphocyte-associated antigen 4, cytotoxic T-lymphocyte-associated protein 4, CTLA-4, CD152)], humanized and *Homo sapiens* monoclonal antibody, bispecific, bivalent;

gamma1 heavy chain anti-PDCD1 humanized (1-452) [VH anti-PDCD1 humanized (*Homo sapiens* IGHV3-48\*01 (92.9%) -(IGHD) -IGHJ4\*01, L123>T (117) (93.3%), CDR-IMGT [8.8.15] (26-33.51-58.97-111) (1-122) -*Homo sapiens* IGHG1\*03, G1m3, nG1m1, G1v39 CH2 F1.3, E1.2, S116, G1v33 CH3 S22, A24, V86 (hole) (CH1 R120 (219) (123-220), hinge 1-15 (221-235), CH2 L1.3>F (239), L1.2>E (240), P116>S (336) (236-345), CH3 Y5>C (354), E12 (361), M14 (363), T22>S (371), L24 >A (373), Y86>V (412) (346-450), CHS (451-452)) (123-452)], (225-219')-disulfide with

kappa light chain anti- PDCD1 humanized (1'-219') [V-KAPPA (*Homo sapiens* IGKV3-11\*01 (81.0%) -IGKJ2\*02 (100%)) CDR-IMGT [11.3.9] (27-37.55-57.94-102) (1'-112') -*Homo sapiens* IGKC\*01 (100%) A45.1 (158), V101 (196) (113'-219') (113'-219')];  
 gamma1 heavy chain anti-CTLA4 *Homo sapiens* (1"-455") [VH anti-CTLA4 (*Homo sapiens* IGHV3-33\*01 (100%) - (IGHD) -IGHJ6\*01 (100%)) CDR-IMGT [8.8.18] (26-33.51-58.97-114) (1"-125") -*Homo sapiens* IGHG1\*03, G1m3, nG1m1, G1v39 CH2 F1.3, E1.2, S116, G1v32 CH3 W32 (knob) (CH1 F5>C (134), R120 (222) (126"-223"), hinge 1-15, C5>V (228) (224"-238"), CH2 L1.3>F (242), L1.2>E (243), P116>S (339) (239"-348"), CH3 S10>C (362), E12 (364), M14 (366), T22>W (374) (349"-453"), CHS (454-455)) (126"-455")], (134"-122")-disulfide with kappa-lambda light chain anti-CTLA4 *Homo sapiens* (1""-213""") [V-KAPPA anti-CTLA4 (*Homo sapiens* IGKV1-39\*01 (96.8%) - IGKJ3\*01, D125>E (91.7%), CDR-IMGT [6.3.7] (27-32.50-52.89-95) (1""-107""") -*Homo sapiens* IGLC2\*01, S10>C (122), C126>V (212) (98.1%) (108""-213"""); heterodimer (231-234":234-237":354-362")-trisdisulfide, produced in a cell line derived from Chinese hamster ovary (CHO) cells, glycoform alfa  
*immunostimulant, antineoplastic*

volrustomig

immunoglobuline G1-kappa/kappa-lambda, anti-[*Homo sapiens* PDCD1 (protéine 1 de mort cellulaire programmée, PD-1, PD1, CD279)] et anti-[*Homo sapiens* CTLA4 (antigène 4 associé aux lymphocytes T cytotoxiques, protéine 4 associée aux lymphocytes T cytotoxiques, CTLA-4, CD152)], anticorps monoclonal humanisé et *Homo sapiens*, bispécifique, bivalent;  
 chaîne lourde gamma1 anti-PDCD1 humanisée (1-452) [VH anti-PDCD1 humanisé (*Homo sapiens* IGHV3-48\*01 (92.9%) - (IGHD) -IGHJ4\*01, L123>T (117) (93.3%), CDR-IMGT [8.8.15] (26-33.51-58.97-111) (1-122) -*Homo sapiens* IGHG1\*03, G1m3, nG1m1, G1v39 CH2 F1.3, E1.2, S116, G1v33 CH3 S22, A24, V86 (hole) (CH1 R120 (219) (123-220), charnière 1-15 (221-235), CH2 L1.3>F (239), L1.2>E (240), P116>S (336) (236-345), CH3 Y5>C (354), E12 (361), M14 (363), T22>S (371), L24 >A (373), Y86>V (412) (346-450), CHS (451-452)) (123-452)], (225-219')-disulfide with kappa light chain anti- PDCD1 humanized (1'-219') [V-KAPPA (*Homo sapiens* IGKV3-11\*01 (81.0%) -IGKJ2\*02 (100%)) CDR-IMGT [11.3.9] (27-37.55-57.94-102) (1'-112') -*Homo sapiens* IGKC\*01 (100%) A45.1 (158), V101 (196) (113'-219') (113'-219')];  
 chaîne lourde gamma1 anti-CTLA4 *Homo sapiens* (1"-455") [VH anti-CTLA4 (*Homo sapiens* IGHV3-33\*01 (100%) - (IGHD) -IGHJ6\*01 (100%)) CDR-IMGT [8.8.18] (26-33.51-58.97-114) (1"-125") -*Homo sapiens* IGHG1\*03, G1m3, nG1m1, G1v39 CH2 F1.3, E1.2, S116, G1v32 CH3 W32 (knob) (CH1 F5>C (134), R120 (222) (126"-223"), charnière 1-15, C5>V (228) (224"-238"), CH2 L1.3>F (242), L1.2>E (243), P116>S (339) (239"-348"), CH3 S10>C (362), E12 (364), M14 (366), T22>W (374) (349"-453"), CHS (454-455)) (126"-455")], (134"-122")-disulfure avec la chaîne

- légère kappa-lambda anti-CTLA4 *Homo sapiens* (1"-213")  
[V-KAPPA anti-CTLA4 (*Homo sapiens* IGKV1-39\*01 (96.8%) -IGKJ3\*01, D125>E (91.7%), CDR-IMGT [6.3.7] (27-32.50-52.89-95) (1"-107") -*Homo sapiens* IGLC2\*01, S10>C (122), C126>V (212) (98.1%) (108"-213")];  
hétérodimère (231-234":234-237":354-362")-trisdisulfure,  
produite dans une lignée cellulaire dérivée des cellules ovariennes de hamster chinois (CHO), glycoforme alfa  
*immunostimulant, antinéoplasique*
- volrustomig
- inmunoglobulina G1-kappa/kappa-lambda, anti-[*Homo sapiens* PDCD1 (proteína 1 de muerte celular programada, PD-1, PD1, CD279)] y anti-[*Homo sapiens* CTLA4 (antígeno 4 asociado con los linfocitos T citotóxicos, proteína 4 asociada con los linfocitos T citotóxicos, CTLA-4, CD152)], anticuerpo monoclonal humanizado y *Homo sapiens*, biespecífico, bivalente;  
cadena pesada gamma1 anti-PDCD1 humanizada (1-452) [VH anti-PDCD1 humanizado (*Homo sapiens* IGHV3-48\*01 (92.9%) -(IGHD) -IGHJ4\*01, L123>T (117) (93.3%), CDR-IMGT [8.8.15] (26-33.51-58.97-111) (1-122) -*Homo sapiens* IGHG1\*03, G1m3, nG1m1, G1v39 CH2 F1.3, E1.2, S116, G1v33 CH3 S22, A24, V86 (hole) (CH1 R120 (219) (123-220), bisagra 1-15 (221-235), CH2 L1.3>F (239), L1.2>E (240), P116>S (336) (236-345), CH3 Y5>C (354), E12 (361), M14 (363), T22>S (371), L24 >A (373), Y86>V (412) (346-450), CHS (451-452)) (123-452)], (225-219')-disulfuro con cadena ligera kappa anti- PDCD1 humanizado (1'-219') [V-KAPPA (*Homo sapiens* IGKV3-11\*01 (81.0%) -IGKJ2\*02 (100%)) CDR-IMGT [11.3.9] (27-37.55-57.94-102) (1'-112') -*Homo sapiens* IGKC\*01 (100%) A45.1 (158), V101 (196) (113'-219') (113'-219')];  
cadena pesada gamma1 anti-CTLA4 *Homo sapiens* (1"-455") [VH anti-CTLA4 (*Homo sapiens* IGHV3-33\*01 (100%) -(IGHD) -IGHJ6\*01 (100%)) CDR-IMGT [8.8.18] (26-33.51-58.97-114) (1"-125") -*Homo sapiens* IGHG1\*03, G1m3, nG1m1, G1v39 CH2 F1.3, E1.2, S116, G1v32 CH3 W32 (knob) (CH1 F5>C (134), R120 (222) (126"-223"), bisagra 1-15, C5>V (228) (224"-238"), CH2 L1.3>F (242), L1.2>E (243), P116>S (339) (239"-348"), CH3 S10>C (362), E12 (364), M14 (366), T22>W (374) (349"-453"), CHS (454-455) (126"-455")], (134"-122")-disulfuro con la cadena ligera kappa-lambda anti-CTLA4 *Homo sapiens* (1"-213")  
[V-KAPPA anti-CTLA4 (*Homo sapiens* IGKV1-39\*01 (96.8%) -IGKJ3\*01, D125>E (91.7%), CDR-IMGT [6.3.7] (27-32.50-52.89-95) (1"-107") -*Homo sapiens* IGLC2\*01, S10>C (122), C126>V (212) (98.1%) (108"-213")];  
heterodímero (231-234":234-237":354-362")-trisdisulfuro,  
producido en una línea celular derivada de las células ováricas de hámster chino (CHO), forma glicosilada alfa  
*inmunoestimulante, antineoplásico*

2407760-40-9

Heavy chain / Chaîne lourde / Cadena pesada: anti-PDCD1 (H)  
 EVQLVESGGG LVQPGGSLRL SCAASGFTFS DYGMHWVRQA PGKGLEWVAY 50  
 ISSGSYTIYS ADSVKGRFTI SRDNKNSLY LQMSLRAED TAVYVCARRA 100  
 PMSFYEYFD YWGQGTTVTV SSASTKGPSV FPIAPFSKST SGGTALGLCL 150  
 VKDYFPEPVT VSWNSGALTS GVHTFFPAVLQ SSGLYSLSSV VTFVSSSLGT 200  
 QTYICNVNHK PSNTKVDKRV EPKSCDKTHT CFPFAFEFE GGPSVFLFFP 250  
 KFKDTLMISR TPEVTCVVVD VSHEDPEVFK NMYVDGVEVH NAKTKPREEQ 300  
 YNSTYRVVSV LTVLHQDWLN GKEYKCKVSN KALPASIEKT ISKAKGQPRE 350  
 PQVCTLPFSR EEMTRNQVSL SCAVKGFPYS DIAVEWESNG QPENNYKTTT 400  
 PVLDSGGSFF LVSKLTVDKS RWQQGNVFSC SVMHEALHMH YTKSLSLSP 450  
 GK 452

Light chain / Chaîne légère / Cadena ligera: anti-PDCD1 (L)  
 QIVLTQSPAT LSLSPGERAT LSCSASSKHT NLYWSRHMVY YQQKPGQAPR 50  
 LLILYLTNSRA TGIPARFSGS GSGTDFTLTI SSLEPEDFAV YCQQWSSNP 100  
 FTFGQGTKLE IKRTVAAPSV FIFPPSDEQL KSGTASVCL LNNFYPREAK 150  
 VQWKVDNALQ SGNSQESVTE QDSKDYSTSL SSSLTSLSKAD YEKHKVYACE 200  
 VTHQGLSSPV TKSFNRGEC 219

Heavy chain / Chaîne lourde / Cadena pesada: anti-CTLA4 (H\*)  
 QVQLVESGGG VVQVGRSLRL SCAASGFTFS SYGMHWVRQA PGKGLEWVAV 50  
 IWYDGSNKYY ADSVKGRFTI SRDNKNSLY LQMSLRAED TAVYVCARDP 100  
 RGATLYYYY GMDVWQGTIT VVSSASTKG PSVCPLAPSS KSTSGGTAAL 150  
 GCLVKDYFPE PVTVSWNSGA LTVSGVHTFPA VLQSSGLYSL SSVVTVPSSS 200  
 LGTQTYICNV NHKPSNTKVD KRVEPKSVDK THTCPCCPAP EFGGSPVFL 250  
 FPPKPKDTLM ISRTPEVTCV VVDVSHEDPE VKFNWYVDGV EVHNAKTKPR 300  
 EEQYNSYTRV VSVLTVLHQD WLNKGEYKCK VSNKALPAS I EKTISKARGQ 350  
 PREPQVYTL P CREEMTKNQ VSLWCLVKGF YPSDIAVEHE SNGQPENNYK 400  
 TTFPVLDSDG SFFLYSKLTV DKSRRWQGNV FSCSVMHEAL HNHVYTKSLS 450  
 LSPGK 455

Light chain / Chaîne légère / Cadena ligera: anti-CTLA4 (L\*)  
 DIQMTQSPFS LSASVGRDRT ITCRASQSN SYLDWYQQKPK GKAPKLLIYA 50  
 ASSLQSGVPS RFGSGSGSDT FTLTISLQQL EDFATYYCQQ YSTPFTFGP 100  
 GTKVEIKGQP KAAPSVTLFP FCSEELQANK ATLVLCLISDF YPGAVTVAWK 150  
 ADSSPVKAGV ETTTPSKQSN NKYAASSYLS LTPEQWKSHR SYSQVTHEG 200  
 STVEKTVAPT EVS 213

**Post-translational modifications**

Disulfide bridges location / Position des ponts disulfure / Posiciones de los puentes disulfuro  
 Intra-H (C23-C104) 22-96 149-205 266-326 372-430

22"-96" 152"-208" 269"-329" 375"-433"

Intra-L (C23-C104) 23"-93" 139"-199"

23"-88" 135"-194"

Inter-H-L (h 5-CL 126) 225-219" (CH1 5-CL10)\* 134"-122"

Inter-H-H (h 11, h 14) 231-234" 234-237" (CH3 5-CH3 10)\* 354-362"

\*Engineered alternative Inter-H-L (instead of 228"-212") and additional Inter-H-H, owing to 4 amino acid changes to cysteinyl.

N-terminal glutaminyl cyclization / Cyclisation du glutaminyle N-terminal / Ciclación del glutaminilo N-terminal

Q > pyroglutamyl (pE, 5-oxoprolyl) / pyroglutamyle (pE, 5-oxoprolyle) / piroglutamilo (pE, 5-oxoprolilo)

L VL Q1: I\*

H VH Q1: I\*

N-glycosylation sites / Sites de N-glycosylation / Posiciones de N-glicosilación

H CH2 N84.4: 302, 305\*

Fucosylated complex bi-antennary CHO-type glycans / glycanes de type CHO bi-antennaires complexes fucosylés / glicanos de tipo CHO biantenarijos complejos fucosilados

C-terminal lysine clipping / Coupure de la lysine C-terminale / Recorte de lisina C-terminal

H CHS K2: 452, 455\*

**vulolisibum**

vulolisib

(2S)-2-({2-[(4R)-4-(difluoromethyl)-2-oxo-1,3-thiazolidin-2-yl]-5,6-dihydroimidazo[1,2-d][1,4]benzoxazepin-9-yl}amino)propanamide  
*phosphatidylinositol 3-kinase (PI3K) inhibitor, antineoplastic*

vulolisib

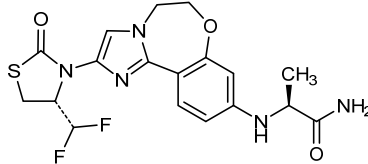
(2S)-2-({2-[(4R)-4-(difluorométhyl)-2-oxo-1,3-thiazolidin-2-yl]-5,6-dihydroimidazo[1,2-d][1,4]benzoxazépin-9-yl}amino)propanamide  
*inhibiteur de phosphatidylinositol 3-kinase (PI3K), antinéoplasique*

vulolisib

(2S)-2-({2-[(4R)-4-(difluorometil)-2-oxo-1,3-tiazolidin-2-il]-5,6-dihidroimidazo[1,2-d][1,4]benzoxazepin-9-il}amino)propanamida  
*inhibidor de fosfatidilinositol 3-kinasa (PI3K), antineoplásico*

C<sub>18</sub>H<sub>19</sub>F<sub>2</sub>N<sub>5</sub>O<sub>3</sub>S

2390105-79-8



**xaluritamigum #**  
 xaluritamig

immunoglobulin G1-scFv-CH/G1-kappa, anti-[*Homo sapiens* STEAP1 (STEAP family member 1, six transmembrane epithelial antigen of the prostate 1, STEAP1 metalloreductase) and anti-[*Homo sapiens* CD3, bispecific, trivalent; gamma1 heavy chain VH-CH1-scFv-CH2-CH3, bispecific (1-723) [VH anti-STEAP1 (*Homo sapiens* IGHV1-3\*01 (80.6%) -(IGHD) -IGHJ4\*01 (86.7%), CDR-IMGT [8.8.14] (26-33.51-58.97-110))] (1-121) -*Homo sapiens* IGHG1\*03v CH1-h (CH1 G1m3>G1m17, R120>K (218) (122-219), hinge 1-5 (220-224)) (122-224) -10-mer bis(tetraglycyl-seryl) linker (225-234) -scFv anti-CD3 [VH (*Homo sapiens* IGHV3-73\*01 (87.0%) -(IGHD) -IGHJ6\*01 (90.9%), CDR-IMGT [8.8.16] (260-267.285-294.333-348)) (235-359) -20-mer tetra(glycyl-lysyl-prolyl-glycyl-seryl) (360-379) -V-LAMBDA (IGLV7-46\*01 (76.8%) -(IGHD) -IGHJ3\*02 (100%), CDR-IMGT [9.3.9] (405-413.431-433.470-478)) (380-488)] (235-488) -10-mer bis(tetraglycyl-seryl) linker (489-498) -IGHG1\*03v h-CH2-CH3 (hinge 7-15 (499-507), CH2 G1v30 G84.4 (92.7%), ELLG>PVA (G2-like) (510,511,512), S29>K (543), R83>C (568), N84.4>G (573), V85>C (578) (508-616), CH3 nG1m1 (98.1%) E12 (632), E13>Q (633), M14 (634), S20>K (640) (617-721), CHS (722-723)) (499-723)], (224-213')-disulfide with kappa light chain anti-STEAP1 *Homo sapiens* (1'-213') [V-KAPPA (*Homo sapiens* IGKV3-11\*01 (86.3%) -IGKJ2\*01 (100%), CDR-IMGT [5.3.9](27-31.49-51.88-96)) (1'-106') -*Homo sapiens* IGKC\*01 (100%), Km3, A45.1 (152), V101 (190) (107'-213')]; gamma1 heavy chain anti-STEAP1 (1''-450'') [VH (*Homo sapiens* IGHV1-3\*01 (80.6%) -(IGHD) -IGHJ4\*01 (86.7%), CDR-IMGT [8.8.14] (26-33.51-58.97-110)) (1''-121'') -*Homo sapiens* IGHG1\*03v, G1m3>G1m17, nG1m1, G1v30 G84.4 (CH1 N114>D (212), R120>K (218) (122''-219''), hinge 1-15 (220''-234''), CH2 (91.8%) ELLG>PVA (G2-like)(237,238,239), S29>K (270), R83>C (295), Q84.2>E (298), N84.4>G (300), V85>C (305) (235''-343''), CH3 (95.2%) E12 (359), M14 (361), L24>D (371), K26>S (373), N44>D (387), Q97>E (421), N100>D (424) (344''-448''), CHS (449''-450'')], (224''-213''')-disulfide with kappa light chain anti-STEAP1 *Homo sapiens* (1'''-213''') [V-KAPPA (*Homo sapiens* IGKV3-11\*01 (86.3%) -IGKJ2\*01 (100%), CDR-IMGT [5.3.9] (27-31.49-51.89-96)) (1'''-106''') -*Homo sapiens* IGKC\*01 (100%), Km3, A45.1 (152), V101 (190) (107'''-213''')]; dimer (230-230''':233-233'')-bisdisulfide, produced in Chinese hamster ovary (CHO) cells, non-glycosylated *antineoplastic*

- xaluritamig immunoglobuline G1-scFv-CH/G1-kappa, anti-[*Homo sapiens* STEAP1 (membre 1 de la famille STEAP, antigène 1 épithélial six transmembrane de la prostate, métallo-réductase STEAP1)] and anti-[*Homo sapiens* CD3, anticorps monoclonal, bispécifique, trivalent; chaîne lourde gamma1 VH-CH1-scFv-CH2-CH3, bispécifique (1-723) [VH anti-STEAP1 (*Homo sapiens* IGHV1-3\*01 (80.6%) -(IGHD) -IGHJ4\*01 (86.7%), CDR-IMGT [8.8.14] (26-33.51-58.97-110))] (1-121) -*Homo sapiens* IGHG1\*03v CH1-h (CH1 G1m3>G1m17, R120>K (218) (122-219), charnière 1-5 (220-224)) (122-224) -10-mer bis(tétraglycyl-séryl) linker (225-234) -scFv anti-CD3 [VH (*Homo sapiens* IGHV3-73\*01 (87.0%) -(IGHD) -IGHJ6\*01 (90.9%), CDR-IMGT [8.8.16] (260-267.285-294.333-348)] (235-488) -20-mer tétra(glycyl-lysyl-prolyl-glycyl-séryl) (360-379) -V-LAMBDA (IGLV7-46\*01 (76.8%) -(IGHD) -IGHJ3\*02 (100%), CDR-IMGT [9.3.9] (405-413.431-433.470-478)) (380-488) -10-mer bis(tétraglycyl-séryl) linker (489-498) -IGHG1\*03v h-CH2-CH3 (charnière 7-15 (499-507), CH2 G1v30 G84.4 (92.7%), ELLG>PVA (G2-like) (510,511,512), S29>K (543), R83>C (568), N84.4>G (573), V85>C (578) (508-616), CH3 nG1m1 (98.1%) E12 (632), E13>Q (633), M14 (634), S20>K (640) (617-721), CHS (722-723)) (499-723)], (224-213')-disulfure avec la chaîne légère kappa anti-STEAP1 (1'-213') [V-KAPPA (*Homo sapiens* IGKV3-11\*01 (86.3%) -IGKJ2\*01 (100%), CDR-IMGT [5.3.9](27-31.49-51.88-96)) (1'-106') -*Homo sapiens* IGKC\*01 (100%), Km3, A45.1 (152), V101 (190) (107-213)]; chaîne lourde gamma1 anti-STEAP1, (1"-450") [VH (*Homo sapiens* IGHV1-3\*01 (80.6%) -(IGHD) -IGHJ4\*01 (86.7%), CDR-IMGT [8.8.14] (26-33.51-58.97-110)) (1"-121") -*Homo sapiens* IGHG1\*03v, G1m3>G1m17, nG1m1, G1v30 G84.4 (CH1 N114>D (212), R120>K (218) (122"-219"), charnière 1-15 (220"-234"), CH2 (91.8%) ELLG>PVA (G2-like)(237,238,239), S29>K (270), R83>C (295), Q84.2>E (298), N84.4>G (300), V85>C (305) (235"-343"), CH3 (95.2%) E12 (359), M14 (361), L24>D (371), K26>S (373), N44>D (387), Q97>E (421), N100>D (424) (344"-448"), CHS (449"-450")]], (224"-213'")-disulfure avec la chaîne légère kappa anti-STEAP1 (1'"-213'") [V-KAPPA (*Homo sapiens* IGKV3-11\*01 (86.3%) -IGKJ2\*01 (100%), CDR-IMGT [5.3.9] (27-31.49-51.89-96)) (1'"-106'") -*Homo sapiens* IGKC\*01 (100%), Km3, A45.1 (152), V101 (190) (107'"-213'")]; dimère (230-230":233-233'")-bisdisulfure, produit dans des cellules ovariennes de hamster chinois (CHO), non-glycosylé  
*antinéoplasique*
- xaluritamig immunoglobulina G1-scFv-CH/G1-kappa, anti-[*Homo sapiens* STEAP1 (miembro 1 de la familia STEAP, antígeno 1 epitelial seis transmembrana de la próstata, metaloreductasa STEAP1)] y anti-[*Homo sapiens* CD3, anticuerpo monoclonal, biespecífico, trivalente; cadena pesada gamma1 VH-CH1-scFv-CH2-CH3, biespecifica (1-723) [VH anti-STEAP1 (*Homo sapiens* IGHV1-3\*01 (80.6%) -(IGHD) -IGHJ4\*01 (86.7%), CDR-IMGT [8.8.14] (26-33.51-58.97-110))] (1-121) -*Homo sapiens* IGHG1\*03v CH1-h (CH1 G1m3>G1m17, R120>K (218) (122-219), bisagra 1-5 (220-224)) (122-224) -10-mer bis(tetraglicil-seril) linker (225-234) -scFv anti-CD3 [VH (*Homo sapiens* IGHV3-73\*01 (87.0%) -(IGHD) -IGHJ6\*01 (90.9%), CDR-IMGT [8.8.16] (260-267.285-294.333-348)] (235-488) -20-mer tetra(glicil-lisil-prolil-glicil-seril) (360-379) -V-LAMBDA (IGLV7-46\*01 (76.8%) -(IGHD) -IGHJ3\*02 (100%), CDR-IMGT [9.3.9] (405-413.431-433.470-478)) (380-488) -10-mer bis(tetraglicil-seril) linker (489-498) -IGHG1\*03v h-CH2-CH3 (bisagra 7-15 (499-507), CH2 G1v30 G84.4 (92.7%), ELLG>PVA (G2-like) (510,511,512), S29>K (543), R83>C (568), N84.4>G (573), V85>C (578) (508-616), CH3 nG1m1 (98.1%) E12 (632), E13>Q (633), M14 (634), S20>K (640) (607-721), CHS (722-723)) (499-723)],(224-213')-disulfuro con la cadena ligera kappa anti-STEAP1 (1'-213') [V-KAPPA (*Homo sapiens* IGKV3-11\*01 (86.3%) -IGKJ2\*01 (100%), CDR-IMGT [5.3.9](27-31.49-51.88-96)) (1'-106') -*Homo sapiens* IGKC\*01 (100%), Km3, A45.1 (152), V101 (190) (107'-213')];

cadena pesada gamma 1 anti-STEAP1, (1"-450") [VH (*Homo sapiens* IGHV1-3\*01 (80.6%) -(IGHD) -IGHJ4\*01 (86.7%), CDR-IMGT [8.8-14] (26-33.51-58.97-110)) (1"-121") -*Homo sapiens* IGHG1\*03v, G1m3>G1m17, nG1m1, G1v30 G84.4 (CH1 N114>D (212), R120>K (218) (122"-219")), bisagra 1-15 (220"-234"), CH2 (91.8%) ELLG>PVA (G2-like)(237,238,239), S29>K (270), R83>C (295), Q84.2>E (298), N84.4>G (300), V85>C (305) (235"-343"), CH3 (95.2%) E12 (359), M14 (361), L24>D (371), K26>S (373), N44>D (387), Q97>E (421), N100>D (424) (344"-448"), CHS (449"-450"))], (224"-213")-disulfuro con la cadena ligera kappa anti-STEAP1 (1"-213") [V-KAPPA (*Homo sapiens* IGKV3-11\*01 (86.3%) -IGKJ2\*01 (100%), CDR-IMGT [5.3.9] (27-31.49-51.89-96)) (1"-106") -*Homo sapiens* IGKC\*01 (100%), Km3, A45.1 (152), V101 (190) (107"-213")]; dímero (230-230":233-233")-bisulfuro, producido en las células ováricas de hámster chino (CHO), no glicosilado

**antineoplásico**

2559056-68-5

Heavy chain / Chaîne lourde / Cadena pesada: VH-CH-scFv-CH2-CH3 (H)

QVQLVQSGAE	VKPKPGASVKV	SKASGYTFS	TYWIEWVRQA	PGQRLEWMGE	50
ILPFGSGQTFD	NEKFGQGRVTF	TADTSSDTAY	MELSSLRSED	TAVYYCTRWG	100
YYGTRGYFNV	WGQGTLLVTVS	SASTKGPSVF	PLAPSSKSTS	GCTAALGCLV	150
KDYFPEPVTV	SWNSGALTSQ	VHTFFAVLQS	SGLYSLSSVV	TPVSSSLGTQ	200
TYICNVNHKPF	SNTKVDKQVE	PKSCGGGSG	GGSEVQLVE	SGGGLVQPGG	250
SLRLSCAASG	FTTFTYAMNW	VRQAPGKGL	WVGRIRSKYN	NYATYADSV	300
KGRFTISRDD	SKNTLYLQMN	SLRAEDTAVY	YCVRHGNFGD	SYVSNFYAWG	350
QGTTLVTVSSG	KPGSGKPGSG	KPGSGKPGSQ	AVVTQEPSTL	VSPGQTVTLT	400
CGSSTGAVTT	SNYANWVQK	PKSPRGLIG	GTNKRAPGV	ARFSGSLGG	450
KAAITISGAQ	PEDEADYCA	LWYSNHWVFG	GGTKLTVLGG	GGSGGGGSKT	500
HTCPFCFAPP	VAGPSVFLFP	PKPKDTLMIS	RTPEVTCVVV	DKHDEPEVK	550
FNWYDGVGV	HNAKTKPCEE	QYGSYTRCVS	VLTVLHQDWL	NGKEYCKVCS	600
NKALPAFIEK	TISKAKGQPR	EPQVYTLPPS	REQMTRNQVK	LTCVLKGFVP	650
SDIAVEWESN	GQPENNYKTT	PPVLDSDGSF	FLYSKLTVDK	SRWQQGNVFS	700
CSVMHEALHN	HYTKSLSLS	PGK			723

Heavy chain / Chaîne lourde / Cadena pesada: (H')

QVQLVQSGAE	VKPKPGASVKV	SKASGYTFS	TYWIEWVRQA	PGQRLEWMGE	50
ILPFGSGQTFD	NEKFGQGRVTF	TADTSSDTAY	MELSSLRSED	TAVYYCTRWG	100
YYGTRGYFNV	WGQGTLLVTVS	SASTKGPSVF	PLAPSSKSTS	GCTAALGCLV	150
KDYFPEPVTV	SWNSGALTSQ	VHTFFAVLQS	SGLYSLSSVV	TPVSSSLGTQ	200
TYICNVNHKPF	SDTKVDKQVE	PKSCDKTHTC	PFCPAPPVAG	PSVFLPFPPK	250
KDTLMSIRTP	EVTCVVVDVK	HEDPEVKFNW	YVDGVEVHNA	KTKPCEEEYG	300
STYRCSVLT	VLHQDWLNGK	EYKCKVSNKA	LPAPIEKTI	KAKGQPREPQ	350
VYTLPPSREE	MTKNQVSLTC	DVSGFYPSDI	AVEWESDQGP	ENNYKTPFPV	400
LDSGGSFFLY	SKLTVDKSRW	EQGDVFSVCS	MHEALHNHYT	QKSLSLSPGK	450

Light chain / Chaîne légère / Cadena ligera: (L, L')

EIVLTQSPAT	LSLSPGERAT	LSCRASSVS	YMHWFQQKPG	QAPRLLIYST	50
SNLASEGIPAR	FSGSGSGTDY	TLTISLSLEPE	DFAVYVYQQQR	RSPFYTFGGQ	100
TKLEIKRTVA	APSVFIFPPS	DEQLKSGTAS	VVCLLNNFYP	REAKVQNKVD	150
NALQSGNSQE	SVTEQDSKDS	TYSLSSTLTL	SKADYEKHKV	YACEVTHQGL	200
SSPVTKSFNR	GEC				213

**Post-translational modifications**

Disulfide bridges location / Position des ponts disulfure / Posiciones de los puentes disulfuro  
 Intra-H (C23-C104) 22-96 148-204 256-332 401-469 537-597 (568-578)\* 643-701  
 22"-96" 148"-204" 264"-324" (295"-305")\* 370"-428"

Intra-L (C23-C104) 23"-87" 133"-193"  
 23"-87" 133"-193"

Inter-H-L (h 5-CL 126) 224-213' 224"-213"

Inter-H-H (h 11, h 14) 503-230' 506-233"

\*Between parentheses, Intra-H engineered CH2 disulfide bridge C83-C85 (R83>C and V85>C) to stabilize the CH2 domain in the absence of N-glycosylation.

No N-glycosylation sites / pas de sites de N-glycosylation / ningún posición de N-glicosilación  
 H CH2 N84.4>G (G1v30): 573, 300"

**xelaglifamum**

xelaglifam

(3S)-3-(4-(((1R)-7-fluoro-4-(6-(((3R)-oxolan-3-yl]oxy)pyridin-3-yl)-2,3-dihydro-1H-inden-1-yl]oxy)phenyl)hex-4-ynoic acid  
**antihyperglycaemic**

xélaglifam

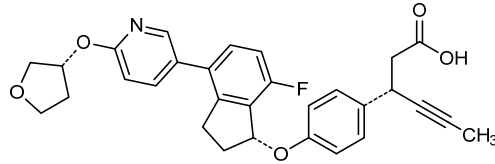
acide (3S)-3-(4-(((1R)-7-fluoro-4-(6-(((3R)-oxolan-3-yl]oxy)pyridin-3-yl)-2,3-dihydro-1H-indén-1-yl]oxy)phényl)hex-4-ynoïque  
**antihyperglycémiant**

xelaglifam

ácido (3S)-3-(4-(((1R)-7-fluoro-4-(6-(((3R)-oxolan-3-il]oxi)piridin-3-il)-2,3-dihidro-1H-inden-1-il]oxi)fenil)hex-4-inoico  
antihipoglucemiante

C<sub>30</sub>H<sub>28</sub>FNO<sub>5</sub>

2230597-99-4



xempritolimodum #  
xempritolimod

*Salmonella enterica* subsp. *enterica* serotype Dublin (S. *enterica* Dublin) flagellin domain D0, fragment 2-176 (1-175 in the current sequence) fused via the peptide linker <sup>176</sup>SPGISGGGGGILDSMG<sup>191</sup> to S. *enterica* Dublin flagellin domain D1, fragment 402-505 (192-395 in the current sequence), produced in *Escherichia coli*; flagellin of *Salmonella enterica* subsp. *enterica* serotype Dublin (S. *enterica* Dublin), fragments 2-176 (1-175, domain D0) and 402-505 (192-395, domain D1) fused via the peptidic linker SPGISG<sub>5</sub>ILDSMG (176-191), non-glycosylated, produced in *Escherichia coli* toll-like receptor agonist

xempritolimod

domaine D0 de la flagelline de *Salmonella enterica* subsp. *enterica* de sérotype Dublin (S. *enterica* Dublin), fragment 2-176 (1-175 dans la séquence actuelle) fusionné via la liaison peptidique <sup>176</sup>SPGISGGGGGILDSMG<sup>191</sup> au domaine D1 de flagelline de S. *enterica* Dublin, fragment 402-505 (192-395 dans la séquence actuelle), produit chez *Escherichia coli*; flagelline de *Salmonella enterica* subsp. *enterica* de sérotype Dublin (S. *enterica* Dublin), fragments 2-176 (1-175, domaine D0) et 402-505 (192-395, domaine D1) fusionnés via la liaison peptidique SPGISG<sub>5</sub>ILDSMG (176-191), non glycosylés, produit chez *Escherichia coli* agoniste du récepteur de type toll

xempritolimod

*Salmonella enterica* subsp. *enterica* serotipo Dublin (S. *enterica* Dublin) flagelina dominio D0, fragmento 2-176 (1-175 en la secuencia actual) fusionado a través del enlace peptídico <sup>176</sup>SPGISGGGGGILDSMG<sup>191</sup> a la S. *enterica* Dublin flagelina dominio D1, fragmento 402-505 (192-395 en la secuencia actual), producido por *Escherichia coli*; flagelina de *Salmonella enterica* subsp. *enterica* serotipo Dublin (S. *enterica* Dublin), fragmentos 2-176 (1-175, dominio D0) y 402-505 (192-395, dominio D1) fusionados mediante el enlace peptídico SPGISG<sub>5</sub>ILDSMG (176-191), no glicosilado, producido por *Escherichia coli* agonista del receptor tipo toll

2639319-18-7

## Sequence / Séquence / Secuencia

AQVINTNSLS LLTQNNLNKS QSSLSAIER LSSGLRINSA KDDAAGQAIA 50  
 NRFTSNIKGL TQASRNANDG ISIAQTTEGA LNEINNNLQR VRELSVQATN 100  
 GTNSDSDLKS IQDEIQQRLE EIDRVSNQTQ FNGVKVLSQD NQMKIQVGAN 150  
 DGETITIDLQ KIDVKSLGLD GPNVN**SPGIS** **GGGGGLDSM** **GT**LINEDAAA 200  
 AKKSTANPLA SIDSALSKVD AVRSSLGAIQ NRFDSAITNL GNTVTNLNSA 250  
 RSRIEDADYA TEVSNMSKAQ ILQQAGTSVL AQANQVPQNV LSLLR 295

## Peptide linker / Peptide liant / Péptido de unión

176-191 **SPGISGGGGGLDSM**

## Post-translational modifications

Disulfide bridges location / Position des ponts disulfure / Posiciones de los puentes disulfuro  
none / aucun / ningunaGlycosylation sites / Sites de glycosylation / Posiciones de glicosilación  
none / aucun / ninguna**xilmenolonum**

xilmenolone

1-(3 $\alpha$ -hydroxy-3 $\beta$ ,15 $\beta$ -dimethyl-20-oxo-19-nor-5 $\beta$ -pregnan-21-yl)-1*H*-pyrazole-3-carbonitrile  
*GABA<sub>A</sub> receptor positive allosteric modulator*

xilménolone

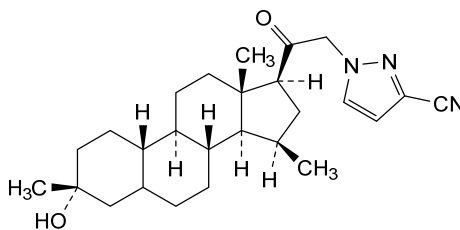
1-(3 $\alpha$ -hydroxy-3 $\beta$ ,15 $\beta$ -diméthyl-20-oxo-19-nor-5 $\beta$ -prégnan-21-yl)-1*H*-pyrazole-3-carbonitrile  
*modulateur allostérique positif du récepteur GABA<sub>A</sub>*

xilmenolona

1-(3 $\alpha$ -hidroxi-3 $\beta$ ,15 $\beta$ -dimetil-20-oxo-19-nor-5 $\beta$ -pregnan-21-il)-1*H*-pirazol-3-carbonitrilo  
*modulador alostérico positivo del receptor GABA<sub>A</sub>*

C<sub>26</sub>H<sub>37</sub>N<sub>3</sub>O<sub>2</sub>

2368807-26-3

**xininuradum**

xininurad

(3,5-dibromo-4-hydroxyphenyl)(2-ethyl-6-fluoroimidazo[1,2-*a*]pyrimidin-3-yl)methanone  
*urate transporter inhibitor*

xininurad

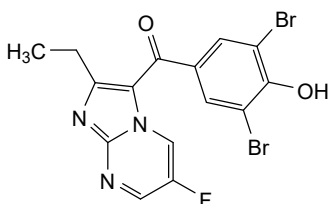
(3,5-dibromo-4-hydroxyphényl)(2-éthyl-6-fluoroimidazo[1,2-*a*]pyrimidin-3-yl)méthanone  
*inhibiteur du transporteur de l'urate*

xininurad

(3,5-dibromo-4-hidroxiifenil)(2-etil-6-fluoroimidazo[1,2-*a*]pirimidin-3-il)metanona  
*inhibidor del transportador del urato*

$C_{15}H_{10}Br_2FN_3O_2$ 

2365178-28-3

**zabadinostatam**

zabadinostat

*N*-(2-aminophényl)-4-{1-[(1,3-diméthyl-1*H*-pyrazol-4-yl)méthyl]piperidin-4-yl}benzamide  
*histone deacetylase inhibitor, antineoplastic*

zabadinostat

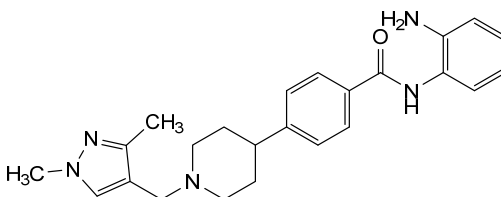
*N*-(2-aminophényl)-4-{1-[(1,3-diméthyl-1*H*-pyrazol-4-yl)méthyl]pipéridin-4-yl}benzamide  
*inhibiteur de l'histone désacétylase, antinéoplasique*

zabadinostat

*N*-(2-aminofenil)-4-{1-[(1,3-dimetil-1*H*-pirazol-4-il)metil]piperidin-4-il}benzamida  
*inhibidor de la histona desacetilasa, antineoplásico*

 $C_{24}H_{29}N_5O$ 

934828-12-3

**zandatriginum**

zandatriginine

4-[[{(3*S*)-1-benzylpyrrolidin-3-yl](méthyl)amino]-2-fluoro-5-méthyl-*N*-(1,3-thiazol-4-yl)benzène-1-sulfonamide  
*sodium channel protein type 8 subunit alpha blocker*

zandatriginine

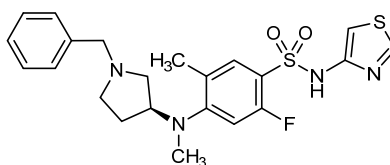
4-[[{(3*S*)-1-benzylpyrrolidin-3-yl](méthyl)amino]-2-fluoro-5-méthyl-*N*-(1,3-thiazol-4-yl)benzène-1-sulfonamide  
*bloqueur de la sous-unité alpha des canaux sodiques de type 8*

zandatriginina

4-[[{(3*S*)-1-bencilpirrolidin-3-il](metil)amino]-2-fluoro-5-metil-*N*-(1,3-tiazol-4-il)bencono-1-sulfonamida  
*bloqueante de la subunidad alfa de los canales del sodio de tipo 8*

C<sub>22</sub>H<sub>25</sub>FN<sub>4</sub>O<sub>2</sub>S<sub>2</sub>

2154406-04-7

**zanzalintinibum**

zanzalintinib

*N*-(4-fluorophenyl)-*N'*-(4-([7-methoxy-6-(methylcarbamoyl)quinolin-4-yl]oxy)phenyl)cyclopropane-1,1-dicarboxamide  
*tyrosine kinase inhibitor, antineoplastic*

zanzalintinib

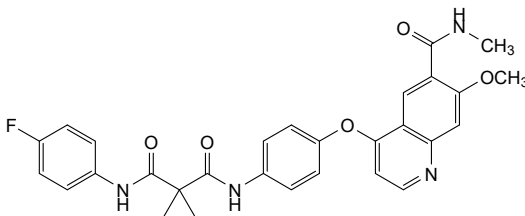
*N*-(4-fluorophényl)-*N'*-(4-([7-méthoxy-6-(méthylcarbamoyl)quinoléin-4-yl]oxy)phényl)cyclopropane-1,1-dicarboxamide  
*inhibiteur de la tyrosine kinase, antinéoplasique*

zanzalintinib

*N*-(4-fluorofenil)-*N'*-(4-([6-(metilcarbamoil)-7-metoxiquinolein-4-il]oxi)fenil)ciclopropano-1,1-dicarboxamida  
*inhibidor de la tirosina kinasa, antineoplásico*

C<sub>29</sub>H<sub>25</sub>FN<sub>4</sub>O<sub>5</sub>

2367004-54-2

**zegrivirimatum**

zegrivirimat

(1*S*)-1-([(3-cyanopyridin-2-yl)oxy]methyl)-4-[17-([2-(1,1-dioxo-1λ<sup>6</sup>-thiomorpholin-4-yl)ethyl]amino)-28-norlupa-2,20(29)-dien-3-yl]cyclohex-3-ene-1-carboxylic acid  
*antiviral*

zégrivirimat

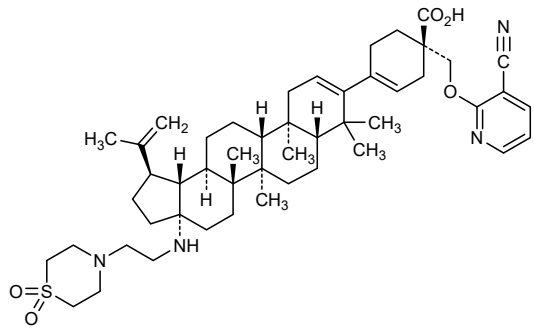
acide (1*S*)-1-([(3-cyanopyridin-2-yl)oxy]méthyl)-4-[17-([2-(1,1-dioxo-1λ<sup>6</sup>-thiomorpholin-4-yl)éthyl]amino)-28-norlupa-2,20(29)-dién-3-yl]cyclohex-3-ène-1-carboxylique  
*antiviral*

zegrivirimat

ácido (1*S*)-1-([(3-cianopiridin-2-il]oxi]metil)-4-[17-([2-(1,1-dioxo-1λ<sup>6</sup>-tiomorfolin-4-il]etil]amino)-28-norlupa-2,20(29)-dien-3-il]ciclohex-3-eno-1-carboxílico  
*antiviral*

C<sub>49</sub>H<sub>70</sub>N<sub>4</sub>O<sub>5</sub>S

2122781-86-4



**zeripatamigum #**  
zeripatamig

immunoglobulin G1-kappa/lambda, anti-[*Homo sapiens* CD47 (integrin-associated protein, IAP, MER6, OA3) and anti-[*Homo sapiens* CD19 (B lymphocyte surface antigen B4, Leu-12)], *Homo sapiens* monoclonal antibody, bispecific; gamma1 heavy chain *Homo sapiens* (1-445) [VH (*Homo sapiens* IGHV3-23\*01 (100%) -(IGHD) - IGHJ4\*01 (100%)), CDR-IMGT [8.8.9] (26-33.51-58.97-105)(1-116) -*Homo sapiens* IGHG1\*03, G1m3, nG1m1 (CH1 R120 (213) (117-214), hinge 1-15 (215-229), CH2 (230-339), CH3 E12 (355), M14 (357) (340-444), CHS K2>del (445)) (117-445)], (219-215')-disulfide with kappa light chain anti-CD47 *Homo sapiens* (1'-215') [V-KAPPA (*Homo sapiens* IGKV1-39\*01 (100%) -IGKJ1\*01 (100%)) CDR-IMGT [6.3.10] (27-32.50-52.89-98) (1'-108') -*Homo sapiens* IGKC\*01 (100%), Km3 A45.1 (154), V101 (192) (109'-215')]; gamma1 heavy chain *Homo sapiens* (1"-445") [VH (*Homo sapiens* IGHV3-23\*01 (100%) -(IGHD) - IGHJ4\*01 (100%)) CDR-IMGT [8.8.9] (26-33.51-58.97-105) (1"-116") -*Homo sapiens* IGHG1\*03, G1m3, nG1m1 (CH1 R120 (213) (117"-214"), hinge 1-15 (215"-229"), CH2 (230"-339"), CH3 E12 (355), M14 (357) (340"-444"), CHS K2>del (445)) (117"-445")], (219"-217'")-disulfide with lambda light chain anti-CD19 *Homo sapiens* (1'"-218'") [V-LAMBDA (*Homo sapiens* IGLV6-57\*01 (91.8%) -IGLJ3\*02 (100%)) CDR-IMGT [8.3.11] (26-33.51-53.92-102) (1'"-112'") - *Homo sapiens* IGLC2\*01 (100%) (113'"-218'")]; dimer (225-225'':228-228'')-bisdisulfide, produced in Chinese hamster ovary (CHO) cells, glycoform alfa  
*antineoplastic*

zéripatamig

immunoglobuline G1-kappa/lambda, anti-[*Homo sapiens* CD47 (protéine associée à l'intégrine, IAP, MER6, OA3) et anti-[*Homo sapiens* CD19 (antigène de surface B4 des lymphocytes B, Leu-12)], anticorps monoclonal *Homo sapiens*, bispécifique;

*sapiens* (1'-215') [V-KAPPA (*Homo sapiens* IGKV1-39\*01 (100%) -IGKJ1\*01 (100%)) CDR-IMGT [6.3.10] (27-32.50-52.89-98) (1'-108') -*Homo sapiens* IGKC\*01 (100%), Km3 A45.1 (154), V101 (192) (109'-215')]; chaîne lourde gamma1 *Homo sapiens* (1"-445") [VH (*Homo sapiens* IGHV3-23\*01 (100%) -(IGHD) -IGHJ4\*01 (100%)) CDR-IMGT [8.8.9] (26-33.51-58.97-105) (1"-116") -*Homo sapiens* IGHG1\*03, G1m3, nG1m1 (CH1 R120 (213) (117"-214"), charnière 1-15 (215"-229"), CH2 (230"-339"), CH3 E12 (355), M14 (357) (340"-444"), CHS K2>del (445)) (117"-445")], (219"-217"")-disulfure avec la chaîne légère lambda anti-CD19 *Homo sapiens* (1""-218"" V-LAMBDA (*Homo sapiens* IGLV6-57\*01 (91.8%) -IGLJ3\*02 (100%)) CDR-IMGT [8.3.11] (26-33.51-53.92-102) (1""-112"")-*Homo sapiens* IGLC2\*01 (100%) (113""-218"")); dimère (225-225":228-228")-bisdisulfure, produit dans des cellules ovariennes de hamster chinois (CHO), glycoforme alfa  
*antineoplasique*

zeripatamig

immunoglobulina G1-kappa/lambda, anti-[*Homo sapiens* CD47 (proteína asociada a la integrina, IAP, MER6, OA3) y anti-[*Homo sapiens* CD19 (antígeno de superficie B4 de los linfocitos B, Leu-12)], anticuerpo monoclonal *Homo sapiens*, biespecífico; cadena pesada gamma1 *Homo sapiens* (1-445) [VH (*Homo sapiens* IGHV3-23\*01 (100%) -(IGHD) -IGHJ4\*01 (100%)), CDR-IMGT [8.8.9] (26-33.51-58.97-105)(1-116) -*Homo sapiens* IGHG1\*03, G1m3, nG1m1 (CH1 R120 (213) (117-214), bisagra 1-15 (215-229), CH2 (230-339), CH3 E12 (355), M14 (357) (340-444), CHS K2>del (445)) (117-445)], (219-215')-disulfuro con la cadena ligera kappa anti-CD47 *Homo sapiens* (1'-215') [V-KAPPA (*Homo sapiens* IGKV1-39\*01 (100%) -IGKJ1\*01 (100%)) CDR-IMGT [6.3.10] (27-32.50-52.89-98) (1'-108') -*Homo sapiens* IGKC\*01 (100%), Km3 A45.1 (154), V101 (192) (109'-215')]; cadena pesada gamma1 *Homo sapiens* (1"-445") [VH (*Homo sapiens* IGHV3-23\*01 (100%) -(IGHD) -IGHJ4\*01 (100%)) CDR-IMGT [8.8.9] (26-33.51-58.97-105) (1"-116") -*Homo sapiens* IGHG1\*03, G1m3, nG1m1 (CH1 R120 (213) (117"-214"), bisagra 1-15 (215"-229"), CH2 (230"-339"), CH3 E12 (355), M14 (357) (340"-444"), CHS K2>del (445)) (117"-445")], (219"-217"")-disulfuro con la cadena ligera lambda anti-CD19 *Homo sapiens* (1""-218"" V-LAMBDA (*Homo sapiens* IGLV6-57\*01 (91.8%) -IGLJ3\*02 (100%)) CDR-IMGT [8.3.11] (26-33.51-53.92-102) (1""-112"")-*Homo sapiens* IGLC2\*01 (100%) (113""-218"")); dímero (225-225":228-228")-bisdisulfuro, producido en las células ováricas de hámster chino (CHO), forma glicosilada alfa  
*antineoplásico*

2607644-43-7

## Heavy chain / Chaîne lourde / Cadena pesada : (H, H')

EVQLLESGGG LVQPGGSLRL SCAASGTFPS SYAMSWVRQA PGKGLEWVSA 50  
 ISGSGGSTYY ADSVGRFTTI SRDNSKNTLY LQMNLSRAED TAVYCAKSY 100  
 GAFDYWGQGT LVTVSSASTK GPSVFPPLAS SKSTSGGTAA LGCLVKDYFP 150  
 EPVTVSWNSG ALTSGVHTFP AVLQSSGLYS LSSVVTVPSS SLGTQTYICN 200  
 VNHKPSNTKV DKRVEPKSCD KHTTCPPEPA PELLGGPSVF LFPPKPKDTL 250  
 MISRTPEVTC VVVVSHEDFP EVKFNWYVDG VEVHNAKTRP REEQYNSTYR 300  
 VVSVLTVLHQ DWLNGKKEYK KVSNKALPAP IEKTIKAKGQ QPREPQVYTL 350  
 PPSREEMTKN QVSLTCLVKG FYPDSIAVEW ESNQGPENNY KTFPPVLDSD 400  
 GSFFLYSKLT VDKSRWQQGN VFSCSVMHEA LHNHYTKSL SLSPG 445

## Light chain / Chaîne légère / Cadena ligera : kappa, anti-CD47 (L')

DIQMTQSPSS LSASVGDRTV ITCRASQGIS SYLNNWYQKP GKAPKLLIYA 50  
 ASSLQSGVPS RFSGSGGTD FTLTISLQPE EDFATYYCQQ MHPRAKPTFG 100  
 QGTVKVEIKRT VAAPSVFIFP PSDEQLKSGT ASVVCLLANF YPREAKVQWK 150  
 VDNALQSGNS QESVTEQDSK DSTYSLSSYL TLSKADYERH KYACEVTHQ 200  
 GLSSPVTKSP NRGEC 215

## Light chain / Chaîne légère / Cadena ligera : lambda, anti-CD19 (L'')

NFMLTQPHSV SESPGKVTI SCTRSSGSIK DKYVQWYQQR PGSSPTIIVY 50  
 YDNERFSGVP DRFSGSDSS SNSASLTISG LKTEDEADFY CQTYDQSLYG 100  
 WVFQGGTKLT VLGQPKAAPS VTLFPPSSEE LQANKATLVC LISDFYPGA 150  
 TVAWKADSSP VKAGVETTFP SKQSNKYYAA SSYLSLTFPEQ WKSHRYSYSCQ 200  
 VTHEGSTVER TVAPTECS 218

## Post-translational modifications

## Disulfide bridges location / Position des ponts disulfure / Posiciones de los puentes disulfuro

Intra-H (C23-C104) 22°-96' 143°-199' 260°-320' 366°-424'  
 22°-96" 143°-199" 260°-320" 366°-424"  
 Intra-L (C23-C104) 23°-88' 135°-195'  
 22°-91" 140°-199"  
 Inter-H-L (h 5-CL 126) 219-215' 219°-217"  
 Inter-H-H (h 11, h 14) 225-225" 228-228"

## N-glycosylation sites / Sites de N-glycosylation / Posiciones de N-glicosilación

HCH2 N84.4: 296, 296"

Fucosylated complex bi-antennary CHO-type glycans / glycanes de type CHO bi-antennaires complexes fucosylés / glicanos de tipo CHO biantennarios complejos fucosilados

## zerlasiranum

zerlasiran

*all-P-ambo-5'-O-{23-[(2-acetamido-2-deoxy-β-D-galactopyranosyl)oxy]-11,11-bis[12-[(2-acetamido-2-deoxy-β-D-galactopyranosyl)oxy]-7-hydroxy-7-sulfanylidene-2,6,8-trioxa-7λ<sup>5</sup>-phosphadodecan-1-yl]-1,18-dihydroxy-1,18-bis(sulfanylidene)-2,9,13,17,19-pentaoxa-1λ<sup>5</sup>,18λ<sup>5</sup>-diphosphatricosan-1-yl]-2'-O-methylcytidyl-(3'→5')-2'-O-methylguanylyl-(3'→5')-2'-O-methyluridylyl-(3'→5')-2'-O-methyladenylyl-(3'→5')-2'-O-methyladenylyl-(3'→5')-2'-fluoro-2'-deoxyuridylyl-(3'→5')-2'-fluoro-2'-deoxyguanylyl-(3'→5')-2'-fluoro-2'-deoxyguanylyl-(3'→5')-2'-O-methyladenylyl-(3'→5')-2'-O-methylcytidyl-(3'→5')-2'-O-methyladenylyl-(3'→5')-2'-O-methylguanylyl-(3'→5')-2'-O-methyladenylyl-(3'→5')-2'-O-methylguanylyl-(3'→5')-2'-O-methyluridylyl-(3'→5')-2'-O-methyl-P-thiouridylyl-(3'→5')-2'-O-methyl-P-thioadenylyl-(3'→5')-2'-O-methyluridine, duplex with all-O-ambo-2'-O-methyl-P-thioguanlyl-(5'→3')-2'-fluoro-2'-deoxy-P-thiocytidylyl-(5'→3')-2'-O-methylcytidyl-(5'→3')-2'-fluoro-2'-deoxyadenylyl-(5'→3')-2'-O-methyluridylyl-(5'→3')-2'-fluoro-2'-deoxyuridylyl-(5'→3')-2'-O-methyladenylyl-(5'→3')-2'-fluoro-2'-deoxycytidylyl-(5'→3')-2'-O-methylcytidyl-(5'→3')-2'-fluoro-2'-deoxyuridylyl-(5'→3')-2'-O-methylguanylyl-(5'→3')-2'-fluoro-2'-deoxyuridylyl-(5'→3')-2'-O-methylcytidyl-(5'→3')-2'-fluoro-2'-deoxyadenylyl-(5'→3')-2'-O-methyl-P-thioadenylyl-(5'→3')-2'-fluoro-2'-deoxy-P-thiouridylyl-(5'→3')-2'-O-methyladenosine*

*apolipoprotein(a) synthesis reducer*

zerlasiran

*tout-P-ambo-5'-O-[23-[(2-acétamido-2-désoxy-β-D-galactopyranosyl)oxy]-11,11-bis{12-[(2-acétamido-2-désoxy-β-D-galactopyranosyl)oxy]-7-hydroxy-7-sulfanylidène-2,6,8-trioxa-7λ<sup>5</sup>-phosphadodécane-1-yl}-1,18-dihydroxy-1,18-bis(sulfanylidène)-2,9,13,17,19-pentaoxa-1λ<sup>5</sup>,18λ<sup>5</sup>-diphosphatricosan-1-yl]-2'-O-méthylcytidyl-(3'→5')-2'-O-méthylguanylyl-(3'→5')-2'-O-méthyluridylyl-(3'→5')-2'-O-méthyladénylyl-(3'→5')-2'-O-méthyladénylyl-(3'→5')-2'-fluoro-2'-désoxyuridylyl-(3'→5')-2'-fluoro-2'-désoxyguanylyl-(3'→5')-2'-fluoro-2'-désoxyguanylyl-(3'→5')-2'-O-méthyladénylyl-(3'→5')-2'-O-méthylcytidyl-(3'→5')-2'-O-méthyladénylyl-(3'→5')-2'-O-méthylguanylyl-(3'→5')-2'-O-méthyladénylyl-(3'→5')-2'-O-méthylguanylyl-(3'→5')-2'-O-méthyluridylyl-(3'→5')-2'-O-méthyl-P-thiouridylyl-(3'→5')-2'-O-méthyl-P-thioadénylyl-(3'→5')-2'-O-méthyluridine, duplex avec *tout-O-ambo-2'-O-méthyl-P-thioguanlyl-(5'→3')-2'-fluoro-2'-désoxy-P-thiocytidyl-(5'→3')-2'-O-méthylcytidyl-(5'→3')-2'-fluoro-2'-désoxyadénylyl-(5'→3')-2'-O-méthyluridylyl-(5'→3')-2'-fluoro-2'-désoxyuridylyl-(5'→3')-2'-O-méthyladénylyl-(5'→3')-2'-fluoro-2'-désoxycytidyl-(5'→3')-2'-O-méthylcytidyl-(5'→3')-2'-fluoro-2'-désoxyuridylyl-(5'→3')-2'-O-méthylguanylyl-(5'→3')-2'-fluoro-2'-désoxyuridylyl-(5'→3')-2'-O-méthylcytidyl-(5'→3')-2'-fluoro-2'-désoxyadénylyl-(5'→3')-2'-O-méthyl-P-thioadénylyl-(5'→3')-2'-fluoro-2'-désoxy-P-thiouridylyl-(5'→3')-2'-O-méthyladénosine*  
*réducteur de la synthèse de l'apolipoprotéine(a)**

zerlasirán

*todo-P-ambo-5'-O-[23-[(2-acetamido-2-desoxi-β-D-galactopiranosil)oxil]-11,11-bis{12-[(2-acetamido-2-desoxi-β-D-galactopiranosil)oxil]-7-hidroxi-7-sulfanilideno-2,6,8-trioxa-7λ<sup>5</sup>-fosfadodecan-1-il}-1,18-dihidroxi-1,18-bis(sulfanilideno)-2,9,13,17,19-pentaoxa-1λ<sup>5</sup>,18λ<sup>5</sup>-difosfatricosan-1-il]-2'-O-metilcitiidil-(3'→5')-2'-O-metilguanilil-(3'→5')-2'-O-metilguanilil-(3'→5')-2'-O-metiluridilil-(3'→5')-2'-O-metiladenilil-(3'→5')-2'-O-metiladenilil-(3'→5')-2'-fluoro-2'-desoxiuridilil-(3'→5')-2'-fluoro-2'-desoxiguanilil-(3'→5')-2'-fluoro-2'-desoxiguanilil-(3'→5')-2'-O-metiladenilil-(3'→5')-2'-O-metilcitiidilil-(3'→5')-2'-O-metiladenilil-(3'→5')-2'-O-metilguanilil-(3'→5')-2'-O-metiladenilil-(3'→5')-2'-O-metilguanilil-(3'→5')-2'-O-metiluridilil-(3'→5')-2'-O-metil-P-tiouridilil-(3'→5')-2'-O-metil-P-tioadenilil-(3'→5')-2'-O-metiluridina, dúplex con *todo-O-ambo-2'-O-metil-P-tioguanilil-(5'→3')-2'-fluoro-2'-desoxi-P-tiocitidilil-(5'→3')-2'-O-metilcitiidilil-(5'→3')-2'-fluoro-2'-desoxiadenilil-(5'→3')-2'-O-metiluridilil-(5'→3')-2'-fluoro-2'-desoxiuridilil-(5'→3')-2'-O-metiladenilil-(5'→3')-2'-fluoro-2'-desoxicitidilil-(5'→3')-2'-O-metilcitiidilil-(5'→3')-2'-fluoro-2'-desoxiuridilil-(5'→3')-2'-O-metilguanilil-(5'→3')-2'-fluoro-2'-desoxiuridilil-(5'→3')-2'-O-metilcitiidilil-(5'→3')-2'-fluoro-2'-desoxiadenilil-(5'→3')-2'-O-metil-P-tioadenilil-(5'→3')-2'-fluoro-2'-desoxi-P-tiouridilil-(5'→3')-2'-O-metiladenosina*  
*reductor de la síntesis de la apolipoproteína(a)**



7<sup>3</sup>-fluoro-5<sup>2</sup>-oxo-1<sup>5,6,7,8</sup>-tetrahydro-8,11,14,17-tetraoxa-1(2)-[1,8]naphthyridina-20(1)-[1,2,3]triazola-5(1,3)-imidazolidina-7(1,4)-benzenaicosaphan-20<sup>4</sup>-yl]-16,16-bis(3-[[2-(2-[[[(6S)-6-(carboxyméthyl)-7<sup>3</sup>-fluoro-5<sup>2</sup>-oxo-1<sup>5,6,7,8</sup>-tétrahydro-8,11,14,17-tétraoxa-1(2)-[1,8]naphthyridina-20(1)-[1,2,3]triazola-5(1,3)-imidazolidina-7(1,4)-benzenaicosaphan-20<sup>4</sup>-yl]méthoxy)éthoxy]éthyl]amino)-3-oxopropyl]-1,10,14,19-tétraoxo-1-sulfanyl-2,23,26-trioxa-9,15,20-triaza-1λ<sup>5</sup>-phosphaheptacosan-1-yl]-2'-O-méthyl-*P*-thiocytidylyl-(3'→5')-2'-O-méthyladénylyl-(3'→5')-2'-O-méthyladénylyl-(3'→5')-2'-O-méthylcytidylyl-(3'→5')-2'-O-méthylguanylyl-(3'→5')-2'-O-méthyluridylyl-(3'→5')-2'-O-méthyladénylyl-(3'→5')-2'-O-méthyladénylyl-(3'→5')-2'-deoxy-2'-fluorocytidylyl-(3'→5')-2'-deoxy-2'-fluoroguanilyl-(3'→5')-2'-deoxy-2'-fluoroadénylyl-(3'→5')-2'-O-méthyluridylyl-(3'→5')-2'-O-méthyluridylyl-(3'→5')-2'-O-[[[(6S)-6-(carboxyméthyl)-7<sup>3</sup>-fluoro-5<sup>2</sup>-oxo-1<sup>5,6,7,8</sup>-tétrahydro-8,11,14,17-tétraoxa-1(2)-[1,8]naphthyridina-20(1)-[1,2,3]triazola-5(1,3)-imidazolidina-7(1,4)-benzenaicosaphan-20<sup>4</sup>-yl]méthyl}uridylyl-(3'→5')-2'-O-méthylcytidylyl-(3'→5')-2'-O-[[[(6S)-6-(carboxyméthyl)-7<sup>3</sup>-fluoro-5<sup>2</sup>-oxo-1<sup>5,6,7,8</sup>-tétrahydro-8,11,14,17-tétraoxa-1(2)-[1,8]naphthyridina-20(1)-[1,2,3]triazola-5(1,3)-imidazolidina-7(1,4)-benzenaicosaphan-20<sup>4</sup>-yl]méthyl}adénylyl-(3'→5')-2'-O-méthyluridylyl-(3'→5')-2'-O-[[[(6S)-6-(carboxyméthyl)-7<sup>3</sup>-fluoro-5<sup>2</sup>-oxo-1<sup>5,6,7,8</sup>-tétrahydro-8,11,14,17-tétraoxa-1(2)-[1,8]naphthyridina-20(1)-[1,2,3]triazola-5(1,3)-imidazolidina-7(1,4)-benzenaicosaphan-20<sup>4</sup>-yl]méthyl}guanylyl-(3'→5')-2'-O-méthyladénylyl-(3'→5')-2'-O-[[[(6S)-6-(carboxyméthyl)-7<sup>3</sup>-fluoro-5<sup>2</sup>-oxo-1<sup>5,6,7,8</sup>-tétrahydro-8,11,14,17-tétraoxa-1(2)-[1,8]naphthyridina-20(1)-[1,2,3]triazola-5(1,3)-imidazolidina-7(1,4)-benzenaicosaphan-20<sup>4</sup>-yl]méthyl}-*P*-thioadénylyl-(3'→5')-2'-O-méthyl-3'-adénylate, duplex with *all-P-ambo*-2'-O-méthyl-*P*-thiouridylyl-(3'→5')-2'-deoxy-2'-fluoro-*P*-thiouridylyl-(3'→5')-2'-O-méthyl-*P*-thiouridylyl-(3'→5')-2'-deoxy-2'-fluorocytidylyl-(3'→5')-2'-O-méthyladénylyl-(3'→5')-2'-deoxy-2'-fluorouridylyl-(3'→5')-2'-O-méthylguanylyl-(3'→5')-2'-deoxy-2'-fluoroadénylyl-(3'→5')-2'-O-méthyladénylyl-(3'→5')-2'-deoxy-2'-fluoroadénylyl-(3'→5')-2'-O-méthyluridylyl-(3'→5')-2'-deoxy-2'-fluorocytidylyl-(3'→5')-2'-O-méthylguanylyl-(3'→5')-2'-deoxy-2'-fluorouridylyl-(3'→5')-2'-O-méthyluridylyl-(3'→5')-2'-deoxy-2'-fluoroadénylyl-(3'→5')-2'-O-méthylcytidylyl-(3'→5')-2'-deoxy-2'-fluoroguanilyl-(3'→5')-2'-O-méthyluridylyl-(3'→5')-2'-deoxy-2'-fluoro-*P*-thiouridylyl-(3'→5')-2'-O-méthylguanosine hypoxia-inducible factor (*HIF*) synthesis reducer, antineoplastic

zifcasiran *tout-P-ambo*-5'-O-[[2-[[[(6S)-6-(carboxyméthyl)-7<sup>3</sup>-fluoro-5<sup>2</sup>-oxo-1<sup>5,6,7,8</sup>-tétrahydro-8,11,14,17-tétraoxa-1(2)-[1,8]naphthyridina-20(1)-[1,2,3]triazola-5(1,3)-imidazolidina-7(1,4)-benzenaicosaphan-20<sup>4</sup>-yl]-16,16-bis(3-[[2-(2-[[[(6S)-6-(carboxyméthyl)-7<sup>3</sup>-fluoro-5<sup>2</sup>-oxo-1<sup>5,6,7,8</sup>-tétrahydro-8,11,14,17-tétraoxa-1(2)-[1,8]naphthyridina-20(1)-[1,2,3]triazola-5(1,3)-imidazolidina-7(1,4)-benzenaicosaphan-20<sup>4</sup>-yl]méthoxy)éthoxy]éthyl]amino)-3-oxopropyl]-1,10,14,19-tétraoxo-1-sulfanyl-2,23,26-trioxa-9,15,20-triaza-1λ<sup>5</sup>-phosphaheptacosan-1-yl]-2'-O-méthyl-*P*-thiocytidylyl-(3'→5')-2'-O-méthyladénylyl-(3'→5')-2'-O-méthyladénylyl-(3'→5')-2'-O-méthylcytidylyl-(3'→5')-2'-O-méthylguanylyl-(3'→5')-2'-O-méthyluridylyl-(3'→5')-2'-O-méthyladénylyl-(3'→5')-2'-deoxy-2'-fluorocytidylyl-(3'→5')-2'-deoxy-2'-fluoroguanilyl-(3'→5')-2'-deoxy-2'-fluoroadénylyl-(3'→5')-2'-O-méthyluridylyl-(3'→5')-2'-O-méthyluridylyl-(3'→5')-2'-O-[[[(6S)-6-(carboxyméthyl)-7<sup>3</sup>-fluoro-5<sup>2</sup>-oxo-1<sup>5,6,7,8</sup>-tétrahydro-8,11,14,17-tétraoxa-1(2)-[1,8]naphthyridina-20(1)-[1,2,3]triazola-5(1,3)-imidazolidina-7(1,4)-benzenaicosaphan-20<sup>4</sup>-yl]méthyl}uridylyl-(3'→5')-2'-O-méthylcytidylyl-(3'→5')-2'-O-[[[(6S)-6-(carboxyméthyl)-7<sup>3</sup>-fluoro-5<sup>2</sup>-oxo-1<sup>5,6,7,8</sup>-tétrahydro-8,11,14,17-tétraoxa-1(2)-[1,8]naphthyridina-20(1)-[1,2,3]triazola-5(1,3)-imidazolidina-7(1,4)-benzenaicosaphan-20<sup>4</sup>-yl]méthyl}adénylyl-(3'→5')-2'-O-méthyluridylyl-(3'→5')-2'-O-[[[(6S)-6-(carboxyméthyl)-7<sup>3</sup>-fluoro-5<sup>2</sup>-oxo-1<sup>5,6,7,8</sup>-tétrahydro-8,11,14,17-tétraoxa-1(2)-[1,8]naphthyridina-20(1)-[1,2,3]triazola-5(1,3)-imidazolidina-7(1,4)-benzenaicosaphan-20<sup>4</sup>-yl]méthyl}-*P*-thioadénylyl-(3'→5')-2'-O-méthyl-3'-adénylate de (2*R*,3*S*)-2-[[[(6*S*)-1-(6-[[[(2*S*)-2-carboxy-2-(17-carboxyheptadécanamido)éthyl]amino)-6-oxohexyl]-2,5-dioxopyrrolidin-3-yl]sulfanyl]hexyl)oxy]hydroxyphosphoryl]oxy)méthyl]oxolan-3-yle,

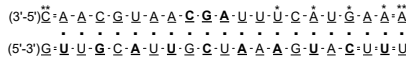
duplex avec *tout-P-ambo-2'-O-méthyl-P-thiouridylyl-(3'→5')-2'-désoxy-2'-fluoro-P-thiouridylyl-(3'→5')-2'-O-méthyl-P-thiouridylyl-(3'→5')-2'-désoxy-2'-fluorocytidylyl-(3'→5')-2'-O-méthyladénylyl-(3'→5')-2'-désoxy-2'-fluorouridylyl-(3'→5')-2'-O-méthylguanylyl-(3'→5')-2'-désoxy-2'-fluoroadénylyl-(3'→5')-2'-O-méthyladénylyl-(3'→5')-2'-désoxy-2'-fluoroadénylyl-(3'→5')-2'-O-méthyluridylyl-(3'→5')-2'-désoxy-2'-fluorocytidylyl-(3'→5')-2'-O-méthylguanylyl-(3'→5')-2'-désoxy-2'-fluorouridylyl-(3'→5')-2'-O-méthyluridylyl-(3'→5')-2'-désoxy-2'-fluoroadénylyl-(3'→5')-2'-O-méthylcytidylyl-(3'→5')-2'-désoxy-2'-fluoroguanilyl-(3'→5')-2'-O-méthyluridylyl-(3'→5')-2'-désoxy-2'-fluoro-P-thiouridylyl-(3'→5')-2'-O-méthylguanosine réducteur de la synthèse de la prollyl-hydroxylase du facteur induit par l'hypoxie (FIH)*

zifcasirán

*todo-P-ambo-5'-O-{27-[(6S)-6-(carboximetil)-7<sup>3</sup>-fluoro-5<sup>2</sup>-oxo-1<sup>5,6,7,8</sup>-tetrahydro-8,11,14,17-tetraoxa-1(2)-[1,8]naftiridina-20(1)-[1,2,3]triazola-5(1,3)-imidazolidina-7(1,4)-bencenaicosafan-20<sup>4</sup>-il]-16,16-bis(3-[(2-(2-[(6S)-6-(carboximetil)-7<sup>3</sup>-fluoro-5<sup>2</sup>-oxo-1<sup>5,6,7,8</sup>-tetrahydro-8,11,14,17-tetraoxa-1(2)-[1,8]naftiridina-20(1)-[1,2,3]triazola-5(1,3)-imidazolidina-7(1,4)-bencenaicosafan-20<sup>4</sup>-il]metoxi)etoxi)etil]amino)-3-oxopropil)-1,10,14,19-tetraoxo-1-sulfanil-2,23,26-trioxa-9,15,20-triaza-1λ<sup>5</sup>-fosfaheptacosan-1-il)-2'-O-metil-P-tiocitidilil-(3'→5')-2'-O-metiladenilil-(3'→5')-2'-O-metiladenilil-(3'→5')-2'-O-metilcitidilil-(3'→5')-2'-O-metilguanilil-(3'→5')-2'-O-metiluridilil-(3'→5')-2'-O-metiladenilil-(3'→5')-2'-O-metiladenilil-(3'→5')-2'-desoxi-2'-fluorocitidilil-(3'→5')-2'-desoxi-2'-fluoroguanilil-(3'→5')-2'-desoxi-2'-fluoroadenilil-(3'→5')-2'-O-metiluridilil-(3'→5')-2'-O-metiluridilil-(3'→5')-2'-O-[(6S)-6-(carboximetil)-7<sup>3</sup>-fluoro-5<sup>2</sup>-oxo-1<sup>5,6,7,8</sup>-tetrahydro-8,11,14,17-tetraoxa-1(2)-[1,8]naftiridina-20(1)-[1,2,3]triazola-5(1,3)-imidazolidina-7(1,4)-bencenaicosafan-20<sup>4</sup>-il]metil]uridilil-(3'→5')-2'-O-metilcitidilil-(3'→5')-2'-O-[(6S)-6-(carboximetil)-7<sup>3</sup>-fluoro-5<sup>2</sup>-oxo-1<sup>5,6,7,8</sup>-tetrahydro-8,11,14,17-tetraoxa-1(2)-[1,8]naftiridina-20(1)-[1,2,3]triazola-5(1,3)-imidazolidina-7(1,4)-bencenaicosafan-20<sup>4</sup>-il]metil]adenilil-(3'→5')-2'-O-[(6S)-6-(carboximetil)-7<sup>3</sup>-fluoro-5<sup>2</sup>-oxo-1<sup>5,6,7,8</sup>-tetrahydro-8,11,14,17-tetraoxa-1(2)-[1,8]naftiridina-20(1)-[1,2,3]triazola-5(1,3)-imidazolidina-7(1,4)-bencenaicosafan-20<sup>4</sup>-il]metil]guanilil-(3'→5')-2'-O-metiladenilil-(3'→5')-2'-O-[(6S)-6-(carboximetil)-7<sup>3</sup>-fluoro-5<sup>2</sup>-oxo-1<sup>5,6,7,8</sup>-tetrahydro-8,11,14,17-tetraoxa-1(2)-[1,8]naftiridina-20(1)-[1,2,3]triazola-5(1,3)-imidazolidina-7(1,4)-bencenaicosafan-20<sup>4</sup>-il]metil]-P-tioadenilil-(3'→5')-hidrógeno-2'-O-metil-3'-adenilato de (2R,3S)-2-[[[(6-[(3RS)-1-(6-[(2S)-2-carboxi-2-(17-carboxiheptadecanamido)etil]amino)-6-oxohexil]-2,5-dioxopirrolidin-3-il]sulfanil]hexil]oxi]hidroxifosforil]oxi)metil]oxolan-3-ilo, duplex con *todo-P-ambo-2'-O-metil-P-tiouridilil-(3'→5')-2'-desoxi-2'-fluoro-P-tiouridilil-(3'→5')-2'-O-metil-P-tiouridilil-(3'→5')-2'-desoxi-2'-fluorocitidilil-(3'→5')-2'-O-metiladenilil-(3'→5')-2'-desoxi-2'-fluorouridilil-(3'→5')-2'-O-metilguanilil-(3'→5')-2'-desoxi-2'-fluoroadenilil-(3'→5')-2'-O-metiladenilil-(3'→5')-2'-desoxi-2'-fluoroadenilil-(3'→5')-2'-O-metiluridilil-(3'→5')-2'-desoxi-2'-fluorocitidilil-(3'→5')-2'-O-metilguanilil-(3'→5')-2'-desoxi-2'-fluorouridilil-(3'→5')-2'-O-metiluridilil-(3'→5')-2'-desoxi-2'-fluoroadenilil-(3'→5')-2'-O-metilcitidilil-(3'→5')-2'-desoxi-2'-fluoroguanilil-(3'→5')-2'-O-metiluridilil-(3'→5')-2'-desoxi-2'-fluoro-P-tiouridilil-(3'→5')-2'-O-metilguanosina reductor de la síntesis de la prolil hidroxilasa del factor inducible por hipoxia (HIF)**

C<sub>737</sub>H<sub>972</sub>F<sub>20</sub>N<sub>211</sub>O<sub>349</sub>P<sub>43</sub>S<sub>8</sub>

2437257-11-7



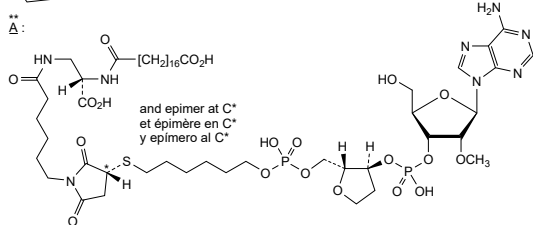
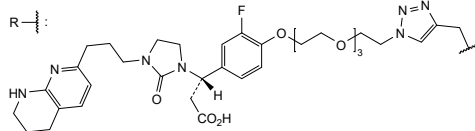
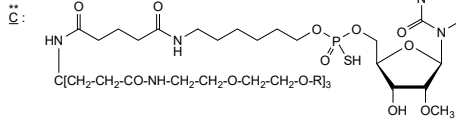
- : -PO(OH)- ; = -PS(OH)-

N : nucleoside / nucléoside / nucleósido

$\overset{\cdot\cdot}{\text{N}}$  : 2'-deoxy-2'-fluoro-N / 2'-désoxy-2'-fluoro-N / 2'-desoxi-2'-fluoro-N

$\overset{\cdot\cdot}{\text{N}}$  : 2'-O-methyl-N / 2'-O-méthyl-N / 2'-O-metil-N

$\overset{\cdot\cdot}{\text{N}}$  : 2'-O-(R)-N



**zifibancimigum #**  
zifibancimig

immunoglobulin Fab G1-kappa, anti-[*Homo sapiens* ANGPT2 (angiopoietin 2, Ang2)] and anti-[*Homo sapiens* VEGFA (vascular endothelial growth factor A, VEGF-A, VEGF), monoclonal antibody, bispecific, biparatope monovalent;

VH-(CH1-hinge) gamma1 heavy chain (1-223) [VH (*Homo sapiens* IGHV3-31\*07 (74.0%) -(IGHD) - IGHJ4\*01 (86.7%), CDR-IMGT [7.8.9] (26-32.50-57.96-104)) (1-115) -CH1-hinge (*Homo sapiens* IGHG1\*01 (100%), G1m17 (CH1 K120 (212) (116-213), hinge 1-10 (214-223)) (116-223)], (218-214')-disulfide with kappa light chain (1'-214') [V-KAPPA (*Homo sapiens* IGKV1-5\*01 (72.2%) -IGKJ4\*01 (90.9%), CDR-IMGT [6.4.9] (27-32.50-53.89-97)) (1'-107') -*Homo sapiens* IGKC\*01 (100%), Km3 A45.1 (153), V101 (191) (108'-214')]; bispecific, biparatope monovalent: anti-ANG2 paratope (VH CDR1 and CDR3, V-KAPPA CDR2) and anti-VEGFA paratope (V-KAPPA CDR1 and CDR3, VH CDR2), produced in Chinese hamster ovary (CHO) cells, cell line CHO-K1, non-glycosylated  
*angiogenesis inhibitor*

zifibancimig

immunoglobuline Fab G1-kappa, anti-[*Homo sapiens* VEGFA (facteur A de croissance de l'endothélium vasculaire humain) et *Homo sapiens* ANGPT2 (angiopoïétine 2, Ang2)], anticorps monoclonal, bispécifique, biparatope monovalent;

zifibancimig

VH-(CH1-charnière) chaîne lourde gamma1 (1-223) [VH (*Homo sapiens* IGHV3-31\*07 (74.0%) -(IGHD) - IGHJ4\*01 (86.7%), CDR-IMGT [7.8.9] (26-32.50-57.96-104)) (1-115) -CH1-charnière (*Homo sapiens* IGHG1\*01 (100%), G1m17 (CH1 K120 (212) (116-213), charnière 1-10 (214-223)) (116-223)], (218-214')-disulfure avec la chaîne légère kappa (1'-214') [V-KAPPA (*Homo sapiens* IGKV1-5\*01 (72.2%) - IGKJ4\*01 (90.9%), CDR-IMGT [6.4.9] (27-32.50-53.89-97)) (1'-107') -*Homo sapiens* IGKC\*01 (100%), Km3 A45.1 (153), V101 (191) (108'-213')]; bispécifique, biparatope monovalent: anti-ANG2 paratope (VH CDR1 et CDR3, V-KAPPA CDR2) et anti-VEGFA paratope (V-KAPPA CDR1 et CDR3, VH CDR2), produit dans des cellules ovariennes de hamster chinois (CHO), lignée cellulaire CHO-K1, non-glycosylé  
*inhibiteur de l'angiogénèse*

immunoglobulina Fab G1-kappa, anti-[*Homo sapiens* VEGFA (factor A de crecimiento del endotelio vascular humano) y *Homo sapiens* ANGPT2 (angiopoetina 2, Ang2)], anticuerpo monoclonal, biespecifico, biparatopo monovalente; VH-(CH1-bisagra) cadena pesada gamma1 (1-223) [VH (*Homo sapiens* IGHV3-31\*07 (74.0%) -(IGHD) - IGHJ4\*01 (86.7%), CDR-IMGT [7.8.9] (26-32.50-57.96-104)) (1-115) -CH1-bisagra (*Homo sapiens* IGHG1\*01 (100%), G1m17 (CH1 K120 (212) (116-213), bisagra 1-10 (214-223)) (116-223)], (218-214')-disulfuro com la cadena ligera kappa (1'-214') [V-KAPPA (*Homo sapiens* IGKV1-5\*01 (72.2%) - IGKJ4\*01 (90.9%), CDR-IMGT [6.4.9] (27-32.50-53.89-97)) (1'-107') -*Homo sapiens* IGKC\*01 (100%), Km3 A45.1 (153), V101 (191) (108'-213')]; biespecifico, biparatopo monovalente: anti-ANG2 paratopo (VH CDR1 et CDR3, V-KAPPA CDR2) y anti-VEGFA paratopo (V-KAPPA CDR1 et CDR3, VH CDR2), producido en las células ováricas de hámster chino (CHO), línea celular CHO-K1, no glicosilado  
*inhibidor de la angiogénesis*

2517939-46-5

Heavy chain / Chaîne lourde / Cadena pesada

SEHLVESGGG LVKPGGSLRL SCATADFFEY DDMSWRVQAP GKGLEWVGS I 50  
SPKGDHKYLN TKFIFGRFTIS RDSKNTLYL QMNSLRAEDT AVYYCARDVWG 100  
FFDWWGQGT LVTSSASTKG PSVFPLAPSS KSTSGGTAAL GCLVKDYFPE 150  
PVTVSWNSGA L TSGVHTFPA VLQSSGLYSL SSVVTVFSSS LGTQTYICNV 200  
NHKPSNTKVD KKVEPKSCDK THT 223

Light chain / Chaîne légère / Cadena ligera

ALYMHQEPSS LSASVGDRTV ITCHGSYMLN SEVAWYQKPK GKAPKLLIFD 50  
GDFKVVYVPS RFGSGSHED YLTISSLQP EDFATYYCQQ YRVHPYTFGH 100  
GTRKVEIKRTV AAPSVFIFPP SDEQLKSGTA SVVCLLNIFY PREARKQWKV 150  
DNALQSGNSQ ESVTEQDSK STYLSLSTLT LSKADYERHK YVACEVTHQG 200  
LSSPVTKSFN RGE C 214

Post-translational modifications

Disulfide bridges location / Position des ponts disulfure / Posiciones de los puentes disulfuro  
Intra-H (C23-C104) 22-95 142-198  
Intra-L (C23-C104) 23'-88' 134'-194'  
Inter-H-L (h 5-CL 126) 218-214'

No N-glycosylation sites / pas de sites de N-glycosylation / ningún posición de N-glicosilación

**zigakibartum #**  
zigakibart

immunoglobulin G4-kappa, anti-[*Homo sapiens* TNFSF13 (tumor necrosis factor (TNF) superfamily member 13, APRIL, CD256)], humanized monoclonal antibody;  
gamma4 heavy chain humanized (1-448) [VH humanized (*Homo sapiens* IGHV1-3\*01 (83,7%) - (IGHD) -IGHJ4\*01 (84,6%), CDR-IMGT [8.8.14] (26-33.51-58.97-110)) (1-121)-*Homo sapiens* IGHG4\*01, G4v5 h P10, nG4m(a) CH2 L92 (CH1 (122-219), hinge 1-12 S10>P (229) (220-231), CH2 L92 (310) (232-341), CH3 (342-446), CHS (447-448)) (122-448)], (135-214')-disulfide with kappa light chain *Homo sapiens* (1'-214') [V-KAPPA *Homo sapiens* IGKV1-5\*01 (84%) -IGKJ2\*02 (100%), CDR-IMGT [6.3.9] (27-32.50-52.89-97)) (1'-107') -*Homo sapiens* IGKC\*01 (100%), Km3 A45.1 (153), V101 (191) (108'-214')]; dimer (227-227':230-230'')-bisdisulfide, produced in Chinese hamster ovary (CHO) cells, cell line CHO-DG44, glycoform alfa  
*anti-inflammatory*

## zigakibart

immunoglobuline G4-kappa, anti-[*Homo sapiens* TNFSF13 (membre 13 de la superfamille du facteur de nécrose tumorale, APRIL, CD256)], anticorps monoclonal humanisé;  
chaîne lourde gamma4 humanisée (1-448) [VH humanisé (*Homo sapiens* IGHV1-3\*01 (83,7%) - (IGHD) -IGHJ4\*01 (84,6%), CDR-IMGT [8.8.14] (26-33.51-58.97-110)) (1-121)-*Homo sapiens* IGHG4\*01, G4v5 h P10, nG4m(a) CH2 L92 (CH1 (122-219), charnière 1-12 S10>P (229) (220-231), CH2 L92 (310) (232-341), CH3 (342-446), CHS (447-448)) (122-448)], (135-214')-disulfure avec la chaîne légère kappa *Homo sapiens* (1'-214') [V-KAPPA *Homo sapiens* IGKV1-5\*01 (84%) -IGKJ2\*02(100%), CDR-IMGT [6.3.9] (27-32.50-52.89-97)) (1'-107') -*Homo sapiens* IGKC\*01 (100%), Km3 A45.1 (153), V101 (191) (108'-214')]; dimère (227-227':230-230'')-bisdisulfure, produit dans des cellules ovariennes de hamster chinois (CHO), lignée cellulaire CHO-DG44, glycoforme alfa  
*anti-inflammatoire*

## zigakibart

immunoglobulina G4-kappa, anti-[*Homo sapiens* TNFSF13 (miembro 13 de la superfamilia del factor de necrosis tumoral, APRIL, CD256)], anticuerpo monoclonal humanizado;  
cadena pesada gamma4 humanizada (1-448) [VH humanizado (*Homo sapiens* IGHV1-3\*01 (83,7%) - (IGHD) -IGHJ4\*01 (84,6%), CDR-IMGT [8.8.14] (26-33.51-58.97-110)) (1-121)-*Homo sapiens* IGHG4\*01, G4v5 h P10, nG4m(a) CH2 L92 (CH1 (122-219), bisagra 1-12 S10>P (229) (220-231), CH2 L92 (310) (232-341), CH3 (342-446), CHS (447-448)) (122-448)], (135-214')-disulfuro con la cadena ligera kappa *Homo sapiens* (1'-214') [V-KAPPA *Homo sapiens* IGKV1-5\*01 (84%) -IGKJ2\*02 (100%), CDR-IMGT [6.3.9] (27-32.50-52.89-97)) (1'-107') -*Homo sapiens* IGKC\*01 (100%), Km3 A45.1 (153), V101 (191) (108'-214')]; dímero (227-227':230-230'')-bisdisulfuro, producido en las células ováricas de hámster chino (CHO), línea celular CHO-DG44, forma glicosilada alfa  
*antiinflamatorio*

2642175-46-8

Heavy chain / Chaîne lourde / Cadena pesada  
 VVQLVQSGAE VKKFGASVKY SCKASGYTFT SYVMHWVRQA PGQGLEWMMGY 50  
 INFYNDAPKY NEKFKGKATM TSDTSASTAY MELSSLSRSD TAVYYCARGL 100  
 GYALYYAMDY WQGQTTVTIVS SASTKGPSVF PLAPCSRSTS ESTAALGCLV 150  
 KDYFFPEPVTY SWNSGALTSG VHTFFAVLQS SGLYLSLSSVV TFPSSSLGK 200  
 TYTCNVDHKP SNTKVDKRVK SKYGFPCPPC FAFEFLLGGPS VLFPPKPKD 250  
 TLMISRTPEV TCVVVDVSQE DPEVFQNWIV DGEVHNNAKT KPREEQFNST 300  
 YRVVSVLTVL HQDWLNGKEY KCKVSNKGLP SSEIKTISKA KGQPREPQVY 350  
 TLPFSGEEMT KNQVSLTCLV KGFYPSDIAV EWESNGQPEN NYKTTTPEVLD 400  
 SDGSFFLYSR LTVDKSRWQE GNVFSCSVMH EALHNHYTQK SLSLSLGG 448

Light chain / Chaîne légère / Cadena ligera  
 DIVMTQSPST LSASVGDRTV ITCKASQNVG NNVAWYQQKPK GKAPKLLISS 50  
 ASNRDSGVPS RFGSGSGSTE FTLTISLQPF DDFATYFCQQ YNIYPTTFGQ 100  
 GTKLEIKRTV AAPSVFIFPP SDEQLKSGTA SVVCLLNPFY BREAKVQWKV 150  
 DNALQSGNSQ ESVTEQDSKD STYLSLSTLT LSKADYEHKK VYACEVTHQG 200  
 LSSFVTKSFN RGEC 214

**Post-translational modifications**

Disulfide bridges location / Position des ponts disulfure / Posiciones de los puentes disulfuro

Intra-H (C23-C104) 22"-96" 148"-204" 262"-322" 368"-426"  
 22"-96" 148"-204" 262"-322" 368"-426"

Intra-L (C23-C104) 23"-88" 134"-194"  
 23"-88" 134"-194"

Inter-H-L (CH1 10-CL 126) 135"-214" 135"-214"

Inter-H-H (h 8, h 11) 227"-227" 230"-230"

N-terminal glutaminyl cyclization / Cyclisation du glutaminyle N-terminal / Ciclación del glutamilo N-terminal

Q > pyroglutamyl (pE, 5-oxoprolyl) / pyroglutamyle (pE, 5-oxoprolyle) / piroglutamilo (pE, 5-oxoprolyle)  
 H VH Q1: 1, 1"

N-glycosylation sites / Sites de N-glycosylation / Posiciones de N-glicosilación  
 H CH2 N84.4: 298, 298"

Fucosylated complex bi-antennary CHO-type glycans / glycanes de type CHO bi-antennaires complexes fucosylés / glicanos de tipo CHO biantennarios complejos fucosilados.

C-terminal lysine clipping / Coupure de la lysine C-terminale / Recorte de lisina C-terminal  
 H CHS K2: 448, 448"

**zirconium (<sup>89</sup>Zr) crefmirlimabum berdoxamum#**zirconium (<sup>89</sup>Zr) crefmirlimab berdoxam

immunoglobulin scFv-kappa-heavy-G1h-CH3-CHS dimer, anti-[*Homo sapiens* CD8A (CD8a molecule, CD8)], monoclonal antibody conjugated to *berdoxam* chelated with <sup>89</sup>Zr;  
 scFv-kappa-heavy-G1h-linker-CH3-CHS chain (1-376) [V-KAPPA (*Homo sapiens* IGKV1-27\*01 (87.4%) -IGKJ4\*01 (100%), CDR-IMGT [6.3.9] (27-32-50-52.89-97)) (1-107) -18-mer glycyl-seryl-threonyl-tris(seryl-triglycyl)-glycyl-diseryl linker (108-125) -VH Musmus/Homsap (*Mus musculus* IGHV14-3\*02 (73.5%) -(IGHD) -IGHJ3\*01 (84.6%)/*Homo sapiens* IGHV3-66\*01 (71.4%) -(IGHD) -IGHJ1\*01 (92.3%), CDR-IMGT [8.8.11] (151-158.176-183.222-232)) (126-243) -*Homo sapiens* IGHG1\*03 hinge 1-17 (244-260), 10-mer triglycyl-diseryl-triglycyl-seryl-glycyl linker (261-270), *Homo sapiens* IGHG1\*03 nG1m1 CH3-CHS (CH3 E12 (286), M14 (288) (271-375), CHS K2>del (376)) (271-376)]; dimer (254-254":257-257":260-260")-trisdisulfide, produced in Chinese hamster ovary (CHO) cells, non-glycosylated, conjugated at N<sup>o</sup> of lysine residues with an average of 0.8-2.5 [4-(8,19,30-trihydroxy-9,12,20,23,31-penta-oxo-2,8,13,19,24,30-hexaazadotriacontane-1-thioyl)phenyl]carbamoithioyl (*berdoxam*) groups and converted to (<sup>89</sup>Zr) zirconium (4+) chelate complex salts  
*diagnostic imaging agent*

zirconium (<sup>89</sup>Zr) crefmirlimab berdoxam

immunoglobuline scFv-kappa-lourde-G1h-CH3-CHS dimère, anti-[*Homo sapiens* CD8A (molécule CD8a, CD8)], anticorps monoclonal conjugué au *berdoxam* chélaté avec <sup>89</sup>Zr;  
chaîne scFv-kappa-lourde-G1-h-linker-CH3-CHS (1-376) [V-KAPPA (*Homo sapiens* IGKV1-27\*01 (87.4%) -IGKJ4\*01 (100%), CDR-IMGT [6.3.9] (27-32.50-52.89-97)) (1-107) -18-mer glycy-l-séryl-thréonyl-tris(séryl-triglycy-l)-glycy-l-diséryl linker (108-125) -VH Musmus/Homsap (*Mus musculus* IGHV14-3\*02 (73.5%) -(IGHD) -IGHJ3\*01 (84.6%)/*Homo sapiens* IGHV3-66\*01 (71.4%) -(IGHD) -IGHJ1\*01 (92.3%), CDR-IMGT [8.8.11] (151-158.176-183.222-232)) (126-243) -*Homo sapiens* IGHG1\*03 charnière 1-17 (244-260), 10-mer triglycy-l-diséryl-triglycy-l-séryl-glycy-l linker (261-270), *Homo sapiens* IGHG1\*03 nG1m1 CH3-CHS (CH3 E12 (286), M14 (288) (271-375), CHS K2>del (376)) (271-376)]; dimère (254-254":257-257":260-260")-trisdisulfure, produit dans des cellules ovariennes de hamster chinois (CHO), non-glycosylé, conjugué en N<sup>6</sup> de résidus lysine avec une moyenne de 0,8-2,5 groupes [4-(8,19,30-trihydroxy-9,12,20,23,31-penta-oxo-2,8,13,19,24,30-hexaazadotriacontane-1-thioyl)phényl]carbamo-thioyl (*berdoxam*) et convertis en sels complexes de chélate de (<sup>89</sup>Zr) zirconium (4+)  
*agent diagnostique*

zirconium (<sup>89</sup>Zr) crefmirlimab berdoxam

immunoglobulina scFv-kappa-pesada-G1h-CH3-CHS dímero, anti-[*Homo sapiens* CD8A (molécula CD8a, CD8)], anticuerpo monoclonal conjugado con *berdoxam* quelato con <sup>89</sup>Zr;  
cadena scFv-kappa-heavy-G1-h-linker-CH3-CHS (1-376) [V-KAPPA (*Homo sapiens* IGKV1-27\*01 (87.4%) -IGKJ4\*01 (100%), CDR-IMGT [6.3.9] (27-32.50-52.89-97)) (1-107) -18-mer glicil-seril-treonil-tris(seril-triglicil)-glicil-diseril linker (108-125) -VH Musmus/Homsap (*Mus musculus* IGHV14-3\*02 (73.5%) -(IGHD) -IGHJ3\*01 (84.6%)/*Homo sapiens* IGHV3-66\*01 (71.4%) -(IGHD) -IGHJ1\*01 (92.3%), CDR-IMGT [8.8.11] (151-158.176-183.222-232)) (126-243) -*Homo sapiens* IGHG1\*03 bisagra 1-17 (244-260), 10-mer triglicil-diseril-triglicil-seril-glicil linker (261-270), *Homo sapiens* IGHG1\*03 nG1m1 CH3-CHS (CH3 E12 (286), M14 (288) (271-375), CHS K2>del (376)) (271-376)]; dímero (254-254":257-257":260-260")-trisdisulfuro, producido en las células ováricas de hámster chino (CHO), no glicosilado, conjugado en N<sup>6</sup> de residuos de lisina con un promedio de 0,8-2,5 grupos [4-(8,19,30-trihidroxi-9,12,20,23,31-penta-oxo-2,8,13,19,24,30-hexaazadotriacontano-1-tioil)fenil]carbamo-tioílo (*berdoxam*) y se convierten en sales complejas de quelato de (<sup>89</sup>Zr) zirconio (4+)  
*agente de diagnóstico*

2377668-38-5

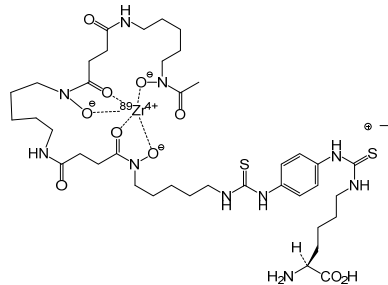
Sequence / Séquence / Secuencia					
DVQITQSPSS	LSASVGDVRT	ITCRTSRIS	QYLAWYQQKPK	GKVPKLLIYS	50
GSTLQSGVPS	RFSGSGGSDT	FTLTISLQP	EDVATYYCQQ	HNENPLTFGG	100
GTRKVEIKGST	SGGSGGGSG	GGGSSEVLV	ESGGGLVQPG	GSLRLSCAAS	150
GFNIKDTYI	FVRQAPGKGL	EWIGRIDPAN	DNTLYASKFQ	GKATISADTS	200
KNTAYLQMS	LRAEDTAVVY	CGRGYGVVF	DHWGQGLTV	VSSEPKSSDK	250
THTCPQPPC	GGSGGGSG	GQPREPQVY	LPPSREEMTK	QVSLTCLVK	300
GFYFSDIAVE	WESNGQPENN	YKTPPVLDS	DGSFFLYSKL	TVDKSRWQQG	350
NVFSQVMHE	ALHNYTQKS	LSLSPG			376

**Post-translational modifications**

Disulfide bridges location / Position des ponts disulfure / Posiciones de los puentes disulfuro  
 Intra-H (C23-C104) 23-88 147-221 297-355  
 23"-88" 147"-221" 297"-355"  
 Inter-H-H (h 11, h 14, h 17) 254-254" 257-257" 260-260"

No N-glycosylation site / pas de site de N-glycosylation / ningún posición de N-glicosilación  
 Aglycosylated / aglycosylé / aglicosilado

Conjugation sites / Sites de conjugaison / Posiciones de conjugación  
 0.8-2.5 Lys (K) per antibody:



**zocaglusagenum nuzaparovecum #**

zocaglusagene nuzaparovec

recombinant, non-replicating adeno-associated virus serotype 8 (rAAV8) vector encoding codon-optimised human acid alpha-glucosidase (GAA), also called lysosomal  $\alpha$ -glucosidase or acid maltase, under control of a mouse muscle creatine kinase (MCK) enhancer/promoter followed by a simian virus 40 (SV40) intron, terminated by the SV40 late polyadenylation sequence, and flanked by AAV2 inverted terminal repeats (ITRs).  
*gene therapy (Pompe disease)*

zocaglusagène nuzaparovec

vecteur de virus adéno-associé recombinant et non répliquant de sérotype 8 (rAAV8) codant l'alpha-glucosidase acide humaine (GAA) aux codons optimisés, également appelée  $\alpha$ -glucosidase lysosomale ou maltase acide, sous le contrôle d'un amplicateur/promoteur de la créatine kinase (MCK) de muscle de souris, suivi d'un intron du virus simien 40 (SV40), terminé par la séquence de polyadénylation tardive du SV40, et flanqué de répétitions terminales inversées (ITR) de l'AAV2.  
*thérapie génique (maladie de Pompe)*

zocaglusagén nuzaparovec

vector de virus adenoasociado recombinante del serotipo 8 (rAAV8), no replicativo, que codifica, con codones optimizados, para la alfa-glucosidasa ácida humana (GAA), también llamada  $\alpha$ -glucosidasa lisosomal o maltasa ácida, bajo el control de un potenciador/promotor de la creatinina quinasa de músculo (MCK) de ratón seguido de un intrón del virus

de simio 40 (SV40), terminado con la secuencia de poliadenilación tardía de SV40 y flanqueado por las repeticiones terminales invertidas (ITRs) del AAV2.  
*terapia génica (enfermedad de Pompe)*

2601264-52-0

**zolnicantum**

zolnicant

methyl (6*S*,6*aS*,7*R*,9*R*,11*S*)-7-(2-methoxyethyl)-7,8,9,10,12,13-hexahydro-5*H*-6,9-methanopyrido[1',2':1,2]azepino[4,5-*b*]indole-6(6*aH*)-carboxylate  
*nicotinic acetylcholine alpha-3-beta-4 receptor antagonist*

zolnicant

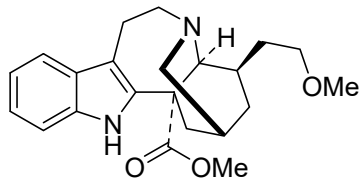
(6*S*,6*aS*,7*R*,9*R*,11*S*)-7-(2-méthoxyéthyl)-7,8,9,10,12,13-hexahydro-5*H*-6,9-méthanopirido[1',2':1,2]azepino[4,5-*b*]indole-6(6*aH*)-carboxylate de méthyle  
*antagoniste du récepteur nicotinique à l'acétylcholine type alpha-3 bêta-4*

zolnicant

(6*S*,6*aS*,7*R*,9*R*,11*S*)-7-(2-metoxietil)-7,8,9,10,12,13-hexahidro-5*H*-6,9-metanopirido[1',2':1,2]azepino[4,5-*b*]indolo-6(6*aH*)-carboxilato de metilo  
*agonista del receptor nicotínico de la acetilcolina tipo alfa-3 beta-4*

C<sub>22</sub>H<sub>28</sub>N<sub>2</sub>O<sub>3</sub>

188125-42-0

**zosurabalpinum**

zosurabalpin

*N*<sup>2,2,1</sup>,3-anhydro{*N*<sup>2</sup>-[[2-[(2-(aminomethyl)-4'-carboxy[1,1'-biphenyl]-3-yl)sulfanyl]pyridin-3-yl)methyl]-L-ornithyl-L-lysyl-*N*-methyl-L-tryptophan}  
*antibacterial*

zosurabल्पine

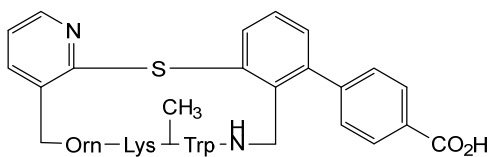
*N*<sup>2,2,1</sup>,3-anhydro{*N*<sup>2</sup>-[[2-[(2-(aminométhyl)-4'-carboxy[1,1'-biphényl]-3-yl)sulfanyl]pyridin-3-yl)méthyl]-L-ornithyl-L-lysyl-*N*-méthyl-L-tryptophane}  
*antibactérien*

zosurabalpina

*N*<sup>2,2,1</sup>,3-anhidro{*N*<sup>2</sup>-[[2-[(2-(aminometil)-4'-carboxil[1,1'-bifenil]-3-il)sulfanil]piridin-3-il]metil]-L-ornitil-L-lisil-*N*-metil-L-triptófano}  
*antibacteriano*

$C_{43}H_{50}N_8O_5S$ 

2379336-76-0



# Electronic structure available on Mednet: <https://extranet.who.int/soinn/>  
# Structure électronique disponible sur Mednet: <https://extranet.who.int/soinn/>  
# Estructura electrónica disponible en Mednet: <https://extranet.who.int/soinn/>

**Names for chemical modifications of INN (substituent groups, counterions, adduct partners, etc.):**

Many pharmaceutical substances for which an International Nonproprietary Name (INN) has been established are used as modified derivatives (salts, esters, protein-drug conjugates, solvates, etc.). The chemical modification (including counterions) involved may be of complex nature and it is then inconvenient to use its systematic chemical name. Consequently, shorter nonproprietary names for such modifications have been devised, and these are recommended for creating modified International Nonproprietary Names (INN).

**Dénominations applicables aux modifications chimiques des DCI (groupes substituants, contre-ions, adduits, etc.) :**

Certaines substances pour lesquelles une dénomination commune internationale proposée a été établie sont parfois utilisées comme dérivés modifiés (sels, esters, médicaments conjugués à des protéines, produits de solvatation, etc.). Les modifications chimiques (incluant les contre-ions) sont alors quelques fois si complexes qu'il est malcommode de les désigner conformément à la nomenclature chimique systématique. Des dénominations communes abrégées ont donc été formées ou choisies pour certaines d'entre elles et il est suggéré de les employer pour créer les dénominations communes internationales modifiées (DCIM).

**Denominaciones aplicables a modificaciones químicas de las DCI (grupos sustituyentes, contraiones, aductos, etc.):**

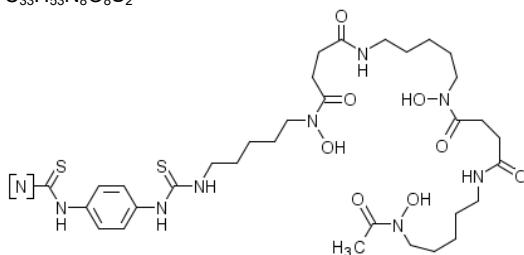
Muchas sustancias farmacéuticas para las cuales hay establecidas una denominación común internacional (DCI) pueden usarse como derivados modificados (sales, ésteres, medicamentos conjugados con proteínas, solvatos, etc.). Las modificaciones químicas (incluidos los contraiones) implicadas pueden ser de naturaleza compleja y por tanto es inapropiado utilizar su nombre químico sistemático. Como consecuencia, se han diseñado denominaciones abreviadas para estas modificaciones y se recomiendan para la creación de Denominaciones Comunes Internacionales modificadas (DCIM).

**berdoxamum**

berdoxam [4-(8,19,30-trihydroxy-9,12,20,23,31-pentaoxo-2,8,13,19,24,30-hexaazadotriacontane-1-thiyl)phenyl]carbamothioyl

berdoxam [4-(8,19,30-trihydroxy-9,12,20,23,31-pentaoxo-2,8,13,19,24,30-hexaazadotriacontane-1-thiyl)phényl]carbamoithiyl

berdoxam [4-(8,19,30-trihidroxi-9,12,20,23,31-pentaoxo-2,8,13,19,24,30-hexaazadotriacontano-1-tioil)fenil]carbamoitioilo



**etedesiranum**

etedesiran

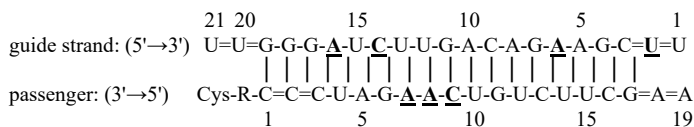
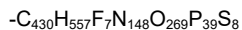
*all-P-ambo-2'-O-methyl-P-thiouridylyl-(3'→5')-2'-deoxy-2'-fluoro-P-thiouridylyl-(3'→5')-2'-O-methylcytidylyl-(3'→5')-2'-O-methylguanylyl-(3'→5')-2'-O-methyladenylyl-(3'→5')-2'-deoxy-2'-fluoroadenylyl-(3'→5')-2'-O-methylguanylyl-(3'→5')-2'-O-methyladenylyl-(3'→5')-2'-O-methylcytidylyl-(3'→5')-2'-O-methyladenylyl-(3'→5')-2'-O-methylguanylyl-(3'→5')-2'-O-methyluridylyl-(3'→5')-2'-O-methyluridylyl-(3'→5')-2'-deoxy-2'-fluorocytidylyl-(3'→5')-2'-O-methyluridylyl-(3'→5')-2'-deoxy-2'-fluoroadenylyl-(3'→5')-2'-O-methylguanylyl-(3'→5')-2'-O-methylguanylyl-(3'→5')-2'-O-methyl-P-thioguanilyl-(3'→5')-2'-O-methyluridylyl-(3'→5')-2'-O-methyluridine duplex with *all-P-ambo-(3RS)-1-({cis- or trans-4-[(6-[[2'-O-methyl-P-thioadenylyl-(5'→3')-2'-O-methyl-P-thioadenylyl-(5'→3')-2'-O-methylguanylyl-(5'→3')-2'-O-methylcytidylyl-(5'→3')-2'-O-methyluridylyl-(5'→3')-2'-O-methyluridylyl-(5'→3')-2'-O-methylcytidylyl-(5'→3')-2'-O-methyluridylyl-(5'→3')-2'-O-methylguanylyl-(5'→3')-2'-deoxy-2'-fluorocytidylyl-(5'→3')-2'-deoxy-2'-fluoroadenylyl-(5'→3')-2'-deoxy-2'-fluoroadenylyl-(5'→3')-2'-O-methylguanylyl-(5'→3')-2'-O-methyladenylyl-(5'→3')-2'-O-methyluridylyl-(5'→3')-2'-O-methyl-P-thiocytidylyl-(5'→3')-2'-O-methyl-P-thiocytidylyl-(5'→3')-2'-O-methyl-5'-cytidylyl]oxy}hexyl)carbamoil]cyclohexil)methyl)-2,5-dioxopyrrolidin-3-yl**

étédésiran

*tout-P-ambo-2'-O-méthyl-P-thiouridylyl-(3'→5')-2'-désoxy-2'-fluoro-P-thiouridylyl-(3'→5')-2'-O-méthylcytidylyl-(3'→5')-2'-O-méthylguanylyl-(3'→5')-2'-O-méthyladénylyl-(3'→5')-2'-désoxy-2'-fluoroadénylyl-(3'→5')-2'-O-méthylguanylyl-(3'→5')-2'-O-méthyladénylyl-(3'→5')-2'-O-méthylcytidylyl-(3'→5')-2'-O-méthyladénylyl-(3'→5')-2'-O-méthylguanylyl-(3'→5')-2'-O-méthyluridylyl-(3'→5')-2'-O-méthyluridylyl-(3'→5')-2'-désoxy-2'-fluorocytidylyl-(3'→5')-2'-O-méthyluridylyl-(3'→5')-2'-désoxy-2'-fluoroadénylyl-(3'→5')-2'-O-méthylguanylyl-(3'→5')-2'-O-méthylguanylyl-(3'→5')-2'-O-méthyl-P-thioguanilyl-(3'→5')-2'-O-méthyluridylyl-(3'→5')-2'-O-méthyluridine duplex avec *tout-P-ambo-(3RS)-1-({cis- ou trans-4-[(6-[[2'-O-méthyl-P-thioadénylyl-(5'→3')-2'-O-méthyl-P-thioadénylyl-(5'→3')-2'-O-méthylguanylyl-(5'→3')-2'-O-méthylcytidylyl-(5'→3')-2'-O-méthyluridylyl-(5'→3')-2'-O-méthyluridylyl-(5'→3')-2'-O-méthylcytidylyl-(5'→3')-2'-O-méthyluridylyl-(5'→3')-2'-O-méthylguanylyl-(5'→3')-2'-O-méthyluridylyl-(5'→3')-2'-désoxy-2'-fluorocytidylyl-(5'→3')-2'-désoxy-2'-fluoroadénylyl-(5'→3')-2'-désoxy-2'-fluoroadénylyl-(5'→3')-2'-O-méthylguanylyl-(5'→3')-2'-O-méthyladénylyl-(5'→3')-2'-O-méthyluridylyl-(5'→3')-2'-O-méthyl-P-thiocytidylyl-(5'→3')-2'-O-méthyl-5'-cytidylyl]oxy}hexyl)carbamoil]cyclohexil)méthyl)-2,5-dioxopyrrolidin-3-yle**

etedesirán

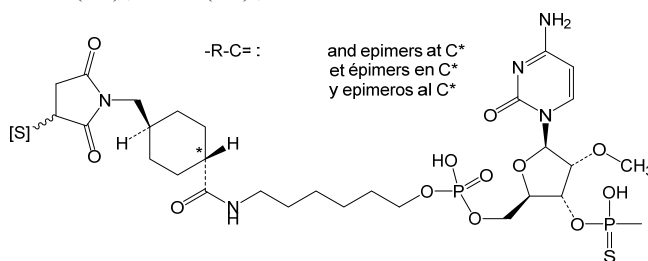
*todo-P-ambo-2'-O-metil-P-tiouridilil-(3'→5')-2'-desoxi-2'-fluoro-P-tiouridilil-(3'→5')-2'-O-metilcitudilil-(3'→5')-2'-O-metilguanilil-(3'→5')-2'-O-metiladenilil-(3'→5')-2'-desoxi-2'-fluoroadenilil-(3'→5')-2'-O-metilguanilil-(3'→5')-2'-O-metiladenilil-(3'→5')-2'-O-metilcitudilil-(3'→5')-2'-O-metiladenilil-(3'→5')-2'-O-metilguanilil-(3'→5')-2'-O-metiluridilil-(3'→5')-2'-O-metiluridilil-(3'→5')-2'-desoxi-2'-fluorocitudilil-(3'→5')-2'-O-metiluridilil-(3'→5')-2'-desoxi-2'-fluoroadenilil-(3'→5')-2'-O-metilguanilil-(3'→5')-2'-O-metilguanilil-(3'→5')-2'-O-metiluridilil-(3'→5')-2'-O-metiluridine dúplex con *todo-P-ambo-(3RS)-1-({cis- o trans-4-[(6-[[2'-O-metil-P-tioadenilil-(5'→3')-2'-O-metil-P-tioadenilil-(5'→3')-2'-O-metilguanilil-(5'→3')-2'-O-metilcitudilil-(5'→3')-2'-O-metiluridilil-(5'→3')-2'-O-metiluridilil-(5'→3')-2'-O-metilcitudilil-(5'→3')-2'-O-metiluridilil-(5'→3')-2'-O-metilguanilil-(5'→3')-2'-O-metiluridilil-(5'→3')-2'-desoxi-2'-fluorocitudilil-(5'→3')-2'-desoxi-2'-fluoroadenilil-(5'→3')-2'-desoxi-2'-fluoroadenilil-(5'→3')-2'-O-metilguanilil-(5'→3')-2'-O-metiluridilil-(5'→3')-2'-O-metiluridilil-(5'→3')-2'-O-metil-5'-citudilil]oxi}hexil)carbamoil]ciclohexil}metil)-2,5-dioxopirrolidin-3-ilo**



A, C, G, U : 2'-O-CH<sub>3</sub>-Ado, -Cyd, -Guo, -Urd;

**A, C, U** : (2'*R*)-2'-CHF-Ado, -Cyd, -Guo, -Urd;

- : -PO(OH)-; = : -PS(OH)-;



### fenilalanilum

fenilalanil

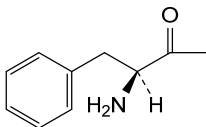
L-phenylalanyl; (2*S*)-2-amino-3-phenylpropanoyl

fénilalanil

L-phénylalanyle; (2*S*)-2-amino-3-phénylpropanoyle

fenilalanilo

L-fenilalanilo; (2*S*)-2-amino-3-fenilpropanoilo



### fosimdesonidum

fosimdesonide

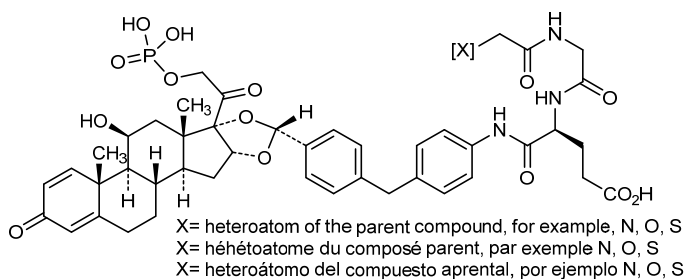
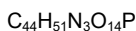
2-[[2-(((2*S*)-4-carboxy-1-[4-({4-[11β-hydroxy-3,20-dioxo-21-(phosphonooxy)-2'*H*,16β*H*-[1,3]dioxolo[4',5':16,17]pregna-1,4-dien-2'α-yl]phenyl)methyl]anilino)-1-oxobutan-2-yl)amino)-2-oxoethyl]amino]-2-oxoethyl

fosimdésonide

2-[[2-(((2*S*)-4-carboxy-1-[4-({4-[11β-hydroxy-3,20-dioxo-21-(phosphonooxy)-2'*H*,16β*H*-[1,3]dioxolo[4',5':16,17]pregna-1,4-dién-2'α-yl]phényl)méthyl]anilino)-1-oxobutan-2-yl)amino)-2-oxoéthyl]amino]-2-oxoéthyle

fosimdesonida

2-[[2-(((2*S*)-4-carboxi-1-[4-({4-[21-(fosfonooxi)-11β-hidroxi-3,20-dioxo-2'*H*,16β*H*-[1,3]dioxolo[4',5':16,17]pregna-1,4-dien-2'α-il]fenil]metil]anilino)-1-oxobutan-2-il)amino)-2-oxoetil]amino]-2-oxoetilo

**imbotolimodum**

imbotolimod

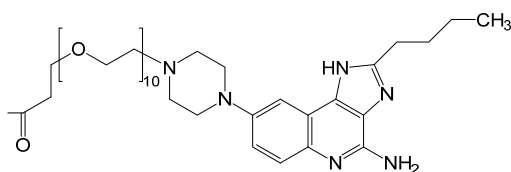
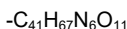
1-[4-(4-amino-2-butyl-1*H*-imidazo[4,5-*c*]quinolin-8-yl)piperazin-1-yl]-3,6,9,12,15,18,21,24,27,30-decaoxatritriacontan-33-oyl

imbotolimod

1-[4-(4-amino-2-butyl-1*H*-imidazo[4,5-*c*]quinoléin-8-yl)pipérazin-1-yl]-3,6,9,12,15,18,21,24,27,30-décaoxatritriacontan-33-oyle

imbotolimod

1-[4-(4-amino-2-butyl-1*H*-imidazo[4,5-*c*]quinolein-8-il)piperazin-1-il]-3,6,9,12,15,18,21,24,27,30-decaoxatritriacontan-33-oilo

**opadotinum**

opadotin

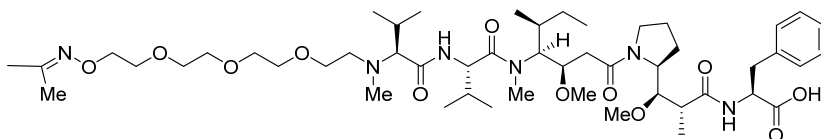
(1*Z*)-*N*-{[(13*S*,16*S*,19*S*,20*R*)-19-[(2*S*)-butan-2-yl]-22-[(2*S*)-[(1*R*,2*R*)-3-[(1*S*)-1-carboxy-2-phenylethyl]amino]-1-methoxy-2-methyl-3-oxopropyl]pyrrolidin-1-yl]-20-methoxy-12,18-dimethyl-14,17,22-trioxo-13,16-di(propan-2-yl)-3,6,9-trioxa-12,15,18-triazadocosan-1-yl]oxy}ethanimidoyl

opadotine

(1*Z*)-*N*-{[(13*S*,16*S*,19*S*,20*R*)-19-[(2*S*)-butan-2-yl]-22-[(2*S*)-[(1*R*,2*R*)-3-[(1*S*)-1-carboxy-2-phényléthyl]amino]-1-méthoxy-2-méthyl-3-oxopropyl]pyrrolidin-1-yl]-20-méthoxy-12,18-diméthyl-14,17,22-trioxo-13,16-di(propan-2-yl)-3,6,9-trioxa-12,15,18-triazadocosan-1-yl]oxy}éthanimidoyle

opadotina

(1*Z*)-*N*-{[(13*S*,16*S*,19*S*,20*R*)-19-[(2*S*)-butan-2-il]-22-[(2*S*)-[(1*R*,2*R*)-3-[(1*S*)-1-carboxi-2-feniletil]amino]-1-metoxi-2-metil-3-oxopropil]pirrolidin-1-il]-20-metoxi-12,18-dimetil-14,17,22-trioxo-13,16-di(propan-2-il)-3,6,9-trioxa-12,15,18-triazadocosan-1-il]oxi}etanimidoiilo

-C<sub>49</sub>H<sub>83</sub>N<sub>6</sub>O<sub>12</sub>**pactilum**

pacfil

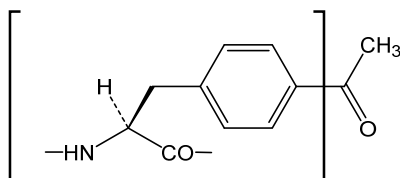
acetyl at C-4 of phenylalanine residues in proteins

pacfil

acétyle en C-4 des résidus phénylalanine de protéines

pacfil

acetilo en C-4 de residuos de fenilalanina en proteínas

-C<sub>2</sub>H<sub>3</sub>O**rezetecanum**

rezetecan

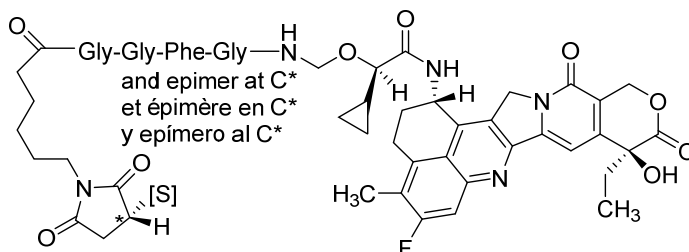
(3*RS*)-1-[(2*R*,10*S*)-10-benzyl-2-cyclopropyl-1-[[[(1*S*,9*S*)-9-ethyl-5-fluoro-9-hydroxy-4-methyl-10,13-dioxo-2,3,9,10,13,15-hexahydro-1*H*,12*H*-benzo[*de*]pyrano[3',4':6,7]indolizino[1,2-*b*]quinolin-1-yl]amino]-1,6,9,12,15,18-hexaoxo-3-oxa-5,8,11,14,17-pentaazatricosan-23-yl]-2,5-dioxopyrrolidin-3-yl

rezétécan

(3*RS*)-1-[(2*R*,10*S*)-10-benzyl-2-cyclopropyl-1-[[[(1*S*,9*S*)-9-éthyl-5-fluoro-9-hydroxy-4-méthyl-10,13-dioxo-2,3,9,10,13,15-hexahydro-1*H*,12*H*-benzo[*de*]pyrano[3',4':6,7]indolizino[1,2-*b*]quinoléin-1-yl]amino]-1,6,9,12,15,18-hexaoxo-3-oxa-5,8,11,14,17-pentaazatricosan-23-yl]-2,5-dioxopyrrolidin-3-yle

rezetecán

(3*RS*)-1-[(2*R*,10*S*)-10-bencil-2-ciclopropil-1-[[[(1*S*,9*S*)-9-etil-5-fluoro-9-hidroxi-4-metil-10,13-dioxo-2,3,9,10,13,15-hexahidro-1*H*,12*H*-benzo[*de*]pirano[3',4':6,7]indolizino[1,2-*b*]quinolein-1-il]amino]-1,6,9,12,15,18-hexaoxo-3-oxa-5,8,11,14,17-pentaazatricosan-23-il]-2,5-dioxopirrolidin-3-ilo

-C<sub>55</sub>H<sub>61</sub>FN<sub>9</sub>O<sub>13</sub>

**tapatansinum**

tapatansine

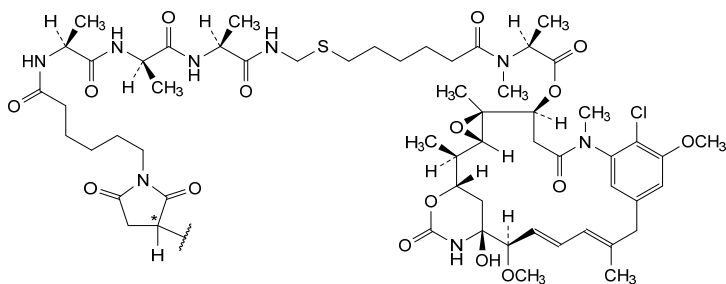
(3*RS*)-1-[(2*S*,14*S*,17*R*,20*S*)-1-[[[(1<sup>4</sup>*S*,1<sup>6</sup>*S*,2*R*,3<sup>2</sup>*S*,3<sup>3</sup>*S*,4*S*,10*E*,12*E*,14*R*)-8<sup>6</sup>-chloro-1<sup>4</sup>-hydroxy-8<sup>5</sup>,14-dimethoxy-2,3<sup>3</sup>,7,10-tetramethyl-1<sup>2</sup>,6-dioxo-7-aza-1(6,4)-[1,3]oxazinana-3(2,3)-oxirana-8(1,3)-benzenacyclotetradecaphane-10,12-dien-4-yl]oxy]-2,3,14,17,20-pentamethyl-1,4,13,16,19,22-hexaoxo-10-thia-3,12,15,18,21-pentaazaheptacosan-27-yl]-2,5-dioxopyrrolidin-3-yl

tapatansine

(3*RS*)-1-[(2*S*,14*S*,17*R*,20*S*)-1-[[[(1<sup>4</sup>*S*,1<sup>6</sup>*S*,2*R*,3<sup>2</sup>*S*,3<sup>3</sup>*S*,4*S*,10*E*,12*E*,14*R*)-8<sup>6</sup>-chloro-1<sup>4</sup>-hydroxy-8<sup>5</sup>,14-diméthoxy-2,3<sup>3</sup>,7,10-tétraméthyl-1<sup>2</sup>,6-dioxo-7-aza-1(6,4)-[1,3]oxazinana-3(2,3)-oxirana-8(1,3)-benzénacyclotétradécaphane-10,12-dièn-4-yl]oxy]-2,3,14,17,20-pentaméthyl-1,4,13,16,19,22-hexaoxo-10-thia-3,12,15,18,21-pentaazaheptacosan-27-yl]-2,5-dioxopyrrolidin-3-yle

tapatansina

(3*RS*)-1-[(2*S*,14*S*,17*R*,20*S*)-1-[[[(1<sup>4</sup>*S*,1<sup>6</sup>*S*,2*R*,3<sup>2</sup>*S*,3<sup>3</sup>*S*,4*S*,10*E*,12*E*,14*R*)-8<sup>6</sup>-cloro-1<sup>4</sup>-hidroxi-2,3<sup>3</sup>,7,10-tetrametil-8<sup>5</sup>,14-dimetoxi-1<sup>2</sup>,6-dioxo-7-aza-1(6,4)-[1,3]oxazinana-3(2,3)-oxirana-8(1,3)-benzenacyclotetradecafano-10,12-dien-4-il]oxi]-2,3,14,17,20-pentametil-1,4,13,16,19,22-hexaoxo-10-tia-3,12,15,18,21-pentaazaheptacosan-27-il]-2,5-dioxopirrolidin-3-ilo

C<sub>58</sub>H<sub>84</sub>ClN<sub>8</sub>O<sub>16</sub>S**tazidum**

tazide

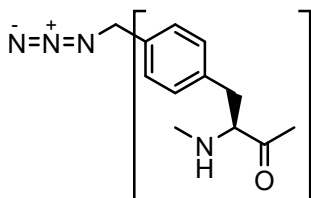
azidomethyl at C-4 of phenylalanine residues in proteins

tazide

azidométhyle en C-4 des résidus phénylalanine de protéines

tazide

azidometilo en C-4 de residuos de fenilalanina en proteínas

-C<sub>2</sub>N<sub>3</sub>



## Proposed International Nonproprietary Names: List 127 – COVID-19 (special edition)

Comments on, or formal objections to, the proposed names could be forwarded by any person to the INN Programme of the World Health Organization within two weeks of the date of their publication on *WHO INN Programme website*, i.e., for **List 127 – COVID-19 (special edition) of Proposed INN not later than 24 May 2022, exceptionally for this special edition. Publication date: 10/05/2022**

## Dénominations communes internationales proposées: Liste 127 - COVID-19 (édition spéciale)

Des observations ou des objections formelles à l'égard des dénominations proposées pouvaient être adressées par toute personne au Programme des Dénominations communes internationales de l'Organisation mondiale de la Santé dans un délai de deux semaines à compter de la date de leur publication sur le *site Internet du Programme des DCI de l'OMS*, c'est à dire pour la **Liste 127 - COVID-19 (édition spéciale) de DCI Proposées le 24 mai 2022 au plus tard, exceptionnellement pour cette édition spéciale. Date de publication : 10/05/2022**

## Denominaciones Comunes Internacionales Propuestas: Lista 127 - COVID-19 (edición especial)

Cualquier persona podía dirigir observaciones u objeciones respecto de las denominaciones propuestas, al Programa de Comunes Internacionales de la Organización Mundial de la Salud, en un plazo de dos semanas, contados desde la fecha de su publicación en el *sitio web del Programa de las DCI de la OMS*, es decir, para la **Lista 127 - COVID-19 (edición especial) de DCI Propuestas el 24 de mayo de 2022 a más tardar, excepcionalmente para esta edición especial. Fecha de publicación: 10/05/2022**

<i>Proposed INN</i> (Latin, English, French, Spanish)	<i>Chemical name or description: Action and use: Molecular formula, Chemical Abstracts Service (CAS) registry number: Graphic formula</i>
<i>DCI Proposée</i>	<i>Nom chimique ou description: Propriétés et indications: Formule brute, Numéro dans le registre du CAS: Formule développée</i>
<i>DCI Propuesta</i>	<i>Nombre químico o descripción: Acción y uso: Fórmula molecular, Número de registro del CAS: Fórmula desarrollada</i>

### imelasomeranum #

imelasomeran messenger RNA (mRNA), 5'-capped, encoding a full-length, codon-optimised pre-fusion stabilised conformation variant (K983P and V984P) of the SARS-CoV-2 (severe acute respiratory syndrome coronavirus 2) spike (S) glycoprotein (Omicron variant, B.1.1.529; based upon GISAID No. EPI\_ISL\_6640919), further optimized by two additional stop codons, flanked by an artificial 5' untranslated region (UTR) and a 3' UTR derived from the human alpha globin gene (HBA1) and terminated by a 3' poly(A) tail; contains N<sup>1</sup>-methylpseudouridine instead of uridine (*all-U>m<sup>1</sup>Ψ*).  
*immunological agent for active immunization (anti-SARS-CoV-2)*

- imélasoméran ARN messenger (ARNm), protégé d'une coiffe en 5', codant la séquence entière d'un variant de la glycoprotéine de spicule (S) du SARS-CoV-2 (coronavirus 2 du syndrome respiratoire aigu sévère; Omicron variant, B.1.1.529; basé sur GISAID No. EPI\_ISL\_6640919) à la conformation stabilisée par pré-fusion (K983P et V984P) et aux codons optimisés, optimisation renforcée par l'ajout de deux codons stop, flanqué d'une région non traduite (UTR) en 5' artificielle et d'une UTR en 3' dérivée du gène de l'alpha-globine humaine (HBA1) et terminé par une queue poly(A) en 3'; contient de la N<sup>1</sup>-méthylpseudouridine au lieu de l'uridine (*tout-U>m<sup>1</sup>Ψ*). *agent immunologique pour immunisation active (anti-SARS-CoV-2)*
- imelasomerán ARN mensajero (ARNm), protegido en 5', que codifica para una variante estabilizada en conformación pre-fusión (K983P and V984P) de la glicoproteína de la espícula (S) del SARS-Cov-2 (coronavirus 2 del síndrome respiratorio agudo severo; Omicron variant, B.1.1.529; basada en GISAID No. EPI\_ISL\_6640919) completa, con codones optimizados y dos codones de terminación adicionales, flanqueado por una región 5' no traducida (UTR) artificial y una UTR en 3' derivada del gen de la globina alfa humana (HBA1) y terminado por una cola poly(A) en 3'; contiene N<sup>1</sup>-metilpseudouridina en lugar de uridina (*todo-U>m<sup>1</sup>Ψ*). *agente inmunológico para inmunización activa (anti-SARS-CoV-2)*

2763208-92-8

- # Electronic structure available on Mednet: <http://mednet.who.int/>  
 # Structure électronique disponible sur Mednet: <http://mednet.who.int/>  
 # Estructura electrónica disponible en Mednet: <http://mednet.who.int/>

*Please note that due to exceptional pandemic circumstances, this Proposed INN was open for public consultation for a period of two weeks only (instead of four months) and the publication date to be retained is the date of web publication on the WHO INN website. The procedure "INN for Variant COVID-19 Vaccine Active Substances" can be found at <https://www.who.int/publications/i/item/inn-21-520>.*

*Veillez noter qu'en raison de circonstances pandémiques exceptionnelles, cette DCI Proposée était ouverte à la consultation publique pour une période de deux semaines seulement (au lieu de quatre mois) et la date de publication à retenir est la date de publication sur le site Internet du Programme des DCI de l'OMS. La procédure "INN for Variant COVID-19 Vaccine Active Substances" peut être trouvée à <https://www.who.int/publications/i/item/inn-21-520>.*

*Tenga en cuenta que debido a circunstancias excepcionales de la pandemia, esta DCI Propuesta estaba abierta a la consulta pública durante un período de sólo dos semanas (en lugar de cuatro meses) y la fecha de publicación que debe conservarse es la fecha de publicación en el sitio web del Programa de las DCI de la OMS. Se puede encontrar la procedura "INN for Variant COVID-19 Vaccine Active Substances" en nuestro sitio web <https://www.who.int/publications/i/item/inn-21-520>.*

## Proposed International Nonproprietary Names: List 127 – COVID-19 (special edition) – ADDENDUM

Comments on, or formal objections to, the proposed names may be forwarded by any person to the INN Programme of the World Health Organization within four months of the date of their publication in *WHO Drug Information*, i.e., for **List 127 – COVID-19 (special edition - ANNEX 1) Proposed INN not later than 21 November 2022**

Publication date: 22 July 2022

## Dénominations communes internationales proposées: Liste 127 – COVID-19 (édition spéciale) – ADDENDUM

Des observations ou des objections formelles à l'égard des dénominations proposées peuvent être adressées par toute personne au Programme des Dénominations communes internationales de l'Organisation mondiale de la Santé dans un délai de quatre mois à compter de la date de leur publication dans *WHO Drug Information*, c'est à dire pour la **Liste 127 – COVID-19 (édition spéciale – annexe 1) de DCI Proposées le 21 novembre 2022 au plus tard.**

Date de publication : 22 juillet 2022

## Denominaciones Comunes Internacionales Propuestas: Lista 127 – COVID-19 (edición especial) – ADDENDUM

Cualquier persona puede dirigir observaciones u objeciones respecto de las denominaciones propuestas, al Programa de Denominaciones Comunes Internacionales de la Organización Mundial de la Salud, en un plazo de cuatro meses, contados desde la fecha de su publicación en *WHO Drug Information*, es decir, para la **Lista 127 – COVID-19 (edición especial – anexo 1) de DCI Propuestas el 21 de noviembre de 2022 a más tardar.**

Feccha de publicación: 22 de Julio de 2022

<i>Proposed INN (Latin, English, French, Spanish)</i>	<i>Chemical name or description: Action and use: Molecular formula Chemical Abstracts Service (CAS) registry number: Graphic formula</i>
<i>DCI Proposée</i>	<i>Nom chimique ou description: Propriétés et indications: Formule brute : Numéro dans le registre du CAS: Formule développée</i>
<i>DCI Propuesta</i>	<i>Nombre químico o descripción: Acción y uso: Fórmula molecular Número de registro del CAS: Fórmula desarrollada</i>

### acetylcysteinum zidimerum

acetylcysteine zidimer

*N*-acetyl-L-cysteine conjugate with regular dendrimer  $\alpha, \alpha', \alpha'', \alpha'''$ -(ethane-1,2-diyl dinitrilo) tetrakis( $\omega$ -hexadecakis{3-[(2-hydroxyethyl)amino]-3-oxopropyl}-dendroG4-[(3-oxopropane-1,3-diyl)azanediylethylenenitrilo]) with about 31% of hydroxy groups substituted with 4-{3-[(*N*-acetyl-L-cystein-S-yl)sulfanyl]propanamido}butanoyl group *anti-inflammatory*

acétylcystéine zidimère

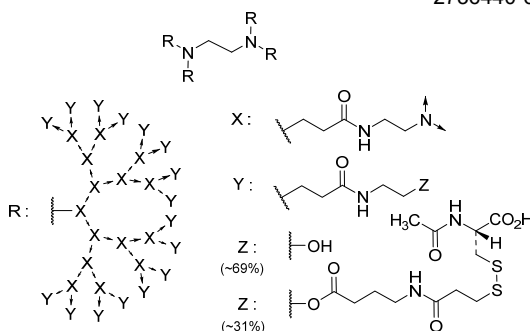
*N*-acétyl-L-cystéine conjuguée avec un dendrimère régulier

$\alpha, \alpha', \alpha'', \alpha'''$ -(éthane-1,2-diyl)dinitrilo)tétrakis( $\omega$ -hexadécakis{3-[(2-hydroxyéthyl)amino]-3-oxopropyl}-dendroG4-[(3-oxopropane-1,3-diyl)azanediéthylénenitrilo]) avec environ 31% des groupes hydroxy substitués par un groupe 4-{3-[(N-acétyl-L-cystéin-S-yl)sulfanyl]propanamido}butanoyle  
*anti-inflammatoire*

acetilcisteína zidrímero

N-acetil-L-cisteína conjugada con un dendrímero regular  $\alpha, \alpha', \alpha'', \alpha'''$ -(etano-1,2-diildinitrilo)tetrakis( $\omega$ -hexadécakis{3-[(2-hidroxiétil)amino]-3-oxopropil}-dendroG4-[(3-oxopropano-1,3-diil)azanediiétilenenitrilo]) con alrededor de 31% de los grupos hidroxi sustituidos por un grupo 4-{3-[(N-acetil-L-cistein-S-il)sulfanil]propanamido}butanoilo  
*antiinflamatorio*

2736440-65-4



**bofutrelvirum**

bofutrelvir

*N*-((*S*)-3-cyclohexyl-1-oxo-1-(((*S*)-1-oxo-3-((*S*)-2-oxopyrrolidin-3-yl)-propan-2-yl)amino)propan-2-yl)-1*H*-indole-2-carboxamide  
*antiviral*

bofutrelvir

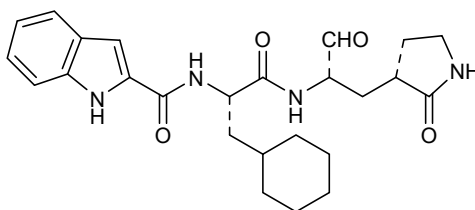
*N*-((*S*)-3-cyclohexyl-1-oxo-1-(((*S*)-1-oxo-3-((*S*)-2-oxopyrrolidin-3-yl)-propan-2-yl)amino)propan-2-yl)-1*H*-indole-2-carboxamide  
*antiviral*

bofutrelvir

*N*-((*S*)-3-ciclohexil-1-oxo-1-(((*S*)-1-oxo-3-((*S*)-2-oxopirrolidin-3-il)-propan-2-il)amino)propan-2-il)-1*H*-indol-2-carboxamida  
*antiviral*

$C_{25}H_{32}N_4O_4$

2103278-86-8



**buloxibutidum**

buloxibutid

butyl [3-{4-[(1*H*-imidazol-1-yl)méthyl]phényl}-5-(2-méthylpropyl)thiophène-2-sulfonyl]carbamate  
*angiotensin II receptor agonist*

buloxibutid

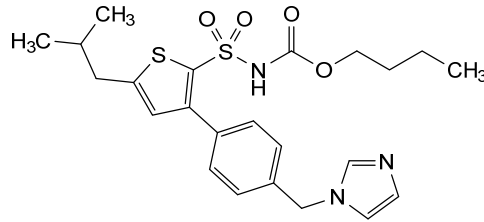
[3-{4-[(1*H*-imidazol-1-yl)méthyl]phényl}-5-(2-méthylpropyl)thiophène-2-sulfonyl]carbamate de butyle  
*agoniste du récepteur de l'angiotensine II*

buloxibutid

[3-{4-[(1*H*-imidazol-1-il)metil]fenil}-5-(2-metilpropil)tiofeno-2-sulfonyl]carbamato de butilo  
*agonista del receptor de la angiotensina II*

C<sub>23</sub>H<sub>29</sub>N<sub>3</sub>O<sub>4</sub>S<sub>2</sub>

477775-14-7

**carocovateinum #**

carocovatein

severe acute respiratory syndrome coronavirus 2 (SARS-CoV-2) Spike (S) glycoprotein (S glycoprotein, UniProt P0DTC2), stable prefusion conformation variant (R<sup>669</sup>>G, R<sup>670</sup>>S, R<sup>672</sup>>S, K<sup>973</sup>>P, V<sup>974</sup>>P), C-terminal transmembrane domain (1196-1260) deleted and replaced with the  
<sup>1196</sup>GSGYIPEAPRDGQAYVRKDGWVLLSTFLGRSLEVL<sup>1233</sup>FQ peptide containing the enterobacteria phage T6 fibrin C-terminal foldon domain fragment  
<sup>458</sup>G<sup>458</sup>YIPEAPRDGQAYVRKDGWVLLSTFL<sup>484</sup>, followed by the remnant of a human rhinovirus (HRV) 3C protease cleavage sequence (<sup>1228</sup>LEVL<sup>1233</sup>FQ), trimer, produced in Chinese hamster ovary (CHO) cells, cell line CHO-S, glycoform alfa  
*immunological agent for active immunization (anti-SARS-CoV-2)*

carocovateine

glycoprotéine de spicule (S) du coronavirus 2 du syndrome respiratoire aigu sévère (SRAS-CoV-2) (glycoprotéine S, UniProt P0DTC2), variant de conformation de préfusion stable (R<sup>669</sup>>G, R<sup>670</sup>>S, R<sup>672</sup>>S, K<sup>973</sup>>P, V<sup>974</sup>>P), domaine transmembranaire C-terminal (1196-1260) supprimé et remplacé par le peptide  
<sup>1196</sup>GSGYIPEAPRDGQAYVRKDGWVLLSTFLGRSLEVL<sup>1233</sup>FQ contenant le fragment  
<sup>458</sup>G<sup>458</sup>YIPEAPRDGQAYVRKDGWVLLSTFL<sup>484</sup> du domaine foldon C-terminal de la fibrine du phage T6 des entérobactéries, suivi du reste d'une séquence de clivage par la protéase du rhinovirus humain (HRV) 3C (<sup>1228</sup>LEVL<sup>1233</sup>FQ), trimère, produit dans des cellules ovariennes de hamster chinois (CHO), lignée cellulaire CHO-S, glycoforme alfa  
*agent immunologique d'immunisation active (anti-SARS-CoV-2)*

carocovateína

síndrome respiratorio severo agudo del coronavirus 2 (SARS-CoV-2) espícula (S) glicoproteína (glicoproteína S, UniProt P0DTC2), variante de conformación estable de perfusión (R<sup>669</sup>>G, R<sup>670</sup>>S, R<sup>672</sup>>S, K<sup>973</sup>>P, V<sup>974</sup>>P), dominio transmembrana C-terminal (1196-1260) eliminado y reemplazado con el péptido <sup>1196</sup>GSGYIPEAPRDGQAYVRKDGWVLLSTFLGRSLEVL<sup>1233</sup> que contiene el fragmento del dominio foldon del fago enterobacteria T6 fibrin C-terminal, seguido del resto de un rinovirus humano (HRV) 3C de la secuencia de escisión de la proteasa (<sup>1228</sup>LEVLFQ<sup>1233</sup>), trímero, producido en células ováricas de hámster Chino (CHO), línea celular CHO-S, glicofoma alfa agente inmunológico para inmunización activa (anti-SARS-CoV-2)

2762666-72-6

## Sequence / Séquence / Secuencia

```

QCVNLTTRTQ LPPAYTNSFT  RGVYYPDKVF  RSSVLHSTQD  LFLPFFSNVT  50
WFHAIHVSQT NGTKRFDNPV  LPFNDGVYFA  STEKSNIIRG  WIFGTTLDSK  100
TQSLIVVNA  TNVVIKVECF  QFCNDPFLGV  YHKMKNSWM  ESEFRVYSSA  150
NNCTFEYVSQ  PFLMDLEGKQ  GNFKNLREFV  FKNIDGYFKI  YSKHTPINLV  200
RDLFQGFSA  EPLVDLPIGI  NITRFQTLA  LHRSYLTPGD  SSSGWTAGAA  250
AYVYVGLQPR  TFLLYKNENG  TITDAVDCAL  DPLSEKCTL  KSFTVEKGIY  300
QTSNFRVQPT  ESIVRFPNIT  NLCPPGEVFN  ATRFASVYAW  NRKRISNCVA  350
DYSVLVNSAS  FSTFKCYGVS  PTKLNDLCFT  NVYADSFVIR  GDEVRQIAPG  400
QTGKIADYNY  KLPDDFTGCV  IAWNSNLDL  KVGGMNYNLY  RLFKRNSLKP  450
FERDISTEIIY  QAGSTPCNGV  EGFNCYFFLQ  SYGFQPTNGV  GYQPYRVVVL  500
SFELLHAPAT  VCGPKKSTNL  VKMKCVNFNF  NGLTGTGVL  ESNKKFLPFQ  550
QFGRDIADTT  DAVRDPQTL  LLDITPCSPG  GVSVITPGTN  TSNQVAVLYQ  600
DVNCTEVEVA  IHADQLTPTW  RVYSTGSNVF  QTRAGCLIGA  EHVNSSYECD  650
IPIGAGICAS  YQTQTNSPGS  ASSVASQSII  AYTMSLGAEN  SVAYSNNNSIA  700
IPTNFTISVT  TEILPVSMTK  TSVDCCTMYIC  GDSTECSNLL  LQYGSFCTQL  750
NRALGTIAVE  QDKNTQEVFA  QVKQIYKTPP  IKDFGFGNFS  QILPDPSPKFS  800
KRSFIEDLLF  NKVTLADAGF  IKQYGDCLGD  IAARDLICAQ  KFNGLTFLPP  850
LLTDEMAIQY  TSALLAGTIT  SGWTFGAGAA  LQIPFAMQMA  YRFNGIGVTQ  900
NVLYENQKLI  ANQFNSAIGK  IQDLSLSTAS  ALGKIQDVVN  QNAQALNTLV  950
KQLSSNFAGI  SSVLNDILSR  LDPEAEVQI  DRLITGRSQS  LQTYVTQQLI  1000
RAHEIRASAN  LAATKMESECV  LGQSKRVDFC  GKGYHLMSPF  QASPHGVVFL  1050
HVTVVPAQEK  NFFTAPAICH  DGKAHFPRFG  VVFSNGTHWF  VTQRNFYEPQ  1100
IITDNTFVS  GNCDVVIGIV  NNTVYDPLQP  ELDSFKEELD  KYFKNHTSPD  1150
VDLGDISGIN  ASVVNIQKEI  DRLNEVAKNL  NESLIDLQEL  GKYEQGSGYI  1200
PEAPRDGQAY  VRKDGWVLL  STFLGRSLEV  LFQ  1233

```

## Mutation / Mutation / Mutación

R<sup>669</sup>>G, R<sup>670</sup>>S, R<sup>672</sup>>S, K<sup>973</sup>>P, V<sup>974</sup>>P

## Peptide linker / Peptide liant / Péptido de unión

GS 1196-1197

## Foldon domain / Foldon domaine / Foldon dominio

GYIPEAPRDGQAY VRKDGWVLL STFL 1298-1224

## Post-translational modifications

Disulfide bridges location / Position des ponts disulfure / Posiciones de los puentes disulfuro

2-123, 118-153, 278-288, 323-348, 366-419, 378-512, 467-475, 525-577, 604-636,

649-658, 725-747, 730-736, 827-838, 1019-1030, 1069-1113

N-glycosylation sites / Sites de N-glycosylation / Posiciones de N-glicosilación

4, 48, 61, 109, 136, 152, 221, 269, 318, 330, 590, 603, 644, 696, 704, 788, 1061, 1085,

1121, 1145, 1160, 1181

N-terminal glutaminyl cyclization / Cyclisation du glutaminyle N-terminal / Ciclación del

glutaminilo N-terminal

Q1 &gt; pyroglutamyl (pE, 5-oxopropyl)

**gorivitugum #**

gorivitug

immunoglobulin G1-kappa, anti-[*Homo sapiens* severe acute respiratory syndrome coronavirus 2 (SARS-CoV-2) spike (S) protein, receptor binding domain (RBD)], *Homo sapiens* monoclonal antibody;  
 gamma1 heavy chain *Homo sapiens* (1-453) [VH (*Homo sapiens*IGHV3-64D\*06 (94.9%) -(IGHD) -IGHJ6\*01 (100%), CDR-IMGT [8.8.16] (26-33.51-58.97-112)) (1-123)-*Homo sapiens*IGHG1\*01, G1m17,1 (CH1 K120 (220) (124-221), hinge 1-15 (222-236), CH2 (237-346), CH3 D12 (362), L14 (364) (347-451), CHS (452-453)) (124-453)], (226-214')-disulfide with kappa light chain *Homo sapiens* (1'-214') [V-KAPPA (*Homo sapiens*IGKV1-39\*01 (96.8%) -IGKJ3\*01 (100%), CDR-IMGT [6.3.9] (27-32.50-52.89-97)) (1'-107') -*Homo sapiens*IGKC\*01 (100%), Km3 A45.1 (153), V101 (191) (108'-214')]; dimer (232-232":235-235")-bisdisulfide, produced in Chinese hamster ovary (CHO) cells, cell line CHO-K1, glycoform alfa  
*antiviral*

gorivitug

immunoglobuline G1-kappa, anti-[domaine de liaison au récepteur (RBD) de la glycoprotéine spike (S) du coronavirus 2 du syndrome respiratoire aigu sévère (SARS-CoV-2)], anticorps monoclonal *Homo sapiens*;  
 chaîne lourde gamma1 *Homo sapiens* (1-453) [VH (*Homo sapiens*IGHV3-64D\*06 (94.9%) -(IGHD) -IGHJ6\*01 (100%), CDR-IMGT [8.8.16] (26-33.51-58.97-112)) (1-123)-*Homo sapiens*IGHG1\*01, G1m17,1 (CH1 K120 (220) (124-221), charnière 1-15 (222-236), CH2 (237-346), CH3 D12 (362), L14 (364) (347-451), CHS (452-453)) (124-453)], (226-214')-disulfure avec la chaîne légère kappa *Homo sapiens* (1'-214') [V-KAPPA (*Homo sapiens*IGKV1-39\*01 (96.8%) -IGKJ3\*01 (100%), CDR-IMGT [6.3.9] (27-32.50-52.89-97)) (1'-107') -*Homo sapiens*IGKC\*01 (100%), Km3 A45.1 (153), V101 (191) (108'-214')]; dimère (232-232":235-235")-bisdisulfure, produit dans des cellules ovariennes de hamster chinois (CHO), lignée cellulaire CHO-K1, glycoforme alfa  
*antiviral*

gorivitug

immunoglobulina G1-kappa, anti-[dominio unión al receptor (RBD) de la glicoproteína de espícula (S) del coronavirus 2 del síndrome respiratorio agudo severo (SARS-CoV-2)], anticuerpo monoclonal *Homo sapiens*;  
 cadena pesada gamma1 *Homo sapiens* (1-453) [VH (*Homo sapiens*IGHV3-64D\*06 (94.9%) -(IGHD) -IGHJ6\*01 (100%), CDR-IMGT [8.8.16] (26-33.51-58.97-112)) (1-123)-*Homo sapiens*IGHG1\*01, G1m17,1 (CH1 K120 (220) (124-221), bisagra 1-15 (222-236), CH2 (237-346), CH3 D12 (362), L14 (364) (347-451), CHS (452-453)) (124-453)], (226-214')-disulfuro con la cadena ligera kappa *Homo sapiens* (1'-214') [V-KAPPA (*Homo sapiens*IGKV1-39\*01 (96.8%) -IGKJ3\*01 (100%), CDR-IMGT [6.3.9] (27-32.50-52.89-97)) (1'-107') -*Homo sapiens*IGKC\*01 (100%), Km3 A45.1 (153), V101 (191) (108'-214')]; dímero (232-232":235-235")-bisdisulfuro, producido en las células ováricas de hámster chino (CHO), línea celular CHO-K1, forma glicosilada alfa  
*antiviral*

2765086-18-6

## Heavy chain / Chaîne lourde / Cadena pesada

EQQLVESGGG LVQPGGSLRL SCSASGFTFS RYAMYWVRQA PGKGLYVSA 50  
 ISSDGGSTYD ADSVKGRFTI SRANSKNTLY LQMSLRAED TAVYYCVKGL 100  
 RELLYYYIGM DWGQGTIVT VSSASTKGPS VFPLAPSSKS TSGGTAALGC 150  
 LVKDYFPEPV TVSWNSGALT SGVHTFPAVL QSSGLYSLSS VVTVFSSSLG 200  
 TQTYICNVNH KFSNTKVDKK VEPKSCDKTH TCPPCPAPEL LGGPVFLFP 250  
 PKPKDTLMIS RTPETCVVV DVSHEDEPKV FNMWYVDGVEV HNAKTKFREE 300  
 QYNSTYRVVVS VLTVLHQDWL NGKEYKCKVS NKALPAPIEK TISKAKGQPR 350  
 EPQVYTLPPS RDELTRNQVS LTCLVKGFYP SDIAVEWESN GQPENNYKTT 400  
 PPVLDSDGSF FLYSKLTVDK SRWQQGNVFS CSVMHEALHN HYTQKSLSL 450  
 PGK 453

## Light chain / Chaîne légère / Cadena ligera

DIQMTQSPSS LSASVGRVIT ITCRAGQIS SFLNYYQQKPK GKAPKLLIYA 50  
 ASSLQSGVPS RFGSGSGTD FTLTISLQP EDFATYYCQQ SYITPFTFGP 100  
 GTKVDIKRTV AAPSFIAPP SDEQLKSGTA SVVCLLNFFY BREAKVQWKV 150  
 DNALQSGNSQ ESVTQDQSKD STYSLSTLT LSKADYEKHK VYACEVTHQG 200  
 LSSPVTKSFN RGEK 214

## Post-translational modifications

Disulfide bridges location / Position des ponts disulfure / Posiciones de los puentes disulfuro

Intra-H (C23-C104) 22-96 150-206 267-327 373-431  
 22"-96" 150"-206" 267"-327" 373"-431"

Intra-L (C23-C104) 23"-88" 134"-194"  
 23"-88" 134"-194"

Inter-H-L (h 5-CL 126) 226-214" 226"-214"

Inter-H-H (h 11, h 14) 232-232" 235-235"

N-glycosylation sites / Sites de N-glycosylation / Posiciones de N-glicosilación

H CH2 N84.4: 303, 303"

Fucosylated complex bi-antennary CHO-type glycans / glycanes de type CHO bi-antennaires complexes fucosylés / glicanos de tipo CHO biantennarios complejos fucosilados.

C-terminal lysine clipping / Coupure de la lysine C-terminale / Recorte de lisina C-terminal

H CHS K2: 453, 453"

**ibacovavecum #**  
 ibacovavec

recombinant, replication-incompetent E1-deleted adenovirus serotype 26 vector encoding a full-length pre-fusion stabilised severe acute respiratory syndrome coronavirus 2 (SARS-CoV-2) spike (S) glycoprotein (sequence based upon the original Wuhan isolate of 2019, whole genome sequence NC\_045512), with two amino acid changes in the S1/S2 junction (R682S and R685G) that knock out the furin cleavage site, and two proline substitutions in the hinge region (K986P and V987P). Expression of the transgene is under control of a synthetic human cytomegalovirus promoter with a tetracycline operon (TetO) sequence inserted upstream of the transgene and the simian virus 40 (SV40) polyadenylation (polyA) signal.  
*immunological agent for active immunization (anti-SARS-CoV-2)*

## ibacovavec

vecteur adénovirus recombinant de sérotype 26, incompétent à la réplication, codant la séquence entière stabilisée par pré-fusion de la glycoprotéine de spicule (S) du coronavirus 2 du syndrome respiratoire aigu sévère (SARS-CoV-2) (séquence basée sur l'isolat original de Wuhan de 2019, séquence du génome entier NC\_045512), avec deux changements d'acides aminés dans la jonction S1/S2 (R682S et R685G) qui éliminent le site de clivage de la furine, et deux substitutions de proline dans la région charnière (K986P et V987P). L'expression du transgène est sous le contrôle d'un promoteur synthétique du cytomégalovirus humain avec une séquence de l'opéron tétracycline (TetO) insérée en amont du transgène et le signal de polyadénylation (polyA) du virus simien 40 (SV40).  
*agent immunologique d'immunisation active (anti-SARS-CoV-2)*



cadena pesada gamma1 *Homo sapiens* (1-449) [VH (*Homo sapiens* IGHV3-53\*01 (92.8%) -(IGHD) -IGHJ4\*01 (92.9%), CDR-IMGT [8.7.13 (26-33.51-57.96-108)]) (1-119) -*Homo sapiens* IGHG1\*03v, G1m3>G1m17, nG1m1 (CH1 R120 (216) (120-217), bisagra 1-15 (218-232), CH2 (233-342), CH3 D12 (358), L14 (360) (343-447), CHS (448-449)) (120-449)], (222-214')-disulfuro con la cadena ligera kappa *Homo sapiens* (1'-214') [V-KAPPA (*Homo sapiens* IGKV1-39\*01 (95.8%) -IGKJ4\*01 (91.7%), CDR-IMGT [6.3.9] (27-32.50-52.89-97)) (1'-107') -*Homo sapiens* IGKC\*01 (100%), Km3, A45.1 (153), V101 (191) (108'-214')]; dímero (228-228":231-231")-bisdisulfuro, producido en las células ováricas de hámster chino (CHO), línea celular CHO-K1, forma glicosilada alfa *antiviral*

2643987-04-4

## Heavy chain / Chaîne lourde / Cadena pesada

EVQLVQSGGG LIQPGGSLRL SCAASEFIVS SNYMTWVRFQA PGKGLEWVSI 50  
 IYPGGSGTYIA DSVKGRFTIS RDNSKNTLYL RMNSLRAEDT AVVYCARDLP 100  
 LTGPTLDYWG QGTLVTSSA STKGPSVFPPL APSSKSTSGG TAALGCLVKD 150  
 YFPEPVTYSW NSGALTSVGH TFPFVAVLQSSG LYSLSVTVV PSSLGLQTY 200  
 ICNVNHRKPSN TKVDKRVEPK SCDKHTCTPP CPAPELLGGP SVFLFPPKPK 250  
 DTLMSRTPSE VTCVVDVSH EDPEVKFNWY VDGVEVHNAK TKPREEQYNS 300  
 TYRVSVLTIV LHQDWLNGKE YKCKVSNKAL PAPIEKTISK AKGQPREPQV 350  
 YTLPPSRDEL TKNQVSLTCL VKGFYPSDIA VEWESNGQPE NNYKTPPVVL 400  
 DSDGSFFLYS KLTVDKSRWQ QGNVFCSSVM HEALHNHYTQ KSLSLSPGK 449

## Light chain / Chaîne légère / Cadena ligera

ELVLTQSPSS LSASVGDRTV ITCRASQIS SYLNWYQQKP GKAPKLLIYA 50  
 ASSLQSGVPS RFGSGSGGTD FTLTISSLQP EDFATYYCQQ SYSTPLTFGG 100  
 GTKLEIKRTV AAFSVFIFPP SDEQLKSGTA SVVCLLNIFY PREAKVQWKV 150  
 DNALQSGNSQ ESVTEQDSKD STYLSLSTLT LSKADYEKHK VYACEVTHQG 200  
 LSPFVTKSFN RGEK 214

## Post-translational modifications

Disulfide bridges location / Position des ponts disulfure / Posiciones de los puentes disulfuro

Intra-H (C23-C104) 22"-95" 146"-202" 263"-323" 369"-427"  
 22"-95" 146"-202" 263"-323" 369"-427"

Intra-L (C23-C104) 23"-88" 134"-194"  
 23"-88" 134"-194"

Inter-H-L (h 5-CL 126) 222"-214" 222"-214"

Inter-H-H (h 11, h 14) 228"-228" 231"-231"

N-glycosylation sites / Sites de N-glycosylation / Posiciones de N-glicosilación

H CH2 N84.4: 299, 299"

Fucosylated complex bi-antennary CHO-type glycans / glycanes de type CHO bi-antennaires complexes fucosylés / glicanos de tipo CHO biantenaricos complejos fucosilados.

C-terminal lysine clipping / Coupure de la lysine C-terminale / Recorte de lisina C-terminal  
H CHS K2: 449, 489"**obeldesivirum**

obeldesivir

2-C-(4-aminopyrrolo[2,1-f][1,2,4]triazin-7-yl)-2,5-anhydro-D-altronnitrile 6-(2-methylpropanoate)  
*antiviral*

obeldésivir

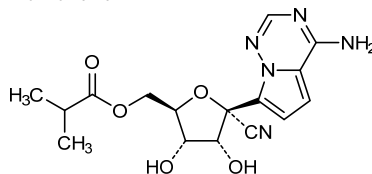
6-(2-méthylpropanoate) de 2-C-(4-aminopyrrolo[2,1-f][1,2,4]triazin-7-yl)-2,5-anhydro-D-altronnitrile  
*antiviral*

obeldesivir

6-(2-metilpropanoato) de 2-C-(4-aminopirrolo[2,1-f][1,2,4]triazin-7-il)-2,5-anhydro-D-altronnitrilo  
*antiviral*

C<sub>16</sub>H<sub>19</sub>N<sub>5</sub>O<sub>5</sub>

2647441-36-7



**pomotrelvirum**

pomotrelvir

7-chloro-*N*-[(2*S*)-1-((1*S*)-1-cyano-2-[(3*S*)-2-oxopiperidin-3-yl]éthyl)amino]-3-cyclopropyl-1-oxopropan-2-yl]-1*H*-indole-2-carboxamide  
*antiviral*

pomotrelvir

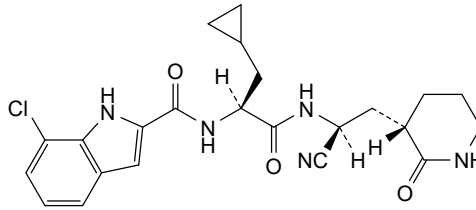
7-chloro-*N*-[(2*S*)-1-((1*S*)-1-cyano-2-[(3*S*)-2-oxopiperidin-3-yl]éthyl)amino]-3-cyclopropyl-1-oxopropan-2-yl]-1*H*-indole-2-carboxamide  
*antiviral*

pomotrelvir

7-cloro-*N*-[(2*S*)-1-((1*S*)-1-ciano-2-[(3*S*)-2-oxopiperidin-3-il]etil)amino]-3-ciclopropil-1-oxopropan-2-il]-1*H*-indole-2-carboxamida  
*antiviral*

C<sub>23</sub>H<sub>26</sub>ClN<sub>5</sub>O<sub>3</sub>

2713437-86-4

**simaravibartum #**

simaravibart

immunoglobulin G1-kappa, anti-[*Homo sapiens* severe acute respiratory syndrome coronavirus 2 (SARS-CoV-2) spike (S) protein, receptor binding domain (RBD)], *Homo sapiens* monoclonal antibody; gamma1 heavy chain *Homo sapiens* (1-455) [VH (*Homo sapiens*IGHV1-69\*08 (95.9%) -(IGHD) -IGHJ4\*01 (93.3%), CDR-IMGT [8.8.18] (26-33.51-58.97-114)) (1-125) -*Homo sapiens*IGHG1\*03, G1m3, nG1m1, G1v14-49 CH2 A1.3, A1.2, G114, G1v24 CH3 L107, S114 (CH1 R120 (222) (126-223), hinge 1-15 (224-238), CH2 L1.3>A (242), L1.2>A (243), P114>G (337) (239-348), CH3 E12 (364), M14 (366), M107>L (436), N114>S (349-453), CHS (454-455)) (126-455)], (228-210')-disulfide with kappa light chain *Homo sapiens* (1'-210') [V-KAPPA (*Homo sapiens*IGKV3-11\*01 (97.8%) -IGKJ4\*01 (100%), CDR-IMGT [6.3.5] (27-32.50-52.89-93)) (1'-103') -*Homo sapiens*IGKC\*01 (100%), Km3, A45.1 (149), V101 (187) (104'-210')]; dimer (234-234":237-237")-bisdisulfide, produced in Chinese hamster ovary (CHO) cells, glycoform alfa  
*antiviral*

simaravibart

immunoglobuline G1-kappa, anti-[domaine de liaison au récepteur (RBD) de la glycoprotéine spike (S) du coronavirus 2 du syndrome respiratoire aigu sévère (SARS-CoV-2)], anticorps monoclonal *Homo sapiens*; chaîne lourde gamma1 *Homo sapiens* (1-455) [VH (*Homo sapiens*IGHV1-69\*08 (95.9%) -(IGHD) -IGHJ4\*01 (93.3%), CDR-IMGT [8.8.18](26-33.51-58.97-114)) (1-125) -*Homo sapiens*IGHG1\*03, G1m3, nG1m1, G1v14-49 CH2 A1.3, A1.2, G114, G1v24 CH3 L107, S114 (CH1 R120 (222) (126-223), charnière 1-15 (224-238), CH2 L1.3>A (242), L1.2>A (243), P114>G (337) (239-348), CH3 E12 (364), M14 (366), M107>L (436), N114>S (349-453), CHS (454-455)) (126-455)], (228-210')-disulfure avec la chaîne légère kappa *Homo sapiens*

(1'-210') [V-KAPPA (*Homo sapiens* IGKV3-11\*01 (97.8%) -IGKJ4\*01 (100%), CDR-IMGT [6.3.5] (27-32.50-52.89-93)) (1'-103') -*Homo sapiens* IGKC\*01 (100%), Km3, A45.1 (149), V101 (187) (104'-210')]; dimère (234-234":237-237")-bisdisulfure, produit dans des cellules ovariennes de hamster chinois (CHO), glycoforme alfa *antiviral*

simaravibart

immunoglobulina G1-kappa, anti-[dominio de unión al receptor (RBD) de la glicoproteína de espícula (S) del coronavirus 2 del síndrome respiratorio agudo severo (SARS-CoV-2)], anticuerpo monoclonal *Homo sapiens*;  
cadena pesada gamma1 *Homo sapiens* (1-455) [VH (*Homo sapiens*IGHV1-69\*08 (95.9%) -(IGHD) -IGHJ4\*01 (93.3%), CDR-IMGT [8.8.18] (26-33.51-58.97-114)) (1-125) -*Homo sapiens* IGHG1\*03, G1m3, nG1m1, G1v14-49 CH2 A1.3, A1.2, G114, G1v24 CH3 L107, S114 (CH1 R120 (222) (126-223), bisagra 1-15 (224-238), CH2 L1.3>A (242), L1.2>A (243), P114>G (337) (239-348), CH3 E12 (364), M14 (366), M107>L (436), N114>S (349-453), CHS (454-455)) (126-455)], (228-210')-disulfuro con la cadena ligera kappa *Homo sapiens* (1'-210') [V-KAPPA (*Homo sapiens* IGKV3-11\*01 (97.8%) -IGKJ4\*01 (100%), CDR-IMGT [6.3.5] (27-32.50-52.89-93)) (1'-103') -*Homo sapiens* IGKC\*01 (100%), Km3, A45.1 (149), V101 (187) (104'-210')]; dímero (234-234":237-237")-bisdisulfuro, producido en las células ováricas de hamster chino (CHO), forma glicosilada alfa *antiviral*

2657609-23-7

Heavy chain / Chaîne lourde / Cadena pesada

QVQLVQSGAE VKKPGSSVKV SCKASGGTFS SYTISWVRQA PGQGLEWMGR	50
IIPILDRVMY AQKFGGRVTI TADKSTSTAY MELSSLRSED TAVYVCARRA	100
IGSDTYVEQS HFDYWGQGLT VTVSSASTKG PSVFPLAPSS KSTSGGTAAL	150
GLGLKDYFPE PVTVSWNSGA LTVSGVHTFPA VLQSSGLYSL SSVVTVPSSS	200
LGTQTYICNV NHKPSNTKVD KRVEPKSCDK THTCPPCPAP EAAGGPSVFL	250
FPPKPKDTLM ISRTPEVTCV VVDVSHEDPE VKFNWYVDGV EVHNAKTKPR	300
EQQYNSYRVR VSVLTVLHQD WLNKKEYKCK VSNKALGAPI EKTISKAKGQ	350
PREPQVITLP PSREEMTKNQ VSLTCLVKG F YPSDIAVEWE SNGQPENNYK	400
TTTPVLDSDG SFFLYSKLTV DKSRWQGGNV FSCSVLHEAL HSHYTKQSLS	450
LSPGK	455

Light chain / Chaîne légère / Cadena ligera

EIVMTQSPAT LSLSPGERAT LSCRASQSVS SYLAWYQQK F GQAPSLLIYD	50
ASNRRATGIPA RFSGSGSGTD FTLTISSLEP EDFAVYICQQ FLTFGGGTKV	100
EIKRTVAAPS VFIFPPSDEQ LKSGTASVVC LLNFPYPREA KVQWKVDNAL	150
QSGNSQESVT EQDSKDYSTYS LSSITLTSKA DYEKHKVYAC EVTHQGLSSP	200
VTKSFNRGEC	210

Post-translational modifications

Disulfide bridges location / Position des ponts disulfure / Posiciones de los puentes disulfuro

Intra-H (C23-C104)	22"-96"	152"-208"	269"-329"	375"-433"
Intra-L (C23-C104)	23"-88"	130"-190"		
Inter-H-L (h 5-CL 126)	228"-210"	228"-210"		
Inter-H-H (h 11, h 14)	234"-234"	237"-237"		

N-terminal glutaminyl cyclization / Cyclisation du glutaminyle N-terminal / Ciclación del glutamilo N-terminal

Q > pyroglutamyl (pE, 5-oxoprolyl) / pyroglutamyle (pE, 5-oxoprolyle) / piroglutamilo (pE, 5-oxoprolilo)  
H VH Q1: 1, 1"

N-glycosylation sites / Sites de N-glycosylation / Posiciones de N-glicosilación

H CH2 N84.4: 305, 305"

Fucosylated complex bi-antennary CHO-type glycans / glycanes de type CHO bi-antennaires complexes fucosylés / glicanos de tipo CHO biantenaricos complejos fucosilados.

C-terminal lysine clipping / Coupe de la lysine C-terminale / Recorte de lisina C-terminal

H CHS K2: 455, 455"

**ufrenmeranum #**

ufrenmeran

messenger RNA (mRNA), 5'-capped, encoding the codon-optimized receptor binding domain (RBD) of the severe acute respiratory syndrome coronavirus 2 (SARS-CoV-2, Wuhan-Hu-1 isolate, GenBank: MN908947.3) spike (S) glycoprotein, expressed as a fusion protein with the S glycoprotein signal peptide, flanked by 5' and 3' untranslated regions (UTRs) derived from the human  $\beta$ -globin gene (GenBank ID: NM\_000518.5) and a 3' polyadenylation (polyA) tail; contains 5-methyluridine instead of uridine (*all-U>5-Me-U*) and 5-methylcytidine instead of cytidine (*all-C>5-Me-C*).

*immunological agent for active immunization (anti-SARS-CoV-2)*

ufrenmèran

ARN messenger (ARNm), coiffé en 5', codant le domaine de liaison au récepteur (RBD) aux codons optimisés du coronavirus 2 du syndrome respiratoire aigu sévère (SARS-CoV-2, isolat Wuhan-Hu-1, GenBank: MN908947. 3) la glycoprotéine de spicule (S), exprimée sous la forme d'une protéine de fusion 5' avec le peptide signal de la glycoprotéine S, flanquée des régions non traduites (UTR) en 5' et 3' dérivées du gène de la  $\beta$ -globine humaine (GenBank ID: NM\_000518. 5) et une queue de polyadénylation (polyA) en 3'; contient de la 5-méthyluridine au lieu de l'uridine (*tout-U>5-Me-U*) et de la 5-méthylcytidine au lieu de la cytidine (*tout-C>5-Me-C*).

*agent immunologique d'immunisation active (anti-SARS-CoV-2)*

ufrenmerán

ARN mensajero (ARNm), protegido en 5', que codifica, con codones optimizados, para el dominio de unión al receptor (RBD)) de la glicoproteína de la espícula (S) del coronavirus 2 del síndrome respiratorio agudo severo (SARS-Cov-2, aislado Wuhan-Hu-1, GenBank: MN908947.3), expresado como una proteína de fusión 5' con el péptido señal de la glicoproteína S, flanqueado por regiones no traducidas (UTRs) en 5' y 3' derivadas del gen de la  $\beta$ -globina humana (GenBank ID: NM\_000518.5) y una cola de poliadenilación (polyA) en 3'; contiene 5-metiluridina en lugar de uridina (*todo-U>5-Me-U*) y 5-metilcitidina en lugar de citidina (*todo-C>5-Me-C*).

*agente inmunológico para inmunización activa (anti-SARS-CoV-2)*

2749556-96-3

**zapomeranum #**

zapomeran

self-replicating messenger RNA (mRNA), 5'-capped, encoding codon-optimised Venezuelan equine encephalitis virus (VEEV) RNA-dependent RNA polymerase (VEEV proteins nsP1, nsP2, nsP3 and nsP4) and a full-length codon-optimised pre-fusion stabilised conformation variant (K986P and V987P) of the SARS-CoV-2 (severe acute respiratory syndrome coronavirus 2) spike (S) glycoprotein (derived from GenBank ID YP\_009724390) containing furin cleavage-inactivating mutations (R682G, R683S, R685S) plus an additional mutation (D614G), flanked by 5' and 3' untranslated regions and a 3' polyadenylation (polyA) tail; generation of the capped S mRNA is under control of a VEEV subgenomic promoter.

*immunological agent for active immunization (anti-SARS-CoV-2)*

zapoméran	<p>ARN messenger (ARNm) auto-réplcatif, coiffé en 5', codant une ARN polymérase ARN-dépendante, aux codons optimisés du virus de l'encéphalite équine vénézuélienne (VEEV) (protéines VEEV nsP1, nsP2, nsP3 et nsP4) et la séquence entière aux codons optimisés d'un variant à la conformation stabilisée avant pré-fusion (K986P et V987P) de la glycoprotéine de spicule (S) du SARS-CoV-2 (coronavirus 2 du syndrome respiratoire aigu sévère) (dérivée de GenBank ID YP_009724390) contenant des mutations inactivant le clivage par la furine (R682G, R683S, R685S) plus une mutation supplémentaire (D614G), flanquée de régions non traduites en 5' et 3' et d'une queue de polyadénylation (polyA) en 3'; la génération de l'ARNm S coiffé est sous le contrôle d'un promoteur sous-génomique du VEEV.</p> <p><i>agent immunologique d'immunisation active (anti-SARS-CoV-2)</i></p>
zapomerán	<p>ARN mensajero (ARNm) auto-replicativo, protegido en 5', que codifica, con codones optimizados, para la RNA polimerasa dependiente de RNA del virus de la encefalitis equina de Venezuela (VEEV) (proteínas nsP1, nsP2, nsP3 y nsP4 del VEEV) y una variante estabilizada en conformación pre-fusión (K986P and V987P) de la glicoproteína de la espícula (S) del SARS-CoV-2 (coronavirus 2 del síndrome respiratorio agudo severo) (derivada de GenBank ID YP_009724390) completa, con codones optimizados, que contiene mutaciones inactivantes del sitio de escisión de la furina (R682G, R683S, R685S) más una mutación adicional (D614G), flanqueado por regiones no traducidas en 5' y 3' y una cola de poliadenilación (polyA) en 3'; la generación del ARNm de S protegido está bajo el control de un promotor subgenómico del VEEV.</p> <p><i>agente inmunológico para inmunización activa (anti-SARS-CoV-2)</i></p> <p style="text-align: right;">2727965-96-8</p>
<b>zeldesmeranum #</b> zeldesmeran	<p>messenger RNA (mRNA), 5'-capped, encoding a full-length, codon-optimised version of the SARS-CoV-2 (severe acute respiratory syndrome coronavirus 2) spike (S) glycoprotein (based upon GenBank ID: MT270101.1), containing the D614G mutation, flanked by a 5' untranslated region (5'UTR) derived from the 5'UTR of tobacco etch virus and a 3' untranslated region (3'UTR) derived from the 3'UTR of <i>Xenopus laevis</i> beta globin mRNA, and terminated with a 3' polyadenylation (polyA) tail; contains N<sup>1</sup>-methylpseudouridine instead of uridine (<i>all-U&gt;m<sup>1</sup>Ψ</i>).</p> <p><i>immunological agent for active immunization (anti-SARS-CoV-2)</i></p>
zeldesmérán	<p>ARN messenger (ARNm), coiffé en 5', codant la séquence entière aux codons optimisés de la glycoprotéine de spicule (S) du SARS-CoV-2 (coronavirus 2 du syndrome respiratoire aigu sévère) (basé sur GenBank ID: MT270101. 1), contenant la mutation D614G, flanquée d'une région non traduite en 5' (UTR) dérivée de l'UTR 5' du virus de l'anthrax du tabac et d'une région non traduite en 3' (UTR 3') dérivée de l'UTR 3' de l'ARNm de la bêta-globine de <i>Xenopus laevis</i>, et terminée par une queue de polyadénylation (polyA) en 3'; contient de la N<sup>1</sup>-méthylpseudouridine au lieu de l'uridine (<i>touf-U&gt;m<sup>1</sup>Ψ</i>).</p> <p><i>agent immunologique d'immunisation active (anti-SARS-CoV-2)</i></p>

zeldesmerán

ARN mensajero (ARNm), protegido en 5', que codifica, con codones optimizados, para una versión completa de la glicoproteína de la espícula (S) del SARS-CoV-2 (coronavirus 2 del síndrome respiratorio agudo severo) (basada en GenBank ID: MT270101.1) que contiene la mutación D614G, flanqueado por una región 5' no traducida (5' UTR) derivada de la 5' UTR del virus del grabado del tabaco y una región 3' no traducida (3' UTR) derivada de la 3' UTR del ARNm de la beta globina de *Xenopus laevis* y terminado con una cola de poliadenilación (polyA) en 3'; contiene N<sup>1</sup>-metilpseudouridina en lugar de uridina (*todo-U>m<sup>1</sup>Ψ*). agente inmunológico para inmunización activa (*anti-SARS-CoV-2*)

2726459-47-6

**AMENDMENTS TO PREVIOUS LISTS  
MODIFICATIONS APPORTÉES AUX LISTES ANTÉRIEURES  
MODIFICACIONES A LAS LISTAS ANTERIORES**

**Proposed International Nonproprietary Names (Prop. INN): List 78**  
**Dénominations communes internationales proposées (DCI Prop.): Liste 78**  
**Denominaciones Comunes Internacionales Propuestas (DCI Prop.): Lista 78**  
*(WHO Drug Information, Vol. 11, No. 4, 1997)*

p.158 **aviptadilum**

aviptadil	<i>replace the chemical names and structure by the following ones</i>
aviptadil	<i>remplacer les noms chimiques et la structure par les suivants</i>
aviptadil	<i>sustitúyase los nombres químicos y la estructura por los siguientes</i>

L-histidyl-L-seryl-L- $\alpha$ -aspartyl-L-alanyl-L-valyl-L-phenylalanyl-L-threonyl-L- $\alpha$ -aspartyl-L-asparaginyll-L-tyrosyl-L-threonyl-L-arginyl-L-leucyl-L-arginyl-L-lysyl-L-glutaminyll-L-methionyl-L-alanyl-L-valyl-L-lysyl-L-lysyl-L-tyrosyl-L-leucyl-L-asparaginyll-L-seryl-L-isoleucyl-L-leucyl-L-aspartamide

L-histidyl-L-séryll-L- $\alpha$ -aspartyl-L-alanyl-L-valyl-L-phénylalanyl-L-thréonyll-L- $\alpha$ -aspartyl-L-asparaginyll-L-tyrosyl-L-thréonyll-L-arginyl-L-leucyl-L-arginyl-L-lysyl-L-glutaminyll-L-méthionyl-L-alanyl-L-valyl-L-lysyl-L-lysyl-L-tyrosyl-L-leucyl-L-asparaginyll-L-séryll-L-isoleucyl-L-leucyl-L-aspartamide

L-histidil-L-seril-L- $\alpha$ -aspartil-L-alanil-L-valil-L-fenilalanil-L-treonil-L- $\alpha$ -aspartil-L-asparaginil-L-tirosil-L-treonil-L-arginil-L-leucil-L-arginil-L-lisil-L-glutaminil-L-metionil-L-alanil-L-valil-L-lisil-L-lisil-L-tirosil-L-leucil-L-asparaginil-L-seril-L-isoleucil-L-leucil-L-aspartamida

H His - Ser - Asp - Ala - Val - Phe - Thr - Asp - Asn - Tyr - Thr - Arg - Leu - Arg - Lys - Gln -  
 10

Met-Ala - Val - Lys - Lys - Tyr - Leu - Asn - Ser - Ile - Leu - Asn - NH<sub>2</sub>  
 20

**Proposed International Nonproprietary Names (Prop. INN): List 82**  
**Dénominations communes internationales proposées (DCI Prop.): Liste 82**  
**Denominaciones Comunes Internacionales Propuestas (DCI Prop.): Lista 82**  
*(WHO Drug Information, Vol. 13, No. 4, 1999)*

p.290

*suprimáse*  
vardenafil

*insertese*  
vardenafilo

**Proposed International Nonproprietary Names (Prop. INN): List 99**  
**Dénominations communes internationales proposées (DCI Prop.): Liste 99**  
**Denominaciones Comunes Internacionales Propuestas (DCI Prop.): Lista 99**  
*(WHO Drug Information, Vol. 22, No. 2, 2008)*

p.158 **velneperitum**

velneperit	<i>replace the chemical name by the following one</i>
velnépérit	<i>remplacer le nom chimique par le suivant</i>
velneperit	<i>sustitúyase el nombre químico por el siguiente</i>

*trans*-4-(2-methylpropane-2-sulfonamido)-N-[5-(trifluoromethyl)pyridin-2-yl]cyclohexanecarboxamide

*trans*-4-(2-méthylpropane-2-sulfonamido)-N-[5-(trifluorométhyl)pyridin-2-yl]cyclohexanecarboxamide

*trans*-4-(2-metilpropano-2-sulfonamido)-N-[5-(trifluorometil)piridin-2-il]ciclohexanocarboxamida

**Proposed International Nonproprietary Names (Prop. INN): List 113**  
**Dénominations communes internationales proposées (DCI Prop.): Liste 113**  
**Denominaciones Comunes Internacionales Propuestas (DCI Prop.): Lista 113**  
**(WHO Drug Information, Vol. 29, No. 2, 2015)**

p.260	<i>supprimer</i>	<i>insérer</i>
	sacituzumab govitecan	sacituzumab govitécan

**Proposed International Nonproprietary Names (Prop. INN): List 118**  
**Dénominations communes internationales proposées (DCI Prop.): Liste 118**  
**Denominaciones Comunes Internacionales Propuestas (DCI Prop.): Lista 118**  
**(WHO Drug Information, Vol. 31, No. 4, 2017)**

p.734	<b>lonapegsomatropinum#</b>	
	lonapegsomatropin	<i>replace the structure by the following one</i>
	lonapegsomatropine	<i>remplacer la structure par la suivante</i>
	lonapegsomatropina	<i>sustitúyase la estructura por la siguiente</i>

Sequence / Séquence / Secuencia

FPTIPLSRLF DNAMLRAHRL HQLAFDTYQE FEEAYIPKEQ KYSFLQNPQT 50  
 SLCFSESIPT PSNREETQQK SNLELLRISL LLIQSWLEPV QFLRSVFANS 100  
 LYGASDSNV YDLLKDLEEG IQTLMGRLED GSPRTGQIFK QTYSKFDNTS 150  
 HND DALLK<sup>N</sup>Y GLLYCFR<sup>K</sup>DM DKVETFLRIV QCRSVEGSCG F 191

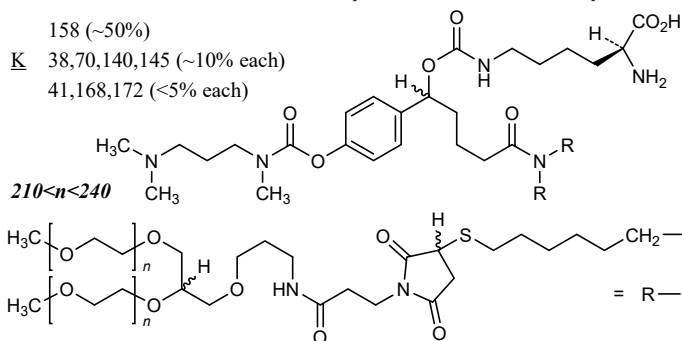
Disulfide bridges location / Position des ponts disulfure / Posición de los puentes disulfuro  
 53-165 182-189

Potential modified residues / Résidus modifiés potentiels / Restos modificados potenciales

158 (~50%)

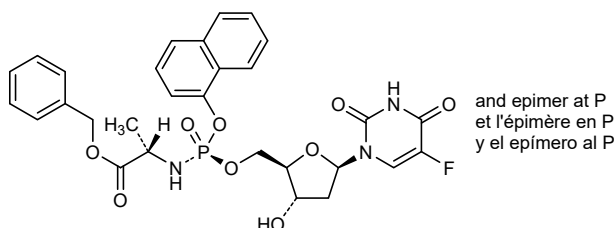
K 38,70,140,145 (~10% each)

41,168,172 (<5% each)



**Proposed International Nonproprietary Names (Prop. INN): List 119**  
**Dénominations communes internationales proposées (DCI Prop.): Liste 119**  
**Denominaciones Comunes Internacionales Propuestas (DCI Prop.): Lista 119**  
*(WHO Drug Information, Vol. 32, No. 2, 2018)*

- p.315 **fosifloxuridinum nafalbenamidum**  
 fosifloxuridine nafalbenamide *replace the structure by the following one*  
 fosifloxuridine nafalbénamide *remplacer la structure par la suivante*  
 fosifloxuridina nafalbenamida *sustitúyase la estructura por la siguiente*



**Proposed International Nonproprietary Names (Prop. INN): List 121**  
**Dénominations communes internationales proposées (DCI Prop.): Liste 121**  
**Denominaciones Comunes Internacionales Propuestas (DCI Prop.): Lista 121**  
*(WHO Drug Information, Vol. 33, No. 2, 2019)*

- p. 267 **epcoritamabum #**  
 -268 epcoritamab *replace the description by the following one*  
 épcoritamab *remplacer la description par la suivante*  
 epcoritamab *sustitúyase la descripción por la siguiente*

immunoglobulin G1-lambda/kappa, anti-[*Homo sapiens* CD3E (CD3 epsilon)] and anti-[*Homo sapiens* MS4A1 (membrane-spanning 4-domains subfamily A member 1, CD20)], monoclonal antibody, bispecific; gamma1 heavy chain chimeric anti-CD3E (1-454) [VH (*Mus musculus*IGHV10-1\*02 (93.9%) -(IGHD) -IGHJ3\*01 (93.3%)/*Homo sapiens*IGHV3-72\*01 (81.0%) -(IGHD) -IGHJ6\*01 (67.0%)] [8.10.16] (1-125) -*Homo sapiens*IGHG1\*03G1m3, nG1m1 (CH1 R120 (222) (126-223), hinge 1-15 (224-238), CH2L1.3>F (242), L1.2>E (243), D27>A (273) (239-348), CH3 E12 (364), M14(366), F85.1>L (413) (349-453), CHS K2>del (454)) (126-454)], (228-214')-disulfide with lambda light chain chimeric (1'-215') [V-LAMBDA (*Mus musculus*IGLV1\*01 (83.3%) -IGLJ1\*01 (100%)/*Homo sapiens*IGLV8-61\*01 (70.8%) -IGLJ3\*02 (100%)] [9.3.9] (1'-109') -*Homo sapiens*IGLC2\*01 (100%) (110'-215')]; gamma1 heavy chain *Homo sapiens* anti-MS4A1 (1''-451'') [VH (*Homo sapiens*IGHV3-9\*01 (96.0%) -(IGHD) -IGHJ6\*01 (100%)] [8.8.15] (1''-122'') -*Homo sapiens*IGHG1\*03 G1m3, G1m1 (CH1 R120 (219) (123-220), hinge 1-15 (221-235), CH2 L1.3>F (239), L1.2>E (240), D27>A (270) (236-345), CH3E12 (361), M14 (363), K88>R (414) (346-450), CHS K2>del (451)) (123''-451''), (225''-214'')-disulfide with kappa light chain *Homo sapiens* (1'''-214''') [V-KAPPA (*Homo sapiens*IGKV3-11\*01 (100%) -IGKJ5\*01 (100%)] [6.3.9] (1'''-107''') -*Homo sapiens*IGKC\*01 (100%), Km3 A45.1 (153), V101 (191) (108'''-214'''); dimer (234-231'':237-234'')-bisdisulfide, produced in Chinese hamster ovary (CHO)-S cell line, glycoform alfa

immunoglobuline G1-lambda/kappa, anti-[*Homo sapiens* CD3E (CD3 epsilon)] et anti-[*Homo sapiens* MS4A1 (membre 1 de la sous-famille A à 4 domaines transmembranaires, CD20)], anticorps monoclonal bispécifique;

chaîne lourde gamma1 chimérique anti-CD3E (1-454) [VH (*Mus musculus* IGHV10-1\*02 (93.9%) -(IGHD) -IGHJ3\*01 (93.3%)/*Homo sapiens* IGHV3-72\*01 (81.0%) -(IGHD) -IGHJ6\*01 (67.0%)] [8.10.16] (1-125) -*Homo sapiens* IGHG1\*03G1m3, nG1m1 (CH1 R120 (222) (126-223), charnière 1-15 (224-238), CH2 L1.3>F (242), L1.2>E (243), D27>A (273) (239-348), CH3 E12 (364), M14(366), F85.1>L (413) (349-453), CHS K2>del (454)) (126-454)], (228-214')-disulfure avec la chaîne légère lambda chimérique (1'-215') [V-LAMBDA (*Mus musculus* IGLV1\*01 (83.3%) -IGLJ1\*01 (100%)/*Homo sapiens* IGLV8-61\*01 (70.8%) -IGLJ3\*02 (100%)] [9.3.9] (1'-109') -*Homo sapiens* IGLC2\*01 (100%) (110'-215')];

chaîne lourde gamma1 *Homo sapiens* anti-MS4A1 (1"-451") [VH (*Homo sapiens* IGHV3-9\*01 (96.0%) -(IGHD) -IGHJ6\*01 (100%)] [8.8.15] (1"-122") -*Homo sapiens* IGHG1\*03G1m3, nG1m1 (CH1 R120 (219) (123-220), charnière 1-15 (221-235), CH2 L1.3>F (239), L1.2>E (240), D27>A (270) (236-345), CH3 E12 (361), M14 (363), K88>R (414) (346-450), CHS K2>del (451)) (123"-451"), (225"-214'")-disulfure avec la chaîne légère kappa *Homo sapiens* (1'"-214'") [V-KAPPA (*Homo sapiens* IGKV3-11\*01 (100%) -IGKJ5\*01 (100%)] [6.3.9] (1'"-107'") -*Homo sapiens* IGKC\*01 (100%), Km3 A45.1 (153), V101 (191) (108'"-214'")]; dimère (234-231":237-234'")-bisdisulfure, produit dans des cellules ovariennes de hamsters chinois (CHO) lignée cellulaire CHO-~~S~~, glycoforme alfa

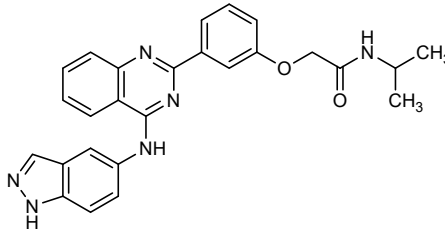
inmunoglobulina G1-lambda/kappa, anti-[*Homo sapiens* CD3E (CD3 épsilon)] y anti-[*Homo sapiens* MS4A1 (miembro 1 de la sub-familia A de 4 dominios transmembranarios, CD20)], anticuerpo monoclonal biespecífico;

cadena pesada gamma1 quimérica anti-CD3E (1-454) [VH (*Mus musculus* IGHV10-1\*02 (93.9%) -(IGHD) -IGHJ3\*01 (93.3%)/*Homo sapiens* IGHV3-72\*01 (81.0%) -(IGHD) -IGHJ6\*01 (67.0%)] [8.10.16] (1-125) -*Homo sapiens* IGHG1\*03G1m3, nG1m1 (CH1 R120 (222) (126-223), bisagra 1-15 (224-238), CH2 L1.3>F (242), L1.2>E (243), D27>A (273) (239-348), CH3 E12 (364), M14(366), F85.1>L (413) (349-453), CHS K2>del (454)) (126-454)], (228-214')-disulfuro con la cadena ligera lambda quimérica (1'-215') [V-LAMBDA (*Mus musculus* IGLV1\*01 (83.3%) -IGLJ1\*01 (100%)/*Homo sapiens* IGLV8-61\*01 (70.8%) -IGLJ3\*02 (100%)] [9.3.9] (1'-109') -*Homo sapiens* IGLC2\*01 (100%) (110'-215')];

cadena pesada gamma1 *Homo sapiens* anti-MS4A1 (1"-451") [VH (*Homo sapiens* IGHV3-9\*01 (96.0%) -(IGHD) -IGHJ6\*01 (100%)] [8.8.15] (1"-122") -*Homo sapiens* IGHG1\*03G1m3, nG1m1 (CH1 R120 (219) (123-220), bisagra 1-15 (221-235), CH2 L1.3>F (239), L1.2>E (240), D27>A (270) (236-345), CH3 E12 (361), M14 (363), K88>R (414) (346-450), CHS K2>del (451)) (123"-451"), (225"-214'")-disulfuro con la cadena ligera kappa *Homo sapiens* (1'"-214'") [V-KAPPA (*Homo sapiens* IGKV3-11\*01 (100%) -IGKJ5\*01 (100%)] [6.3.9] (1'"-107'") -*Homo sapiens* IGKC\*01 (100%), Km3 A45.1 (153), V101 (191) (108'"-214'")]; dímero (234-231":237-234'")-bisdisulfuro, producido en las células ováricas de hamsters chinos (CHO) línea celular CHO-~~S~~, glicofoma alfa

**Proposed International Nonproprietary Names (Prop. INN): List 123**  
**Dénominations communes internationales proposées (DCI Prop.): Liste 123**  
**Denominaciones Comunes Internacionales Propuestas (DCI Prop.): Lista 123**  
*(WHO Drug Information, Vol. 34, No. 2, 2020)*

- p.283 **belumosudilum**  
 belumosudil *replace the structure by the following one*  
 belumosudil *remplacer la structure par la suivante*  
 belumosudil *sustitúyase la estructura por la siguiente*



- p.346 *supprimer*  
 lutécium (<sup>177</sup>Lu) vipivotide tétraxetan *insérer*  
 lutécium (<sup>177</sup>Lu) vipivotide tétraxétan

- p. 394 **taniraleucelum #**  
 -395 taniraleucel *replace the description by the following one*  
 taniraleucel *remplacer la description par la suivante*  
 taniraleucel *sustitúyase la descripción por la siguiente*

Allogeneic natural killer (NK) cells derived from CD34+ **human placental** stem/progenitor cells. The cells are expanded and differentiated in the presence of cytokines including thrombopoietin, SCF, Flt3 ligand, IL-7, IL-15 and IL-2 (~~average population doubling 15~~) to generate the NK cell population. Cells (on average >95% of the cells) are CD56+/CD3- and have detectable levels of CD94, NKG2D and CD16. The cells secrete IFN- $\gamma$ , perforin and granzyme B, and have cytolytic activity against human tumour cell lines.

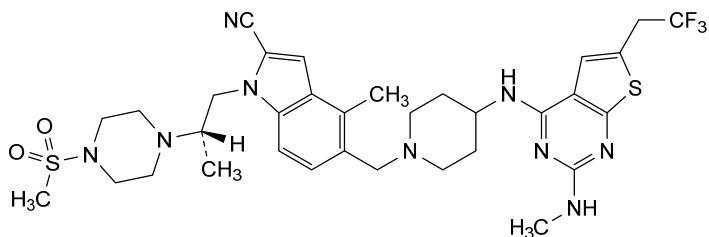
Cellules tueuses naturelles (NK) allogéniques dérivées de cellules souches/progénitrices hématopoïétiques CD34+ **humaines placentaires** du sang de cordon ombilical (UCB). Les cellules sont amplifiées et différenciées en présence de cytokines, notamment la thrombopoïétine, le SCF, le ligand de Flt3, l'IL-7, l'IL-15 et l'IL-2 (~~la population double en moyenne 15 fois~~) pour générer la population de cellules NK. Les cellules (en moyenne >95% des cellules) sont CD56+/CD3- et ont des niveaux détectables de CD94, NKG2D et CD16. Les cellules sécrètent l'IFN- $\gamma$ , la perforine et la granzyme B, et ont une activité cytolytique contre les lignées de cellules tumorales humaines.

Células natural killer (NK) alogénicas derivadas de células madre/progenitoras hematopoyéticas **CD34+ placentarias humanas** de sangre de cordón umbilical (UCB). Las células se expanden y diferencian en presencia de citoquinas incluyendo trombopoyetina, SCF, ligando de Flt3, IL-7, IL-15 e IL-2 (~~la media de duplicaciones de la población es 15 veces~~) hasta generar la población de células NK. Las células (como media >95% de las células) son CD56+/CD3- y tienen niveles detectables de CD94, NKG2D y CD16. Las células secretan IFN- $\gamma$ , perforina y granzima B, y tienen actividad citolítica frente a líneas celulares tumorales humanas.

- p.411 *delete/supprimer/suprimáse* *insert/insérer/insertese*  
 -413 **ensomafuspum alfa** **englumafuspum alfa**  
 ansomafusp alfa englumafusp alfa  
 ansomafusp alfa englumafusp alfa  
 ansomafusp alfa englumafusp alfa

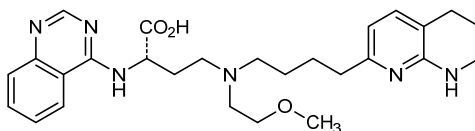


- p.574 **ziftomenibum**  
 ziftomenib *replace the structure by the following one*  
 ziftoménib *remplacer la structure par la suivante*  
 ziftomenib *sustitúyase la estructura por la siguiente*



**Proposed International Nonproprietary Names (Prop. INN): List 126**  
**Dénominations communes internationales proposées (DCI Prop.): Liste 126**  
**Denominaciones Comunes Internacionales Propuestas (DCI Prop.): Lista 126**  
*(WHO Drug Information, Vol. 35, No. 4, 2021)*

- p.941 **bexotegrastum**  
 bexotegrast *replace the structure by the following one*  
 béxotégrast *remplacer la structure par la suivante*  
 bexotegrast *sustitúyase la estructura por la siguiente*

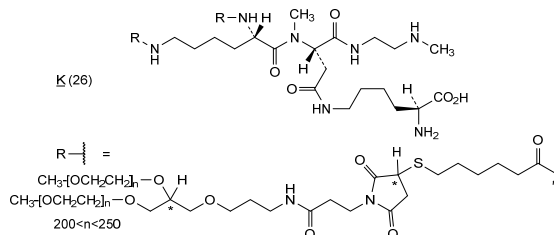


- p.1036 **navepegritidum**  
 navepegritide *replace the structure by the following one*  
 navépégritide *remplacer la structure par la suivante*  
 navepegritida *sustitúyase la estructura por la siguiente*

LQHPNARKY KGANKKGLSK GCFGLKLDRI GSMGLGC 38

Disulfide bridges location / Position des ponts disulfure / Posiciones de los puentes disulfuro  
 22-38

Modified residues / Résidus modifiés / Restos modificados



p. 1038 **nulabeglogenum autogedtemcelum #**

-1039

nulabeglogene autogedtemcel  
 nulabéglogène autogedtemcel  
 nulabeglogén autogedtemcel

*replace the description by the following one  
 remplacer la description par la suivante  
 sustitúyase la descripción por la siguiente*

autologous CD34+ hematopoietic stem and progenitor cells (HSPCs) obtained by apheresis from sickle cell patients, genetically modified *ex vivo* by CRISPR/Cas9 (clustered regularly interspaced short palindromic repeats/CRISPR-associated protein 9) mediated gene editing consisting of a single guide RNA (sgRNA) targeting the first exon of the human  $\beta$ -globin (HBB) gene, and using a homology-directed repair mechanism to correct **the nucleic acid sequence encoding** the glutamic acid to valine mutation at position 6 in the HBB **protein** via an adeno-associated virus serotype 6 (AAV6) vector in which the sgRNA targeting sequence is located between two HBB homology arms. Following genetic modification, each cell can have one of six combinations of HBB allele (WT/WT, INDEL/WT, INDEL/INDEL, INDEL/HR, WT/HR, HR/HR, where WT refers to the wild type sickle cell disease allele, INDEL refers to an insertion/deletion event but no correction of the HBB gene, and HR refers to a corrected HBB allele). On average 56% of the cells have at least one corrected HBB allele (HR).

The cell suspension is enriched for CD34+ cells using magnetic bead separation. The substance consists of cells with the CD45+ and CD34+ phenotype, with  $\geq 70\%$  CD34 purity. The functional characterization of the cells is based on the ability to form erythroid and myeloid colonies on semisolid methylcellulose-based medium.

cellules souches et progénitrices hématopoïétiques CD34+ autologues (HSPC) obtenues par aphérèse à partir de patients atteints de drépanocytose, génétiquement modifiées *ex vivo* par édition génique médiée par CRISPR/Cas9 (courtes répétitions palindromiques groupées et régulièrement espacées / protéine 9 associée à CRISPR) consistant d'un ARN guide unique (sgRNA) ciblant le premier exon du gène de la  $\beta$ -globine humaine (HBB), et l'utilisation d'un mécanisme de réparation dirigé par homologie pour corriger la mutation de **la séquence d'acide nucléique codant** l'acide glutamique en valine en position 6 dans la **protéine** HBB via un vecteur du virus adéno-associé de sérotype 6 (AAV6) dans lequel la séquence de ciblage de l'ARNg est située entre deux bras d'homologie HBB. Après modification génétique, chaque cellule peut présenter l'une des six combinaisons de l'allèle HBB (WT/WT, INDEL/WT, INDEL/INDEL, INDEL/HR, WT/HR, HR/HR, où WT désigne l'allèle sauvage de la drépanocytose, INDEL désigne un événement d'insertion/délétion mais sans correction du gène HBB, et HR désigne un allèle HBB corrigé). En moyenne, 56 % des cellules présentent au moins un allèle HBB corrigé (HR).

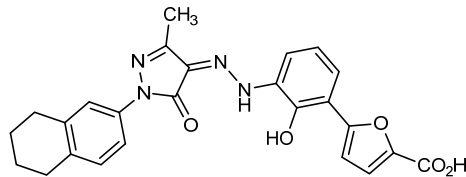
La suspension cellulaire est enrichie en cellules CD34+ utilisant la séparation par billes magnétiques. La substance est constituée de cellules présentant les phénotypes CD45+ et CD34+, avec une pureté CD34  $\geq 70\%$ . La caractérisation fonctionnelle des cellules est basée sur la capacité à former des colonies érythroïdes et myéloïdes sur un milieu semi-solide à base de méthylcellulose

células madre y progenitoras hematopoyéticas (HSPCs) autólogas CD34+ obtenidas por aféresis de pacientes con anemia falciforme, modificadas genéticamente *ex vivo* mediante edición génica mediada por CRISPR/Cas9 (repeticiones palindrómicas cortas agrupadas y espaciadas regularmente / proteína asociada a CRISPR 9) consistente en un único RNA guía (sgRNA) dirigido al primer exón del gen de la  $\beta$ -globina humana (HBB) y usando un mecanismo de reparación dirigida por homología para corregir la mutación de **la secuencia de ácido nucleico que codifica** el ácido glutámico a valina en la posición 6 de **la proteína** HBB por medio de un vector de virus adenoasociado de serotipo 6 (AAV6) en el que la secuencia a la que se dirige el sgRNA se localiza entre dos brazos de homología en el HBB. Tras la modificación genética, cada célula puede tener una de seis combinaciones de alelos HBB (WT/WT, INDEL/WT, INDEL/INDEL, INDEL/HR, WT/HR, HR/HR, donde WT se refiere al alelo del tipo silvestre de la anemia falciforme, INDEL se refiere a un evento de inserción/delección, pero no corrección, del gen HBB, y HR se refiere a un alelo de HBB corregido). De media, el 56% de las células tienen al menos un alelo HBB corregido (HR).

La suspensión celular se enriquece en células CD34+ usando una separación con bolas magnéticas. La sustancia consiste en células con el fenotipo CD45+ y CD34+, con  $\geq 70\%$  de pureza. La caracterización funcional de las células se basa en la capacidad de formar colonias eritroides y mieloides en medio semisólido basado en metilcelulosa..

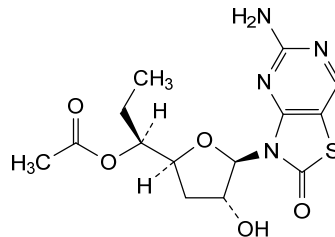
p.1066 **rafutrombopagum**  
rafutrombopag  
rafutrombopag  
rafutrombopag

*replace the structure by the following one*  
*remplacer la structure par la suivante*  
*sustitúyase la estructura por la siguiente*



p.1081 **ruzotolimodum**  
ruzotolimod  
ruzotolimod  
ruzotolimod

*replace the structure by the following one*  
*remplacer la structure par la suivante*  
*sustitúyase la estructura por la siguiente*



p. 1094 **trontinemabum #**  
-1097 trontinemab  
trontinémab  
trontinemab

*replace the description and the structure by the following ones*  
*remplacer la structure par la suivante*  
*sustitúyase la estructura por la siguiente*

immunoglobulin [G1-VH-Ckappa\_Vkappa-CH1]\_[G1\_kappa] with domain crossover, anti-[*Homo sapiens* APP (amyloid beta, A4 precursor protein) Abeta, conformational epitope 1-40/42] and anti-[*Homo sapiens* TFRC (transferrin receptor, p90, CD71)], humanized monoclonal antibody, bispecific;  
fused chain G1-VH-Ckappa bispecific, anti-APP A beta and anti-TFRC (1-702) [gamma1 heavy chain anti-APP Abeta (1-455) humanized [VH (*Homo sapiens* IGHV3-23\*04 (92.9%) -(IGHD) -IGHJ4\*01 (93.3%), CDR-IMGT [8.8.19] (26-33.51-58.97-115)] (1-126) -*Homo sapiens* IGHG1\*01, G1m17.1, G1v32 CH3 W22 (CH1 K26>E (156), K119>E (222), K120 (223) (127-224), hinge 1-15 (225-239), CH2 (240-349), CH3 S10>C (363), D12 (365), L14 (367), T22>W (375) (350-454), CHS K2>del (455)) (127-455)] -18-mer diglycyl-seryl-tris(tetraglycyl-seryl) linker (456-473) -VH-C kappa chain anti-TFRC (474-702) humanized [VH (*Homo sapiens* IGHV4-31\*02 (76.0%) -(IGHD) -IGHJ5\*02 (100%), CDR-IMGT [8.7.19] (498-505.523-529.566-584)) (474-595) -alanyl-seryl (596-597) -C-KAPPA (*Homo sapiens* IGKC\*01 (100%), Km3 A45.1 (641), V101 (679) (598-702)], (229-215')-disulfide with kappa light chain anti-APP Abeta (1'-215') humanized [V-KAPPA (*Homo sapiens* IGKV3D-7\*01 (89.6%) -IGKJ1\*01 (100%), CDR-IMGT [7.3.9] (27-33.51-53.90-98)] (1'-108') -*Homo sapiens* IGKC\*01 (100%), Km3 A45.1 (154), V101 (192), E12>R (124), Q13>K (125) (109'-215')],

(702-215<sup>'''</sup>)-disulfide with Vkappa-CH1 chain anti-TFRC (1<sup>'''</sup>-215<sup>'''</sup>) humanized [V-KAPPA (*Homo sapiens* IGKV1-13\*02 (94.4%) -IGKJ4\*01 (100%), CDR-IMGT [6.3.12] (27-32.50-52.89-100)) (1<sup>'''</sup>-110<sup>'''</sup>)-diseryl (111<sup>'''</sup>-112<sup>'''</sup>)-CH1-hinge (*Homo sapiens* IGHG1\*01 CH1-h, G1m17 (CH1 K120 (209) (113<sup>'''</sup>-210<sup>'''</sup>), hinge 1-5 (211<sup>'''</sup>-215<sup>'''</sup>)) (113<sup>'''</sup>-215<sup>'''</sup>)], gamma1 heavy chain anti-APP Abeta (1<sup>'''</sup>-456<sup>'''</sup>) humanized [V (*Homo sapiens* IGHV3-23\*04 (92.9%) -(IGHD) -IGHJ4\*01 (93.3%), CDR-IMGT [8.8.19] (26-33.51-58.97-115)) (1<sup>'''</sup>-126<sup>'''</sup>)] -*Homo sapiens* IGHG1\*01, G1m17, 1, G1v33 CH3 S22, A24, V86 (CH1 K26>E (156), K119>E (222), K120 (223) (127<sup>'''</sup>-224<sup>'''</sup>), hinge 1-15 (225<sup>'''</sup>-239<sup>'''</sup>), CH2 (240<sup>'''</sup>-349<sup>'''</sup>), CH3 Y5>C (358), D12 (365), L14 (367), T22>S (375), L24>A (377), Y86>V (416) (350<sup>'''</sup>-454<sup>'''</sup>), CHS (455<sup>'''</sup>-456<sup>'''</sup>)) (127<sup>'''</sup>-456<sup>'''</sup>)], (229<sup>'''</sup>-215<sup>'''</sup>)-disulfide with kappa light chain anti-APP Abeta (1<sup>'''</sup>-215<sup>'''</sup>) humanized [V-KAPPA (*Homo sapiens* IGKV3D-7\*01 (89.6%) -IGKJ1\*01 (100%), CDR-IMGT [7.3.9] (27-33.51-53.90-98)) (1<sup>'''</sup>-108<sup>'''</sup>)] -*Homo sapiens* IGKC\*01 (100%), Km3 A45.1 (154), V101 (192) **E12>R (124), Q13>K (125)** (109<sup>'''</sup>-215<sup>'''</sup>)], dimer (235-235<sup>'''</sup>:238-238<sup>'''</sup>:363-358<sup>'''</sup>)-trisdysulfide, produced in Chinese hamster ovary (CHO) cells, glycoform alfa

Heavy chain / Chaîne lourde / Cadena pesada: anti-APP beta 1-40/42, anti-TFRC (H)  
 QVELVESGGG LVQPGGSLRL SCAASGFTFS SYAMSWVRQA PGKGLEWVSA 50  
 INASGTRTYI ADSVKGRFTI SRDNSKNTLY LQMNSLRAED TAVYYCARGK 100  
 GNTHKPGYIV RYFDVWQGT LVTSSASTK GPSVFLLAPS SKSTSGGTA 150  
 LGCLVEDYFP EPVTVSWNSG ALTSVGHVFP AVLQSSGLYS LSSVTVFSS 200  
 SLGTQTYICN VNHKPSNTRV DEKVEPKSCD KTHTCPPCPA PELLGGPSVF 250  
 LFPFKPKDIT MISRTPEVTC VVVVDSHEDP EVKFNWYVDG VEVHNAKTKP 300  
 REEQYNSTYR VVSVLTVLHQ DNLNGKEYKC KVSNKALPAP IEKTIKSKAG 350  
 QPREPQVTL PPCRDELTKN QVSLWCLVKG FYPDSIAVEW ESNQGPENNY 400  
 KTTTPVLDSD GSFLLYSKLT VDKSRWQQGN VFSCSVMHFA LHNHYTQKSL 450  
 SLSPGGSGG GSGGGGGSGG GGSQSMQESG PGLVKPSQTL SLTCTVSGFS 500  
 LSSYKMSWIR QHPGKLEWII GYIWSGGSTD YASWAKSRVT ISKTSTTVSL 550  
 KLSSTVAADT AVYVCARRYG TSYPDYGDAS GFDPWQGT LVTSSASVAA 600  
 PSVFIFFPSD EQLKSGTASV VCLLNNFYPR EAKVQWKVDN ALQSGNSQES 650  
 VTEQDSKST YSLSLTLLS KADYEKHKVY ACEVTHQGLS SPVTKSFNRG 700  
 EC 702

Heavy chain / Chaîne lourde / Cadena pesada: anti-APP A beta 1-40/42 (H<sup>'''</sup>)  
 QVELVESGGG LVQPGGSLRL SCAASGFTFS SYAMSWVRQA PGKGLEWVSA 50  
 INASGTRTYI ADSVKGRFTI SRDNSKNTLY LQMNSLRAED TAVYYCARGK 100  
 GNTHKPGYIV RYFDVWQGT LVTSSASTK GPSVFLLAPS SKSTSGGTA 150  
 LGCLVEDYFP EPVTVSWNSG ALTSVGHVFP AVLQSSGLYS LSSVTVFSS 200  
 SLGTQTYICN VNHKPSNTRV DEKVEPKSCD KTHTCPPCPA PELLGGPSVF 250  
 LFPFKPKDIT MISRTPEVTC VVVVDSHEDP EVKFNWYVDG VEVHNAKTKP 300  
 REEQYNSTYR VVSVLTVLHQ DNLNGKEYKC KVSNKALPAP IEKTIKSKAG 350  
 QPREPQVTL PPSRDELTKN QVSLSCAVKG FYPDSIAVEW ESNQGPENNY 400  
 KTTTPVLDSD GSFLLYSKLT VDKSRWQQGN VFSCSVMHFA LHNHYTQKSL 450  
 SLSPGK 456

Light chain / Chaîne légère / Cadena ligera: kappa, anti-APP Abeta 140/42 (L<sup>'''</sup>)  
 DIVLTQSPAT LSLSPGERAT LSCRASQSVS SSYLAWYQQK PGQAPRLLIY 50  
 GASSRATGVP ARFSGSGSTG DFTLTISLQPEDFATYYCL QIYNNPITFG 100  
 QGTVKEIKRT VAAPSVFIFP PDRKRLKSGT ASVCLLNFF YPREAKVQWK 150  
 VDNALQSGNS QESVTEQDSK DSTYLSLSTL TLSKADYEHK KVIACEVTHQ 200  
 GLSSPVTKSF NRGE 215

Light chain / Chaîne légère / Cadena ligera: Vkappa-CH1, anti-TFRC (L<sup>'''</sup>)  
 AIQLTQSPSS LSASVGRDVT ITCRASQSVS SYLAWYQQK GKAPKLLIYR 50  
 ASTLAVGVPV RFSGSGSGTD FTLTISLQPEDFATYYCQY NYASSNVNDT 100  
 FGGGTQKVEIK SSASTKGPSV PFLAPSSKST SGGTAALGLCL VRDYFPEPVT 150  
 VSWNSGALTS GVHTFPAVLQ SGLYSLSV VTVFSSSLGT QTYICNVNHK 200  
 PSNTKVDKVK EPKSC 215

**Post-translational modifications**

Disulfide bridges location / Position des ponts disulfure / Posiciones de los puentes disulfuro  
 Intra-H (C23-C104) 22-96 153-209 270-330 376-434 494-565 622-682  
 22<sup>'''</sup>-96<sup>'''</sup> 153<sup>'''</sup>-209<sup>'''</sup> 270<sup>'''</sup>-330<sup>'''</sup> 376<sup>'''</sup>-434<sup>'''</sup>  
 Intra-L (C23-C104) 23<sup>'''</sup>-89<sup>'''</sup> 135<sup>'''</sup>-195<sup>'''</sup>  
 23<sup>'''</sup>-89<sup>'''</sup> 135<sup>'''</sup>-195<sup>'''</sup>  
 23<sup>'''</sup>-88<sup>'''</sup> 139<sup>'''</sup>-195<sup>'''</sup>  
 Inter-H-L (h 5-CL 126) 229-215<sup>'''</sup> 229<sup>'''</sup>-215<sup>'''</sup> (CL126-h 5) 702-215<sup>'''</sup>  
 Inter-H-H (h 11, h 14) 235-235<sup>'''</sup> 238-238<sup>'''</sup> (CH3 S10>C-CH3 Y5>C) 363-358<sup>'''</sup>

N-terminal glutaminyl cyclization / Cyclisation du glutaminyle N-terminal / Ciclación del glutamínilo N-terminal  
 H VH Q1 > pyrroglutamyl (pE, 5-oxoprolyl): 1, 1<sup>'''</sup>

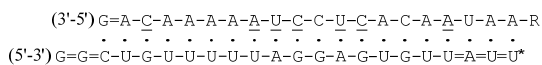
N-glycosylation sites / Sites de N-glycosylation / Posiciones de N-glicosilación  
 H VH N57: 52, 52<sup>'''</sup>  
 Glycosylated / glycosylé / glicosilado  
 H CH2 N84.4: 306, 306<sup>'''</sup>

Fucosylated complex bi-antennary CHO-type glycans / glycanes de type CHO bi-antennaires complexes fucosylés / glicanos de tipo CHO biantenarios complejos fucosilados.

C-terminal lysine clipping / Coupure de la lysine C-terminale / Recorte de lisina C-terminal  
 H CHS K2: 456<sup>'''</sup>

p.1112 **xalnesiranum**  
 xalnesiran  
 xalnésiran  
 xalnesirán

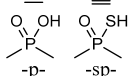
replace the structure by the following one  
 remplacer la structure par la suivante  
 sustitúyase la estructura por la siguiente



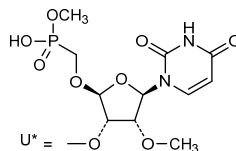
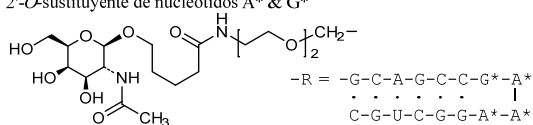
Legend

X : 2'-deoxy-2'-fluoronucleotide / 2'-désoxy-2'-fluoronucléotide / 2'-desoxi-2'-fluoronucleótido

X : 2'-O-methylnucleotide / 2'-O-méthylnucléotide / 2'-O-metilnucléotido



2'-O-substituent of nucleotides A\* & G\* / 2'-O-substituant des nucléotides A\* & G\* / 2'-O-sustituyente de nucleótidos A\* & G\*



## ANNEX 1

**PROCEDURE FOR THE SELECTION OF RECOMMENDED INTERNATIONAL NONPROPRIETARY NAMES FOR PHARMACEUTICAL SUBSTANCES<sup>1</sup>**

The following procedure shall be followed by the World Health Organization (hereinafter also referred to as "WHO") in the selection of recommended international nonproprietary names for pharmaceutical substances, in accordance with resolution WHA3.11 of the World Health Assembly, and in the substitution of such names.

*Article 1* - Proposals for recommended international nonproprietary names and proposals for substitution of such names shall be submitted to WHO on the form provided therefore. The consideration of such proposals shall be subject to the payment of an administrative fee designed only to cover the corresponding costs of the Secretariat of WHO ("the Secretariat"). The amount of this fee shall be determined by the Secretariat and may, from time to time, be adjusted.

*Article 2* - Such proposals shall be submitted by the Secretariat to the members of the Expert Advisory Panel on the International Pharmacopoeia and Pharmaceutical Preparations designated for this purpose, such designated members hereinafter referred to as "the INN Expert Group", for consideration in accordance with the "General principles for guidance in devising International Nonproprietary Names for Pharmaceutical Substances", annexed to this procedure<sup>2</sup>. The name used by the person discovering or first developing and marketing a pharmaceutical substance shall be accepted, unless there are compelling reasons to the contrary.

*Article 3* - Subsequent to the examination provided for in article 2, the Secretariat shall give notice that a proposed international nonproprietary name is being considered.

a) Such notice shall be given by publication in *WHO Drug Information*<sup>3</sup> and by letter to Member States and to national and regional pharmacopoeia commissions or other bodies designated by Member States.

i) Notice shall also be sent to the person who submitted the proposal ("the original applicant") and other persons known to be concerned with a name under consideration.

b) Such notice shall:

i) set forth the name under consideration;

ii) identify the person who submitted the proposal for naming the substance, if so requested by such person;

iii) identify the substance for which a name is being considered;

iv) set forth the time within which comments and objections will be received and the person and place to whom they should be directed;

v) state the authority under which WHO is acting and refer to these rules of procedure.

c) In forwarding the notice, the Secretariat shall request that Member States take such steps as are necessary to prevent the acquisition of proprietary rights in the proposed name during the period it is under consideration by WHO.

*Article 4* - Comments on the proposed name may be forwarded by any person to WHO within four months of the date of publication, under article 3, of the name in *WHO Drug Information*.

---

<sup>1</sup> See Annex 1 in WHO Technical Report Series, No. 581, 1975. The original text was adopted by the Executive Board in resolution EB15.R7 and amended in resolutions EB43.R9 and EB115.R4.

<sup>2</sup> See Annex 2.

<sup>3</sup> Before 1987, lists of international nonproprietary names were published in the *Chronicle of the World Health Organization*.

*Article 5* - A formal objection to a proposed name may be filed by any interested person within four months of the date of publication, under article 3, of the name in *WHO Drug Information*.

Such objection shall:

- i) identify the person objecting;
- ii) state his or her interest in the name;
- iii) set forth the reasons for his or her objection to the name proposed.

*Article 6* - Where there is a formal objection under article 5, WHO may either reconsider the proposed name or use its good offices to attempt to obtain withdrawal of the objection. Without prejudice to the consideration by WHO of a substitute name or names, a name shall not be selected by WHO as a recommended international nonproprietary name while there exists a formal objection thereto filed under article 5 which has not been withdrawn.

*Article 7* - Where no objection has been filed under article 5, or all objections previously filed have been withdrawn, the Secretariat shall give notice in accordance with subsection (a) of article 3 that the name has been selected by WHO as a recommended international nonproprietary name.

*Article 8* - In forwarding a recommended international nonproprietary name to Member States under article 7, the Secretariat shall:

- a) request that it be recognized as the nonproprietary name for the substance; and
- b) request that Member States take such steps as are necessary to prevent the acquisition of proprietary rights in the name and to prohibit registration of the name as a trademark or trade name.

*Article 9*

a) In the extraordinary circumstance that a previously recommended international nonproprietary name gives rise to errors in medication, prescription or distribution, or a demonstrable risk thereof, because of similarity with another name in pharmaceutical and/or prescription practices, and it appears that such errors or potential errors cannot readily be resolved through other interventions than a possible substitution of a previously recommended international nonproprietary name, or in the event that a previously recommended international nonproprietary name differs substantially from the nonproprietary name approved in a significant number of Member States, or in other such extraordinary circumstances that justify a substitution of a recommended international nonproprietary name, proposals to that effect may be filed by any interested person. Such proposals shall be submitted on the form provided therefore and shall:

- i) identify the person making the proposal;
- ii) state his or her interest in the proposed substitution; and
- iii) set forth the reasons for the proposal; and
- iv) describe, and provide documentary evidence regarding the other interventions undertaken in an effort to resolve the situation, and the reasons why these other interventions were inadequate.

Such proposals may include a proposal for a new substitute international nonproprietary name, devised in accordance with the General principles, which takes into account the pharmaceutical substance for which the new substitute international nonproprietary name is being proposed.

The Secretariat shall forward a copy of the proposal, for consideration in accordance with the procedure described in subsection (b) below, to the INN Expert Group and the original applicant or its successor (if different from the person bringing the proposal for substitution and provided that the original applicant or its successor is known or can be found through diligent effort, including contacts with industry associations).

In addition, the Secretariat shall request comments on the proposal from:

- i) Member States and national and regional pharmacopoeia commissions or other bodies designated by Member States (by including a notice to that effect in the letter referred to in article 3(a), and
- ii) any other persons known to be concerned by the proposed substitution.

The request for comments shall:

- i) state the recommended international nonproprietary name that is being proposed for substitution (and the proposed substitute name, if provided);
- ii) identify the person who submitted the proposal for substitution (if so requested by such person);
- iii) identify the substance to which the proposed substitution relates and reasons put forward for substitution;
- iv) set forth the time within which comments will be received and the person and place to whom they should be directed; and
- v) state the authority under which WHO is acting and refer to these rules of procedure.

Comments on the proposed substitution may be forwarded by any person to WHO within four months of the date of the request for comments.

b) After the time period for comments referred to above has elapsed, the Secretariat shall forward any comments received to the INN Expert Group, the original applicant or its successor and the person bringing the proposal for substitution. If, after consideration of the proposal for substitution and the comments received, the INN Expert Group, the person bringing the proposal for substitution and the original applicant or its successor all agree that there is a need to substitute the previously recommended international nonproprietary name, the Secretariat shall submit the proposal for substitution to the INN Expert Group for further processing. Notwithstanding the foregoing, the original applicant or its successor shall not be entitled to withhold agreement to a proposal for substitution in the event the original applicant or its successor has no demonstrable continuing interest in the recommended international nonproprietary name proposed for substitution.

In the event that a proposal for substitution shall be submitted to the INN Expert Group for further processing, the INN Expert Group will select a new international nonproprietary name in accordance with the General principles referred to in article 2 and the procedure set forth in articles 3 to 8 inclusive. The notices to be given by the Secretariat under article 3 and article 7, respectively, including to the original applicant or its successor (if not the same as the person proposing the substitution, and provided that the original applicant or its successor is known or can be found through diligent effort, including contacts with industry associations), shall in such event indicate that the new name is a substitute for a previously recommended international nonproprietary name and that Member States may wish to make transitional arrangements in order to accommodate existing products that use the previously recommended international nonproprietary name on their label in accordance with national legislation.

If, after consideration of the proposal for substitution and the comments received in accordance with the procedure described above, the INN Expert Group, the original applicant or its successor and the person bringing the proposal for substitution do not agree that there are compelling reasons for substitution of a previously recommended international nonproprietary name, this name shall be retained (provided always that the original applicant or its successor shall not be entitled to withhold agreement to a proposal for substitution in the event that the original applicant or its successor has no demonstrable continuing interest in the recommended international nonproprietary name proposed to be substituted). In such an event, the Secretariat shall advise the person having proposed the substitution, as well as the original applicant or its

successor (if not the same as the person proposing the substitution, and provided that the original applicant or its successor is known or can be found through diligent effort, including contacts with industry associations), Member States, national and regional pharmacopoeia commissions, other bodies designated by Member States, and any other persons known to be concerned by the proposed substitution that, despite a proposal for substitution, it has been decided to retain the previously recommended international nonproprietary name (with a description of the reason(s) why the proposal for substitution was not considered sufficiently compelling).

## ANNEX 2

### GENERAL PRINCIPLES FOR GUIDANCE IN DEVISING INTERNATIONAL NONPROPRIETARY NAMES FOR PHARMACEUTICAL SUBSTANCES<sup>1</sup>

1. International Nonproprietary Names (INN) should be distinctive in sound and spelling. They should not be inconveniently long and should not be liable to confusion with names in common use.

2. The INN for a substance belonging to a group of pharmacologically related substances should, where appropriate, show this relationship. Names that are likely to convey to a patient an anatomical, physiological, pathological or therapeutic suggestion should be avoided.

*These primary principles are to be implemented by using the following secondary principles:*

3. In devising the INN of the first substance in a new pharmacological group, consideration should be given to the possibility of devising suitable INN for related substances, belonging to the new group.

4. In devising INN for acids, one-word names are preferred; their salts should be named without modifying the acid name, e.g. "oxacillin" and "oxacillin sodium", "ibufenac" and "ibufenac sodium".

5. INN for substances which are used as salts should in general apply to the active base or the active acid. Names for different salts or esters of the same active substance should differ only in respect of the name of the inactive acid or the inactive base.

For quaternary ammonium substances, the cation and anion should be named appropriately as separate components of a quaternary substance and not in the amine-salt style.

6. The use of an isolated letter or number should be avoided; hyphenated construction is also undesirable.

7. To facilitate the translation and pronunciation of INN, "f" should be used instead of "ph", "t" instead of "th", "e" instead of "ae" or "oe", and "i" instead of "y"; the use of the letters "h" and "k" should be avoided.

8. Provided that the names suggested are in accordance with these principles, names proposed by the person discovering or first developing and marketing a pharmaceutical preparation, or names already officially in use in any country, should receive preferential consideration.

9. Group relationship in INN (see General principle 2) should if possible be shown by using a common stem. The following list contains examples of stems for groups of substances, particularly for new groups. There are many other stems in active use.<sup>2</sup> Where a stem is shown without any hyphens it may be used anywhere in the name.

---

<sup>1</sup> In its Twentieth report (WHO Technical Report Series, No. 581, 1975), the WHO Expert committee on Nonproprietary Names for Pharmaceutical Substances reviewed the general principles for devising, and the procedures for selecting, INN in the light of developments in pharmaceutical compounds in recent years. The most significant change has been the extension to the naming of synthetic chemical substances of the practice previously used for substances originating in or derived from natural products. This practice involves the use of a characteristic "stem" indicative of a common property of the members of a group. The reason for, and the implications of, the change are fully discussed.

The guiding principles were updated during the 13<sup>th</sup> consultation on nonproprietary names for pharmaceutical substances (Geneva, 27-29 April 1983) (PHARM S/NOM 928 13 May 1983, revised 18 August 1983).

<sup>2</sup> A more extensive listing of stems is contained in the working document WHO/EMP/RHT/TSN/2018.1 which is regularly updated and can be requested from the INN Programme, WHO, Geneva.

<b>Latin</b>	<b>English</b>	
-acum	-ac	anti-inflammatory agents, ibufenac derivatives
-adolum	-adol }	analgesics
-adol-	-adol-}	
-astum	-ast	antiasthmatic, antiallergic substances not acting primarily as antihistaminics
-astinum	-astine	antihistaminics
-azepamum	-azepam	diazepam derivatives
bol	bol	steroids, anabolic
-cain-	-cain-	class I antiarrhythmics, procainamide and lidocaine derivatives
-cainum	-caine	local anaesthetics
cef-	cef-	antibiotics, cephalosporanic acid derivatives
-cillinum	-cillin	antibiotics, 6-aminopenicillanic acid derivatives
-conazolom	-conazole	systemic antifungal agents, miconazole derivatives
cort	cort	corticosteroids, except prednisolone derivatives
-coxibum	-coxib	selective cyclo-oxygenase inhibitors
-entanum	-entan	endothelin receptor antagonists
gab	gab	gabamimetic agents
gado-	gado-	diagnostic agents, gadolinium derivatives
-gatrnam	-gatrnam	thrombin inhibitors, antithrombotic agents
gest	gest	steroids, progestogens
gli	gli	antihyperglycaemics
io-	io-	iodine-containing contrast media
-metacinum	-metacin	anti-inflammatory, indometacin derivatives
-mycinum	-mycin	antibiotics, produced by <i>Streptomyces</i> strains
-nidazolom	-nidazole	antiprotozoal substances, metronidazole derivatives
-ololum	-olol	β-adrenoreceptor antagonists
-oxacinum	-oxacin	antibacterial agents, nalidixic acid derivatives
-platinum	-platin	antineoplastic agents, platinum derivatives
-poetinum	-poetin	erythropoietin type blood factors
-pril(at)um	-pril(at)	angiotensin-converting enzyme inhibitors
-profenum	-profen	anti-inflammatory substances, ibuprofen derivatives
prost	prost	prostaglandins
-relinum	-relin	pituitary hormone release-stimulating peptides
-sartanum	-sartan	angiotensin II receptor antagonists, antihypertensive (non-peptidic)
-vaptanum	-vaptan	vasopressin receptor antagonists
vin-	vin- }	vinca-type alkaloids
-vin-	-vin-}	

## ANNEXE 1

## PROCEDURE A SUIVRE EN VUE DU CHOIX DE DENOMINATIONS COMMUNES INTERNATIONALES RECOMMANDEES POUR LES SUBSTANCES PHARMACEUTIQUES<sup>1</sup>

L'Organisation mondiale de la Santé (également désignée ci-après sous l'appellation « OMS ») observe la procédure exposée ci-dessous pour l'attribution de dénominations communes internationales recommandées pour les substances pharmaceutiques, conformément à la résolution WHA3.11 de l'Assemblée mondiale de la Santé, et pour le remplacement de telles dénominations.

*Article 1* - Les propositions de dénominations communes internationales recommandées et les propositions de remplacement de telles dénominations sont soumises à l'OMS sur la formule prévue à cet effet. L'examen de telles propositions est soumis au paiement d'une taxe administrative destinée uniquement à couvrir les coûts correspondants assumés par le Secrétariat de l'OMS (« le Secrétariat »). Le montant de cette taxe est déterminé par le Secrétariat et peut être modifié de temps à autre.

<sup>1</sup> Voir annexe 1 dans OMS, Série de Rapports techniques, N° 581, 1975. Le texte original a été adopté par le Conseil exécutif dans sa résolution EB15.R7 et amendé dans ses résolutions EB43.R9 et EB115.R4.

**Article 2** - Ces propositions sont soumises par le Secrétariat aux experts désignés à cette fin parmi les personnalités inscrites au Tableau d'experts de la Pharmacopée internationale et des Préparations pharmaceutiques, ci-après désignés sous l'appellation « le Groupe d'experts des DCI » ; elles sont examinées par les experts conformément aux « Directives générales pour la formation de dénominations communes internationales pour les substances pharmaceutiques » reproduites ci-après<sup>1</sup>. La dénomination acceptée est la dénomination employée par la personne qui découvre ou qui, la première, fabrique et lance sur le marché une substance pharmaceutique, à moins que des raisons majeures n'obligent à s'écarter de cette règle.

**Article 3** - Après l'examen prévu à l'article 2, le Secrétariat notifie qu'un projet de dénomination commune internationale est à l'étude.

a) Cette notification est faite par une insertion dans *WHO Drug Information*<sup>2</sup> et par l'envoi d'une lettre aux Etats Membres et aux commissions nationales et régionales de pharmacopée ou autres organismes désignés par les Etats Membres.

i) Notification est également faite à la personne qui a soumis la proposition (« le demandeur initial ») et à d'autres personnes portant à la dénomination mise à l'étude un intérêt notoire.

b) Cette notification contient les indications suivantes :

i) dénomination mise à l'étude;

ii) nom de l'auteur de la proposition tendant à attribuer une dénomination à la substance, si cette personne le demande ;

iii) définition de la substance dont la dénomination est mise à l'étude ;

iv) délai pendant lequel seront reçues les observations et les objections à l'égard de cette dénomination ; nom et adresse de la personne habilitée à recevoir ces observations et objections ;

v) mention des pouvoirs en vertu desquels agit l'OMS et référence au présent règlement.

c) En envoyant cette notification, le Secrétariat demande aux Etats Membres de prendre les mesures nécessaires pour prévenir l'acquisition de droits de propriété sur la dénomination proposée pendant la période au cours de laquelle cette dénomination est mise à l'étude par l'OMS.

**Article 4** - Des observations sur la dénomination proposée peuvent être adressées à l'OMS par toute personne, dans les quatre mois qui suivent la date de publication de la dénomination dans *WHO Drug Information* (voir l'article 3).

**Article 5** - Toute personne intéressée peut formuler une objection formelle contre la dénomination proposée dans les quatre mois qui suivent la date de publication de la dénomination dans *WHO Drug Information* (voir l'article 3).

Cette objection doit s'accompagner des indications suivantes :

i) nom de l'auteur de l'objection ;

ii) intérêt qu'il ou elle porte à la dénomination en cause ;

iii) raisons motivant l'objection contre la dénomination proposée.

**Article 6** - Lorsqu'une objection formelle est formulée en vertu de l'article 5, l'OMS peut soit soumettre la dénomination proposée à un nouvel examen, soit intervenir pour tenter d'obtenir le retrait de l'objection. Sans préjudice de l'examen par l'OMS d'une ou de plusieurs appellations de

<sup>1</sup> Voir annexe 2.

<sup>2</sup> Avant 1987, les listes de dénominations communes internationales étaient publiées dans la *Chronique de l'Organisation mondiale de la Santé*.

remplacement, l'OMS n'adopte pas d'appellation comme dénomination commune internationale recommandée tant qu'une objection formelle présentée conformément à l'article 5 n'est pas levée.

*Article 7* - Lorsqu'il n'est formulé aucune objection en vertu de l'article 5, ou que toutes les objections présentées ont été levées, le Secrétariat fait une notification conformément aux dispositions du paragraphe a) de l'article 3, en indiquant que la dénomination a été choisie par l'OMS en tant que dénomination commune internationale recommandée.

*Article 8* - En communiquant aux Etats Membres, conformément à l'article 7, une dénomination commune internationale recommandée, le Secrétariat :

- a) demande que cette dénomination soit reconnue comme dénomination commune de la substance considérée ; et
- b) demande aux Etats Membres de prendre les mesures nécessaires pour prévenir l'acquisition de droits de propriété sur cette dénomination et interdire le dépôt de cette dénomination comme marque ou appellation commerciale.

*Article 9* -

a) Dans le cas exceptionnel où une dénomination commune internationale déjà recommandée donne lieu à des erreurs de médication, de prescription ou de distribution ou en comporte un risque démontrable, en raison d'une similitude avec une autre appellation dans la pratique pharmaceutique et/ou de prescription, et où il apparaît que ces erreurs ou ces risques d'erreur ne peuvent être facilement évités par d'autres interventions que le remplacement éventuel d'une dénomination commune internationale déjà recommandée, ou dans le cas où une dénomination commune internationale déjà recommandée diffère sensiblement de la dénomination commune approuvée dans un nombre important d'Etats Membres, ou dans d'autres circonstances exceptionnelles qui justifient le remplacement d'une dénomination commune internationale recommandée, toute personne intéressée peut formuler une proposition dans ce sens. Cette proposition est présentée sur la formule prévue à cet effet et doit s'accompagner des indications suivantes :

- i) nom de l'auteur de la proposition ;
- ii) intérêt qu'il ou elle porte au remplacement proposé ;
- iii) raisons motivant la proposition ; et
- iv) description, faits à l'appui, des autres interventions entreprises pour tenter de régler le problème et exposé des raisons pour lesquelles ces interventions ont échoué.

Les propositions peuvent comprendre une proposition de nouvelle dénomination commune internationale de remplacement, établie conformément aux Directives générales, compte tenu de la substance pharmaceutique pour laquelle la nouvelle dénomination commune internationale de remplacement est proposée.

Le Secrétariat transmet une copie de la proposition pour examen, conformément à la procédure exposée plus loin au paragraphe b), au Groupe d'experts des DCI et au demandeur initial ou à son successeur (s'il s'agit d'une personne différente de celle qui a formulé la proposition de remplacement et pour autant que le demandeur initial ou son successeur soit connu ou puisse être retrouvé moyennant des efforts diligents, notamment des contacts avec les associations industrielles).

De plus, le Secrétariat demande aux entités et personnes ci-après de formuler des observations sur la proposition :

- i) les Etats Membres et les commissions nationales et régionales de pharmacopée ou d'autres organismes désignés par les Etats Membres (en insérant une note à cet effet dans la lettre mentionnée à l'article 3.a), et
- ii) toutes autres personnes portant au remplacement proposé un intérêt notoire.

La demande d'observations contient les indications suivantes :

i) dénomination commune internationale recommandée pour laquelle un remplacement est proposé (et la dénomination de remplacement proposée, si elle est fournie) ;

ii) nom de l'auteur de la proposition de remplacement (si cette personne le demande) ;

iii) définition de la substance faisant l'objet du remplacement proposé et raisons avancées pour le remplacement ;

iv) délai pendant lequel seront reçus les commentaires et nom et adresse de la personne habilitée à recevoir ces commentaires ; et

v) mention des pouvoirs en vertu desquels agit l'OMS et référence au présent règlement.

Des observations sur la proposition de remplacement peuvent être communiquées par toute personne à l'OMS dans les quatre mois qui suivent la date de la demande d'observations.

b) Une fois échu le délai prévu ci-dessus pour la communication d'observations, le Secrétariat transmet les observations reçues au Groupe d'experts des DCI, au demandeur initial ou à son successeur et à l'auteur de la proposition de remplacement. Si, après avoir examiné la proposition de remplacement et les observations reçues, le Groupe d'experts des DCI, l'auteur de la proposition de remplacement et le demandeur initial ou son successeur reconnaissent tous qu'il est nécessaire de remplacer la dénomination commune internationale déjà recommandée, le Secrétariat soumet la proposition de remplacement au Groupe d'experts des DCI pour qu'il y donne suite.

Nonobstant ce qui précède, le demandeur initial ou son successeur n'est pas habilité à refuser son accord à une proposition de remplacement au cas où il ne peut être démontré qu'il porte un intérêt durable à la dénomination commune internationale recommandée qu'il est proposé de remplacer.

Dans le cas où une proposition de remplacement est soumise au Groupe d'experts des DCI pour qu'il y donne suite, le Groupe choisit une nouvelle dénomination commune internationale conformément aux Directives générales mentionnées à l'article 2 et selon la procédure décrite dans les articles 3 à 8 inclus. La notification faite par le Secrétariat en vertu de l'article 3 et de l'article 7, respectivement, y compris au demandeur initial ou à son successeur (si ce n'est pas la même personne que celle qui a proposé le remplacement et pour autant que le demandeur initial ou son successeur soit connu ou puisse être retrouvé moyennant des efforts diligents, notamment des contacts avec les associations industrielles), doit dans un tel cas indiquer que la nouvelle dénomination remplace une dénomination commune internationale déjà recommandée et que les Etats Membres peuvent souhaiter prendre des mesures transitoires pour les produits existants qui utilisent la dénomination commune internationale déjà recommandée sur leur étiquette conformément à la législation nationale.

Si, après examen de la proposition de remplacement et des observations communiquées conformément à la procédure exposée plus haut, le Groupe d'experts des DCI, le demandeur initial ou son successeur et l'auteur de la proposition de remplacement ne s'accordent pas sur le fait qu'il y a des raisons impératives de remplacer une dénomination commune internationale déjà recommandée, cette dernière est conservée (étant entendu toujours que le demandeur initial ou son successeur n'est pas habilité à refuser son accord à une proposition de remplacement au cas où il ne peut être démontré qu'il porte un intérêt durable à la dénomination commune internationale recommandée qu'il est proposé de remplacer). Dans un tel cas, le Secrétariat informe l'auteur de la proposition de remplacement, ainsi que le demandeur initial ou son successeur (s'il s'agit d'une personne différente de celle qui a formulé la proposition de remplacement et pour autant que le demandeur initial ou son successeur soit connu ou puisse être retrouvé moyennant des efforts diligents, notamment des contacts avec les associations industrielles), les Etats Membres, les commissions nationales et régionales de pharmacopée, les autres organismes désignés par les Etats Membres et toutes autres personnes portant un intérêt notoire au remplacement proposé que, malgré une proposition de remplacement, il a été décidé de conserver la dénomination commune internationale déjà recommandée (avec une brève description de la ou des raisons pour lesquelles la proposition de remplacement n'a pas été jugée suffisamment impérative).

## ANNEXE 2

## DIRECTIVES GENERALES POUR LA FORMATION DE DENOMINATIONS COMMUNES INTERNATIONALES APPLICABLES AUX SUBSTANCES PHARMACEUTIQUES<sup>1</sup>

1. Les dénominations communes internationales (DCI) devront se distinguer les unes des autres par leur consonance et leur orthographe. Elles ne devront pas être d'une longueur excessive, ni prêter à confusion avec des appellations déjà couramment employées.
  2. La DCI de chaque substance devra, si possible, indiquer sa parenté pharmacologique. Les dénominations susceptibles d'évoquer pour les malades des considérations anatomiques, physiologiques, pathologiques ou thérapeutiques devront être évitées dans la mesure du possible.
- Outre ces deux principes fondamentaux, on respectera les principes secondaires suivants :*
3. Lorsqu'on formera la DCI de la première substance d'un nouveau groupe pharmacologique, on tiendra compte de la possibilité de former ultérieurement d'autres DCI appropriées pour les substances apparentées du même groupe.
  4. Pour former des DCI des acides, on utilisera de préférence un seul mot. Leurs sels devront être désignés par un terme qui ne modifie pas le nom de l'acide d'origine : par exemple «oxacilline» et «oxacilline sodique», «ibufénac» et «ibufénac sodique».
  5. Les DCI pour les substances utilisées sous forme de sels devront en général s'appliquer à la base active (ou à l'acide actif). Les dénominations pour différents sels ou esters d'une même substance active ne différeront que par le nom de l'acide inactif (ou de la base inactif). En ce qui concerne les substances à base d'ammonium quaternaire, la dénomination s'appliquera de façon appropriée au cation et à l'anion en tant qu'éléments distincts d'une substance quaternaire. On évitera de choisir une désignation évoquant un sel aminé.
  6. On évitera d'ajouter une lettre ou un chiffre isolé ; en outre, on renoncera de préférence au trait d'union.
  7. Pour simplifier la traduction et la prononciation des DCI, la lettre « f » sera utilisée à la place de « ph », « t » à la place de « th », « e » à la place de « ae » ou « oe », et « i » à la place de « y » ; l'usage des lettres « h » et « k » sera aussi évité.
  8. On retiendra de préférence, pour autant qu'elles respectent les principes énoncés ici, les dénominations proposées par les personnes qui ont découvert ou qui, les premières, ont fabriqué et lancé sur le marché les préparations pharmaceutiques considérées, ou les dénominations déjà officiellement adoptées par un pays.
  9. La parenté entre substances d'un même groupe (voir Directive générale 2) sera si possible indiquée dans les DCI par l'emploi de segments-clés communs. La liste ci-après contient des exemples de segments-clés pour des groupes de substances, surtout pour des groupes récents. Il y a beaucoup d'autres segments-clés en utilisation active.<sup>2</sup> Les segments-clés indiqués sans trait d'union pourront être insérés n'importe où dans une dénomination.

<sup>1</sup> Dans son vingtième rapport (OMS, Série de Rapports techniques, N° 581, 1975), le Comité OMS d'experts des Dénominations communes pour les Substances pharmaceutiques a examiné les directives générales pour la formation des dénominations communes internationales et la procédure à suivre en vue de leur choix, compte tenu de l'évolution du secteur pharmaceutique au cours des dernières années. La modification la plus importante a été l'extension aux substances de synthèse de la pratique normalement suivie pour désigner les substances tirées ou dérivées de produits naturels. Cette pratique consiste à employer des syllabes communes ou groupes de syllabes communes (segments-clés) qui sont caractéristiques et indiquent une propriété commune aux membres du groupe des substances pour lequel ces segments-clés ont été retenus. Les raisons et les conséquences de cette modification ont fait l'objet de discussions approfondies.

Les directives ont été mises à jour lors de la treizième consultation sur les dénominations communes pour les substances pharmaceutiques (Genève, 27-29 avril 1983) (PHARM S/NOM 928, 13 mai 1983, révision en date du 18 août 1983).

<sup>2</sup> Une liste plus complète de segments-clés est contenue dans le document de travail WHO/EMP/RHT/TSN/2018.1 qui est régulièrement mis à jour et qui peut être demandé auprès du programme des DCI, OMS, Genève

Latin	Français	
-acum	-ac	substances anti-inflammatoires du groupe de l'ibufénac analgésiques
-adolum	-adol	
-adol-	-adol-	
-astum	-ast	
-astinum	-astine	antiasthmatiques, antiallergiques n'agissant pas principalement en tant qu'antihistaminiques
-azepamum	-azépam	
bol	bol	substances du groupe du diazépam
-caïn-	-caïn-	stéroïdes anabolisants
-caïnum	-caïne	antiarythmiques de classe I, dérivés du procaïnamide et de la lidocaïne
cef-	céf-	anesthésiques locaux
-cillinum	-cilline	antibiotiques, dérivés de l'acide céphalosporanique
-conazolium	-conazole	antibiotiques, dérivés de l'acide 6-aminopénicillanique
cort	cort	agents antifongiques systémiques du groupe du miconazole
-coxibum	-coxib	corticostéroïdes, autres que les dérivés de la prednisolone
-entanum	-entan	inhibiteurs sélectifs de la cyclo-oxygénase
gab	gab	antagonistes du récepteur de l'endothéline
gado-	gado-	gabamimétiques
-gatronum	-gatron	agents diagnostiques, dérivés du gadolinium
gest	gest	antithrombines, antithrombotiques
gli	gli	stéroïdes progestogènes
io-	io-	antihyperglycémiants
-metacinum	-métacine	produits de contraste iodés
-mycinum	-mycine	substances anti-inflammatoires du groupe de l'indométacine
-nidazolium	-nidazole	antibiotiques produits par des souches de <i>Streptomyces</i>
-ololum	-olol	substances antiprotozoaires du groupe du métronidazole
-oxacinum	-oxacine	antagonistes des récepteurs β-adrénergiques
-platinum	-platine	substances antibactériennes du groupe de l'acide nalidixique
-poetinum	-poétine	antinéoplasiques, dérivés du platine
-pril(at)um	-pril(ate)	facteurs sanguins de type érythropoïétine
-profenum	-profène	inhibiteurs de l'enzyme de conversion de l'angiotensine
prost	prost	substances anti-inflammatoires du groupe de l'ibuprofène
-relinum	-réline	prostaglandines
-sartanum	-sartan	peptides stimulant la libération d'hormones hypophysaires
-vaptanum	-vaptan	antagonistes d'un récepteur de l'angiotensine II,
vin-	vin-	antihypertenseurs (non peptidiques)
-vin-	-vin-	antagonistes du récepteur de la vasopressine
		alcaloïdes du type vinca

## ANEXO 1

**PROCEDIMIENTO DE SELECCIÓN DE DENOMINACIONES  
COMUNES INTERNACIONALES RECOMENDADAS PARA  
SUSTANCIAS FARMACÉUTICAS<sup>1</sup>**

La Organización Mundial de la Salud (OMS) seguirá el procedimiento que se expone a continuación tanto para seleccionar denominaciones comunes internacionales recomendadas para las sustancias farmacéuticas, de conformidad con lo dispuesto en la resolución WHA3.11, como para sustituir esas denominaciones.

*Artículo 1* - Las propuestas de denominaciones comunes internacionales recomendadas y las propuestas de sustitución de esas denominaciones se presentarán a la OMS en los formularios que se proporcionen a estos efectos. El estudio de estas propuestas estará sujeto al pago de una tasa destinada a sufragar los costos de administración que ello suponga para la Secretaría de la OMS («la Secretaría»). La Secretaría establecerá la cuantía de esa tasa y podrá ajustarla periódicamente.

*Artículo 2* - Estas propuestas serán sometidas por la Secretaría a los miembros del Cuadro de Expertos en Farmacopea Internacional y Preparaciones Farmacéuticas encargados de su estudio, en adelante designados como «el Grupo de Expertos en DCI», para que las examinen de conformidad con los «Principios generales de orientación para formar denominaciones comunes internacionales para sustancias farmacéuticas», anexos a este procedimiento.<sup>2</sup> A menos que haya poderosas razones en contra, la denominación aceptada será la empleada por la persona que haya descubierto o fabricado y comercializado por primera vez esa sustancia farmacéutica.

*Artículo 3* - Tras el examen al que se refiere el artículo 2, la Secretaría notificará que está en estudio un proyecto de denominación internacional.

a) Esa notificación se hará mediante una publicación en *Información Farmacéutica OMS*<sup>3</sup> y el envío de una carta a los Estados Miembros y a las comisiones nacionales y regionales de las farmacopeas u otros organismos designados por los Estados Miembros.

i) La notificación será enviada también a la persona que haya presentado la propuesta («el solicitante inicial») y a otras personas que tengan un interés especial en una denominación objeto de estudio.

b) En esa notificación se incluirán los siguientes datos:

i) la denominación sometida a estudio;

ii) la identidad de la persona que ha presentado la propuesta de denominación de la sustancia, si lo pide esa persona;

iii) la identidad de la sustancia cuya denominación está en estudio;

iv) el plazo fijado para recibir observaciones y objeciones, así como el nombre y la dirección de la persona a quien deban dirigirse; y

v) los poderes conferidos para el caso a la OMS y una referencia al presente procedimiento.

---

<sup>1</sup> Véase el anexo 1 en OMS, Serie de Informes Técnicos, N° 581, 1975. El texto vigente fue adoptado por el Consejo Ejecutivo en su resolución EB15.R7 y modificado en las resoluciones EB43.R9 y EB115.R4..

<sup>2</sup> Véase el anexo 2.

<sup>3</sup> Hasta 1987 las listas de DCI se publicaban en la *Crónica de la Organización Mundial de la Salud*.

c) Al enviar esa notificación, la Secretaría solicitará de los Estados Miembros la adopción de todas las medidas necesarias para impedir la adquisición de derechos de patente sobre la denominación propuesta, durante el periodo en que la OMS la tenga en estudio.

*Artículo 4* - Toda persona puede formular a la OMS observaciones sobre la denominación propuesta dentro de los cuatro meses siguientes a su publicación en *Información Farmacéutica OMS*, conforme a lo dispuesto en el artículo 3.

*Artículo 5* - Toda persona interesada puede presentar una objeción formal a una denominación propuesta dentro de los cuatro meses siguientes a su publicación en *Información Farmacéutica OMS*, conforme a lo dispuesto en el artículo 3.

Esa objeción deberá acompañarse de los siguientes datos:

- i) la identidad de la persona que formula la objeción;
- ii) las causas que motivan su interés por la denominación; y
- iii) las causas que motivan su objeción a la denominación propuesta.

*Artículo 6* - Cuando se haya presentado una objeción formal en la forma prevista en el artículo 5, la OMS podrá reconsiderar el nombre propuesto o utilizar sus buenos oficios para intentar lograr que se retire la objeción. La OMS no seleccionará como denominación común internacional una denominación a la que se haya hecho una objeción formal, presentada según lo previsto en el artículo 5, que no haya sido retirada, todo ello sin perjuicio de que la Organización examine otra denominación o denominaciones sustitutivas.

*Artículo 7* - Cuando no se haya formulado ninguna objeción en la forma prevista en el artículo 5, o cuando todas las objeciones presentadas hayan sido retiradas, la Secretaría notificará, conforme a lo dispuesto en el párrafo a) del artículo 3, que la denominación ha sido seleccionada por la OMS como denominación común internacional recomendada.

*Artículo 8* - Al comunicar a los Estados Miembros una denominación común internacional, conforme a lo previsto en el artículo 7, la Secretaría:

a) solicitará que esta denominación sea reconocida como denominación común para la sustancia de que se trate; y

b) solicitará a los Estados Miembros que adopten todas las medidas necesarias para impedir la adquisición de derechos de patente sobre la denominación, y prohíban que sea registrada como marca de fábrica o como nombre comercial.

*Artículo 9*

a) En el caso excepcional de que, debido a su semejanza con otra denominación utilizada en las prácticas farmacéuticas y/o de prescripción, una denominación común internacional recomendada anteriormente ocasione errores de medicación, prescripción o distribución, o suponga un riesgo manifiesto de que esto ocurra, y parezca que tales errores o potenciales errores no sean fácilmente subsanables con otras medidas que no sean la posible sustitución de esa denominación común internacional recomendada anteriormente; en el caso de que una denominación común internacional recomendada anteriormente difiera considerablemente de la denominación común aprobada en un número importante de Estados Miembros, o en otras circunstancias excepcionales que justifiquen el cambio de una denominación común internacional recomendada, cualquier persona interesada puede presentar propuestas en este sentido. Esas propuestas se presentarán en los formularios que se proporcionen a estos efectos e incluirán los siguientes datos:

- i) la identidad de la persona que presenta la propuesta;
- ii) las causas que motivan su interés en la sustitución propuesta;
- iii) las causas que motivan la propuesta; y

iv) una descripción, acompañada de pruebas documentales, de las otras medidas que se hayan adoptado con el fin de resolver la situación y de los motivos por los cuales dichas medidas no han sido suficientes.

Entre esas propuestas podrá figurar una relativa a una nueva denominación común internacional sustitutiva, formulada con arreglo a los Principios generales y que tenga en cuenta la sustancia farmacéutica para la que se proponga la nueva denominación común internacional sustitutiva.

La Secretaría enviará al Grupo de Expertos en DCI y al solicitante inicial o a su sucesor (en el caso de que sea una persona diferente de la que ha presentado la propuesta de sustitución y siempre que el solicitante inicial o su sucesor sean conocidos o puedan ser encontrados mediante esfuerzos diligentes, como el contacto con las asociaciones industriales) una copia de la propuesta, para que sea examinada de conformidad con el procedimiento descrito en el párrafo *b) infra*.

Además, la Secretaría solicitará observaciones sobre la propuesta:

i) a los Estados Miembros y a las comisiones nacionales y regionales de las farmacopeas u otros organismos designados por los Estados Miembros (ello se hará incluyendo una notificación a tal efecto en la carta a la que se refiere el párrafo a) del artículo 3), y

ii) a cualquier persona que tenga un interés especial en la sustitución propuesta.

Al solicitar que se formulen estas observaciones se facilitarán los siguientes datos:

i) la denominación común internacional recomendada que se propone sustituir (y la denominación sustitutiva propuesta, si se ha facilitado);

ii) la identidad de la persona que ha presentado la propuesta de sustitución (si lo pide esa persona);

iii) la identidad de la sustancia a la que se refiere la sustitución propuesta y las razones para presentar la propuesta de sustitución;

iv) el plazo fijado para recibir observaciones, así como el nombre y la dirección de la persona a quien deban dirigirse; y

v) los poderes conferidos para el caso a la OMS y una referencia al presente procedimiento.

Toda persona puede formular a la OMS observaciones sobre la sustitución propuesta dentro de los cuatro meses siguientes a la fecha en que se realizó la solicitud de observaciones.

b) Una vez agotado el mencionado plazo para la formulación de observaciones, la Secretaría enviará todos los comentarios recibidos al Grupo de Expertos en DCI, al solicitante inicial o a su sucesor, y a la persona que haya presentado la propuesta de sustitución. Si después de examinar la propuesta de sustitución y las observaciones recibidas, el Grupo de Expertos en DCI, la persona que haya presentado la propuesta de sustitución y el solicitante inicial, o su sucesor, están de acuerdo en la necesidad de sustituir la denominación común internacional recomendada anteriormente, la Secretaría remitirá la propuesta de sustitución al Grupo de Expertos en DCI para que la tramite.

No obstante lo anterior, el solicitante inicial o su sucesor no tendrán derecho a impedir el acuerdo sobre una propuesta de sustitución en el caso de que hayan dejado de tener un interés demostrable en la denominación común internacional cuya sustitución se propone.

En caso de que la propuesta de sustitución sea presentada al Grupo de Expertos en DCI para que la tramite, este grupo seleccionará una nueva denominación común internacional de conformidad con los Principios generales a los que se refiere el artículo 2 y al procedimiento establecido en los artículos 3 a 8 inclusive. En ese caso, en las notificaciones que la Secretaría ha de enviar con arreglo a los artículos 3 y 7, respectivamente, incluida la notificación al solicitante

inicial o a su sucesor (en el caso de que no sea la misma persona que propuso la sustitución y siempre que el solicitante inicial o su sucesor sean conocidos o puedan ser encontrados mediante esfuerzos diligentes, como el contacto con las asociaciones industriales), se indicará que la nueva denominación sustituye a una denominación común internacional recomendada anteriormente y que los Estados Miembros podrán, si lo estiman oportuno, adoptar disposiciones transitorias aplicables a los productos existentes en cuya etiqueta se utilice, con arreglo a la legislación nacional, la denominación común internacional recomendada anteriormente que se haya sustituido.

En caso de que, después de haber estudiado la propuesta de sustitución y los comentarios recibidos de conformidad con el procedimiento descrito anteriormente, el Grupo de Expertos en DCI, el solicitante inicial o su sucesor y la persona que haya presentado la propuesta de sustitución no lleguen a un acuerdo sobre la existencia de razones poderosas para sustituir una denominación común internacional recomendada anteriormente, esta denominación se mantendrá (siempre en el entendimiento de que el solicitante inicial o su sucesor no tendrán derecho a impedir el acuerdo sobre una propuesta de sustitución en el caso de que hayan dejado de tener un interés demostrable en la denominación común internacional cuya sustitución se propone). En ese caso, la Secretaría comunicará a la persona que haya propuesto la sustitución, así como al solicitante inicial o a su sucesor (en el caso de que no sea la misma persona que propuso la sustitución y siempre que el solicitante inicial o su sucesor sean conocidos o puedan ser encontrados mediante esfuerzos diligentes, como el contacto con las asociaciones industriales), a los Estados Miembros, a las comisiones nacionales y regionales de las farmacopeas o a otros organismos designados por los Estados Miembros y a cualquier otra persona que tenga interés en la sustitución propuesta, que, pese a la presentación de una propuesta de sustitución, se ha decidido mantener la denominación común internacional recomendada anteriormente (con una descripción de la o las razones por las que se ha considerado que la propuesta de sustitución no estaba respaldada por razones suficientemente poderosas).

## ANEXO 2

### PRINCIPIOS GENERALES DE ORIENTACIÓN PARA FORMAR DENOMINACIONES COMUNES INTERNACIONALES PARA SUSTANCIAS FARMACÉUTICAS<sup>1</sup>

1. Las denominaciones comunes internacionales (DCI) deberán diferenciarse tanto fonética como ortográficamente. No deberán ser incómodamente largas, ni dar lugar a confusión con denominaciones de uso común.

2. La DCI de una sustancia que pertenezca a un grupo de sustancias farmacológicamente emparentadas deberá mostrar apropiadamente este parentesco. Deberán evitarse las denominaciones que puedan tener connotaciones anatómicas, fisiológicas, patológicas o terapéuticas para el paciente.

*Estos principios primarios se pondrán en práctica utilizando los siguientes principios secundarios:*

3. Al idear la DCI de la primera sustancia de un nuevo grupo farmacológico, deberá tenerse en cuenta la posibilidad de poder formar DCI convenientes para las sustancias emparentadas que se agreguen al nuevo grupo.

4. Al idear DCI para ácidos, se preferirán las de una sola palabra; sus sales deberán denominarse sin modificar el nombre del ácido: p. ej. «oxacilina» y «oxacilina sódica», «ibufenaco» y «ibufenaco sódico».

---

<sup>1</sup> En su 20º informe (OMS, Serie de Informes Técnicos, Nº 581, 1975), el Comité de Expertos de la OMS en Denominaciones Comunes para las Sustancias Farmacéuticas revisó los Principios generales para formar denominaciones comunes internacionales (DCI), y su procedimiento de selección, a la luz de las novedades registradas en los últimos años en materia de compuestos farmacéuticos. El cambio más importante había consistido en hacer extensivo a la denominación de sustancias químicas sintéticas el método utilizado hasta entonces para las sustancias originadas en productos naturales o derivadas de éstos. Dicho método conlleva la utilización de una «partícula» característica que indica una propiedad común a los miembros de un grupo. En el citado informe se examinan en detalle las razones y consecuencias de este cambio.

Los Principios generales de orientación se actualizaron durante la 13ª consulta sobre denominaciones comunes para sustancias farmacéuticas (Ginebra, 27 a 29 de abril de 1983) (PHARM S/NOM 928, 13 de mayo de 1983, revisado el 18 de agosto de 1983).

5. Las DCI para las sustancias que se usan en forma de sal deberán en general aplicarse a la base activa o al ácido activo. Las denominaciones para diferentes sales o ésteres de la misma sustancia activa solamente deberán diferir en el nombre del ácido o de la base inactivos. En los compuestos de amonio cuaternario, el catión y el anión deberán denominarse adecuadamente por separado, como componentes independientes de una sustancia cuaternaria y no como sales de una amina.

6. Deberá evitarse el empleo de letras o números aislados; también es indeseable el empleo de guiones.

7. Para facilitar la traducción y la pronunciación, se emplearán de preferencia las letras «f» en lugar de «ph», «t» en lugar de «th», «e» en lugar de «ae» u «oe», e «i» en lugar de «y»; se deberá evitar el empleo de las letras «h» y «k».

8. Siempre que las denominaciones propuestas estén de acuerdo con estos principios, recibirán una consideración preferente las denominaciones propuestas por la persona que haya descubierto las sustancias, o que fabrique y comercialice por primera vez una sustancia farmacéutica, así como las denominaciones ya adoptadas oficialmente en cualquier país.

9. El parentesco entre sustancias del mismo grupo se pondrá de manifiesto en las DCI (véase el Principio 2) utilizando una partícula común. En la lista que figura a continuación se indican ejemplos de partículas para grupos de sustancias, en particular para grupos nuevos. Existen muchas otras partículas que se usan habitualmente.<sup>1</sup> Cuando una partícula aparece sin guión alguno, puede utilizarse en cualquier lugar de la palabra.

Latin	Español	
-acum	-aco	antiinflamatorios derivados del ibufenaco
-adolum	-adol )	analgésicos
-adol-	-adol- )	
-astum	-ast	antiasmáticos, sustancias antialérgicas cuya acción principal no es la antihistamínica
-astinum	-astina	antihistamínicos
-azepamum	-azepam	derivados del diazepam
bol	bol	esteroides anabolizantes
-cain-	-caína-	antiarrítmicos de clase I, derivados de procainamida y lidocaína
-cainum	-caína-	anestésicos locales
cef-	cef-	antibióticos, derivados del ácido cefalosporánico
-cillinum	-cilina	antibióticos derivados del ácido 6-aminopenicilánico
-conazolium	-conazol	antifúngicos sistémicos derivados del miconazol
cort	cort	corticosteroides, excepto derivados de prednisolona
-coxibum	-coxib	inhibidores selectivos de ciclooxigenasa
-entanum	-entán	antagonistas del receptor de endotelina
gab	gab	gabamiméticos
gado-	gado-	agentes para diagnóstico derivados de gadolinio
-gartranum	-gatrán	inhibidores de la trombina antitrombóticos
gest	gest	esteroides progestágenos
gli	gli	hipoglucemiantes, antihiperglucémicos
io-	io-	medios de contraste iodados
-metacinum	-metacina	antiinflamatorios derivados de indometacina
-mycinum	-micina	antibióticos producidos por cepas de <i>Streptomyces</i>
-nidazolium	-nidazol	antiprotozoarios derivados de metronidazol
-ololum	-olol	antagonistas de receptores β-adrenérgicos

<sup>1</sup> En el documento de trabajo WHO/EMP/RHT/TSN/2018.1, que se actualiza periódicamente y puede solicitarse al Programa sobre Denominaciones Comunes Internacionales, OMS, Ginebra, figura una lista más amplia de partículas.

-oxacinum	-oxacino	antibacterianos derivados del ácido nalidíxico
-platinum	-platino	antineoplásicos derivados del platino
-poetinum	-poetina	factores sanguíneos similares a la eritropoyetina
-pril(at)um	-pril(at)	inhibidores de la enzima convertora de laangiotensina
-profenum	-profeno	antiinflamatorios derivados del ibuprofeno
prost	prost	prostaglandinas
-relinum	-relina	péptidos estimulantes de la liberación de hormonas hipofisarias
-sartanum	-sartán	antihipertensivos (no peptídicos) antagonistas del
-vaptanum	-vaptán	antagonistas del receptor de vasopresina
vin-	vin- )	alcaloides de la vinca
-vin-	-vin- )	